

SCHAUM'S OUTLINE SERIES

TBÖRİ VE PROBLEMLERLE

# MAKİNA DİZAYNI

HALL, HALLOWENKEN, LAUGHLIN

320 ÇÖZÜLMÜ PROBLEM

McGRAW-HILL BOOK COMPANY

SCHAUM'S OUTLINE SERIES

21.5.1986  
Gürit Baltacı  
Gürit Baltacı

TEORİ VE PROBLEMLERLE

# MAKİNA DİZAYNI

ALLEN S. HALL, JR., M.S.M.E., Ph.D.

*Professor of Mechanical Engineering, Purdue University*

ALFRED R. HOLOWENKO, M.S.

*Professor of Mechanical Engineering, Purdue University*

HERMAN G. LAUGHLIN, M.S.M.E.

*Associate Professor of Mechanical Engineering, Purdue University*

Adapted and converted to SI units by

P. C. HILLS, D.I.C., C.Eng., M.I.Mech.E.

and

M. D. BENNETT, B.Sc. (Eng), C.Eng., M.I.Mech.E.

ÇEVİREN:

**DR. YAŞAR PANCAR**

MAKİNA YÜKSEK MÜHENDİSİ

SCHAUM'S OUTLINE SERIES

*McGraw-Hill Book Company*

**Biricik Anneme ve Babama**

1961 Baskısından birimler Metrik Sisteme çevrilerek  
tercümede edilmiştir.

**GENEL DAĞITIM:**  
**BİLİM TEKNİK KİTABEVİ**  
P.k.75 Bahçelievler-İstanbul

### **ÇEVİRENİN ÖNSÖZÜ**

Çevirisini yaptığım Makina Dizaynı ve problemleri adlı kitap teorik çalışmaların yanısıra öğrencilere pratik uygulama imkanı verecektir. Kitabın son bölümünde verilen proje konularının öğrencilerce incelenmesi ve bunların çözüme kavuşturulması bu daldaki bilgilerinin artmasına neden olacaktır.

Tüm Meslektaşlarına ve Öğrenci arkadaşlarına yararla olması dileğiyle.

Dr.Yaşar Pancar

# Giriş

MÜHENDİSLİK DİZAYNI, istenen fonksiyonların gerçekleştirilmesinde makineler, yapılar, sistemler veya presesler için yapılan planların yaratılmasıdır.

DİZAYN PROSESLERİ aşağıdaki maddelerden oluşmaktadır.

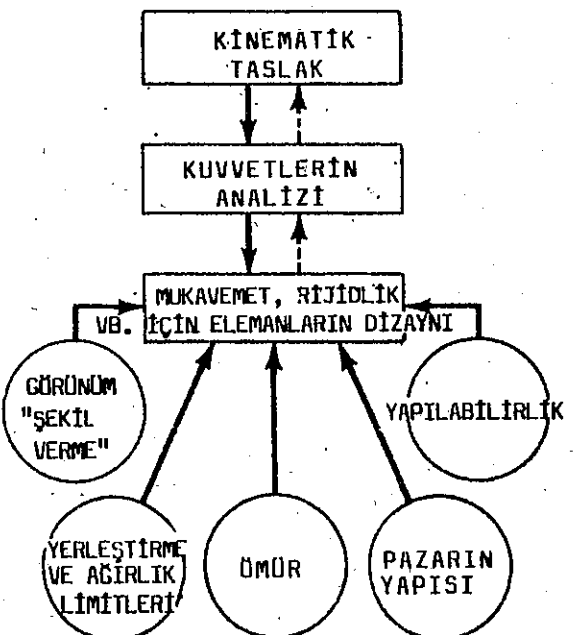
- (1) İhtiyacın tanımı ve bu ihtiyacın genel terimlerle beyanı, bu prensipleri açıklar.
- (2) Problemin çözümü için çeşitli planların ele alınması ve daha detaylı incelenecək olan bir tanesinin seçimi. Özel araştırmalarla takviye edilmiş fizibilite çalışmaları, prosesde bu safhanın bir Özelliğidir.
- (3) Seçilmiş makine, yapı, sistem veya prosesin avam projeleri. Bu daha geniş genel özellikleri oluşturur ve büyük parçalar için özelliklerin kaleme alınmalarına imkan yaratır.
- (4) Bütün parçaların dizaynı ve gerekli resimlerin ve detay özelliklerin hazırlanması.

Dizayn prosesinin ilk saflarında dizayn yapan kişi yaratıcıdır. Burada onun zekası ve tasarılanabilen düşünme gücünün tam anlamıyla ortaya koyması gereklidir.

Komple bir dizayn için gerekli resimler ve detay özellikleri çok sayıdaki kararların bir kaydıdır. Dizayn yapan kişi, daha ilerideki dizayn prosesi saflarında, sadece karar üreticisi durumundadır. Onun, ampirik özelliklerle verilmiş, ilmi prensiplerden harekete geçmesi şarttır. Mamafih, bilimin, kararların gerçekleştirileceği limit değerleri tesis ettiği bilinmektedir. Ayrıca, belirgin bir karar için etkilerin istatistikî görünümde vermektedir. Sonuçta karar sadece dizayn yapan kişi tarafından verilmektedir. Böylece, karar verme, iyi bir dizayn yapan kişi için bariz karakteristiklerden birisidir.

BİR MAKİNEİN DİZAYNI, yandaki şekilde görüldüğü gibi bir akış planı takip etmelidir.

Genel özelliklerin tespit edilmesinden sonra, kinematik düzleme, veya makinenin iskeleti kurul-



Şekil. 1-1

lidir. Bunu da kuvvet analizi takip eder. (Dinamiğin önemli bir yer tuttuğu dizaynlarda, hareketli parçaların kütleleri henüz bilinmemektedir.) Bu bilgiyle makinenin elemanları dizayn edilebilir. (Denemeye, zira kuvvetler tam olarak bilinmemektedir.) Sonra daha hassas kuvvet analizi yapılır ve dizayn tashih edilir. Son kararlar, mukavemet, rıgidilik, görünüm, ağırlık ve yerleştirme sınırlamaları, malzemelerin elverişlilikleri ve imalat teknikleri, vb. den başka birçok faktörün etkisi altında olup değişebilir.

Bu problemin basitleştirilmesi anlamına gelir, fakat yine de faydalı bir özetin akılda kalması yerinde olur. Söz konusu tedbirlerin hiçbirinden bağımsız değildir. Diyagramdaki kırıkçı çizgili oklarla gösterdiği üzere, sürekli bir geri akış söz konusudur. Meselâ, parçaların ilk deneme dizaynından sonra, dinamik analiz istenmeyen yüksek bir atalet gösterebilir, ve makinenin kinematik planının değiştirilmesini gerektirebilir.

Kinematik, statik, dinamik ve malzemelerin mukavemetine gereken önem göstermek şartıyla, matematik ve fizigin, makine dizaynında temel kabul edilecek bilim dalları olduğu bilinmelidir. Mamafih, Dizayn yapanların ekipmanlarına önemli sayılacak katkıları olamayan, mühendislik ilk müfredat programı içinden, teknik veya teorik eğitimlerden birini seçip çıkarmak oldukça zordur. Bunlar arasında, resimler, ekonomi, metalurji, termodinamik ve ısı transferi, akişkanlar mekaniği ve elektrik devre teorisi bulunmaktadır. Makine dizaynına başlayacak bir öğrencinin bu alanlardan hepsine hazırlıklı olması gereklidir.

Özellikle Mekanikten seçilen, aşağıdaki problemler ve metin sorularına ait liste, okuyucunun kendisini bu basit konu üzerinde imtihan etmesini sağlayacaktır. Herhangi bir yardım olmaksızın, en azından % 90 nina cevap verebilmelidir. Aksi takdirde biraz daha Mekanik bilgisi almak zorunda olacaktır.

### GÖZDEN GEÇİRİLECEK MEKANİK SORULARI

(Makul çalışma süresi 3 saatdir. Cevaplar bu bölümün sonunda verilmiştir.)  
Kroki yapılmasına izin veriniz. Neticeler için doğru birimler veriniz.

- Mekanik verimin %85 olması şartıyla, 2kN luk bir yatay karşı koyan kuvvetle düzgün doğrusal bir yolda, 100km/h lik bir hızda hareket edecek bir arabâ için gerekli güç ne kadardır?
- 150 Nm lik sürekli bir torkun tatbikiyle, sabit bir hızda, bir vitanın gevürilebilmesi için ne kadar iş yapılır?
- 250 mm çapındaki bir kasnak iki yataklâ taşınmaktadır. Yataklar arasındaki mesafe 750 mm dir. Kasnak kayışla tahrik edilmektedir. Gergin taraftaki kayışda 2,7kN luk, bir gevşek tarafta ise 900 N luk gerilme bulunmaktadır. Gücün, milin bir ucundan esnek bir kaplante alındığı düşünülerek, maximum eğilme momentiyle, maximum burulma momentini hesaplayınız.
- Serbest döner bir kasnaktan geçirilen bir ipin bir ucunda 100 kg lik kütle ve diğer ucunda ise 25 kg lik kütle asılı haldedir. Sürtünmeyi ve kasnağın kütlesini ihmal ederek, ipteki gerilimi tayin ediniz.
- Bir A şekli oluşturmak üzere, üç düzgün doğru eleman pim kullanılarak birleştirilmiş olup, tüm sistem sürtünesiz bir düzlem üzerinde durmaktadır. Baştaki pim aşağıya doğru bir F kuvveti ile yüklenmiştir. Her eleman için serbest cisim diyagramını çiziniz. Kuvvetleri etkîdikleri noktalarda yönleriyle gösteriniz.
- (a) Alanın ikinci momentinin matematiksel tanımı nedir?  
(b) Merkezden geçen eksenin tabana paralel olması halinde, dikdörtgen

bir kesitin alanının ikinci momentinin  $bd^3/12$  olduğunu hesaplayarak gösteriniz.

- (c) (b) maddesi için kesit modülünün  $bd^2/6$  olduğunu gösteriniz.

(d) Dairesel bir kesit için alanın ikinci momentinin  $d^4/64$  olduğu varsayılarak, dış çapı 100 mm ve iç çapı 50 mm olan boş bir mil için alanın ikinci momentini hesaplayınız.

- (e) Yüksek bir hasasiyetle, düzgün şekilli olmayan bir alanın ikinci momentinin ne kadar bir yaklaşımla hesaplanabileceğini gösteriniz.

7. Bir elektrik motorunun rotoru 100 mm çapında ve 5kg ağırlığındadır. Sabit elektrik torkunun 2,25 Nm ve istenen süre içinde herhangi bir dış yük bulunmadığı göz önünde tutulacak olursa, motor dönüş hızının 0 dan 1000 d/dk ya çıkmak için gerekli zaman ne kadar olur.

8. Eğilme momentini tarif ediniz. Eğilme momentinin işaretini tayin için ne gibi bir usul vardır? Bunu uçlarından kısa kesitler alınmış bir çubuk için gösteriniz. Çubuk öyle yüklenmiş olsun ki sol uç tarafında pozitif eğilme momenti ve sağ uç tarafında ise negatif eğilme momenti ortaya çıkabilsin.

9. Eğer bir yay 2kN luk bir yük altında 50mm lik bir açılım göstermiyorsa, bu yükün bir derece kadar artırılmasıyla yay ne kadar enerji absorbe edebilir?

10. 1 Hp = 0,746 kW olduğunu gösteriniz.

11. Aşağıdaki şartlar için, çubuk eksene dik kesitteki gerilme dağılımlarını grafiksel olarak gösteriniz.

- (a) Eğilme gerilmesi,  $M/I$ , basit bir çubukta (1) nötr eksene göre simetrik ve (2) kesitin nötr eksene göre asimetrik.

- (b) Çeki gerilmesi veya basma gerilmesi,  $P/A$ , kesitin herhangi bir noktasındaki eksenel yüze göre.

- (c) Burulma gerilmesi,  $T/J$ , dairesel kesitin herhangi bir noktasındaki tatbik edilen torka göre.

- (d) Kesme gerilmesi,  $VZ/b$ , dikdörtgen kesitli (1), dairesel kesitli (2) ve simetrik I kesitli basit bir çubukta.

12. (a) Bir makine parçası öyle yüklenmiştirki, belli bir noktasındaki 3 gerilme için 600 kPa lik çeki, 800 kPa lik çeki ve 0 değerleri bilinmektedir. Adı geçen nokta için kesme gerilmesi değeri ne kadardır?

- (b) Üç esas gerilme değeri, 600 kPa basma gerilmesi, 800 kPa çeki gerilmesi ve 0 olduğuna göre yukarıdaki gibi kesme gerilmesi değerini hesaplayınız.

13. (a) Bir adam elindeki halatın bir ucunu bir ağaca bağlamakta, diğer diğer ucuna ise 1000 N luk bir kuvvet tatbik etmektedir. Halatta ortaya çıkacak çeki gerilmesi değeri ne olur?

- (b) Eğer halatın bir ucundan 1000 N luk bir kuvvet tatbik edilecek olursa, halattaki çeki gerilmesi ne kadar olur?

14. Lastik dış çapı 0,9m olan bir kamyon 18 m/sn lik bir hızla hareket etmektedir. Belli bir anda, lastik tırnağının yerden en uzakta bulunduğu noktadaki hızı ne olur? Bu şartlar altında tekerleklerin açısal hızı ( $d/dk$ )ni hesaplayınız. Toprak ile temas noktasındaki dışın itmesi ne kadardır?

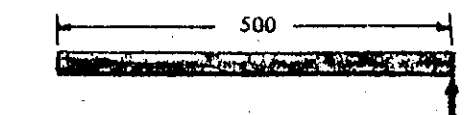
15. 176mm lik ortalama çapa sahip bir konik dişli, en yakın yataktan 350mm uzaklıktaki mile tespit edilmiştir. Konik dişli üzerindeki yük bileşenleri, tegetsel olarak,  $F_a=5kN$ ; radyal olarak,  $F_r=3kN$  ve eksenel olarak,  $F_e=2kN$  dur.

- (a) Her kuvvetten doğan mildeki torku hesaplayınız.

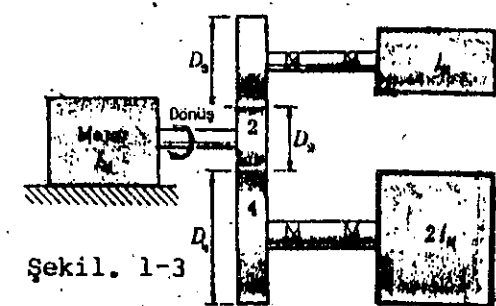
- (b) Her kuvvetten doğan mildeki eğilme momentini hesaplayınız.

- (c) Ayrıca mildeki toplam ve bileşke eğilme momentini hesaplayınız.

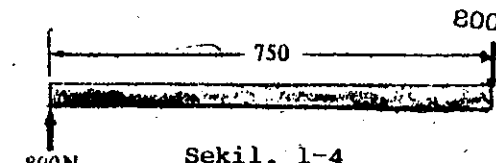
16. Bir hız düşürücüsünde hız oranı 10:1 dir. 1000 d/dk lik bir tecrübebede 50 N m lik bir çıkış torku için 6N m lik bir giriş torku gerekmektedir. Hız düşürücünün verimi ne olur? Hesaplayınız.
17. Yatay hareket eden bir bantlı konveyör, bunkerin tabanından kum dökülmüyor. Konveyörün 610 m/dak lik bir hızla ve kumunda 6800 kg/dak lik bir debide olduğu biliniyor. Konveyörü hareket ettirmek için gerekli güç ne kadar olur? Konveyör çevirici mekanizmasındaki sürtünmeyi ihmal ediniz.
18. Bir AB çubuğunun A noktasına 2kN luk bir kuvvet uygulanıp B ucunda 4mm lik bir sehim görülmektedir. A ucundaki 1mm lik sehime neden olacak A ucundaki kuvveti hesaplayınız.
19. Bir planet dişli sistemindeki bir planet dişli öyle hareket etmektedir ki, dişli merkezinin hızı 12m/sn dir. Dişlinin açısal hızı ise 20 rad/sn dir. Kinetik enerjiyi hesaplayınız? Dişlinin 150mm çapında ve 5kg ağırlığında dolu bir malzemeden imal edildiğini kabul ediniz.
20. Yay-kütleli bir amortisör sisteminde tek dereceli serbestlik derecesine ait hareket  $8x + 5x + 12x = 0$  differansiyel denklemiyle verilmektedir. Titreşimin frekansını hesaplayınız. (Kullanılan birimler kg, m ve s dir.)
21. Bir bağlama çubuğu öyle hareket etmektedir ki bir ucu diğerine göre  $600 \text{ m/sn}^2$  lik relativ bir ivmeye hareket edebilmektedir. İki noktası birleştiren hat 200mm olduğu zaman aralarındaki açı  $30^\circ$  dir. Açışal hızı ve açısal ivmeyi hesaplayınız.
22. Çelik birtel seçilen bir direğe iki sefer sarılmıştır. Telin bir ucuna  $P$ , diğer ucuna ise 3000 N luk bir kuvvet uygulanıp telin hareket ettirmek için gerekli  $P'$  kuvvetini, (a) 3000N luk kuvvet yönüne telin hareketini önlemek için gerekli  $P''$  kuvvetini tayin ediniz?
23. Ağırlığı 100N olan bir blok yatay bir düzlem üzerinde durmaktadır. Sürtünme katsayısı 0,3 dir. Yatay düzleme paralel yönde (a) 10N, (b) 20N, (c) 30N (d) 40N kuvvetleri bloğa etkileyecək olursa doğacak sürtünme kuvvetlerini hesaplayınız.
24. Şekil. 1-2 de görülen çelik çubuk 500mm boyunda 2,5mm eninde ve 25mm kalınlığındadır. Çubuk sürtünmesiz olmak şartıyla durduğu bir düzlemede iken bir ucuna anı olarak 800N luk kuvvet uygulanıp telin hareket ettirmek için gerekli  $P'$  kuvvetini ve (b) maksimum eğilme momentini tayin ediniz.
25. Şekil. 1-3'de görüldüğü üzere, atalet momenti  $I_M$  olan bir motor rotoruna belli bir tork uygulanıp telin hareket ettirmektedir. Pinyon iki dişiliyi çevirmektedir. Bunlardan birisi



Şekil. 1-2



Şekil. 1-3



Şekil. 1-4

atalet momenti  $I_M$  olan kütleye irtibatlanmıştır. Diğer ise atalet momenti  $2I_M$  olan kütleye irtibatlıdır. Dişli oranı  $R_1 = D_3/D_2$  sabit olup 3'e eşittir. Maximum açısal hız verecek 4 nolu dişlinin dişli oranı  $R_2 = D_4/D_2$  ne olacaktır? Dişlilerin kütleleri ihmal edilecektir.

26. Şekil 1-4'de görülen çelik çubuk 750mm uzunluğunda, 25mm eninde ve 25mm kalınlığındadır. Çubuk sürtünmesiz yatay bir düzlemede sürtünmesiz olarak dumaktadır. İki esdeğer ve ters kuvvetler (800N) uçlara anı olarak tatbik edilmektedir. Çubuğu rigid kabul ederek, (a) Maximum eğilme momentini, (b) maximum eğilme gerilmesini tayin ediniz.

**MEKANİK PRENSİPLERİNİN YETERLİ BİR ŞEKLDE** makine elemanlarının dizaynına ve rasyonel analize tatbiki ancak tecrübeyle geliştirilebilir. Takip eden bölümlerde, çeşitli problemlerle, tecrübeleri geliştirmek için tertiplenmiştir. Öğrencinin, her bölüm için aşağıdaki çalışma planına uyması istenmektedir.

- (1) Teori ve prensip özeti okuyunuz.
- (2) Çözülmüş problemleri gözden geçiriniz. Kağıt ve kalem kullanınız. Verilen ipuçlarını kullanarak bütün detayları kendiniz geliştiriniz. (Bazı problemler fazla detaylandırılmıştır. Bazılarda ise bazı ara hesaplamalar ihmal edilmiştir.)
- (3) Verilen diğer problemleri çözünüz. Problemi okuduktan sonra hangi teoremi uygulayacağınızı kendinize sorunuz. Yardımın gerekliliğine inanıyorsanız, daha önceki benzer problemlere başvurunuz. Yaptığınız bu çalışmayı daha ilerideki çalışmalarıınız için saklayınız.
- (4) Aklinizda yer edinceye kadar teori özeti tekrar çalışınız.

### Cevaplar - Bölüm 1

1.  $65,3\text{W}$
2.  $942\text{J}$
3.  $M_b = 675\text{N m}, T = 225\text{N m}$
4.  $392\text{N}$
5. Kenarlar üç kuvvet elemanıdır.
6. Herhangi bir mekanik kitabına başvurunuz.
7.  $0,523\text{s}$
8. Herhangi bir mukavemet kitabına başvurunuz.
9.  $50\text{J}$
10. Herhangi bir Mekanik kitabına başvurunuz.
- 11.
12. (a)  $400\text{kPa}$ , (b)  $700\text{kPa}$
13. (a)  $1000\text{N}$ , (b)  $1000\text{N}$
14.  $36\text{m/s}, 382\text{d/dk}, 720\text{m/s}^2$
15. (a)  $2\text{kN}$  dan Dolayı Tork = 0,  $3\text{kN}$  dan dolayı =  $0,5\text{kN}$  dan dolayı =  $440\text{N m}$   
(b)  $2\text{kN}$  dan dolayı eğilme momenti =  $176\text{N m}$ ,  $3\text{kN}$  dan dolayı  $1050\text{N m}$ ,  $5\text{kN}$  dan dolayı  $1750\text{N m}$ , (c)  $1956\text{N m}$
16.  $83,3\%$
17.  $1150\text{N}$
18.  $500\text{N}$
19.  $4000\text{J}$
20.  $1,225\text{ rad/s}$
21.  $16,1\text{ rad/s}, 150\text{ rad/s}^2$
22.  $P = 19,770\text{N}, P' = 455\text{N}$
23. (a)  $10\text{N}$ , (b)  $20\text{N}$ , (c)  $30\text{N}$ , (d)  $30\text{N}$
24.  $59,2\text{N m}, 21,7\text{MN/m}^2$
25.  $R_2 = \sqrt{1,8} = 1,34$
26.  $57,7\text{N m}, 21,1\text{MN/m}^2$

# 2

## Küçük Makine Parçalarındaki gerilmeler

**MAKİNE DİZAYNINDA**, diğer isteklerin yanısıra, maximum gerilmeleri emniyetli olarak taşıyabilecek makine elemanlarının doğru olarak boyutlandırılması yapılırken, elemanlar ayrı ayrı veya birlikte eğilme, burulma, eksenel veya enine yüklerle maruz kalabilmektedir. Genel olarak, sünek malzemeler, yumuşak kırılan malzemeler, dökme demirde ve bazı sert çeliklerde olduğu gibi çekme ve basma gerilmesi esas alınarak maximum normal gerilme hesaba katılarak dizayn edilirler.

**MAXIMUM VE MİNİMUM NORMAL GERİLMELER**,  $s_n(\max)$ , veya  $s_n(\min)$ , çekme veya basma gerilmeleri olarak, genel anlamda, bir partikül üzerindeki iki boyutlu yükleme için

$$(1) \quad s_n(\max) = \frac{s_x + s_y}{2} + \sqrt{\left(\frac{s_x - s_y}{2}\right)^2 + r_{xy}^2}$$

$$(2) \quad s_n(\min) = \frac{s_x + s_y}{2} - \sqrt{\left(\frac{s_x - s_y}{2}\right)^2 + r_{xy}^2}$$

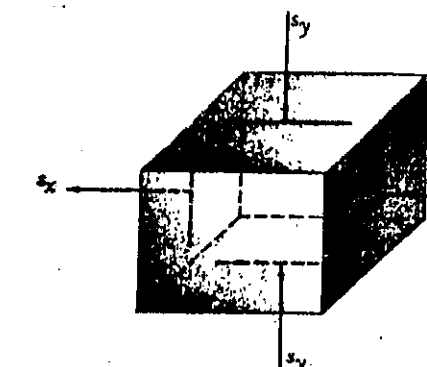
ile ifade edilebilir. (1) ve (2) ifadeleri cebirsel maximum ve minimum değerlerini vermektedir. Burada,

$s_x$ , ele alınan kritik noktadaki kesite normal olarak doğan çekme veya basma gerilmesidir ve eğilme veya eksenel yüklerden veya her ikisinin kombinasyonundan ortaya çıkar.  $s_x$ , çekme gerilmesi olarak ele alınırsa (+) basma gerilmesi olarak ele alınırsa (-) işaretile belirlenir.

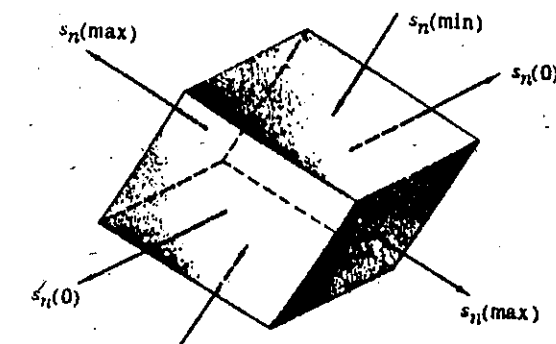
$s_y$ , Aynı kritik noktada ve  $s_x$  gerilmesine normal olan gerilmedir. Bu gerilmede uygun cebirsel işaretle belirlenmelidir.

$r_{xy}$ : Y eksenine normal olan düzlemdeki aynı kritik noktaya etkiyen kesme gerilmesidir. ( $xz$  düzlemi) ve aynı şekilde x eksenine normal olan düzlemdeki kritik noktaya etkiyen kesme gerilmesi olarak da tanımlanabilir. ( $yz$  düzlemi) Bu kesme gerilmesi burulma momentinin, enine yüklerden veya bunların ikisinin kombinasyonundan ortaya çıkabilir. Bu gerilmelerin birbirlerine göre durumları Şekil. 2-1'de görülmektedir.

$s_n(\max)$  ve  $s_n(\min)$  asal gerilmeler olarak tanımlanırlar, birbirleriyle  $90^\circ$  lik açı yapan düzlemlerde oluşur ve bu düzlemlerde asal düzlemler adını alırlar. Bunlar aynı zamanda 0 kesme gerilmesinin ortaya çıktığı düzlemlereidir. İki boyutlu yüklemelerde, üçüncü ana gerilme 0 olmaktadır. Asal gerilmelerin birbirlerine göre durumları Şekil. 2-2'de görülmektedir.



Şekil. 2-1

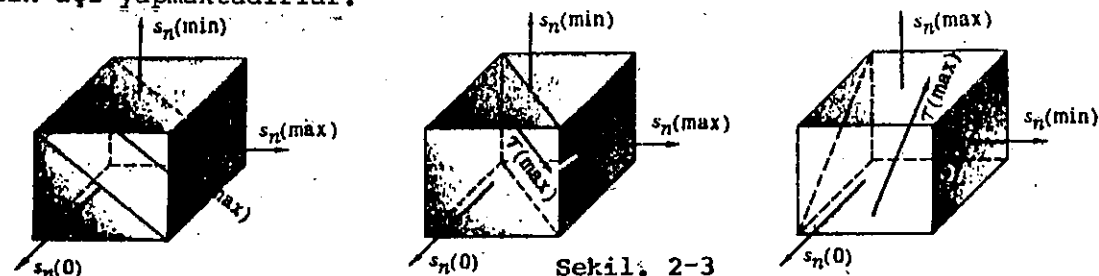


Şekil. 2-2

Araştırılan kritik noktadaki, **MAXİMUM KESME GERİLMESİ**,  $r(\max)$ , üç asal gerilmeden herhangi iki tanesi arasındaki en büyük farkın yarısına eşittir. (0 olan asal gerilmelerden hiçbirisini ihmal etmeyiniz.) Böylece, herhangi bir partikül üzerinde, iki boyutlu gerilmeye neden olan, iki boyutlu yükleme için,

$$r(\max) = \frac{s_n(\max) - s_n(\min)}{2} \quad \text{veya} \quad \frac{s_n(\max) - 0}{2} \quad \text{veya} \quad \frac{s_n(\min) - 0}{2}$$

dır. Netice, hâkikaten numerik olarak en büyük değerdir. Maximum kesme gerilme düzlemleri 2-3'de görüldüğü üzere, asal düzlemlere, asal düzlemlerle  $45^\circ$  lik açı yapmaktadır.



Şekil. 2-3

(1) ve (2) ifadelerinin tatbiki, ancak  $s_y$ ,  $s_x$  ve  $r_{xy}$ 'nin makine elemanındaki kritik nokta için hesaplanması sonradan gerçekleştirilebilir. Kritik noktada tatbik edili yükler maximum kombine gerilme etkilerini üretmektedirler. Bir çubukta, aşağıda verilenler örnek gerilmeler olup, aynı noktaya etkileri takdirde (1) ve (2) no'lu ifadelerle kullanılabilirler.

$s_x$  ve  $s_y = \pm \frac{Mc}{I} \pm \frac{P}{A}$ , Bu gerilmelerin (+) veya (-) işaretini alacağı, bunların çekme veya basma gerilmeleri olmasına bağlı olduğu hatırlanmalıdır.

$r_{xy} = \frac{T}{J} + s_v$ , dairesel kesitler için (Bu gerilmeler paralel oldukları zaman).

$M$  = Eğilme momenti, N m

$c$  = Nötr eksenden dış yüzeye olan mesafe, m

$r$  = Dairesel kesit yarıçapı, m

$I$  = Kesitin atalet momenti,  $m^4$

$P$  = Eksenel yük, N

$A$  = Kesitin alanı,  $m^2$

$T$  = Burulma momenti,  $m^2$

$J$  = Kesitin polar atalet momenti,  $m^4$

$s_v$  = Enine kesme değeri, Pa veya  $N/m^2$

$$s_y = \frac{VQ}{Ib}$$

$V$  = Kesitteki enine kesme yükü, N

$b$  = Kritik noktayı taşıyan kesitin eni, m

$Q$  = Elemanın kesit alanının momenti, nötr eksene göre, kritik noktanın altında veya üstünde,  $m^3$

$s_y(\max) = \frac{4V}{3A}$  Dairesel kesit için, ve tarafsız eksende oluşmaktadır.

$s_y(\max) = \frac{3V}{2A}$  Dörtköşe kesit için, ve tarafsız eksende oluşmaktadır.

$s_n(\max)$  = Maximum cebirsel gerilme,  $N/m^2$

$s_n(\min)$  = Minimum cebirsel gerilme,  $N/m^2$

$\tau(\max)$  = Maximum kesme gerilmesi,  $N/m^2$

Pascal 1m alanda taşınabilen 1 Newton'luk bir gerilme olarak tanımlanabileğinden,  $N/m^2$  ayrıca (Pa) olarak da yazılabilir.

## Çözümlü Problemler

1. Çekme, basma ve kesme gerilmelerinin, eksenden kaçık çeşitli yükleme hallerinden nümerik değerlerini göstermek için, ele alınan, bir uçtan ankastra bir çubuk 250mm boyunda ve 50mm çapındadır. Bu örnekte, bütün hallerde kritik noktalar için  $s_y = 0$  dir.

(a) Sadece eksenel yük hali,

Bu durumda elemandaki bütün noktalarındaki noktalar aynı gerilmelere maruzdurlar.

$$A = \frac{\pi}{4} (50 \times 10^{-3})^2 = 1,96 \times 10^{-3} m^2$$

$$s_x = +\frac{P}{A} = +\frac{15 \times 10^3}{1,96 \times 10^{-3}} = 7,65 \times 10^6 N/m^2$$

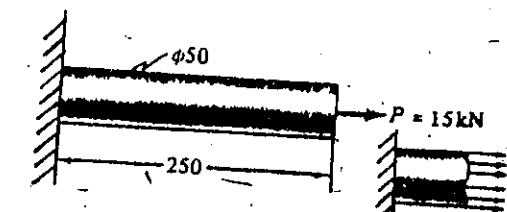
$$T_{xy} = 0$$

$$s_n(\max) = s_x = 7,65 MN/m^2$$

$$\tau(\max) = \frac{1}{4} \times 7,65 = 3,83 MN/m^2$$

(b) Sadece eğilme hali,

A ve B noktaları kritik noktalarıdır.



Şekil. 2-4

$T_{xy} = 0$  A ve B noktalarında da (enine kesme yok)

$$s_x = +\frac{Mc}{J} = +\frac{3 \times 10^3 \times 250 \times 10^{-3} \times 25 \times 10^{-3} \times 64}{\pi(50 \times 10^{-3})^4} = 61,1 MPa$$

$$s_x = -\frac{Mc}{I} = -61,1 MPa \text{ B noktasında}$$

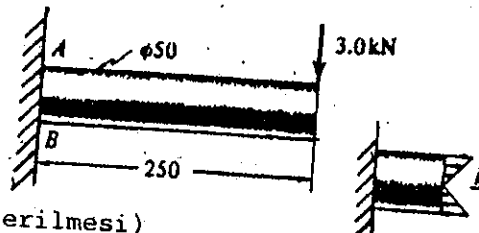
$s_n(\max) = +61,1 MPa$  A noktasında çekme

$s_n(\min) = 0$  A noktasında

$s_n(\max) = 0$  B noktasında

$s_n(\min) = -61,1 MPa$  (B noktasında basma gerilmesi)

$\tau(\max) = \frac{1}{4}(61,1) = 30,6 MPa$  (A ve B noktalarında kesme gerilmesi)



Şekil. 2-5

(c) Sadece Burulma hali,

Bu durumda, kritik noktalar elemanın dış yüzeyi üzerinde ortaya çıkmaktadır.

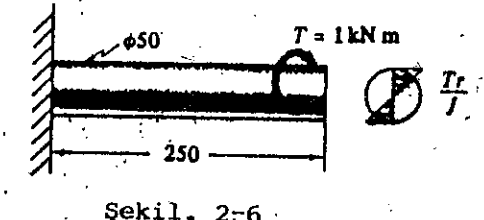
$$s_x = 0$$

$$T_{xy} = \frac{T r}{J} = \frac{1 \times 10^3 \times 25 \times 10^{-3} \times 32}{\pi(50 \times 10^{-3})^4} = 40,7 MN/m^2$$

$$s_n(\max) = 40,7 MN/m^2 \text{ (çekme)}$$

$$s_n(\min) = -40,7 MN/m^2 \text{ (basma)}$$

$$\tau(\max) = 40,7 MN/m^2 \text{ (kesme)}$$



Şekil. 2-6

(d) Eğilme ve Burulma,

A ve B noktaları kritik noktalarıdır.

$$s_x = +Mc/I = 61,1 MN/m^2 \text{ A Noktasında,}$$

$$s_x = -61,1 MN/m^2 \text{ B noksasında}$$

$$T_{xy} = Tr/J = 40,7 MN/m^2 \text{ A ve B noksasında}$$

$$s_n(\max) = \frac{61,1}{2} + \sqrt{(61,1/2)^2 + (40,7)^2} = 81,4 MN/m^2$$

(A noksasında çekme gerilmesi)

$$s_n(\min) = 30,55 - 50,89 = -20,3 MN/m^2 \text{ (A Noktasında basma gerilmesi)}$$

$$s_n(\max) = -30,55 + 50,89 = +20,3 MN/m^2 \text{ (B noksasında çekme gerilmesi)}$$

$$s_n(\min) = -30,55 - 50,89 = -81,4 MN/m^2 \text{ (B noksasında basma gerilmesi)}$$

$$\tau(\max) = \frac{81,4 - (-20,3)}{2} = 50,9 MN/m^2 \text{ (A noksasında kesme gerilmesi)}$$

$$\tau(\max) = \frac{-81,4 + (-20,3)}{2} = -50,9 MN/m^2 \text{ (B noksasında basma gerilmesi)}$$

Şekil. 2-7

A ve B noksalarındaki gerilmelerin şiddetlerinin aynı olduğu izlenmelidir. Dizayn şiddet değerine göre yapılacağından, maximum kesme değeri işaret etmesi yanı sıra, maximum normal gerilme gerilmeleri işaretleri çekme veya basmayı göstermektedir.

(e) Eğilme ve Eksenel yük

$$T_{xy} = 0 \text{ A ve B kritik noktalarında}$$

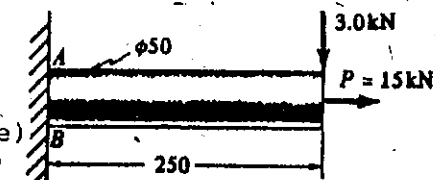
A Noktasında,

$$s_x = +P/A + Mc/I = 7,65 + 61,1 = 68,8 MN/m^2 \text{ (çekme)}$$

$$s_n(\max) = s_x = 68,8 MN/m^2 \text{ (çekme)}$$

$$s_n(\min) = 0$$

$$\tau(\max) = 68,8/2 = 34,4 MN/m^2 \text{ (basma)}$$



Şekil. 2-8

B noksasında

$$s_x = +P/A - Mc/I = 7,65 - 61,1 = -53,5 MN/m^2 \text{ (basma)}$$

$$s_n(\max) = 0$$

$$s_n(\min) = -53,5 MN/m^2 \text{ (basma)}$$

$$\tau(\max) = -53,5/2 = -26,7 MN/m^2 \text{ (kesme)}$$

(f) Burulma ve Eksenel yük.

Kritik noktalar elemanın dış yüzeyinde olusmaktadır.

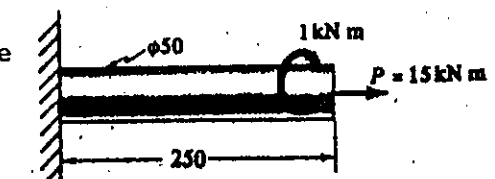
$$s_x = +P/A = 7,65 MN/m^2$$

$$T_{xy} = Tr/J = 40,7 MN/m^2$$

$$s_n(\max) = 7,65/2 + \sqrt{(7,65/2)^2 + 40,7^2} = 44,7 MN/m^2 \text{ (çekme)}$$

$$s_n(\min) = 3,83 - 40,88 = -37,1 MN/m^2 \text{ (basma)}$$

$$\tau(\max) = 40,9 MN/m^2$$



Şekil. 2-9

(g) Eğilme, eksenel yük, ve Burulma,  
Maximum gerilmeler A ve B noktalarında  
ortaya çıkmaktadır.

A noktasında,

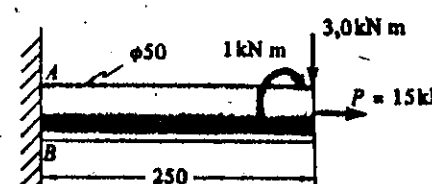
$$\sigma_x = +Mc/I + P/A = 61,1 + 7,65 = 68,8 \text{ MN/m}^2$$

$$\tau_{xy} = Tr/J = 40,7 \text{ MN/m}^2$$

$$\sigma_n(\max) = 68,8/2 + \sqrt{34,4^2 + 40,7^2} = 34,4 + 53,3 = 87,7 \text{ MN/m}^2 \text{ (çekme)}$$

$$\sigma_n(\min) = 34,4 - 53,3 = -19 \text{ MN/m}^2 \text{ (basma)}$$

$$\tau(\max) = 53,3 \text{ MN/m}^2 \text{ (kesme)}$$



Şekil. 2-10

B noktasında

$$\sigma_x = -61,1 + 7,65 = -53,5 \text{ MN/m}^2 \text{ (basma)}$$

$$\tau_{xy} = 40,7 \text{ MN/m}^2$$

$$\sigma_n(\max) = -53,5/2 + \sqrt{(53,5/2)^2 + 40,7^2} = -26,8 + 48,7 = 21,9 \text{ MN/m}^2 \text{ (çekme)}$$

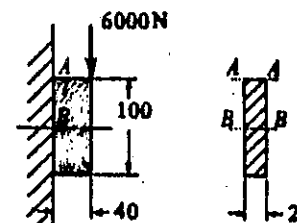
$$\sigma_n(\min) = -26,8 - 48,7 = -75,5 \text{ MN/m}^2 \text{ (basma)}$$

$$\tau(\max) = 48,7 \text{ MN/m}^2 \text{ (kesme)}$$

2. 40mm uzunluğunda ve 20 x 100mm dikdörtgen kesitindeki bir kiriş 6000 N luk yük taşımaktadır. Maximum kesme gerilmesini hesaplayınız. Adı geçen gerilme hangi noktada oluşmaktadır?

**Çözüm :**

Eğilme momentinden dolayı maximum kesme gerilmesi A-A boyunca veya enine kesme yükünden dolayı B-B hattı üzerinde bulunan noktalarda oluşmaktadır.



Şekil. 2-11

A-A üzerindeki noktalarda,

$$\tau(\max) = \frac{1}{2} \frac{Mc}{I} = \frac{(6000)(0,04)(0,05)}{2(0,02)(0,1)^3/12} = 3,6 \text{ MN/m}^2 \text{ (kesme)}$$

B-B üzerindeki noktalarda,

$$\tau(\max) = \frac{3}{2} \frac{V}{A} = \frac{3(6000)}{2(0,02)(0,1)} = 4,5 \text{ MN/m}^2 \text{ (kesme)}$$

Böylece maximum kesme gerilmesinin enine kesme yükünden dolayı ortaya çıktığı belirlenmiş olur ve bu kesme gerilmesi B-B üzerinde oluşur.

$$\sigma_y = 1200 \text{ N/m}^2$$

3. Herhangi bir makine elemanı üzerinde alınan bir kritik noktadaki çift eksenli yükten dolayı  $\sigma_x$ ,  $\sigma_y$  ve  $\tau_{xy}$  gerilmeleri ortaya çıkmaktadır. Maximum ve minimum normal gerilimlerle maximum kesme gerilmesini hesaplayınız.

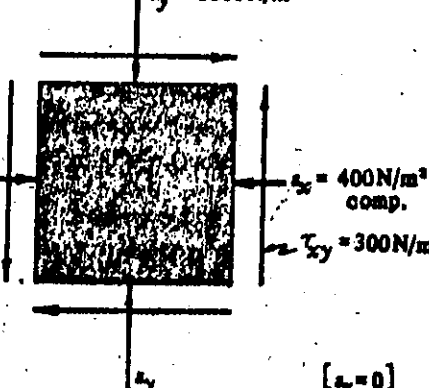
**Çözüm :**

$$\sigma_n(\max) = \frac{-400 - 1200}{2} + \sqrt{\left(\frac{-400 - (-1200)}{2}\right)^2 + (300)^2} = -300 \text{ N/m}^2 \text{ (basma)}$$

$$\sigma_n(\min) = -1300 \text{ N/m}^2 \text{ (basma)}$$

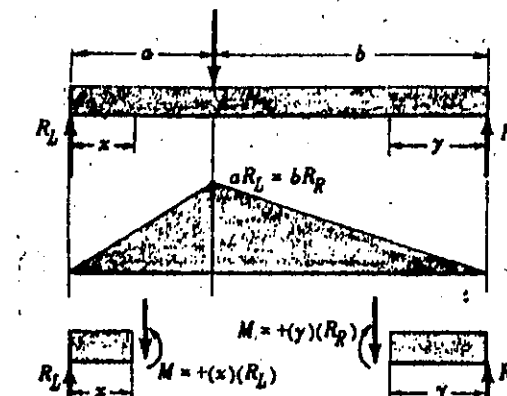
$$\tau(\max) = \frac{\sigma_n(\min) - 0}{2} = -650 \text{ N/m}^2$$

zira üçüncü asal gerilme = 0.

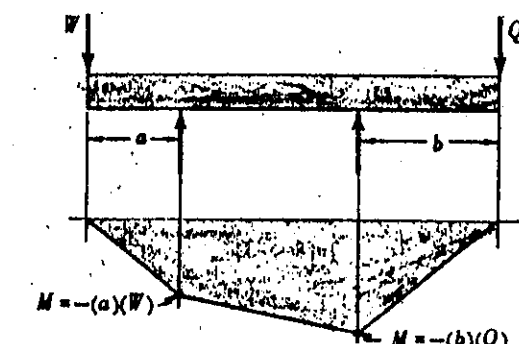


Şekil. 2-12

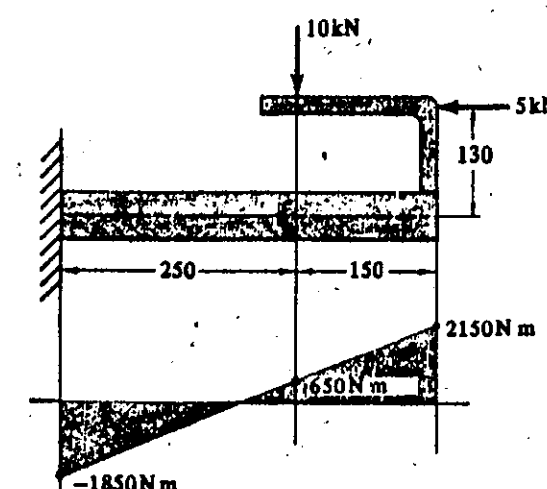
4. Aşağıdaki makine parçaları için eğilme momenti diyagramını çiziniz.



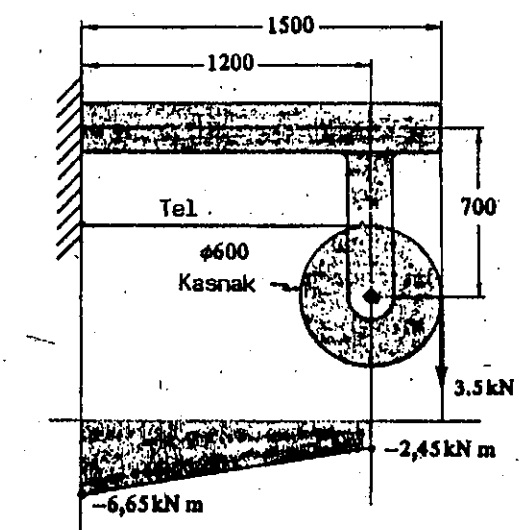
Şekil. 2-13



Şekil. 2-14



Şekil. 2-15



Şekil. 2-16

5. Şekil. 2-17'de görüldüğü üzere, 50mm çapındaki bir çelik çubuk 9kN luk yükü taşımaktadır. Buna ilave olarak 100N m lik bir burulma momentide tatbik edilmektedir. Maximum çekme ve kesme gerilmeleri hesaplayınız.

**Çözüm :**

$$\sigma_y = 0$$

$$I = \pi d^4/64 = 30,68 \times 10^{-8} \text{ m}^4$$

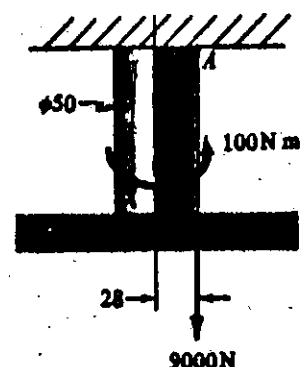
$$J = \pi d^4/32 = 61,36 \times 10^{-8} \text{ m}^4$$

$$\sigma_x = +\frac{P}{A} + \frac{Mc}{I} = \frac{9000}{1,963 \times 10^{-3}} + \frac{9000 \times 0,028 \times 0,025}{30,68 \times 10^{-8}} = 25,12 \text{ MN/m}^2$$

$$\tau_{xy} = \frac{Tr}{J} = \frac{100 \times 0,025}{61,36 \times 10^{-8}} = 4,07 \text{ MN/m}^2$$

$$\sigma_n(\max) = \frac{25,12}{2} + \sqrt{12,56^2 + 4,07^2} = 25,8 \text{ MN/m}^2 \text{ (çekme)}$$

$$\tau(\max) = \sqrt{12,56^2 + 4,07^2} = 13,2 \text{ MN/m}^2 \text{ (kesme)}$$

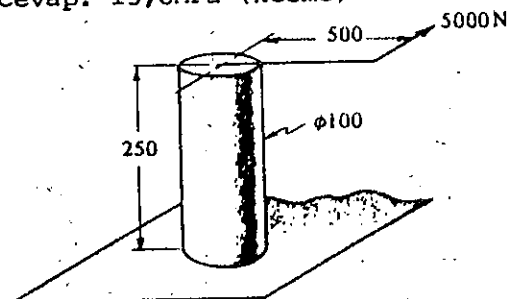


Şekil. 2-17



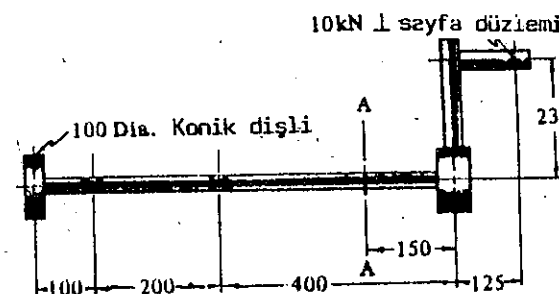
17. Şekil. 2-29'da görülen elemanın içi maximum kesme gerilmesini hesaplayınız.

Cevap.  $13,6 \text{ MPa}$  (kesme)



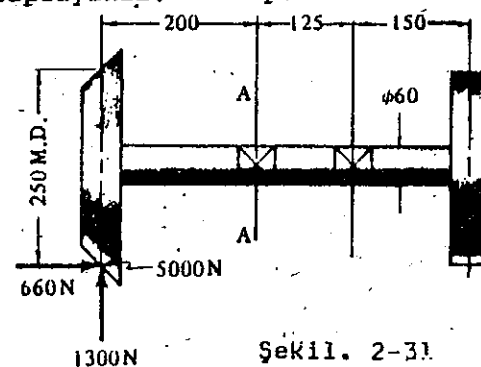
Şekil. 2-29

18. Şekil. 2-30'da görüldüğü üzere, aşağıya alınmış bir kranka 10kN luk bir yük tətbiq edilmektedir. Çapın 50mm olduğu A-A kesitindeki maximum kesme gerilmesini hesaplayınız. Cevap.  $s_x = 224 \text{ MN/m}^2$ ,  $\tau_{xy} = 93,7 \text{ MN/m}^2$ ,  $(\tau_{\max}) = 146 \text{ MN/m}^2$

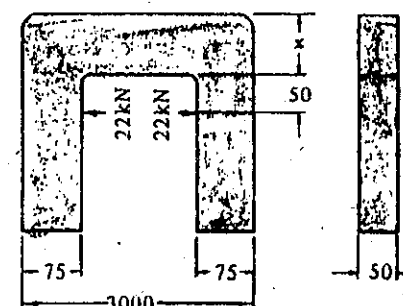


Şekil. 2-30

19. Bir konik dişli düzende etkili toplam kuvvetin üç bileşeni karşılıklı olarak birbirlerine diktir. Bunlardan 5000N luk olanı kağıt düzlemine diktir, ve Şekil. 2-31'de görüldüğü gibi dişlinin yarıçapı boyunca etki etmektektir. A-A kesitindeki maximum kesme gerilmesiyle eğilme momentini hesaplayınız. Cevap.  $M = 1020 \text{ N m}$ ,  $(\tau_{\max}) = 28,2 \text{ MN/m}^2$



Şekil. 2-31



Şekil. 2-32

20. Çelik bir konsola ait boyutlar Şekil. 2-32'de gösterilmiştir. Konsolu 22kN luk iki yükün etkisi altında olduğu görülmektedir. Konsolu ağırlığıyla, herhangi bir gerilme birikimi ihmal edilecektir. Konsoldaki maximum çekme gerilmesinin  $35 \text{ MN/m}^2$  yi aşmaması istenecek olursa,  $x$  için minimum değer ne olabilir? Cevap. 91,5mm

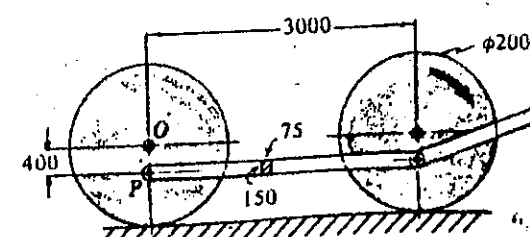
21. Bir lokomotifin biyel kolu  $90 \text{ kg/m}$  ağırlığındadır. OP, krank boyu  $400 \text{ mm}$  ve çeviricinin yarıçapı  $1 \text{ m}$  dir. Makinenin hızı  $33,5 \text{ m/sn}$ , ve beher tekerleğe düşen itici güç  $4,5 \text{ kN}$  dur. Biyel kolu yan yüklerinden dolayı ortaya çıkan maximum normal gerilme ve maximum kesme gerilmesi ne olur. Çubukun kesiti  $75 \text{ mm} \times 150 \text{ mm}$  dir. Cevap.

Çubukun ivmesi  $= 449 \text{ m/s}^2$  yukarıya doğru  
Çubuktaki atalet kuvveti  $= 121 \text{ kN}$  aşağıya doğru  
Çubuktaki eksenel yük  $= 113 \text{ kN}$  (basma)

$s_n(\max) = 155 \text{ MN/m}^2$  (çekme)

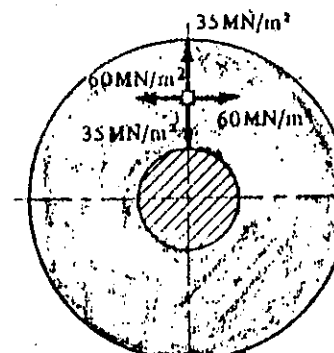
$s_n(\min) = -175 \text{ MN/m}^2$  (basma)

$\tau(\max) = 87,8 \text{ MN/m}^2$  (kesme)

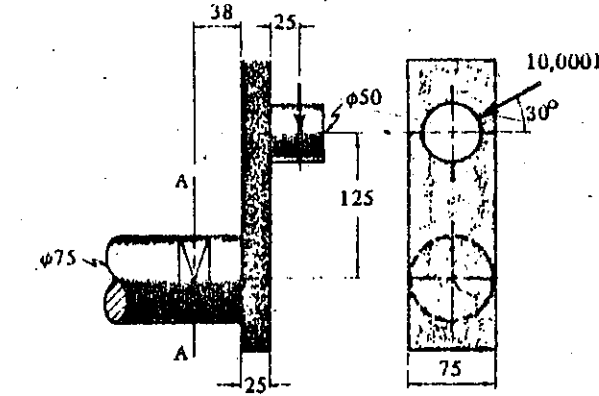


Şekil. 2-33

22. Sıkı geçmeden dolayı içi boş bir milde gerilimelerin  $35 \text{ MN/m}^2$  ve  $60 \text{ MN/m}^2$  lik çekme olduğu görülmüyor. Şekil. 2-34. Adı geçen nokta için maximum kesme gerilmesini hesaplayınız. Cevap.  $30 \text{ MN/m}^2$  (kesme)



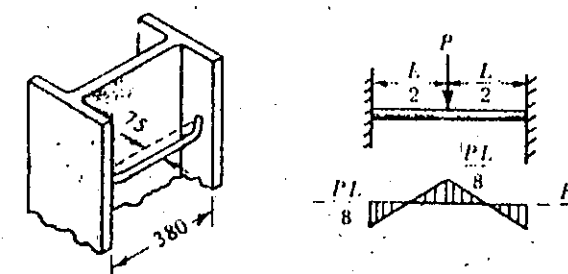
Şekil. 2-34



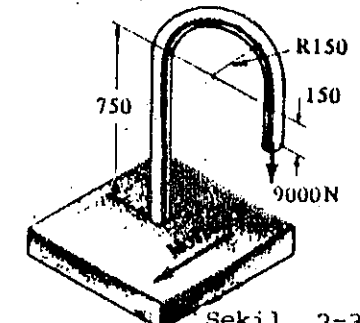
Şekil. 2-35

23. Şekil. 2-35'de görülen kranktaki A-A kesiti için maximum normal ve maximum kesme gerilmesini hesaplayınız. 10kN luk yükün tamamının krank pimine etki yaptığı düşünülmüştür. Bu problemdede enine kesmenin etkisini ihmal ediniz. Cevap.  $s_x = 21,2 \text{ MN/m}^2$ ,  $\tau_{xy} = 13,3 \text{ MN/m}^2$ ,  $(\tau_{\max}) = 17 \text{ MN/m}^2$  (kesme)  $s_n(\max) = 27,7 \text{ MN/m}^2$

24. Şekil. 2-36'da görüldüğü üzere,  $25 \text{ mm}$  çapındaki merdiven basamağı bir I-kirişinin yan cıdarlarına içten kaynak edilmişdir. Ayak ucuna yeterli mesafe bırakabilmek için, basamak dışa doğru, yatay düzlem içinde  $75 \text{ mm}$  kadar bükülmüştür. Kirişin yan kenarlarının sabit uç gibi kabul edip,  $785 \text{ N}$  gelen bir adamın ayagının adı geçen germanin tam ortasında bulunması halinde maximum kesme gerilmesini hesaplayınız. Cevap.  $(\tau_{\max}) = 15,5 \text{ MPa}$ .



Şekil. 2-36



Şekil. 2-37

25. Şekil. 2-37'de görüldüğü üzere  $900 \text{ kg}$  lik bir yük bükülmüş bir çubuktan asılmıştır. Bunun  $2,44 \text{ m/s}^2$  lik ivmeyle hareket eden bir platformla taşıdığı söylenmektedir. Çubuk tabanındaki maximum kesme gerilmesinin  $70 \text{ MPa}$  i aşamayacağı düşünülperek, gerekli çubuk capını hesaplayınız. Cevap.  $60 \text{ mm}$

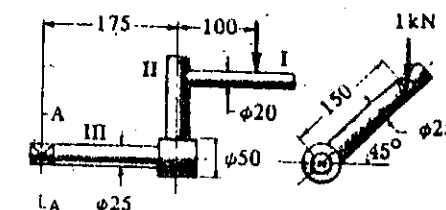
26. Şekil. 2-38'de görülen bir krank, arzu edilen pozisyonda,  $1 \text{ kN}$  luk direnci karşılayacak şekilde silindirik parçalar dan kaynakla birleştirilmiştir.

(a) A-A kesitindeki maximum normal ve kesme gerilimelerini hesaplayınız.

(b) I, II ve III no'lu parçalardaki maximum kesme gerilimelerini hesaplayınız.

Cevap: (a)  $s_n(\max) = 186 \text{ MN/m}^2$ ,  $(\tau_{\max}) = 96 \text{ MN/m}^2$

(b) I parça için,  $55,7 \text{ MN/m}^2$ , II parça için  $43,5 \text{ MN/m}^2$ , III parça için,  $96 \text{ MN/m}^2$



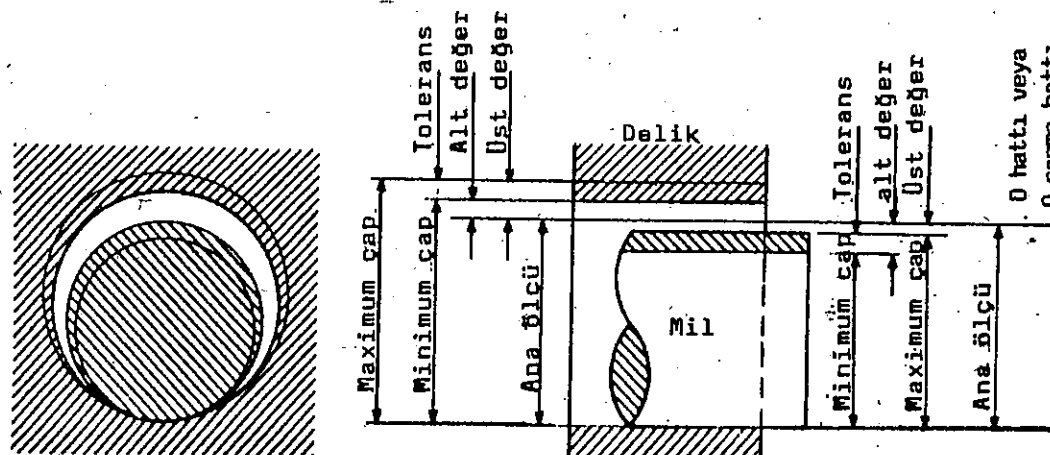
Şekil. 2-38

# 3

## Geçmeler ve Toleranslar

Bir makineyi meydana getiren elemanlarının eşlenmelerinde, uygun montaj yapılabilmesi için geçme türünün belirtilmesi gereklidir. Zira, makine parçalarının çok sayıda imâlatlarında tamamıyla aynı ölçüde elde edilmeleri imkansızdır. Dolayısıyla, sistemler küçük boyutsal değişimleri karşılayacak şekilde tasarlanırlarki bu türdeki bir fedakârlık ana fonksiyonda herhangi bir aksi tesir yaratmaz.

Ana ölçü, teorik bir değer olup dizayn yapan kişi tarafından düşünülmeli- dir. Bu ana ölçüyü toleranslar tatbik edilerek eşleşen parçalarda son ölçü değerlerine ulaşmak mümkün olabilmektedir. Ölçü limitleri ise, parça için müsaade edilen maximum ve minimum ölçülerdir. Tolerans, parça ölçüsünde müsaade edilen maximum değişikliktir. Açıklık, eşleşmiş parçalarda hakiki boyut farkı olarak bilinir. Pay, eşleşen parçaların ana boyutları arasındaki fark- dır. Tolerans, parçanın ana ölçünün altında ve üstünde bir değer olabilir. Örneğin,  $25.000 \pm 0,010$ , veya parça ana ölçüden büyük veya küçük olabilir. Fakat her ikisi birlikte olamaz. Örneğin,  $25.000^{+0,000}_{-0,010}$ . Delik esasındaki sistemde minimum delik çapı nominal boyuttur, ve seçilecek delikler için limit detayları Tablo III-1'de verilmiştir. Miller için de limit değerler Tablo III-2'de verilmiştir.



Şekil. 3-1. Limitleri ve geçmeleri tanımlayan Ana Terimler

TABLO. III-I DELİKLER İÇİN TOLERANS LİMİT DEĞERLERİ  
(Üst ve alt sapma değerleri)

ES = Üst sapma  
EI = Alt sapma

Birim = 0,001

Nominal ölçü	Over	H7		H8		H9		H11		
		Up to and including	ES +	EI -	ES +	EI -	ES +	EI -	ES +	EI -
mm	mm	3	10	0	14	0	25	0	60	0
3	6	12	0	18	0	30	0	75	0	
6	10	15	0	22	0	36	0	90	0	
10	18	18	0	27	0	43	0	110	0	
18	30	21	0	33	0	52	0	130	0	
30	50	25	0	39	0	62	0	160	0	
50	80	30	0	46	0	74	0	190	0	
80	120	35	0	54	0	87	0	220	0	
120	180	40	0	63	0	100	0	250	0	
180	250	46	0	72	0	115	0	290	0	
250	315	52	0	81	0	130	0	320	0	
315	400	57	0	89	0	140	0	360	0	
400	500	63	0	97	0	155	0	400	0	

TABLO. III-2 MILLER İÇİN TOLERANS LİMİT DEĞERLERİ

es: Üst sapma

(Üst ve alt sapma değerleri)

ei: Alt sapma

Birim = 0,001

Nominal ölçü	Over	cl1		cl10		e9		f7		g6		h6		k6		n6		p6		m6		
		To	es	el	es	el	es	el	es	el	es	el	es	el	es	el	es	el	es	el	es	el
mm	mm	3	60	120	20	60	14	39	6	16	2	8	0	6	6	0	10	4	12	6	20	14
3	6	70	145	30	78	20	50	10	22	4	12	0	8	9	1	16	8	20	12	27	19	
6	10	80	170	40	98	25	61	13	28	5	14	0	9	10	1	19	10	24	15	32	23	
10	18	95	205	50	120	32	75	16	34	6	17	0	11	12	1	23	12	29	18	39	28	
18	30	110	240	65	149	40	92	20	41	7	20	0	13	15	2	28	15	35	22	48	35	
30	40	120	280	80	180	50	112	25	50	9	25	0	16	18	2	33	17	42	26	59	43	
40	50	130	290	80	180	50	112	25	50	9	25	0	16	18	2	33	17	42	26	59	43	
50	65	140	330	100	220	60	134	30	60	10	29	0	19	21	2	39	20	51	32	72	53	
65	80	150	340	100	220	60	134	30	60	10	29	0	19	21	2	39	20	51	32	78	59	
80	100	170	390	120	260	72	159	36	71	12	34	0	22	25	3	45	23	59	37	93	71	
100	120	180	400	120	260	72	159	36	71	12	34	0	22	25	3	45	23	59	37	101	79	
120	140	200	450	145	305	85	185	43	83	14	39	0	25	28	3	52	27	68	43	117	92	
140	160	210	460	145	305	85	185	43	83	14	39	0	25	28	3	52	27	68	43	125	100	
160	180	230	480	180	240	530	170	355	100	215	50	96	15	44	0	29	33	4	60	31	79	50
200	225	260	550	170	355	100	215	50	96	15	44	0	29	33	4	60	31	79	50	159	130	
225	250	280	570	190	400	110	240	56	108	17	49	0	32	36	4	66	34	88	56	169	140	
250	280	300	620	190	400	110	240	56	108	17	49	0	32	36	4	66	34	88	56	190	158	
280	315	330	650	210	440	125	265	62	119	18	54	0	36	40	4	73	37	98	62	202	170	
315	355	360	720	210	440	125	265	62	119	18	54	0	36	40	4	73	37	98	62	226	190	
355	400	400	760	230	480	135	290	68	131	20	60	0	40	45	5	80	40	108	68	244	208	
400	450	440	840	230	480	135	290	68	131	20	60	0	40	45	5	80	40	108	68	272	232	
450	500	480	880	230	480	135	290	68	131	20	60	0	40	45	5	80	40	108	68	292	252	

TABLO III-3

GEÇME TİPLİ	MIL TOL.	DÖLÜK TELORANSI				KISA TANIM	ÖRNEKLER
		H7	H8	H9	H11		
Boşluklu geçme	c11					Geniş hareketli geçme	Bazı tarihi aletler
	d10					Hareketli geçme	Solmasta kaçeler
	e9					Hareketli geçme	Aynı hatta çeşitli yataklar
	i7					Dar hareketli geçme	Pompa ve dişli kutusu gibi yataklar
	g6					Dar hareketli geçme	Hassas yataklar
	h6					Kıymetli geçme	Hareketsiz montajlar
Ara geçme	j6					Sürtünmeli geçme	
	k6					Tutuk geçme	
Sıkı geçme	n6					Sıkı geçme	
	p6					Cok sıkı geçme	
	s6					Plastik deformasyon geçme	

ARAGEÇME GEÇMELERDEN DOLAYI ORTAYA ÇIKAN GERİMLER, birbirine geçen parçaların kalın cidarlı silindirler gibi kabul edilmeleriyle aşağıdaki formül kullanılarak hesaplanabilir. Şekil. 3-2.

$$p_c = \frac{\delta}{d_c \left[ \frac{d_c^2 + d_l^2}{E_l(d_c^2 - d_l^2)} + \frac{d_o^2 + d_c^2}{E_o(d_o^2 - d_c^2)} - \frac{\mu_l}{E_l} + \frac{\mu_o}{E_o} \right]}$$

Burada,

$p_c$  = Temas noktasındaki basınc N/m<sup>2</sup>  
 $\delta$  = Toplam boşluk

$d_l$  = İçdeki elemanın iç çapı, m

$d_c$  = Temas noktasının çapı, m

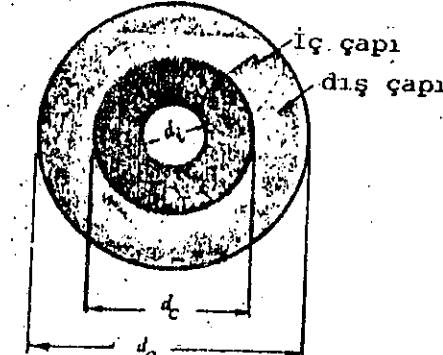
$d_o$  = Dıştaki elemanın dış çapı, m

$\mu_o$  = Dış eleman için poison oranı

$\mu_l$  = İç eleman için poison oranı

$E_o$  = Dış elemanın elastisite modülü, N/m<sup>2</sup>

$E_l$  = İç elemanın elastisite modülü, N/m<sup>2</sup>.



Şekil. 3-2.

İç ve dış elemanı aynı malzemeden imal edilmişse, yukarıdaki ifade,

$$p_c = \frac{\delta}{2d_c^3(d_o^2 - d_l^2) / E(d_c^2 - d_l^2)(d_o^2 - d_c^2)}$$

şekline indirgenir.  $p_c$  tayin edildikten sonra, çeşitli yüzeylerde hakiki tegetsel gerilmeler Lame ifadesine göre, kopmadaki maximum kesme gerilmesindeki kullanım için, aşağıdaki şekilde hesaplanabilir,

$d_o$  daki dış yüzeyde,

$$s_{lo} = \frac{2p_c d_c^2}{d_o^2 - d_c^2}$$

Dış eleman için,  $d_c$  deki yüzeyde

$$s_{rc} = p_c \left( \frac{d_o^2 + d_c^2}{d_o^2 - d_c^2} \right)$$

İç eleman için,  $d_c$  deki yüzeyde

$$s_{rci} = -p_c \left( \frac{d_c^2 + d_l^2}{d_c^2 - d_l^2} \right)$$

$d_l$  deki yüzeyde

$$s_{li} = \frac{-2p_c d_c^2}{d_c^2 - d_l^2}$$

Değişik yüzeylerdeki eşdeğer tegetsel gerilmeler, Birnie ifadesine ve e, maximum zorlama teorisine göre, aşağıdaki ifadelerle bulunabilir.

$$\text{dış eleman için, } d_o \text{ daki yüzeyde, } s'_{lo} = \frac{2p_c d_c^2}{d_o^2 - d_c^2}$$

$$\text{Dış eleman için, } d_c \text{ deki yüzeyde, } s'_{rc} = p_c \left( \frac{d_o^2 + d_c^2}{d_o^2 - d_c^2} + \mu_o \right)$$

$$\text{İç eleman için, } d_c \text{ deki yüzeyde, } s'_{rci} = -p_c \left( \frac{d_c^2 + d_l^2}{d_c^2 - d_l^2} - \mu_l \right)$$

$$d_l \text{ deki yüzeyde } s'_{li} = \frac{-2p_c d_c^2}{d_c^2 - d_l^2}$$

KUVVETLER VE TORKLAR.  $F_a$ , maximum eksenel kuvveti, geçmede geçerli kuvvet olmak üzere, dış elemanın kalınlığı, dış elemanın boyu, eşleyen elemanların çapları arasındaki farklar ve sürtünme katsayısı ile doğru orantılıdır. Bu kuvvet newton cinsinden yazılacak olursa, iyi bir yaklaşımla,

$$F_a = f \pi d L p_c$$

şeklinde olur. Göbek ve mil arasında kayma olmaksızın sıkı geçmede, aktarılan tork, ile bulunabilir.

$$T = \frac{f p_c \pi d^2 L}{2}$$

Burada,

$F_a$  = Eksenel yük, N

$T$  = Aktarılan Tork, Nm

$d$  = Nominal mil çapı, m

$f$  = Sürtünme katsayısı,

$L$  = Dış elemanın boyu, m

$p_c$  = İki eleman arasındaki temasda ortaya çıkan basınc, N/m<sup>2</sup>

SIKI GEÇMELERİN MONTAJI çoğu zaman göbeğin ısıtılmasıyla kolaylaştırılır. Göbekte iç çapındaki artış için gerekli  $\Delta T$  sıcaklık farkı

$$\Delta T = \frac{\delta}{\alpha d_l}$$

ile hesaplanır.

$\delta$  = Capsal şekil değiştirme, m

$\alpha$  = Lineer genleşme katsayısı, K<sup>-1</sup>

$\Delta T$  = Sıcaklıktaki değişim, K

$d_l$  = deliğin genleşmeden önceki ilk çapı, m

Göbeğin ısıtılmamasına alternatif olarak, milin kuru buzla soğutulması gösterilebilir.

## Çözümlü Problemler

1. Delik sisteme göre, eşlenmiş parçalar aşağıdaki ölçüler için, maximum boşluk delik toleransı ve mil toleransı nedir? (H11-delik, c11 mil, 34.000 ana ölçü). Maximum metal limitinin daima üstte olduğunu hatırlayınız.

**Çözüm:**

Tablo. III-1 ve III-2'ye başvurunuz.

Delik	34.000mm	mil	34.880mm
	34.160mm		33.720mm

$$\text{Maximum boşluk} = 34.160 - 33.720 = 0.440\text{mm}$$

Delik	0.160mm	Mil	33.720mm
-------	---------	-----	----------

2.  $\phi 20\text{mm}$  çapındaki bir mil pompa yatağı içinde dönmektedir. Uygun geçme toleransı tavsiye ediniz. Delik standardına göre, mil ve yatağı boyutlanınız.

**Çözüm :** H8-f7 yi seçiniz. (Bu kullanım için Tablo. III-3'e başvurunuz)

Delik	50.025mm	Mil	50.042mm
	50.000mm		50.026mm

3.  $\phi 50\text{mm}$  lik mil H7 delik ve p6 mil geçme sistemini gerektirmektedir. Esas delik standardına göre uygun delik ve mil ölçülerini belirtiniz. Maximum ve minimum boşluk değerleri nelerdir?

**Çözüm :**

Delik	50.025mm	Mil	50.042mm
	50.000mm		50.026mm

$$\text{Max. boşluk} = 50.042 - 50.000 = 0.042\text{mm}$$

$$\text{Min. boşluk} = 50.026 - 50.026 = 0.001\text{mm}$$

4. (a) Kaygan geçme ile sıkı geçme arasındaki montaj farklılıkları neler olabilir? (b) 0,040mm bir boşluk istendiğinde, aşağıdaki gruppardan hangisine her araba tekerleği için uygun aks seçilebilir?

Tekerlek	A	B	C
Delik çapı	75.010	75.015	75.000

Aks	A'	B'	C'
Çap	75.040	75.055	75.050

**Çözüm:**

- (a) Kaygan geçmeye nazaran sıkı geçme daha fazla önem gerektirir.
- (b) Uygun montaj için, A' C ile eşleşmeli, B' ile B eşleşmeli, C' ile A ile eşleşmelidir.

5. Mil ve Delik için aşağıdakiler için gereken ölçüler veriniz. (a) 12mm lik elektrik motoru burcu, (b) 200mm lik mil için geçme, (c) bir yol greyderinin kaldırma mekanizmasında 50mm lik burç.

**Çözüm :**

- (a) H8-f7 elektrik motoru için uygun olacaktır.

Delik çapı = 12.000 den 12.027mm ye ve Mil çapı = 11,966 den 11.984mm ye kadar.

- (b) H7-p6 uygun olacaktır.

Delik ölçüler = 200.000 den 200.046mm ye ve Mil ölçüler = 200.050 den 200.079mm ye kadar.

- (c) H11-c11 uygun olacaktır.

Delik ölçüler = 50.000 - 50.160mm Mil ölçüler = 49.710 - 49.870mm

6. Genellikle göbek dizaynında göbek dış çapı delik çapının iki katı kadar alınır. Bundaki ana gaye sıkı geçmede gerilmelerin ne kadar büyük ve küçük olabileceklerini görebilmektir. 25mm lik içi dolu bir mil için, 50mm çapındaki bir göbekte maximum ve minimum değerlerde presde geçme kullanılması halinde, hakiki maximum ve minimum tegetsel gerilmeler ne olacaktır. Mil ve göbek çelikten mamüldür. Poisson oranı 0,3 olarak alınabilir.

**Çözüm :**

$$d_i = 0, d_c = 0,025, d_o = 0,050\text{m}$$

Önce temas yüzeyindeki radyal basıncı hesaplayınız,  $p_c$ . Göbek ve mil aynı malzemeden mamüldür.

$$p_c = \frac{\delta E(d_c^2 - d_i^2)(d_o^2 - d_c^2)}{2d_c^2(d_o^2 - d_i^2)} = \frac{\delta(200 \times 10^9)(0,025^2 - 0)(0,05^2 - 0,025^2)}{2(0,025^3)(0,05^2 - 0)} = 3 \times 10^{12}\delta$$

Sonra, Lame ifadelerini kullanarak, dış elemandaki temas yüzeyinde tegetsel gerilmeyi hesaplayınız.

$$s_{tco} = p_c \frac{d_o^2 + d_c^2}{d_o^2 - d_c^2} = \delta(3 \times 10^{12}) \frac{0,05^2 + 0,025^2}{0,05^2 - 0,025^2} = 5 \times 10^{12}\delta$$

H7 geçmesi için, delik ölçüler, 25.000 - 25.021 ve mil ölçüler 25.035 - 25.048  $\delta(\max) = 48 \times 10^{-6}\text{ m}$ ,  $\delta(\min) = 14 \times 10^{-6}\text{ m}$  and

$$s_{tco}(\max) = (48 \times 10^{-6})(5 \times 10^{12}) = 240 \text{ MN/m}^2$$

$$s_{tco}(\min) = (14 \times 10^{-6})(5 \times 10^{12}) = 70 \text{ MN/m}^2$$

7. 150mm çapındaki bir çelik mil, 250mm uzunluğundaki ve 300mm dış çapındaki bir göbeğe presde geçirilecektir. Maximum tegetsel gerilme 35MPa.  $E=200\text{CPa}$  (çelik için) ve dökme demir için 100CPa.  $\mu = 0,3$  çelik ve dökme demir için.  $f = 0,12$ .

- (a) Maximum kapsal şekil değiştirmeyi hesaplayınız.

- (b) Göbeği mile presle geçirilemek için gerekli eksenel  $F_a$  kuvvetini hesaplayınız.

- (c) Bu geçme türü ile aktarılan tork ne kadardır?

**Çözüm :**

- (a) Dış eleman için, tegetsel maximum gerilme  $d_c$  yüzeyi üzerinde olmaktadır.

$$s_{tco} = p_c \left( \frac{d_o^2 - d_c^2}{d_o^2 + d_c^2} \right), 35 \times 10^6 = p_c \left( \frac{0,3^2 + 0,15^2}{0,3^2 - 0,15^2} \right), p_c = 21 \text{ MPa}$$

yi kullanarak,

$$p_c = \frac{\delta}{d_c \left[ \frac{d_c^2 + d_i^2}{E_i(d_c^2 - d_i^2)} + \frac{d_o^2 + d_c^2}{E_o(d_o^2 - d_c^2)} - \frac{\mu_i}{E_i} + \frac{\mu_o}{E_o} \right]}$$

$$21 \times 10^6 = \frac{\delta}{0,15 \left[ \frac{0,15^2 + 0}{0,15^2(200)} + \frac{0,3^2 + 0,15^2}{(0,3^2 - 0,15^2)(100)} - \frac{0,3}{200} + \frac{0,3}{100} \right]}$$

$\delta = 0,073\text{mm}$  (Müsaade edilebilen maximum şekil değiştirme)

$$(a) F_a = \pi d L p_c = 0,12\pi(0,15)(21 \times 10^6) = 2971\text{N}$$

$$(b) T = F_a \pi d^2 L / 2 = F_a (d/2) = 297(0,15/2) = 22,3 \text{ kN.m}$$

8. Dökme çelik bir göbekte minimum çapı 100mm olup, maximum çapı 100.150mm olan bir mile çakılması düğünülmektedir. Oda sıcaklığını  $21^{\circ}\text{C}$  kabul edip lineer genleşme katsayısını  $11.34 \times 10^{-6}$  alıp, çapsal açılığın 0,05mm olması istendiğinde, montajın şekil değiştirme olmadan gerçekleşebilmesi için, göbeğin hangi sıcaklığa kadar ısıtılması gereğini hesaplayınız.

**Cözüm :** Göbek çapının 100.200mm'ye kadar genişlemesi gereklidir.

$$\Delta T = \frac{0.2}{11.34 \times 10^{-6} \times 100} = 176\text{K.}$$

Sonrada göbeğin ısıtılacağı sıcaklık bulunursa,  $176 + 21 = 195^{\circ}\text{C}$

Sıcaklık farkı için (Kelvin) K, ve sıcaklık okunmasında ise  $\text{n}^{\circ}\text{C}$  (derece celsius) olduğu bilinmelidir.

## Tamamlayıcı Problemler

9. Aşağıdaki eşleşmiş parçalar için, milimetre cinsinden, maximum boşluk, delik toleransı ve mil toleransı nedir? Hesaplayınız.

Delik 44.500 Mil 43.975  
44.515 43.957 Cev. 0.558, 0.015, 0.018mm

10. H7-p6 toleransı sağlamak üzere, 150mm çapındaki bir mil ile göbek için eşleşmedeki doğru boyutlar neler olabilir. Hesaplayınız.

Cev. Delik 150.000 Mil 150.068:  
150.040 150.043 mm

11. 75mm çapındaki bir mile sıkı geçme yapılacaktır. Delik ve mil için uygun boyutları tayin ediniz.

Cev. H7, s6 Delik 75.000 Mil 75.078  
75.030 75.059

12. 450mm dış çapında ve 250mm iç çapındaki bir çelik göbek, 250mm çapındaki çelik bir mile sıkı geçirilecektir. Temas yüzeyindeki teğetsel gerilme 100MPa dır. Göbek boyu 300mm dır. (a) Temas yüzeyindeki radyal gerilme nedir? (b) Sürtünme katsayısını 0,18 olarak ne kadarlık bir tork aktarılacağını bulunuz. Cevap.  $p_c = 52,8\text{ MPa}$ ,  $T = 280\text{kN m}$ .

13. 50mm ve 28mm iç çapındaki bir çelik göbek, 28mm çapındaki bir mile sıkı olarak presle geçirilmiştir.

- (a) Eşleşen parçalar için tolerans, şekil değiştirme ve boyutlar nasıl olacaktır?  
(b) Maximum radyal yüzey gerilmesi ne olur?  
(c) Temas yüzeyindeki hakiki, maximum ve minimum teğetsel gerilmeler ne olacaktır? (Lame denklemini kullanınız.)  
(d) Temas yüzeyindeki eşdeğer, maximum ve minimum gerilme değerleri maximum zorlanma teorisine göre ne olabilir? (Birnie denklemlerini kullanınız.)  
(e) Göbek boyu 75mm ve  $f = 0,12$  olmak şartıyla eşleşen parçaların montajı için gerekli maksimum eksenel  $F_a$  kuvveti ne kadar olacaktır?  
(f) Bu montajla ne kadarlık bir tork aktarılacaktır?

Cev. (a) Tolerans Maximum şekil değiştirme 0.048mm Delik 28.000 Mil 28.048  
delik: 0.021mm; mil: 0,013mm Minimum şekil değiştirme 0.014mm Delik 28.021

(b)  $F_{a(\max)} = 225\text{ MPa}$  (d)  $s_t(\max) = 261\text{ MPa}$  (e)  $F_a = 93,2\text{kN}$   
 $s_t(\min) = 65,7\text{ MPa}$  (f)  $s_t(\min) = 70\text{ MPa}$   $F_a = 1,30\text{kN m}$

14. İç çapı 25cm olan çelik bir göbek, 25.025mm çapındaki bir mile geçirilecektir. Kaygan geçme için milin ne kadar soğutulması gerektiğini hesaplayınız. Ortam sıcaklığı  $21^{\circ}\text{C}$  ve lineer genleşme katsayısı  $11.34 \times 10^{-6} \text{ K}^{-1}$  Cev.  $-138^{\circ}\text{C}$  0,045mm lik minimum boşluk için.

15. 25mm iç ve 50mm dış çapa sahip bir çelik silindirle, 50mm iç ve 75mm dış çapındaki diğer çelik gerilmesi 83MPa olmaktadır. İki elemanın iç ve dış yüzeylerindeki teğetsel gerilmeleri ve şekil değiştirmeyi hesaplayınız. Birnie denklemini kullanınız.

$$\text{Cev. } p_c = 28.6\text{ MPa} \quad s_{th}' = -76,3\text{ MPa} \\ \delta = 30.5\mu\text{m} \quad s_{tei}' = -39,1\text{ MPa} \\ s_{tco}' = 83,0\text{ MPa} \\ s_{to}' = 45,8\text{ MPa}$$

16. Kaplınlerde merkezleme ile iki ayrı parça birbirine eşleşecek şekilde tespit edilir. H7-h6 geçme türü sıkı geçmede kullanılacaksa, tolerans oldukça dar sınırdadır. Nominal çapın 150mm olması halinde tolerans sınırlarını bulunuz. H7-h6 daki geçmenin H8-f7 ya nazaran daha ekonomik olabileceğini unutmayın.

$$\text{Cev. } 150.000 \quad 150.040 \\ 150.063 \quad \text{ve} \quad 150.000 \quad \text{mm}$$

17. 50mm çapındaki mile sıkı geçmeye bir göbek gövdesi geçirilecektir. Maximum 0,040mm ve minimum 0,028mm lik şekil değiştirmeyi karşılamada, seçilen değişimler montaj için kaç parça grubu gereklidir. Bu şartlarda göbek ağızının boyutları 50.000 - 50.024mm ve mil boyutları 50.034 - 50.052mm arasında değer almaktadır.

Cev. 4 Ayrı grubu şu şekilde ayrılabilir.

Grup	A	B	C	D
Delik	50.000 50.006	50.006 50.012	50.012 50.018	50.018 50.024
Mil	50.040 50.034	50.046 50.040	50.052 50.046	50.058 50.052

## 4

## Eğrisel Kırışlar

**EĞRİSEL KIRIŞLERDEKİ GERİLMELER**, düz kırışlarda olduğu gibi aynı lineer değişikliği göstermezler, zira değişiklik bir yay boyunca gerçekleşmektedir. Her ikisinde de aynı tür kabuller yapılmaktadır. i.e. Kiriş eksenine dik olan düzlemsel kesitler, eğilmeden sonra düzlem şekilde kalmaktadır. Gerilme zorlanmaya orantılıdır, ve gerilmenin dağılımı oldukça farklıdır. Şekil 4'de düz bir kirişteki lineer gerilme değişimi ve eğrisel bir kirişteki hiperbolik gerilme dağılımı görülmektedir. Kütle merkezinin dışındaki noktalarda, eğrisel kiriş için eğilme gerilmesinin sıfır olduğu söylenebilir. Ayrıca, tarafsız eksen, kütle merkezile, eğrilik merkezi arasında yer alır. Bu her zaman eğrisel kırışlarda böyle olur.

Eğilmeden dolayı, **GERİLME DAĞILIMI**  $s = \frac{My}{Ae(r_n - y)}$  ile bulunur.

Burada  $s$  : Eğilme gerilmesi,  $\text{N/m}^2$  veya  $\text{Pa}$

$M$  : Kütle merkezine ait eksene göre eğilme momenti,  $\text{Nm}$

$y$  : Sorudaki nokta ile tarafsız eksen arasındaki mesafe,  $\text{m}$  (Eğrilik merkezine doğru pozitif, eğrilik merkezinden uzaklaşıkça negatif olarak alınır).

$A$  : Kesit alanı,  $\text{m}^2$

$t$  : Kütle merkezine ait eksene, nötr eksen arasındaki mesafe,  $\text{m}$

$r_n$  : Tarafsız eksenin eğrilik yarıçapı,  $\text{m}$

**EĞİLME GERİLMESİ**,  $s = \frac{Mh_i}{Aer_i}$  ile bulunur.

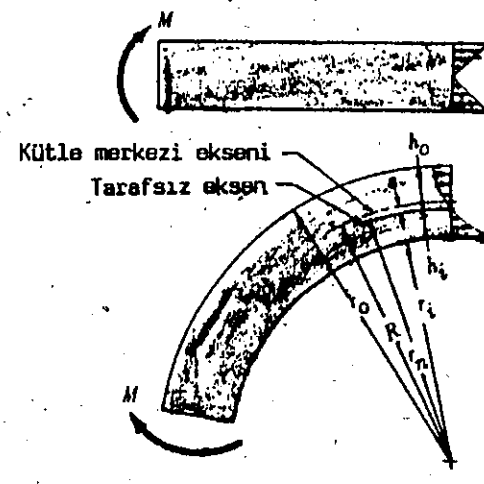
Burada,  $h_i$  : Tarafsız eksenle içteki lif arasındaki mesafe,  $\text{m}$  ( $h_i = r_n - r_i$ )

$r_i$  : İçdeki lifin grilik yarıçapı,  $\text{m}$

**LİF DIŞINDAKİ EĞİLME GERİLMESİ**,  $s = \frac{Mh_o}{Aer_i}$  ile bulunur.

Burada,  $h_o$  : Tarafsız eksenle dıştaki lif arasında mesafe,  $\text{m}$  ( $h_o = r_o - r_n$ )

$r_o$  : Dıştaki lifin eğrilik yarıçapı,  $\text{m}$



Şekil. 4-1

Kesik simetrik ise, maximum eğilme gerilmesi her zaman iç lifte oluşur. (Daire, dikdörtgen, I-kiriş-işit flanşlı). Kesit simetrik değilse, maximum eğilme gerilmesi iç veya dışda oluşabilir.

Eğilmeye ilaveten, kesitte eksenel bir yük söz konusu ise, eksenel gerilmenin cebirsel olarak eğilme gerilmesine eklenmesi gereklidir.

Matematiksel işlemlerde çok dikkatli olmalıdır. Ağırlık merkezinin ekseniyle, tarafsız eksenin arasındaki "e" mesafesi oldukça küçüktür. "e"nin hesabındaki nümerik değişimler, son hesaplamalarda oldukça büyük çapta değişikliklere neden olabilir.

Aşağıdaki, Tablo. I'de tarafsız eksenlerin, kütle merkezine ait eksenin ve çeşitli tipteki şekiller için kütle merkezinin ağırlık merkezinden olan mesafesinin nasıl olabileceği görülmektedir.

TABLO I	
 Kütle merkezi eksen - Tarafsız eksen	$r_n = \frac{h}{\log_e r_o/r_i}$ $e = R - r_n$ $R = r_i + h/2$
 Kütle merkezi eksen - Tarafsız eksen	$r_n = \frac{ r_o^{1/2} + r_i^{1/2} ^2}{4}$ $e = R - r_n$ $R = r_i + d/2$
 Kütle merkezi eksen - Tarafsız eksen	$r_n = \frac{(b_i - t)(t_i) + (b_o - t)(t_o) + th}{b_i \log_e \frac{r_i + t_i}{r_i} + t \log_e \frac{r_o - t_o}{r_i + t_i} + b_o \log_e \frac{r_o}{r_o - t_o}}$ $e = R - r_n$ $R = r_i + \frac{\frac{1}{2}h^2t + \frac{1}{2}t_i^2(b_i - t) + (b_o - t)(t_o)(h - \frac{1}{2}t_o)}{(b_i - t)(t_i) + (b_o - t)(t_o) + th}$

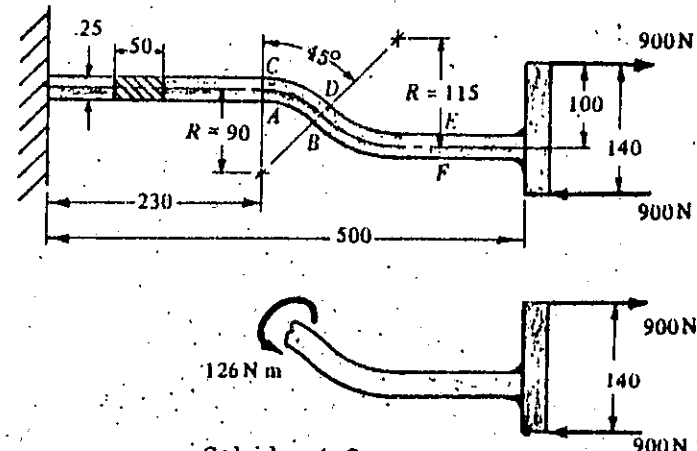
TABLO I (devamı)

<p>Kütle merkezi eksen → Tarafsız eksen</p>	$r_n = \frac{(b_i - t)(t_i) + th}{(b_i - t) \log_e \frac{r_i + t_i}{r_i} + t \log_e \frac{r_o}{r_i}}$ $e = R - r_n$ $R = r_i + \frac{\frac{1}{2}h^2t + \frac{1}{2}t_i^2(b_i - t)}{ht + (b_i - t)t_i}$
<p>Kütle merkezi eksen → Tarafsız eksen</p>	$r_n = \frac{\left(\frac{b_i + b_o}{2}\right)h}{\left(\frac{b_ir_o - b_ort_i}{h}\right) \log_e \left(\frac{r_o}{r_i}\right) + (b_i - b_o)}$ $e = R - r_n$ $R = r_i + \frac{h(b_i + 2b_o)}{3(b_i + b_o)}$
<p>Kütle merkezi eksen → Tarafsız eksen</p>	$r_n = \frac{(b - t)(t_i + t_o) + th}{b \left[ \log_e \frac{r_i + t_i}{r_i} + \log_e \frac{r_o}{r_o - t_o} \right] + t \log_e \frac{r_o - t_o}{r_i + t_i}}$ $e = R - r_n$ $R = r_i + \frac{\frac{1}{2}h^2t + \frac{1}{2}t_i^2(b - t) + (b - t)(t_o)(h - \frac{1}{2}t_o)}{ht + (b - t)(t_i + t_o)}$

$r_n$  5. Problemdeki integralin kullanılmasıyla tayin edilir. (f) ve (R) ise kesit alanının ilk momentiyle bulunabilir.

## Çözümlü Problemler

1. Deveboyu şeklindeki bir çubuk şekilde görüldüğü üzere kuvvetlerin etkisi altındadır. Çubuk ölçütleri 25mmx50 mm dir. Tatbik edilen iki kuvvet bir kuvvet çifti doğurmaktır ve her kesitte aynı eğilme momentine neden olmaktadır. Maximum çekme, basma ve kesme gerilmelerini ve nerede oluşturularını tayin ediniz.



Çözüm :

- (a) Her kesitte olusacak eğilme momenti,

$$140 \times 10^{-3} \times 900 = 126 \text{ Nm}$$

Şekil. 4-2

- (b) Denge hali için çift gösterildiğine göre, CDE de çekme gerilmesi, ABF de basma gerilmesi ortaya çıkar. Kiriş simetrik olduğu için, maximum normal gerilme içte,  $R_i = 90\text{mm}$ ,  $r_o = 77,5\text{mm}$ ,  $r_i = 102,5\text{mm}$  de olur. Maximum gerilme içte basma gerilmesi halindedir. Mamafih,  $R = 115\text{mm}$  lik kesitler kontrol edilmelidir.

- (c)  $e'$ yi tayin etmek için,

$$r_n = \frac{h}{\log_e r_o/r_i} = \frac{0,025}{\log_e (0,1025)} = 0,08942; e = R - r_n = 0,09 - 0,08942 = 5,8 \times 10^{-4} \text{ m}$$

- (d)  $R = 90\text{mm}$  lik kesitte, içteki gerilme,

$$s_i = \frac{Mh_i}{Ae_i} = \frac{126(0,01192)}{(0,025)(0,05)(0,00058)(0,0775)} = 26,7 \text{ MN/m}^2 \text{ Basma gerilmesi}$$

Dıştaki gerilme

$$s_o = \frac{Mh_o}{Ae_o} = \frac{126(0,0131)}{(0,025)(0,05)(0,00058)(0,1025)} = 22,2 \text{ MN/m}^2 \text{ Çekme gerilmesi}$$

- (e)  $R = 115\text{mm}$  lik kesitte  $r_n = \frac{h}{\log_e r_o/r_i} = \frac{0,025}{\log_e 1,244} = 0,1145; e = R - r_n = 0,115 - 0,1145 = 5 \times 10^{-4} \text{ m}$

$$\text{İçteki gerilme } s_i = \frac{Mh_i}{Ae_i} = \frac{126(0,012)}{(0,025)(0,05)(0,0005)(0,1025)} = 23,6 \text{ MN/m}^2 \text{ Çekme gerilmesi}$$

$$\text{Dıştaki gerilme } s_o = \frac{Mh_o}{Ae_o} = \frac{126(0,013)}{(0,025)(0,05)(0,0005)(0,1275)} = 20,6 \text{ MN/m}^2 \text{ Basma gerilmesi}$$

- (f) Böylece,  $R = 115\text{mm}$  de içde maximum çekme gerilmesi oluşmaktadır. Maximum basma  $R = 90\text{mm}$  de oluşmaktadır. Maximum kesme gerilmesi ise, üç asal gerilmenin iki tanesinin en büyük farkının yarısı kadarır. Sadece, eğilme gerilmesi içte mevcut olduğundan, maximum kesme gerilmesi  $\frac{1}{2}(-26,7 - 0) = 13,4 \text{ MN/m}^2$ .

(Mukayese için, düz bir kirişteki maximum gerilme,

$$s = \frac{Mc}{I} = \frac{126(0,0125)(12)}{(0,05)(0,025^3)} = 24,2 \text{ MN/m}^2 \text{ basma ve çekme gerilmesidir.}$$

2. Bir yaylı kenet, 25mm çapındaki bir çubuktan yapılmıştır. Şekil 4-3. Maximum kesme gerilmesini ve oluşturduğu noktayı veya noktaları yerini tayin ediniz.

**Cözüm:**

- (c) Maximum normal gerilmenin yeri gözlem ve mukayese ile bulunur. İki kuvvet bir kuvvet çifti doğuracağından, ortaya çıkacak eğilme momenti değerleride aynı olacaktır. Maximum eğilme gerilmesi, A dan B ye  $r_i = 75\text{mm}$  veya C den D ye  $r_i = 75\text{mm}$  de olacak ve  $r_i = 100\text{mm}$  de maximum gerilme oluşmayacaktır.

$$(b) r_n = \frac{1}{4}(r_o^{1/2} + r_i^{1/2})^2 = (0.1^{1/2} + 0.075^{1/2})^2 / 4 = 0.08705 \text{ mm}$$

$$(c) e = R - r_n = 0.0875 - 0.08705 = 4.5 \times 10^{-4} \text{ m}$$

$$h_i = 0.01205 \text{ m}$$

$$(d) s_i = \frac{M h_i}{A e r_i} = \frac{56.25(0.01205)}{\frac{1}{4}\pi(0.025^2)(0.000491)(0.075)} = 40.9 \text{ MN/m}^2$$

- (e) A dan B ye olan gerilme, çekme gerilmesi, C den D ye olan gerilme ise basma gerilmesidir.

- (f) Maximum kesme gerilmesi  $\frac{1}{2}(40.9) = 20.5 \text{ MN/m}^2$  ve A dan B ye ve C den D ye kadar bütün noktalarda olur.

- (g) Kesit simetrik olduğundan, dıştaki maximum gerilmenin kontroluna gerek yoktur.

3. Şekildeki açık bir bağlantı elemanı  $\phi 25\text{mm}$  lik çubuktan imal edilmiştir. Maximum çekme gerilmesiyle, maximum kesme gerilmesi değerlerini hesaplayınız.

**Cözüm :**

- (a) Şekil. 4-4'de ki A-A ve B-B kesitlerinin mukayesiyle, A-A kesitindeki eğilme momentinin B-B kesitindeki eğilme momentinden daha az olduğu görülmektedir.

Fakat, A-A kesitindeki eğrilik yarıçapı B-B dekinden azdır. Bunun için her iki kesiti incelemekte yarar vardır. iki kesit incele-

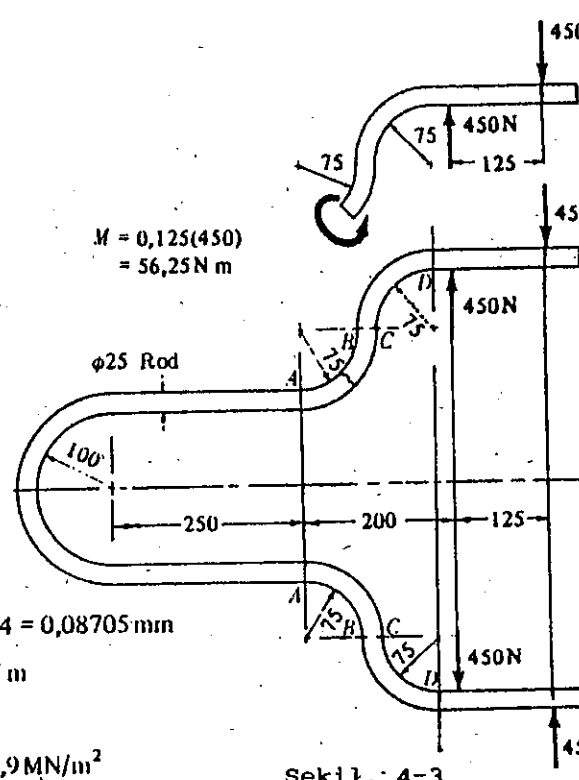
**A-A kesitinde,**

$$(b) M = (0.075)(900) = 67.5 \text{ N.m}, A = \frac{1}{4}\pi(0.025)^2 = 0.000491 \text{ m}^2$$

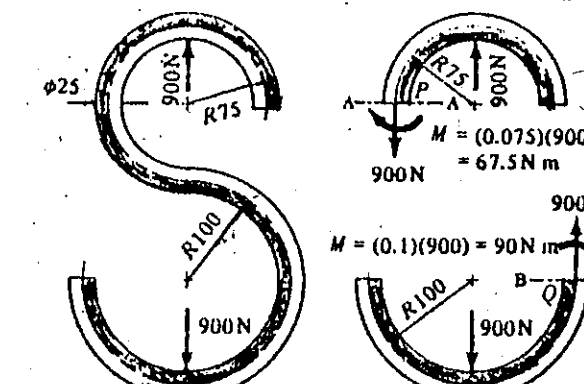
$$(c) r_n = \frac{[r_o^{1/2} + r_i^{1/2}]^2}{4} = \frac{[0.0875^{1/2} + 0.0625^{1/2}]^2}{4} = 0.07448 \text{ m}$$

$$e = R - r_n = 0.075 - 0.07448 = 0.000525 \text{ m}, h_i = 0.0125 - 0.000525 = 0.01198 \text{ m}$$

$$\text{Eğilme gerilmesi} + \text{Çeki gerilmesi} = \frac{M h_i}{A e r_i} + \frac{P}{A} = \frac{(67.5)(0.01198)}{(0.000491)(0.000525)(0.0625)} + \frac{900}{0.000491} = 50.19 + 1.83 = 52.0 \text{ MN/m}^2 \text{ Çekme gerilmesi}$$



Şekil. 4-3



Şekil. 4-4

B-B kesitinde,

$$(d) M = 900(0.1) = 90 \text{ N.m}$$

$$r_n = \frac{[r_o^{1/2} + r_i^{1/2}]^2}{4} = \frac{[0.1125^{1/2} + 0.0875^{1/2}]^2}{4} = 0.0996 \text{ m}$$

$$e = 0.1 - 0.0996 = 0.000392 \text{ m}, h_i = 0.0125 - 0.000392 = 0.01211 \text{ m}$$

$$(e) Eğilme momenti + Çeki gerilmesi = \frac{M h_i}{A e r_i} + \frac{P}{A} = \frac{90(0.01211)}{(0.000491)(0.000392)(0.0875)} + \frac{900}{0.000491} = 66.5 \text{ MN/m}^2 \text{ çekme}$$

$$(f) Maximum kesme = \frac{1}{2}(66.5) = 33.3 \text{ MN/m}^2$$

4. Bir deveboyu şeklindeki çubuk şekil. 4-5'de olduğu gibi yüklenmiştir. Çubuğun ağırlığı ihmal edilebilir. Maximum X boyutu değeri ne olur? Çekme gerilmesi olarak 70MPa olarak sınırlandırılmıştır. Maximum kesme gerilmesi nerede olur?

**Cözüm :**

- (a) Çubuk simetrik olduğundan, Eğilme içerisinde daha büyük gerilmeye neden olacaktır. A-A kesitindeki P noktasında en büyük gerilme oluşacaktır.

(b) A-A kesiti için  $M = 10,000 \text{ (X) N.m}$

$$r_n = \frac{[r_o^{1/2} + r_i^{1/2}]^2}{4} = \frac{(0.15^{1/2} + 0.05^{1/2})^2}{4} = 0.0933 \text{ m}$$

$$e = R - r_n = 0.1 - 0.0933 = 0.0067 \text{ m}$$

$$h_i = 0.05 - 0.0067 = 0.0433 \text{ m}$$

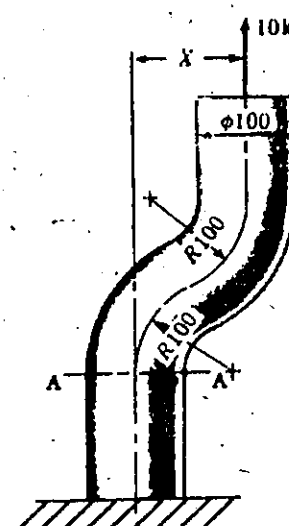
$$A = \frac{1}{4}\pi(0.1)^2 = 0.007854 \text{ m}^2$$

- (c) Müsaade edilebilen çekme gerilmesi 70MPa dir.

$$\text{Eğilme, çekme gerilmesi} + \text{çekme gerilmesi} = \frac{M h_i}{A e r_i} + \frac{P}{A}$$

$$\text{veya } 70 \times 10^6 = \frac{X(10,000)(0.0433)}{(0.007854)(0.0067)(0.05)} + \frac{10,000}{0.007854}$$

Buradan da,  $X = 418 \text{ mm}$ . Maximum büüküm.



Şekil. 4-5

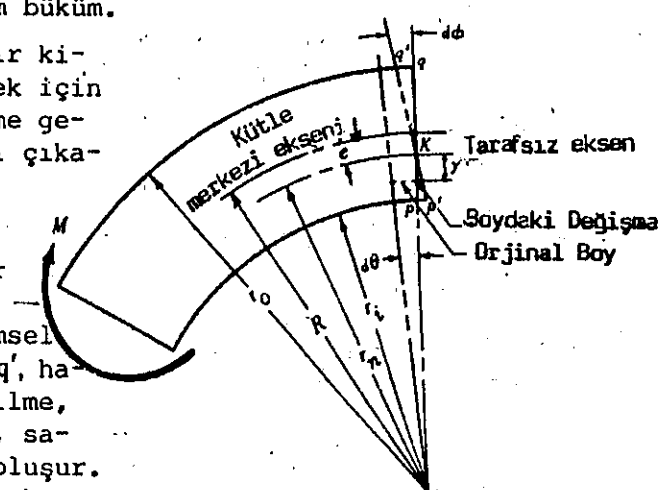
5. Sadece eğilmeden dolayı eğrisel bir kirişte gerilme dağılımını elde etmek için gerekli bağıntıları kurunuz. Eğilme gerilmesi dağılımını verecek ifadeyi çıkarınız. Şekil. 4-6'ya bakınız.

**Cözüm :**

- (a)  $d\theta$  açısı altında bir elemanter elemanı ele alalım.

- (b) Eğilme neticesi olarak, düzlemsel kesitler aynı kalarak,  $p-q$ ,  $p'-q'$ ,  $h$  line döner. Bu arada içte gerilme, dışta basma görülür. Rotasyon, sabit tarafsız ekseni üzerinde olur.

- (c) Lifin  $y$  mesafesinde, tarafsız ekseneinden uzaklığı  $y_1 \neq 0$  dir.



Şekil. 4-6

$t$  noktasındaki eğilme momenti ise,

$$s_o = \frac{Mh_o}{Ae_o} = \frac{(900 \times 0,2375)(0,1 - 0,0869)}{(0,025 \times 0,2)(0,0006)(0,1)} = 9,33 \text{ MN/m}^2 \text{ (basma)}$$

$$\text{Burada, } r_n = \frac{h}{\log_e r_o/r_i} = \frac{0,025}{\log_e \frac{0,1}{0,075}} = 0,0869 \text{ m}, \quad e = R - r_n = 0,0875 - 0,0869 = 0,006 \text{ m}$$

$$P/A = \frac{900}{(0,025 \times 0,2)} = 0,18 \text{ MN/m}^2 \text{ (çekme)}$$

$$+ 9,33 - 0,18 = 9,15 \text{ MN/m}^2 \text{ (basma)}$$

$u$  noktası:

$$s_t = \frac{Mh_t}{Ae_t} = \frac{(900 \times 0,2375)(0,0869 - 0,075)}{(0,025 \times 0,2)(0,0006)(0,075)} = 11,3 \text{ MN/m}^2$$

$$P/A = 0,18 \text{ MN/m}^2 \text{ (çekme)}$$

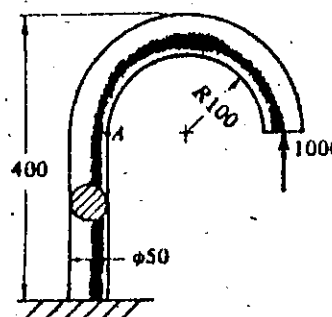
$$\text{Toplam gerilme } = 11,3 + 0,18 = 11,5 \text{ MN/m}^2 \text{ (çekme)}$$

(c) Maximum gerilmeler düz kısımlarda oluşur, A-A kesiti, ve  $21,6 \text{ MN/m}^2$  dir. ( $q$  da çekme,  $p$  de basma)

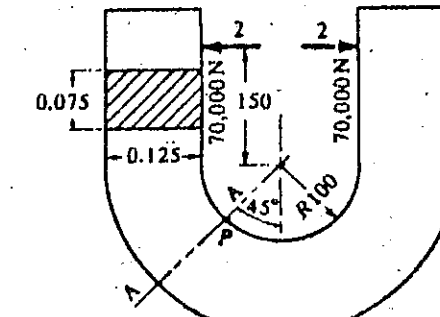
Maximum kesme  $p$  ve  $q$  noktalarının her ikisinde oluşur, bu da  $1(2,16) = 10,8 \text{ MN/m}^2$ .

## Tamamlayıcı Problemler

8. Şekil. 4-9'da görüldüğü üzere, çelik bir eleman makine parçası olarak kullanılacaktır. 1kN lük bir yük tatbik edilecek olursa, maximum çekme gerilmesi, ve maximum kesme gerilmesi değerlerini ve tatbik noktalarını bulunuz? Cev.  $24,4 \text{ MN/m}^2, 12,2 \text{ MN/m}^2$ .
9. Bir portatif hidrolik perçinleme aparatında max. perçinleme kuvveti  $70 \text{ kN}$  dur. U şeklindeki parça kopma gerilmesi  $480 \text{ MPa}$  olan bir malzemeden mamuldür. Çekmede akma  $240 \text{ MPa}$  ortaya çıkmaktadır. Şekil. 4-10'a bakarak, A-A kesitini ele alıp, aşağıdaki maddeleri cevaplayınız.
- (a) Eğilme momenti
  - (b) Kütle merkezi ekseniyle tarafsız ekseni arasındaki mesafe
  - (c) Çekme gerilmesi
  - (d) Maximum çekme gerilmesi ve yeri
  - (e) Maximum kesme gerilmesi ve yeri
- (a)  $18,5 \text{ kN.m}$
  - (b)  $0,00836 \text{ m}$
  - (c)  $49,5 \text{ kN}$
  - (d)  $13,3 \text{ MN/m}^2$  P noktasında
  - (e)  $66,7 \text{ MN/m}^2$  P noktasında

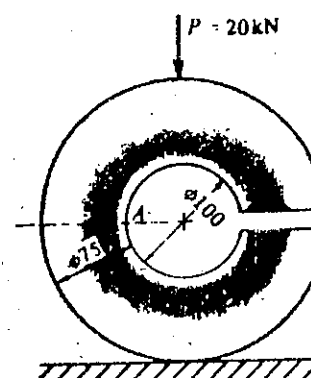


Şekil. 4-9

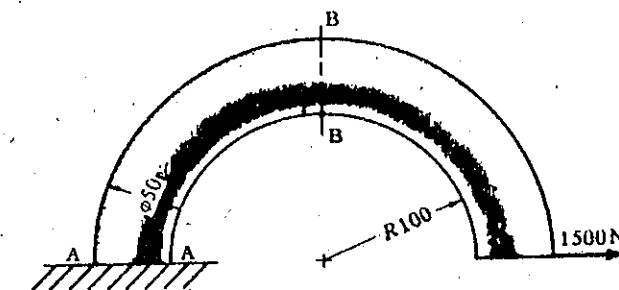


Şekil. 4-10

10. Bilezik 75mm çapındaki bir çubuktan mamuldür. Bileziğin iç çapı 100mm dir. Şekil. 4-11'de görülen yük için, çubuktaki maximum kesme gerilmesi değerini hesaplayınız. Ayrıca, tatbik noktasını tayin ediniz. Cev.  $33,5 \text{ MPa}$ , A noktasında

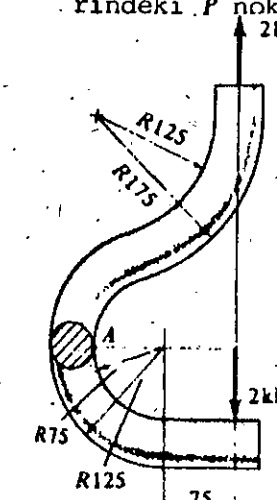


Şekil. 4-11

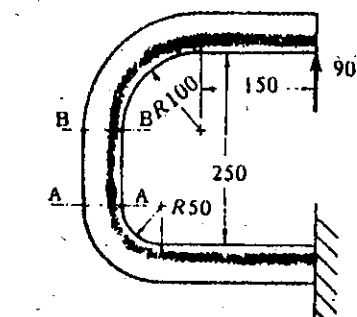


Şekil. 4-12

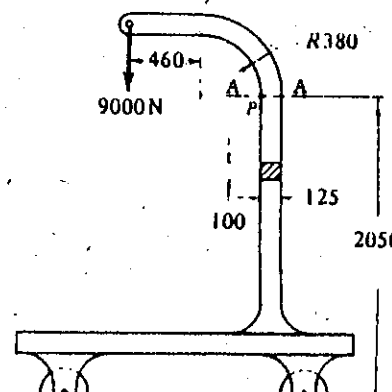
11. Şekil. 4-12'de görüldüğü üzere yüklenen elemana ait maximum çekme gerilmesi değerini ve tatbik noktasını hesaplayınız. Cev.  $18,7 \text{ MPa}$ , P noktasında
12. Bir kren kancasının 50mm çaplı çubuktan mamul olduğunu ve Şekil. 4-13'de olduğu gibi yüklendiğini kabul ederek, maximum çekme gerilmesi değerini ve tatbik noktasının yerini tayin ediniz. Cev.  $36 \text{ MPa}$ , A noktasında
13. Şekil. 4-14'de görüldüğü üzere, elemanın 25mm lik çubuktan mamul olduğu ve yüklendiği belirtilmiştir.
- (a) Maximum çekme gerilmesi nerede oluşur? (a) A-A kesitinde P noktası
  - (b) Gerilmenin en düşük olduğu noktadaki eğilme momenti nedir? (b)  $23,6 \text{ N.m}$
  - (c) En fazla gerilmeye tabi noktadaki yük (c)  $90 \text{ N}$
  - ne kadardır? (d)  $18,3 \text{ MPa}$
  - (d) Maximum çekme gerilmesi değeri nedir?
14. Şekil. 4-15'de görüldüğü üzere, mobil bir krenin yük taşıyan gövdesine ait ölçüler belirtilmiştir. Aşağıdaki maddelere ayrı ayrı cevap veriniz.
- (a) Maximum basma gerilmesinin tatbik noktası, (b) Maximum kesme gerilmesinin tatbik noktası, (c) A-A kesitindeki eğilme momenti, (d) A-A kesitindeki basma yükü, (e) maximum basma gerilmesi, (f) maximum kesme gerilmesi. Cev. (a) A-A kesiti üzerindeki P noktasında, (b) A-A kesiti üzerindeki P noktasında (c)  $8120 \text{ N.m}$ , (d)  $9000 \text{ N}$ , (e)  $34,6 \text{ MPa}$ , (f)  $17,3 \text{ MPa}$



Şekil. 4-13



Şekil. 4-14



Şekil. 4-15



Katı dikdörtgen bir eleman için burulma açısı,

$$\theta^\circ = \frac{57.3 TL}{abc^3 G}$$

burada,

$b$  = Dikdörtgenin uzun kenarı, m

$c$  = Dikdörtgenin kısa kenarı, m

$a = b/c$  oranına bağlı bir katsayı,

$$\begin{aligned} b/c &= 1.000 \ 1.500 \ 2.000 \ 2.500 \ 3.000 \ 4.000 \ 6.000 \ 8.000 \ 10.000 \\ a &= 0.141 \ 0.196 \ 0.214 \ 0.229 \ 0.249 \ 0.263 \ 0.281 \ 0.299 \ 0.307 \ 0.313, 0.333 \end{aligned}$$

$G$  = Kayma modülü,

= Elemanın boyu, m

ENİNE YÜKLÜ KİRİŞLERDE SEHİM, eğilmeden olmak üzere, elastik eğrinin denkleminin integrasyonu ile elde edilir,

$$\frac{d^2y}{dx^2} = \frac{M}{EI}$$

burada,

$M$  = Eğilme momenti, Nm

$I$  = Atalet momenti,  $m^4$

$E$  = Elastisite modülü,  $N/m^2$

$y$  = Sehim, m

$x$  = Sehimin hesaplanacağı kesitle, elemanın ucu arasındaki mesafe

Yük sayısının fazla olması halinde, bu ifadenin doğrudan analitik çözümü çift integrasyonla oldukça sıkıcı olabilir. Aynı durum kesitleri değişik olan kirişler içinde geçerlidir. Daha kolay çözümler, moment alanı metodu, eş değer kiriş metodu, kademeli fonksiyonların kullanımı, kastigiano teoremi veya grafiksel integrasyon ile elde edilebilir.

Egilmeden dolayı MOMENT ALANI metoduyla kirişteki sehimin tayininde, kirişin herhangi bir A noktasının düşey mesafesine, elastik eğrinin herhangi bir B noktasından çizilen teğeti A ve B noktaları arasındaki  $M/EI$  eğrisine ait alanın A noktasındaki ordinatına göre alınan momente eşittir. (Şekil. 5-1'e bakınız.)

$$\Delta = A_1 \bar{x}_1 + A_2 \bar{x}_2 + \dots$$

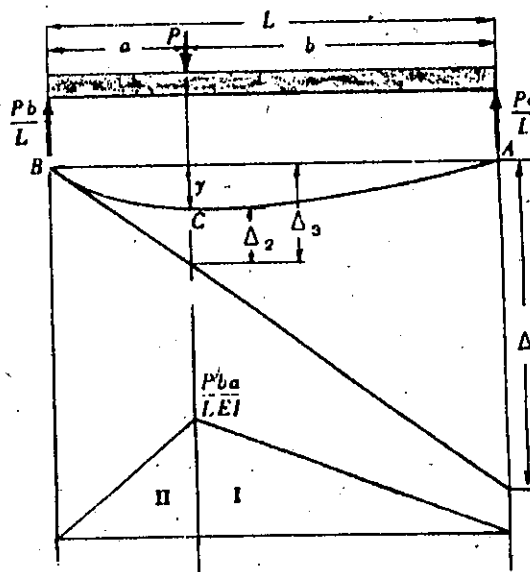
burada

$A_1 = M/EI$  diyagramının I bölümünün alanı

= A noktasında geçen ordinatla  $A_1$ , kütte merkezi arasındaki mesafe,

$A_2 = M/EI$  diyagramının II bölümünün alanı

$\bar{x}_2 = A$  noktasından geçen ordinatla  $A_2$ , kütte merkezi arasındaki mesafe:



Şekil. 5-1

Sol taraftaki mesnetten  $a$  mesafesindeki bir  $P$  yükü bulunan  $L$  boyundaki bir kiriş,  $b$  mesafesi sağ taraftaki mesnetten olmak üzere, yukarıdaki işlemi açıklamakta kullanılabilir. Şekil. 5-1'e bakarak,  $P$  yükü altında  $y$  sehimini hesaplayabilmek için, aşağıdaki maddelerin yerine getirilmesi gereklidir.

1. Klasik eğriyi şematik olarak çiziniz.
2. Sol taraftaki mesnete yakın B noktasında, elastik eğriye bir teğet çiziniz.
3.  $M/EI$  diyagramını çiziniz.
4.  $\Delta_1$ , I, I bölümün alanlarının momentlerini toplayarak bulunuz, ve II bölüm içinde sağ taraftaki mesneti kullanınız:

$$\Delta_1 = \left( \frac{Pb^2 a}{2EI} \right) \left( \frac{2b}{3} \right) + \left( \frac{Pba^2}{2EI} \right) \left( b + \frac{a}{3} \right) = \frac{Pb^3 a}{3EI} + \frac{Pb^2 a^2}{2EI} + \frac{Pba^3}{6EI}$$

5.  $\Delta_2$  yi tayin ediniz. Bu, C noktasından geçen düşey eksene göre II bölümün momentine eşittir.

$$\Delta_2 = \left( \frac{Pba^2}{2EI} \right) \left( \frac{a}{3} \right) = \frac{Pba^3}{6EI}$$

6. Oranla  $\Delta_3$  değerini hesaplayınız.

$$\Delta_3 = \frac{a\Delta_1}{L} = \frac{Pb^3 a^2}{3L^2 EI} + \frac{Pb^2 a^3}{2L^2 EI} + \frac{Pba^4}{6L^2 EI}$$

$$7. \text{Böylece, } y = \Delta_3 - \Delta_2 = \frac{Pb^3 a^2}{3L^2 EI} + \frac{Pb^2 a^3}{2L^2 EI} + \frac{Pba^4}{6L^2 EI} - \frac{Pba^3}{6LEI}$$

Yukarıdaki gösterimlerde, I ve II alanlarının her ikisi de pozitif olduğu unutulmamalıdır.  $M/EI$  diyagramının herhangi bir parçası negatif olacak olursa,  $M/EI$  diyagramının o parçasının momentide negatif alınmalıdır.

**ESDEĞER KİRİŞ** metodu, kirişin eğilmesinden dolayı ortaya çıkan enine sehimin tayini için, yük, kesmenin matematiksel benzerliğinden yararlanılırken,  $M/EI$  yük eğilme momenti diyagramları, eğim ve sehim diyagramları da ayrıca katkida bulunacaktır.

$$f(x) = w = \frac{dV}{dx} = \frac{d^2M}{dx^2}, \quad f(x) = \frac{M}{EI} = \frac{da}{dx} = \frac{d^2y}{dx^2}$$

Yukarıdaki ifadelerin benzerliklerinden dolayı, aşağıdaki tanımlar çözüm için yeterli olacaktır.

1. Eşdeğer kirişin "eğme" kuvveti, hakiki kirişin eğimine eşit olacaktır.
2. Eşdeğer kirişin eğilmé momenti, hakiki kirişin sehimine eşit olacaktır.

Mamafig, ilk başta, (eşdeğer) kirişin sınır şartlarını sağlaması gereklidir. Orijinal kirişte eğimin sıfır olmadığı noktada, eş değer kirişteki kesme kuvveti ortaya çıkacaktır. Kesme olmayacak şekilde yükleme mevcutsa, eş değer kiriş yüklemesi içinde görülmelidir. Sehimle benzer şekilde, sehin sıfır değilse, moment bulunmalıdır. Yükleme moment olmayacağı hesaba katılmasımda yarar vardır.

Yukarıdaki prosedürü izah edebilmek için, homojen kesitli bir ankastre kirişin ele alalım. Şekil. 5-2'de olduğu üzere yüklenmiş olsun. Aşağıdaki maddelerle kiriş üzerindeki sehim tayin edebiliriz.

- a. Eğilme momenti diyagramını çiziniz.
- b. Eş değer kirişin öyle yükleyiniz ki, herhangi bir kesitteki yükün şiddeti  $M/EI$  nin ordinatına eşit olsun.

- c. Sınır şartlarını sağlayabilmek için, "R" reaksiyonuyla gösterilen P yükü altındaki eşdeğer kirişin herhangi bir noktasında eğim veya kesme için belli bir değerde olmalıdır. Sehim veya moment için, reaksiyonda ortaya çıkan şartıyla kirişin sağ ucuna bir ("M") momentinin tatbik edilmesi gereklidir.

- d. Eşdeğer kirişin, üçgen şeklinde yayılı yükün, söz konusu üçgenin alanına, eşit olduğu kabul edilir.  $(PL^2/2EI)$  üçgenin ağırlık merkezinden etki etmektedir.

- e. Düşey yöndeki kuvvetlerin toplanmasıyla, kiriş ucundaki reaksiyon  $PL^2/2EI$  dir.

- f. Eşdeğer kirişin uç tarafına göre moment alınacak olursa,

$$-\frac{PL^2}{2EI} \left(\frac{2L}{3}\right) + "M" = 0$$

veya " $M = PL^3/3EI$ " elde edilirki bu da kirişin sağ tarafındaki sehimden başka bir şey değildir.

Eğilmeden dolayı ortaya çıkan sehimde kullanılan STEP fonksiyonlarının kullanımı için iki integrasyon sabitinin değerlendirilmesi gereklidir. Bu değerlendirilme herhangi bir sayıdaki yüklerle kesit değişikliği için yapılmaktadır. Bilinen çift integrasyon metodunun tatbikinde, her kiriş kesiti için  $M/EI$  ifadesinin yazılımında her kiriş için ayrı ayrı olmak üzere integrasyon iki sabiti ele alınmalıdır.

Kirişin herhangi bir kesiti için geçerli olmak üzere, step fonksiyonların kullanılmasıyla  $M/EI$  için matematiksel bir tek ifade yazılabilir. Sonradan çift integrasyonla, kirişin herhangi diğer noktaları için de değerler elde edilebilir.

Daha sonra kullanılacağı üzere, step fonksiyon, aşağıdaki notasyonla tanımlanır:

$$H_a = 0 \text{ eğer } x < a \text{ ise}, H_a \text{ bir step.}$$

$$H_a = 1 \text{ eğer } x \geq a \text{ ise.}$$

$$H_b = 0 \text{ eğer } x < b \text{ ise}, H_b \text{ bir step.}$$

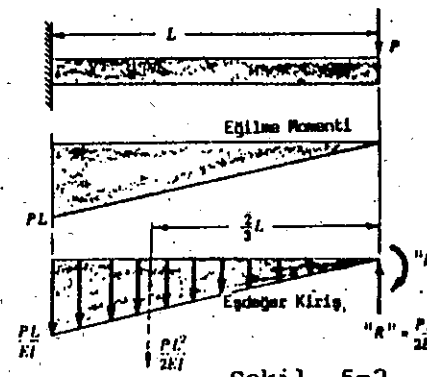
$$H_b = 1 \text{ eğer } x \geq b \text{ ise.}$$

$b > a$  için, iki step fonksiyonun çarpımıyla,

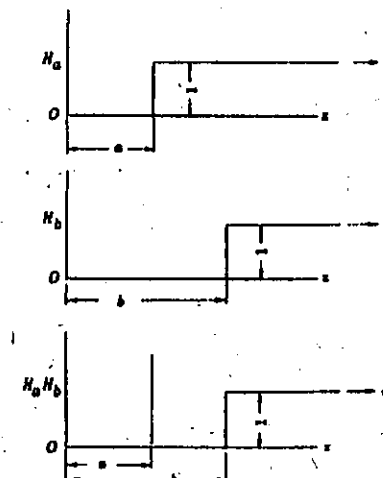
$$H_a H_b = 0 \text{ eğer } x < b \text{ ise.}$$

$$H_a H_b = 1 \text{ eğer } x \geq b \text{ ise.}$$

Yukarıdaki step fonksiyonları Şekil. 5-3'de gösterilmiştir.



Şekil. 5-2



Şekil. 5-3

$f(x)$  fonksiyonuyla çarpım halinde bulunan bir step fonksiyonun integrasyonu için matematiksel prosedür aşağıdaki gibidir.

$$\int_a^x H_a f(x) dx = H_a \int_a^x f(x) dx$$

Örnek. 1.  $f(x) = x^2$  olarak alalım.

$$\int_0^x H_a x^2 dx = H_a \int_0^x x^2 dx = \left[ H_a \frac{x^3}{3} \right]_0^x + C = H_a \frac{x^3 - a^3}{3} + C$$

Burada,  $C$  = integrasyon sabitidir.

Örnek. 2.  $b > a$ , olduğu zaman

$$\int_a^x H_b H_a(x-a) dx = H_b \int_a^x (x-a) dx$$

$$= H_b \left[ \frac{(x-a)^2}{2} \right]_a^x + C = H_b \frac{(x-a)^2 - (b-a)^2}{2} + C$$

Örnek. 3. Step fonksiyonlarca kesit değişikliklerinin kullanış metodları aşağıdaki şekilde gösterilebilir. Şekil. 5-4'de üç ayrı kesiti olan bir kiriş görülmektedir. Hepsinin de atalet momentleri farklıdır.  $R_L$  ve  $R_R$  sabit yatakları ve  $F_1$  ve  $F_2$  de uçlarda etkili yüklerdir. Herhangi bir kesit için geçerli moment ifadesi,

$$M = -F_1 x + R_L(x-a)H_a + R_R(x-b)H_b$$

Simdi,  $\frac{1}{I_x}$ , herhangi bir kesit için atalet momentinin tersi, aşağıdaki gibi yazılabilir,

$$\frac{1}{I_x} = \frac{1}{I} \left[ 1 - H_a + \frac{H_a}{m} - \frac{H_b}{m} + \frac{H_b}{n} \right]$$

Buradan,

$$IE \frac{d^2y}{dx^2} = [-F_1 x + R_L(x-a)H_a + R_R(x-b)H_b] \left[ 1 + H_a \left( \frac{1}{m} - 1 \right) + H_b \left( -\frac{1}{m} + \frac{1}{n} \right) \right]$$

$$= -F_1 x + R_L(x-a)H_a + R_R(x-b)H_b - F_1 x H_a \left( \frac{1}{m} - 1 \right)$$

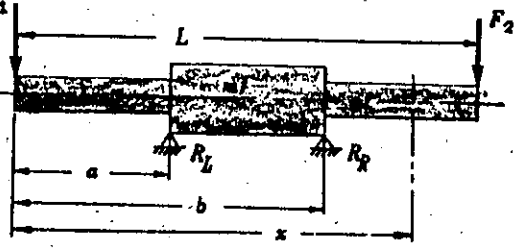
$$+ R_L(x-a)H_a H_a \left( \frac{1}{m} - 1 \right) + R_R(x-b)H_b H_b \left( \frac{1}{m} - 1 \right)$$

$$- F_1 x H_b \left( -\frac{1}{m} + \frac{1}{n} \right) + R_L(x-a)H_a H_b \left( -\frac{1}{m} + \frac{1}{n} \right)$$

$$+ R_R(x-b)H_b H_b \left( -\frac{1}{m} + \frac{1}{n} \right)$$

$H_a H_a = H_a$  ve  $H_b H_b = H_b$ , olmak üzere, çift integrasyon yukarıda izah edildiği gibi tamamlanabilir.

KESMEDEN DOLAYI SEHİM oldukça önemlidir. Örneğin, derinliğine göre kısa sayılacak elemanlar veya büyük çaplı içi boş elemanlar gibi. Böyle durumlarda kesmeden dolayı ortaya çıkan sehimin eğilmeden dolayı ortaya çıkan sehime eklenmesi gereklidir. Bu bilhassa döner elemanların kritik hızlarını tayinde, sehim hesabı yapıılırken oldukça önemlidir.



Şekil. 5-4

2. 1 ve 2 noktalarından çizilen izdüşümlerle 1' ve 2' noktaları bulunur. 1' ve 2' noktaları herhangi bir AB doğrusu üzerinde yer alabilir. Bahis konusu AB doğrusunda O' den yatay doğrultuda bir H mesafesindedir. O'-1' ve O'-2' hatlarını çiziniz.

3. O'-1' hattına O"-1" paralellini çiziniz. Ayrıca O'-2' hattına da 1"-2" paralel doğrusunu çiziniz. m-1" in I alaniyla, p-2" II alaniyla orantılı olduğu veya n-2" nin I ve II alanlarının toplamına orantılı olduğu görülmektedir.

4. İspat için benzer üçgenlerin özelliklerinden faydalandırır.  $O'A-1'$  ve  $O''-m-1"$  üçgenlerini alarak,

$$\frac{A-1'}{O-A} = \frac{m-1''}{O''-m} \text{ veya } \frac{y_1}{H} = \frac{m-1''}{H} \text{ veya } m-1'' = \frac{x_1 y_1}{H}$$

veya  $x_1 y_1 = H(m-1'')$ . Böylece, düşey  $m-1''$  mesafesi I alaniyla orantılı olur. Bahis konusu alan yaklaşık olarak  $(x_1 y_1)$  kadardır.  $x_1$  mesafesi küçükse, yapılan kabul hakiki alana çok yakın olur. Neticede, ne kadar fazla dilim seçilecek olursa alanın hesaplanması o kadar daha hassas olur.

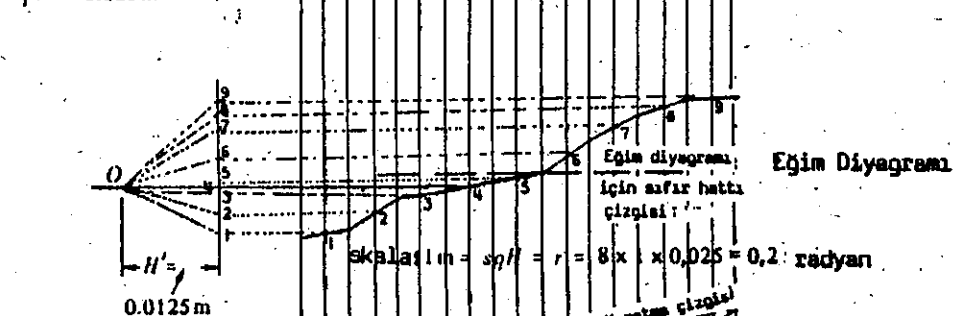
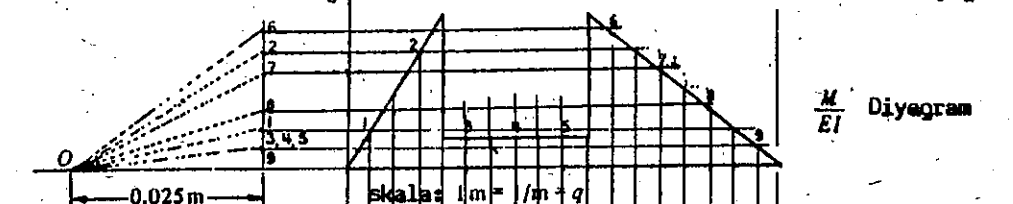
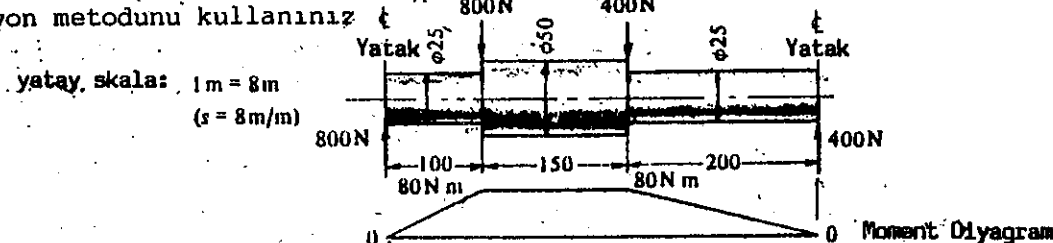
5. Benzer şekilde,  $p-2'' = \frac{x_2 y_2}{H}$

veya  $x_2 y_2 = H(p-2'')$ . Dolayısıyla toplam açıklık  $n-2''$  gösterilen iki alanın toplamı olmaktadır.

6. Yukarıdaki işlem iki durum için gösterilecek olursa,

(a) Uçlarda mesnetlenmiş, Şekil. 5-8(a), aşağıdaki çaplar belirtmiş,

(b) Yük asılı halde kırış, Şekil. 5-8(b), aşağıda çaplar belirtilmemiş. Örnek (a) Her yük için sehim ne kadardır? Grafiksel, çift integrasyon metodunu kullanınız



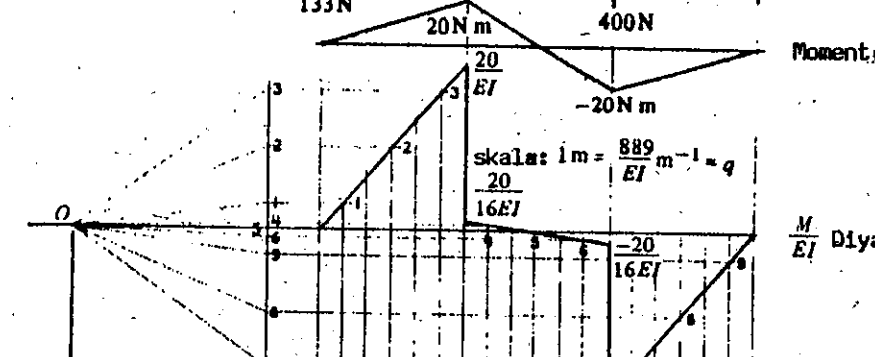
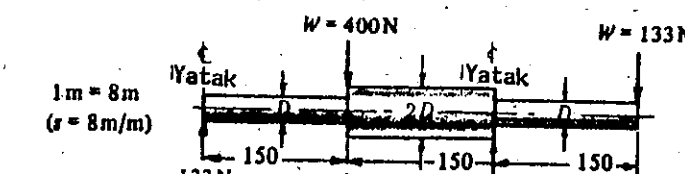
Veticeler:

Sehimler için yapılan hesaplamalar

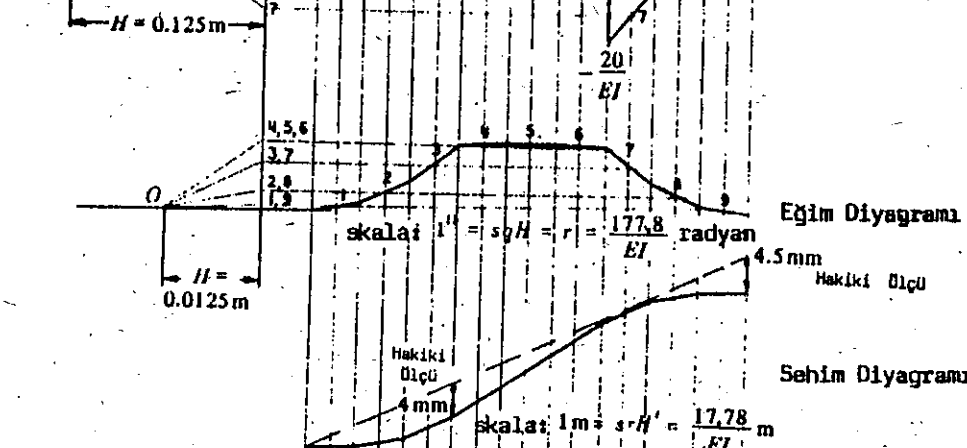
$$\text{At } 800\text{N } y = 0.007 \times 0.0199 = 0.00014\text{m}$$

$$\text{At } 400\text{N } y = 0.011 \times 0.0199 = 0.00022\text{m}$$

Örnek (b). 400N luk yük ve 0,025mm lik sehim taşiyacak D çapını hesaplayınız. Grafiksel, çift integrasyon metodunu kullanınız. Çap kesitlerine ait atalet momenti I dir.



$\frac{M}{EI}$  Diyagram



Notice :

$$400\text{N luk yükteki sehim, } y = 0.004 \times \frac{17.78}{EI} \text{ m.}$$

$$400\text{N luk yükteki sehim } 0.025 \text{ ile sınırlandırılmışsa, } I = 1.37 \times 10^{-8} \text{ m}^4 \quad E = 207 \times 10^9 \text{ N/m}^2, \text{ veya } D = 23.0\text{mm.}$$

Şekil. 5-8 (b)

**MAKİNE PARÇALARINDAKİ** eksenel yüklemeden dolayr ortaya çıkabilen kolon tesiri çok sık görülür. Eksenel yük, çekme gerilmesi şeklinde ise,  $\frac{S}{S} = P/A$  kullanılabilir. Eksenel yük basma yükü şeklinde ise, kolon ifadelerinin kullanılması gereklidir.

Uniform kesitli, ince kolonlar için kritik yükdeki Euler ifadesi aşağıdaki şekilde olur.

$$F_{cr} = \frac{C\pi^2 EA}{(L/k)^2}$$

burada,

$F_{cr}$  = Belvermeye neden olan kritik yük, N

$C$  = Sınır şartlarına göre seçilen bir katsayı (Şekil: 5-9'a değerler için bak).

$E$  = Elastisite modülü, N/m<sup>2</sup>

$A$  = Enine kesit alanı, m<sup>2</sup>

$L$  = Kolon boyu, m

$k$  = Minimum jirasyon yarıçapı  $\sqrt{I/A}$ , m

Eğilme eksene göre,  $I$  minimum atalet momentidir.

Dairesel kesit için,  $k = D/4$

Dikdörtgen kesit için,  $k = h\sqrt{3}/6$ , (h dikdörtgenin küçük boyutudur)

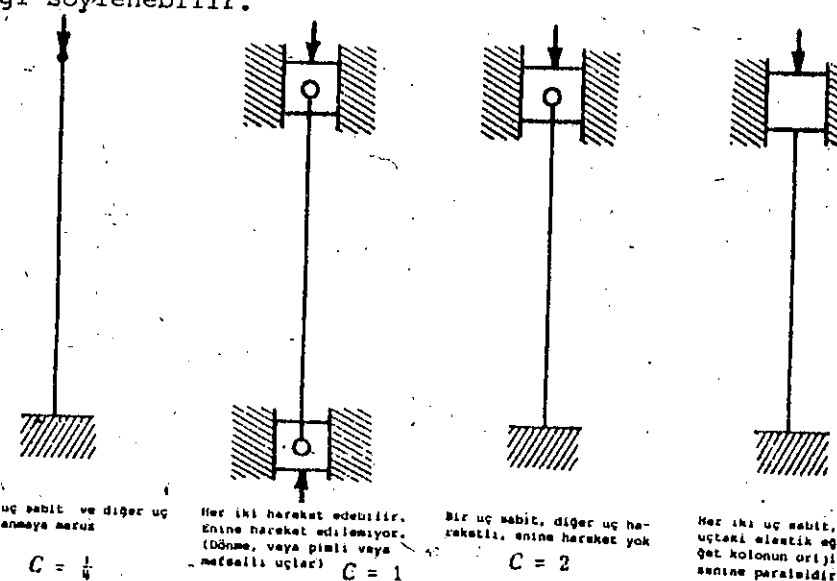
Uniform kesitli, normal boydaki kolonlarda kritik yük çeşitli amprik formüllerle bulunabilir. Bu amprik formüllerden birisi de J. B. Johnson'a aittir:

$$F_{cr} = s_y A \left( 1 - \frac{s_y(L/k)^2}{4C\pi^2 E} \right)$$

burada

$s_y$  = Kopma noktası, N/m<sup>2</sup>. Diğer semboller Euler ifadesinde gösterilmiştir.

$C$  katsayısının değeri sınır şartlarına bağlıdır. Şekil. 5-9  $C$  nin teorik değerleri verilenden daha büyük ise, uçların sabitliği değerlendirilirken çok dikkat etmek gereklidir. Uç noktalarına ait sınır şartlarından çok emin olunmuyorsa,  $C$  katsayısının 2 civarında bir değer olabileceği bilinmelidir. Genelde,  $C$  için maximum bir değer olmak üzere 1 in kabul edilebileceği söylenebilir.



Şekil. 5-9

Emniyetli yük, kritik yük değerinin emniyet sayısıyla bölünmesiyle elde edilir. Emniyet sayısı,  $N$ :

$$F_{emniyet} = F_{cr} = \frac{C\pi^2 EA}{N(L/k)^2} \quad (\text{Euler denklemi})$$

$$F_{emniyet} = \frac{s_y A}{N} \left( 1 - \frac{s_y(L/k)^2}{4C\pi^2 E} \right) \quad (\text{J. B. Johnson denklemi})$$

Euler veya J. B. Johnson ifadesinin tayininde kullanılan  $L/k$ , Euler ifadesindeki kritik yük, J. B. Johnsonun açıkladığı kritik yük ifadesi karşılaştırılarak  $L/k$  değeri rahatlıkla bulunabilir:

$$\frac{C\pi^2 EA}{(L/k)^2} = s_y A \left( 1 - \frac{s_y(L/k)^2}{4C\pi^2 E} \right) \text{ buradan, } L/k = \sqrt{\frac{2C\pi^2 E}{s_y}}$$

$L/k$  değeri çeşitli özelliklere göre aşağıdaki şekilde değerler alabilir.

$C$	$E$ GPa	$s_y$ MPa	$(L/k)^2$	$(L/k)$
$\frac{1}{4}$	207	550	1.849	43
		480	2.113	46
		415	2.465	50
		345	2.958	54
		275	3.697	61
1	207	550	7.394	86
		480	8.451	92
		415	9.860	99
		345	11.832	109
		275	14.789	121
2	207	550	14.789	121
		480	16.902	130
		415	19.719	140
		345	23.663	154
		275	29.579	172

Eğer  $L/k = \sqrt{2C\pi^2 E/s_y}$ , ile bulunuyorsa,  $L/k = 0$  değerine kadar geçerli olabilecek J. B. Johnson ifadesini kullanınız.

Kolon tesirinin burulma ve eğilme gibi diğer türde etki altında kaldığı sürece eşdeğer kolon gerilmelerinden yararlanılabilir. Eşdeğer, gerilme, hakiki yükün kritik yük olan bağıntısı gibi, aynı şekilde kopma noktası gerilmesiyle bağımlı haldedir. Hakiki yük,  $F$  için eşdeğer kolon gerilmesi Euler ifadesinden çıkarılabilir. Bu da,

$$s_{eq} = \frac{F}{A} \left( \frac{s_y(L/k)^2}{C\pi^2 E} \right) = \frac{F}{A} \alpha \quad \text{şeklinde olup, } \alpha = \frac{s_y(L/k)^2}{C\pi^2 E} \quad \text{dir.}$$

Eşdeğer gerilmenin kopma noktası gerilmesine bağlı olduğu unutulmamalıdır. Bu arada kritik yükün kopma noktasından bağımsız olduğu görülmektedir. Belli oran ve boydaki kolonlarda malzeme değişikliği kritik yükü değiştirmeyeceğini söyleyiriz de, eşdeğer gerilmede etkili olduğu bilinmektedir. Hakiki yükün, kritik yüke oranı da manafih, eşdeğer gerilmenin kopma noktası gerilmesine oranında olduğu gibi aynıdır.

Hakiki yük,  $F$  için, eşdeğer kolon gerilmesi, J.B. Johnson ifadesinden çıkarıldığı şekliyle,

$$s_{eq} = \frac{F}{A} \left( \frac{1}{1 - \frac{s_y(L/k)^2}{4C\pi^2 E}} \right) = \frac{F}{A} \alpha \quad \alpha = \frac{1}{1 - \frac{s_y(L/k)^2}{4C\pi^2 E}}$$

Eşdeğer gerilme ifadelerinde, aşağıdaki bağıntı her zaman geçerliliğini korur, sembollerini yukarıda açıklandığı gibidir.  $\frac{F_{cr}}{F} = \frac{s_y}{s_{eq}} = N$

## Çözümlü Problemler

1. Düzgün bir kırıste eğilmeden dolayı ortaya çıkan elastik şekil değiştirmeye enerjisi için uygun ifadeyi çıkarınız.

**Cözüm :**

İki düzlem arasındaki  $d\alpha$  açısının değişimi, bir  $M$  eğilme momentine maruz bu iki düzlem arasındaki mesafenin  $dx$  olması halinde  $d\alpha = M dx/EI$  dir. Kırış üzerindeki şekil değiştirmeye enerjisi, boy  $dx$  olma üzere,

$$dU = \frac{Md\alpha}{2} = \frac{M^2 dx}{2EI}, \text{ veya } U = \int \frac{M^2 dx}{2EI}$$

2. Eğrisel bir kırıste eğilmeden dolayı ortaya çıkan elastik şekil değiştirmeye enerjisi için uygun ifadeyi çıkarınız.

**Cözüm :**

$d\phi$  açısıyla ayrılmış iki düzlem arasındaki açı, değişimi  $d\alpha$ , eğrisel kırış bir  $M$  momentine maruz olduğu sürece,  $d\alpha = M d\phi/AeI$ , olup  $e$ , kütle merkezi eksenile tarafsız eksenin arasındaki mesafedir, ve her zaman kütle merkezi ekseninden eğrilik merkezine doğru ölçülürler. İki düzlem arasındaki kesitte ortaya çıkan şekil değiştirmeye enerjisi,

$$dU = \frac{Md\alpha}{2} = \frac{M^2 d\phi}{2AeI}, \text{ veya } U = \int \frac{M^2 d\phi}{2AeI}$$

3.  $L$  boyundaki bir konsol kırışın uç tarafına tattbik edilen  $P$  kuvvetinden dolayı ortaya çıkan eğilmenin neden olduğu sehimin  $PL^3/3EI$  olduğunu, (a) Çift integrasyonla, (b) moment alan metoduyla, (c) Kastigiano teoremini kullanarak gösteriniz.

**Cözüm :**

- (a) Çift integrasyon kullanılarak,

Elastik eğrinin denklemi,

$$EI \frac{d^2y}{dx^2} = M = -Px$$

$x$ , mesnete doğru olan yükten ölçülmüştür. Bir kere integrasyonla,

$$EI \frac{dy}{dx} = \frac{-Px^2}{2} + C_1$$

elde edilir.  $x=L$  de eğimin sıfır olduğu düşünülerek,  $C_1 = PL^2/2$  ve

$$EI \frac{dy}{dx} = \frac{-Px^2}{2} + \frac{PL^2}{2}$$

olmaktadır. İkinci integrasyon,

$$Ely = \frac{-Px^3}{2} + \frac{PL^2 x}{2} + C_2$$

yi verir. Zira,  $x=L$ , de  $y=0$  dir ve  $C_2 = -PL^3/3$  ve

$$Ely = \frac{-Px^3}{6} + \frac{PL^2 x}{2} - \frac{PL^3}{3}$$

olmakta, ve  $x=0$  için

$$y = \frac{-PL^3}{3EI}$$

şeklindedir.

- (b) Moment alanı metodu kullanılarak, Şekil. 5-10.

(1)  $P$  yükünün gösterildiği kırış resmini çiziniz.

(2) Elastik eğriyi çiziniz, ve B noktasından eğriye teget çiziniz.

(3)  $M/EI$  diyagramını çiziniz.

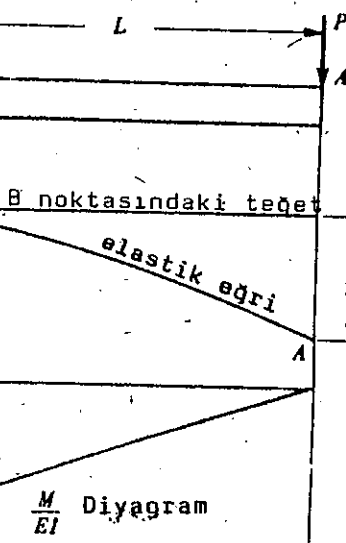
(4) Sonradan A ve B noktaları arasında  $M/EI$  alanının momentini alarak y sehimini elde edilir. Bu alanın moment kolu,  $2L/3$ . Alan ise,  $-PL^2/2EI$  dir sonra,

$$y = \left( \frac{2L}{3} \right) \left( \frac{-PL^2}{2EI} \right) = \frac{-PL^3}{3EI}$$

- (c) Kastigiano teoremi kullanılarak,

$M$  eğilme momentine maruz olan düz bir kırıştaki depolanan şekil değiştirmeye enerjisi,

$$U = \int \frac{M^2 dx}{2EI}$$



Şekil. 5-10

zira, moment,  $-Px$  dir. Bu takdirde,  $U = \int_a^L \frac{(-Px)^2 dx}{2EI} = \frac{P^2 L^3}{6EI}$

Sonada sehim kısmi türevler alınarak bulunur,  $\frac{\partial U}{\partial P} : y = \frac{\partial U}{\partial P} = \frac{2PL^3}{6EI} = \frac{PL^3}{3EI}$  + değerli sehim, sehimin yük yönünde olduğunu gösterir ki, bu probleme aşağıya doğrudur.

4. Basit yüklü bir kırıştaki, orta noktada etkili bir  $P$  yükünden dolayı ortaya çıkan sehimin  $PL^3/48EI$  olduğunu gösteriniz. Çözümü (a) Moment alanı metoduyla, (b) eşdeğer kırış metoduyla, (c) step fonksiyonları kullanarak, (d) Kastigiano teoremini kullanarak gerçekleştiriniz.

**Cözüm :**

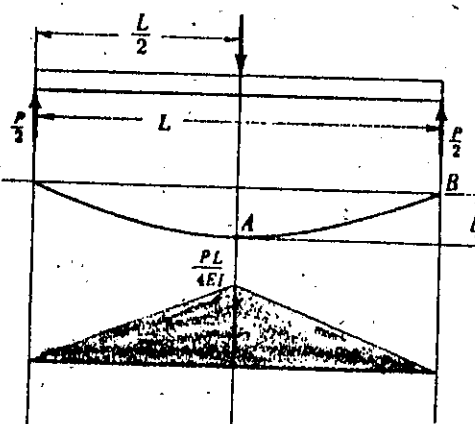
- (a) Şekil. 5-11'de görüldüğü üzere elastik eğriyi ve  $M/EI$  diyagramını çiziniz. Orta nokta olan A dan elastik eğriye bir teget çiziniz ki bu probleme söz konusu noktada maximum sehim olmaktadır. Yükün tattbik noktasında eğimin sıfır olacağını kabul edecek olursak, problemi biraz basitleştirmış oluruz.

Sonradan A ve B noktaları arasında, B noktasına göre,  $M/EI$  diyagramının alanının momentini alarak A sehimini tayin edilir.

A ve B noktaları arasındaki  $M/EI$  diyagramının alanı,

$$\frac{1}{2} \left( \frac{PL}{4EI} \right) \frac{L}{2} = \frac{PL^2}{16EI}$$

olup, üçgen alanının kütle merkezine ait moment kolu, B noktasından  $(2/3)(L/2) = L/3$  dir.



Şekil. 5-11



- (4) A ve C noktaları arasındaki  $M/EI$  diyagramının alanının momentini alarak,  $\Delta_2$  yi hesaplayınız.

$$\Delta_2 = \frac{21}{16EI} (0.15) \left( \frac{0.15}{2} \right) + \frac{21}{EI} \left( \frac{0.15}{2} \right) \left( 0.15 + \frac{1}{3} \times 0.15 \right) = \frac{0.32976}{EI}$$

- (5)  $\Delta_3$ , oranla bulunur,

$$\Delta_3 = \frac{0.45}{0.3} \Delta_2 = \frac{0.4946}{EI}$$

sonra,

$$y_1 = \Delta_1 - \Delta_3 = \frac{0.2584}{EI}$$

- (6)  $\Delta_5$ , oranla bulunur,

$$\Delta_5 = \frac{\Delta_3}{3} = \frac{0.16487}{EI}$$

- (7)  $\Delta_4$ , ise,

$$\Delta_4 = \left( \frac{21}{EI} \right) \left( \frac{0.15}{2} \right) \left( \frac{0.15}{3} \right) = \frac{0.07875}{EI}$$

Şeklinde bulunur. sonra,

$$y_2 = \Delta_5 - \Delta_4 = \frac{0.08612}{EI}$$

7. 6 no'lu problemi Kastigliano teoremini kullanarak çözümünüz.

Cözüm :

Eğilmeden dolayı ortaya çıkan toplam zorlanma enerjisi

$$U = \int \frac{M^2 dx}{2EI} = U_1 + U_2 + U_3. \quad \text{Şekil. 5-13}$$

burada,  $U_1 = x=0$  ilâ  $x=0.15$  arasındaki enerji

$U_2 = x=0.15$  ilâ  $x=0.30$  arasındaki enerji

$U_3 = x=0.30$  ilâ  $x=0.45$  arasındaki enerji olmak üzere,

$$U_1 = \int_0^{0.15} \frac{(R_L x)^2 dx}{2EI} = \left[ \frac{R_L^2 x^3}{6EI} \right]_0^{0.15} = \frac{0.15^3 R_L^2}{6EI} = \frac{0.15^3}{6EI} \left( \frac{P_1 + P_2}{2} \right)^2$$

elde edilir. Şimdi  $U_3$  ü hesaplamaya çalışalım.

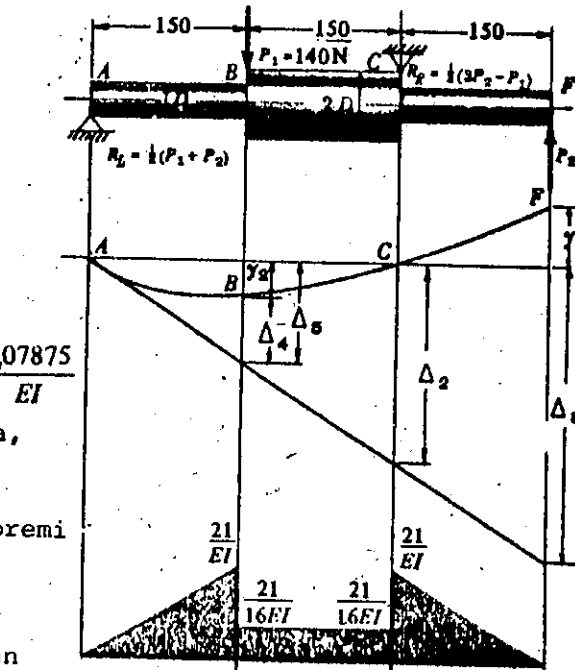
$$U_3 = \int_{0.30}^{0.45} \frac{0.45 P_2^2 (0.45 - x)^2 dx}{2EI} = \frac{0.15^3 P_2^2}{6EI}$$

I, D çaplı bölümün atalet momenti ise,  $x=0.15$  ilâ  $x=0.30$  arasındaki, 2D çaplı bölgedeki atalet momenti,  $16I$  dır. Orta konumda şekil değiştirme enerjisi ise,

$$U_2 = \int_{0.15}^{0.30} \frac{[R_L x - P_1(x-0.15)]^2 dx}{2E(16I)}$$

integrasyon ve sonradan  $R_L$  için  $\frac{1}{2}(P_1 + P_2)$  yi ifade ede yine koyarak,

$$U_2 = \frac{0.15^3}{384EI} [P_1^2 + 4P_1P_2 + 7P_2^2]$$



Toplam Şekil değiştirme enerjisi,  $U = U_1 + U_2 + U_3$

$$U = \frac{0.15^3}{384EI} [17P_1^2 + 36P_1P_2 + 87P_2^2]$$

$P_1$  yükü altında, sehim,

$$\frac{\partial U}{\partial P_1} = \frac{0.15^3}{384EI} [34P_1 + 36P_2] = \frac{0.0861}{EI}$$

$P_2$  yükü altında, sehim,

$$\frac{\partial U}{\partial P_2} = \frac{0.15^3}{384EI} [36P_2 + 174P_1] = \frac{0.2584}{EI}$$

8. (a) Moment alanı metodunu kullanarak, uniform yayılı yüklü, L boyunca bir kirişte, maximum eğilme sehiminin (Şekil. 5-15)  $5wL^4/384EI$  olduğunu gösteriniz. Kirişteki yayılı yük,  $w N/m$  şeklindedir. (b) (a) şıklını Kastigliano teoremini kullanarak çözüpuz.

Cözüm :

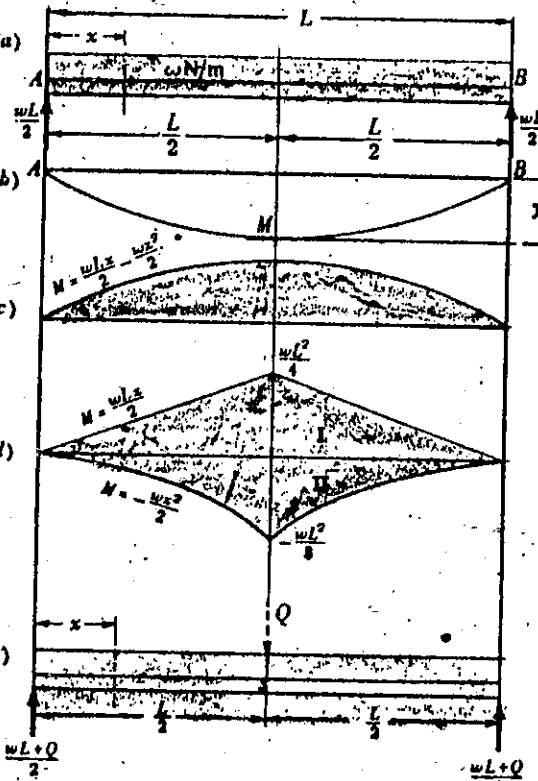
- (a) Moment alanı metodunu kullanarak,

1. Şekil. 5-15(b)'de olduğu üzere elastik eğriyi çiziniz. Elastik eğrinin M noktasında yatay teğeti çiziniz. M ve B noktaları arasındaki moment diyagramının alanının momenti y sehimini verir. Bunun için ifadenin  $EI$  ile bölümnesi gereklidir.

2. Şekil. 5-15(c)'de görüldüğü gibi moment diyagramını (d) çiziniz.

3. Değişiklik için, moment diyagramını parçalar halinde çizelim. Bu işlem bazı durumlarda, alanların tayini ve alanların kütle merkezlerini bulmada kolaylık sağlayabilir.

4. Bu problemden, I ve II kisimlarının momentleriyle ilgilenmektediz.



$$\text{I. bölgenin alanı} = \left( \frac{wL^2}{4} \right) \left( \frac{L}{4} \right) = \frac{wL^3}{16}$$

$$\text{II bölgenin alanı} = \left( \frac{wL^2}{8} \right) \left( \frac{L}{2} \right) \left( \frac{1}{3} \right) = \frac{wL^3}{48}$$

$$\text{I. Bölgenin kütle merkezinin } B \text{ noktasına olan uzaklığı} \\ (2/3)(L/2) = L/3.$$

$$\text{II. Bölgenin kütle merkezinin } B \text{ noktasına olan uzaklığı} \\ (3/4)(L/2) = 3L/8.$$

$$\text{sonradan, } EIy = \left( \frac{wL^3}{16} \right) \left( \frac{L}{3} \right) - \left( \frac{wL^3}{48} \right) \left( \frac{3L}{8} \right) = \frac{5wL^4}{384} \quad y = \frac{5wL^4}{384EI}$$

Şekil. 5-15

(b) Kastigliano teoremini kullanarak,

1. Şekil. 5-15(e)'de görüldüğü gibi,  $Q$  yükünün tayin edileceği noktada etkili olduğunu düşünelim.

2. Eğilme şekil değiştirmeye enerjisi  $\int \frac{M^2 dx}{2EI}$  dir. Kirişin sol tarafı için şekil değiştirmeye enerjisi,

$$U_1 = \int_0^{L/2} \frac{\left[ \frac{1}{2}(wL+Q)x - \frac{1}{2}wx^2 \right]^2 dx}{2EI}$$

Sol taraftaki şekil değiştirmeye enerjisi sağ taraftakının aynısı olduğuna göre, toplam şekil değiştirmeye enerjisi,  $U = 2U_1$  dir.  $U = 2 \int_0^{L/2} \frac{\left[ \frac{1}{2}(wL+Q)x - \frac{1}{2}wx^2 \right]^2 dx}{2EI} = \frac{1}{EI} \left[ \left( \frac{wL+Q}{2} \right)^2 \frac{L^3}{24} - \frac{(wL+Q)wL^4}{128} + \frac{w^2 L^6}{640} \right]$

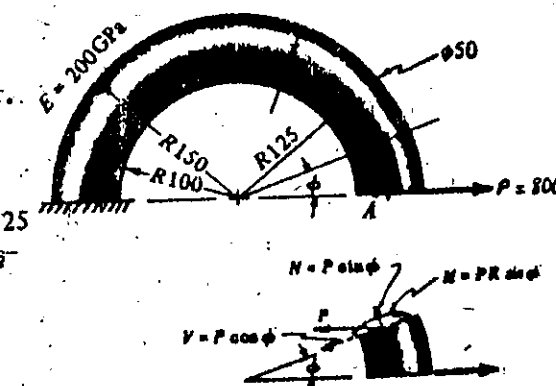
$$y = \frac{\partial U}{\partial Q} = \frac{1}{EI} \left[ (wL+Q) \frac{L^3}{48} - \frac{wL^4}{128} + 0 \right]$$

olduğu zaman,  $Q=0$ ,

$$y = \frac{1}{EI} \left[ \frac{wL^4}{48} - \frac{wL^4}{128} \right] = \frac{5wL^4}{384EI}$$

veya,  $W$  toplam yük ise,  $wL, y = \frac{5WL^3}{384EI}$ , olarak bulunur.

9. Şekil. 5-16'da görülen 50mm çapındaki çelik malzeme, 100mm eğrilik yarıçapında bükülmüştür ve şekildeki gibi yüklenmiştir. Bu şartlar altında A noktasındaki yatay sehim hesaplayınız. Sadece eğilme hesaba katılacaktır..



Şekil. 5-16

$P$  yükü doğrultusunda, sehim,

$$\frac{\partial U}{\partial P} = \frac{\pi P^2}{128 AeE}$$

$e$  Dairesel kesit için, tarafsız eksenle, kütle merkezi eksenin arasındaki mesafedir.

$$e = R - \frac{(\sqrt{r_o} + \sqrt{r_i})^2}{4} = 0,125 - \frac{(\sqrt{0,15} + \sqrt{0,10})^2}{4} = 0,001262 \text{ m olur.}$$

$P$  yükü doğrultusunda, sehim,

$$\frac{\partial U}{\partial P} = \frac{\pi P}{128 AeE} = \frac{\pi(800)}{128(\pi \times 0,05^2)(0,001262)(200 \times 10^9)} = 0,0396 \text{ mm}$$

10. 9. Problemdeki sehim, (a) Kesme ve (b) eğilme, kesme ve normal yük bileşenlerine göre tekrar hesaplayınız.  $G = 80 \text{ GPa}$

Cözüm :

(a) Herhangi bir kesitte, enine kesme kuvveti  $V$  nin değeri,  $V = P \cos \phi$  şekil değiştirmeye enerjisi ise,

$$U = \int_0^{\pi} \frac{KV^2 R d\phi}{2AG} \quad (\text{dairesel kesit için } K = \frac{4}{3})$$

$$= \int_0^{\pi} \frac{4(P \cos \phi)^2 (0,125) d\phi}{3(2)(\frac{4}{3} \times 0,05^2)(80 \times 10^9)} = \frac{5,305 P^2}{10^{10}} \int_0^{\pi} (\cos \phi)^2 d\phi = \frac{5,305 P^2}{10^{10}} \left[ \frac{\sin 2\phi}{4} + \frac{\phi}{2} \right]_0^{\pi}$$

$$= 5,305 \times 10^{-10} \left( \frac{\pi}{2} \right) P^2$$

Kuvvet yönündeki kesme kuvvetinden dolayı sehim,

$$\frac{\partial U}{\partial P} = \frac{\partial}{\partial P} (8,33 \times 10^{-10} P^2) = 1,67 \times 10^{-9} \times 800 = 0,00133 \text{ mm}$$

Eğilmeden dolayı sehimin, 0,0396mm olduğu hatırlanmalıdır.

(b) Herhangi bir kesitte, eksenel uzama sağlayan,  $P$  yükünün normal bileşeni  $N = P \sin \phi$  dir.  $N$  normal kuvvetinden dolayı, kesitin dönmesine  $M = PR \sin \phi$  momenti karşı koymaktadır. Eğilme halinde, normal yük bileşeninden dolayı ortaya çıkan şekil değiştirmeye enerjisi,

$$U = \int_0^{\pi} \left[ \frac{N^2 R}{2AE} - \frac{MN}{AE} \right] d\phi = \left[ \int_0^{\pi} \frac{(P \sin \phi)^2 d\phi}{2} - \int_0^{\pi} (P \sin \phi)(P \sin \phi) d\phi \right] \frac{0,125}{\frac{\pi}{4}(0,05^2)(200 \times 10^9)}$$

$$= 3,183 \times 10^{-10} \left[ P^2 \int_0^{\pi} \frac{(\sin \phi)^2 d\phi}{2} - P^2 \int_0^{\pi} (\sin \phi)^2 d\phi \right] = -2,50 \times 10^{-10} P^2$$

$$\frac{\partial U}{\partial P} = -5,00 \times 10^{-10} P = -4 \times 10^{-7} \text{ m}$$

böylece, Eğilme, kesme ve normal kuvvetin ortak tesirlerinden dolayı ortaya çıkan net sehim,  $\delta = 3,96 \times 10^{-2} + 1,33 \times 10^{-3} + (-4 \times 10^{-7})$  veya 0,045mm dir.

11. Şekil. 5-17'de görülen iskeletteki yük boyunca ortaya çıkacak, yatay yer değiştirmeye ne kadar olur? Bütün kesitler için atalet momenti aynıdır. Sehimin sadece eğilmeden dolayı olduğunu kabul edelim.

Cözüm :

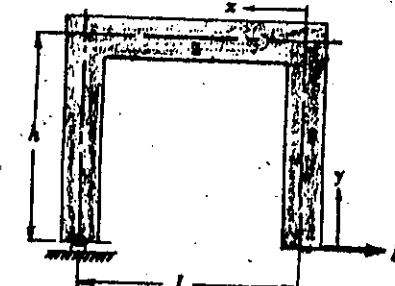
Kastigliano teoremini kullanarak, iskeletin şekil değiştirmeye enerjisi, üç elemandaki enerjilerin toplamıdır. 1 ve 3 no'lu elemanlar için enerji aynı değerdedir.

$$U_{1,3} = 2 \int_0^h \frac{M^2 dy}{2EI} = 2 \int_0^h \frac{(Fy)^2 dy}{2EI} = 2 \left( \frac{F^2 h^3}{6EI} \right)$$

$$U_2 = \int_0^L \frac{(Fh)^2 dx}{2EI} = \frac{F^2 h^2 L}{2EI} \quad (2 \text{ no'lu eleman için})$$

$$\text{Toplam enerji} = 2 \left( \frac{F^2 h^3}{6EI} \right) + \frac{F^2 h^2 L}{2EI}$$

$$\frac{\partial U}{\partial F} = \frac{2Fh^3}{3EI} + \frac{Fh^2 L}{EI} = AL \cdot F \quad \text{vönünde}$$



Şekil. 5-17.

56

12. Şekil. 5-18'de görülen bir makine iskeleti için alt ucuna tattık edilen yatay  $F$  kuvvetinden dolayı ortaya çıkan yatay ve düşey sehimini tayin ediniz. Eğilme eksenel yükleri hesaba katılacaktır.

**Cözüm :**

iskeletin çeşitli parçalarında, eksenel yükten ve eğilmeden dolayı ortaya çıkan şekil değiştirmeye enerjisi,

$$U_1 = \int_0^h \frac{(Fy)^2}{2EI} dy + \int_0^h \frac{Q^2 dy}{2AE}$$

$$U_2 = \int_0^L \frac{(Qx + Fh)^2}{2EI} dy + \int_0^L \frac{F^2 dx}{2AE}$$

$$U_3 = \int_0^h \frac{(QL + Fy)^2}{2EI} dy + \int_0^h \frac{Q^2 dy}{2AE}$$

Toplam şekil değiştirmeye enerjisi,  $U = U_1 + U_2 + U_3$

$$U = \left( \frac{1}{6EI} \frac{h^3}{2AE} + \frac{Q^2 h^2}{2AE} \right) + \left( \frac{Q^2 L^3}{6EI} + \frac{QL^2 Fh}{2EI} + \frac{F^2 h^2 L}{2EI} + \frac{F^2 L}{2AE} \right) + \left( \frac{Q^2 L^2 h}{2EI} + \frac{QL Fh^2}{2EI} + \frac{F^2 h^3}{6EI} + \frac{Q^2 h}{2AE} \right)$$

$F$  e göre  $U$  nun kısmi türevleri alınarak, düşey yöndeki sehim tayin edilir.  $Q$  sıfırdır.

$$\frac{\partial U}{\partial F} = \delta_x = \frac{Fh^2}{EI} \left( \frac{2h}{3} + L \right) + \frac{FL}{AE}$$

$Q$  ya göre  $U$  nun kısmi türevi alınacak olursa, düşey yöndeki sehim elde edilir.  $Q$  sıfıra eşit kılınır.

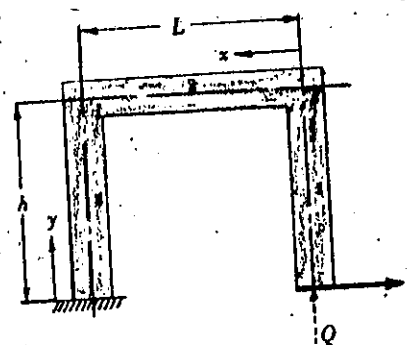
$$\frac{\partial U}{\partial Q} = \delta_y = \frac{FLh}{2EI} (L+h)$$

13.  $\frac{dy}{dx} = C_1 + \frac{KV}{AG}$  formundaki kesit değişikliği ve çeşitli yüklerle donatılmış bir kirişte, kesme sehim ifadesini çıkarınız.

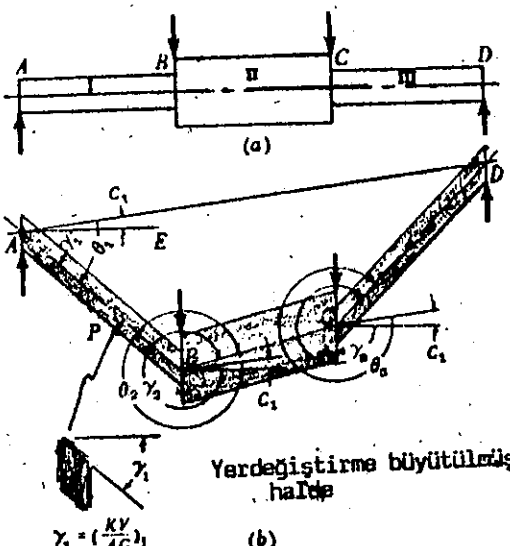
**Cözüm :**

1. Şekilde görüldüğü gibi,  $A, B, C$  ve  $D$  noktalarına kuvvetler etkimektedir. Şekil. 5-19(a). Toplu yükler şekilde görüldüğü üzere. Aşağıda görüleceği gibi, işlem aynı şekilde değişken yükler için genişletilebilir.

2. Kesmeden dolayı ortaya çıkan sehim, hareketsiz yüzeyin sehimini de hesaba katarak bulunur. Bu enine kesit boyunca ortaya çıkan warpage in gereksinimini elimine eder. Tarafsız eksendeki enine kesitte bulunan differansiyel elemanları hareketsiz yüzeye göre dik yönde hareket ederler. Sonra, bu elemanları ihtiva eden bütün düzlemler, hareketsiz yüzeyde paralel halde kalırlar. zira bunlar orijinal kirişin hareketsiz yüzeyine dikdirler.



Şekil. 5-18



Şekil. 5-15

3. Şekil. 5-19(b)de görüldüğü gibi, elemanın parçaları, birbirlerine göre, kesmeden dolayı belverme ortaya çıkacaktır.
4.  $A$  ve  $D$  noktalarındaki sehimin önlenmesi bilinirse, sıfır sehim hattı  $AD$  çizilebilir.
5. Referans hattı için,  $A$  noktasındaki kesite dik olmak üzere  $AE$  hattını çiziniz.
6.  $AD$  sıfır sehim hattıyla  $AE$  referans hattı arasındaki açı  $C$  dir.
7. Sıfır sehim hattıyla elemanın merkez hattı arasındaki açı  $\theta$  dir.  $\theta_1 = C_1 + \gamma_1, \theta_2 = C_1 + \gamma_2, \theta_3 = C_1 + \gamma_3$ . Bütün açıların küçük olduğu düşünülsürse,  $\tan \theta_1 = C_1 + \tan \gamma_1, \tan \theta_2 = C_1 + \tan \gamma_2, \tan \theta_3 = C_1 + \tan \gamma_3$
8. Sıfır sehim hattına göre, merkez hattının eğimi,  $Q$  nin tanjantıdır.  $\tan \theta_1 = (dy/dx)_I, \tan \theta_2 = (dy/dx)_{II}, \tan \theta_3 = (dy/dx)_{III}$
9. Kesme gerilmesi, kesme zorlanmasıyla orantılı olduğundan,

$$s_s = \frac{KV}{A} = (\tan \gamma)G \quad \text{veya} \quad \tan \gamma = \frac{KV}{AG}$$

Yukarıda görülen  $K$  belirli kesitler için katsayı olarak tanımlanır ve dairesel kesitler için  $K = 4/3$  ve dikdörtgen kesit için ise  $K = 3/2$  dir. Değişik kesitler için,

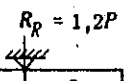
$$\tan \gamma_1 = \left( \frac{KV}{AG} \right)_I, \tan \gamma_2 = \left( \frac{KV}{AG} \right)_{II}, \tan \gamma_3 = \left( \frac{KV}{AG} \right)_{III}$$

10. (9) ve (8) maddelerden elde edilen değerleri, (7). maddede yerine koymak olursak,

$$\text{I.Böl. } \left( \frac{dy}{dx} \right)_I = C_1 + \left( \frac{KV}{AG} \right)_I, \text{ II.Böl. } \left( \frac{dy}{dx} \right)_{II} = C_1 + \left( \frac{KV}{AG} \right)_{II}, \text{ III.Böl. } \left( \frac{dy}{dx} \right)_{III} = C_1 + \left( \frac{KV}{AG} \right)_{III}$$

11. (10) maddedeki ifadeleri kullanarak, konvensiyonel kesme diyagramını çiziniz. Kesme kuvveti (+) ise ifadede olduğu şekilde yerine koyunuz. Eğer kesme kuvveti (-) ise ifadede olduğu şekilde yerine koyunuz. Artı, sehimin aşağıya doğru ve eksi, sehimin yukarıya doğru olduğunu gösterir.

14. Şekil. 5-20 için, tattık edilen  $P$  yükü doğrultusunda olmak üzere, kesmeden dolayı ortaya çıkan sehim hesaplayınız. Hesaplama larınızı, (a) Castiglianonun şekil değiştirmeye enerjisi teoremini kullanarak yapınız. Sabit mesnetler arasında kesmeden dolayı sehimin sıfır olduğunu unutmayın.



Şekil. 5-20

- (a) Elemanda biriktirilen toplam şekil değiştirmeye enerjisi, 1 ve 2 bölgelerindeki enerjilerin toplamıdır. Bu da,

$$U = U_1 + U_2 = \int_0^{10} \frac{KV^2}{2AG} dx + \int_{10}^{12} \frac{KV^2}{2AG} dx = \int_0^{10} \frac{K(0,2P)^2}{2AG} dx + \int_{10}^{12} \frac{K(-P)^2}{2AG} dx = \frac{1,2KP^2}{AG}$$

$$P$$
 yükündeki düşey sehim,  $\frac{\partial U}{\partial P} = \frac{2,4KP}{AG}$

- (b)  $P$  deki sehim ayrıca,  $\frac{dy}{dx} = \frac{KV}{AG} + C_1$  in integrasyonu ile elde edilebilir.

iki reaksiyon kuvveti arasındaki  $V$  nin değeri  $+0,2P$ , olduğu gözlenmiştir.  $P$  yükü ile sağ taraftaki reaksiyon kuvveti arasında  $V$  nin değeri  $-P$  dir. Step fonksiyon kullanılarak,  $V$  nin değeri,  $V = 0,2P - 1,2PH_{10}$  ifade edilir. Burada,  $x < 10$  için  $H_{10} = 0$  ve

$$\frac{dy}{dx} = \frac{K(0,2P - 1,2PH_{10})}{AG} + C_1 \quad \text{ve} \quad \frac{KV}{AG} \int_{x=10}^{x=x} - 1,2H_{10} + C_1 dx = \frac{x}{AG} [0,2x - 1,2H_{10}(x-10) + C_1 x + C_2]$$

Sınır şartından,  $x=0$  iken  $y=0, C_2=0$ .

Sınır şartından,  $x=L$  iken  $y=0$  ve  $C_1=-0,2, 0 = \frac{KP}{AG} (2 + 10C_1)$

Genel kesme sehimini ifadesi,  $y = \frac{KP}{AG} [0,2x - 1,2H_{10}(x-10) - 0,2x]$ .

Kesme sehimini,  $x=12$  m de  $y = \frac{2.4KP}{AG}$

15. Sekil. 5-21'de görülen elemana tatbik edilen bir  $P$  yükü altında kesmeden dolayı ortaya çıkan sehimini hesaplayınız. Elemanın orta noktasından itibaren A kesiti 2A haline gelmektedir. Hesaplamalarınız, (a) Şekil değiştirmeye enerjisi metodunu, (b) Sehimi ifadesini ve, (c) (b) maddesini step fonksiyon kullanarak yapınız.

**Cözüm :**

(a) Kesmeden dolayı ortaya çıkan şekil değiştirmeye enerjisi,

$$U = \int_0^{L/2} \frac{K(P/2)^2 dx}{2AG} + \int_{L/2}^L \frac{K(-P/2)^2 dx}{2(2A)G} = \frac{KP^2}{8AG} \left(\frac{L}{2}\right) + \frac{KP^2}{16AG} \left(\frac{L}{2}\right)$$

$P$  yükü altında, kesme sehimini ise,  $y = \frac{\partial U}{\partial P} = \frac{KPL}{8AG} + \frac{KPL}{16AG} = \frac{3KPL}{16AG}$

(b) Enine kesme ifadesini kullanarak,

$$1. 0 < x < \frac{L}{2} \text{ için } \frac{dy}{dx} = C_1 + \frac{KV}{AG} \quad \text{Kesme kuvveti, } V = \frac{P}{2}$$

sonra  $\frac{dy}{dx} = C_1 + \frac{K(P/2)}{AG}$ ,  $y$ yi integre ederek, (1)  $y = \left(C_1 + \frac{KP}{2AG}\right)x + C_2$  yi buluruz.

$$2. \frac{L}{2} < x < L, \text{ için } \frac{dy}{dx} = C_1 + \frac{KV}{(2A)G} \quad \text{Kesme kuvveti, } V = -\frac{P}{2}$$

Sonra  $\frac{dy}{dx} = C_1 + \frac{K(-P/2)}{(2A)G}$  yi integre ederek, (2)  $y = \left(C_1 - \frac{KP}{4AG}\right)x + C_3$  yi buluruz.

3. Sınır şartları,

- $x=0, y=0$ ; böylece (1) no'lu ifadeden  $0 = (C_1 + KP/2AG)0 + C_2$
- $x=L, y=0$ ; böylece (2) no'lu ifadeden,  $0 = (C_1 - KP/4AG)L + C_3$
- $x=L/2$ , (1) no'lu ifadeden  $y = (2)$  no'lu ifadeden  $y = (1)$ ,  $(C_1 + KP/2AG)L/2 + 0 = (C_1 - KP/4AG)L/2 + 0 = (C_1 - KP/4AG)L/2 + C_3$ .

$C_3 = \frac{3KPL}{8AG}$   $C_1$  ve  $C_3$  için çözüm yapılacak olursa,  $C_3, C_1 = -\frac{KP}{8AG}$  ve

$x=L/2$  deki sehim, (1) no'lu ifadeden bulunabilir. Sabitleride yerlerine koyarak,

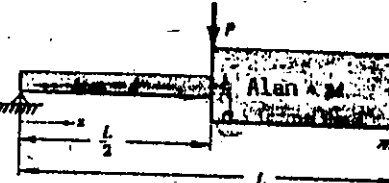
$$y = \left(-\frac{KP}{8AG} + \frac{KP}{2AG}\right)\frac{L}{2} + 0 = \frac{3KPL}{16AG} \text{ elde edilmiş olur.}$$

(c) Step fonksiyonu kullanarak,

Eğim için ifade,  $\frac{dy}{dx} = \frac{KV}{AG} + C_1$ ,  $\frac{dy}{dx} = \frac{K}{AG} \frac{P}{2} - \frac{3KP}{4AG} H_{L/2} + C_1$  den,  $x < L/2$  için

$H_{L/2}=0$  ve  $x > L/2$  için  $H_{L/2}=1$  ile step fonksiyonla, integre ederek,

$$y = \frac{KP}{2AG} \left[x - \frac{3}{2}H_{L/2} \left(x - \frac{L}{2}\right)\right] + C_1 x + C_2$$



Sekil. 5-21

$x=0, y=0$ , iken,  $C_2=0$  olmakta,  $x=L, y=0$  iken  $C_1 = -KP/8AG$ ,  $x=L/2$  de sehim,

$$y = \frac{KP}{2AG} \left(\frac{L}{2} - 0\right) - \frac{KP}{8AG} \left(\frac{L}{2}\right) + 0 = \frac{3KPL}{16AG}$$

16. Gösterildiği gibi yüklenmiş içi boş bir milde eğilmeden dolayı sehim ile, enine kesmeden dolayı yükteki sehim hesaplayınız. Yukteki toplam sehim ne kadardır. Sekil. 5-22'ye bakınız.

**Cözüm :**

(a) Enine kesmeden dolayı ortaya çıkan sehim,

$$0 < x < a$$

$$\frac{dy}{dx} = C_1 + \frac{KV}{AG} = C_1 + \frac{K(3600)}{AG}$$

İntegre ederek,

$$(1) y = C_1 x + \frac{K(3600)}{AG} x + C_2$$

$$a < x < L$$

$$\frac{dy}{dx} = C_1 + \frac{KV}{AG} = C_1 + \frac{K(-1800)}{AG}$$

İntegre ederek,

$$(2) y = C_1 x - \frac{K(1800)}{AG} x + C_3$$

Sınır şartları ise:

$$1. x=0 \text{ iken, } y=0$$

$$2. x=L \text{ iken, } y=0$$

$$3. x=a \text{ iken, (1) den olan } y = (2) \text{ den olan } y$$

$$\text{buradan, } C_1 = 0, C_2 = 0, C_3 = \frac{1800KL}{AG}$$

Sonra, (1) no'lu ifadede  $C_1 = C_2 = 0$  koşullarla ve  $x=50$  mm deki sehim için çözüm aranırsa,

$$y = 0 + \frac{2KPa}{3AG} + 0 = \frac{2K}{3AG} (5400)(0,050)$$

$K$  ortalamalı gerilmeye ilave edilen bir faktör olup, tarafsız eksen üzerinde maximum kesme gerilmesini tayin etmeden kullanılabilir.  $K = \frac{VQ}{Ib}$  veya  $K = \frac{QA}{Ib}$

$$\text{Şimdi, } \frac{V}{A} = \frac{180K}{AG}$$

Burada,  $Q =$  tarafsız eksenin üzerindeki alanın momentidir.

$$= \left(\frac{\pi D_o^2}{8}\right) \frac{2}{3} \frac{D_o}{\pi} - \left(\frac{\pi D_l^2}{8}\right) \frac{2}{3} \frac{D_l}{\pi}$$

$$A = \frac{\pi(D_o^2 - D_l^2)}{4}, \text{ Enine kesitin alanı.}$$

$$J = \frac{\pi(D_o^4 - D_l^4)}{64}, \text{ Enine kesitin ailet momenti.}$$

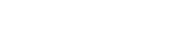
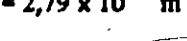
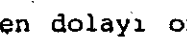
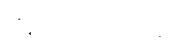
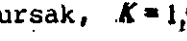
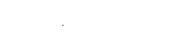
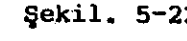
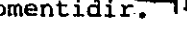
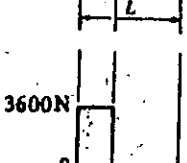
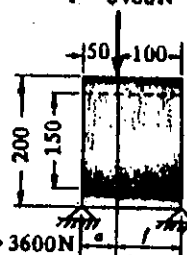
$$b = D_o - D_l, D_o = \text{dış çap, } 0,20 \text{ m, } D_l = \text{ iç çap, } 0,15 \text{ m}$$

Bu değerleri  $K = \frac{Q}{Ib}$  de yerine koyacak olursak,  $K = 1,97$  bulunur.

$$\text{sonra, } y = \frac{180K}{AG} = \frac{(180)(1,97)}{\frac{1}{4}\pi(0,2^2 - 0,15^2)(80 \times 10^9)} = 3,23 \times 10^{-7} \text{ m}$$

(b) Görüldüğü üzere yüklü kiriş için eğilmeden dolayı ortaya çıkan sehim,

$$y = \frac{Pa^2 b^2}{3EI L} = \frac{5400(0,05^2)(0,10)^2}{3 \times 200 \times 10^9 \times \frac{\pi}{64}(0,2^4 - 0,15^4) \times 0,15} = 2,79 \times 10^{-8} \text{ m}$$





ve  $x = 0,15\text{m}$  için,

$$y = + \frac{10.5K}{AG} \quad (\text{Artı işaretin sehimin artı yönde olduğunu gösterir, aşağıya doğru})$$

$P_2$ , de kesmeden dolayı ortaya çıkan sehim, (3) no'lu ifadeden,

$$y = - \frac{70K}{AG}x - \frac{140K}{AG}x + \frac{63K}{AG} = \frac{210K}{AG}x + \frac{63K}{AG}$$

ve  $x = 0,45$ ,  $y = -31,5K/AG$  (Eksi işaretin sehimin yukarıya doğru olduğunu göstermektedir.)

19. Şekil. 5-25'de görülen kiriş sistemi için bir önceki için bir önceki problemde olduğu gibi istenilenleri hesaplayınız. Castigliano teoremini kullanmayınız.

**Çözüm:**

Sol taraftaki reaksiyon  $\frac{1}{2}(P_1 + P_2)$  ve sağdaki reaksiyon ise,  $\frac{1}{2}(3P_2 - P_1)$  dır.

Zorlanma enerjisi,

$$U = \int_0^{0,15} \frac{K[\frac{1}{2}(P_1 + P_2)]^2}{2AG} dx + \int_{0,15}^{0,30} \frac{K[\frac{1}{2}(P_1 + P_2) - P_1]^2}{2(4A)G} dx + \int_{0,30}^{0,45} \frac{K(-P_2)^2}{2AG} dx$$

$$\text{Integre ederek, } U = \frac{K(P_1 + P_2)^2(0,15)}{8AG} + \frac{K(P_2 - P_1)^2(0,15)}{32AG} + \frac{K(P_2)^2(0,15)}{2AG}$$

$$P_1 \text{ deki kesme sehim, } y = \frac{\partial U}{\partial P_1} = \frac{0,15K}{4AG}(P_1 + P_2) - \frac{0,15K}{16AG}(P_2 - P_1)$$

$$\text{ve } P_2 = P_1 = 140\text{N} \text{ için, } y = + \frac{10.5K}{AG} \quad (\text{Artı işaretin sehimin } P_2 \text{ ile aynı yönde olduğunu gösterir, bu da yukarıya doğrudur.})$$

$$P_2 \text{ deki kesme sehim, } y = \frac{\partial U}{\partial P_2} = \frac{0,15K}{4AG}(P_1 + P_2) + \frac{0,15K}{16AG}(P_2 - P_1) + \frac{0,15K}{AG}P_2$$

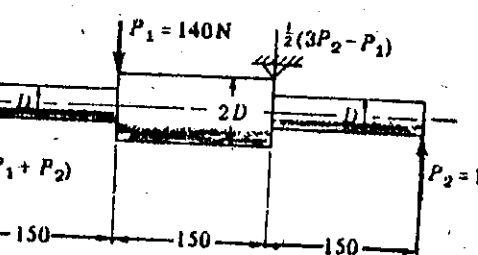
$$\text{ve } P_1 = P_2 = 140\text{N}, y = + \frac{31,5K}{AG} \quad (\text{Artı işaretin sehimin } P_2 \text{ ile aynı yönde olduğunu gösterir. Bu da aşağıya doğrudur.})$$

20. Uniform kesitli bir kirişte orta noktada ortaya çıkacak kesmenin doğruldugu sehim hesaplayınız. Kiriş uniform yüküdür. Üç noktalarında mesnetlenmiştir. Castigliano teoremini kullanarak, çözüme ulaşınız.

**Çözüm :**

$Q$  yükünü sehimin aradığı noktadan etkidiğini kabul edelim. Şekil değiştirmeye enerjisi

$$U = \int_0^{L/2} \frac{K}{2AG} \left( \frac{wL}{2} + \frac{Q}{2} - wx \right)^2 dx + \int_{L/2}^L \frac{K}{2AG} \left( \frac{wL}{2} - \frac{Q}{2} - wx \right)^2 dx \\ = - \frac{K}{6AGw} \left[ \left( \frac{Q}{2} \right)^3 - \left( \frac{wL + Q}{2} \right)^3 + \left( -\frac{wL - Q}{2} \right)^3 - \left( -\frac{Q}{2} \right)^3 \right]$$

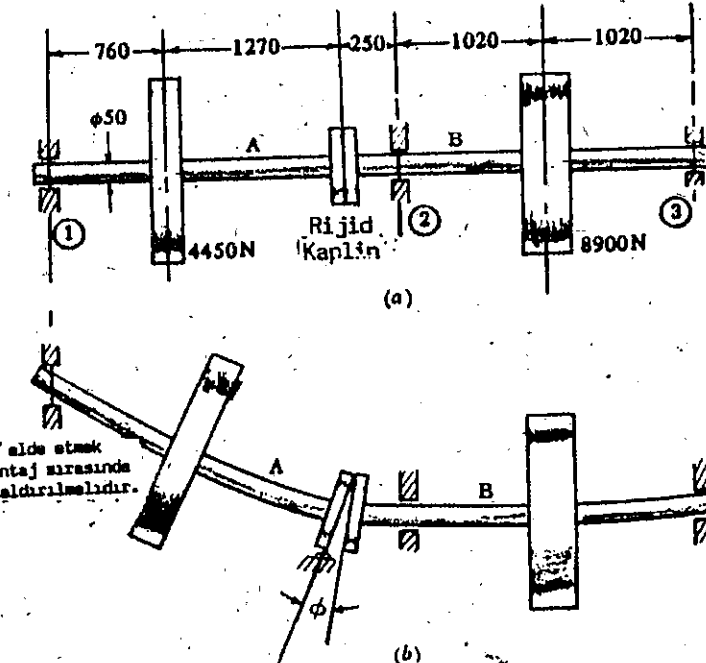


Şekil. 5-25

$$y = \frac{\partial U}{\partial Q} = - \frac{K}{6AGw} \left[ \frac{3Q^2}{8} - \frac{3}{2} \left( \frac{wL + Q}{2} \right)^2 - \frac{3}{2} \left( -\frac{wL - Q}{2} \right)^2 + \frac{3}{2} \left( -\frac{Q}{2} \right)^2 \right]$$

ve  $Q = 0$  için,  $y = KwL^3/8AG$  dir.

21. İki ayrı rotorun mil üzerinde olmak şartıyla 3 yatakla yataklanlığı, ve birbirleriyle Şekil. 5-27(a) da görüldüğü gibi uygun bir kaplinle, irtibatlandığı bilinmektedir. Montajın tamamlandıktan sonra, B milindeki merkez yatakdaki eğilme momentinin hemen hemen sıfır olması istenmektedir. Montaj için işlem Şekil. 5-27(b) de gösterilmiştir. A mili (1) no'lu yatakla geçici olarak kaplinin taşınmaktadır. Kaplinin yüzleri arasında bir açısı olacak şekilde (1) no'lu yatak yukarıya doğru ayarlanabilecektir. Kaplinin parçaları civatayla bağlanıp, gerçiçi yatak çıkarılır. açısını hesaplayınız.



Şekil. 5-27

**Çözüm :**

- (a) Şekil. 5-28'de rotorlar serbest cisim olarak kabul edilen şematik olarak gösterilmiştir.  $M_c$  eğilme momenti, kaplinin civatayla tespitinden sonra kaplinde ortaya çıkmaktadır.  $F$  kuvveti kaplinin bir parçasının diğerine tatbik ettiği kuvvettir.

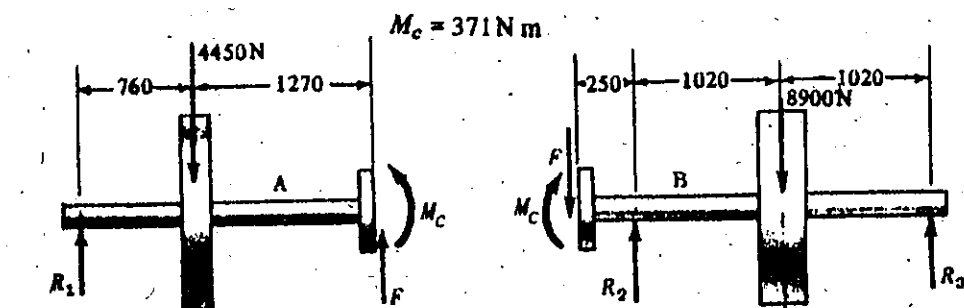
- (b) A milinin sol ucuna göre alınan moment,

$$M_c + 2,03F = (4450)(0,760)$$

B milindeki (2) no'lu yatakta ortaya çıkan eğilme momenti sıfır olacağını,  $M_c - 0,250F = 0$ .

- (c) Yukarıdaki bu iki ifadeyi birlikte çözerek,

$$F = 1483\text{N}$$



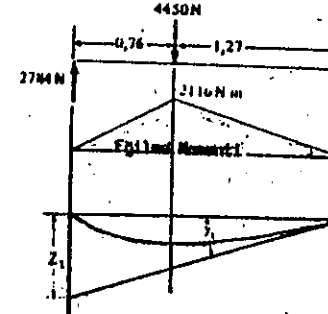
Şekil. 5-28

(d) Şimdi kaplin parçalarının civatayla tespit edilmelerinden önceki ve sonraki elastik eğrinin durumunu inceleyebiliriz. Aşağıdaki Şekil. 5-29'da yük, eğilme momenti ve sehim diyagramları bahis konusu milde, civatayla tespitten önceki hal için çizilmiştir.

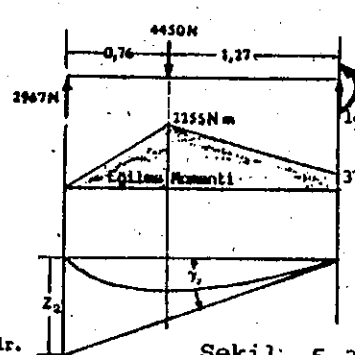
Kaplin ucundaki sehimde ait değer  $\gamma_1 \approx 1/2,03$  dir. Moment alan metodıyla,

$$Z_1 EI = 2116 \times \frac{1,27}{2} \left( 0,76 + \frac{1,27}{3} \right) + 2116 \times \frac{0,76}{2} \left( \frac{2}{3} \times 0,76 \right) = 1997$$

Böylece, açı  $\gamma_1 \approx \frac{Z_1}{EI} = \frac{984}{2,03}$  radyan (tan  $\gamma_1 \approx \gamma_1$  dir. zira açı küçütür.)



Şekil. 5-29



Şekil. 5-30

Şekil. 5-30'da, mildeki yükleme, eğilme momenti ve sehim diyagramları civatayla tespitten sonra çizilmiştir. Moment alanı metodıyla hesaplamadan sonra,  $Z_2 EI = 2507$ ; sonra  $\gamma_2 = \frac{2507}{2,03EI}$ .

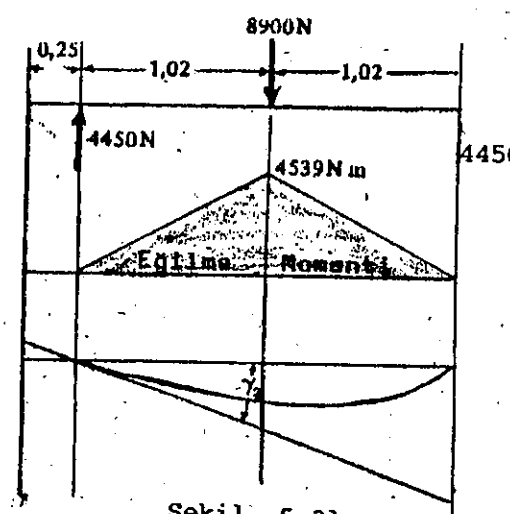
(e) Yarıparçasının A miline bağlı halde kaplinin döndürülmesi gereken açı,

$$\gamma_2 - \gamma_1 = \left( \frac{1235 - 984}{EI} \right) \cdot \frac{180}{\pi} \text{ derece}$$

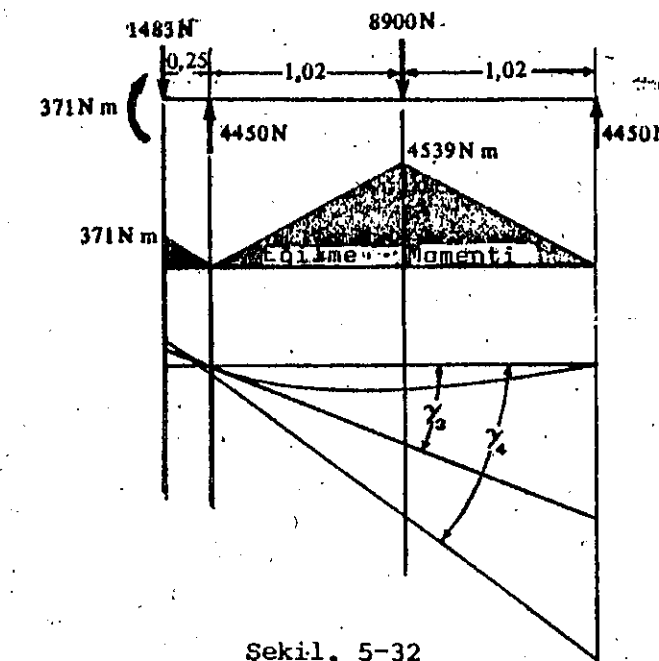
Zira,  $E = 200 \text{GN/m}^2$ , çelik için ve  $I = \frac{\pi}{64}(0,05^4)$ ,  $\gamma_2 - \gamma_1 = 0,234$  derece

(f) Şimdi B miline ait elastik eğriyi, civatayla tespitten önce ve sonraki hal için inceleyebiliriz. Şekil. 5-31'de civatayla tespit edilmeden önceki durum görülmektedir. Sol taraftaki yatağın sol tarafındaki mil parçası düzgün doğru şeklinde olup yatağın merkez hattıyla  $\gamma_3$  açısını yapmaktadır.

Civatayla tespit edilmeden sonra, Şekil. 5-32'deki durum ortaya çıkmaktadır. Sol taraftaki yatağın solundaki mil parçası şimdi eğrisel bir hal almıştır, ve sol uçtaki çizili teget, yatak merkez hattıyla  $\gamma_4$  açısını yapmaktadır. Yataklar arasındaki eğilme momenti diyagramı değişmediğinden, sol uçtaki teget olan  $\gamma_3$  açısını yapmaktadır. Kaplinin yarısının çevrileceği açı  $(\gamma_4 - \gamma_3)$  olmaktadır.



Şekil. 5-31



Şekil. 5-32

Fakat,  $E(\gamma_4 - \gamma_3)$  = soldaki yataklı sol taraftaki mil ucu arasındaki eğilme momenti diyagramı alanı, böylece,

$$\gamma_4 - \gamma_3 = \frac{(371/2)(0,25)}{EI} \left( \frac{180}{\pi} \right) = 0,043^\circ$$

(g) Sonra, Netice olarak, civatayla tespitten önce kaplin parçaları arasındaki açı,

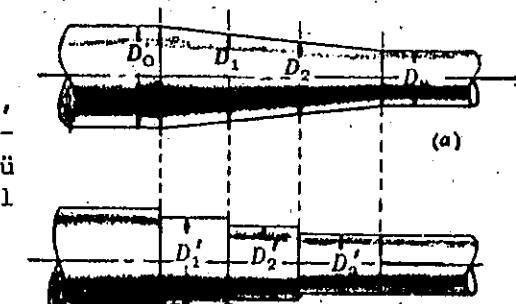
$$\phi = 0,234 + 0,043 = 0,277^\circ$$

22. Şekil. 5-33(a)da görülen konik mil, eşdeğer şekilde kademeli kesitlere ayrılmıştır. (Şekil. 5-33(b)de görüldüğü taralı alanla gösterilen malzeme ihmali edilebilir.

$$(D'_1)^4 = \frac{D_0^4 + D_1^4}{2}$$

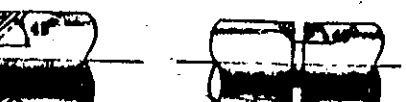
$$(D'_2)^4 = \frac{D_1^4 + D_2^4}{2}$$

$$(D'_3)^4 = \frac{D_2^4 + D_3^4}{2}$$



Şekil. 5-33.

23. Fatura ve kanalların mevcudiyeti halinde, malzemenin tamamı mili daha muhakkim tutmaya yeterli olamaz. Kaba bir kaide olsada, Şekil. 5-34'de görüldüğü gibi taralı alanla gösterilen malzeme ihmali edilebilir.



Şekil. 5-34

24. Dikdörtgen kesitli bir çelik çubuk 100mm boyunda ve  $(50 \times 70)\text{mm}^2$  boyutundadır. Kullanılan malzemenin kopma gerilmesi değeri  $345 \text{MN/m}^2$  dir. Uçlara eksenel yükler tatlık edilmektedir. (a)  $L/k$  oranını (b) aynı değer için Euler veya J.B. Johnson formülünü kullanınız, (c) kritik yükü, uçlar sabittir, (d)  $N=3$  emniyet faktörü için emniyetli eksenel yükü, (e) eşdeğer basma gerilmesini hesaplayınız.

**Çözüm :**

$$(a) \frac{L}{k} = \frac{L}{\sqrt{I(min)/A}} = \frac{1,0}{\sqrt{(bh^3/12)/bh}} = 69,3 \text{ için } k=0,05$$

(b)  $L/k$  değeri için alta J. B. Johnson formülü ve üstte ise Euler formülü kullanılmaktadır.

$$\frac{L}{k} = \sqrt{\frac{2C\pi^2 E}{s_y}} = \sqrt{\frac{2(1)(\pi^2)(200)(10^9)}{345 \times 10^6}} = 107$$

Böylece, uçlar rigid kabil edilmek şartıyla, C değeri 1 olarak alınmış ve J. B. Johnson formülü kullanılmıştır.

(c) Kritik yük ise,

$$F_{cr} = s_y A \left[ 1 - \frac{s_y(L/k)^2}{4C\pi^2 E} \right] = 345 \times 10^6 (0,05) (0,075) \left[ 1 - \frac{345(10^6)(69,3)^2}{4(1)\pi^2(200)(10^9)} \right] = 1.02 N$$

(d) Emniyetli eksenel yük,  $F = F_{cr}/N = \frac{1,02}{3} = 0,341 MN$

$$(e) Eşdeğer basma gerilmesi, s_{eq} = \frac{F}{A} \left[ \frac{1}{1 - \frac{s_y(L/k)^2}{4C\pi^2 E}} \right] = 115 MN/m^2$$

Yukarıdaki gerilme aynı zamanda aşağıdaki şekilde de bulunabilir.

$$\frac{s_y}{s_{eq}} = N, \quad \frac{345 \times 10^6}{s_{eq}} = 3, \quad \text{veya} \quad s_{eq} = 115 MN/m^2$$

Ayrıca  $F/A$  kullanılarak  $\frac{0,341 \times 10^6}{0,05 \times 0,075} = 91 MN/m^2$  değeri gerilme için elde edilirki, kolon tesiri mevcut olduğundan dolayı hiçbir mana ifade etmez.

25. Bir hava silindirindeki piston cubuğu 27kN luk eksenel yükü taşıyabilecek şekilde dizayn edilecektir. Çubuk uzağı zaman, boyu 0,5m olmaktadır. Çubukun bir ucu aşağı yukarı rigid denebilecek şekilde pistonun bir ucuna tespit edilmişken, diğer ucuda kılavuz içine gömülü bir elemana bağlanmış haldedir. C için 1 değeri alınacaktır. Malzemenin kopma gerilmesi değeri  $275 MN/m^2$  olmak şartıyla, emniyet faktörünü 2,5 alarak, çubuk ölçüsünü tayin ediniz.

**Çözüm :**

(a) Başlangıçta Euler veya J. B. Johnson formülünün kullanılabilenliği bilinemez. Zira çap bilinmemektedir. Bundan dolayı deneme ve sinama metodu kullanılacaktır. Önce Euler ifadesini kullanıp, sonunda kontrol yapalım, ifadeyi eşdeğer gerilme formunda kullanarak,

Müsaade edilebilen gerilme,  $s_{eq} = s_y/N = 275/2,5 = 110 MN/m^2$

$$s_{eq} = \frac{F}{A} \left[ \frac{s_y(L/k)^2}{C\pi^2 E} \right] \text{ veya } 110 \times 10^6 = \frac{27,000}{\frac{1}{4}\pi D^2} \left[ \frac{275 \times 10^6 (0,5/\frac{1}{4}D)^2}{(1)\pi^2(200 \times 10^9)} \right]$$

Bu ifadededen,  $D = 0,0204$  bulunur. Şimdi  $D = 21 mm$ . yi deneyelim.

$$(b) L/k oranına bakalım. \frac{L}{k} = \frac{L}{\frac{1}{4}D} = \frac{0,5}{\frac{1}{4}(0,021)} = 95,2$$

$C=1$  için,  $E=200 GN/m^2$  ve kopma gerilmesi  $275 MN/m^2$  Euler ifadesi  $L/k$ 'nin 120'den büyük değerleri için kullanılacağı aşikardır. Dolayısıyla J.B. Johnson ifadesinin kullanılamamasının doğru olacağı görülmektedir.

(c) J.B. Johnson ifadesini kullanarak,  $D=0,0213 m$ . bulunur. Neticede  $D=22 mm$  alınabilir. Son bir kontrol için  $L/k$  oranını bulalım,

$$\frac{L}{k} = \frac{L}{\frac{1}{4}D} = \frac{0,5}{\frac{1}{4}(0,022)} = 90,9$$

26. 5mm hatveli, 25mm kare kesitli, dış çekili bir civatada somunla flans arası 380mm dir. Eksenel yük 22,250N ve civadaki somunla flans arasındaki tork 110Nm dir. C=1 alarak civatadaki dışları ihmali ederek, kopma gerilmesini  $2345 MN/m^2$  alıp, çelik için emniyet faktörünü hesaplayınız. (Sürekli yükleme halini düşününüz.)

**Çözüm :**

$$(a) 25mm kare dişli civatada, kök çapı 20 dir. \frac{L}{k} = \frac{380}{\frac{1}{4}(20)} = 76$$

(b)  $L/k$  nin değeri bize, Euler veya J. B. Johnson ifadesinden hangisini kullanacağımızı gösterecektir.

$$\frac{L}{k} = \sqrt{\frac{2C\pi^2 E}{s_y}} = \sqrt{\frac{2(1)\pi^2(200 \times 10^9)}{345 \times 10^6}} = 107$$

Böylece, J. B. Johnson ifadesi  $L/k = 76$  olmak üzere kullanılacaktır.

(c) Eşdeğer basma gerilmesi,

$$s_{eq} = \frac{F}{A} \left[ \frac{1}{1 - \frac{s_y(L/k)^2}{4C\pi^2 E}} \right] = \frac{22,250}{\frac{1}{4}\pi(0,02^2)} \left[ \frac{1}{1 - \frac{345 \times 10^6 \times 76^2}{4(1)\pi^2(200 \times 10^9)}} \right] = 94,7 \times 10^6 N/m^2$$

(d) Burulmadan dolayı ortaya çıkan kesme gerilmesi,

$$s_t = \frac{Tc}{J} = \frac{110(0,01)}{(\pi/32)(0,02^4)} = 70 \times 10^6 N/m^2$$

(e) Maximum kesme gerilmesi,  $\tau(\max) = \sqrt{(s_{eq}/2)^2 + s_t^2} = \sqrt{(94,7/2)^2 + 70^2} = 84,5 MN/m^2$

(f) Kesmedeki kopma gerilmesi yaklaşık olarak,  $0,5s_y = 0,5(345) = 172,5 MN/m^2$

Emniyet faktörü ise  $172,5/84,5 = 2,04$ .

27. 26. problemdeki şartlar geçerlidir. Sadece yük sıfırdan maximuma kadar artmaktadır.  $K_f$  katsayısını, eksenel yükleme halinde 2,8 olarak alınır.  $K_f'$  ise burulma halinde 2,0 dir. (Kabul edilir). Ters eğilme için malzemedeki dayanma limiti  $220 MN/m^2$  dir. (Bölüm 6'ya bkz.)

**Çözüm :**

(a) 26. Problemden, maximum eşdeğer kolon basma gerilmesi  $94,7 MN/m^2$  ve maximum burulma gerilmesi ise  $70 MN/m^2$  dir.

(b) Değişken yük halı için eşdeğer normal gerilmenin maximum değeri  $94,7 MN/m^2$  ve ortalama değeri ise  $47,35 MN/m^2$  ve değişken gerilmede  $47,35 MN/m^2$  olmaktadır.

$$s_e = s_m + \frac{s_y K_f s_{vs}}{s_n ABC} = 47,35 + \frac{345 \times 2,8 \times 47,35}{220 \times 0,7 \times 0,85 \times 1} = 397 MN/m^2$$

$A = 0,7$  (eksenel yükleme),  $B = 0,85$  (boyut etkisi),  $C = 1$  (hakiki gerilme konsantrasyon katsayıısı kullanıldığı için).

(c)  $70 MN/m^2$  lik değişken yük  $35 MN/m^2$  lik ortalama gerilme ve  $35 MN/m^2$  lik değişken gerilmeden dolayı eşdeğer kesme gerilmesi,

$$s_{es} = s_{ms} + \frac{s_y K_f' s_{vs}}{s_n ABC} = 35 + \frac{345 \times 0,6 \times 2,0 \times 35}{220 \times 0,6 \times 0,85 \times 1} = 164 MN/m^2 \text{ olur.}$$

(d) Değişken yükten dolayı ortaya çıkan eşdeğer kesme gerilmesi,

$$\tau_e = \sqrt{(s_e/2)^2 + (s_{ss})^2} = \sqrt{(397/2)^2 + 164^2} = 258 \text{ MN/m}^2$$

(c) Emniyetli dizayn gerilmesi  $\tau_e$ ,  $\tau_e$  statik gerilme olarak ele alınmaktadır.

$$\frac{s_{ys}}{N} = \frac{0,5(345)}{N} = 258 \text{ MN/m}^2$$

Buradan,  $N=0,67$  olarak bulunur.  $N$  için uygun değer, emniyetli bir dizayn için 1,5 seçilebilir veya düşünülen dizayn yeterli değildir denir.

Bu problemde 2 eşdeğer gerilmenin bulunduğuunu unutmayalım. Bunlardan birinin basma gerilmesinden, diğerinin ise, değişken yüklemeden ortaya çıkmaktadır.

28. Euler formülü için eşdeğer kolon gerilmesi bağıntısını çıkarınız.

Cözüm :

$$F_{cr} = \frac{C\pi^2 EA}{(L/k)^2}, \quad F_{cr} = \frac{C\pi^2 E}{NA} \frac{A}{N(L/k)^2}, \quad F = \frac{C\pi^2 E}{A N(L/k)^2}$$

$N$ , emniyet faktörü,  $A$  alan, ve emniyetli yük ise,  $F = F_{cr}/N$ .

Son ifadede  $N = \frac{s_y}{s_{eq}}$  değerini yerine koyarak,  $s_{eq} = \frac{F}{A} \left[ \frac{s_y(L/k)^2}{C\pi^2 k} \right]$ . için çözüm yapınız.

29. J. B. Johnson formülü için eşdeğer kolon gerilmesi bağıntısını çıkarınız.

Cözüm :

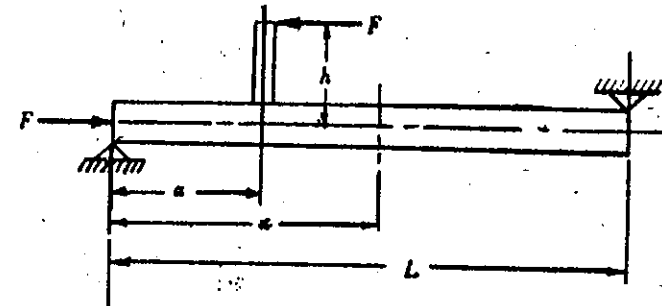
$$F_{cr} = s_y A \left[ 1 - \frac{s_y(L/k)^2}{4C\pi^2 E} \right], \quad F_{cr} = \frac{s_y}{N} \left[ 1 - \frac{s_y(L/k)^2}{4C\pi^2 E} \right], \quad F = \frac{s_y}{N} \left[ 1 - \frac{s_y(L/k)^2}{4C\pi^2 E} \right]$$

$N$ , emniyet faktörü,  $A$  alan ve emniyetli yük ise,  $F = F_{cr}/N$

Son ifadede,  $N = \frac{s_y}{s_{eq}}$  değerini yerine koyarak,  $s_{eq} = \frac{F}{A} \left[ \frac{1}{1 - \frac{s_y(L/k)^2}{4C\pi^2 E}} \right]$  için çözüm yapınız.

## Tamamlayıcı Problemler

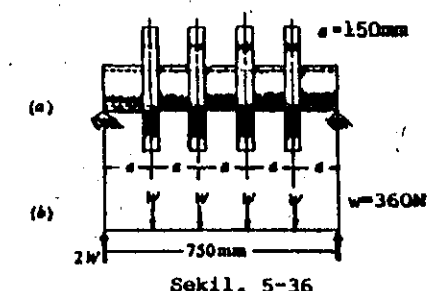
30.  $L$ , uzunluğundaki bir konsol kirişte, uç noktadaki eğilmeden dolayı ortaya çıkan sehimin, uniform yayılı yük  $wN$  olmak şartıyla  $wL^4/8EI$  olduğunu gösteriniz. (a) Moment alan metodunu ve (b) Kastigiano teoremini kullanınız.
31. Step fonksiyonu kullanarak,  $EI(d^2y/dx^2)$  denklemini kurunuz. Sonra,  $L$ , boyundaki bir konsol kirişte,  $P$  yükü serbest uçtan  $a$  birim, sabit uçtan  $b$  birim kadar uzakta olduğunu kabul ederek, çift integrasyonla maximum sehimin,  $\frac{Pb^2}{6EI}(2b+3a)$  olduğunu gösteriniz.
32.  $L$  uzunluğundaki bir yatay elemanın tarafsız eksenden  $a$  kadar yukarıda sola doğru etkiyen bir  $F$  kuvveti bulunmaktadır.  $F$  kuvvetinin tatbik edildiği konumda baştaki mesnetten  $x=a$  kadar bir mesafede olup mesnette de sağa doğru etkiyen bir  $F$  kuvveti daha bulunmaktadır. (Şekil 5-35).  
(a) Eş kiriş metodunu kullanarak, (b) Step fonksiyon ve çift integrasyon metodunu kullanarak eğilmeden dolayı ortaya çıkan düşey sehimi hesaplayınız. Cevap.  $y = \frac{Fha}{3EI(L-a)(L-2a)}$
33. 50mm çapındaki bir çelik mil 76cm aralıklarla iki yataklı taşınmaktadır. Mil 1800d/dk da dönmekte ve yataklar arasındaki mesafenin tam ortasında bir kasnak taşımaktadır. Kasnakta milin kritik hızının  $850$ 'si kadar bir hızda dönmesi istenirse, kasnağın ağırlığı ne olmalıdır? Sehim hesabı için eşdeğer kiriş metodunu kullanınız. Cev.  $y=0,069\text{mm}$  (Kritik hız için 8. Bölüm'e bkz.), Kasnağın ağırlığı =  $463\text{N}$
34. Sabit çaplı bir mil ugaldan yataklanmıştır. Mesnetler arasındaki mesafe 500mm olup, soldaki yatağın sağ tarafına, 100mm de olmak üzere 22kg lik bir kütle yerleştirilmiştir. Milin 1800d/dk da döneceği ve kritik hız için 2500d/dk nın yeterli olacağı söylemektedir. Minimum kritik hızın 2500d/dk olması için minimum mil çapı ne kadar olabilir? Cev. Yükteki sehim =  $0,23/EI$  ve minimum mil çapı = 20mm. Ugaldan yataklanmış çelik bir mil, üç ayrı kesitten oluşmaktadır. Birinci bölüm sabit çaplı olup 0,5m boyundadır. İkinci kısmın çapı birinci kısmın çapının iki katı kadar olup boyu 0,6m dir. Üçüncü kesitte 0,3m boyunda olup çapı, birinci kesitinkinin aynısidir. Çap değişikliği olan noktalarda 900N luk yükler bulunmaktadır. Her yükün etkisi altında sehimin  $(9,8 \times 10^{-10})/D^4$  olduğunu gösteriniz.  $D$ , birinci ve üçüncü kesitin çapıdır.
35. Çelik bir mil 600mm lik aralıkta iki yataklı taşınmaktadır. Sol taraftaki yataktan 250mm mesafede 450N, sağ taraftaki yataktan 200mm mesafede 900N luk yükler etkili olmaktadır. Mil çapı sabittir. 900N luk yük altında sehimin  $2,4 \times 10^{-11}/l$  ve 450N luk yük altında sehimin  $2,5 \times 10^{-11}/l$  olduğunu gösteriniz.
36. 100mm çapındaki bir çelik mil 1,5m aralıklı iki yataklı taşınmaktadır. sol yataktan 0,45m mesafede 13,5kN luk bir disk taşımaktadır. Milde 50mm lik delik sağdaki yataktan diskin merkez hattına kadar uzanmaktadır. Diskteki sehimini hesaplayınız.  $y = 0,714\text{mm}$ .



Şekil. 5-35

38. Sabit kesitli bir milin çapı 50mm dir. Mil aralarında 760mm bulunan iki yataklı taşınmaktadır. Mil, her biri 1,8kN gelen iki kütleyi taşımaktadır. Birinci kütle sol taraftaki yataktan 230mm sağ tarafa yerleştirilmiş ve ikinci kütle ise, sağ taraftaki yataktan sol tarafa doğru 230mm de yerleştirilmiş haldedir. Milin kritik hızıyla her kütlenin neden olduğu sehim hesaplayınız. Cev.  $y=0,352\text{mm}$ , kritik hız =  $1590\text{d}/\text{dk}$ . (8. Bölümme bkz.)
39. Bir motora ait mil aralarında 600mm lik mesafe bulunan iki yataklı taşınmaktadır. Sol taraftaki yataktan 200mm de mil çapı 50mm, milin geri kalan kısmı ise 75mm lik çaptadır. 250mm sol yataktan 4,5kN luk yük, ve yine 9kN luk diğer yük ise sol yataktan 380mm mesafede etkili olmaktadır. Her yükün neden olduğu sehim hesaplayınız. Cev.  $y=0,277\text{mm}$ ,  $4,5\text{kN}$  için,  $y=0,154\text{mm}$   $9\text{kN}$  için.
40. 100mm çapındaki bir çelik mil aralarında 1220mm lik mesafe bulunan iki yataklı taşınmaktadır. Orta noktada 1360kg kütlesinde bir dişli bulunmaktadır. Sol taraftaki yataktan dişliye doğru 460mm kadar 50mm çapında bir delik, mile açılmıştır. Bu noktadan sonra delik çapı 38mm ye düşürülmüştür ve bu çap mil boyunca devam etmektedir. Dişlinin altındaki sehim üç ayrı metodla hesaplayınız. Ayrıca milin kritik hızını tayin ediniz. Cev.  $y=0,53\text{mm}$ , kritik hız =  $1300\text{d}/\text{dk}$  (8. Bölümme bkz.)
41. 76cm uzunluğundaki çelik bir mil uçlarındaki yataklarla taşınmaktadır. Sol taraftaki yataktan sağa doğru 30cm mesafeye kadar mil çapı 5cm dir. Geri kalan kısımların çapı 3,8cm dir. 1800N gelen yüklerden birisi kesit değişikliğinin gerçekleştiği noktasında, diğeri ise daha küçük çaplı bölgenin orta noktasında etkili olmaktadır. Eşdeğer kiriş metodunu kullanarak, her yükün neden olduğu sehim hesaplayınız. Cev.  $y=1,14\text{mm}$ , soldaki yükte,  $y=1,08\text{mm}$  sağdaki yükte.
42. Çelik bir mil 1140mm lik aralıkta bulunan iki yataklı taşınıyor. Mil çapı uçlarından 380mm de  $0,75D$  ve ortadaki 380mm lik parçada ise çap  $b$  dir. Çap değişikliklerinde 1800N luk yüklerin etkili olduğu söyleniyor. Yüklerin tatbik noktalarında statik sehimlerin  $0,0254\text{mm}$  yi geçmemesi istendiğine göre, mildeki maximum sehim ne kadar olacaktır. Bütün hesaplarınızda mil ağırlığını ihmali ediniz. Cev.  $D = 168\text{mm}$ ,  $y(\text{max})=0,021\text{mm}$ , milin ortasında.
43. İki yatağın arasındaki mesafe  $0,75\text{mm}$  olmak şartıyla bir çelik milde sol taraftaki yataktan 250mm mesafede çap 75mm, sonraki 200mm de çap 62,5mm ve geri kalan 300mm lik bölgede çap 50mm olarak verilmiştir. 3,18kN luk bir yük sol taraftaki yataktan 250mm içerisindeki noktasına tatbik edilmektedir. Bu yükün etkisi altında statik sehim ne kadar olacaktır. Milin kritik hızını hesaplayınız. Cev.  $y=0,153\text{mm}$ . Kritik hız =  $2420\text{d}/\text{dk}$  olacaktır. (8. Bölümme bkz.)
44. 50mm çapında ve 1,5m boyundaki bir mil uçundaki bir makaradan 1100Nm luk bir tork kazanmaktadır. Milin ortasındaki bir dişli 680Nm aktarırken diğer uçtaki bir diğer dişli ise dengeyi sağlamaktadır. Kama yuvalarının etkisini ihmali ederek bu şartlar altında mildeki maximum toplam burulma sehimini hesaplayınız.  $G = 77\text{GN/m}^2$  Cev.  $1,38^\circ$ .
45. Uniform yüklü bir kirişte, toplam boy  $L$  olduğu sürece kesmeden dolayı ortaya çıkan sehim ifadesini çıkarınız. Yükleme  $w\text{N/m}$  şeklindedir. Cev.  $y = \frac{Kw}{2AG}(Lx - x^2)$ ,  $y(\text{max}) = \frac{KwL^2}{8AG}$   $x = \frac{L}{2}$

46. İçi boş bir milde, dış çap 150mm ve iç çap ise 140mm dir. Mil boyu 750mm dir. Mil uçlarından yataklanmış olup, 150mm aralıklarla eşit ağırlıklı rotorları taşımaktadır. Şekil. 5-36(a). Motorların her biri 360N gelmektedir. Bunda milin ağırlığının  $1/4$  ü de dahildir. Şekil 5-36(b)deki gibi yükleme halinde (a) düzdeki iki rotorun neden olduğu sehim ve içteki iki rotorun neden olduğu kesmenin yol açtığı sehim hesaplayınız. (b) düzdeki iki rotor ve içteki iki rotorun neden olduğu kesmenin yol açtığı sehim hesaplayınız.



Şekil. 5-36

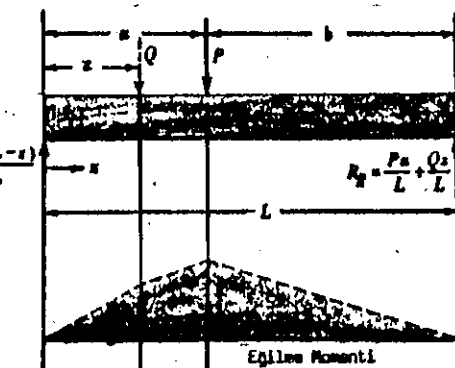
47. Şekil. 5-37'de görüldüğü gibi uniform kesitli bir kiriş basitte yataklanmış ve üzerinde  $P$  kuvveti etkimektedir, böyle bir kiriş için, Castigliano teoremini kullanarak, eğilmeden dolayı ortaya çıkan sehim için genel ifade çıkarınız. Önce sol taraftaki yataktan  $z$  mesafesinde bir  $Q$  kuvvetinin tatbik edildiğini farz edelim.  $z$  mesafesi değişkendir. Sadece şekil değişim enerjisini tayin ederken  $z$  in sabit olduğu kabul edilir.  $z$  değeri eğilme momenti diyagramı için  $0 \leq z \leq a$  şeklinde dir.

Cev.

$$y = \frac{Pbz}{6EI} [L^2 - b^2 - z^2]$$

Şekil. 5-37

Bu ifade  $0 \leq z \leq a$  şartı için geçerlidir. Aynı şekilde, yükün sağ taraf içinde sehim ifadeleri çıkarılabilir.



### KOLON PROBLEMLERİ

48. Emniyet faktörü 4 olmak şartıyla 0,5m uzunluğundaki ve 25mm 50mm ölçüsündeki bir çubukta müsaade edilebilen basma yükü ne kadardır? Malzemenin kopma gerilmesi  $275\text{MN/m}^2$  ve  $C = 1$  dir. Cev.  $L/k = 69,3$  için, J. B. Johnson formülü geçerlidir.  $F = 71,6\text{kN}$ .
49. Yukarıdaki problemde  $C = 1/4$  olarak, tekrar çözümünüz. Cev.  $L/k = .69,3$  için Euler denklemi geçerlidir.  $F = 28,4\text{kN}$ .
50. 25mm çaplı kare kesitli dişli bir civatanın boyu 1m dir. Eksenel yük 9000N olmak şartıyla, malzemə çelik olduğu sürece kopma gerilmesi  $275\text{MN/m}^2$  dir. Gerekli çubuk çapını tayin ediniz. Emniyet faktörünü 4 ve  $C = 1$  alınız. Cev. Euler denklemi geçerlidir.  $D = 30,2\text{mm}$ . Çapı 35mm alınız.
51. 25mm çaplı kare kesitli dişli bir civatanın boyu 1m dir. Eksenel yük 9000N ve civatadaki torkun 110N olduğu biliniyor.  $C = 1$  alınarak, dişleri ve gerilme birikimini ihmali ederek emniyet faktörünü hesaplayınız. Kopma gerilmesi  $345\text{MN/m}^2$  dir. diş kök çapı 25mm dir. Cev. Euler ifadesi geçerlidir. Eşdeğer kolon gerilmesi =  $200\text{MN/m}^2$ , burulma gerilmesi  $70\text{MN/m}^2$ , maximum kesme gerilmesi =  $122\text{MN/m}^2$ ,  $1/2(345)\text{MN/m}^2$  lik kesme gerilmesi değerindeki kopma gerilmesi için emniyet faktörü 1,41 dir.

# 6

## Değişken Yüklerle Yüklenmiş Makine Parçalarının Dizaynı

**HERHANGİ BİR MAKİNE PARÇASININ DİZAYNINDA**, mukavemet ele alınması gereken tedbirlerden birincisidir. Makine dizaynında en çok kullanılan yöntemler başta kinematik düzenleme, kuvvet analizi, malzemelerin seçimi ve parçaların eşleştirilmesi şeklinde toplanabilir. Parçaların eşlendirilmeleri aşağıdakilerden biri veya tamamından oluşabilir. Bunlar sırasıyla, mukavemet, rıjilik, kritik hızlar, görünüm, korozyon oranı, imalat türü, döküm şekli, stabilité, vb.

**BİR MAKİNE PARÇASINDAKİ MUKAVEMETE**, gerilme birikimi, yorulma veya değişken yükleme, şok, yüzey işlemesi ve parçanın boyutlarının etkisi vardır.

**GERİLME BİRİKİMİ**, delikler, kesitteki ani değişimler, yivler ve yüzeydeki arızalardan dolayı bozulabilir. Şekil. 6-1'de tipik bir gerilme artısına örnek görülmektedir.  $d$  çapına haiz delik gerilme elemanında yer almıştır. Deliğin kenarında oluşan maximum gerilme  $K_f$ , gerilme birikim faktörü ile nominal gerilmenin çarpımı gibi düşünülebilir.

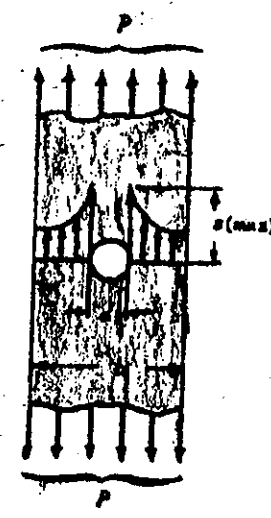
$$s(\max) = K_f \frac{P}{A}$$

burada,

$P$  = toplam eksenel yük, N

$A$  = delik ihtiyaç eden kesitin net alanı,  $m^2$

$K_f$  = teorik gerilme konsantrasyon faktörü (veya geometrik faktör)



Şekil. 6-1

Birçok durumlarda  $K_f$  nin hesaplanması oldukça zordur. Fotoelastiklik analizi ve parçanın plastik modeli gibi deneyel tekniklerle çoğu zaman tayin edildiği görülmüştür. Sürekli yükler altında, belli bir noktaya kadar, kırılgan malzemeler gerilme artısından etkilenmezler. Dökme demirde olduğu gibi, sürekli yük altında, gerilme artısının kırılgan malzemeler üzerindeki etkisi fotoelastik analizin gösterdiği üzere çok ciddi olabilir. Zira, küçük veya az da olsa plastik akma söz konusu değildir. Tekrarlanmış yükler altında, ve sünek malzemelerde bile mukavem dayanımı gerilme konsantrasyonundan ötürü azalabilir.

**ÇENTİK HASSASİYETİ**,  $q$ , bir malzemenin yorulma mukavemeti faktörünü veya  $K_f$ , hakiki gerilme konsantrasyon faktörünü tayin için kullanılır.  $K_f$ , çeşitli yükler altında teorik gerilme konsantrasyon faktörünün bir fonksiyonu olarak bulunur.  $q$  ve  $K_f$  değerleri R. E. Peterson'un "gerilme konsantrasyon faktörleri" adlı eserinden ve bu konuya ilgilenen diğer literatürden bulunabilir.

$$\text{burada } q = \frac{K_f - 1}{K_t - 1} \quad \text{veya} \quad K_f = 1 + q(K_t - 1)$$

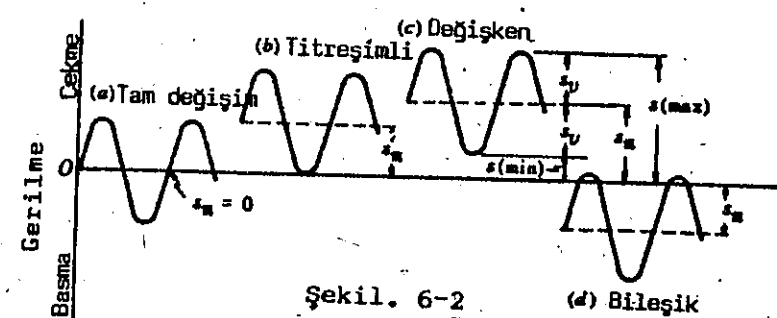
$q$  = Deneyel çentik hassasiyeti değeri, gerilme konsantrasyonundan dolayı, ortaya çıkar. Değerleri 0 ile 1,0 arasında değişmektedir.

$K_t$  = Gerilme konsantrasyon faktörünün teorik değeri, Ortalama değeri 1,0 ile 3,0 arasında değişir. 3,0 dan büyük değerlerinde kullanıldığı görülmüştür.

$K_f$  = Malzemenin yorulma mukavemetindeki azalmanın tayininde, hakiki gerilme konsantrasyonu faktörü.

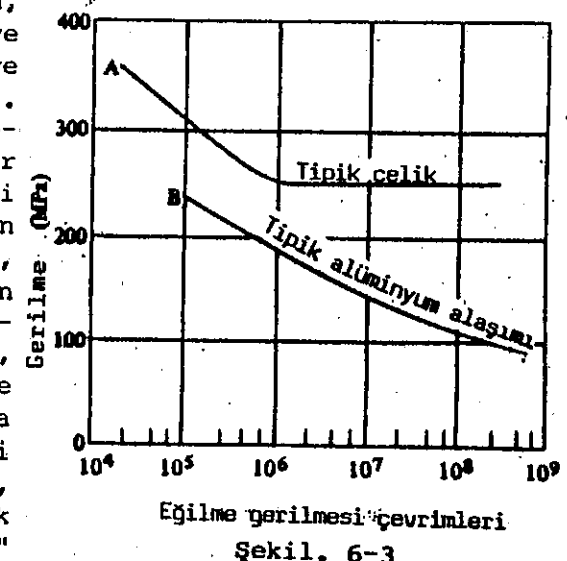
**DEĞİŞKEN GERİLMELER** (a) Tam değişken, (b) titreşimli, (c) değişken ve (d) bileşik gibi sınıflandırılabilir. (Şekil. 6-2) Değişken gerilmede maximum gerilme en büyük cebirsel değer ve minimum gerilme ise en düşük değer olarak bilinir. Ortalama gerilme, maximum ve minimum gerilmenin ortalamasıdır. Değişken gerilme ise, ortalama gerilmenin altında veya üstünde olmak üzere gerilmedeki artan veya azalmadır.

$$s_m = \frac{1}{2}[s(\max) + s(\min)], \quad s_v = \frac{1}{2}[s(\max) - s(\min)]$$



Şekil. 6-2

Malzemenin **MUKAVEMET SINIRI** çoğu zaman, teste tabi olacak numunenin eğilmeye maruz kalacak şekilde yüklenmesi ve döndürülmesiyle tayin edilebilir. Şekil. 6-3'de demir ve demir olmayan malzemelerin mukavemet sınırı için tipik eğriler verilmiştir. Bilhassa bu test numunesi için, mukavemet sınırı (A) oldukça kesin olarak belirtilmiştir. (250 MPa), fakat, (B) de gösterilen alüminyum numunenin dayanıklık limiti pek iyi açıklanmamıştır. 250 MPa lik mukavemet sınırı değeri, çelik numune için tam değişken yükleme içindirki dış zarf eşit olmak şartıyla çekme ve basma gerilmelerinin etkisi altındadır. Karşıklılığı önlemek için, "Mukavemet sınırı" sadece tam değişik eğilme için, "DAYANIKLILIK MUKAVEMETİ" ise malzemenin yorulma mukavemeti söz

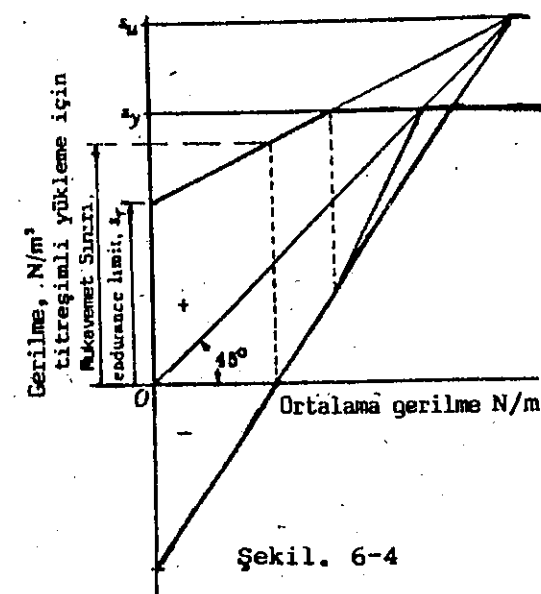


Şekil. 6-3

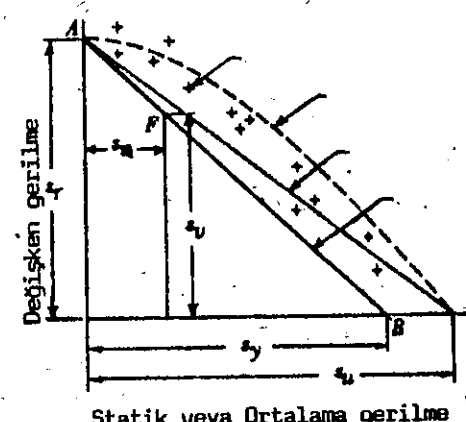
konusu olduğu zaman, diğer yüklemeler için kullanılacaktır. Dayanıklılık mukavemet değerleri, diğer tipteki yüklemelere ait mukavemet sınırlarından farklı olacaktır. Aynı zamanda burulma veya eksenel yüklerin etkisi altında olmak şartıyla değişken yüklerle tabii numuneler içinde farklı görülebilir. Dayanıklılık mukavemetinin ortalama gerilmeyle birlikte bir eğri grubu değişik yükler altında modifiye olmuş Goodman diyagramıyla gösterilebilir. Tecrübe edilmiş her malzemenin ayrı bir Goodman diyagramı olacaktır. Mamatih, hiçbir test data bulunmaması halinde, tam değişken yükleme altındaki mukavemet sınırının, malzemenin kopma mukavemtenin yarısı kadar olduğu kabul edilerek, çeşitli sünek malzemeler için Goodman diyagramları çizilebilir. Yakın zamanda yapılan çalışmalarında, dayanma mukavemeti verileri Şekil. 6-5'de görülen formda çizilebilmektedir. Bu eğri takımı modifiye olmuş Goodman hattıyla konservatif Soderberg hattı arasındaki bağıntıyı göstermektedir. Aşağıdaki tartışmalarımızdaki dizaynlarda da Soderberg hattını kullanacağız. Uygun emniyet faktörünü ( $N$ ) dayanma mukavemeti ve kopma mukavemeti için kullanacak olursak, Şekil. 6-6'da olduğu üzere  $CD$  yi  $AB$  Soderberg hattına,  $AB$  paralel olacak şekilde çizebiliriz. Böylece,  $CD$ , emniyetli gerilme hattı olarak tanımlanabilir. Bu eğri takımının geometrisinden faydalananarak,

$$\frac{1}{N} = \frac{s_m + s_y}{s_y s_r}$$

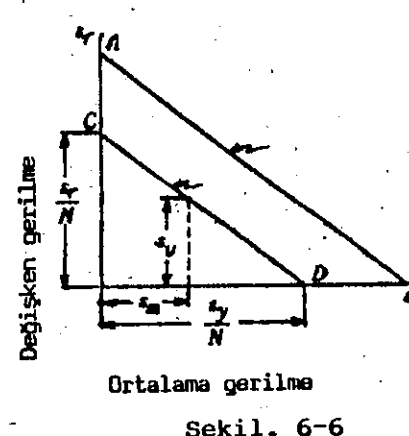
olduğu gösterilebilir. Bunu dizayn ifadesinde yerleştirmek için mukavemet sınırı,  $s_y$ , tam değişken eğilmenin etkisi altında, boyut tesiri, yüzey tesiri ve burulma veya eksenel yükleme eğilme yerine bir tür değişken yükleme olmak şartıyla, azaltılabilir. Hesaplanmış değişken gerilme, sünek malzemeler için, hakiki gerilme konsantrasyon faktörü,  $K_f$ , tarafından artırılabilir. Kırılan malzemeler için, teorik gerilme konsantrasyon faktörü,  $K_t$ , ortalama gerilmeye ve  $K_f$  da değişken gerilme-



Şekil. 6-4



Şekil. 6-5



Şekil. 6-6

$$\frac{1}{N} = \frac{s_m}{s_y} + \frac{K_f s_y}{s_r ABC}$$

$$\frac{1}{N} = \frac{s_m}{s_y} K_t + \frac{s_y K_f}{s_r ABC}$$

$$\frac{1}{N} = \frac{s_{ms}}{s_{ys}} + \frac{K_f s_{ys}}{s_r ABC}$$

Burada,

$s_y$  = Çekme veya Basmada kopma gerilmesi ve Ortalama gerilme gibi aynı işarette sahip olmalıdır.

$s_m$  = Ortalama normal gerilme,  $N/m^2$ .

$s_{ms}$  = Ortalama kesme gerilmesi,  $N/m^2$ .

$s_y$  = Değişken normal gerilme,  $N/m^2$ .

$s_{ys}$  = Değişken kesme gerilmesi,  $N/m^2$ .

$s_r$  = Tam değişken eğilmede malzemenin dayanıklılık limiti,  $N/m^2$ .

$K_t$  = Teorik gerilme konsantrasyon faktörü.

$K_f$  = Hakiki gerilme konsantrasyonu, malzemenin çentik özelliğine bağlı olarak,

$A$  = Tam değişken eğilmeden farklı olmak şartıyla, bir tür yükleme için düzeltme faktörü.

$A = 0,7$  tam değişken eksenel yükleme için,

$A = 0,6$  tam değişken, burulma yükleri için,

$B$  = Boyut düzeltme faktörü, standart test numunesi nominal çapa haizdir.  $0,3''$  ( $7,62\text{mm}$ ).

$B = 0,85$  ölçüleri  $12,5$  ilâ  $50\text{mm}$  arasında değişen parçalar için.

$C$  = Yüzey düzeltme faktörü, test numunesi parlatılmış haldedir.

İşlenmiş yüzeyler ve sıcak haddelenmiş yüzeyler için bazı ortalama  $C$  değerleri

$s_u$ MPa	$C, M/c$ İşlenmiş yüzey	$C$ , sıcak haddede, yüzey
400	0,91	0,74
500	0,89	0,65
600	0,87	0,59
700	0,85	0,54
800	0,83	0,49
900	0,81	0,45
1000	0,79	0,40
1200	0,75	0,34
1400	0,71	0,29

$N$  = Emniyet faktörü; malzeme özelliklerindeki değişimleri, belirsiz yükleme, kabullerdeki hassasiyeti, ışçilik, mümkün olabilecek عمر kaybı, durmanın yol açtığı maliyetleri veya bakım, test datasının bulunmaması veya daha önceden bilinmiş olmasını, vb. içerir. Ailelade bir dizayn için  $N$ -değerleri,  $1,25$  ilâ  $3,0$  arasında değişecektir. Bu değerler şartların çok iyi tanımlanmış olması veya belirsizlik halinde de geçerlidir. Belirsizlik oldukça yüksek ise,  $N$  için  $3,0$  dan büyük değerlerde kullanılabilir.  $N$  in seçimi iyi bir karara bağlıdır.

**ESDEĞER MAXIMUM KESME GERİLMESİ**,  $r_{es(max)}$  değişken normal ve değişken kesme gerilmesi bulunuşlu halinde, kırılgan gerilme teorisini kullanılarak, Esdeğer normal gerilme,

$$s_{er} = s_m + \left( \frac{s_y}{s_r} \right) \frac{K_f s_y}{ABC}$$

Eşdeğer kesme gerilmesi,  $s_{es}$ :

$$s_{es} = s_{ms} + \left( \frac{s_y}{s_r} \right) \frac{K_f s_{vs}}{ABC}$$

Not: Sünek malzemeler için, bu ifadede  $A$  için 0,6 yi kullanınız ve  $s_y = (0,6)(s_y)$  yi kullanınız.

Sonra, eşdeğer maximum kesme gerilmesi,  $s_{es}(\max)$ . sünek malzemelerle dizaynda,

$$s_{es}(\max) = \sqrt{(s_{en})^2 + (s_{es})^2}$$

Bu dizayn, ifadesi gibi kullanılmak için  $s_{ys}/N$  e eşit kılınabilir.

$$s_{ys}/N = \sqrt{(s_{en})^2 + (s_{es})^2}$$

Not:  $s_{ss} = 0,5 s_{ys}$  yi bu ifade için kullanınız.

Eşdeğer maximum normal gerilme, kırılgan malzeme kullanılması halinde,

$$s_{en}(\max) = s_{en} + \sqrt{(s_{en})^2 + (s_{es})^2}$$

Dizayn ifadesinde kullanılacağı zaman,  $s_y/N$  e eşit kılınır.

$$s_y/N = \frac{1}{2}s_{en} + \sqrt{(s_{en})^2 + (s_{es})^2}$$

Kesmedeki kopma gerilmesinin değeri,  $s_{ys}$ , yukarıdaki eşdeğer kesme gerilmesinde kullanılabilmek için,  $s_{es}$ , ifade, çekmede, kopmanın 0,6 katı kadar alınabilir. Bu deneyel burulma kesme testleriyle yakın bir ilişki içindedir. Mamafih, kesmedeki,  $s_{ys}$ , kopma gerilmesinin değeri, çekmedeki, kopma gerilmesinin 0,5 katı kadar alınır. Bu ifade, yorulmada maximum kesme teorisine dayanılarak çıkarılır.

## Çözümlü Problemler

1. Çelik bir bağlama çubuğu AISI 8650 malzemesinden mamüldür. Çelik  $815^{\circ}\text{C}$  sulanmış ve  $540^{\circ}\text{C}$  de temperlenmiştir. Mil 180kN luk bir eksenel yükün etkisi altındadır. Çubuk için gerekli çapı hesaplayınız. Emniyet faktörü  $N = 2$  olarak alınacaktır. Flombaj tesiri olmadığı kabul edilecektir.

**Çözüm :**

Bu malzemenin özellikleri:  $s_u = 1,07 \text{GN/m}^2$ ,  $s_y = 910 \text{MN/m}^2$ , mukavemet sınırının tam değişken eğilme halinde, kopma gerilmesinin yarısı kadar olduğunu kabul ediniz.

$$s_r = \frac{1}{2}(1,07) = 0,535 \text{ MN/m}^2$$

Ortalama gerilme  $s_m = 0$ .

$$\text{Değişken gerilme } s_v = \frac{F}{A} = \frac{4F}{\pi d^2} = \frac{4(180,000)}{\pi d^2}$$

Mukavemet sınır faktörü, eksenel yükleme halinde,  $A = 0,7$ .

Mukavemet sınır faktörü, boyutlar için,  $d > 12,5 \text{ mm}$  kabul ederek,  $B = 0,85$ .

İşlenmiş yüzey için mukavemet sınırını kullanarak,  $C = 0,8$ .

Gerilme konsantrasyonu olmadığını düşünerek,  $K_f = 1$ .

Bunları dizayn ifadesinde yerine koymak,

$$\frac{1}{N} = \frac{s_m}{s_y} + \frac{K_f s_{vs}}{s_r ABC}, \quad \frac{1}{2} = 0 + \frac{(1)(4)(180,000)}{\pi d^2 (0,535 \times 10^9) (0,7) (0,85) (0,8)}$$

ve,  $d = 42,4 \text{ mm}$ ,  $d = 50 \text{ mm}$  yi kullanınız.

2. Sıcak haddelenmiş 070M26 çeliğinden mamul çelik çubuk -110N ilâ 440Nm lik burulma yükünün etkisi altındadır. Emniyet faktörü,  $N = 1,75$  olarak, gerekli çubuk çapını hesaplayınız.

**Çözüm:** Testlerle bu malzemeye ait özellikler şöyle bulunmuştur:  $s_u = 460 \text{ MN/m}^2$

Tam değişken eğilme için mukavemet sınırı,  $s_v = \frac{1}{2}(460) = 230 \text{ MN/m}^2$  Kesmedeki kopma gerilmesinin, çekmedeki kopma gerilmesinin 0,6 katı kadar olduğunu kabul ediniz:  $s_{ys} = (0,6)(310) = 186 \text{ MN/m}^2$ . Gerilme konstantrasyonu olmaması halinde,  $K_f = 1$  alınız.

Burulma yükleri için mukavemet sınır düzeltme faktörü,  $A = 0,6$ ,  $d > 12,5 \text{ mm}$  olmak şartıyla,  $B = 0,85$  dir. Sıcak haddelenmiş malzeme için,  $s_u = 460 \text{ MN/m}^2$ , olmak şartıyla  $C = 0,68$  alınabilir.

Ortalama ve değişken gerilmeler, ortalama ve değişken torklara bağlıdır. Ortalama tork.

$$T_m = \frac{1}{2}[T(\max) + T(\min)] = \frac{1}{2}[440 + (-110)] = 165 \text{ Nm}$$

Değişken tork ise,

$$T_v = \frac{1}{2}[T(\max) - T(\min)] = \frac{1}{2}[440 - (-110)] = 275 \text{ Nm}$$

sonra, dış yüzeydeki herhangi bir nokta için,

$$s_{ms} = \frac{T_m c}{J} = \frac{16T_m}{\pi d^3} = \frac{(16)(165)}{\pi d^3} = \frac{2640}{\pi d^3}, \quad s_{vs} = \frac{T_v c}{J} = \frac{16T_v}{\pi d^3} = \frac{(16)(275)}{\pi d^3} = \frac{4400}{\pi d^3}$$

Bunları dizayn ifadesinde yerine koymak,

$$\frac{1}{N} = \frac{s_{ms}}{s_y} + \frac{K_f s_{vs}}{s_r ABC}, \quad \frac{1}{1,75} = \frac{2640}{\pi d^3 (186 \times 10^6)} + \frac{(1)(4400)}{\pi d^3 (230 \times 10^6) (0,6) (0,85) (0,68)}$$

ve  $d = 33,8 \text{ mm}$ ,  $d$  için 35 veya 40mm değerleri alınabilir.

4. Şekil. 6-7'de görülen bir konsol kiriş soğuk çekilmiş '26' karbonlu çelikten mamuldür. Konsol kiriş dairesel kesitlidir. Kirişin  $-F$  ilâ  $3F$  kuvvet etkisi altında olduğu bilinmektedir. Emniyet faktörünü  $N = 2$  olarak, bu elemanın dayanabileceği maximum yükü tayin ediniz. Fotoelastik model teorik gerilme konsantrasyon faktörünün  $K_f = 1,42$  olduğunu göstermektedir. Bu malzemedede çentik hassasiyeti 3mm lik yarıçap için  $q = 0,9$  dur. Saadecə kesit değişikliği olan kesitleri analiz yapınız.

**Çözüm:**

Soğuk çekilmiş bu malzemeden alınan numunelerin gösterdiği özellikler,

$$s_u = 550 \text{ MN/m}^2$$

$$s_y = 470 \text{ MN/m}^2$$

$$s_v = 275 \text{ MN/m}^2$$

$$K_f = 1 + q(K_f - 1) = 1 + 0,9(1,42 - 1) = 1,38$$

$A = 1$ , eleman eğilmede yüklü haldedir.

$B = 0,85$ , düzeltme faktörü, boyut etkisi için,

$C = 0,89$  yüzey etkisi için, düzeltme faktörü.

Kesit değişikliği olan noktalardaki eğilme momenti  $-0,125F$  ile  $+0,375F$  arasında değerler alır. Eğilme momenti cinsinden  $A$  noktasındaki eğilme gerilmesi

$$s_b = \frac{32M}{\pi d^3} = \frac{32M}{\pi (0,013)^3} = 4.64 \times 10^6 \text{ M}$$

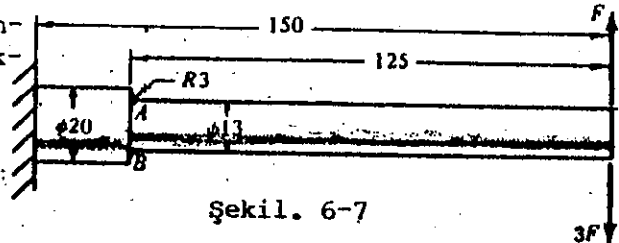
sonra

$$s(\min) = 4,64 \times 10^6 (0,125F) = 0,58 \times 10^6 F$$

$$s(\max) = 4,64 \times 10^6 (0,375F) = 1,74 \times 10^6 F$$

$$s_m = \frac{1}{2}[1,74 + (-0,58)F] = 0,58 \times 10^6 F$$

$$s_v = \frac{1}{2}[1,74 - (-0,58)F] = 1,17 \times 10^6 F$$



bunları,  $\frac{1}{N} = \frac{s_m}{s_y} + \frac{K_f s_v}{s_r ABC}$ , ifadesinde yerine koyarak,

$$\frac{1}{2} = \frac{0,58 \times 10^6 F}{470 \times 10^6} + \frac{(1,38)(1,17 \times 10^6 F)}{(275 \times 10^6)(0,85)(0,89)}$$

ve  $F = 55,6\text{N}$  bulunur.

alakamızı çekerse,  $B$  noktasındaki gerilme analiziyle,

$$s(\min) = -1,74 \times 10^6 F \quad s_m = \frac{1}{2}[10^6(0,58) + (-1,74)F] = 0,58 \times 10^6 F$$

$$s(\max) = 1,58 \times 10^6 F \quad s_v = \frac{1}{2}[10^6(0,58) - (-1,74)F] = 1,17 \times 10^6 F$$

bunları,  $\frac{1}{N} = \frac{s_m}{s_y} + \frac{K_f s_v}{s_r ABC}$  yerine koyarak, bunlara, negatif işaretli

ortalama gerilmeye bağlı olarak  $s_y$  ye eksi işaret verileceği unutulmamalıdır.

$$\frac{1}{2} = \frac{-0,58 \times 10^6 F}{470 \times 10^6} + \frac{(1,38)(1,17 \times 10^6 F)}{(275 \times 10^6)(0,85)(0,89)}$$

böylece,  $F = 55,6\text{N}$  bulunur.

4. Soğuk çekilmiş dairesel kesitli bir çelik 565 ilâ 1130N m lik değişken eğilme momentine tabi iken, eksenel yükünde 4500 ile 13500N arasında değer aldığı bilinmektedir. Maximum eğilme momenti, eksenel yükün maximum olduğu noktada ortaya çıkmaktadır. Emniyet faktörü,  $N = 2$  alarak, çubuk çapını hesaplayınız. Gerilme konsantrasyonu ve kolon tesirini ihmal ediniz. Dizayn maximum kesme gerilmesine göre yapılacaktır.  $s_u = 550\text{MPa}$ ,  $s_y = 470\text{MPa}$ .

**Cözüm :**

$B = 0,85$  boyut etkisinden dolayı, düzeltme faktörü,  $C = 0,89$  yüzey etkisinden dolayı, düzeltme faktörü,

$A = 1,00$  Eğilme için.

$A = 0,70$  Eksenel yük için.

$K_f = 1$  gerilme konstantrasyonu için,

Eşdeğer normal gerilimini hesaplayınız.

- (a) Eğilmeden dolayı, ortalama ve değişken momentler,

$$M_m = \frac{1}{2}(1130 + 565) = 847,5\text{N m} \quad \text{ve} \quad M_v = \frac{1}{2}(1130 - 565) = 282,5\text{N m}.$$

Sonra eğilmeden dolayı,

$$s_m = \frac{Mc}{I} = \frac{32M}{\pi d^3} = \frac{(32)(847,5)}{\pi d^3}, \quad s_v = \frac{Mc}{I} = \frac{32M}{\pi d^3} = \frac{(32)(282,5)}{\pi d^3}$$

$$\text{ve} \quad s_{en} = s_m + \frac{s_y K_f s_v}{s_r ABC} = \frac{(32)(847,5)}{\pi d^3} + \frac{(470 \times 10^6)(1)(32)(282,5)}{\pi d^3(275 \times 10^6)(1)(0,85)(0,89)} = \frac{15,135}{d^3}$$

- (b) Eksenel yükten dolayı, ortalama ve değişken kuvvetler,

$$F_m = \frac{1}{2}(13,500 + 4500) = 9000\text{N} \quad \text{ve} \quad F_v = \frac{1}{2}(13,500 - 4500) = 4500\text{N}$$

sonra, eksenel yükten dolayı,

$$s_{en} = \frac{(9000)(4)}{\pi d^2} + \frac{470 \times 10^6(4)(4500)}{\pi d^2(275 \times 10^6)(0,70)(0,85)(0,89)} = \frac{29,950}{d^2}$$

$$(c) Toplam eşdeğer normal gerilme,  $s_{en}$  (toplam) =  $\frac{15,135}{d^3} + \frac{29,950}{d^2}$$$

- (d) Toplam eşdeğer normal gerilimi  $s_y/N$  e eşit kılarak,

$$\frac{15,135}{d^3} + \frac{29,950}{d^2} = \frac{s_y}{N} = \frac{470 \times 10^6}{2}$$

Buradan, deneme ve sinama ile  $d = 41\text{mm}$  bulunur.

$s_i$  mili saat ibresi yönünde  $1200d/dk$  da dönmektedir. 36N luk konsantre dengelenmemiş bir  $W$  yükü, Şekil. 6-8'de görüldüğü üzere, A ve B mes-

tam ortada 50mm çaplı bir disk şeklindedir. C ve D noktalarında ise 6,75kN luk bir başka yük adı geçen noktalardaki yataklarla taşınmaktadır. Mil malzemesinin kopma gerilmesi  $412\text{MN/m}^2$  ve akmagerilmesi ise  $310\text{MN/m}^2$  dir. A-A kesitindeki mil çapını tayin ediniz. A-A bölgüsü için emniyet faktörü,  $N=2$  dir. Sadece P noktasını ele alınız.

**Cözüm :**

(1) Mukavemet sınırını  $s_u/2 = 206\text{MN/m}^2$ , gerilme konsantrasyon faktörünü,  $K_f = 1$  mukavemet sınırı düzeltme faktörünü, boyutlar için,  $A=0,85$  ve  $C=0,9$  kabul ediniz.

(2) Döner yükten dolayı eğilme momentinin  $-724\text{N m}$  ilâ  $742\text{N m}$  arasında değiştiğini gösteriniz.

(3) Sabit düşey yükten dolayı eğilme momentinin  $844\text{N m}$  olduğunu gösteriniz.

(4) Birleşik eğilme momenti  $120\text{N m}$  ilâ  $1568\text{N m}$  arasında değişmektedir.

(5) P noktasını dışta, iki mesnet arasında tam ortada kabul edecek olursak,  $1568\text{N m}$  luk moment negatif veya basma gerilmesine neden olacaktır. Ayrıca  $120\text{N m}$  luk moment ise pozitif veya çekme gerilmesine neden olacaktır.

(6) Maximum, minimum, ortalama ve değişken eğilme gerilmeleri,

$$s(\max) = \frac{-(32)(1568)}{\pi d^3} = \frac{-15,970}{\pi d^3}, \quad s_m = \frac{-15,970 + 1220}{2d^3} = \frac{-7375}{d^3}$$

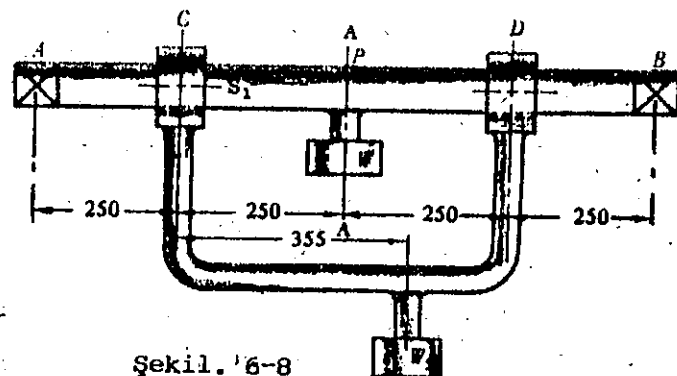
$$s(\min) = \frac{+(32)(120)}{\pi d^3} = \frac{+1220}{\pi d^3}, \quad s_v = \frac{1220 + 15,970}{2d^3} = \frac{8595}{d^3}$$

(7) Sonra  $\frac{1}{N} = \frac{s_m}{s_y s_r ABC}$ ,  $\frac{1}{2} = \frac{-7375}{310 \times 10^6 d^3} + \frac{(1)(8595)}{(210 \times 10^6)(1)(0,85)(0,90)d^3}$ , ve  $d = 54\text{mm}$   $d = 60\text{mm}$  yi kullanınız.

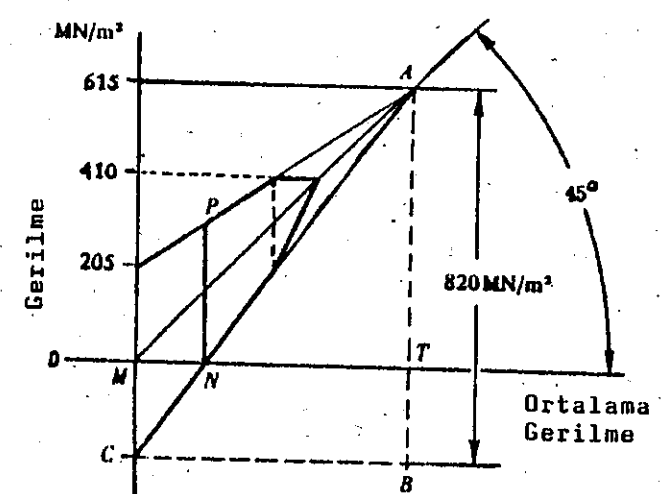
6. Bir alçaklı çeliğin kopma gerilmesi  $615\text{MN/m}^2$  akma gerilmesi  $410\text{MN/m}^2$  ve mukavemet sınırı tam değişken eğilme halinde  $205\text{MN/m}^2$  olarak verilmektedir. Modifiye olmuş Goodman diyagramını çiziniz. Titreşimli yükleme için, mukavemet gerilmesinin şiddetini bulunuz.

**Cözüm :**

Şekil. 6-9'da görüldüğü gibi Goodman diyagramını çiziniz. NP mukavemet değerini göstermektedir. Değerler, ölü-



Şekil. 6-8



Şekil. 6-9

çüllererek veya aşağıdaki şekilde hesaplamalarla bulunabilir.

Benzer üçgenlerden,  $ACB$  ve  $ANT$ ,  $NT/615 = 615/820$  veya  $NT = 461 \text{ MN/m}^2$  bulunur. sonra,  $IMN = 154 \text{ MN/m}^2$  ve  $NP = 308 \text{ MN/m}^2$ . zira,  $MA$  ortalama gerilme hattıdır.

7. Sıcak haddelenmiş bir çelik mil burulmaya neden yükün etkisi altında. Bu yük saat ibresi yönünde  $330 \text{ N}$  m ve saat ibresinin tersi yönünde  $110 \text{ N}$  m luk eğilme momenti doğrudan gibi, kritik kesitlerdeki değerler  $440 \text{ N}$  ilâ  $-220 \text{ N}$  m değişmektedir. Mil uniform kesitli olup, kritik kesitte kama yuvası bulunmamaktadır. Gerekli mil çapını hesaplayınız. Malzemenin kopma gerilmesi  $550 \text{ MN/m}^2$  ve akma gerilmesi  $410 \text{ MN/m}^2$  dir. Emniyet faktörü  $N = 1,5$  alınacaktır. Mukavemet sınırını kopma gerilmesinin yarısı kadar alınız.

**Çözüm :**  
(a) Eğilmeden dolayı ortaya çıkan eşdeğer normal gerilmeyi tayin ediniz.

$$s_{\text{es}} = \frac{(32)(440)}{\pi d^3} \quad s_m = \frac{[(32)(440)] + [-(32)(220)]}{2\pi d^3} = \frac{1,120 \times 10^3}{d^3}$$

$$s_{\text{es}} = \frac{-(32)(220)}{\pi d^3} \quad s_v = \frac{[(32)(440)] - [-(32)(220)]}{2\pi d^3} = \frac{3,360 \times 10^3}{d^3}$$

Eşdeğer normal gerilme,  $[A = 1, B = 0,85, C = 0,62, K_t = 1]$

$$s_{\text{es}} = \frac{1,120 \times 10^3}{d^3} + \left[ \frac{410}{275} \right] \left[ \frac{3,360 \times 10^3}{d^3(1)(0,85)(0,62)} \right] = \frac{1,0626 \times 10^4}{d^3}$$

(b) Eşdeğer kesme gerilmesini hesaplayınız.

$$s_{\text{es}} = \frac{(16)(330)}{\pi d^3} \quad s_{ms} = \frac{(16)(110)}{\pi d^3} = \frac{5,602 \times 10^2}{d^3}$$

$$s_{\text{es}} = \frac{-(16)(110)}{\pi d^3} \quad s_v = \frac{(16)(220)}{\pi d^3} = \frac{11,204 \times 10^2}{d^3}$$

Eşdeğer kesme gerilmesi  $[A = 0,6, B = 0,85, C = 0,62, s_{ys} = 0,6s_y]$

$$s_{\text{es}} = \frac{560.2}{d^3} + \left[ \frac{(0,6)(410)}{275} \right] \left[ \frac{1120.4}{d^3(0,6)(0,85)(0,62)} \right] = \frac{3,7299 \times 10^3}{d^3}$$

(c) Eşdeğer kesme gerilmesini  $s_{ys}/N$  e eşit kılınız. Burada,

$$s_{ys} = (0,5)s_y = (0,5)(410) = 205 \text{ MN/m}^2$$

$$s_{\text{es}} = \frac{1}{d^3} \sqrt{\left( \frac{1,063 \times 10^4}{2} \right)^2 + (3,73 \times 10^3)^2} = \frac{205 \times 10^6}{1,5} \text{ veya } d = 36,2 \text{ mm}$$

Not :  $s_{ys} = 0,6s_y$  bağıntısını torsiyonel kesme için kullanırken,  $s_{ys} = 0,5s_y$  bağıntısını da birleşik kesme gerilmesi için kullanılmıştır.

8. İki yataklı taşınan bir milin orta noktasında bir makara kamalanmış haldedir. Makarada eğilme momenti  $-170 \text{ N}$  m ilâ  $510 \text{ N}$  m arasında değişirken, mildeki burulma momenti  $55 \text{ N}$  m ilâ  $165 \text{ N}$  m arasında değerler almaktadır. Yük değişiminin frekansı mil hızı kadardır. Mil soğuk haddelenmiş çelikten mamül olup, kopma gerilmesi  $538 \text{ MPa}$ , akma gerilmesi  $400 \text{ MPa}$  dir. Sonsuz ömrü hali için, gerekli çapı hesaplayınız. Kama yuvasında eğilmeden dolayı gerilme konsantrasyonu faktörü 1,6 ve burulmada ise 1,3 dir. Dizayn faktörünü,  $N = 1,5$  olarak alınız.

**Çözüm:**  
1. Eşdeğer normal gerilmeyi hesaplayınız,  $s_{\text{es}}$ .

$$(a) Eğilmeden dolayı,  $s_{\text{es}} = \frac{(32)(510)}{\pi d^3} = \frac{5195}{d^3}$  ve  $s_{\text{es}} = \frac{-(32)(170)}{\pi d^3} = -\frac{1732}{d^3}$$$

$$(b) Eğilmeden dolayı,  $s_m = \frac{5195 + (-1732)}{2d^3} = \frac{1732}{d^3}$  ve  $s_v = \frac{5195 - (-1732)}{2d^3} = \frac{3464}{d^3}$$$

(c)  $s_r = s_u/2 = 538/2 = 269 \text{ MPa}$ ,  $A = 1$ ,  $B = 0,85$ ,  $C = 0,88$ . kabul ediniz.

eşdeğer normal gerilme,

$$s_{\text{es}} = s_m + \left( \frac{s_y}{s_r} \right) \frac{K_f s_v}{ABC} = \frac{1732}{d^3} + \left( \frac{400}{269} \right) \frac{(1,6)(3464)}{(0,85)(0,88)d^3} = \frac{1,275 \times 10^4}{d^3}$$

II. Eşdeğer kesme gerilmesini hesaplayınız,

(a) Maximum ve minimum kesme gerilmeleri,  $s_{\text{es}}$ :

$$s_{\text{es}}(\text{max}) = \frac{(16)(165)}{\pi d^3} = \frac{840}{d^3}, \quad s_{\text{es}}(\text{min}) = \frac{(16)(55)}{\pi d^3} = \frac{280}{d^3}$$

(b) Ortalama ve değişken kesme gerilmeleri,

$$s_{\text{ms}} = \frac{840 + 280}{2d^3} = \frac{1120}{d^3}, \quad s_{\text{vs}} = \frac{840 - 280}{2d^3} = \frac{560}{d^3}$$

(c) Burulma için,  $s_{ys} = 0,6s_y = 0,6(400) = 240 \text{ MPa}$ ,  $A = 0,6$ ,  $B = 0,85$ ,  $C = 0,88$  eşdeğer kesme gerilmesi,

$$s_{\text{es}} = s_{\text{ms}} + \left( \frac{s_{ys}}{s_r} \right) \frac{K_f s_{\text{vs}}}{ABC} = \frac{1120}{d^3} + \left( \frac{240}{269} \right) \frac{(1,3)(560)}{(0,6)(0,85)(0,88)d^3} = \frac{2567}{d^3}$$

III. Eşdeğer maximum kesme gerilmesini  $s_{ys}/N$  e eşit kılarak,

$$s_{\text{es}}(\text{max}) = \sqrt{\left( \frac{s_{\text{es}}}{2} \right)^2 + (s_{\text{es}})^2} = \frac{s_{\text{es}}}{N}, \quad \frac{1}{d^3} \sqrt{\left( \frac{12,750}{2} \right)^2 + (2567)^2} = \frac{(0,5)(400 \times 10^6)}{1,5}, \\ d^3 = 5,154 \times 10^{-5}, \quad d = 37,2 \text{ mm} \text{ bulunur.}$$

9. Kopma gerilmesi  $175 \text{ MPa}$  olan, dökme demirden mamül bir mil tamamıyla tam değişken olan burulma yükünün etkisi altındadır. Mil  $50 \text{ mm}$  çapında olup, üzerinde yarıçapı  $12,5 \text{ mm}$  lik bindirme ilave bulunan  $75 \text{ mm}$  çapındaki mille birleştirilmiş haldedir. Emniyet faktörü 2 dir. Mile tatbik edilecek maximum tork ne kadardır. (1) Soderberg ifadesi, (2)  $s_e = T_c/J$  ifadesini kullanarak çözümü gerçekleştiriniz.

**Çözüm :**

(a) Ortalama kesme gerilmesi = 0. Değişken kesme gerilmesi ise,

$$s_{\text{vs}} = \frac{16T}{\pi d^3} = \frac{16T}{\pi(0,05^3)} = \frac{1,28 \times 10^5 T}{\pi}, \quad T \text{ maximum torkdur, N m.}$$

(b) Eşdeğer kesme gerilmesi, yüzeydeki bir partikülde olmak üzere,

$$s_{\text{es}} = s_{\text{ms}} K_t + K_f s_{\text{vs}} \frac{s_{ys}}{s_r ABC}$$

burada,  $s_{\text{ms}} = \text{Ortalama kesme gerilmesi} = 0$ .

$K_t$  = Teorik gerilme konsantrasyon faktörü, verilen çap için 1,17 dir Belirgin şekilde burulma için fotoelastik testlerinden bulunabilir.

$K_f$  = Yorulmadaki hakiki konsantrasyon etkisi,  
 $K_f = 1 + q(K_t - 1) = 1 + 0(1,17 - 1) = 1$ .

Çentik hassasiyeti,  $q$  nun değeri, dökme demir için, literatürde verilmemiştir. Test numunelerinde yapılan testlerde çekme gerilmesi  $138 \text{ MPa}$ , ve %26, çekme gerilmesi yaklaşık olarak  $295 \text{ MPa}$  dir. Çentik hassasiyet faktörü,  $q$  sıfır alınacaktır. (Yorulma çentik hassasiyetinin etkisi çok küçükken, değişken yükleme halinde çentik etkisi çok yüksek olmaktadır.)

$$s_{\text{vs}} = \text{Değişken kesme gerilmesi} = \left( \frac{1,28 \times 10^5}{\pi} T \right) \text{ Pa.}$$

$s_{ys}$  = Dökme demir için kesmede kopma mukavemeti. Bu değer çoğu zaman dökme demirde çekme için kopma-değerine eşit alınır. Çekmə halinde kopma mukavemeti değeri çekme gerilmesi değerinin %60'ı kadar alınır. Böylece,

$$s_{ys} = s_y = 0.6(175) = 105 \text{ MPa}$$

$s_r$  = Dökme demir için eğilmeye mukavemet sınırı. Bu değer çeliklere nazaran daha geniş çapta görülür. Tecrübler göstermiştir ki mukavemet sınırı, kopma mukavemetinin 0.33 ile 0.6 sı arasında değer almaktadır. Ayrıca tecrübe göre mukavemet sınırı burulmada, eğilmeye mukavemet sınırının ile 1.25 i arasında değer almaktadır. Eğilmeye, mukavemet kopma mukavemetinin 0.4'ü kadar alınabilir. Böylece, eğilmeye mukavemet sınırı,  $0.4(0.75) = 70 \text{ MPa}$

$$A = 0.75^{\circ} \text{ (Alt değerin üstünde)}$$

B=Boyut etkisi, Çeliklerde olduğu gibi 0.85 olarak alınır.

$$C=\text{Yüzey kalitesi} = 1$$

Bunların eşdeğer kesme gerilmesi ifadesinde yerleştirerek,

$$s_{es} = 0(1.17) + 1.28 \times 10^5 \left( \frac{T}{\pi} \right) \frac{(1)(105 \times 10^6)}{(70 \times 10^6)(0.75)(0.85)(1)} = (9.587 \times 10^4 T) \text{ Pa}$$

değeri bulunur.

c) Eşdeğer normal gerilmede sıfırdır. Birleşik gerilme ifadesinden maximum eşdeğer statik çekme gerilmesi.

$$s_n(\max) = \frac{1}{2}s_{en} + \sqrt{(s_{en})^2 + (s_{es})^2} = 0 + \sqrt{0 + (1.5T)^2} = (1.5T) \text{ Pa}$$

d) Müsade edilebilir statik çeme gerilmesi =  $s_y/N = 105/2 \text{ MPa} = 52.5 \text{ MPa}$

e) c ve d şı birbirlerine eşit kalarak,  $52.5 \times 10^6 = 9.587 \times 10^4 T$  veya  $T = 547.6 \text{ Nm}$ . Böylece müsade edilebilir moment değeri = 547.6 Nm olur.

f) Takiben çözümde Soderberg ifadesinin, dökme demirle çalışma halindeki tatbik şekli görülmektedir. Gerilme tamamıyla geri dönebilir. Olduğundan ve aynı zamanda geri donebilen burulma test verileri doğrudan tatbik edilebildiğinden, bu problemde daha çabuk bir çözüm n in doğrudan tatbiriyle sağlanabilir,

$$\text{Burada;} \quad \frac{(s_r)(A)(B)(C)}{N} = \frac{T_c}{J}, \quad \frac{70 \times 10^6 (0.75)(0.85)(1)}{2} = \frac{T(0.025)}{\pi(0.05^4)/32}$$

veya müsaade edilebilir moment değeri  $T = 547 \text{ Nm}$  olur. Yukarıda, eğilmeye mukavemet sınırı, burulmayı düzeltmek için  $A = 0.75$  ile, boyut tesiri karşılamak için  $B = 0.85$  ile, yüzey tesiri içinde  $C = 1$  ile çarpılmıştır ve problemede  $N = 2$  değeri kullanılmıştır. Dökme demir için çentik hassasiyet katsayısı sıfır alındığından gerilme konsantrasyon katsayısı hesaba katılmamıştır.

Test neticelerini kullanmak mümkün olduğu sürece bunlar doğrudan kullanılabilirler. Eğer yük geri donebilir halde değilse ve/veya test tecrübeleri mevcut değilse, gösterilen Soderberg ifadesini kullanınız.

10. Aşağıdaki şekil 6.10 da, mil sürekli yük şartları altında P kasnağından 900d/dk da dönen dişliye 7.5kW lik güç aktarmaktadır. Mil sıcak halde çelikten mamuldür. Kopma mukavemet değeri 590 MPa ve kopma mukavemeti 380 MPa'dır. Kasnak çapı 250mm ve dişlide taksimat dairesi çapı 250 mm dir. Kasnak 12.2 kg ve dişli ise 12.2kg dir. Mil ağırlığını ihmal ediniz. Kayış gerilmeleri arasındaki oran  $T_1 = T_2 = 2.5$  dir. Dişlide kavrama açısı (basınç açısı) 20° dir. Soderberg değişken gerilme ifadesini kullanarak, mil böyuütleri tayin edilecektir. (Çözüm sahife 121 deki ASME mil standartı ifadesine göre yapılabilir. Rigidlik kritik hız için dizayn 123-127 den alınabilir..)

Çözüm :

(a) Mil üzerindeki  $M_t$  torku,

$$2\pi NM_t/60 = P, P = 7500 \text{ W}, N = 900 \text{ d/dk}$$

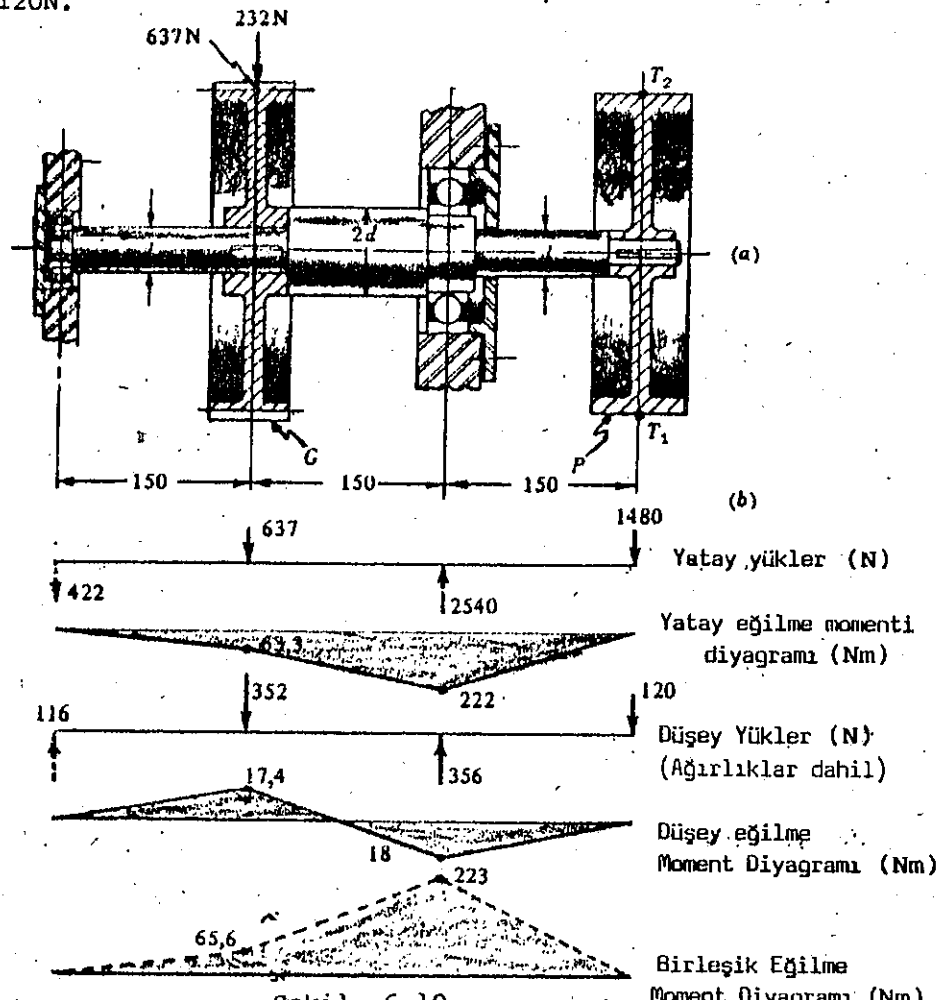
$$M_t = 79,6 \text{ Nm}$$

(b) Kayış kuvvetleri ise,

$$(T_1 - T_2)(R) = M_t \text{ veya } (T_1 - T_2)(0,125) = 79,6 \text{ ve } T_1/T_2 = 2,5$$

$$\text{burada, } T_1 = 1060 \text{ N, } T_2 = 424 \text{ N}$$

Dişlinin ve makaranın ağırlığı, her biri,  $12,2 \times 9,81 = 119,6 \text{ N}$ , yaklaşık, 120N.



Şekil. 6-10 Birleşik Eğilme Moment Diyagramı (Nm)

(c) Teğetsel dişli kuvveti,  $F_t = M_t/R = 79,6/0,125 = 636,8 \text{ N}$

(d) Radyal kuvveti,  $F_r = F_t \tan \phi = 636,8 \tan 20^\circ = 231,8 \text{ N}$

(e) Yük ve eğilme momenti diyagramları şekilde gösterilmiştir. Kayış kuvvetleri ve dişli kuvvetlerinin görüldüğü üzere konsantr olmuşlardır. Makara ve dişlinin ağırlığı hesaba katılmıştır.

(f) Önce dişliden bir kesit alınız. Buradaki eğilme momenti sağ taraftaki yataktan daha az olabilir. Kama kanalı etken bir faktör olabilir. Kama kanalından dolayı, gerilme konsantrasyon katsayısi,  $K_f$ , eğilmeye, 1,6.

Eğilmedeki gerilme konsantrasyon faktörü ilaveden dolayı, ilavenin yarıçapına bağlıdır.  $d$  çaplı parçanın  $2d$  çaplı parçaya ek noktasında ilavenin bulunduğu unutulmamalıdır.

Teorik gerilme konsantrasyon faktörü  $K_f$  yi elde etmek için ilave faturanın yarıçapının  $d$  mil çapına oranı alınsa bile, hakiki gerilme konsantrasyon faktörü  $K_f$  çentik hassasiyetine bağlıdır. Bu da ilave faturanın bir fonksiyonudur. Böylece fatura yarıçapı ve mil çapını yaklaşık olarak kabul ederek, deneme ve sınama ile çözüme ulaşılır. Sonra bu değer hesaplanmış  $d$  çapıyla kontrol edilir. Aşağıdaki hesaplamlarda bulunan değerler, son bulunan değerlerle uyusmaktadır.

$$r/d = 0,083, \quad r = 1,6\text{mm}$$

$r/d = 0,083$ , için çaplar oranı = 2 olmak şartıyla, eğilmede  $K_f = 1,86$ , çentik hassasiyeti ise,  $q, 0,78$  olmaktadır.

$$K_f = 1 + q(K_f - 1) = 1 + 0,78(1,86 - 1) = 1,67$$

Böylece, ilavenin yarıçapı öyle çıkmıştırki, kama yuvasından daha kötü yapabilecektir.

(g) Eğilme sabittir. 65,6N m, fakat yüzeydeki bir partikül komple ters bir gerilmeye maruzdur. Ortalama eğilme gerilmesi = 0, değişken eğilme gerilmesi,

$$s_v = \frac{Mc}{I} = \frac{65,6(d/2)}{\pi d^4 / 64} = \frac{668}{d^3}$$

(h) Eşdeğer normal gerilme,

$$s_{en} = s_m + K_f s_v \frac{s_y}{s_r ABC} = 0 + 1,67 \left( \frac{668}{d^3} \right) \frac{380 \times 10^6}{(295 \times 10^6)(1)(0,85)(0,87)} = \frac{1943}{d^3}$$

(i) Burulmadan dolayı ortaya çıkan kesme gerilmesi sabittir. Zira tork sabittir. Değişken kesme gerilmesi sıfırdır. Ortalama kesme gerilmesi,

$$s_{ms} = \frac{T_c}{J} = \frac{79,6(d/2)}{\pi d^4 / 32} = \frac{405,4}{d^3}$$

(j) Eşdeğer kesme gerilmesi,

$$s_{es} = s_{ms} + K_f s_v \frac{s_y}{s_r ABC} = \frac{405,4}{d^3} + 0$$

(k) Müsaade edilebilen kesme gerilmesi,

$$\frac{s_{ys}}{N} = \frac{0,5(s_y)}{N} = \frac{(0,5)(380 \times 10^6)}{1.5} = 126,7 \times 10^6 \text{Pa}$$

(l) Müsaade edilebilen kesme gerilmesini, maximum kesme gerilmesine eşit kılınarak,  $126,7 \times 10^6 = \sqrt{(s_{en})^2 + (s_{es})^2} = \sqrt{(1943/2d^3)^2 + (405,4/d^3)^2}$

(m) Milin sağ tarafındaki yatak sonra incelenecaktır. Bilhassa,  $d$  çapındaki kesit ele alınacaktır. Eğilme momentinin yatağın merkez hattı üzerinde etkili olduğu kabul edilerek, ortalama eğilme gerilmenin,  $s_m = 0$  olduğu görülmektedir.

Değişken eğilme gerilmesi,

$$s_v = \frac{Mc}{I} = \frac{223(d/2)}{\pi d^4 / 64} = \frac{2272}{d^3}$$

Gerilme konsantrasyon faktörü  $K_f$  burada doğrudan hesaplanamaz. Dişli kesitin de olduğu gibi aynı türde işlem burada da uygulanacaktır. Deneme ve sınama ile son değerler alınabilecektir.  $r/d$  nin büyük değeri kullanılacaktır.  $r/d = 0,22$  ( $d$  nin 33mm ve  $r$  nin 7 olduğu görülmektedir.)  $r/d \approx 0,22$ , için,  $K_f = 1,37$ ,  $r = 7\text{mm}$ ,  $q = 0,95$ . Böylece  $K_f = 1 + q(K_f - 1) = 1 + 0,95(1,37 - 1) = 1,35$ .

Sonra eşdeğer normal gerilme,  $s_{en}$ ,

$$s_{en} = s_m + K_f s_v \frac{s_y}{s_r ABC} = 0 + 1,35 \left( \frac{2272}{d^3} \right) \frac{380 \times 10^6}{(295 \times 10^6)(1)(0,85)(0,87)} = \frac{5343}{d^3}$$

(n) Ortalama kesme gerilmesi, burulmadan dolayı,

$$s_{ms} = \frac{16T}{\pi d^3} = \frac{16(79,0)}{\pi d^3} = \frac{405,4}{d^3}$$

değişken kesme gerilme,  $s_{es} = 0$ . Böylece, eşdeğer kesme gerilmesi

$$s_{es} = s_{ms} + K_f s_v \left( \frac{s_y}{s_r} \right) \frac{1}{ABC} = \frac{405,4}{d^3} + 0$$

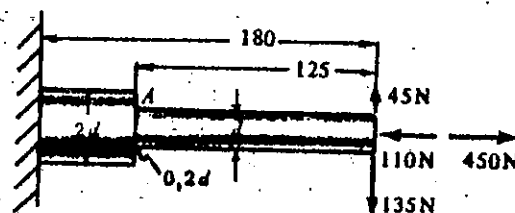
(o) (k) daki müsaade edilebilen kesme gerilmesi: 126,7MPa olarak bulunmuştur.

(p) Eşdeğer gerilme için, Birleşik kesme gerilmesinden,

$$126,7 \times 10^6 = \sqrt{(s_{en})^2 + (s_{es})^2} = \sqrt{(5343/2d^3)^2 + (405,4/d^3)^2} \quad \text{veya} \quad d = 0,0277\text{m} \\ 28\text{mm} \text{ yi alınız.}$$

(q) Mildeki sağ yataktaki etkili gerilmelerle, mil çapı,  $d$  hesaplanabilir. Mukavemet göz önüne alınarak, Soderberg ifadesiyle,  $d = 28\text{mm}$ ,  $2d = 56\text{mm}$  bulunmuş olur.

11. Şekil. 6-11'deki çelik bir ankastre eleman ele alınmaktadır. Bahis konusu elemanda, serbest uçta etkili olmak üzere, yukarıda doğru 45N luk aşağıya çekme 135N luk yük etkimekteyken, eksenel yönde 110N luk (basma) ve 450N luk (çekme) yük etkisi mevcuttur. Emniyet katsayısını 2 alarak, gerekli mil çapını hesaplayınız. Malzemenin mukavemet değerleri,  $s_w = 550\text{MPa}$  (Kopma mukavemeti),  $s_y = 470\text{MPa}$  (Akma mukavemeti),  $s_u = 275\text{MPa}$  (Dayanıklılık limiti)



Şekil. 6-11

Test değerlerine göre, eğilmede, teorik gerilme konsantrasyonu, eksenel yükler içinde aynı olmak üzere,  $K_f = 1,44$  ve  $K_f = 1,63$  dir. Bu değerlerin kesit değişikliklerinde geçerli olduğu unutulmamalıdır. Çözüm :

A noktası için, kritik nokta olmasından dolayı, önce eşdeğer normal gerilmenin hesaplanması gerekmektedir. Bu noktadaki eşdeğer normal gerilmenin, eğilmeden dolayı ortaya çıkan eşdeğer normal gerilmeyle, eksenel yükten dolayı ortaya çıkan eşdeğer normal gerilmelerin cebirsel toplamı olduğu kabul edilir.

Egilmeden dolayı, ortaya çıkan eşdeğer normal gerilme,

$$(s_{en})_b = s_m + \frac{s_y s_u K_f}{s_r ABC} = \frac{57,3}{d^3} + \frac{(470)(114,6)(1,44)}{(275)(d^3)(1)(0,85)(0,9)} = \frac{426}{d^3}$$

burada,  $s(\max) = \frac{(32)(16,9)}{\pi d^3}$ ,  $s(\min) = -\frac{(32)(5,63)}{\pi d^3}$ ,  $s_m = \frac{(32)(11,25)}{2\pi d^3} = \frac{57,3}{d^3}$ ,  $s_v = \frac{(32)(22,5)}{2\pi d^3} = \frac{114,6}{d^3}$ .

Eksenel yüklemeden dolayı, ortaya çıkan normal gerilme,

$$(s_{en})_e = \frac{680}{\pi d^3} + \frac{(470)(1120)(1,63)}{(275)(\pi)(d^2)(0,7)(0,85)(0,9)} = \frac{2071}{d^2}$$

burada,  $s(\max) = \frac{1800}{\pi d^2}$ ,  $s(\min) = -\frac{440}{\pi d^2}$ ,  $s_m = \frac{680}{\pi d^2}$ ,  $s_v = \frac{1120}{\pi d^2}$

Böylece, A noktasındaki, toplam normal gerilme,  $s_{en}$

$$s_{en} = \frac{426}{d^3} + \frac{2071}{d^2} = \frac{s_y}{N} = \frac{470 \times 10^6}{2} \text{ ile bulunur. } d = 12,5 \text{ mm alınacaktır.}$$

12. Bazı durumlarda, ekonomik dizayn, mukavemet düşünülecek yapıılırken, sonsuz ömür yerine sonlu ömür düşünülecek yapılabilir. Örnek olarak, bir yakıt pompası itici çubuğuun 100,000 dönüş için dizayn edileceğini kabul edelim. Beher dönüşde tatbik edilen yük 7,8kN dir. Test verilerine göre, çubuğuun yapılacak malzemenin kopma gerilmesi değerinin 380MPa ve dayanma mukavemetinin 260MPa olması gerektiği bilinmektedir. Fakat mevcut dayanma mukavemeti 100,000 çevrim için 345MPa dir. Emniyet faktörünü 2 olarak, 100,000 çevrim ve sonsuz ömür için, itici çubuğuun çapını hesaplayınız.

**Cözüm :**

Tam değişken yükleme olduğundan,  $s_m = s_v = \frac{1}{2}F/A = \frac{1}{2}(7800)/(4\pi d^2) = 4966/d^2$

$K_f = K_f = 1, A = 0,7, B = 1, C = 0,9$ ; olduğunu kabul edelim, sonra bunları

$$\frac{1}{N} = \frac{s_m}{s_y} + \frac{K_f s_v}{s_y ABC} \text{ ifadesinde yerine koyalım.}$$

- (a) 100,000 dönüşlü sonlu ömür için,

$$\frac{1}{2} = \frac{4966}{d^2(380 \times 10^6)} + \frac{(1)(4966)}{d^2(345 \times 10^6)(0,7)(1)(0,9)} \text{ veya } d = 8,5 \text{ mm}$$

- (b) Sonsuz ömür için,

$$\frac{1}{2} = \frac{4966}{d^2(380 \times 10^6)} + \frac{(1)(4966)}{d^2(260 \times 10^6)(0,7)(1)(0,9)} \text{ veya } d = 9,4 \text{ mm}$$

## Tamamlayıcı Problemler

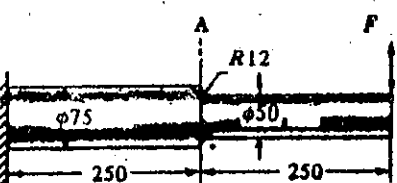
13. 250mm boyunda işlenmiş bir ankastre çelik mil 25mm çapında olup, serbest ucunda yukarıya doğru 450N luk, ve aşağıya doğru 265N luk yüklerin etkisi altındadır. Elemanın mesnete tespit edildiği noktada 6mm lik fatura bulunmaktadır. Bahis konusu şerit  $K_f = 1,32$  lik teorik gerilme konsantrasyon faktörüne neden olmaktadır. Çentik hassasiyeti katsayısı,  $q, 0,92$  olarak alınacaktır.

Eğer malzemenin kopma gerilmesi,  $s_u = 550 \text{ MPa}$ , dayanıklılık limiti,  $= 240 \text{ MPa}$ , ve akma gerilmesi,  $s_y = 415 \text{ MPa}$  ise, (a) Maximum eğilme gerilmesini, (b) minimum eğilme gerilmesini, (c) ortalama gerilmeyi, (d) değişken gerilmeyi, (e) dizayn faktörünü,  $N$  hesaplayınız.

Cev. (a) 73,3MPa, (b) -43,2MPa, (c) 15,1MPa, (d) 58,3MPa, (e) 2,19.

14. Şekil. 6-12'de görüldüğü gibi, ankastre bir çubuğa tatbik edilen kuvvet, kağıt düzlemi üzerinde zamanla değişmektedir. Uygulamada emniyet faktörünün 2,5 olması istenen bir değerdir.

Malzeme AISI-1020 olup, kopma mukavemeti 440MPa, mukavemet sınırı 220MPa ve çekme halinde akma noktası 330MPa da belirmektedir. A-A kesiti için,  $K_f = 1,37$ , 50mm lik çapta fatura yarıçapı 12mm dir. Tavlanmış çelik için, çentik hassasiyet katsayıısı,  $q, 0,95$ , olup, 12mm lik fatura yarıçapı için uygundur.  $C = 0,90$  katsayıısını kullanarak,

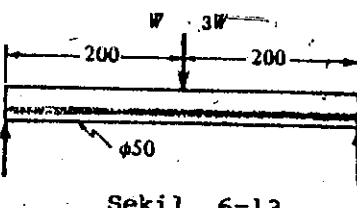


Şekil. 6-12 5,4kN  
-2,7kN

$B = 0,85$  ve  $A = 1$  alırsın. Zira eksenel yük bulunmamaktadır. A-A kesiti için (a) gerilme konsantrasyon faktörünü, (b)  $K_f$ , ortalama gerilmeyi, (c) değişken gerilmeyi,  $s_v$ , (d)  $N$ , emniyet katsayıısını, (e) oranların uygunluğunu, (f) oranlar uygun değilse, 50mm lik çapı değiştirmeden neler yapılabileceğini tayin ediniz.

Cev. (a)  $K_f = 1,35$ , (b)  $s_m = 27,5 \text{ MPa}$ , (c)  $s_v = 82,5 \text{ MPa}$ , (d)  $N = 1,34$ , (e) Oranlar yeterli değildir. (f) Daha yüksek mukavemet değeri olan malzeme kullanılmalıdır. Fatura içinde daha büyük yarıçap seçilmelidir. Böylece, emniyet katsayıısı 2,5 a kadar çıkacaktır.  $K_f = 1$  i limit değer olarak seçip kontrol yapılabilir.

15. Şekil. 6-13'de görüldüğü üzere, basit iki mıesnetle taşınan kiriş için maximum yükü hesaplayınız. Kopma gerilmesi 690MPa, akma noktası 520MPa da ortaya çıktıgı, mukavemet sınırı 345MPa ve dizayn faktörü  $N, 1,3$  dir.  $B = 0,85$  ve  $C = 0,90$  alınacaktır.



Şekil. 6-13

Cev. Ortalama gerilme için,  $\frac{5.12 \times 10^4 W}{\pi}$  ve değişken gerilme

$$\frac{2.56 \times 10^4 W}{\pi}, W = 12.4 \text{ kN} \text{ ve } 3W = 37.2 \text{ kN}$$

16.  $d$  çapındaki bir mil parçasıyla,  $1,5d$  çapındaki diğer bir mil parçası belli bir fatura yarıçapıyla birlleştirilmiştir. Mildeki burulmadan dolayı  $K_f = 122$  dir. Malzemenin akma noktası 560MPa da, dayanıklılık limiti ise 375MPa (ters eğilme) ve 375MPa (ters burulma) dir ve 0,6 (375) luk mukavemet sınırı = 225MPa, ters eğilmede.  $B = 0,85$ ,  $C = 0,85$  ve  $A = 0,6$  alınarak 0 ilâ 26kN luk tork için gerekli mil çapı ne kadar olabilir. Emniyet faktörünü 2 olarak seçiniz.

- Cev.  $d = 50 \text{ mm}$ .
17. Dairesel kesitli bir ankastre kiriş değişen yükün etkisi altındadır. Bahis konusu yük dışta, 21MPa (Basma) ve 28MPa (çekme) olarak görülmektedir. Aynı zamanda eksenel yükten dolayı ortaya çıkan değişken gerilme 14MPa (basma) ve 28MPa (çekme) olmaktadır. Malzemenin kopma mukavemeti,  $s_u = 412 \text{ MPa}$ , ve akma mukavemeti,  $s_y = 309 \text{ MPa}$ ,  $K_f = 1, B = 0,85$  ve  $C = 0,9$  olarak, (a) eksenel yükten dolayı ortaya çıkan eşdeğer normal gerilmeyi, (b) eğilmeden dolayı ortaya çıkan eşdeğer normal gerilmeyi (c) eksenel yük ve eğilmeden dolayı ortaya çıkan toplam eşdeğer gerilmeyi hesaplayınız. Cev. (a) 65,8MPa, (b) 51,5MPa, (c) 117MPa.

18. Dairesel kesitli çelik bir eleman 0 ilâ 35MPa arasında değerler alan burulma gerilmesinin etkisi altındadır. Aynı zamanda -14MPa ilâ 28MPa arasında değer alan eksenel yükünde tatbik edildiği bilinmektedir. Gerilme konsantrasyonunu ve flambaj etkisini ihmal ederek, (a) maximum eşdeğer kesme gerilmesini, (b) kesmedeki akma düşünlerek emniyet katsayıısını hesaplayınız. Malzemenin mukavemet sınırı,  $s_r = 206 \text{ MPa}$  ve akma mukavemeti,  $s_y = 480 \text{ MPa}$  dir. Elemanın çapı 12mm den azdır,  $B = 1$  ve  $C = 1$  yüzey parlaktır.

Cev. (a)  $r_{es}(\max) = 64,6 \text{ MPa}$ , (b)  $N = 3,71$

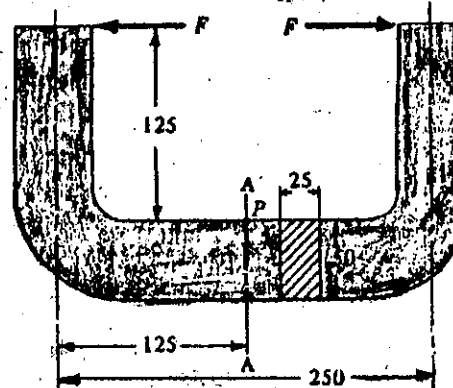
19. SAE-3125 çeliğinin kopma çekme gerilmesi 690MPa, akma noktası 440MPa ve ters eğilmede dayanıklılık limiti 220MPa dir. Modifiye olmuş Goodman diyagramını çiziniz. Dayanma mukavemetinin şiddetini, çizerek tayin ediniz. Cev. 334MPa.

20. 50mm çapındaki bir çubuk şekilde görüldüğü üzere bükülmüştür. Şekil. 6-4. Çubuğa tıbbik edilen kuvvet 0 ile  $F(N)$  kadardır. Çubuk akma noktası 414MPa ve mukavemet sınırı 310MPa olan bir malzemeden yapılmıştır.  $N = 2$  olmak şartıyla, tıbbik edilecek yük ne kadardır? Değişken yükler için Soderberg diyagramını kullanınız.  $C = 0,8$  dir. Maximum yük, değişken gerilmelerin oluştuğu A-A kesitinde hesaplanacaktır. Cev. A-A kesitinde maximum gerilmeden dolayı, ve bunun eğrisel kırış için (Eğrisel kırışlar bölümüne bkz.) 8160F olduğu bilinmektedir. Değişken gerilme 4080F ve ortalama gerilme 4080F dir. Zira, maximum gerilme eğrisel kırıştan bulunmaktadır.  $K_f = 1$ ,  $A = 1$ ,  $B = 0,85$  ve  $C = 0,8$  maximum yük  $F = 17,1kN$ .

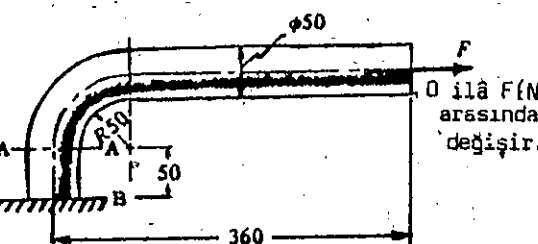
21. Maximum yükü değişken gerilmelerden (B-B kesiti için) bularak, 20. Problemdeki sorulara cevap veriniz.  
Cev. B-B kesitindeki maximum gerilme (düzgün kırış için)  $10,200F$ ,  $A = 1$ ,  $B = 0,85$  ve  $C = 0,8$  alıp Soderberg ifadesini kullanarak maximum  $F$  yükü  $13,7kN$  olarak bulunur.

22. Yassi bir çelik çubuk  $50\text{mm} \times 25\text{mm}$  ölçüsündedir. Sonradan Şekil. 6-15'deki gibi bükülmüştür,  $F$  yükü  $4500\text{ON}$  ile  $18000\text{ON}$  arasında değerler almaktadır. Malzemenin kopma mukavemeti  $550\text{MPa}$ , akma noktası  $345\text{MPa}$  ve mukavemet sınırı (ters eğilmede)  $275\text{MPa}$  olmaktadır. Verileri kullanarak,

- (a)  $P$  noktasındaki ortalama eğilme gerilmesini,
  - (b)  $P$  noktasındaki değişken eğilme gerilmesini,
  - (c)  $P$  noktasındaki eksenel gerilmeyi,
  - (d)  $P$  noktasındaki değişken eksenel gerilmeyi,
  - (e)  $C = 0,9$  alarak,  $P$  noktasındaki eşdeğer eğilme gerilmesini,
  - (f)  $A = 0,7$  ve  $C = 0,9$  alıp,  $P$  noktasındaki, eksenel yüklemeden doğan eşdeğer çekme gerilmesini,
  - (g)  $P$  noktasındaki toplam eşdeğer gerilmesini,
  - (h)  $P$  noktasındaki emniyet faktörünü,
  - (i) Maximum yükü kullanarak,  $P$  noktasındaki maximum çekme gerilmesini ve yükün sabit olduğunu kabul ederek emniyet katsayısını hesaplayınız.
- Cev. (a)  $162\text{MPa}$  (d)  $5,4\text{MPa}$  (g)  $343\text{MPa}$  (çekme)  
 (b)  $97,2\text{MPa}$  (e)  $321\text{MPa}$  (h)  $1,01$   
 (c)  $9\text{MPa}$  (f)  $21,7\text{MPa}$  (i)  $273,4\text{Mpa}, N=1,26$



Şekil. 6-15



Şekil. 6-14

7

## Makinelerdeki Titreşimler

MAKİNE PARÇALARINDA titreşim hareketleri, değişken yüklerin elastik noktalarla etkisiyle ortaya çıkmaktadır. Bazı hallerde kasıtlı olarak titreşimli elemanlar istenirse de (Titreşimli konveyörler), genelde bu hareketler arzu edilmezler.

TİTREŞİMLERİN ANALİZLERİ için aşağıdaki genel işlemleri yerine getirmek şarttır:

1. İlgili parçaların kütleleri ve elastisitesiyi değerlendiriniz.
2. Ortaya çıkabilecek sürtünmeyi tahmin ediniz.
3. Hakiki bir mekaniksel cihaz, tayahyül ediniz. Sonra yaklaşık eşdeğer kütle sistemiyle, yaylarla ve dumperle yer değiştiriniz.
4. İdeal şartlar için hareketin diferansiyel denklemini yazınız.
5. Denklemleri çözerek, neticeleri izah ediniz.

EN BASIT İDEAL SİSTEMde tek bir kütle, tek bir yay ve Şekil. 7-1'de görüldüğü gibi bir dashpot bulunmaktadır. Bu sistem için, hareketin diferansiyel denklemi,

$$m\ddot{x} + c\dot{x} + kx = F(t)$$

burada,

$m$  = kütle

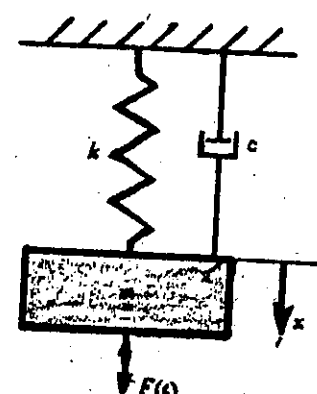
$k$  = Yay sabitesi (birim sehim için kuvvet)

$c$  = Söndürme sabiti (sürtünme) (birim hız için kuvvet), (viskozlu söndürme direnç kuvveti, hız ile doğru orantılı, kabul edilir.)

$F(t)$  = Herhangi bir dış kuvvet, zamanın fonksiyonu olarak,

$x$  = Küflenin statik denge konumundan yer değiştirmesi,

$\dot{x}$  =  $x$  in  $t$  ye göre birinci ve ikinci türevleri.



Şekil. 7-1

TEK SERBESTLİK DERECELİ SİSTEM, yukarıdaki yazılı diferansiyel denklemeye benzer bir şekilde tanımlanabilir, bunun gerçekleşebilmesi için yay kuvvetinin yer değiştirmeye, ve sürtünme kuvvetinin hızla doğru orantılı olması şarttır. Genelde tek serbestlik dereceli bir sistem için,

$$m\ddot{x} + c\dot{x} + kx = F(t)$$

yazılabilir.  $m, c, k$  eşdeğer kütle, dumperleme sabiti ve yay sabitidir.  $x$  yer değiştirmesi lineer veya açısal olabilir.

Zorlayıcı fonksiyon,  $F(t)$ , uygulamada herhangi bir şekilde (formda) olabilir. Buradaki incelemede, fonksiyonun sinüzoidal olduğu kabul edilmektedir.

$$F(t) = F_0 \sin \omega t$$

burada,  $F_0$ ,  $\omega$  frekans ve  $F_0$  ise dış kuvvetin amplitüdüdür.

**SERBEST TİTREŞİMLER**, bir dış kuvvet olmaksızın, içten gelebilecek bir karışıklıkta ortaya çıkar, ve diferansiyel denklemi basitçe,

$$m_e \ddot{x} + c_e \dot{x} + k_e x = 0 \text{ dir.}$$

Bu denklemenin çözümüde,

$$x = A_1 e^{s_1 t} + A_2 e^{s_2 t} \text{ şeklinde yazılabilir.}$$

Burada,

$$s_1 = -\frac{c_e}{2m_e} + \sqrt{\left(\frac{c_e}{2m_e}\right)^2 - \frac{k_e}{m_e}} \quad \text{ve} \quad s_2 = -\frac{c_e}{2m_e} - \sqrt{\left(\frac{c_e}{2m_e}\right)^2 - \frac{k_e}{m_e}}$$

olup,  $A_1$  ve  $A_2$  başlangıç şartlarından bulunabilen sabitlerdir.

Özel durumlarda,  $(c_e/2m_e)^2 = k_e/m_e$ ,  $s_1 = s_2 = s$  ve çözüm  $x = (A + Bt)e^{-st}$  olmaktadır.

**KRİTİK DAMPERLEME**, yukarıda bahsedilen özel durum için geçerlidir,

$\left(\frac{c_e}{2m_e}\right)^2 = \frac{k_e}{m_e}$ , ve  $c_e = (c_e)_c = 2\sqrt{k_e m_e}$  ya damperleme katsayısının kritik değeri denilir.

Damperleme kritik değişken daha büyükse, serbest titreşimin diferansiyel denklemenin çözümü zaman terimlerini ihtiva etmez. Kütle, içten gelen bir etkiden sonra, denge konumuna dönerler, fakat salınımaz.

**DAMPERLEMENİN KRİTIKTEN DAHA KÜÇÜK OLMASI**, bu titreşimin olduğu ortamdır. Serbest titreşim için yazılan diferansiyel denklemenin çözümü,

$$x = e^{-\alpha t} X \sin(\omega_d t + \gamma)$$

şeklinde yazılabilir. Burada,  $\alpha = \frac{c_e}{2m_e}$ ,  $\omega_d = \sqrt{\frac{k_e}{m_e} - \left(\frac{c_e}{2m_e}\right)^2}$

$\omega_d$ , sistemin damperleme frekansıdır. Damperleme sıfır ise, frekans

$\omega_n = \sqrt{\frac{k_e}{m_e}}$  olup, tabii frekans olarak tanımlanır.

X ve Y katsayıları başlangıç şartlarından bulunabilir.

**CEBİRİ TİTREŞİMLER İÇİN**, serbest titreşime ait diferansiyel denklemenin çözümü ile ilgili integralin çözümünü toplamak gereklidir. Çözüm aşağıdaki şekilde yazılabilir.

$$x = e^{-\alpha t} X \sin(\omega_d t + \gamma) + Y \sin(\omega t - \phi)$$

Yukarıdaki ifadenin birinci kısmı geçici titreşimi göstermektedir. Bu zamanla sonra ermektedir. İkinci kısım sürekli titreşim durumunu göstermektedir. Bu kısım daha çok mühendisi ilgilendirmektedir.

**SÜREKLİ ORTAM GENLİĞİ**,  $Y$  ile gösterilir. Bu da,  $Y = \frac{F_0}{\sqrt{(k_e - m_e \omega^2)^2 + (c_e \omega)^2}}$  dir.

ayrıca,  $Y = \frac{(F_0/k)}{\sqrt{(1 - r^2)^2 + (2\xi r)^2}}$  şeklinde de yazılabilir ki,

$r = \omega/\omega_n$  frekans oranı  $\xi = c_e/(c_e)_c$  ye damperleme orani denilir.

### SİDDETLENDİRME KATSAYISI, M,

M sürekli ortam yer değiştirmesi genliğinin,  $F_0$  a eşit olan statik kuvvetin neden olduğu yer değiştirmeye oranıyla bulunur.

$$M = \frac{Y}{F_0/k} = \frac{1}{\sqrt{(1 - r^2)^2 + (2\xi r)^2}}$$

**FAZ AÇISI**,  $\phi$ , aşağıdaki ifadelerden bulunabilir.

$$\tan \phi = \frac{c_e \omega}{k_e - m_e \omega^2}, \quad \sin \phi = \frac{c_e \omega}{\sqrt{(k_e - m_e \omega^2)^2 + (c_e \omega)^2}}$$

**TAŞIYICIYA AKTARILAN KUVVET**, yay kuvveti ve damperleme kuvvetinin toplamıyla bulunur.

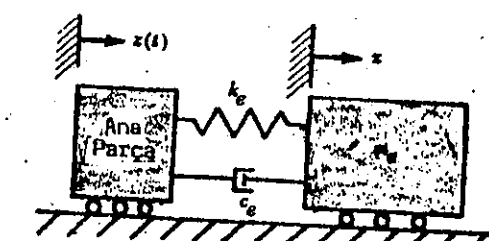
Daha önce gösterilen, sürekli ortam için yapılan çözümü kullanarak,  $x$  için aktarılan kuvvetin genliği,

$$F_{TR} = \frac{F_0 \sqrt{k_e^2 + (c_e \omega)^2}}{\sqrt{(k_e - m_e \omega^2)^2 + (c_e \omega)^2}}$$

**AKTARILMA ORANI**, aktarılan kuvvetin genliğinin, kaideye bağlanacak bir kütlenin genliğine oranı olarak tanımlanır. (Yay veya damper değil.)

$$\begin{aligned} T.R. &= \frac{F_{TR}}{F_0} = \frac{\sqrt{k_e^2 + (c_e \omega)^2}}{\sqrt{(k_e - m_e \omega^2)^2 + (c_e \omega)^2}} \\ &= \frac{\sqrt{1 + (2\xi r)^2}}{\sqrt{(1 - r^2)^2 + (2\xi r)^2}} \end{aligned}$$

**ZORLAYICI FONKSİYON**, daha önceki tartışmada, hareket eden bir kütleye tatbik edilen bir kuvvet şeklindeydi. Diğer önemli bir durumda Şekil. 7-2'de gösterilmiştir. Burada, ana parçanın hareketi kütlenin hareketini sağlamaktadır. Böyle bir durumda, kullanılan dizayn problemi, yay ve damper öyle seçilir ki, kütlenin hareketinin genliği, ana parçanın hareketinin genliğiyle kıyaslanınca, daha küçük olmaktadır.



Şekil. 7-2

Eğer  $z(t)$ , sinüzoidal olarak seçilecek olursa, Örneğin,  $z(t) = z \sin \omega t$ .

sonra, kütlenin hareketine ait diferansiyel denklem,

$$m_e \ddot{x} + c_e \dot{x} + k_e x = z \sqrt{k_e^2 + (c_e \omega)^2} \sin(\omega t - \psi)$$

$\psi$  faz açısıdır.

$$\cos \psi = \frac{k_e}{\sqrt{k_e^2 + (c_e \omega)^2}}, \quad \sin \psi = \frac{-c_e \omega}{\sqrt{k_e^2 + (c_e \omega)^2}}$$

$\psi$ , faz açısı hariç olmak üzere, yukarıdaki diferansiyel denklem, daha önce tartışılan diferansiyel denklemle aynı formdadır.

Cözüm; kütlenin, sürekli ortam titreşiminin genliğini açıklayacaktır.

$$Y = \frac{z\sqrt{k_e + (c_e\omega)^2}}{\sqrt{(k_e - m_e\omega^2)^2 + (c_e\omega)^2}}$$

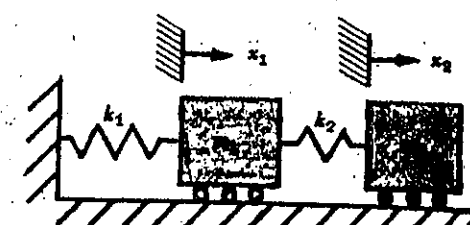
AKTARILMA ORANI, aktarılan kuvvetin genliğinin, kaideye bağlanacak bir kütlenin genliğine oranı olarak tanımlanır.

$$T.R. = \frac{Y}{z} = \frac{\sqrt{k_e + (c_e\omega)^2}}{\sqrt{(k_e - m_e\omega^2)^2 + (c_e\omega)^2}}$$

Daha önce tartışılan kuvvet aktarılma oraniyla benzerdir.

BİR'DEN FAZLA SERBESTLİK DERECESİNE SAHİP SİSTEMLER, ikinci dereceden bir diferansiyel denklemle tanımlanmazlar. Böyle bir sistemin açıklanabilmesi için, genelde,  $n$ : ikinci dereceden denklemlerin takımının çözümü gereklidir.  $n$ , sistem için serbestlik derecesi sayısıdır. Mamatih, titreşimin düşük frekansının tayini için, basit uygulamalar kullanılabilir. Bu küçük parça bilgi dizayn yapan bir mühendis için oldukça büyük bir değerdir.

Sekil. 7-3'te görülen, iki serbest dereceli bir sistemdeki titreşimin iki tipi vardır. Birinci tipde, iki kütle aynı bir faz içinde hareket etmektedirler, bu arada, aynı zamanda, aynı yönde maximum yerdeğiştirmeye ulaşmaktadır. İkinci tipde, küteler farklı fazda hareket edeceklerdir. Maximum yerdeğiştirmeye, aksi yönde, aynı zamanda ulaşma söz konusudur.



Sekil. 7-3

ENERJİ METODU, birinci tip frekansı tayinde, sürtünme ihmali edilerek, sistemin maximum kinetik enerjisini maximum potansiyel enerjisine eşit olması prensibine dayanır.

$X_1 = m_1$  kütlesinin yerdeğiştirmesinin genliği, ve  $X_2 = m_2$  kütlesinin yerdeğiştirmesinin genliği olsun.  $\omega$  frekansının hareketini sinüzoidal kabul edelim.

Böylece, sistemin kinetik enerjisi,

$$\text{Max. K.E.} = \frac{1}{2}m_1X_1^2\omega^2 + \frac{1}{2}m_2X_2^2\omega^2$$

Yaylarda birikmiş maximum potansiyel enerji,

$$\text{Max. P.E.} = \frac{1}{2}k_1X_1^2 + \frac{1}{2}k_2(X_2 - X_1)^2$$

sürtünme ihmali edilerek,

$$\text{Max. K.E.} = \text{Max. P.E.}$$

$$\text{yazılır ve buradan da, } \omega^2 = \frac{k_1X_1^2 + k_2(X_2 - X_1)^2}{m_1X_1^2 + m_2X_2^2} \text{ veya } \omega^2 = \frac{k_1 + k_2(X_2/X_1 - 1)^2}{m_1 + m_2(X_2/X_1)^2}$$

Bu ifade bize doğrudan ilk veya düşük olmak üzere, titreşimin tabii frekansı verecektir. Bunun için  $X_1, X_2$  oranının bilinmesi gereklidir. Pratik uygulamada bu oran için bir seri değerlerin denenmesi uygun olur.  $\omega$  için bulunan en küçük değer, hemen hemen tam doğru değere yakındır.

REZONANS, çeşitli kitaplarda değişik şekillerde izah edilmektedir. Terim genellikle, maximum zorlanmış titreşimin genliğinin mevcudiyeti halindeki çalışmaya ithaf edilir. Bu, sürtünmesiz bir sistem için, tabii frekansda çalışma demektir,  $\omega_n = \sqrt{k_e/m_e}$ .

Viskozlu damperlemeyle, ve kuvvetle,  $F_o \sin \omega t$  formu şeklindeki fonksiyonu, kütleye tatbik suretiyle,  $\omega$  çalışma frekansında çalışmaların maximum genlik elde edilmektedir.  $\omega_{max} = \omega_n \sqrt{1 - 2\xi^2}$

Bunun  $\omega_d$ , damperlenmiş frekansından farklı olduğunu gözden kaçırmayınız.  $\omega_d = \omega_n \sqrt{1 - \xi^2}$

Damperleme cihazının yokluğu halinde,  $\xi = c_e/(c_e)_c$  faktörü, oldukça küçuktur. Zira  $\omega_n, \omega_d$  ve  $\omega_{max}$  hemen birbirlerine eşittir.  $\omega_n$  genelde mühendislik hizmetlerinde kullanılmaktadır. Rezonansdan bahsedilen problemlerde, tabii frekansdan bahsedildiği unutulmamalıdır.

Çok serbest dereceli sistemler için, rezonans, herhangi bir tabii frekansda çalışma demektir.

## Cözümlü Problemler

1. Sekil. 7-4'te görülen bir sistemde serbest titreşim için diferansiyel denklemini yazınız,  $x$ , yayın gerilmemiş haldeki konumundan ölçülmüştür.

Cözüm :

Önce kütleye ait serbest cisim şemasını çiziniz, ve  $x$  yönünde hareket eden kuvvetleri dikkatli bir şekilde işaretleyiniz. Sonra Newton'un ikinci kanunu uygulayınız. Dış kuvvetlerin toplamını, kütle ile ivme çarpımına eşit kılınız.

$$-cx - kx = m\ddot{x} \text{ veya } m\ddot{x} + c\dot{x} + kx = 0$$

Yay kuvvetinin  $-kx$  şekilde yazılmış olmasına dikkat ediniz. Zira  $x$ 'e göre ters istikamette etkimektedir. Benzer şekilde, damperleme kuvvette  $-cx$  yazılmıştır. Çünkü o da  $\dot{x}$  ya göre ters bulunmaktadır.

2. Sekil. 7-5'deki sistemde serbest titreşim için, diferansiyel denklemi çıkarınız. Levye nin kütlesini ihmali ediniz.

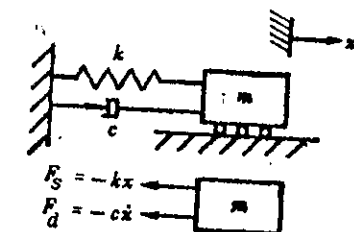
Cözüm :

Dairesel bir hareket söz konusudur.  $O$  menteşesine göre dış kuvvetlerin momentini alıp, sonra bunları toplayalım. Bu toplama, açısal hızla menteşeye göre alınmış atalet momenti ile çarpımına eşit kılalım.

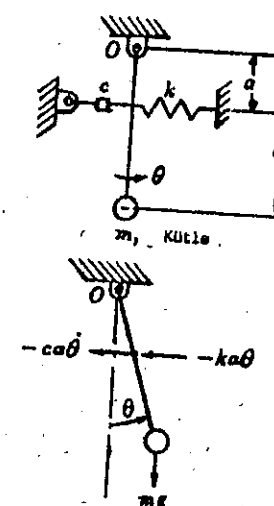
$\theta$  gibi küçük bir yerdeğiştirmeye için, yay kuvveti yaklaşık olarak,  $-ka\theta$  dir. Ayrıca, damperleme kuvveti  $-ca\dot{\theta}$  olmaktadır. Bu kuvvetlerin moment kolları hemen hemen  $a$  ya eşittir. Ağırlığın moment kolu  $b \sin \theta$ , olup yaklaşık olarak  $b\theta$  alınabilir.  $O$  menteşesine göre, kütlenin atalet momenti,  $mb^2$  dir. Böylece,  $-(ca\dot{\theta})a - (ka\theta)a - mg(b\theta) = mb^2\ddot{\theta}$

$$\text{veya } mb^2\ddot{\theta} + ca^2\dot{\theta} + (ka^2 + mgb)\theta = 0 \text{ olur.}$$

3. 2. Problemdeki sistem için, (a) Tabii frekansı, (b) damper frekansını, (c)  $c_e$ , damperleme katsayısının kritik değerini hesaplayınız.



Sekil. 7-4



Sekil. 7-5



Aktarılan kuvvetin genliğinin, zorlayıcı fonksiyonun genliğine oranı na aktarılabilirlik oranı denilir.

Bu problemede gözönüne alınması gereken ilk soru, uygun yay karakteristiklerini elde etmektir. Motor şasisinin ana taşıyıcıya direkt olarak civatayla tespit edilmesi halinde aktarılan kuvvetin, aktarılan kuvvette nazaran kıyasla daha büyük olmasını arzu etmekteyiz. Bu da,

$$T.R. = \frac{\sqrt{1 + (2\xi)^2}}{\sqrt{(1 - r^2)^2 + (2\xi r)^2}}$$

nin küçük olmasını arzulamamız demektir. Sürtünme damperleme cihazı ana montaj grubuna monte edilmekçe, küçük değerde olacaktır.  $\xi = 0,05$  alıp,  $T.R. = 0,1$  olacak şekilde,  $r$  için çözüm yapılacak olursa,

$$0.1 = \frac{\sqrt{1 + 4(0,05)^2}}{\sqrt{(1 - r^2)^2 + 4(0,05)^2}}$$

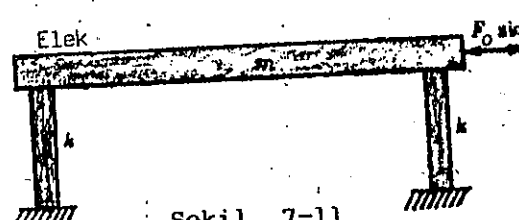
Not: Sıfır sürtünme düşünülecek olsaydı,  $r = 3,41$  bulunacaktır. Bazı durumlarda, şimdiki problemimizde olduğu gibi, sürtünmeyi ihmal edebiliriz.

$r = 3,40$  ise,  $\omega_n = \omega/3,40$  olmalıdır. Böylece,  $\sqrt{k/M} = \omega/3,40$  veya  $k = M\omega^2/11,56$  olur. Şimdi motorun 170N geldiğini ve 1150d/dk da döndüğünü kabul edelim. Neticede  $k$ ,

$$k = \frac{M\omega^2}{11,56} = \frac{(170/9,81)(1150 \times 2\pi/60)^2}{11,56} = 21,7 \text{ kN/m}$$

Eğer, paralel olarak 4 yay kullanılırsa, yay sabitesi  $21,7/4 = 5,44 \text{ kN/m}$  olur.

6. Bir çalışma için 0,5mm genliğinde ve 6 Hz frekansında çalışan titreşimli sarsak gerekmektedir.



Şekil. 7-11

Sarsakta iki adet yay çeliğinden mammül taşıyıcılar vardır. Her birine ait yay sabitesi  $k$  dir. ve kuvvet üst uçlara etkili şekilde dir. Tablanın ağırlığı yaklaşık olarak 300N dur.  $F_0 \sin \omega t$ , sinüzoidal kuvveti cihazı ileri geri harekette kullanılmaktadır. Yay sabiti,  $k$  nın hangi değerleri için taşıyıcılar imâl edilmelidirler. Efektif sürtünmenin  $c = 0,05 c_e$  ye eşit olması halinde, Solenoidin üreteceği  $F_0$  kuvveti değeri ne kadar olacaktır? Hesaplayınız.

Çözüm:

Bu zorlanmış, sürekli ortam titreşim halidir. Titreşimin genliği,

$$Y = \frac{F_0}{\sqrt{(k_e - m_e \omega^2)^2 + (c_e \omega)^2}}$$

burada,  $m_e = m$ , tablanın kütlesi,

$k_e = 2k$  (herbirinin yay sabitesi  $k$  olmak üzere iki adet yay bulunmaktadır.)

$$c_e = c = 0,05 c_e = (0,05)(2)\sqrt{k_e m},$$

$$\omega = (6)(2\pi) = 12\pi \text{ rad/s}$$

$$Y = 0,5 \text{ mm, istenen genlik.}$$

$Y$  için yukarıdaki ifadenin incelenmesinde,  $Y$  nin maximuma yakın bir değerde olduğu görülmektedir. Bu da belirli  $F_0$  için geçerli olup, rezonans oluşturmaktadır. (Mesela  $\omega$ , tabii frekansa eşit olduğu zaman.) Böylece, yapılacak dizaynda,  $k = m\omega^2 = (300/9,81)(12\pi)^2 = 21,7 \text{ kN/m}$

Rezonans halinde,  $Y = F_0/c\omega$ . Böylece solenoid kuvveti,

$$F_0 = c\omega Y = 0,05 c_e \omega Y = (0,05)(2\sqrt{k_e m})\omega Y = (0,05)(2\sqrt{2}(21,700)(300/9,81))(12\pi)(0,0005)$$

7. Bir savurma kurutucusu sepeti Şekil. 7-9'da görüldüğü gibi monte edilecektir. Uygun yay ve damper karakteristikleri aşağıdaki şartlar için seçilecektir.

Sepetin ve mühəviyatının toplam ağırlığı = 200N

Dönüş hızı = 400d/dk

Tahmin edilen balansızlık = 2N.m

(Ağırlık ve eksantrisite çarpımı)

Rezonans halinde, titreşimin genliği herhangi bir yönde 12mm den fazla olmayacağındır.

Çözüm:

Şekil. 7-10'da görüldüğü gibi  $X$  ve  $Y$  koordinatlarını seçiniz.

Sepet merkezinde,  $x$  kadar bir sapma olduğunu farzedelim. 1 no'lu yay çekilecek 3 no'lu yay basılacak ve 2 no'lu yay da boydaki ihmâl edilebilecek değişikliği karşılayacaktır. Yay kuvvetleri Şekil. 7-11'de gösterilmiştir.

$X$  yönünde net yay kuvveti,

$$F_x = -2 \cos 30^\circ kx \cos 30^\circ = -1,5 kx$$

Başka bir deyimle,  $X$  yönündeki yay sabitesi  $1,5kx$  dir.  $Y$  yönünde de benzer bir analiz yapılabilir.

$X$  ve  $Y$  yönündeki damperleme kuvvetleri, yukarıdaki şekilde incelenmesi olursa,  $X$  ve  $Y$  yönlerindeki efektif damperleme katsayısi 1,5c olarak bulunur.

$X$  ve  $Y$  hareketleri için yazılan bütün diferansiyel denklemlerdeki katsayılar birbirlerinin aynı olacağından, sadece bir denklemi incelememiz yetecektir.  $M\ddot{x} + 1,5c\dot{x} + 1,5kx = (me)\omega^2 \sin \omega t$

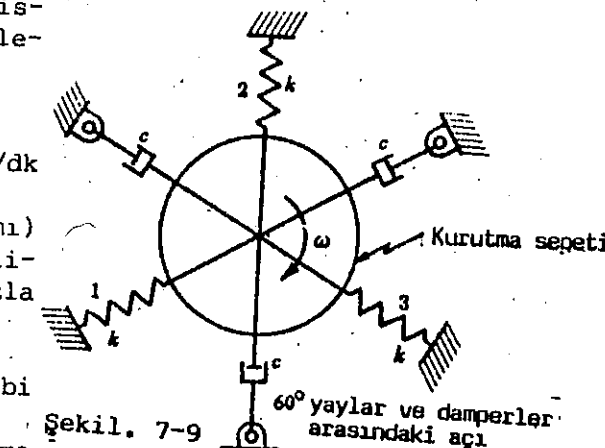
Yerdeğiştirme genliği ise,

$$Y = \frac{m\omega^2}{\sqrt{(1,5k - M\omega^2)^2 + (1,5c\omega)^2}}$$

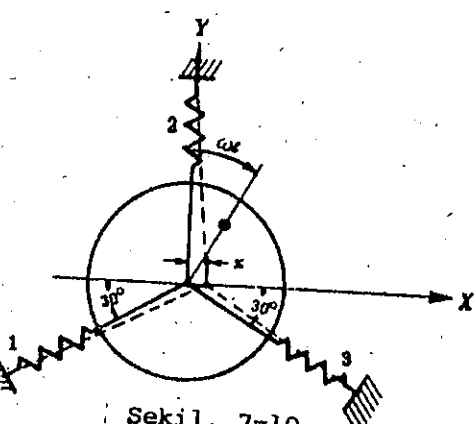
olarak bulunabilir. Problem 5 ile yapılan bir analogla, diferansiyel denklemim aynı formda olduğu görülr. Ve neticede, aktarılan kuvvetin genliği,

$$F_{TR} = \frac{m\omega^2 \sqrt{(1,5k)^2 + (1,5c\omega)^2}}{\sqrt{(1,5k - M\omega^2)^2 + (1,5c\omega)^2}}$$

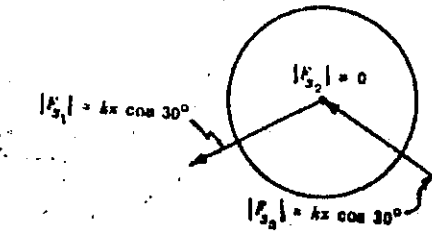
5. Problemede görüldüğü üzere, aktarılan kuvvetin küçük tutulması için, tabii frekansı çalışma frekansına kıyasla daha küçük yapmıştır. Deneme için,  $\omega/\omega_n = 3$  alalım. Bu sistemdeki tabii frekans  $\omega_n = \sqrt{1,5k/M}$  olduğundan, yapılacak dizaynda  $1,5k = \omega_n^2 M = (\omega/3)^2 M$  veya buradan,



Şekil. 7-9 60° yaylar ve damperler arasındaki açı



Şekil. 7-10



Şekil. 7-11

$$k = \frac{\omega^2 M}{9(1,5)} = \frac{(400 \times 2\pi/60)^2 (200/9,81)}{9(1,5)} = 2,65 \text{ kN/m}$$

Yerdeğistirme genliğini 12mm de sınırlayan damper katsayısını,  $c$  hesaplamamız gereklidir. Rezonans halinde,

$$Y = \frac{m\omega_n^2}{\sqrt{0 + (1,5c\omega_n)^2}} \text{ veya } c = \frac{m\omega_n}{1,5Y} = \frac{(0,204)(14,0)}{1,5(0,012)} = 159 \text{ N/(m/s)}$$

dir.  $Y = 12 \text{ mm}$ ,  $m_e = (2/9,81) = 0,204 \text{ kg m}$ ,  $\omega_n = (2\pi \times 400/60)/3 = 14,0 \text{ rad/s}$

- Cev.  $\omega_n = \omega/3$  için;  $k = 2,65 \text{ kN/m}$ ,  $c = 159 \text{ N/(m/s)}$
8. Şekil. 7-12'de  $m_1 = 40 \text{ N}$ ,  $m_2 = 80 \text{ N}$ ,  $k_1 = 1300 \text{ N/m}$  ve  $k_2 = 800 \text{ N/m}$  dir. Enerji metodunu kullanarak, titreşimin tabii frekansını sadece düşey hareket için tayin ediniz.

**Cözüm:**

Statik denge konumundan olmak üzere,  $X_1$  ve  $X_2$  yi  $m_1$  ve  $m_2$  kütlelerinin mutlak yerdeğistirmelerinin genliği olarak alalım.  $\delta_1$  ve  $\delta_2$  de, kütlelerin kendi ağırlıklarından doğan yerdeğistirmeleri olsun, söz konusu yerdeğistirmeler, gerilmemiş yay konumundan ölçülmektedir.

Şekil. 7-13'deki serbest cisim skeçlerine bakarak, statik denge için,

$$-k_1\delta_1 + k_2(\delta_2 - \delta_1) + m_1g = 0 \quad -k_2(\delta_2 - \delta_1) - k_3\delta_2 + m_2g = 0$$

$$\text{veya} \quad -1300\delta_1 + 1600(\delta_2 - \delta_1) + 40 = 0 \quad -1600(\delta_2 - \delta_1) - 800\delta_2 + 80 = 0$$

bulunur. Bu ifadelerden  $\delta_1 = 0,059 \text{ m}$ ,  $\delta_2 = 0,0673 \text{ m}$  elde edilir. Böylece başlangıç konumundaki yay kuvvetleri, 1 no'lu yayda,  $(1300)(0,059) = 66,2 \text{ N}$ .

$$2 \text{ no'lu yayda } (1600)(0,0673 - 0,059) = 26,2 \text{ N}$$

$$3 \text{ no'lu yayda } (800)(0,0673) = 53,8 \text{ N}$$

Böylece statik denge konumundan itibaren ortaya çıkan toplam potansiyel enerji  $P.E. = 650X_1^2 + 800(X_2 - X_1)^2 + 400X_2^2$

Statik dengeden,  $X_1$  ve  $X_2$  mesafelerine olan sapmayıla, aşağıdaki potansiyel enerji değişikliği ortaya çıkacaktır.

$$1 \text{ no'lu yayda biriktirilmiş, } (66,2)X_1 + \frac{1}{2}(1300)X_1^2$$

$$2 \text{ no'lu yayda biriktirilmiş, } (26,2)(X_2 - X_1) + \frac{1}{2}(1600)(X_2 - X_1)^2$$

$$3 \text{ no'lu yayda biriktirilmiş, } (53,8)X_2 + \frac{1}{2}(800)X_2^2$$

$$\text{Kot değişimi, } m_1, -40X_1$$

$$\text{Kot değişimi, } m_2, -80X_2$$

Kot değişikliği terimlerinin yay başlangıç kuvvet terimlerini ihmal ettiğini izleyiniz. Neticeleri etkilememek üzere, sistemleri yatay düzlem üzerinde hareket ediyormuş gibi hazırla itibare almış olabiliriz.

Hareketli kütleler için, maximum kinetik enerji,  $\omega$  frekansında, sinusoidal hareket kabul edilerek,

$$K.E. = \frac{1}{2}m_1V_1^2 + \frac{1}{2}m_2V_2^2 = \frac{1}{2}(40/g)(X_1\omega^2) + \frac{1}{2}(80/g)(X_2\omega^2) = (20X_1^2 + 40X_2^2)\omega^2/g$$

K.E. ve P.E. ifadelerini birbirlerine eşitleyerek,

$$\omega^2 = \frac{[650X_1^2 + 800(X_2 - X_1)^2 + 400X_2^2]g}{20X_1^2 + 40X_2^2} \text{ elde edilir. Sonra da aşağıdaki formda}$$

$$\omega^2 = \frac{[65 + 80(X_2/X_1 - 1)^2 + 40(X_2/X_1)^2]g}{2 + 4(X_2/X_1)^2}$$

yazılabilir.

Son sahada,  $X_2/X_1$  oranı için değerler kabul edilir ve  $\omega$  hesaplanır.  $\omega$  için en küçük değer aşağı yukarı en doğrusudur. ( $g = 9,81 \text{ m/s}^2$ ).

Kabul edilmiş  $X_2/X_1$  Hesaplanmış  $\omega^2$

1.6

16,03g

12,54rad/s

1.4

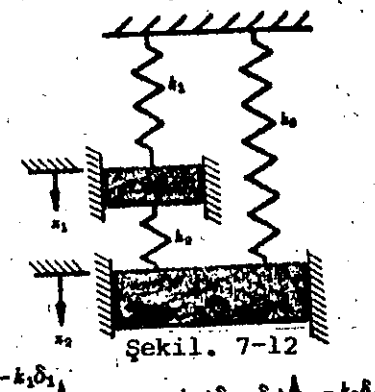
15,87g

12,48rad/s

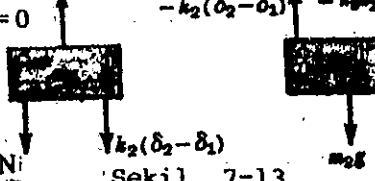
1.2

16,21g

12,61rad/s



Şekil. 7-12



Şekil. 7-13

Cevap yaklaşık olarak,  $12,48 \text{ rad/sn}$  dir. Neticenin,  $X_2/X_1$  in kabul edilmiş değerine göre pek makul olmadığı söylenebilir. Genel olarak, denecek iki değer, önce statik sapmaların oranıdır. Böyle bir durumda,  $\delta_2/\delta_1 = 1,32$  dir.

$X_2/X_1 = 1,32$  seçseydik,  $\omega = 12,50 \text{ rad/sn}$  değerini elde edecektik. Bu da daha önceki neticemize yakındır.

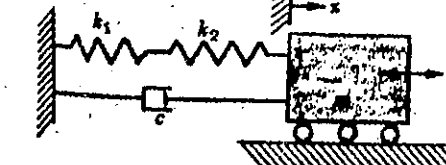
## Tamamlayıcı Problemler

9. Şekil. 7-14, 7-15 ve 7-16'daki sistemlerdeki hareketlerin diferansiyel denklemlerini yazınız. Her durumda,  $x$ , statik denge konumundan ölçülmüştür.

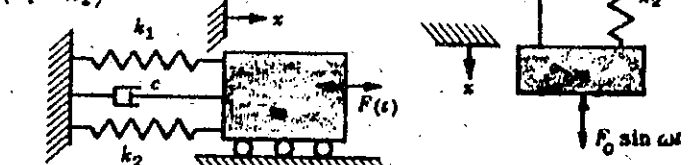
Cev. Şekil. 7-14:  $m\ddot{x} + c\dot{x} + \left(\frac{k_1k_2}{k_1 + k_2}\right)x = F(t)$

Şekil. 7-15:  $m\ddot{x} + c\dot{x} + (k_1 + k_2)x = F(t)$

Şekil. 7-16:  $m\ddot{x} + c\dot{x} + \left(\frac{k_1k_2}{k_1 + k_2}\right)x = F_0 \sin \omega t$



Şekil. 7-14



Şekil. 7-15

Şekil. 7-16

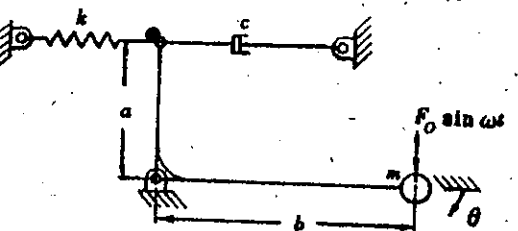
10. Şekil. 7-17, 7-18, 7-19'daki sistemler için hareketin diferansiyel denklemlerini yazınız. Her durumda, açısal yerdeğistirme,  $\theta$ , statik denge konumundan ölçülmüştür.  $\theta$  yi küçük kabul edip, uygun tamlamaları yapınız.

Cev.

Şekil. 7-17:  $mb^2\ddot{\theta} + ca^2\dot{\theta} + ka^2\theta = bF_0 \sin \omega t$

Şekil. 7-18:  $mb^2\ddot{\theta} + ca^2\dot{\theta} + (ka^2 + mgb)\theta = bF_0 \sin \omega t$

Şekil. 7-19:  $m(R^2 + a^2)\ddot{\theta} + ka^2\theta = 0$



Şekil. 7-17

Şekil. 7-18

11. Şekil. 7-14, Şekil. 7-19'daki sistemlerde tabii frekansı hesaplayınız.

Cev. Şekil. 7-14:  $\sqrt{\frac{k_1k_2}{(k_1 + k_2)m}}$

Şekil. 7-15:  $\sqrt{\frac{k_1 + k_2}{m}}$

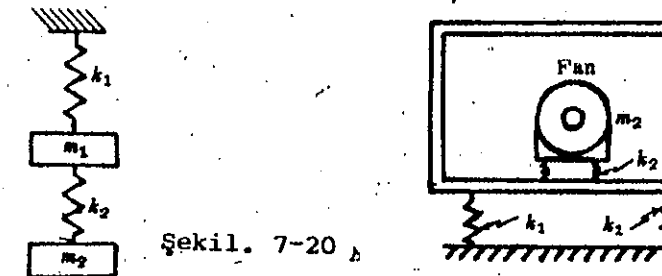
Şekil. 7-16:  $\sqrt{\frac{k_1k_2}{(k_1 + k_2)m}}$

Şekil. 7-17:  $\sqrt{\frac{k}{m}}$

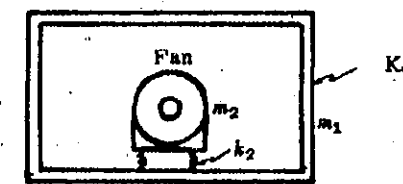


Şekil. 7-19

12.  $10\ddot{x} + 9\dot{x} + 810x = 0$  diferansiyel denklemi bir serbest dereceli bir sistemi tanımlamaktadır. Birimler kg, m, s dir. (a)  $\omega_n$ , tabii frekansı, (b)  $\omega_d$ , damper frekansını, (c) damper oranını hesaplayınız  $\xi = c/c_e$ .  
Cev. (a)  $\omega_n = 9 \text{ rad/s}$ , (b)  $\omega_d = 8.989 \text{ rad/s}$  (ortaya çıkan fark fazla önemlidir).
13.  $10\ddot{x} + 200\dot{x} + 810x = 0$  diferansiyel denklemi bir serbest dereceli bir sistemi tanımlamaktadır. Birimler, kg, m, sn dir. Bu bir titreşimli sistem midir? Cev. Hayır,  $c/c_e = 200/180$ , damperleme kritik değerden daha fazladır.
14.  $2\ddot{x} + 12\dot{x} + 50x = 8 \sin 10t$  denklemi, zorlanmış titreşimde, bir serbest dereceli bir sistemi tanımlamaktadır. Birimler, kg, m, sn dir. (a)  $\omega_n$ , tabii frekansı, (b)  $\omega_d$ , damper frekansını, (c) damper oranını  $\xi$ , (d) sürekli ortam titreşiminin genliğini hesaplayınız.  
Cev. (a) 5 rad/s, (b) 4 rad/s, (c) 0,60, (d) 41,6 mm.
15. 100N gelen bir elektrik motoru dört yay üzerine oturtulmuştur. Motorun döner elemanı 40N gelmekte, ve eksantrisite 0,25mm dir. Motor dönüş hızı 1200d/dk dir. Damper oranının 0,05 olacağı tahmin edilmektedir. Motordaki balansızlıktan dolayı, ana taşıyıcıya aktarılan kuvvetin, santrifüj kuvvetin  $\pm 20$ inden daha fazla olmaması istendiğine göre, gerekli yay sabitesini hesaplayınız.  
Cev. 6,55kN/m veya daha az.
16. 30cyl/sn lik bir frekansta, 5mm lik genlige maruz, plakaya bir cihazın yerleştirilmesi düşünülmektedir. Cihaz 10N gelmektedir. Cihazın hareketinin genliğinin 0,5mm daha fazla olması istenmediğine göre, gerekli olabilecek yay sabitesi nedir? Cev. 4,02kN/m veya daha az.
17. Şekil. 7-20'de gösterilen sistem için,  $k_1 = k_2 = 3000 \text{ N/m}$  ve  $m_1 = m_2 = 15 \text{ kg}$  değerleri verilmektedir. Titreşimin birinci tipi için, tabii frekansı hesaplayınız. Cev. 8,77 rad/s.
18. Şekil. 7-20'de gösterilen sisteme benzer bir sistemde,  $m_1 = m_2 = 30 \text{ kg}$ , ve  $k_1 = k_2 = k$  dir. Titreşimin birinci tipi için tabii frekans 20rad/sn dir. Gerekli  $k$  katsayısını hesaplayınız. Cev. 31,4kN/m.
19. Şekil. 7-21'de görüldüğü üzere, fan'ın bir soğutma tertibatının kabini içine yerleştirilmesi düşünülmektedir. Fan (motorla birlikte) 200N gelmektedir. Kabin 200N ağırlığındadır. Fani kabinden ayıran yayların, yay sabiteleri 15kN/m dir. Fan 300d/dk da, dönmektedir. Titreşimin birinci modunu geçmede herhangi bir tehlike söz konusu mudur? Enerji metodunu uygulayınız.  
Cev. Birinci mod için tabii frekans 29,4rad/sn. 300d/dk da frekans = 31,4 rad/sn (rezonans olma olasılığı yoktur.)
20. Basit bir kütle-damper sisteminde yapılan bir denemede, titreşimlerin frekansının 12rad/sn olduğu görülmüştür. Yay sabitesi ve kütle hassas olarak bilinmektedir. Ayrıca tabii frekans,  $\omega_n$ , 15rad/sn olduğuna göre, (a) damper oranı nedir? (b)  $F_0 \sin \omega t$  zorlayıcı fonksiyonu ile, zorlanmış titreşimin maximum genliğine ulaşmak için frekans ne olmalıdır? Cev. (a)  $\xi = 0,6$  (b)  $\omega_{max} = 7,95 \text{ rad/s}$



Şekil. 7-20



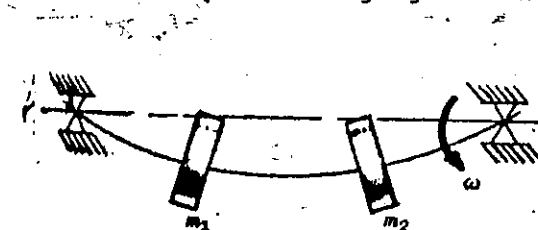
Şekil. 7-21

# 8

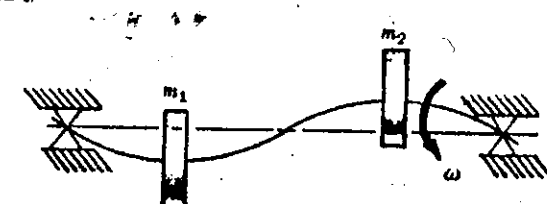
## Millerde Kritik Hızlar

**BÜTÜN DÖNER MILLER**, dış yük olmadan bile, dönme esnasında belli bir sehim gösterirler. Sehim değeri, milin ve taşıyıcı yatakların durumuna, milin toplam kütlesine, ilave parçalara, dönme eksenine göre kütledeki balansılığa ve sistemdeki damperleme miktarına bağlıdır. Sehim, hızın bir fonksiyonu olarak dikkate alındığı sürece maximum değerlere kritik hızda ulaşmaktadır. Herhangi bir mil için, sonsuz sayıda kritik hızlar vardır denedilir. Fakat en düşüğü (birinci) ve bazende ikinci hız, dizayn yapan için entresan olmaktadır. Diğerleri, çalışma sınırlarını aşacak şekilde yüksek olabilir.

**BİRİNCİ KRİTİK HIZDA**, en basit şekilde eğilme ortaya çıkar. İkinci kritik hızda ise, ikinci en basit şekilde eğilmeye maruz kalacaktır. Meselâ uçlardan mesnetlenmiş ve mile kıyasla oldukça ağır kütle taşıyan bir milin, Şekil. 8-1(a) ve Şekil. 8-1(b) de birinci ve ikinci kritik hızlarda nasıl bir şekil aldığı görülmektedir.



Şekil. 8-1(a)



Şekil. 8-1(b)

**TABİİ FREKANS**, eğilmede, kritik hız değerine çok yakın bir değerdedir. Ve çoğu zaman, aynı değer olarak kabul edilir. Oldukça küçük olmakla beraber, kütlenin jiraskopik hareketinden dolayı küçük bir fark mevcuttur.



Şekil. 8-2(a)



Şekil. 8-2(b)



Şekil. 8-2(c)

**TEK KÜTLE TAŞIYAN MILLER İÇİN**, (Şekil. 8-2 ve Şekil. 8-3) eğer mil ağırlığı ilave kütleye göre küçükse, birinci kritik hız yaklaşık olarak,

$$\omega_c = \sqrt{k/m}$$
 ile hesaplanacaktır

$m$ , kütle,  $\delta$  ise yay sabitesidir. (Kütlenin tespit edildiği noktada, bir birim sehim için gerekli kuvvet.) Bu bağıntı, mil eğiminden (yatay, düşey veya bunların arasında) bağımsızdır. Şekil. 8-2'deki X simbolü, milin dönme esnasında, kütlenin tespit edildiği noktadaki sehimini göstermektedir. Aynı zamanda,

$$\omega_c = \sqrt{g/\delta}$$

$\delta$ , statik sehim, (kütlenin tespit edildiği noktadaki sehim, buna neden,  $mg = W$  dir) ve  $g$  de yerçekimi katsayıdır. ( $9,81 \text{ m/s}^2$ ).

SABİT KESİTLİ MİLLER İÇİN, uşlardan yataklanmış halde, başka kütle ilavesi olmaksızın, sadece milin kendi ağırlığı ile, ortaya çıkan kritik hız yaklaşık olarak,

$$\omega_c = \sqrt{\frac{5}{4}} \left( \frac{g}{\delta(\max)} \right)$$

$\delta(\max)$  mil ağırlığına eşit olmak üzere uniform yayılı yükün neden olduğu max. statik sehimdir.

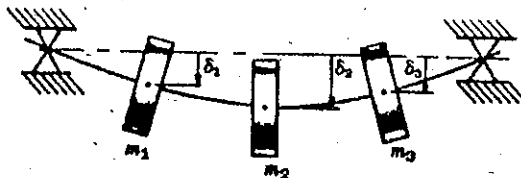
ÇEŞİTLİ KÜTLELER TAŞIYAN İHMAL EDİLEBİLİR MİL İÇİN (Şekil. 8-4'e bkz.) Birinci kritik hız yaklaşık olarak,

$$\omega_c = \sqrt{\frac{g_i \sum W_n \delta_n}{\sum W_n \delta_n^2}} \quad \text{Rayleigh-Ritz Denklemi}$$

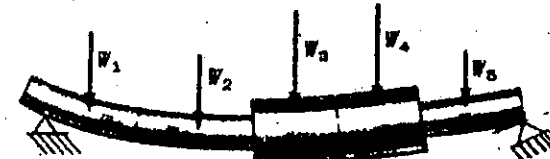
burada,  $W_n = n^{\text{th}}$  kütlenin ağırlığı

$\delta_n = n^{\text{th}}$  kütlede statik sehim,

$i = \text{Toplam kütle sayıları,}$



Şekil 8-4



Şekil 8-5

Bu aynı ifade, yaylı yüklü bir milin birinci kritik hızını da tayin etmede kullanılır. Yukarıdaki Şekil. 8-5'e bakınız. Yaylı yükü,  $m_1, m_2, m_3, \dots$  gibi parçalara ayıralım. Her kütleyi ağırlık merkezinden etkiyormuş gibi düşünelim. Alınacak parça sayısı tecrübeyle bulunur. Fakat, oldukça kaba tahminlerle daha iyi neticeler alınabilmektedir.

DUNKERLEY DENKLEMİ, çok kütleli sistemlerin kritik hızları için diğer bir yaklaşım metoduştur. Bu da,

$$\frac{1}{\omega_c^2} = \frac{1}{\omega_1^2} + \frac{1}{\omega_2^2} + \frac{1}{\omega_3^2} + \dots \quad \text{Dunkerley Denklemi}$$

şeklinde yazılabilir.  $\omega_c$ , çok kütleli sistemin birinci kritik hızı,  $\omega_1$ , sadece 1. kütle mevcutsa geçerlidir.  $\omega_2$ , ise sadece 2. kütle mevcutsa kullanılacaktır, vb.

Rayleigh-Ritz ve Dunkerley ifadelerinin her, titreşiminin birinci tabii frekansının tayininde yaklaşık değerlerle karşımıza çıktıları ve dönüşmenin kritik hızına hemen yakın bir değerde oldukları unutulmamalıdır. Genelde, Rayleigh-Ritz ifadesi daha yüksek ve Dunkerley ifadesi de daha düşük değerlerle karşımıza çıkar.

YÜKSEK KRİTİK HİZLAR, çok küteli sistemler için, birinci (en düşük) kritik hız'a nazaran daha hassas ve kesin hesaplama gerekmektedirler. Çeşitli birbirlerinden farklı metodlar geliştirilmiştir. Burada göstereceğimiz ifade, sadece iki kütleli sistem için geçerlidir;

$$\frac{1}{\omega^2} - (a_{11}m_1 + a_{22}m_2) \frac{1}{\omega^2} + (a_{11}a_{22} - a_{12}a_{21})m_1m_2 = 0$$

Bu iki pozitif kökü bulunan ikinci dereceden bir ifadedir, kökleri,  $1/\omega_1$  ve  $1/\omega_2$  dir.  $\omega_1$  ve  $\omega_2$  birinci ve ikinci kritik hızlardır. Kütleler ise,  $m_1$  ve  $m_2$  dir.

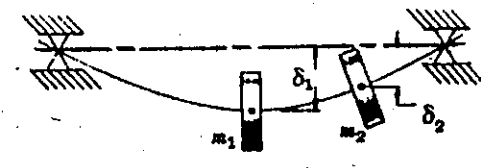
Sabitesi, etki katsayısı olup,  $a_{12}$ , 2 no'lu kütlenin tatbik noktasındaki birim yükün 1 no'lu yükün tatbik noktasında neden olacağı sehimdir.  $a_{11}$ , 1 noktasındaki birim yükün, 1 no'lu yükün bulunduğu tatbik noktasında neden olduğu sehimdir vb. Maxwell teoremine göre,  $|a_{12}| = |a_{21}|$  dir.

HERHANGİ BİR ÇOK KÜTLELİ SİSTEM İÇİN, frekans ifadesi, aşağıdaki determinanın sıfır eşitlenmesiyle bulunur.

$$\begin{vmatrix} \left(a_{11}m_1 - \frac{1}{\omega^2}\right) & (a_{12}m_2) & (a_{13}m_3) & \dots \\ (a_{21}m_1) & \left(a_{22}m_2 - \frac{1}{\omega^2}\right) & (a_{23}m_3) & \dots \\ (a_{31}m_1) & (a_{32}m_2) & \left(a_{33}m_3 - \frac{1}{\omega^2}\right) & \dots \\ \dots & \dots & \dots & \dots \\ \dots & \dots & \dots & \dots \end{vmatrix}$$

## Çözümlü Problemler

1. Şekil. 8-6'da görülen mil 220N gelen bir  $m_1$  küteli dişliye tespit edilmiştir. Ayrıca 440N gelen bir başka  $m_2$  kütlesi (kasnak)da mile tespit edili haldedir. Statik sehim  $\delta_1$  ve  $\delta_2$  olmak üzere değerlerin 0,03mm ve 0,008mm dir. Milin kendi ağırlığını ihmali ederek, birinci kritik hızı hesaplayınız.



Şekil. 8-6

**Cözüm:**

$$\Sigma W\delta = (220)(0,03 \times 10^{-3}) + 440(0,008 \times 10^{-3}) = 1,012 \times 10^{-2} \text{ Nm}$$

$$\Sigma W\delta^2 = (220)(0,03 \times 10^{-3})^2 + 440(0,008 \times 10^{-3})^2 = 2,262 \times 10^{-7} \text{ Nm}^2$$

$$\omega_c = \sqrt{\frac{g \sum W\delta}{\sum W\delta^2}} = \sqrt{\frac{9,81 \times 1,012 \times 10^{-2}}{2,262 \times 10^{-7}}} = 662,5 \text{ rad/s} = 6327 \text{ d/dk}$$

2. Tek bir kütle taşıyan mil için  $\omega_c = \sqrt{g/\delta}$  ifadesini çıkarınız. Şekil. 8-7'e bakınız.

**Cözüm:**

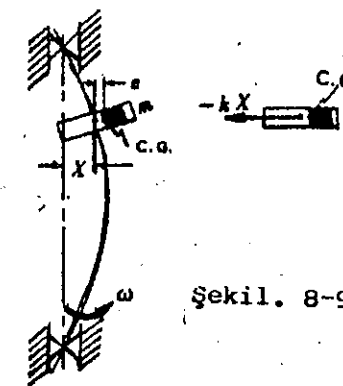
Kütledeki küçük sapmalar ve sürtünme etkileri ihmali edilmektedir. Mil eksenine göre küçük bir eksantirisite,  $e$ , kabul edilmektedir. Sonra,

$$kX = m(X + e)\omega^2$$

$kX$ , yay kuvveti, mil kütle üzerine etki yapmakta,  $k$  ise yay sabitesidir. Örneğin,  $m$ 'in tatbik edildiği noktada bir birim sehim için gerekli kuvvet,  $(X + e)\omega^2$ , kütle merkezine ait ivme ifadesidir. İfadeyi,  $X$ 'için çözecek olursak,  $m$  deki mil sehimini,

$$X(k - m\omega^2) = m\omega^2 \text{ veya } X = m\omega^2/(k - m\omega^2)$$

Görülüyor ki, yapılan kabullerle,  $X$  sehimini,  $k = m\omega^2$ , olduğu zaman oldukça büyümektedir. Neticede kritik hız,  $\omega_c = \sqrt{k/m}$  dir. Fakat,  $m = W/g$ , olduğundan,  $k/m = kg/W = g/\delta$  olur. (Tanimla, statik sehim,  $\delta$ ,  $W$  ya eşit kuvvetin neden olduğu bir sehimdir. Böylece,  $W/k = \delta$ ). Sonuç olarak,  $\omega_c = \sqrt{g/\delta}$  bulunur.



Şekil. 8-9

2. Çeşitli kütleler taşıyan bir milde,

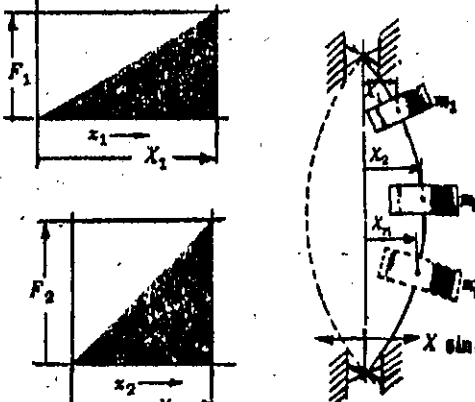
$$\text{birinci kritik hız için: } \omega_c = \sqrt{\frac{g \sum W\delta}{\sum W\delta^2}}$$

ifadesini çıkarınız. Şekil. 8-8'e bakınız.

**Cözüm:**

Mili  $\omega$  temel frekansta titreşime maruz kaldığını düşünüyoruz (birinci titreşim modu) ve ayrıca milde biriktirilen potansiyel enerjinin, hareketini kütlelerin sahip oldukları maximum kinetik enerjiye eşit olduğunu gözönüne alarak,

$$\text{Max. K.E.} = \frac{1}{2}m_1V_1^2 + \frac{1}{2}m_2V_2^2 + \dots$$



Şekil. 8-10

Kütlelerin hareketleri sinüzoidaldır. Herhangi bir kütle için maximum hız  $X_n\omega$  olmaktadır,  $X_n$ , kütlenin yerdeğiştirmesinin genliğidir. Böylece,

$$\text{Max. K.E.} = \frac{1}{2}m_1(X_1\omega)^2 + \frac{1}{2}m_2(X_2\omega)^2 + \dots = \frac{1}{2}\omega^2 \sum m_n X_n^2$$

Milde depolanan potansiyel enerji,  $X_1$  ve  $X_2$  vb. genlikleriyle tanımlanan şekilde çevrilecek mil için gerekli işe eşit olacaktır. Neticede,

$$\text{Max. P.E.} = \frac{1}{2}k_1X_1^2 + \frac{1}{2}k_2X_2^2 + \dots = \frac{1}{2}\sum k_n X_n^2$$

her  $k$ , yay sabitesi olmak üzere, tanımı şöyle yapılabilir.  $F_1, F_2, F_3$ , vb kuvvetlerin 1, 2, 3,.. noktalarını etkiyerek  $X_1, X_2, X_3$ , gibi sehimlere neden olduğunu farzedelim. Mil sehim eğrisinin şekili bu kuvvetlere bağlıdır.  $F_1$  kuvvetini önce etkidiğini kabul edelim, sonra da  $F_2$  etkiyor olsun. Sonra da  $F_3$ ..., herhangi bir sıra söz konusu değildir. Kuvvet sıfırdan başlayarak, sehime neden oldukları noktaya kadar lineer olarak artmaktadır. Şekil. 8-8'deki kuvvet-sehim diyagramlarını inceleyiniz. Kuvvetlerin tatbik noktalarında yapılan iş, 'k' eğimli düzgün doğrunun altındaki alan olarak tanımlanır.

Maximum kinetik ve potansiyel enerjileri birbirlerine eşitleyerek  $\omega^2 = \frac{\sum k_n X_n^2}{\sum m_n X_n^2}$  bulunur.

Titreşim sırasında, milin eğilmeye maruz kalması halinde, ortaya çıkan şemlin statik sehim eğrisine benzer olduğunu kabul ediyoruz.  $X_1 = C\delta$ ,  $X_2 = C\delta_2$  vb. Aslında bunun doğru olmadığını biliyorsak da bize makul bir yaklaşım verecektir. Sonra,

$$\omega^2 = \frac{\sum k_n \delta_n^2}{\sum m_n \delta_n^2} = \frac{g \sum W_n \delta_n}{\sum W_n \delta_n^2}$$

zira,  $m_n = W_n/g$  ve  $k_n \delta_n = W_n$

Tabii frekansın dönüşün kritik hızına eşit olduğu kabul edilerek, ve  $n$  indisini kolaylık sağlama için kaldırarak, neticede,

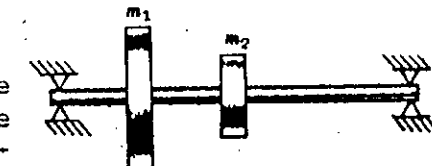
$$\omega_c = \sqrt{\frac{g \sum W\delta}{\sum W\delta^2}} \text{ elde edilir.}$$

4.  $m_1$  ve  $m_2$  kütleleri, sırasıyla 625N ve 270N gelmektedir. Bu iki kütle bir mile tespit edilmişlerdir. Sehim analizi yapılarak.

$$a_{11} = 1,142 \times 10^{-8} \text{ m/N}$$

$$a_{22} = 6,853 \times 10^{-8} \text{ m/N}$$

$$a_{12} = a_{21} = 2,284 \times 10^{-8} \text{ m/N}$$



Şekil. 8-9

olduğu görülmektedir. ( $a_{11}$  in, adı geçen noktada etkili 1N luk yükün neden olduğu sehim olduğunu,  $a_{12}$  nin, 1 no'lu noktadaki kuvvetin neden olduğu sehim, vb. olduğunu hatırlayarak,) Milin kütlesini ihmali ederek, birinci kritik hızı hesaplayınız.

**Cözüm:**

(a) Dunkerley denklemini kullanarak,

$$\omega_1 = \sqrt{\frac{g}{\delta_{11}}} = \sqrt{\frac{g}{W_1 a_{11}}} = \sqrt{\frac{9,81}{(625)(1,142 \times 10^{-8})}} = 1174 \text{ rad/s}$$

$$\omega_2 = \sqrt{\frac{g}{\delta_{22}}} = \sqrt{\frac{g}{W_2 a_{22}}} = \sqrt{\frac{9,81}{(270)(6,853 \times 10^{-8})}} = 728 \text{ rad/s}$$

$$\frac{1}{\omega_c^2} = \frac{1}{\omega_1^2} + \frac{1}{\omega_2^2} = \frac{1}{(1174)^2} + \frac{1}{(728)^2} \text{ veya } \omega_c = 619 \text{ rad/s}$$

(b) Raleigh-Ritz denklemini kullanarak,

$$\omega_c = \sqrt{\frac{g \sum W\delta}{\sum W\delta^2}}$$

$$\delta_1 = W_1 a_{11} + W_2 a_{12} = 625(1,142 \times 10^{-8}) + 270(2,284 \times 10^{-8}) = 1,3304 \times 10^{-5} \text{ m}$$

$$\delta_2 = W_2 a_{22} + W_1 a_{21} = 270(6,853 \times 10^{-8}) + 625(2,284 \times 10^{-8}) = 3,2778 \times 10^{-5} \text{ m}$$

$$\begin{aligned} \frac{W\delta}{\omega^2} &= \frac{W\delta}{\omega^2} \\ (1) 625(1,33 \times 10^{-5}) &= 8,315 \times 10^{-3} & (1) 8,315 \times 10^{-3}(1,33 \times 10^{-5}) &= 1,12 \times 10^{-7} \\ (2) 270(3,28 \times 10^{-5}) &= 8,850 \times 10^{-3} & (2) 8,850 \times 10^{-3}(3,28 \times 10^{-5}) &= 2,90 \times 10^{-7} \\ \Sigma = 1,717 \times 10^{-5} & & \Sigma = 4,02 \times 10^{-7} & \end{aligned}$$

$$\omega_c = \sqrt{\frac{9,81 \times 1,717 \times 10^{-2}}{4,02 \times 10^{-7}}} = 647 \text{ rad/s}$$

Beklenildiği üzere, iki çözüm birbirinden farklıdır. Dunkerley denklemi daha küçük, Rayleigh-Ritz denklemi ise daha büyük değerler bulabilmektedir. Böylece değerler, 619 ve 647 rad/sn arasında değişmektedir.

(c) Frekans ifadesini kullanarak,

$$\frac{1}{\omega^4} - (a_{11}m_1 + a_{22}m_2) \frac{1}{\omega^2} + (a_{11}a_{22} - a_{12}a_{21})m_1m_2 = 0$$

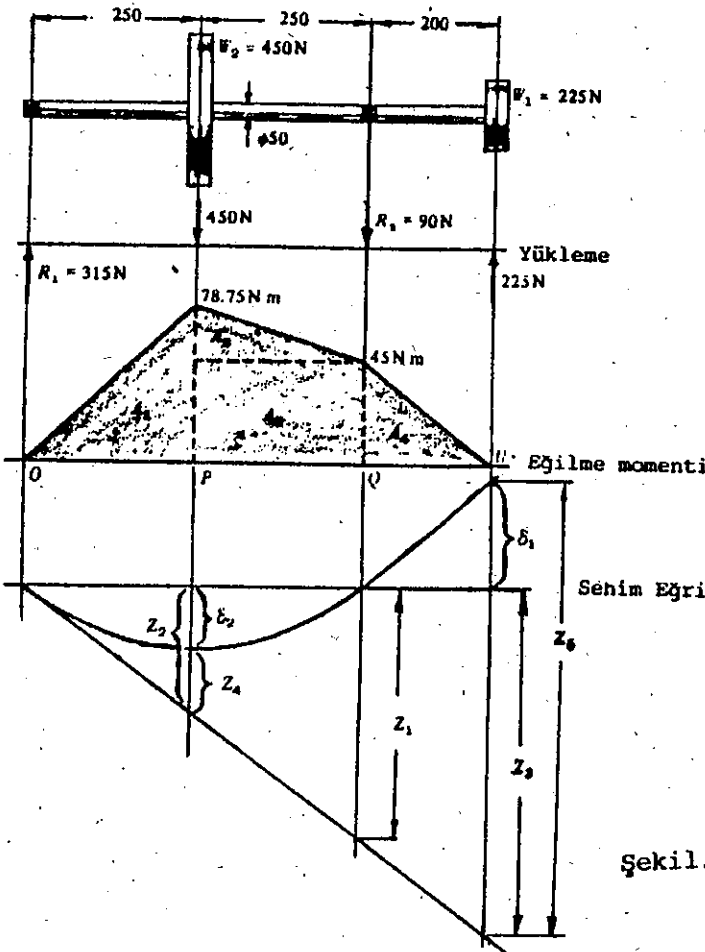
$$(a_{11}m_1 + a_{22}m_2) = 1,142 \times 10^{-8} \left( \frac{625}{9,81} \right) + 6,853 \times 10^{-8} \left( \frac{270}{9,81} \right) = 2,6 \times 10^{-6}$$

$$(a_{11}a_{22} - a_{12}a_{21})m_1m_2 = [(1,142 \times 10^{-8})(6,853 \times 10^{-8}) - (2,284 \times 10^{-8})^2] \frac{625 \times 270}{9,81^2} = 4,58 \times 10^{-13}$$

Böylece  $\frac{1}{\omega^4} - 2,6 \times 10^{-6} - \frac{1}{\omega^2} + 4,58 \times 10^{-13} = 0$  olduğundan, ve en küçük pozitif kökü  $\omega_c = 644$  rad/sn olmaktadır.

Bu kritik hız için hakiki bir değerdir. (Makul bir hassasiyetle.) Böylece, bu örnek için, Rayleigh-Ritz denklemi, yaklaşık değer bulmada, Dunkerley denkleminden daha hassas olabilmektedir.

5. Şekil. 8-10'da görülen çelik mil 225N ve 450N gelen iki dişliyi taşımaktadır. Milin ağırlığını ihmali ederek, birinci kritik hızı hesaplayınız.



Şekil. 8-10

**Cözüm:**

Rayleigh-Ritz denklemini kullanacağımız,  $\omega_c = \sqrt{\frac{g \sum W \delta}{\sum W \delta^2}}$ . Çalışmanın çoğu  $\delta$  yi tayin için harcanacaktır. Şekil. 8-10'da görülen diyagramları takip edeceğiz.

- (1) Statik yük kuvvetlerinin  $W_1$  ve  $W_2$  olduğunu kabul edelim. Milin en basit şekilde eğilmesine neden olacak şekilde yönlenmişlerdir. (Ters eğri düşünülmeyecektir). Bu bize yük diyagramını verecektir.
- (2) Məsnətleri gözönüne alıp, reaksiyon kuvvetlerini hesaplayınız.
- (3) Eğilme momentlerini hesaplayıp, eğilme momenti diyagramını çiziniz.
- (4)  $\delta_1$  ve  $\delta_2$  sehimlerini uygun metodla tayin ediniz. Burada moment alanı metodunu kullanacağımız. Aritmetiksel işlemler aşağıda gösterilmiştir.

$$(a) Z_1 EI = Q \text{ ya göre. } A_1, A_2, A_3 \text{ Moment alanları} \\ = (0,25)(0,45)(0,125) + \frac{1}{2}(0,25)(78,75 - 45)(\frac{1}{3} \times 0,25) + \frac{1}{2}(0,25)(78,75)(\frac{1}{3} \times 0,25 + 0,25) \\ = 5,39 \text{ N m}^3$$

$$(b) Z_2 EI = \frac{1}{2} Z_1 EI = 2,70 \text{ N m}^3$$

$$(c) Z_3 EI = (0,7/0,5)Z_1 EI = 7,55 \text{ N m}^3$$

$$(d) Z_4 EI = \frac{1}{2}(0,25)(78,75)(\frac{1}{3} \times 0,25) = 0,820 \text{ N m}^3$$

$$(e) Z_5 EI = \frac{1}{2}(0,2)(45)(\frac{1}{3} \times 0,2) + (0,25)(45)(0,2 + 0,125) + \frac{1}{2}(0,25)(78,75 - 45)(\frac{1}{3} \times 0,25 + 0,2) \\ + \frac{1}{2}(0,25)(78,75)(\frac{1}{3} \times 0,25 + 0,45) \\ = 11,05 \text{ N m}^3$$

$$(f) \delta_2 EI = Z_2 EI - Z_4 EI = 2,70 - 0,82 = 1,88$$

$$(g) \delta_1 EI = Z_5 EI - Z_3 EI = 11,05 - 7,55 = 3,50$$

$$(5) I = \frac{\pi d^4}{64} = \frac{\pi}{64} (0,05)^4 = 3,068 \times 10^{-7} \text{ m}^4, E = 200 \times 10^9 \text{ N/m}^2$$

$$(6) \delta_1 = 3,50 / (3,068 \times 10^{-7} \times 200 \times 10^9) = 5,705 \times 10^{-5} \text{ m} \\ \delta_2 = 1,88 / (3,068 \times 10^{-7} \times 200 \times 10^9) = 3,064 \times 10^{-5} \text{ m}$$

$$(7) W_1 \delta_1 = 225(5,705)10^{-5} = 12,84 \times 10^{-3} \quad W_1 \delta_1^2 = 7,323 \times 10^{-7} \\ W_2 \delta_2 = 450(3,064)10^{-5} = 13,79 \times 10^{-3} \quad W_2 \delta_2^2 = 4,225 \times 10^{-7} \\ \Sigma = 26,63 \times 10^{-3} \quad \Sigma = 11,548 \times 10^{-7}$$

$$\omega_c = \sqrt{\frac{g \sum W \delta}{\sum W \delta^2}} = \sqrt{\frac{(9,81 \times 26,63 \times 10^{-3})^{1/2}}{11,548 \times 10^{-7}}} = 476 \text{ rad/s}$$

6. Şekil. 8-10'daki sistem için birinci ve ikinci kritik hızları tayin ediniz.

**Cözüm :**

1. Frekans ifadesini kullanacağız.

$$\frac{1}{\omega^4} - (a_{11}m_1 + a_{22}m_2) \frac{1}{\omega^2} + (a_{11}a_{22} - a_{12}a_{21})m_1m_2 = 0$$

Hesaplamanın çoğu,  $a_{11}, a_{22}, a_{12} = a_{21}$  lerin tayini alacaktır. İki sehim analizi yapılmalıdır.

2.  $a_{11}$  ve  $a_{22}$  hesaplamak için, 1 no'luk kütlenin tattbik noktasına 1N luk yük uygulayalım. Sonra 1 ve 2 no'luk kütlelerin tattbik noktaları için sehimleri hesaplayalım. Benzer şekilde,  $a_{22}$  ve  $a_{12}$  yi tayin içinde, 2 no'luk kütlenin tattbik noktasına 1N luk yük uygulayıp, 2 no'luk ve 1 no'luk kütlelerin tattbik noktaları için sehimleri tayin edelim. Matematiksel ifadeler ayrıca burada gösterilmeyecektir. Neticeler,

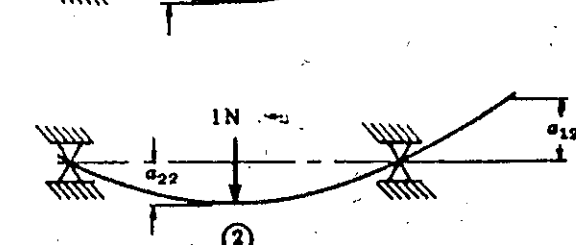
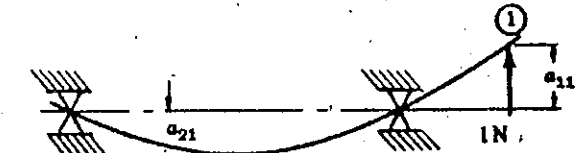
$$a_{11} = 1,521 \times 10^{-7} \text{ m/N}$$

$$a_{12} = a_{21} = 5,093 \times 10^{-8} \text{ m/N}$$

$$a_{22} = 4,244 \times 10^{-8} \text{ m/N}$$

$$3. a_{11}m_1 + a_{22}m_2 = \frac{1}{9,81} (1,521 \times 10^{-7} \times 225 + 4,244 \times 10^{-8} \times 450) = 5,435 \times 10^{-6}$$

$$(a_{11}a_{22} - a_{12}a_{21})m_1m_2 = [(1,521 \times 10^{-7} \times 4,244 \times 10^{-8}) - (5,093 \times 10^{-8})^2] \frac{450 \times 225}{(9,81)^2} \\ = 4,062 \times 10^{-12}$$



Şekil. 8-11

4. Böylece,  $\frac{1}{\omega^4} - (5,435 \times 10^{-6}) \frac{1}{\omega^2} + 4,062 \times 10^{-12} = 0$  dört pozitif kökü,  $\omega_{c_1} = 469$  ve  $\omega_{c_2} = 1057$  rad/sn.

7. Şekil. 8-12'de görülen yatakların, mil eksenine dik olmak şartıyla, herhangi bir yönde yay sabitesi,  $k = 44 \text{ MN/m}$  olan bir yayla donatılmış gibi esnekliği vardır. Eğilmeden dolayı, 1350N luk yük altında milin kendisinin,  $\delta_b$ , 0,046mm lik sehim ortaya çıkmaktadır. Mesnetlerdeki esnekliğin kritik hız üzerindeki etkisi ne kadardır?

**Çözüm:**

1. Mesnetler tamamıyla rigid ise, kritik hızı,

$$\omega_c = \sqrt{g/\delta_b} = \sqrt{9,81/0,046 \times 10^{-3}} = 462 \text{ rad/s}$$

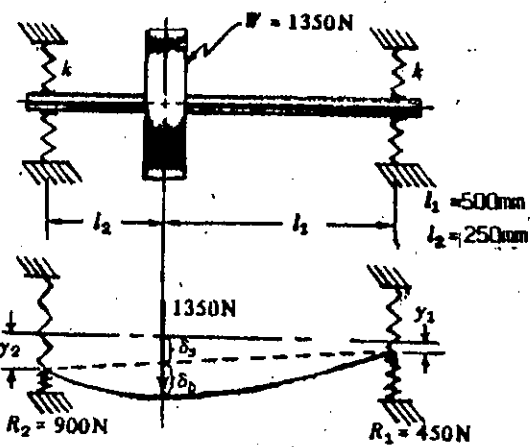
2. Mesnetlerdeki esneklik yükteki sehim artırmıştır. Mil eksenine göre yüksüz halden ölçüm yapılmıştır. Kritik hızı hesaplamak için,

$$\omega_c = \sqrt{g/(\delta_b + \delta_s)}$$

$$y_1 = R_1/k = 450/(44 \times 10^6) = 1,02 \times 10^{-5} \text{ m}, \delta_s = y_1 + (y_2 - y_1) \frac{l_1}{l_1 + l_2} \\ = 1,02 \times 10^{-5} + 1,02 \times 10^{-5} \left( \frac{2}{3} \right) = 1,7 \times 10^{-5} \text{ m}$$

$$y_2 = R_2/k = 900/(44 \times 10^6) = 2,04 \times 10^{-5} \text{ m}, \delta_b + \delta_s = (4,6 + 1,7)10^{-5} = 6,3 \times 10^{-5} \text{ m}$$

sonra,  $\omega_c = \sqrt{9,81/(6,3 \times 10^{-5})} = 395 \text{ rad/s}$ . olur. Mesnetlerin esnek oluşu kritik hızı  $\left( \frac{462 - 395}{462} \right) 100\% \approx 15\%$  kadar azaltır.



Şekil. 8-12

8. İki kütleli bir sistem için,

$$\frac{1}{\omega^4} - (a_{11}m_1 + a_{22}m_2) \frac{1}{\omega^2} + (a_{11}a_{22} - a_{12}a_{21})m_1m_2 = 0$$

frekans ifadesini çıkarınız.

**Çözüm:**

1. Şekil 8-13'e bakınız. Mili dönüyor kabul ediniz. İki kütle üzerinde  $m_1y_1\omega^2$  ve  $m_2y_2\omega^2$  santrifüj kuvvetlerinin etkisiyle sehimle maruz kalındığını farz edelim.

$$y_1 = a_{11}m_1y_1\omega^2 + a_{12}m_2y_2\omega^2,$$

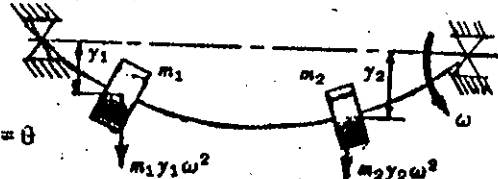
$$y_2 = a_{22}m_2y_2\omega^2 + a_{21}m_1y_1\omega^2$$

2. Yukarıdaki ifadeyi tekrar düzeltiniz.  $y_1$  ve  $y_2$  katsayıları biraraya toplayıp, her iki tarafı  $\omega^2$  ile bölgerek,

$$(a_{11}m_1 - 1/\omega^2)y_1 + (a_{12}m_2)y_2 = 0, \quad (a_{21}m_1)y_1 + (a_{22}m_2 - 1/\omega^2)y_2 = 0$$

3. İfadeleri  $y_1/y_2$  için çözecek olursak,

$$\frac{y_1}{y_2} = \frac{a_{12}m_2}{1/\omega^2 - a_{11}m_1}, \quad \frac{y_1}{y_2} = \frac{1/\omega^2 - a_{22}m_2}{a_{21}m_1}$$



Şekil. 8-13

Sonra,  $\frac{a_{12}m_2}{1/\omega^2 - a_{11}m_1} = \frac{1/\omega^2 - a_{22}m_2}{a_{21}m_1}$

bu da aşağıdaki şekilde düzelenebilir

$$\frac{1}{\omega^4} - (a_{11}m_1 + a_{22}m_2) \frac{1}{\omega^2} + (a_{11}a_{22} - a_{12}a_{21})m_1m_2 = 0$$

4. Daha basitçe diyebilirdik ki, (2) de yazılmış ifadelerle yetinebilmek için,  $y_1$  ve  $y_2$  katsayılarının determinantlarının birleştirilmesi gereklidir.

$$\begin{vmatrix} (a_{11}m_1 - 1/\omega^2) & (a_{12}m_2) \\ (a_{21}m_1) & (a_{22}m_2 - 1/\omega^2) \end{vmatrix} = 0$$

5. Daha fazla kütle halinde frekans ifadesini geliştirebilmek için, aynı işlemi takip edebiliriz. Bunun için de her kütle için bir sehim ifadesi yazılabilir. Önceden yazılmış ifadelerle yetinebilmek için, katsayıların determinantlarının birleştirilmesi gereklidir.

9. İki kütleli bir sistem için Dunkerley denklemini çıkarınız.

**Çözüm:**

1. 8. Problemde çıkarılmış ifadeyle işe başlayacağız.

$$\frac{1}{\omega^4} - (a_{11}m_1 + a_{22}m_2) \frac{1}{\omega^2} + (a_{11}a_{22} - a_{12}a_{21})m_1m_2 = 0$$

2.  $x^2 + bx + c = 0$ , formundaki herhangi bir denklem için, köklerin toplamı  $-b: x_1 + x_2 = -b$ , böylece frekans ifadesi,

$$(1/\omega_{c_1}^2 + 1/\omega_{c_2}^2) = a_{11}m_1 + a_{22}m_2$$

şekline girer.  $\omega_{c_1}$  ve  $\omega_{c_2}$  birinci ve ikinci kritik hızlardır.

3.  $\omega_{c_1}$ ,  $\omega_{c_2}$  den büyük, çoğu zaman tercihan büyükür. Sonra,  $1/\omega_{c_1}$  da  $1/\omega_{c_2}^2$  dan büyük olacaktır. Böylece, yaklaşık olarak,  $1/\omega_{c_1}^2 = a_{11}m_1 + a_{22}m_2$  bulunur.

4. Şimdi,  $a_{11}m_1 = a_{11}W_1/g$  ve  $a_{11}W_1 = \delta_{11}$  1 no'lu kütledede statik sehim,  $W_1$  tek başına etkiyerek, bu şekili almaktadır. Neticede,

$a_{11}m_1 = \delta_{11}/g = 1/\omega_1^2$ ,  $\omega_1$ , kritik hız olmak üzere, sadece 1 no'lu kütle mevcutsa gerçekleşecektir. Benzer şekilde,  $a_{22}m_2 = 1/\omega_2^2$  bulunur.

5. Böylece,  $1/\omega_{c_1}^2 = 1/\omega_1^2 + 1/\omega_2^2$ , yaklaşık olarak, Dunkerley ifadesi.

6. Dunkerley denkleminin, kritik hızı, daha küçük bulmasını etkileyen, daha önceki ifadenin nedenini göreceğiz. Dunkerley denklemine göre,  $1/\omega_{c_1}^2 = a_{11}m_1 + a_{22}m_2$  dir, aslında,  $1/\omega_{c_1}^2 = a_{11}m_1 + a_{22}m_2 - 1/\omega_{c_2}^2$ , olmaktadır.

10. D çapındaki bir çelik mil 1200d/dk da birinci kritik hızı göstermektedir. Mil içi boşaltılmak için delinecek olursa, iç çap  $3/4D$  olmaktadır. Kritik hızı hesaplayınız.

**Çözüm:**

1.  $\omega_c^2$ ,  $1/\delta$  ile doğru orantılıdır. Ayrıca,  $\omega_{ch}^2/\omega_{cs}^2 = \delta_s/\delta_h$ , dir. Zira,  $\omega_{ch}$ , içi boş milin kritik hızı  $\omega_{ch}$  ve  $\omega_{cs}$  de dolu milin kritik hızıdır.  $\delta_s$  dolu milin statik sehim, ve  $\delta_h$  de içi boş milin sehimdir. (Aynı noktada ölçülmüş halde).

2. Milin içinin boşaltılması, ağırlığı ve mukavemeti azaltacaktır. Neticede sehime iki şekilde etkimektedir.

Ağırlığın düşürüldüğü oran,  $\frac{W_h}{W_s} = \frac{D^2 - (\frac{3}{4}D)^2}{D^2} = \frac{7}{16}$ .

Kesitin,  $I$ , atalet momenti, azalduğu oran,  $\frac{I_h}{I_s} = \frac{D^4 - (\frac{3}{4}D)^4}{D^4} = \frac{175}{256}$ .

3. 6.  $W/I$  ya doğru orantılıdır. Neticede,  $\delta_s/\delta_h = (16/7)(175/256) = 1,562$  ve  $\omega_{ch} = \omega_{cs}\sqrt{\delta_s/\delta_h} = 1200\sqrt{1,562} = 1500\text{d}/\text{dk}$

Kütlenin azalması, kritik hızı artırıcı yönde etkimektedirken, mukavemeti azalmaya meyillidir. Kütle mukavemetten daha fazla azaltılmıştır. Böylece, görülen net tesir, kritik hızı artırma yönünde olacaktır.

## Tamamlayıcı Problemler

11. 500mm aralıkta bulunan iki yatak, bir mil ile taşımaktadır. Sol taraftaki yataktan 175mm sağda, 37kg gelen bir kasnak bulunmaktadır. Statik sehim eğrisi aşağıdaki değerleri vermektedir.

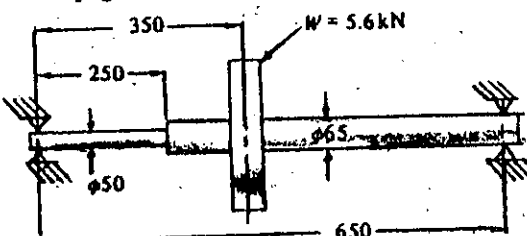
Sol taraftaki yataktan olan mesafe, mm	0	50	100	150	200	250	300	350	400	450	500
Sehim, $\mu\text{m}$	0	25	75	125	175	200	225	200	150	50	0

Kritik hızı hesaplayınız. Cev. 2400d/dk, yaklaşık.

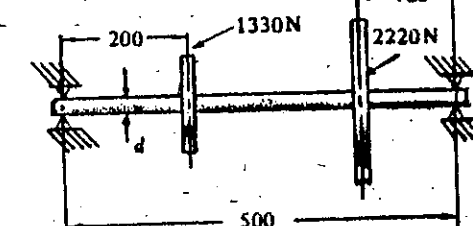
12. Çelik bir mil 1 metre boyunda olup, basitçe uçlardan yataklanmıştır. 500mm lik kısmının çapı 76,2mm dir. Milin geri kalan kısmının çapı ise, 63,5mm dir. Çap değişikliği olan noktalara her biri 1,335kN gelen kütleler asılmıştır. Milin kütlesini ihmal ederek, Rayleigh-Ritz denklemini kullanıp birinci kritik hızı hesaplayınız. Cev.  $\delta_1 = \delta_2 = 1.07 \times 10^{-4} \text{ m}$ ,  $\omega_c = 303 \text{ rad/s}$

13. Şekil. 8-14'de görülen çelik mil için kritik hız hangi değerdedir. Mil kütlesini ihmal ediniz. Cev. 1910d/dk.

14. Şekil. 8-15'de görülen mil paslanmaz çelikten mamüldür. ( $E=175 \text{ GPa}$ ). Birinci kritik hızın 3600d/dk yi geçmemesi istendiğine göre emniyetli mil çapını hesaplayınız. Cev.  $d = 48,3 \text{ mm}$



Şekil. 8-14

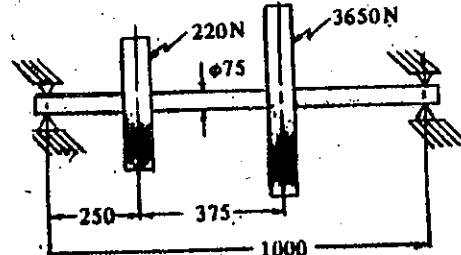


Şekil. 8-15

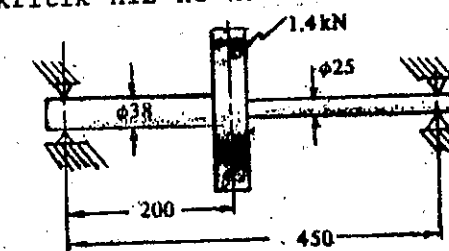
15. Dunkerley denklemini kullanarak, Şekil. 8-16'daki çelik mil için birinci kritik hızı hesaplayınız. Cev. 1750d/dk.

16. 5. Problemdeki mil için, Şekil. 8-10, Dunkerley denklemini kullanarak, birinci kritik hızı hesaplayınız. Cev. 4100d/dk.

17. Şekil. 8-17'de görülen çelik mil için kritik hız ne kadar olacaktır. Cev. 1440d/dk.



Şekil. 8-16



Şekil. 8-17

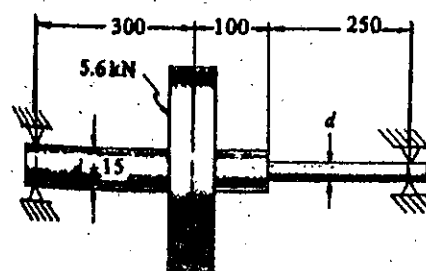
18. Şekil. 8-18'de görülen çelik mil, kritik hız 1800d/dk yi geçmeyecek şekilde dizayn edilecektir. Gerekli en küçük mil çapını hesaplayınız. Cev. 50mm.

19. Bir milde kritik hız 800d/dk olarak bilinmektedir. Mil çapı iki katına çıkarılırsa, kritik hız ne kadar olur? Cev. 1600d/dk.

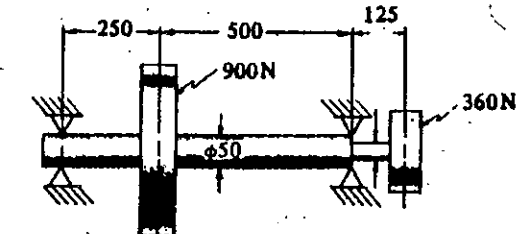
20. Bir mil 1 ve 2 no'lu noktalarında iki eşit kütle taşımaktadır. Sadece 1 kütlenin mevcudiyeti ile, 1 ve 2 noktasındaki statik sehim 0,2mm ve 0,18mm olmaktadır. Sadece 2. kütlenin mevcudiyeti ile, 1 ve 2 noktasındaki sehimler 0,18mm ve 0,25mm dir. İki küteli sistem için, birinci kritik hızı hesaplayınız. Cev. 1410d/dk (Dunkerley), 1483d/dk (Rayleigh-Ritz).

21. 20. Problemde tarif edilen mil için, frekans ifadesini kullanarak, birinci ve ikinci kritik hız hesabını yapınız. (Not:  $m_1 = m_2 = m$ ,  $a_{11} = 0,20/mg$ ,  $a_{12} = 0,18/mg$ ,  $a_{21} = 0,18/mg$ ,  $a_{22} = 0,25/mg$ ) Cev. 1483d/dk, 4540d/dk.

22. Şekil. 8-19'da görülen çelik milde birinci ve ikinci kritik hızı hesaplayınız. Cev. 290rad/sn, 576rad/sn.



Şekil. 8-18

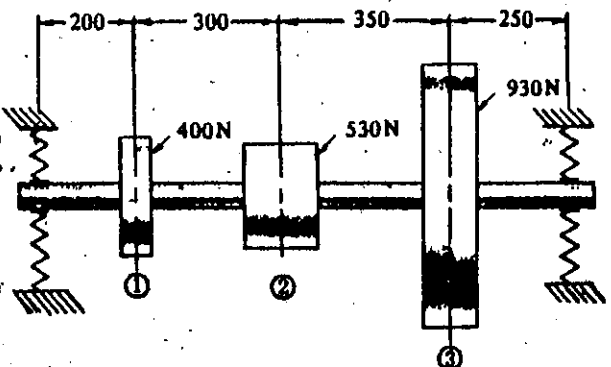


Şekil. 8-19

23. Dunkerley denklemini kullanarak, Şekil. 8-19'daki çelik mil için, birinci kritik hızı hesaplayınız. Cev. 259rad/sn.

24. Şekil. 8-20'de görülen çelik milde, statik sehimlerin, mildeki eğilmeden dolayı  $\delta_1 = 0,02\text{mm}$ ,  $\delta_2 = 0,08\text{mm}$ ,  $\delta_3 = 0,03\text{mm}$  olduğu görülmüştür. Mesnetler esnek olup, katsayı  $k = 35\text{MN/m}$ , bir yay gibi esneklikte sahiptirler. Yatay yönde, mesnetler rıjiddir. Birinci kritik hızları araştırınız.

Cev. İki birinci mod kritik hızı beklemekteyiz. Bir tanesi düşey sehimlerde, büyümeye meyilli, ikincisi yatay sehimlerde yine büyümeye meyilli haldedir. Bunlar için tahminlerimiz, Rayleigh-Ritz denklemine dayanmaktadır. Bunlarda sırasıyla, 356rad/sn ve 418rad/sn dir.



Şekil. 8-20

25. (a) Şekil. 8-21'de görülen mil için kritik hız hesabını yapınız. Yol Gösterme: 250mm kesitte, kütle merkezinde birikmiş gibi

mlin 250mm lik boyunu kütle olarak farz ediniz. (Rayleigh-Ritz denklemini kullanınız).

- (b) Aynı mil için, daha hassas bir tahmin yapınız. 3 küteli sistem gibi kabul ediniz. Kütelerin her birini 75mm çapında kütle gibi alıp, ilgilikesitin kütle merkezinde etkili olduğunu ve aynı şekilde 150mm çapında kütle gibi alıp, kütelerin her birinin kütle merkezinde etkili olduğunu kabul ediniz.

Cev. (a)  $209 \text{ rad/sn}$  ( $E = 200 \text{ GPa}$  ve çeliğin özgül ağırlığı  $= 76,8 \text{kN/m}^3$ )

(b) (a) da olduğu gibidir. (Belirgin hassasiyet sınırları içinde.)

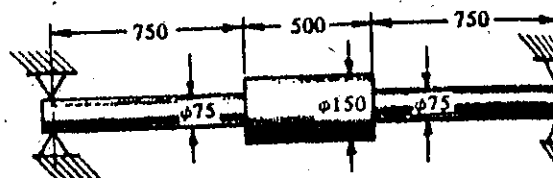
Tartışma : Aslında (b) den (a) ya göre biraz daha düşük değer beklemekteydi. Fakat fark çok küçük olmaktadır. Birinci mod kritik hızların tayini için, konsantr olmuş kütelerin, oldukça kaba tahmine göre yayılı yüklerin değiştirilebileceği daha önceki tanımlarda gösterilmiştir. Daha büyük kritik hızların tayininde, daha dar tahminlerin yapılması zorunludur.)

26. Kritik hızın mil dizaynında kriterlerden birisidir. Örnek için, 9. Bölüm, 12. probleme bakınız.

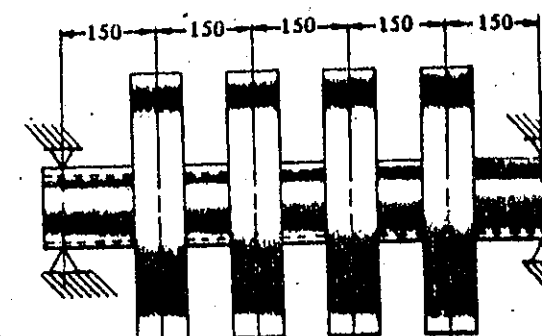
27. Şekil. 8-22'de görülen hava kompresörü için, kritik hız hesabı yapınız. Dört rotordan her biri  $360 \text{ N}$  gelmekte ( $1/4$  mil ağırlığı dahil olarak)dir. Çelik milin içi boştur. Dış çap  $150 \text{ mm}$  ve iç çap  $140 \text{ mm}$  dir.

Tartışma: Mil oldukça serttir. (Büyük I) Fakat kesit alanı küçuktur. Mil boyu dış çapın 5 katı kadarıdır. Bu özellikler, hesaplama, kesme sehiminin önemini çıkarmaktadır.

- Cev. (a) Kesme sehimini ihmali ederek, ve Rayleigh-Ritz denklemini kullanarak,  $\omega_c = 1230 \text{ rad/sn}$ .  
 (b) Eğilme sehimine, kesme sehimine de ilave ederek ve Rayleigh-Ritz denklemini kullanarak,  $\omega_c = 1100 \text{ rad/sn}$ .



Şekil. 8-21



Şekil. 8-22

## Millerde Güç Aktarımı

MİL DİZAYNI, değişik çalışma ve yükleme şartlarında güç ileten, yeterince mukavemet ve rıgidlik sağlamak için mil çapının doğru bir şekilde tayininden ibarettir. Miller genellikle dairesel kesitli ve içi boş veya dolu olabilmektedir.

SÜNEK MALZEMELERDEN, mamul millerin dizaynında mukavemet esas alınır ve maximum kesme teorisine göre kontrol edilir. Aşağıda verilen izahat dairesel kesitli sünek malzemeler için hazırlanmıştır. Kırılabilir malzemelerden mamul miller için maximum normal gerilme teorisi geçerlidir. Miller çoğu zaman, burulmaya, eğilmeye ve eksenel yükle maruz kalmaktadır. Burulma yükleri için, burulma gerilmesi,  $\tau_{xy}$

$$\tau_{xy} = M_t r / J = 16M_t / \pi d^3 \quad \text{Dolu miller}$$

$$\tau_{xy} = 16M_t d_o / \pi (d_o^4 - d_i^4) \quad \text{İçi boş miller}$$

Eğilme momentleri için, eğilme gerilmesi,  $s_b$  (çekme veya basma),

$$s_b = M_b r / J = 32M_b / \pi d^3 \quad \text{Dolu miller}$$

$$s_b = 32M_b d_o / \pi (d_o^4 - d_i^4) \quad \text{İçi boş miller}$$

Eksenel yükler için çekme veya basma gerilmesi,  $s_a$ ,

$$s_a = 4F_a / \pi d^2 \quad \text{Dolu miller}$$

$$s_a = 4F_a / \pi (d_o^2 - d_i^2) \quad \text{İçi boş miller}$$

ASME ye göre içi boş mil için yazılacak ifade, burulma, eğilme ve eksenel yükleri birlikte içermektedir. Böylece, modifiye olmuş maximum kesme gerilmesi ifadesi uygulanışı, darbe, yorulma ve flombaj katsayıları da hesaba katılarak,

$$d_o^3 = \frac{16}{\pi s_a (1 - K^4)} \sqrt{\left[ K_b M_b + \frac{\alpha F_a d_o (1 + K^2)}{8} \right]^2 + (K_t M_t)^2}$$

şeklinde yazılabilir. Küçük veya hiç eksenel yük bulunmayan bir dolu mil için ifade,

$$d^3 = \frac{16}{\pi s_a} \sqrt{(K_b M_b)^2 + (K_t M_t)^2}$$

halini alabilir

$$\tau_{xy} = \text{Burulma kesme gerilmesi, } \text{N/m}^2$$

$$d_o = \text{mil dış çapı, m}$$

$$M_t = \text{Burulma momenti, N m}$$

$$d_i = \text{mil iç çapı, m}$$

$$M_b = \text{Eğilme momenti, N m}$$

$$F_a = \text{eksenel yük, N}$$

$$K = d_i/d_o$$

$$K_b = \text{Eğilme momentiyle kullanılan darbe ve yorulma faktörü,}$$

$$K_t = \text{Burulma momentinde kullanılan darbe ve yorulma faktörü,}$$

Sabit miller için

Yük tedrici tatlbi ediliyor  
Yük birden tatlbi ediliyor

	$K_b$	$K_t$
1,0	1,0	
1,5 2,0	1,5 2,0	

Döner miller için

Yük tedricen tatlbi ediliyor  
Yük aniden tatlbi ediliyor (küçük darbe)  
Yük aniden tatlbi ediliyor (ağır darbe)

1,5	1,0
1,5 2,0	1,0 1,5
2,0 3,0	1,5 3,0

$s_b$  = eğilme gerilmesi, (çekme veya basma), N/m<sup>2</sup>

$s_a$  = eksenel gerilme (çekme veya basma), N/m<sup>2</sup>

Ticari çelik miller için ASME kodu,

$s_y$  (Müsaade edilen) = 8000psi, kama yuvasız mil (55MN/m<sup>2</sup>)

$s_y$  (Müsaade edilen) = 6000psi, kama yuvalı mil (40MN/m<sup>2</sup>)

Belli özellikler altında satın alınacak çelik miller için ASME standarı

$s_y$  (Müsaade edilen) = Elastik limitin % 30'u, kopma gerilmesinin %18 ini aşamaz. (Kama yuvasız), kama yuvası halinde bu değerlerin %25 daha azaltılır.

$\alpha$  = Kolon-etki katsayısı, çeki yükleri için flambaj katsayısı sonsuzdur. Basma yükleri için, aşağıdaki ifadeyle bulunabilir.

$$\alpha = \frac{1}{1 - 0.0044(L/k)} \text{ için } L/k < 115$$

$$\alpha = \frac{s_y}{\pi^2 n E} \left( \frac{L}{k} \right)^2 \text{ için } L/k > 115$$

$n$  = 1 mesnetli uçlar için,

$n$  = 2,25 Sabit uçlar için,

$n$  = 1,6 uçlar kısmen bastırılmış, yataklarda olduğu gibi,

$k$  = Jirasyon yarıçapı,  $\sqrt{I/A}$ , m

$I$  = Dikdörtgen atalet momenti, m<sup>4</sup>

$A$  = Milin kesit alanı, m<sup>2</sup>

$s_y$  = Basma halinde, akma gerilmesi, N/m<sup>2</sup>

BURULMAYA GÖRE MİLLER DİZAYNI, dönme açısına bağlıdır. Müsaade edilecek burulma miktarı kullanım durumuna bağlıdır ve makine tezgahlarındaki miller için 0,3derece./m ilâ düzgün miller için 3 derece/m. değerleri kullanılabılır.

$\theta = 584M_t L/G(d_o^4 - d_i^4)$  İçi boş dairesel miller için,

$\theta = 584M_t L/Gd^4$  Dolu dairesel miller için,

burada,

$\theta$  = Burulma açısı, Dere

$L$  = Mil boyu, m

$M_t$  = Burulma momenti, N m

$G$  = Elastisitenin burulma modülü, N/m<sup>2</sup>

$d$  = Mil çapı, m

ENİNE RİJİDLİK İÇİN MİLLERİN DİZAYNI, uygun yatak çalışmalarında, müsaade edilen enine harekete bağlıdır. Yataklara benzer şekilde, makine takımlarındaki çalışmalar, yeterli dişli çalışmaları, mil salgılarının alınması ve diğer benzer istekler söylenebilir. Sapma değeri aşağıdaki ifadenin arkaya arkaya integrasyonu ile bulunabilir.

$$\frac{d^2y}{dx^2} = M_b/EI$$

burada,

$M_b$  = Eğilme momenti, N m

$E$  = Elastisite modülü, N/m<sup>2</sup>

$I$  = Atalet momenti, m<sup>4</sup>

Eğer mil değişken kesitli ise, yukarıdaki ifade için grafiksel çözüm daha pratikdir. (5. Bölümde bakınız.)

MİLLERDE STANDART ÖLÇÜLERDEN, mümkün olduğu sürece kaçınılmamalıdır. Bu ölçüler malzeme özelliklerine ve satıcıya göre değişir. Dolu miller için tipik ölçüler şöyle olabilir.

25mm ye kadar, 0,5mm artışlarla,

25-50mm ye kadar, 1mm artışlarla,

50-100mm ye kadar, 2mm artışlarla,

100-200mm ye kadar, 5mm artışlarla,

EĞİLME VE BURULMA MOMENTLERİ, Mil dizaynının etkileyen ana faktörlerdir. Mil dizaynında ilk yapılacak işlerden birisi, önce, yüklü bir mil için eğilme momenti diyagramını çizmektir. Aynı şekilde yükler, milde birden fazla eksenel düzlemede etkili oluyorsa, birleşik moment diyagramının da çizilmesi gereklidir. Eğilme momenti diyagramından kritik eğilme gerilmesi için noktaların tayini yapılabilir.

Mil üzerinde etkili, burulma momenti,

$$M_t = \frac{kW \times 1000 \times 60}{2\pi d/dk} = \frac{9550 \times kW}{d/dk} \text{ Nm}$$

ile bulunabilir. Ayrıca kayış kasnaklı sistem için, Tork,

$$M_t = (T_1 - T_2)RN \text{ m}$$

burada,

$T_1$  = kasnakdaki kayışın gergin tarafındaki çeki kuvveti, N

$T_2$  = kasnakdaki kayışın, gevşek tarafındaki kuvvet, N

$R$  = kasnak yarıçapı, m

Dişli sistemler için, Tork;

$$M_t = F_t R$$

den bulunabilir. Burada,

$F_t$  = Taksimat dairesi (Taksimat) yarıçapında, teğetsel kuvvet, N

$R$  = Taksimat dairesi yarıçapı, m

# Çözümlü Problemler

1. 1 metre boyundaki çelik bir milden 3600d/dk da dönerken 65kW aktarması istenmektedir. A.C. motoruya D.C. jenaratoru arasında esnek bir kaplin bulunmaktadır. Gerekli mil çapını hesaplayınız.

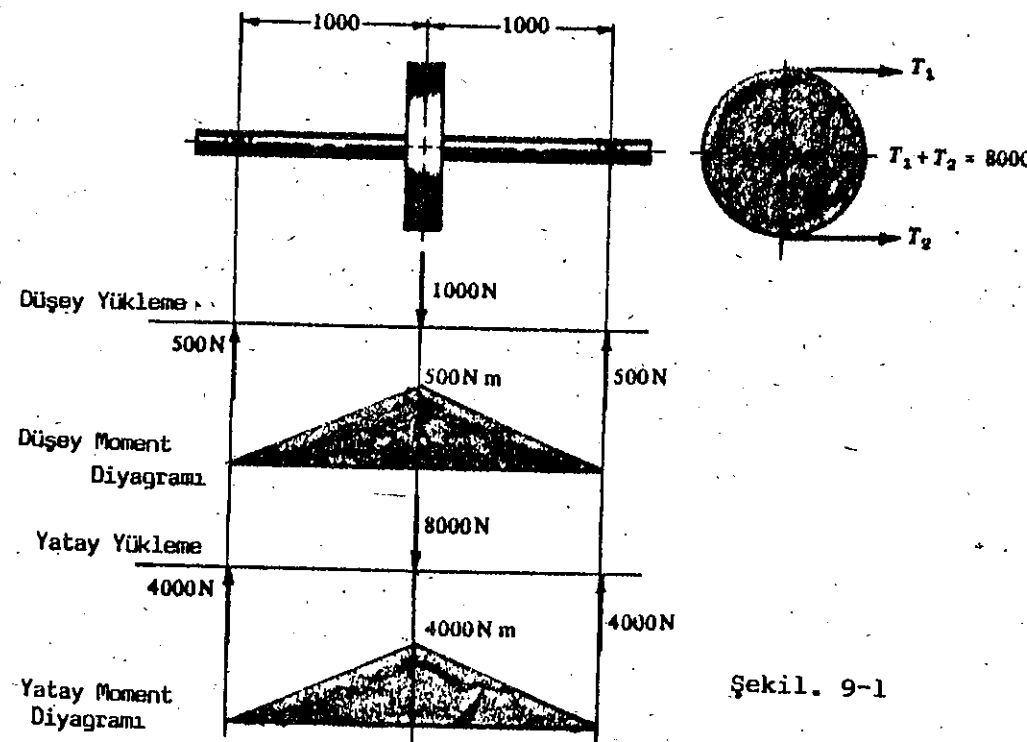
**Cözüm:** Bu durumda, milde sadece burulma gerilmesi bulunmaktadır. Zira, yük tedricen tatbik edilmektedir.

$s_s$ (musaade edilen) =  $40 \text{ MN/m}^2$  milde kama yuvası olduğu farzedilmektedir.

$$s_s(\text{musaade edilen}) = 16M_t/\pi d^3$$

$$40 \times 10^6 = (16 \times 65 \times 9550/3600) \frac{1}{\pi d^3} \text{ veya } d = 28,0 \text{ mm. En yakın standart } 28 \text{ mm yi kullanınız.}$$

2. Yataklar arasında 2m boyunda bir ticari çelik mil, tam orta noktasında 1000N luk bir kasnak taşımaktadır. (Şekil. 9-1) Kasnak mile kamalanmıştır ve sağıdaki yatağın hemen dışındaki bir esnek kaplin yardımıyla 150d/dk da 30kW lık güç aktarılmaktadır. Kayış düzeni yatay olup, kayıştaki çeki gerilmesi 8000N dur.  $K_t = K_b = 1,5$  olarak kabul edilecektir. Gerekli mil çapını ve yataklar arasındaki burulma açısını hesaplayınız.  $G = 80 \text{ GN/m}^2$ .



Şekil. 9-1

**Cözüm:**

Mil üzerinde etkili maksimum eğilme ve burulma momentlerinin başlangıçta tayini gerekmektedir.

$$M_b(\text{max}) = \sqrt{500^2 + 4000^2} = 4031 \text{ N.m}, M_t(\text{max}) = 30(9550)/150 = 1910 \text{ N.m}$$

$s_s$ (musaade edilen) =  $40 \text{ MN/m}^2$  kama yuvalı mil için, sonra,

$$d^3 = \frac{16}{\pi s_s} \sqrt{(K_b M_b)^2 + (K_t M_t)^2} = \frac{16}{40 \pi \times 10^6} \sqrt{(1,5 \times 4030)^2 + (1,5 \times 1910)^2}$$

Buradan,  $d = 94,8 \text{ mm. bulunur. 96mm en yakın standarda yakın olduğu için kullanınız.}$

$$\theta = \frac{584 M_t L}{G d^4} = \frac{584 \times 1910 \times 1}{80 \times 10^9 \times 0,096^4} = 0,164^\circ \text{ dönme.}$$

3. Şekil. 9-2'de iki dişli taşıyan çelik mile etkiyen kuvvetler gösterilmiştir. Dişlikler B ve D de kamalanmışlardır. A ve C kaymamış yataklarıdır. Milin 650d/dk da döndüğü ve 6kW lık güç aktardığı söylenmektedir. Kama yuvası açılmış bölge için müsaade edilen gerilme  $8 \text{ MN/m}^2$  ve  $K_b = K_t = 1,5$  dir.

(a) Yatay, düşey ve bileske eğilme momenti diyagramlarını çiziniz. Değişiklik noktalarındaki değerleri belirtiniz.

(b) Gerekli mil çapını, mm olarak hesaplayınız. Kritik kesiti gösteriniz.

**Cözüm:** C yatağında,  $M_t(\text{max}) = 6(9550)/650 = 88 \text{ N.m}$   $M_b(\text{max}) = 182 \text{ N.m}$

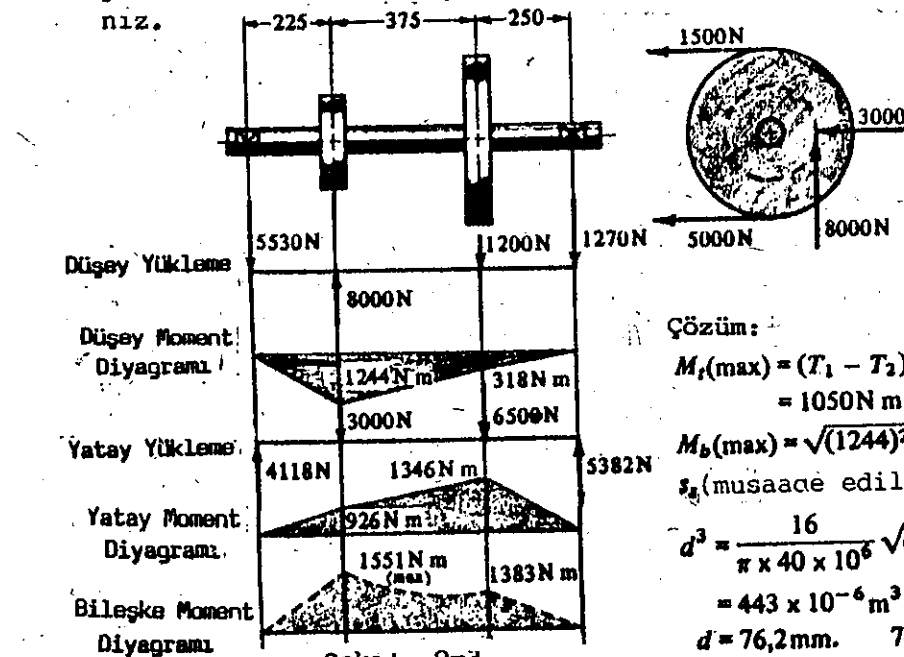
$$d^3 = \frac{16}{\pi(80 \times 10^6)} \sqrt{(1,5 \times 182)^2 + (1,5 \times 88)^2} \quad d = 26,8 \text{ mm. 27mm. alınız.}$$

B dişlisinin sağında,  $M_t(\text{max}) = 88 \text{ N.m}$   $M_b(\text{max}) = 128 \text{ N.m}$

$$\text{ve } d = 27,04 \text{ mm. 27mm. alınız. } d^3 = \frac{16}{\pi(0,75)(80 \times 10^6)} \sqrt{(1,5 \times 128)^2 + (1,5 \times 88)^2}$$

**Not:** B dişlisindeki eğilme momentinin, C noktasındaki yatağın eğilme momentinden az olduğunu hatırlayarak, B'deki kama yuvasından dolayı, aynı çapta mil yeterli olacaktır.

4. Yatay bir kayış kasnak sisteminden hareket alan 600mm çapındaki bir kasnak, hareketini, 262mm çapındaki bir pinyon dişlinin, hareketini mile aktarmasıyla almaktadır. Makara 1200N gelmektedir. Elemanların yerleştirilmesi, kayışlardaki çeki kuvvetleri, ve pinyondaki dişli kuvvetlerinin bileşenleri Şekil. 9-3'de gösterilmiştir. Darbe ve yorulma faktörleri,  $K_b = 2$  ve  $K_t = 1,5$  ise, gerekli mil çapını hesaplayınız.



Şekil. 9-3

**Cözüm:**

$$M_t(\text{max}) = (T_1 - T_2)(0,3) = (5000 - 1500)(0,3) = 1050 \text{ N.m}$$

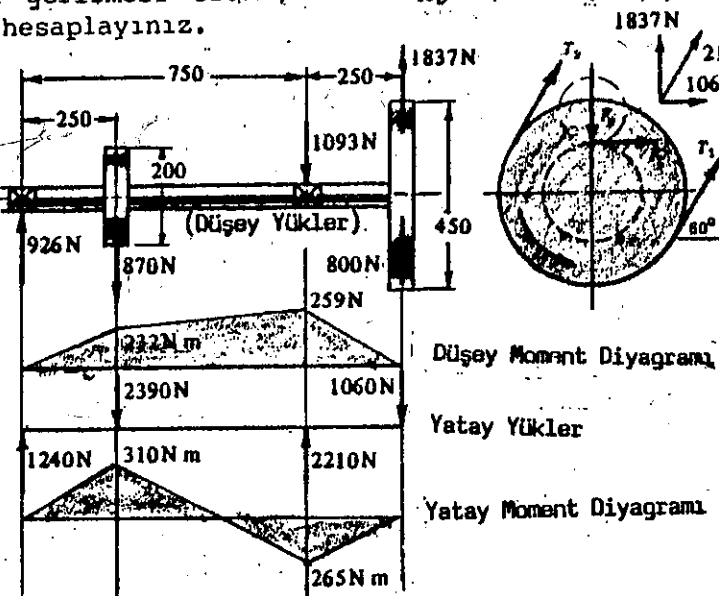
$$M_b(\text{max}) = \sqrt{(1244)^2 + (926)^2} = 1551 \text{ N.m}$$

$$s_s(\text{musaade edilen}) = 40 \text{ MN/m}^2$$

$$d^3 = \frac{16}{\pi \times 40 \times 10^6} \sqrt{(2 \times 1551)^2 + (1,5 \times 1050)^2} = 443 \times 10^{-6} \text{ m}^3$$

$$d = 76,2 \text{ mm. 76mm. alınız.}$$

5. 600d/dk da dönen bir makine mili, aralarındaki açıklık 750mm olan iki yatak tarafından taşınmaktadır. Şekil. 9-4'e bakınız. Sağdaki yatağın 250mm sağ tarafında bulunan 450mm çapındaki makaranın tespit edildiği mille 15kW lik bir güç aktarılmaktadır. Güç, milden, soldaki yatağın 250mm sağında 200mm çapında bir konik dişliyle aktarılmaktadır. Kayış kasnak düzeneği yatayla  $60^\circ$  lik açı yapmaktadır. Makara 800N gelmektedir. Kayıştaki çeki kuvvetleri arasındaki oran 3:1 dir. Dişlideki diş formu  $20^\circ$  dir ve adı geçen dişli mil üzerindeki diğer dişliyle eş çalışmaktadır. Mil malzemesi kopma gerilmesi  $500\text{MN/m}^2$  bir dişliyle eş çalışmaktadır. Mil malzemesi kopma gerilmesi  $500\text{MN/m}^2$  ve akma gerilmesi  $310\text{MN/m}^2$  dir.  $K_b = 1.5$  ve  $K_f = 1.0$  alarak, gerekli mil çapını hesaplayınız.



Şekil. 9-4

**Çözüm:**

$$M_b = 15(9550)/600 = 239 \text{ Nm}$$

$$(T_1 - T_2)(0.225) = 239 \text{ dan } T_1 = 3T_2 \text{ ve } T_2 = 531 \text{ N, } T_1 = 1590 \text{ N } (T_1 + T_2) = 2121 \text{ N bulunur.}$$

$$(0.1)F_t = 239, F_t = 2390 \text{ N, } F_s = 2390 \tan 20^\circ = 870 \text{ N}$$

$$18\% \times 500 = 90 \text{ MN/m}^2, 30\% \times 310 = 93 \text{ MN/m}^2, s_s(\text{müsaade edilen}) = 75\% \times 90 = 67.5 \text{ MN/m}^2$$

$$M_b(\max) = \sqrt{232^2 + 310^2} = 387 \text{ Nm}$$

$$d^3 = \frac{16}{\pi \times 67.5 \times 10^6} \sqrt{(1.5 \times 387)^2 + 239^2} \text{ veya } d = 36.2 \text{ mm, } 37 \text{ mm alınır.}$$

6. İçi boş milde dış çap 500mm ve iç çap 300mm dir. Mil aralarında 6 metrelük açıklık bulunan iki yatak tarafından taşınmaktadır. Mil, esnek bir kaplinden hareketi alıp, diğer ucunda bulunan bir gemi pervanesini 100d/dk da çevirmektedir. Pervanedeği max. zorlanma 500kN iken mil 6000kW lik güç aktarılmaktadır. Mil 60kN gelmektedir. Milin ağırlığını ve kolon etkisini gözönüne alarak, mildeki maximum kesme gerilmesini hesaplayınız.  $K_b = 1.5$  ve  $K_f = 1.0$  alınacaktır.

**Çözüm:**

$$M_b(\max) = WL/8 = (60,000)(6)/8 = 45,000 \text{ Nm}$$

$$M_t(\max) = 6000(9550)/100 = 573,000 \text{ Nm}$$

$$I = \pi(0.5^4 - 0.3^4)/64 = 2.67 \times 10^{-3} \text{ m}^4, A = \pi(0.5^2 - 0.3^2)/4 = 0.126 \text{ m}^2$$

$$k = \sqrt{I/A} = \sqrt{2.67 \times 10^{-3}/0.126} = 0.146 \text{ m, } L/k = 6/0.146 = 41.1 \text{ ki bu da } < 115 \text{ dir. Sonra,}$$

$$\alpha = \frac{1}{1 - 0.0044(41.1)} = 1.22$$

$$d_o = 0.5 \text{ m, } d_i = 0.3 \text{ m, ve } K = d_i/d_o = 0.3/0.5 = 0.6$$

$$s_s = \frac{16}{\pi d_o^3 (1 - K^2)} \sqrt{\left[ K_b M_b + \frac{\alpha F_a d_o (1 + K^2)}{8} \right]^2 + (K_f M_t)^2}$$

$$= \frac{16}{\pi (0.5)^3 (1 - 0.6^2)} \sqrt{\left[ (1.5 \times 45,000) + \frac{1.22 \times 500,000 \times 0.5 (1 + 0.6^2)}{8} \right]^2 + (1 \times 573,000)^2} = 27.4 \text{ MN/m}^2$$

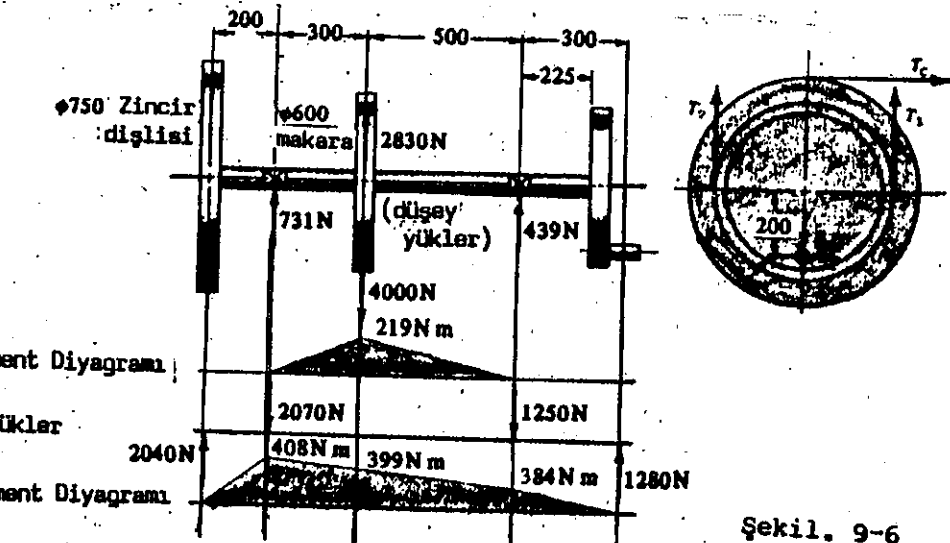
7. 1,2m boyundaki bir mil ortasında bulunan bir kasnaktan 1000N.luk tork almaktadır. Şekil. 9-5. Milin sol uç tarafındaki dişli, bahis konusu torkun 600N.m.luk kısmını aktarırken, sağ uçtaki dişlide geri kalanı aktaracaktır. Mil çapı 50mm ise, sol uçtaki açısal sapmayı, sağ uçtaki mile göre hesaplayınız. Mil çelikten yapılmamalıdır. Kama yuvalarının etkisini ihmal ediniz.

**Çözüm:**

Bir uçtaki açısal sapma, diğerine göre, uçlardaki sapmaların, merkeze göre farkları olarak ele alınırsa,

$$\theta_1 - \theta_2 = \frac{584(600)(0.6)}{Gd^4} - \frac{584(400)(0.6)}{Gd^4} = \frac{584(0.6)(600 - 400)}{(80 \times 10^9)(0.05)^4} = 0.140^\circ$$

8. Şekil. 9-6'da görülen bir zincir düzeniyle 750mm çapındaki bir zincir dişlisine 24kW lik güç aktarılmaktadır. 16kW, 4000N gelen 600mm çapındaki makara ve 8kW ise, 1200mm lik kränkla alınmaktadır. Zincirin gergin tarafındaki kuvvet,  $T_c$ , ile gösteriliyor. Gevşek taraftaki kuvvet küçük olduğu için ihmal edilebilir. Çeki kuvvetleri arasındaki oran 4:1 dir. Mil 300d/dk da dönmektedir. Yükler makul darbelerle tatbik edilmektedir.  $K_b = 2$ , ve  $K_f = 1.5$ .  $\mu_s$  (müsaade edilen) =  $\text{MN/m}^2$  ise gerekli mil çapını hesaplayınız. Zincir dişinin ve kasnağın mile kama ile tespit edildiği kabul edilmektedir.



Şekil. 9-6

$(T_1 - T_2) \cdot 0,3 = 509$  dan ve  $T_1 = 4T_2$  den  $T_1 = 2260\text{N}$ ,  $T_2 = 566\text{N}$  ve  $(T_1 + T_2) = 2830\text{N}$  bulunur.  $F_c = 1280\text{N}$

$$M_t(\text{zincir disli}) = 24 \times 9550 / 300 = 764\text{N m}, M_t(\text{kasnak}) = 2M_t(\text{krank}) = 225\text{N m}$$

$M_b(\text{max}) = \sqrt{399^2 + 219^2} = 455\text{N m}$  kasnakta  $M_t(\text{max}) = 764\text{N m}$  kasnakta

$$d^3 = \frac{16}{\pi s_y(0,75)} \sqrt{(K_b M_b)^2 + (K_t M_t)^2} = \frac{16}{\pi (55 \times 10^6)(0,75)} \sqrt{(2 \times 455)^2 + (1,5 \times 764)^2}$$

$$= 181 \times 10^{-6} \text{m}^3$$

buradan da,  $d = 56,5\text{mm}$  bulunur. 58mm alınız.

9. Burulma altındaki dolu bir milin dizaynındaki kontrol faktörü burulma açısı olan bir mil çapını hesaplayınız. Müsaade edilen kesme gerilmesi  $55\text{MN/m}^2$  ve maximum müsaade edilebilen burulma  $0,3$  derece/m dir. (Milde kama yuvası olmadığını kabul ediniz.)  $G = 80\text{GN/m}^2$

Çözüm:

$$s_s(\text{müsaade edilen}) = 16M_t/\pi d^3, \theta(\text{müsaade edilen}) = 584M_t L/Gd^4$$

$M_t = \theta d^4 G / 584L$  müsaade edilen burulmada aktarılan moment

$M_t = s_s \pi d^3 / 16$  müsaade edilen gerilmede aktarılan moment

$$\text{Sonra } \frac{\theta d^4 G}{584L} = \frac{s_s \pi d^3}{16} \text{ veya } \frac{(0,3)(d^4)(80 \times 10^9)}{584} = \frac{55 \times 10^6 \pi d^3}{16} \text{ bunlardan, } d = 263\text{mm, bulunur.}$$

10. AB ve CD milleri, Şekil. 9-7'de görüldüğü gibi düz dişlilerle irtibatlınlardır. A ya tatbik edilen çift AB milini  $55\text{MN/m}^2$  ye yaklaştırın. Kesme gerilmesi  $55\text{MN/m}^2$  yi aşamayacak şekilde, CD milinin çapını hesaplayınız. Kama yuvalarını ve eğilme etkisini ihmal ediniz.  $G = 80\text{GN/m}^2$ .

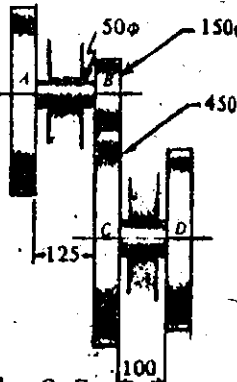
Çözüm:

CD milindeki  $M_t$ , AB milindekinden 3 kat daha büyütür.

AB milinin çapına  $d_1$  ve CD milinin çapını  $d_2$  ile gösterelim, böylece,

$$s_s \pi d_1^3 / 16 = s_s \pi d_2^3 / (16 \times 3)$$

ve  $d_1 = 50\text{mm}$  olduğundan, gerekli  $d_2 = 72\text{mm}$  olarak Şekil. 9-7 bulunur.



11. Bir uçağta, kontrol ve güç cihazlarının ağırlığını azaltmak için, güç aktarımında kullanılan millerin içlerinin boş olması arzu edilmektedir. Böyle bir uygulamada kullanılacak dolu mil yerine içi boş mil kullanılması halinde ağırlıktan ne kadar kazanç sağlanacağını gösteren bir ifade çıkarınız.

Çözüm:

Burulma ve eğilme yüklerine maruz dolu millerde, kesme gerilmesi,

$$s_x = \frac{16}{\pi d^3} \sqrt{M_b^2 + M_t^2}$$

ve yukarıdaki burulma ve eğilme yüklerine maruz içi boş milde, kesme gerilmesi,

$$s_x = \frac{16d_o}{\pi(d_o^4 - d_i^4)} \sqrt{M_b^2 + M_t^2}$$

burada,

$M_b$  = kritik kesitteki eğilme momenti, N m  $d_o$  = içi boş milin dış çapı, m

$M_t$  = kritik kesitteki burulma momenti, N m  $d_i$  = içi boş milin iç çapı, m

İçi boş milin, dolu mille aynı mukavemette olduğunu kabul ettiğimize göre, yukarıdaki ifadelerin sağ taraflarını eşitleyebiliriz. Neticede,  $\frac{16}{\pi d^3} = \frac{16d_o}{\pi(d_o^4 - d_i^4)}$  elde edilir. Böylece (1)  $1 - \left(\frac{d}{d_o}\right)^3 = \left(\frac{d_i}{d_o}\right)^4$  bulunmuş

Ağırlık ele alınarak, içi boş milin  $(1 - N/100)$ , katsayı ile bağımlı olmak üzere dolu milden daha hafif olduğu söylenebilir. N, yüzde olarak ağırlıktan tasarrufu göstermektedir. Sonra,

$$\frac{\pi}{4}(d_o^2 - d_i^2)L\lambda = \left(1 - \frac{N}{100}\right) \frac{\pi}{4}d^2 L\lambda \text{ veya (2) } (d_o^2 - d_i^2) = \left(1 - \frac{N}{100}\right)d^2$$

burada,  $L$  = mil boyu, m

$\lambda$  = mil malzemesinin özgül ağırlığı,  $\text{N/m}^3$

(1) ifadesinden  $d_i$  yi çekip (2) de yerine koyarak, N bulunur.

$$N = [1 - (d_o/d)^2 + \sqrt{(d_o/d)^4 - d_o/d}]100$$

12. Şekil. 9-8(a)da görülen mil, mukavemet, kritik hız ve riyidliği düşünüllererek dizayn edilecektir. P kasnakın gücü, düz bir kayışla aktarılmaktır ve burada gücü G deki düz dişinden alınmaktadır. Mil iki rulmanlı yatak taşılmaktadır.

Aşağıdaki bilgiler önceden verilmektedir.

Güç =  $7,5\text{kW}$  (surekli yük ortamı),

Mil hızı =  $900\text{d/dk}$

Mil sıcak haddelenmiş çelikten imal edilecektir. ( $s_u = 590\text{MN/m}^2$ ,  $s_y = 380\text{MN/m}^2$ )

Kasnak çapı =  $250\text{mm}$

Dişlideki pitch dairesi =  $250\text{mm}$

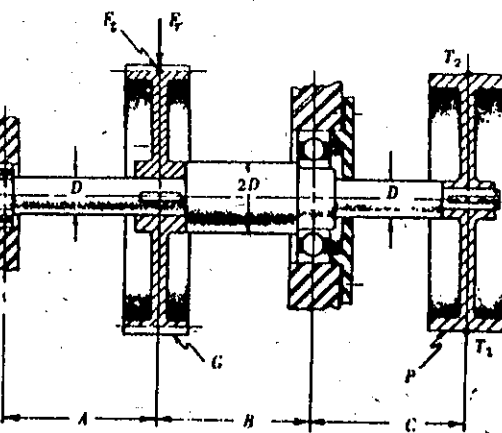
Kasnak ağırlığı =  $120\text{N}$

Dişlinin ağırlığı =  $120\text{N}$

Kayıstaki çeki oranı,  $T_1/T_2 = 2,5$

Dişli basınç açısı (kavrama açısı) =  $20^\circ$

Kasnak ve dişli sıkı geçirme ve kamalı bağlanmıştır. A = B = C =  $150\text{mm}$ .



Şekil. 9-8

Kayışdaki kuvvetler kağıt düzlemine diktir.  $T_1$ , gergin tarafındaki çeki ve gevşek tarafındaki çeki ise  $T_2$  dir. Dişlideki tegetsel kuvvet  $F_r$  ve Ayırma kuvveti  $F_a$  dir.  $F_r$  kağıt düzlemine diktir. Aşağıdaki sınırlamalar hesaba katılacaktır.

(a) Dişlideki mil 0,025mm den fazla sehim kazanacaktır.

(b) Yataklardan geçen milin göstereceği eğim  $1^\circ$  yi geçmeyecektir.

(c) Milin çalışma hızı, en düşük kritik hızın  $360$  indan fazla olmayacağıdır.

Çözüm:

Dişlinin ve kasnakın göbeği mile direnç sağlamaktadır. Aynı zamanda her yatağın iç bileziğinde direnç sağladığı söylenebilir. Göbek uzun ise, etkisi kısa olana göre farklıdır. Bu problemde kullanılmak üzere, göbek yarı boyları, iç bilezikleri hesaba katılacaktır. Kasnak ve dişli kuşağının etkisi analiz sırasında ihmal edilebilir. Sonradan mil dizaynı Şekil. 9-8(b) de olduğu gibi basite indirgenir. ASME standardına göre arzu edilen mukavemet için, önce D çapını hesaplayacagız.

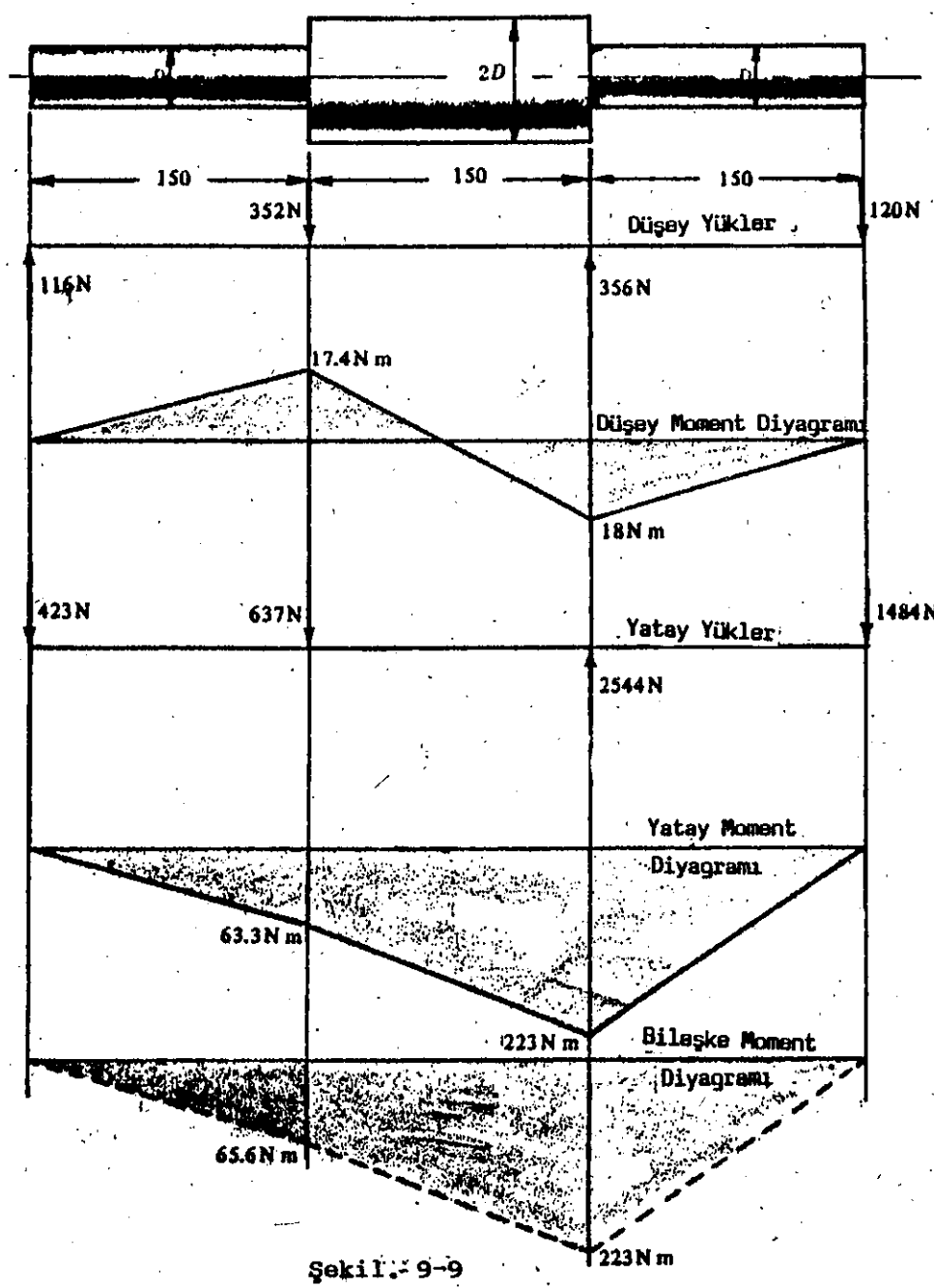
Kasnak ile dişli arasındaki tork,  $M_t = (7,5)(9550)/900 = 79,6 \text{ Nm}$   
 Kavıstdaki çeki kuvvetleri toplamı da,

$(T_1 - T_2)0,125 = 79,6$  ve  $T_1 = 2,5T_2$   
 bulunur ki.  $T_2 = 1060\text{N}$ ,  $T_1 = 2440\text{N}$  ve  $(T_1 + T_2) = 1484\text{N}$  olmaktadır

Aktarılan kuvvet,  $F_r = 79,6/0,125 = 637\text{N}$

$$\text{Radyal kuvveti, } F_r = 637 \tan 20 = 232\text{N}$$

Yukarıdaki verilen bilgileri bir araya toplayarak, düşey ve yatay yükler için bileşke kuvvet diyagramı Şekil. 9-9'da göründüğü üzere çizilebilir.



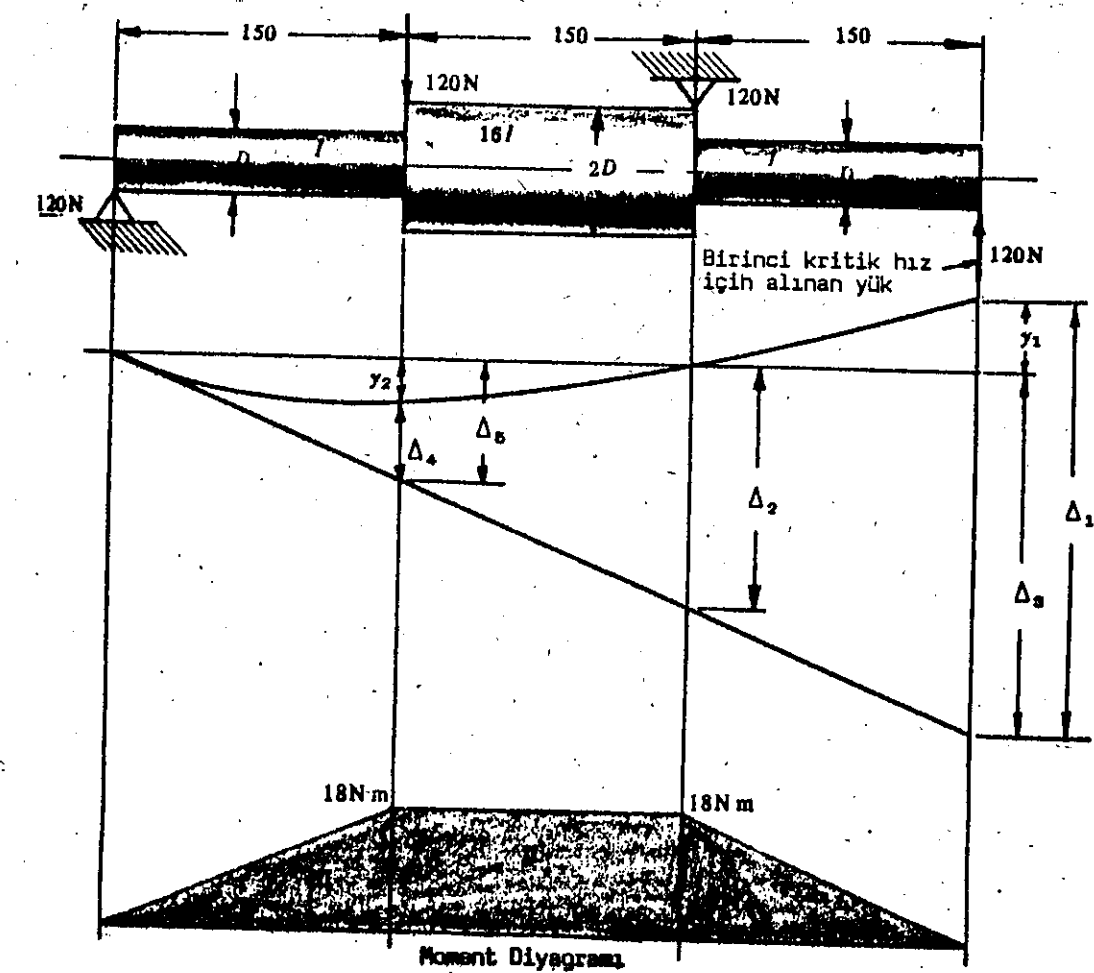
Müsaade edilen kesme gerilmesi,  $18\% \times 590 \times 10^6 = 106 \text{ MN/m}^2$ ,  $30\% \times 380 \times 10^6 = 114 \text{ MN/m}^2$  ile bulunabilir. Müsaade edilen  $106 \text{ MN/m}^2$  değerini kullanınız.

Şekil. 9-9'dan görüleceği üzere, Maximum bileske eğilme sağ yataktan ortaya çıkmaktadır.  $M_b = 223 \text{ N m}$ ,  $M_t = 79,6 \text{ N m}$ .

Sürekli yük için,  $K_b = 1,5$  ve  $K_t = 1,0$ , olarak alınır ve  $D = D = 25,5\text{mm}$  ve  $2D = 51\text{mm}$  hesaplanmıştır.

$$D^3 = \frac{16}{\pi(106 \times 10^6)} \sqrt{(1,5 \times 223)^2 + (1 \times 79,6)^2} = 16,5 \times 10^{-6} \text{ m}^3$$

İkinci olarak, kritik hızın %60 altındaki çalışmalar için gerekli çapın hesabı için, dişli ve kasnağın ağırlığından dolayı ortaya çıkan, dişli ve kasnaktaki statik sehimin tayin edilmesi gereklidir. Birinci kritik hızı elde etmek için şunu unutmamak gerekir. Titreşimin birinci modunu sağlayabilmek için, milin sağ tarafında etkili olan kasnağın ağırlığının yukarıya doğru etkidiğini kabul etmemiz gerekir. Böyle bir durum için elastik eğrili mil ile moment diyagramı Şekil. 9-10'da gösterilmektedir. Gerekli sehimleri elde etmek için kullanılacak moment alan metodу için, solda elastik eğriye bir teget çizmek gerekdir. Takip eden sehimler iin,  $M/EI$  diyagramlarını çizmek yerine  $2D$  li bölüm için alınan atalet momentinin,  $D$  bölümü için, hesaplanacak atalet momentinin 16 katı olmak yeterli olur.



Şekil. 9-10

$\Delta_1$  yeri moment diyagramının sağ tarafına göre moment alarak bulabırız.  $I, D$  çaplı kesitin atalet momentidir. Çıkan değerleri yuvarlayarak,

$$\Delta_1 = \frac{(18)(0.150)(0.1)}{2EI} + \frac{(18)(0.150)(0.225)}{16EI} + \frac{(18)(0.150)(0.350)}{2EI} = \frac{0.643}{EI}$$

$\Delta_2$ , yıl ise, sağ yatağa göre momentler olarak bulabiliriz.

$$\Delta_2 = \frac{(18)(0,150)(0,075)}{EI} + \frac{(18)(0,150)(0,2)}{2EI} = \frac{0,283}{EI}$$

$\Delta_{37}$  de oranlarla bulunur

$$\Delta_3 = \left( \frac{0.450}{0.300} \right) \Delta_2 = \left( \frac{0.450}{0.300} \right) \left( \frac{0.283}{EI} \right) = \frac{0.425}{EI}$$

$$y_1 = \frac{0,645 - 0,425}{EI} = \frac{0,220}{EI}$$

$$\Delta_4 = \frac{(18)(0,150)(0,05)}{2EI} = \frac{0,0675}{EI}$$

$$\Delta_s = \frac{\Delta_3}{3} = \frac{0.425}{3EI} = \frac{0.142}{EI} \quad \text{oran yapılarak}$$

$y_1$  ve  $y_2$  değerlerini kritik hız diyagramına yerleştirerek (8. Bölümü bkz.) ve bunu  $1500d/dk$  ye eşitleyerek, zira  $900d/dk$  nin  $\%60$  ıyla birlikte  $1500d/dk$  olmaktadır.

$$2\pi \times 1500/60 = \sqrt{\frac{(9,81)[(120)(0,220) + (120)(0,0745)]/(EI)}{[(120)(0,220)^2 + (120)(0,0745)^2]/(EI)^2}} = 7,32\sqrt{EI}$$

buradan da  $\sqrt{EI} = 21,5$ ,  $E = 200 \text{ GN/m}^2$  neticede,  $I = 2,30 \times 10^{-9} \text{ m}^4$  bulunur.

$I = \pi D^4/64$  den,  $D = 14,7\text{mm}$  elde edilir, kritik hız  $1500d/dk$  dir.  
Bu değer mukaymet düşünüldüğü zamanki şarttan daha azdır.

Düşünülen riyidlik için yapılacak dizayn için, dişlideki sehim ve düşey ve yatay yüklemelerden dolayı milin sağ ve sol tarafında ortaya çıkan eğimi hesaplamak gerekli olacaktır. Şekil. 9-11, karşı tarafta, deki durum düşey yüklemelerden dolayı ortaya çıkan şekildedir. Elastik eğri çizilmiş ve A ve B noktalarında tegetler çizilmiştir. Moment diyagramı çizilmiştir. Momentlerin alınmasını kolaylaştırmak için, moment diyagramı parçalar halinde çizilmiştir. Şekilde, dört adet üçgen ve bir tanede dikdörtgen bölüm bulunmaktadır. Moment diyagramı sol reaksiyon kuvvetinden başlanarak sağ reaksiyona doğru gidilecek elde edilir, aynı şekilde sağ reaksiyondan başlanıp sol reaksiyona dönülebilir. A<sub>1</sub>, I, II, III ve IV bölümlerindeki momentleri alarak bulunabilir. 2D bölümünde moment  $16EI$  ve D bölümünde ise  $EI$  ile bölünecektir. Ayrıca, III. bölgedeki momentin negatif olduğunu unutmamalıyız.

$$\Delta_1 = \frac{(17.4)(0.15)(0.05)}{(2)(16)EI} + \frac{(17.4)(0.15)(0.075)}{16EI} - \frac{(52.8)(0.15)(0.05)}{(2)(16)EI} + \frac{(17.4)(0.15)(0.2)}{2EI} = \frac{0.26}{EI}$$

$$\Delta_2 = \frac{(17.4)(0.15)(0.05)}{2EI} = \frac{0.0653}{EI}$$

$\Delta_3 = \frac{1}{2} \Delta_1 = 0,133/EI$  oranıyla yapılarak

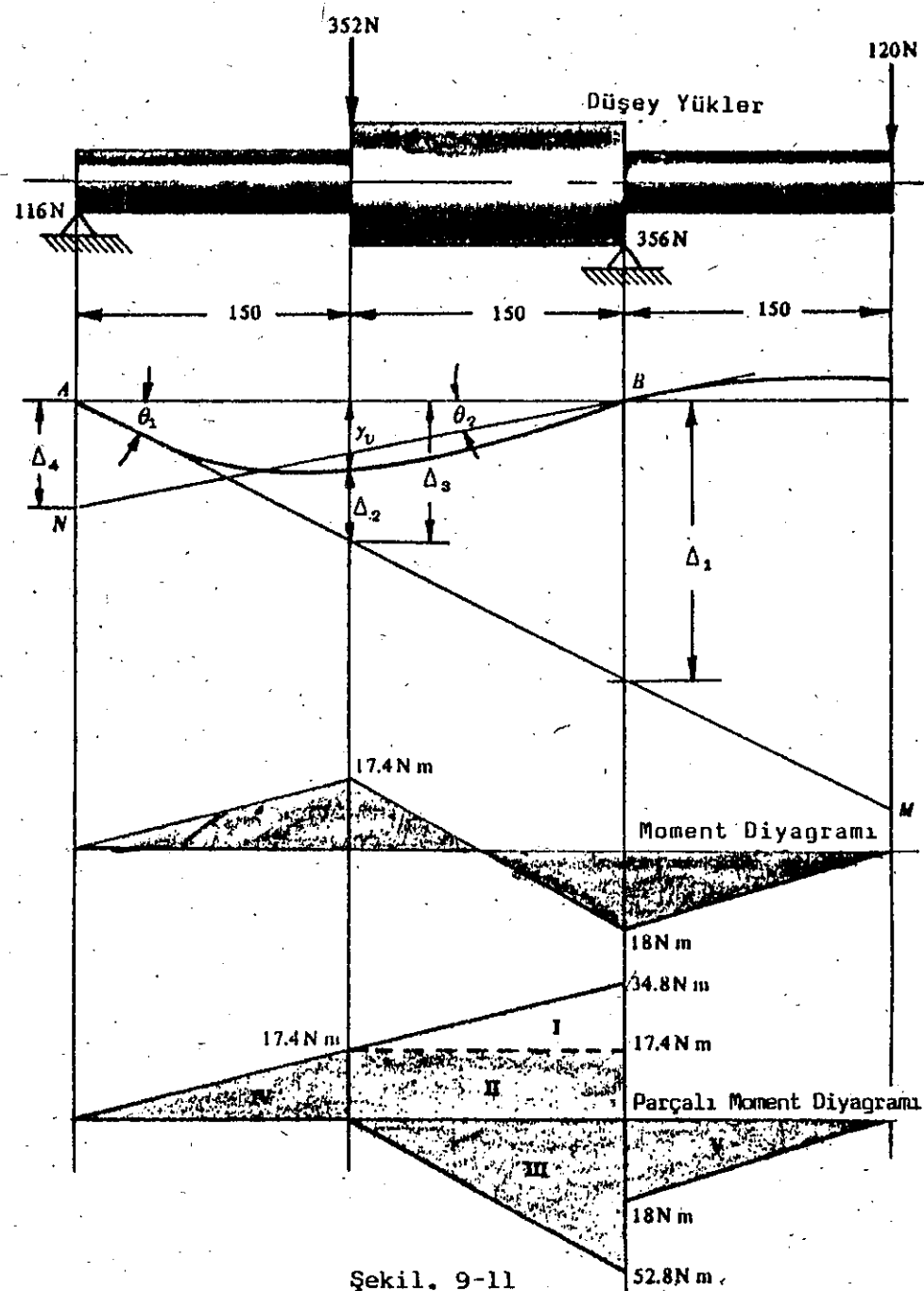
$$y_v = \Delta_3 - \Delta_2 = \frac{0,0677}{h_1} \quad (\text{Düsey düzlemede eş dişlideki sehim})$$

$$\tan \theta_1 = \frac{0,133}{0,15EI} = 0,887/EI \quad (\text{Düsey düzlemede, soldaki yatakdaki eğim})$$

$\Delta_4$  = IV, I, II ve III bölümleri için momentler alınarak bulunabilir.

$$\Delta_4 = \frac{(17,4)(0,15)(0,1)}{2EI} + \frac{(17,4)(0,15)(0,25)}{(2)(16)EI} + \frac{(17,4)(0,15)(0,225)}{16EI} - \frac{(52,8)(0,15)(0,25)}{(2)(16)EI} = \frac{0,126}{EI}$$

$\tan \theta_3 = \Delta_4 / (0,3) = 0,420/EI$  (Düsey düzlemede, sağdaki yatakdaki eğim)



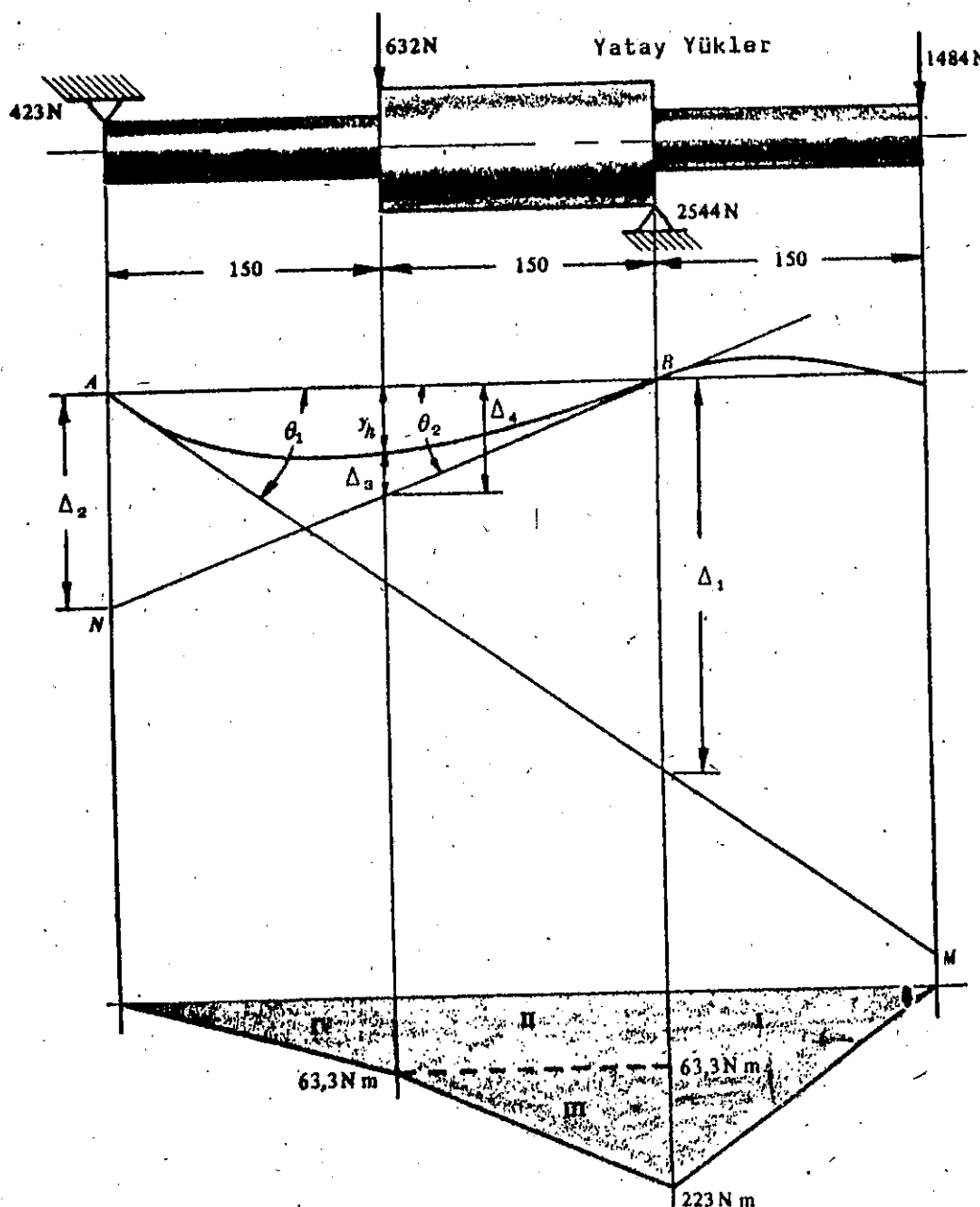
Şekil. 9-11

Sekil. 9-2'de görülen Şekil, yatay yüklemelere göre çizilmiştir. Elastik eğri ve A<sub>1</sub> ve B noktalarında tegetler çizilmiştir. Moment diyagramı çizilmiş ve I, II, III ve IV bölgelerine ayrılmıştır. Δ<sub>1</sub>, sağ yatağa göre, II, III ve IV bölümlerinin momentleri alınarak elde edilir.

$$\Delta_1 = \frac{(63,3)(0,15)(0,075)}{16EI} + \frac{(159)(0,15)(0,05)}{(2)(16)EI} + \frac{(63,3)(0,15)(0,2)}{2EI} = \frac{1,032}{EI}$$

$$\tan \theta_1 = \frac{1,032}{0,3EI} = 3,44/EI \quad (\text{Yatay düzlemede, soldaki yatakdaki eğim})$$

$$\Delta_2 = \frac{(63,3)(0,15)(0,1)}{2EI} + \frac{(63,3)(0,15)(0,225)}{16EI} + \frac{(159)(0,15)(0,25)}{(2)(16)EI} = \frac{0,795}{EI}$$



Şekil. 9-12

$$\tan \theta_2 = \frac{0,745}{0,3EI} = 2,65/EI \quad (\text{Yatay düzlemede, sağdaki yatakdaki eğim})$$

$$\Delta_3 = \frac{(63,3)(0,15)(0,075)}{6EI} + \frac{(159)(0,15)(0,1)}{(2)(16)EI} = \frac{0,119}{EI}$$

$$\Delta_4 = \frac{0,795}{2EI} = 0,398/EI \quad \text{oranlayarak}$$

$$y_h = \Delta_4 - \Delta_3 = \frac{0,398 - 0,119}{EI} = 0,279/EI \quad (\text{Yatay düzlemede, dişlideki sehim})$$

Dişlideki bileşke sehim, düşey ve yatay düzlemlerdeki sehimlerin vektörel toplamına eşittir.

$$y(\text{dişli}) = \frac{1}{EI} \sqrt{0,0677^2 + 0,279^2} = \frac{0,287}{EI}$$

Dişlideki sehim, 0,025mm lik değerle sınırlanmıştır. Sonradan,

$$\frac{0,287}{EI} = 0,025 \times 10^{-3}, I = \frac{0,287}{(0,025 \times 10^{-3})(200 \times 10^9)} = 57,4 \times 10^{-9} \text{ m}^4,$$

ile gerekli atalet momenti ve neticede,

$$\frac{\pi D^4}{64} = 57,4 \times 10^{-9} \quad \text{veya } D = 32,9 \text{ mm, bulunur. Bu değer } 0,025 \text{ mm lik dişli sehimini karşılamak için yeterli olacaktır.}$$

$$\text{Eğim} = \frac{1}{EI} \sqrt{0,887^2 + 3,44^2} = 3,55/EI \quad \text{bu da, tan } 1^\circ \text{ ile sınırlanmıştır.}$$

buradan,  $\tan 1^\circ = 0,0175 = 3,55/EI$  bulunur. Netice olarak,

$$I = 1,015 \times 10^{-9} \text{ m}^4 \quad \text{ve } D = 12,0 \text{ mm sol yatak için gerekli olur. Sağdaki yatakda,}$$

$$\text{Eğim} = \frac{1}{EI} \sqrt{2,649^2 + 0,420^2} = 2,68/EI \quad \text{bu, soldaki yataktan daha azdır.}$$

Yukarıdaki hesaplamaları özetleyecek olursak;

	Düşey	Yatay	Bileşke
Dişlideki sehim	0,0677/EI	0,279/EI	0,287/EI
Sol Yatakdaki eğim	0,887/EI	3,44/EI	3,55/EI
Sağ yatakdaki eğim	0,420/EI	2,65/EI	2,68/EI

Gerekli Mil Ölçüleri				
	Mukavemet düşünülürse	Dişlideki sehim'e göre	Yatakdaki eğime göre	Kritik hiza göre
D =	26mm	32,9mm	12,0mm	14,7mm
2D =	52mm	65,8mm	24,0mm	29,4mm

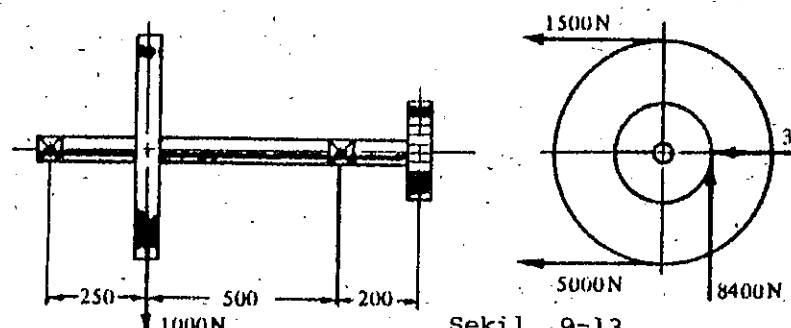
## Tamamlayıcı Problemler

13. Yatay bir kayışla 600mm lik bir kasnak çevrilmektedir. Makaranın tespit edildiği mile, dolayısıyla 250mm çapındaki bir pinyon dişliye de hareket aktarılmaktır, hareket neticede eş çalışan bir başka dişliye verilmektedir. Kasnak 1000N gelmekte ve volan gibi çalıştırılmaktadır. Elemanların yerleştirilmesi, kayıştaki çeki kuvvetleri ve dişinin pinyon üzerindeki reaksiyonun bileşenleri Şekil. 9-13'de gösterilmiştir.

(a) Düşey yükleme, düşey eğilme momentini, yatay yükleme, yatay eğilme momentini ve bileşik eğilme momentini şematik olarak gösteriniz.

(b)  $K_b = 2,0$  ve  $K_t = 1,5$  için ASME gerilme değerlerini kullanarak, gerekli mil çapını hesaplayınız.

Cev.  $M_r(\max) = 1050\text{ N m}$ ,  $M_b(\max) = 1784\text{ N m}$ ,  $d = 71,2\text{ mm}$



Şekil. 9-13

14. 900mm lik aralıktaki iki yataklı taşınan mil belli bir değerde güç taşımaktadır. Güç, sağ yataktaki 250mm çapındaki kasnak vasıtasyyla sağlanmaktadır. Milden de güç, yataklar arasındaki orta noktada bulunan 250mm çapındaki kasnakla alınmaktadır. Kayışlı çeviriciler birbirleriyle  $90^\circ$  açı yapmaktadır. Her iki kayışın gergin taraflı gevşek tarafi arasındaki çeki oranları 3:1 iken toplam çekinin gergin tarafta olduğu unutulmamalıdır. Toplam çeki değeride 2400N dur.

(a) Moment diyagramlarını çiziniz.

(b) Güç aktaran mil için gerekli ölçüleri tayin ediniz. (Kopma mukavemeti  $670\text{ MN/m}^2$ , çeki elastik limiti  $120\text{ MN/m}^2$ )  $K_b = 1,5$  ve  $K_t = 1,0$  dir.

(c) Burulmayı açı değeri cinsinden bulunuz.

Cev.  $M_r(\max) = 200\text{ N m}$ ,  $M_b(\max) = 753\text{ N m}$ ,  $d = 40,2\text{ mm}$ ,  $\theta = 0,391^\circ$

15. 2 metre uzunluğundaki bir çelik milin ortasındaki bir kasnak tarafından mile 1000N lük bir tork aktarılmaktadır. Milin sol tarafındaki bir dişli 800N lük, milin sağ tarafından sola doğru 300mm mesafede bulunan diğer bir dişlide mile 200N lük tork aktarmaktadır. Eğer mil çapı sol taraftan itibaren 1,2 metre için 50mm ve geri kalan kısmı da 40mm dir. Hesaplamanızda kama yuvalarının etkisini ihmal ediniz. Açısal sapmayı hesaplayınız.

Cev.  $0,405^\circ$

16. Bir milin yatay bir parçası 1,5 metre aralıkta bulunan iki yataktan tarafından taşınmaktadır. Kamalanmış dişlide kavrama açısı  $20^\circ$  dir. Dişli çapı 175mm ve sağ yataktan sola doğru 400mm mesafede monte edili haldedir. Hareketi hemen arkasındaki bir başka dişlidenden almaktadır. 600mm çapındaki kasnak, sol yataktan sağa doğru olmak üzere 600mm mesafede kama ile irtibatlanmış ve hemen arkasındaki başka

bir kasnağı yatay bir kayışla çevirmektedir. Kayıştaki çeki oranı 3:1 olup, gevşek taraf üsttedir. 330d/dk da 45kW aktarılmaktadır.  $K_b = K_t = 1,5$  alınacaktır.

(a) Değişme noktalarındaki değerleri göstererek moment diyagramlarını çiziniz.

(b) Gerekli mil çapını hesaplayınız.

(c) Açısal sehim derece cinsinden hesaplayınız.

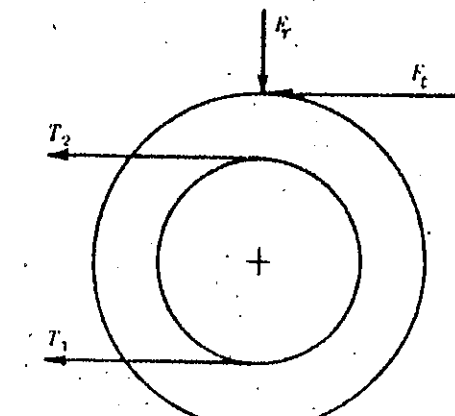
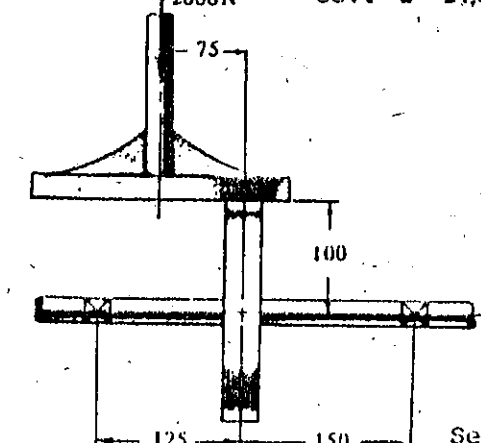
Cev.  $M_r(\max) = 1302\text{ N m}$ ,  $M_b(\max) = 4370\text{ N m}$ ,  $D = 95,5\text{ mm}$ ,  $\theta = 0,0571^\circ$

17. Burulma gözönüne alınacak olursa bir dolu mille içi boş milin aynı mukavemette oldukları bilinmektedir. İçi boş milin çapının, dolu milin çapından %10 daha büyük olduğu söyleniyor. İçi boş mille, dolu milin ağırlıkları arasındaki oran ne kadar olacaktır?

Cev. Boş milin ağırlığı dolu milin ağırlığının  $\approx 1,01$  iken

18. Kamı ile izleyici diskler arasında sürtünme katsayıları, Şekil. 9-14, 0,3 dür. Bu şartlar altında kamı çevirmek için gerekli tork, kam milinin sağ tarafından sağlanmaktadır. Kam, sulanmış ve temperlenmiş kopma gerilme mukavemeti  $550\text{ MN/m}^2$  olan malzemeden制造 edilmiştir. Akma noktası  $390\text{ MN/m}^2$  de olduğu bilinmektedir. Kam mil çapını hesaplayınız:  $K_b = 2,0$  ve  $K_t = 1,5$  dur. Mil çapını ihmal edip, yataktan yatağa kadar aynı kesitte olduğunu kabul ediniz. Izleyici en üst noktada iken maksimum efektif tork ortaya çıkmaktadır. (Şekil. 9-14)

Cev.  $d = 24,8\text{ mm}$



Şekil. 9-15

19. 900mm lik aralıktaki iki yataklı bir mili taşıımaktadır. 2000N gelen, 750mm çapındaki, 20 kavrama açılı dişli, sağ yataktan sağa doğru 200mm lik mesafede kamaya tespit edilmiştir. Ayrıca sol taraftaki yataktan 500mm sağda 300mm çaplı bir zincir dişli ve zincir ağırlığının bir kısmı mil alınmaktadır ve bu da 800N civarındadır. Zincirin gevşek tarafında herhangi bir çeki değeri olmadığını farzedelim. Dişli, üstündeki bir dişinden 210d/dk da 7kW lik güç alınmaktadır. 4kW ise milden zincir dişli aracılığıyla alınmaktadır, geri kalan ise, sol yatağın 150mm solundaki bir esnek kapılı yasasıyla milden alınmaktadır. Şekil. 9-15'de düzenlemenin sağdan görünüşü görülmektedir.

(a) Değişiklik noktalarındaki değerleri göstererek, eğilme momenti diyagramlarını çiziniz.

(b) Mukavemet gözönüne alınarak, sisteme kullanılan çelik milin çapını hesaplayınız.

(c) Yük altında olmak üzere, milin sol ucuna göre, sağ ucundeki açısal sehim derece olarak hesaplayınız. Kama yuvasının yaptığı ekiyi ihmal ediniz.

Cev.  $M_r(\max) = 318\text{ N m}$ ,  $M_b(\max) = 492\text{ N m}$ ,  $d = 48,2\text{ mm}$ ,  $\theta = 0,378^\circ$

20. 9,5mm aralıktaki iki yatak ve 90d/dk 10.000kW güç taşıyan bir mil gözönüne alınıyor. Milin dış çapı 450mm ve iç çapıda 300mm olup, mil 66.220N gelmektedir. Milde ortaya çıkan gerilmeyi ve yataklar arasındaki sehim hesaplayınız. Milin ağırlığını ihmal ediniz. Cev.  $s_s = 111 \text{ MN/m}^2$ ,  $\theta = 2,24^\circ$

21. Şekil. 9-16'da bir motor, ikaz motoru ve pinyon düzeni görülmektedir. Pinyon hemen altındaki dişliyi çevirmektedir. Motor 200 d/dk da 55kW güç üretmektedir. Uyarıcı 5,0kW yutmakta, gücün geri kalanı ise pinyona gitmektedir. Motor ve uyarıcı mile sıkı geçme ile tespit edilirken, pinyonun mile kama ile tespit edildiği biliniyor.

Böyle bir sistemde gerekli mil çapı ne kadar olur? (Sabit çaplı mil kullanılacak) mil malzemesinin kopma gerilmesi  $520 \text{ MN/m}^2$  ve akma gerilmesi  $330 \text{ MN/m}^2$ dir. Dişlilerde kavrama açısı  $20^\circ$  dir. Sıkı geçmeden ötürü ortaya çıkabilecek gerilme birikimlerini ihmal ediniz.

Değişme noktalarındaki değerleri ayrı ayrı yazarak, bütün moment diyagramlarını çiziniz.  $K_b = 1,5$  ve  $K_t = 1,5$

Cev.  $M_1 = 2626 \text{ Nm}$ ,  $M_b(\text{max}) = 7014 \text{ Nm}$ ,  $s_s(\text{məsələ edilən}) = 93,6 \text{ MN/m}^2$ ,  $d = 84,9 \text{ mm}$

22. 5,4mm uzunluğundaki ve 40mm çapındaki bir mil 500d/dk da dönerken giriş ucunda 10kW güç sahip olmaktadır. Giriş ucundan 2,4m de 6kW alınmakta, geri kalan 4kW ise diğer uçtan alınmaktadır.  $G = 80 \text{ GN/m}^2$  alarak, yükten dolayı bir üca göre diğer uçtaki açısal sapmayı buluz. Cev.  $\theta = 1,96^\circ$

23. 250mm çapındaki dolu bir milin deniz motoruna ait pervaneyi çevreleyen bildirilmektedir. Milin ağırlığını %70 kadar azaltmak gerektigine göre, aynı malzemeden yapılacak içi boş mil için ölçüler ne olacaktır? Cev.  $d_o = 438 \text{ mm}$ ,  $d_i = 416 \text{ mm}$

23. Sabit çaplı bir mil, 800mm aralıktaki iki yatak tarafından taşınmaktadır. Yataklar arasında iki kasnakın bulunduğu bildirilmektedir. Kasnaklar mile kama ile tespit edilmiştir. 80N gelen, 200mm çapındaki kasnak, sol yataktan 200mm sağda, diğer ise, 240N gelmekte ve çapı 400mm iken, sol taraftaki yataktan 550mm sağda monte edilmişlerdir.

Mil 900d/dk da dönmektedir. Kayışlardaki gergin ve gevşek kollar yatay ve birbirlerine paraleldirler. 200mm çapındaki kasnağa 18kW güç verilmektedir. 400mm çapındaki kasnaktan diğerine aktarılan gücün daha küçük eğilme momentine neden olması için uygun yerleştirme düşünülmüştür.

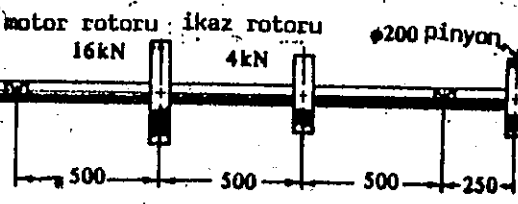
Kayıstaki gerilme  $2 \text{ MN/m}^2$  ile sınırlanmıştır. Kasnak çapıyla kayış kalınlığı arasındaki oran, 30 dur. Kayış kalınlığı 6mm olacaktır. Kasnakla kayış arasındaki sürtünme katsayısı 0,3 tür.

Mil sıcak haddelenmiş bir çelikten mamul olup, kopma gerilmesi  $550 \text{ MN/m}^2$  ve akma noktasında  $340 \text{ MN/m}^2$ dedir.

Darbe söz konusu değildir. Yükleme sürekliidir.

Mukavemet ve kritik hız gözönüne alınarak, gerekli mil çapını hesaplayınız. Mukavemet hesaplarında kasnakların ağırlıklarını ihmal ediniz.

Cev. Mil çapı = 33,88mm. Bu çapta kritik hız = 2276d/dk, bu değer emniyetli olarak çalışma devrinin üstündedir. 80N gelen kasnakta statik sehim 0,141mm ve 240N gelen kasnakta ise, 0,181 dir.



Şekil. 9-16

10

## Kaplin Dizaynı

**KAPLİNLER**, milleri birbirlerine veya çevirici bir makinenin çevrilen başka bir makineye irtibatlanmasını sağlar. Sürekli bağlama için yapıılır. Kavramlardaki durum bunlardakinin tam tersi şekildedir. Kavramalar ayrı bir bölümde inceleneciktir.

**KAPLİNLERDE SINİFLAMA**, rigid veya esnek dizaynları gözönüne alınarak yapılır.

### (A) Rigid Kaplinler:

Flanşlı kaplin, baskılı veya konik burçlu kaplin şeklinde olurlar. Bu türdeki kaplin, düşük hız, hassas bir şekilde salgısı kontrol edilen millerde kullanılır.

### (B) Esnek Kaplinler:

Falk esnek kaplini, Oldham kaplini, dişli tipli esnek kaplin, makaralı veya zincirli kaplin şeklinde olurlar.

#### Esnek Kaplinler;

- Hesaba katılmamış salgı kaçıklıklarını ortadan kaldırır.
- Milin eksenel hareketini karşılamak,
- Güç aktarımında ortaya çıkabilecek darbelerin yayları, çıkabilecek titreşimlerinde kaplinin kendisi tarafından karşılaşmak için kullanılır.

Kaplinler kullanım yerlerine göre sınıflandırılırlar. Tespit edildikleri millerin eksenleriyle olan ilişkileri gözönüne alınması gereken faktörler arasındadır.

- Millerin eksenleri aynı hat üzerindedir.
- Millerin eksenleri kesişmekte, (Universal tipinde birçok bağlantı şekili mevcuttur.)
- Millerin eksenleri paralel ama, birbirleriyle aynı hat üzerinde değildirler. (Oldham kaplini içindeki kayıcı elemanıyla kullanılabilir. Kaymadan dolayı ortaya çıkan aşırı yük halinde kullanılmalıdır.)

Rigid kaplin mildeki eğilme naklettiğinden, yorulmaya neden olabilecek gerilmeler çıkabilir. Ondan dolayı, iyi bir salgı kontrolü ve kaplinin iyi bir yere yerleştirilmesiyle eğilme moment pratik olarak sıfır olabilir. Böylece, rigid kaplinler, esnek kaplinlerde olduğu gibi, sadece burulma için kontrol edilirler.

Her ne kadar standart kaplinlerin satın alınması imalatçıdan yapılabilirse de, çeşitli elemanların analizleri ve birbirlerine göre durumları, tek bir makine parçasına tatbik edilen, makine dizayn prosedürlerinin göstergemini sağlayacaktır.

# Çözümlü Problemler

1. Rigid flanşlı bir kaplinde delik çapı 50,00 mm dir. Dört adet işlenmiş civata Ø125mm lik çap üzerinde yerleştirilmişlerdir. Delikler rayba çekilmişlerdir. Malzemesinden yapılmıştır. Civatalar 550 MPa'ya, akma noktası çekmede, 345 MPa olmaktadır. Burulma halinde mille beraber aynı değere sahip olacak şekilde, civatalar için gerekli ölçülerini tayin ediniz. Kaplinin yarısını gösteren Şekil. 10-1'e bkz.

Çözüm:

- (a) Mil kapasitesi, ASME mil standardından hesaplanacağı üzere,

$$D^3 = \frac{16}{\pi s_y} M_t K_t$$

Burulmada, dolu mil için, mil ifadesi, bulunduğuuna göre,

$$(0,05)^3 = \frac{16}{\pi(0,18 \times 550 \times 10^6)(0,75)} M_t K_t \text{ veya } M_t K_t = 1,823 \text{ kNm}$$

$s_y / (0,18) s_y$  den küçük olmak şartıyla  $= 0,18(550) = 99 \text{ MPa}$   
ve  $(0,3) s_y = 0,3(345) = 103,5 \text{ MPa}$

Kama yuvalarının etkisi için 0,75 katsayısı alınabilir.

- (b) Kaplin dönde ve  $K_t$  yorulmaya nüzarî itibare alınarak dizayn edilebilirki  $K_t = 1$  veya  $(M_t K_t)$  sadece çarpan olarak alınabilir. Bu değer analiz süresince kullanılacaktır. Aynı netice elde edilebilir.

- (c) Civataların analizi aşağıdaki şekilde değişik yollardan birisine göre yapılabilir:

- (1) Civataların elle sıkıştırıldığını kabul ediniz. Yük, kaplinin ilk parçasından ikinci parçاسına, civata gövdesindeki uniform kesme gerilmesiyle aktarılmaktadır.

- (2) Civataların elle sıkıştırıldığını kabul edelim. Yük, kaplinin ilk parçasından ikinci yarısına aktarılmasına neden olan civata tanın gövdesindeki maximum kesme gerilmesi, ortalama kesme gerilmesinin  $4/3$  katına eşittir.

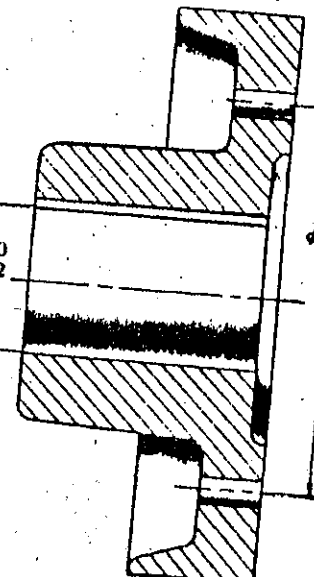
- (3) Civatalar öyle sıkılmaktadır ki, kaplinin birinci yarısından ikinci yarısına güç, sürtünme marifetiyle aktarılmaktadır.

- (4) Civataların sıkıştırıldığını kabul ediniz. Güçün bir kısmının sürtünme nedeniyle diğer kısmının ise civatalardaki kesmeden dolayı aktarılmaktadır.

- (1) ve (2) de, delinmiş ve rayba çekilmiş delikler için kullanılan civataların yükü eşit olarak paylaştıklarını kabul ediniz. (Civatalar boşluklu deliklere yerleştirilirse, civataların yarısının efektif olduğu yaygın bir uygulamadır.)

- (d) (1) i kullanarak, konservatif olarak, dizaynda,  $M_t K_t = s_y (\frac{1}{4} \pi d^2) (\frac{1}{4} D_{BC}) (n)$  veya  $1,823 \times 10^3 = 0,18 \times 550 \times 10^6 (\frac{1}{4} \pi d^2) (0,125/2)(4)$ , burada,  $d = \text{musaade edilen kesme gerilmesi, N/mm}^2$

$s_y = \text{Civatanın çapı, m (Gövde çapı)}$



Şekil. 10-1

$D_{BC} = \text{Civata dairesi çapı, m}$

$n = \text{Delinmiş ve rayba çekilmiş delikler için kullanılacak civata sayısı.}$

(Not: ASME mil standartından alındığı üzere, civata için aynı  $s_y$  kullanılacaktır.) Böylece M10 civatâ kullanınız.

(e) Yukarıdaki (2)yi kullanarak,  $M_t K_t = s_y (\frac{1}{4} \pi d^2) (\frac{1}{4} D_{BC}) (n)$ , buradanda,  $d = 0,00112 \text{ m}$  ve M12 civatanın kullanılacağı söylenebilir,

(f) Bir sonraki problem çözümü (3. maddeyi kullanarak) gösterecektir.

2. Rigid kaplin dizaynında, civataların kullanımla gevşediği ve kaplinin kapasitesi, kısmen civatalardaki kesmeye göre ele alınacak gerilme esas alınarak tayin ediliir. Civataların sıkıştırılma etkileri, sürtünme güç aktarımının temeli olamak şartıyla, çoğu zaman ihmal edilebilir. Mâmâfîh, bu problemdeki ana gaye, bu türdeki bir kaplinin kapasitesini, sürtünme esas alınarak hesaplanmasıdır.

Flanşlı kaplinin aşağıda verilen özelliklere sahip olduğunu kabul edelim.

Civata sayısı, 6

Civata ölçüsü, 12 mm çap

Civatalardaki yükler, 22 kN, her civatada,

Temas noktasına ait iç çap, 175 mm

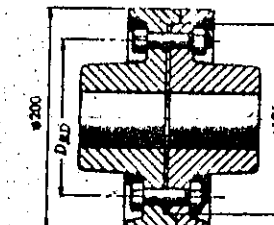
Temas noktasına ait dış çap, 200 mm

Kaplinin dönüş hızı, 300 d/dk

Sürtünme katsayısı, 0,15

Mil çapı, 50 mm

Mil malzemesi, 40,45 çelik, tavlanmış, kopma gerilmesi 586 MN/m ve akma noktası 310 MPa dedir.



Şekil. 10-2

Civatalar kaplindeki deliklere boşluklu yerleştirilmiştir. Şekil. 10-2'ye bakınız.

(1) Temas yüzeylere arasında kayma başladığı andaki sürtünme esas alınarak, bulunacak maximum güç kapasitesi,

(2) Mil gücüyle sürtünme gücünü kıyaslayınız. Sürekli yük halini ve milin sadece burulmaya maruz kaldığını kabul ediniz.

Çözüm:

- (a) Sürtünme esaslı tork değeri, (kavramalar bahsine bakınız).

$$M_f = F f R_f = 6 \times 22.000 (0,15) (0,0939) = 1859 \text{ Nm}$$

burada  $F = \text{Civata yüklerinden dolayı ortaya çıkan eksenel yük, } 132 \text{ kN}$

$f = \text{Sürtünme katsayısı} = 0,15$

$$R_f = \text{Sürtünme katsayısı} = \frac{2}{3} \left( \frac{R_o^3 - R_i^3}{R_o^2 - R_i^2} \right) = \frac{2}{3} \left[ \frac{0,1^3 - 0,0875^3}{0,1^2 - 0,0875^2} \right] = 0,0939 \text{ m.}$$

Bu basıncını uniform olarak dağıldığını göstermektedir.

$$\text{Sürtünme gücü} = \frac{2\pi M_f N}{60} = \frac{2\pi (1859) 300}{60} = 58,4 \text{ kW}$$

- (b) Mildeki tork değeri,

$$M_f = s_y D^3 / 16 = 93 \times 10^6 (0,75) \pi D^3 / 16 = 1,712 \text{ kNm}$$

$s_y (0,18)(586)$  den küçütür, yani 105 MPa ve  $0,3(310) = 93 \text{ MPa}$ .

0,75 katsayısının, gerilme konsantrasyonunu karşıladığı unutmayın.

$$\text{Mil gücü} = \frac{2\pi M_f N}{60} = \frac{(2\pi) 1712 (300)}{60} = 53,7 \text{ kW}$$

- (c) Verilen özellikler için, kaplin sürtünme esas alınırsa ( $58,4 \text{ kW}$ ), bu değerin mil gücünden daha büyük ( $53,7 \text{ kW}$ ) olduğu görülmektedir.
3. 1. ve 2. Problemlerde, kaplinin aktaracağı gücüri aktarmak için gerekli çap hesaplarıyla uğraşmıştır. Bu problemde, flanşlı kaplinde gerekli parçalar arasındaki oranlar üzerinde durulacaktır. (a) Göbek çapı,  $D_H$ , (b) Kuşak,  $t$ , kalınlığı, (c) flanşın  $h$  kalınlığını, tayin için gerekli ifadeleri kurunuz ve ilgili bağıntıları çıkarınız. (Şekil. 10-3)

**Cözüm:**

- (a) Göbek çapı, oranlamayla bulunur. Göbek çapı, mil çapının  $\frac{1}{4}$  ilâ 2 katı kadar olur. Böylece,

$$D_H \approx \frac{1}{4} D_S \text{ ilâ } 2 D_S$$

- (b) Minimum kalınlık,  $t$ , iki nedene göre tayin edilecektir. (1) Kuşağın kesilmeye zorlanması (2) Kuşak ve civatanın yataklanması, civatalar elle sıkıştırılmış ve civatalar kuşağa bastırılmış kabul edilir.

(1) Kuşaktaki kesme: Kuşağın tork kapasitesi, minimum alanın kesmesine bağlıdırki bahis konusu kesme, göbekle birleşme noktasında ortaya çıkmaktadır.

$$M_t = s_s (\pi D_H t) \frac{D_H}{2} \text{ veya } t = \frac{2M_t}{\pi s_s D_H^2}$$

Genellikle yukarıdaki ifadelerden,  $t$ , değeri çok küçüktür ve dökümde karşılaşılacak zorluklardan dolayı, hesaplanandan daha büyük değerleri kullanılması zorunluluğu ortaya çıkar.

- (2) Civata ve Kuşağın Yataklanması: Yatakdaki tork değeri,

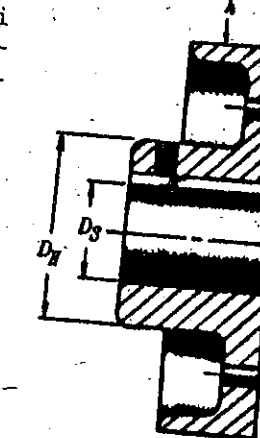
$$M_t = s_B (dt) \frac{D_{BC}}{2} n \text{ veya } t = \frac{2M_t}{s_B d D_{BC} n}$$

burada,  $s_B$  = izdüşürümüş alan için civata ve kuşak için müsaade edilen yatak basıncı, (hangisi zayıfsa)  $\text{N/m}^2$ ;  $D_{BC}$  = Civata çapı,  $\text{m}$

$n$  = Civata sayısı, raybalanmış delik halinde civataları tamamı, boşluklu halde civata sayısının yarısı alınır. Bu kabul ihtiyaridir. Fakat dizayn sonuçlarını etkileyebilir.

- (c) Flans kalınlığı döküm gereksinimleri ve diğer oranlara bağlı olarak çıkarılır. Şekil. 10-4'de görüldüğü üzere, FALK tipindeki bir kaplin, iki adet  $025 \text{ mm}$  çapındaki mile kamalanmıştır. (Kamalanmamış miller için  $s_s = 55 \text{ MPa}$  den itibaren bağlayıcı şerit  $40 \text{ mm}$  boyunda ise,  $0,25 \text{ mm} \times 2,5 \text{ mm}$  ölçüsüne 1045, suda su verilmiş ve  $315^\circ$  de çekilmiş) ASME standartlarına göre, bağlayıcının mukavemeti milin mukavemetinin  $\frac{95}{100}$ 'i kadardır.  $10 \text{ kW}$  da, bu kaplini hangi sınıfı incelersiniz.

Suda, su verilmiş ve  $315^\circ$  de çekilmiş çelik için, Kopma mukavemeti değeri  $10 \text{ MPa}$  ve akma noktasında gerilme  $786 \text{ MPa}$  dir.



Şekil. 10-3



Şekil. 10-4

**Cözüm:**

- (a) Mildeki tork değeri,  $s_s = 41 \text{ MPa}$  alınarak, kama yuvası için gereken tolerans tanınarak,  $M_t = s_s \pi d^3 / 16 = 41 \times 10^6 \pi (0,025)^3 / 16 = 125,8 \text{ Nm}$

- (b) Sargı şeritlerinin sadece kesmeye maruz kaldıklarını kabul ediniz. Sargıdaki tork değeri,

$$M_t = s_s t h R_f m \text{ veya } 0,95(125,8) = (0,18 \times 10^9)(0,25 \times 2,5 \times 10^6)(0,04)(n)$$

$s_s$  = Müsaade edilen kesme gerilmesi, kopma gerilmesinin  $0,18$  i kadar alınır. ASME ye göre veya  $0,18 (10^9) \text{ N/m}^2$

$t$  = Çelik şerit kalınlığı,  $0,25 \text{ mm}$

$h$  = Çelik şerit yüksekliği,  $2,5 \text{ mm}$

$R_f$  = Mil çapından sargıya olan mesafenin yarıçapı.

$n$  = Sargı sayısı

Yukarıdaki ifadeyi gözerek,  $n = 26,6$  bulunur ve 28 sargı alınır.

- (c) 28 sargı için tork teğeri,  $M_t = s_s t h R_f m = (0,18 \times 10^9)(0,25 \times 2,5 \times 10^6)(0,04)(28) = 126 \text{ Nm}$

Emniyetli güç değeri ise,  $= \frac{2\pi M_t N}{60} = \frac{2\pi (126,8)(950)}{60} = 12,5 \text{ kW}$ . Böylece,

kişi  $10 \text{ kW}$  lik bir kaplini  $25^\circ$  lik aşırı yüklemeyle dizayn edebilir.

5. Bir üniversal kaplin (Üniversal bağlantı veya Hooke bağlantısı), birbirleriyle aynı hat üzerinde bulunmayan iki mili irtibatlamaya yarar. (Şekil. 10-5). Çıkış milinin açısal hızı, giriş milinin açısal hızına eşit değildir. Böyle bir durum için giriş ve çıkış milleri aynı eksende değildirler. Hızlar arasındaki bağıntı,

$$\frac{N_{S_2}}{N_{S_1}} = \frac{\cos \theta}{1 - \cos^2 \alpha \sin^2 \theta}$$

$N_{S_2}$  = Çevrilen milin açısal hızı,

$N_{S_1}$  = Çeviren milin açısal hızı,

$\theta$  = Mil eksenleri arasındaki açı,

$\alpha$  = Çevirici mil catalanının pimi iki milin düzlemi içindeki konumuya, çevirici mil arasındaki açıdır.

$S_1$  miline  $40 \text{ Nm}$  tork tatbik edilmektedir.  $S_1$  ise çıkış milini göstermekte ve ikisi de aynı yatay düzlem içinde bulunmaktadır.

- (a) Şekil. 10-5'de görülen konum için  $S_2$  deki torku hesaplayınız.

- (b) Müsaade edilen çekme gerilmesi  $140 \text{ MPa}$  ve beher alanda müsaade edilen yatak direnci (gerilmesi)  $14 \text{ MPa}$  için, bağlama hilalindeki pimin boyutunu hesaplayınız. Müsaade edilen kesme gerilmesi ise,  $70 \text{ MPa}$  dir.

- (c) Y-Y ekseninden  $50 \text{ mm}$  mesafede bulunan E-E kesitindeki maximum kesme gerilmesi değerini hesaplayınız.

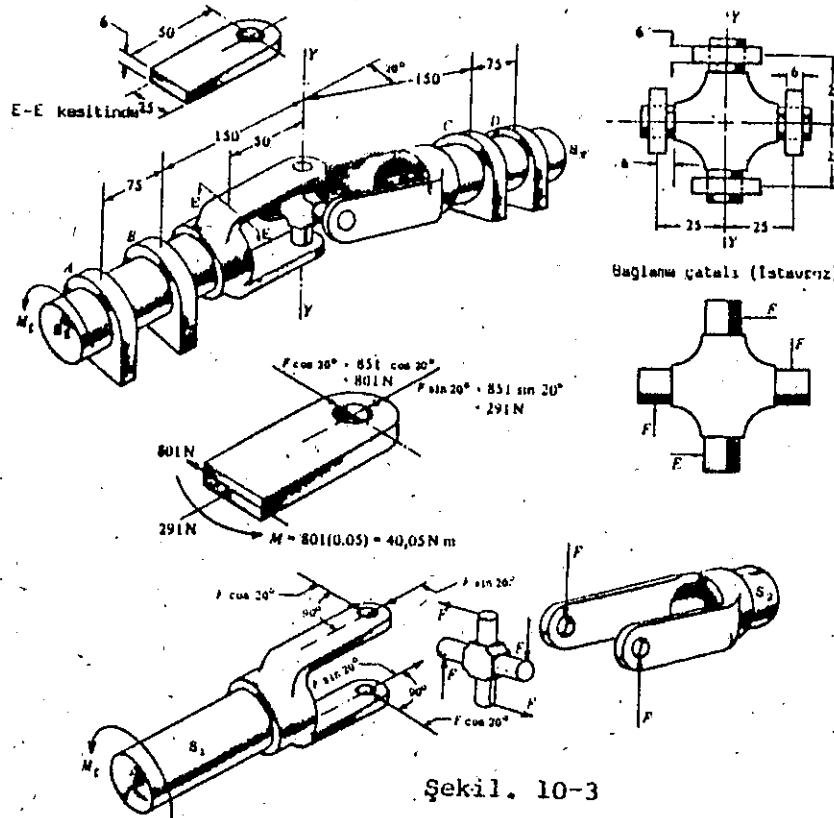
**Cözüm:**

- (a)  $S_2$  deki torku hesaplamak için çeşitli yollar vardır. Bir metod da çatal incelenmektedir. Bunun için denge denklemleri kullanılır ve çatal düzlemine etkiyen kuvvetler hesaplanır.  $F$  de olduğu gibi her kuvvetin çatala etkidiğini düşünelim.  $S_1$  üzerine etkiyen  $F$  kuvvetinin bileşenleri,  $F \cos 20^\circ$  ve  $F \sin 20^\circ$  dir. Çatalın hareketinden dolayı,  $S_1$  mili üzerindeki tork,  $M_t = 40 = (F \cos 20^\circ) (0,05)$ , buradan da,  $F = 851 \text{ N}$  bulunur.  $S_2$  mili üzerindeki tork ise,  $0,05F = (851)(0,05) = 42,6 \text{ Nm}$  olur. Gösterilen konum için,  $S_2$  mili burulmaya ve  $S_1$  mili ise burulmanın yanısıra eğilmeye maruzdur. Eğer  $S_1$  mili  $90^\circ$  çevrilecek olursa,  $S_1$  mili sadece burulmaya tabii olacaktır. Bu arada  $S_1$  mili hem eğilmeye hem de burulmaya maruz kalacaktır.

İkinci metoda, torkun hesaplanması için açısal hızlar arasındaki bağıntıdan faydalananır. Sürümme kaybı olmaksızın, giriş gücünün, çıkış gücüne eşit olması gereklidir.

$$\frac{2\pi T_{S_1} N_{S_1}}{60} = \frac{2\pi T_{S_2} N_{S_2}}{60} \quad \text{veya } T_{S_1} N_{S_1} = T_{S_2} \left( N_{S_1} \frac{\cos \theta}{1 - \cos^2 \alpha \sin^2 \theta} \right)$$

Sonra,  $T_{S_1} = 40 \text{ Nm}$  için  $\theta = 20^\circ$  ve  $\alpha = 90^\circ$  için,  $T_{S_2} = 40 / (\cos 20^\circ) = 42.6 \text{ Nm}$  elde edilir. Çıkış torku, bu kuvvet analiziyle uyusmaktadır.



Şekil. 10-3

(b) Pimlerin boyutu, maximum yükle bağlıdır. Bu da gösterilen konumda ortaya çıkar. Maximum pim yükü 851N'dır.

$$(1) \text{ Mukavemet sınırlına göre pim çapı, } s_p = \frac{F}{A} = \frac{F}{0,006d}, 14 \times 10^6 = \frac{851}{0,006d}, d = 10 \text{ mm}$$

$$(2) Eğilmeye göre pim çapı, s_p = \frac{Mc}{I}, 140 \times 10^6 = \frac{851 \times 0,006(\frac{1}{4}d)}{(\pi/64)d^4}, d = 7,2 \text{ mm}$$

$$(3) Enine kesmeye göre pim çapı, s_p = \frac{4}{3} \frac{F}{A}, 70 \times 10^6 = \left(\frac{4}{3}\right) \left(\frac{851}{4nd^2}\right), d = 4,6 \text{ mm}$$

Böylece, mukavemet sınırlına göre bulunan d çapı en küçüktür. 10mm lik pim yeterli olacaktır.

(c) E-E kesitindeki maximum basma gerilmesi,

$$s_p = \frac{Mc}{I} + \frac{P}{A} = \frac{801(0,05)(0,0125)}{0,006(0,025)^3/12} + \frac{291}{0,006 \times 0,025}$$

$$\text{Maximum kesme} = \frac{1}{2}(65,9) = 33 \text{ MPa}$$

## Tamamlayıcı Problemler

6. Rigid flanslı bir kaplin, raybalanmış deliklere takılacak 5 adet civatayla kullanılacaktır. Civataların bulunduğu daire çapı 150mm

dir. Miller çelikten制造 olup 50mm çapındadır. (Müsaade edilen kesme gerilmesi = 55MPa, kama yuvaları ele alındığında 41MPa).

(a) Civatalar gevşetilmiş ve kesme gerilmesi uniform olarak dağılmış halde,

(b) Civatalar gevşetilmiş ve maximum kesme gerilmesi, civatadaki ortalama kesme gerilmesinin 4/3 katı kadardır, denilmektedir. Bu şartlar altında standart civata çapını tayini ediniz.

Civatadaki ortalama kesme gerilmesi 69MPa'dır.

Cev. (a)  $d = 7,04 \text{ mm}$ , M8'i kullanınız, (b)  $d = 8,13 \text{ mm}$  M10'u kullanınız.

7. Flanslı bir kaplin 50mm çapındaki iki mili birbirine irtibatlamaktadır. Mil aynı malzemeden olmak üzere, kaplin kuşağı birbirine 4 adet civata ile yaklaştırılmaktadır. Civatalar deliklerde boşluklu halededir. Civataların bulunduğu dairesinin çapı 240mm'dir. Kuşak kalınlığı 22mm'dir.

(a) Milin aktaracağı tork kadar civataların aktaracağı düşünülerek gerekli civata çapını hesaplayınız. (b) Sürekli yük şartlarında, 200d/dk daki dönüş halinde aktarılacak güç ne kadar olur?

Civata somunlarının çalışma esnasında gevşeyebileceğini düşünerek işe başlayınız.

Cev. (a) Civata çapı = 9,76mm M10'u kullanınız. (Kesme gerilmesi uniform kabul edilmiştir.) Yatağa göre yapılacak dizaynda civata çapı 1,74mm müsaade edilen yatak başıncı, müsaade edilen kesmeye göre iki katı kadardır. Yatağın durumu dizaynı etkilememektedir.

(b) Sürekli yük şartlarında 21,1kW (Tork değeri = 1006N m).

8. Rigid bir kapline ait her parça bir mil üzerinde birbirlerine kama vasıtasiyla irtibatlanmaktadır. Mil çapı,  $D$  ve Mil boyu  $1,25D$  dir. Kullanılan kama kare kesitlidir. 5D çapındaki civata dairesinde 5 civata bulunmaktadır. Kaplin, civatalar, mil ve kama aynı malzemeden制造 mamilidir.

(a) Kaplini, mildeki tork kadar mukavemetli yapabilmek için,  $d$  civata çapını  $D$  cinsinden hesaplayınız.

(b) Şaftaki torkun tamamını aktarma halinde, kama boyutu  $D$  cinsinden ne olabilir?

Cev. (a) Kesme uniform olmak üzere,  $d = 0,122D$  ve Max kesme = 4/3 ortalama,  $d = 0,141D$  (b) En = Kalınlık = 0,2.  $D$

9. Flanslı bir kaplinin iki parçası birbirine 20mm lik 6 civata ile bağlanmıştır. Mil çapı 100mm ve civataların bulunduğu dairesinin çapı 250mm'dir. Mil ve civata malzemesinin kopma gerilmesi ve basma mukavemeti 440MPa ve kopma mukavemeti 330MPa'dır. 180d/dk da bahis konusu mil kaplin kombinasyonu ile aktarılacak güç ne kadar olabilir? Mil üzerindeki eğilmeye çalışan yükü ihmal ediniz. Sürekli yük şartlarının geçerli olduğunu kabul ediniz.

Cev.  $P = 176 \text{ kW}$  (Civataların tork kapasiteleri = 9,33kN m, uniform kesme gerilmesi dağılımını kullanınız ve mildeki tork kapasitesi ise 11,7kN m).

10.  $M_t = 40 \text{ N m}$  değerindeki tork  $S_1$  miline tatlık edilmektedir.  $S_1$ , bir kardan kavramasına ait bir mildir.

(a)  $S_2$  milindeki torku hesaplayınız.

(b) Bağlantı çatalındaki pimlere gelen kuvveti hesaplayınız.

(c) A, B, C, ve D deki reaksiyonları hesaplayınız.

Şekil. 10-5'e bakınız. Görülen şekilde  $S_1$  milini  $90^\circ$  çeviriniz.

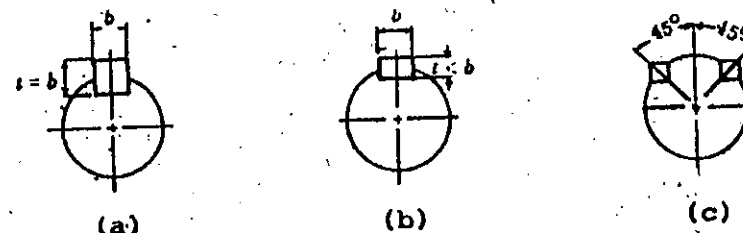
Cev. (a) 37,6N m (b) 800N (c) A deki kuvvet = 0, B deki = 0, C deki 182N, D deki = 182N.

# 11

## Kamkalar, Pimler ve İçten Kamalı Miller

**KAMALAR**, mil ile ona bağlı eleman arasındaki relatif hareketi önlemek için kullanılır. Dışlıler, kasnaklar, vb. sıkı geçme ile tespit edilseler bile, torkun tamamının aktarılabilmesi için kama kullanılması tavsiye edilir.

**KAMALarda ÇOK GÖRÜLEN TIPLER**, Şekil. 11-1(a)'daki kare kesitli kama, Şekil. 11-1(b) düz kama, Şekil. 11-1(c)'deki Kennedy kaması ve Şekil. 11-1(d)'deki Woodruff kaması şeklindedir.



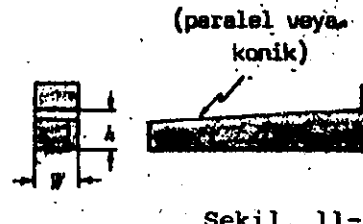
Şekil. 11-1

Kare kesitli ve düz kamalarda en, genellikle milin dörtde birine eşit alınır. Bu kamalar düz oldukları gibi 0,6 derece konikliğinde sahip olabilirler. Şekil. 11-3'de burunlu kama gösterilmiştir. Eksenel hareket mil ile bununla eş çalan diğer bir eleman arasında gerekliyorsa o takdirde feder kama ve içten kamalı mil kullanılabilir. Kamalar ve içten kamalı miller için BS ve ISO standartları mevcuttur.

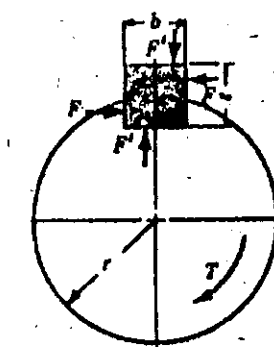
**KARE VE DÜZ KAMALARIN DİZAYNI**, aktarılacak torkdan dolayı ortaya çıkan kesme ve basma gerilmelerine dayanılarak yapılır. Kamada etkili olan kuvvetler Şekil. 11-3'de gösterilmiştir. Tatbik edilen  $F'$  kuvvetleri kamanın, kama yuvasından çıkışmasını engellemektedir.  $F'$  kuvvetinin etkime noktası tam olarak bilinmez ve mil yüzeyine teget boyunca etkidiği kabul edilir. Bu kuvvet kamada, kesme ve basma gerilmeleri doğurmaktadır.

Mildeki  $T$  torkuna karşı koyan kuvvet yaklaşık olarak,  $T = F'r$ , ile bulunur.  $r$ , mil yarıçapıdır. Kamadaki kesme gerilmesi,  $s_t$ ,

$$s_t = \frac{F}{bL} = \frac{Fr}{bLr} = \frac{T}{bLr} \quad L \text{ kama boyudur.}$$



Şekil. 11-2



Şekil. 11-3

Kesme düşününlerek, kamanın karşılayabileceği mil torku,

$$T_s = s_t b L r$$

Kamadaki basma gerilmesi,  $s_c$

$$s_c = \frac{F}{(t/2)L} = \frac{Fr}{(t/2)Lr} = \frac{T}{(t/2)Lr}$$

Basma düşününlerek, kamanın karşılayabileceği mil torku,

$$T_c = s_c (t/2)Lr$$

Kare kama için, kesme ve basma düşününlerek ele alınacak tork değerinin, mildeki tork değerinin aynısı olduğu bilinmelidir. Bu çözüldükçe ispat edilebilir. Bunun içinde iki tork ifadesinin eşitliği sağlanır ve  $s_c = 2s_t$  bağıntısının varlığından faydalananır. (Sünec malzemeler için) Bu aynı esaslar dahilinde, düz kamalarda, derinliklerinden daha geniş olmaları göz önünde tutularak, bunların basma halinde başarılı olamayacağı aşikardır. Federlerde ise, derinlikleri enlerinden daha büyük olmak şartıyla, kesme halinde başarılı olamazlar.

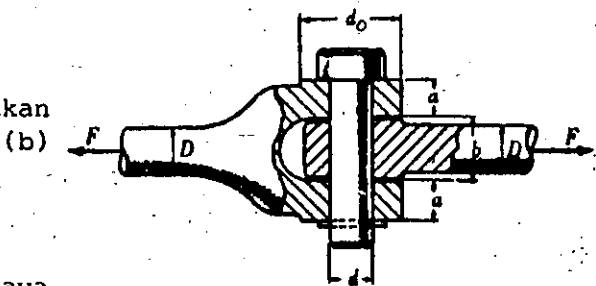
**PİMLER**, oynak mafsallarda kullanılır. Şekil. 11-4(a)'da görüldüğü üzere, çekme veya basma mevcut iki çubuğu bağlanmasıyla yararlanılmaktadır.  $F$ , aşırı yükü, mafsalın görevini aksatmasına neden olabilir. Bu gerilmeler,

1. Çubuktaki çekme gerilmesi;

$$s_t = \frac{df}{\pi D^2}$$

2. Yuvaladaki net alanda ortaya çıkan çekme gerilmesi (Şekil. 11-4(b)) ye bakınız.

$$s_t = \frac{F}{(d_o - d)b}$$



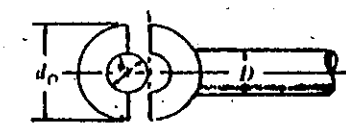
(a)

3. Yırtılmadan dolayı, yuva ortaya çıkabilecek kesme gerilmesi, Şekil. 11-4(c)'ye bakınız.

$$s_s = \frac{F}{b(d_o - d)} \text{ yaklaşıklık}$$

4. Köprücük veya çataldaki net alanda ortaya çıkan çekme gerilmesi:

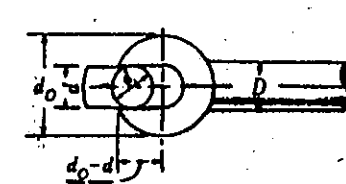
$$s_t = \frac{F}{(d_o - d)2a}$$



(b)

5. Yırtılmaya göre, çataldaki kesme gerilmesi:

$$s_s = \frac{F}{2a(d_o - d)} \text{ Yaklaşıklık}$$



(c)

6. Yuvaladaki basma gerilmesi, pimdeki dayanma basınçına göre,

$$s_c = \frac{F}{db}$$

7. Çataldaki basma gerilmesi, pimdeki dayanma basınçına göre,

$$s_c = \frac{F}{2da}$$

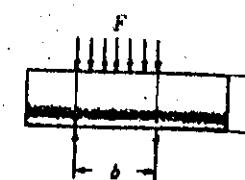
8. Pimdeki kesme gerilmesi,  $s_s = \frac{F}{A} = \frac{2F}{\pi d^2}$

Şekil. 11-4

9. Pimdeki eğilme gerilmesi, pimin Şekil. 11-5'de görüldüğü gibi yüklenmiş ve taşınmakta olduğu kabulüne dayanmaktadır.  $M_b$  maximum eğilme momenti, pim merkezinde ortaya çıkmaktadır.

$$M_b = Fb/8, I = \pi d^4/64, c = d/2, \text{ ve } s_b = \frac{Mc}{I} = \frac{4Fb}{\pi d^3}$$

10. Yuvalan dolayı pimdeki basma gerilmesi,  $s_c = \frac{F}{db}$



Şekil. 11-5

11. Çataldan dolayı pimdeki basma gerilmesi,  $s_c = \frac{F}{2ad}$

**İÇTEN KAMALI MİLLER**, Şekil. 11-6'da görüldüğü üzere, mil ve ilgili elemenin göbeği arasında relativ eksenel harekete izin verirler. İçten kamalı millerde, kamalar millerle birlikte entegre olmuş şekeitenmiştir. 4,6 veya 10 elemanlı olabilirler. Kama yuvaları, göbeğe, istenilen ölçülerde broşlanarak elde edilir. İçten kamalı milde kamalar genelde düz kenarlı ve involüt şeilde imâl edilirler. İçten kamalı bağlantılarda, relativ eksenel hareket olduğu zaman, kama kenarlarındaki basınçın 7MPa'la sınırlandırılmış olması gereklidir. İçten kamalı bir bağlantıkada, taşınacak tork,

$$T = pA_{rm}$$

dir. Burada,

$P$  = kamalardaki müsaade edilen basınç, <7MPa

$$A = \text{kamalardaki toplam yük alanı } m^2$$

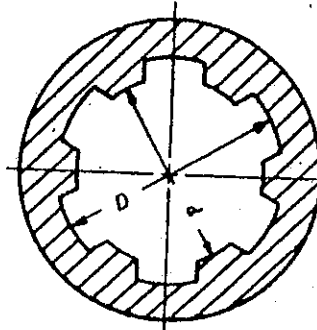
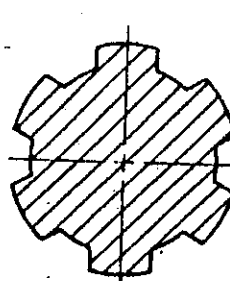
$$= \frac{1}{2}(D - d)(L) \quad (\text{kama sayısı}), m^2$$

$D$  = Mil çapı, m

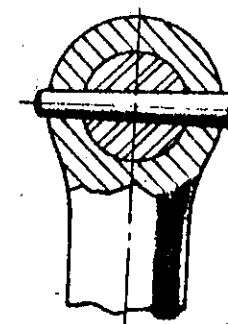
$d$  =  $D$  - kama derinliği iki katı, m

$L$  = Göbek boyu, m

$r_m$  = Ortalama yarıçap, m



Şekil. 11-6



Şekil. 11-7

**KONİK PİMLER**; Şekil. 11-7'de gösterilene benzerdir ve göbekleri millere kamalamada kullanılırlar. Pimin geniş kısmının çapı çogu zaman, mil çapının dörtte biri kadardır. Bu tipdeki kama bağlantısında, irtibat, pimin iki kesme alanı ile tayin edilebilir. Pim kaması, bazende kesme pimi olarak da kullanılır.

1. Kare kamanın kesme ve basma için eşdeğer mukavemeti olduğunu gösteriniz.

**Çözüm:**

Basma ele alınınca, kama su torku taşıyabilir;  $T_c = s_c(t/2)Lr$ .

Kesme ele alınırsa, kama su torku taşıyabilir;  $T_s = s_s b L r$ .

Kesme ve basma eşit mukavemet elde etmek için iki tork ifadesini eşitleyelim.  $s_c = 2s_s$ , alarak,  $T_c = T_s, 2s_s(t/2)Lr = s_s b L r$ , ve  $t = b$  (kare kama) elde edilir.

2. Mil ve kama aynı malzemeden ve aynı boyda oldukları sürece, kare kama için gerekli boy ne kadar olabilir?

**Çözüm:**

Gerilme birikimi gözönüne alınarak, 825 lik bir redüksiyon düşünürlerek,  $d$  çapındaki bir milin aktaracağı tork,  $T = 0,75 \cdot \pi d^3 s_s / 16$  dır. Bu tork değerini, kesme düşünülerek yazılan tork değerine eşitleyerek,

$$0,75 \pi d^3 s_s / 16 = s_s b L r$$

elde edilir.  $b$  için  $d/4$  değerini ifade ede yerine koymak,  $L$  için çözüm yapılmışsa  $L = 1,25d$  bulunur.

3. Bir kare kesitli kama, 35mm çapındaki mile bir dışlığı bir bağlamada kullanılacaktır. Dışlideki göbek 60mm dir. Mil ve kama aynı malzemeden yapılmaktadır. Müsaade edilen kesme gerilmesi 55MPa dir. 395N m lik tork aktarımını istediğiğine göre, kamanın minimum ölçüsü ne olacaktır?

**Çözüm:**

Kesme ele alınacak olursa, elde edilen ifadeyi, 395N m ye eşit alıp,  $b$  için çözüm yapılacak olursa,

$$rLbs_s = 395, (0,035/2)(0,06)(b)(55 \times 10^6) = 395, b = 6,84 \text{ mm} \quad 8 \text{ lik standart kamayı kullanınız.}$$

4. Feder kamadan 680N m lik tork aktarması istenmektedir. Kamanın ölçüleri 12mm x 9mm (en x derinlik)dir. Çelik kamadan müsaade edilen çekme ve basma gerilmesi değeri 110MPa dir. Ayrıca kesme gerilmesi değerin de 57,5MPa olduğu söylülmektedir. Kama için gerekli boyu hesaplayınız?

**Çözüm:**

Kama, derinliğinden daha geniş olduğundan, kesmeden önce, basma ile karşılaşacaktır.

$$s_c(t/2)Lr = 680, (110 \times 10^6)(0,009/2)(L)(0,019) = 680, L = 0,0723 \text{ m } L = 75 \text{ mm yi kullanınız.}$$

5. Eğer, 4. Problemdeki kama, 9mm eninde ve 12mm derinliğinde ise, aynı yük ve aynı malzeme için gerekli boy ne kadar olacaktır?

**Çözüm:**

Bu durumda, kama kesme yönünden basmaya göre daha zayıftır.

$$s_s b L r = 680, 57,5 \times 10^6 (0,009)(0,019) L = 680, L = 0,0691 \text{ m } L = 70 \text{ mm alınabilir.}$$

6. Oynak bir mafsalı pim, Şekil. 11-4(a)'da görüldüğü üzere, 90kN luk eksenel yük maruzdur. Yuva kalınlığının, pim çapının 1,5 katı olduğunu kabul ediniz. Eğilmeden dolayı, müsaade edilen çekme ve basma gerilmesi 60MPa dir ve müsaade edilen kesme gerilmesi ise, 30MPa dir. Müsaade edilen mukavemet gerilmesi 20MPa ise, gerekli pim çapını tayin ediniz.

**Çözüm:**

Pimi, (a) eğilme, (b) kesme, (c) mukavemeteye göre kontrol ediniz.

$$(a) \text{ Eğilme: } s_b = \frac{Mc}{I} = \frac{(FL/8)(d/2)}{\pi d^4/64}, 60 \times 10^6 = \frac{(90,000 \times 1,5d/8)(d/2)}{\pi d^4/64} \text{ ve}$$

$d = 0,0535\text{m}$ , eğilme için gerekli.

$$(b) \text{ Kesme: } s_t = \frac{F}{A} = \frac{F}{2\pi d^2/4}, 30 \times 10^6 = \frac{90,000}{2\pi d^2/4}, \text{ ve}$$

$d = 0,0437\text{m}$ , kesme için gerekli.

$$(c) \text{ Mukavemet: } s_b = \frac{F}{Ld} = \frac{F}{(1,5d)d}, 20 \times 10^6 = \frac{90,000}{1,5d^2}, \text{ ve}$$

$d = 0,0548\text{m}$ , dayanma için gerekli,  $d = 6\text{mm}$  alınabilir.

7. Bir otomobilin transmisyonundaki içten kamalı bir milde, 10 adet kama, 58mm çapındaki mile açılmıştır. Her kamadan yüksekliği, 5,5mm ve göbekteki kama yuvaları 45mm boyundadır.  $2500\text{d}/\text{dk}$  da aktarılacak gücü hesaplayınız. Kamalar üzerindeki, normal basınç  $4,8\text{MPa}$  dır.

Çözüm:

$$\text{Kamalardaki toplam yüzey alanı, } = (0,0055)(0,045)(10) = 0,002475\text{m}^2$$

$$\text{Tork} = (0,002475)(4,8 \times 10^6)(0,02625) = 312\text{N.m. Güç} = 312(2\pi/60)(2500) = 81,7\text{kW}$$

8. Woodruff (yarı yuvarlak) kaması  $4,8\text{mm} \times 25\text{mm}$  boyutundadır. Kama  $\%0,35C$  luk, soğuk haddelenmiş çelikten mamul  $30\text{mm}$  lik mile bir dişliyi testpitde kullanılmaktadır. Kama, dişlinin göbeğine kadar girmektedir. Kama, mille aynı malzemeden mamuldur. ( $s_u = 634\text{MPa}$  ve  $s_y = 538\text{MPa}$ ). ASME mil standardını düşünerek, milin aktaracağı torku hesaplayınız.  $s_t = 0,6s_y$  alarak ve 1,5 luk emniyet faktörünün akma mukavemetine göre seçildiğini kabullenerek, kama için tork kapasitesini hesaplayınız.

Çözüm:

Mil için müsaade edilen kesme gerilmesi,  $0,18s_u$  veya  $0,30s_y$  dir. (Hangisi küçükse.) Bu problemde müsaade edilen gerilme  $s_t = 0,18 (634) = 114\text{MPa}$  dir. Sonra, milin tork kapasitesi,  $\%25$  lik kama yuvası toleransıyla,

$$T = 0,75\pi D^3 s_t / 16 = 0,75\pi (0,030)^3 (114 \times 10^6) / 16 = 453\text{N.m}$$

Kesme halinde, kamada tork kapasitesi, kesme alanını,  $115\text{mm}^2$  alarak,

$$T = s_t A_s = \frac{(0,6)(538 \times 10^6)}{1,5} (115 \times 10^{-6}) \frac{0,03}{2} = 371\text{N.m}$$

dir. Basma halinde, kamadan taşıyacağı tork, minimum basma alanı kullanılarak,  $22\text{mm}^2$ ,

$$T = s_c \left(\frac{t}{2}\right) L_r = \frac{538 \times 10^6}{1,5} (22 \times 10^{-6}) \frac{0,03}{2} = 118\text{Nm}$$

elde edilir. Böylece kamalanmış bağlantının tork kapasitesi, basma hali düşünülerek o andaki tork kapasitesi ile kontrol edilir.

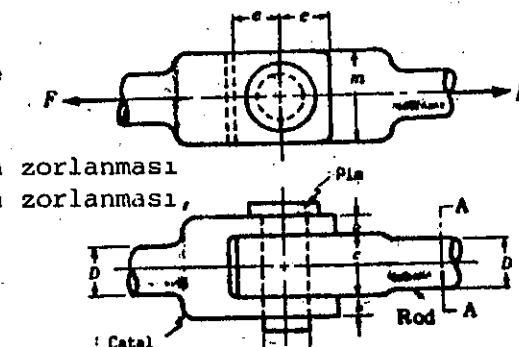
## Tamamlayıcı Problemler

9. Aşağıdaki, Şekil. 11-8'de görülen oynak mafsal,  $\%0,18-0,23C$  lu çelikten mamuldur. Müsaade edilen gerilme  $100\text{MPa}$ , kesme gerilmesini  $50\text{MPa}$  ve eksenel yükü  $22,5\text{kN}$  alarak,

- (1) Aşağıdakiler için cebirsel bir ifade bulunuz.

- (a) A-A kesitindeki çekme gerilmesi
- (b) Pimdeki kesme gerilmesi,
- (c) Pim ve çubuk arasındaki gerilmeyi,
- (d) Pim ve çatal arasındaki gerilmeyi,
- (e) Çubuktaki delikte görülen çekme gerilmesi,
- (f) Çataldaki delikde görülen çekme gerilmesi,
- (g) Pimdeki eğilme gerilmesi,
- (h) Pim tarafından çubuğu yırtılmaya zorlanması,
- (i) Pim tarafından çatalın yırtılmaya zorlanması,

- Cev. (a)  $s_t = 4F/\pi D^2$   
 (b)  $s_s = 2F/\pi d^2$   
 (c)  $s_c = F/dc$   
 (d)  $s_c = F/2db$   
 (e)  $s_t = F/[c(m-d)]$   
 (f)  $s_t = F/[2b(m-d)]$   
 (g)  $s_b = 4Fc/\pi d^3$   
 (h)  $s_s = F/2ce$   
 (i)  $s_s = F/[(2b)(2e)]$



Şekil. 11-8

- (2) Çeşitli parçaların boyutlarını hesaplayınız.

Cev.  $D = 17\text{mm}$ ,  $d = 17\text{mm}$ ,  $c = 17\text{mm}$ ,  $b = 8,5\text{mm}$ ,  $m = 31\text{mm}$ ,  $e = 13,5\text{mm}$

10. Ekonomik nedenlerden dolayı, kama aşırı yükler halinde, kesme pimi olarak kullanılmaktadır. Mil,  $668\text{MPa}$  lik kopma gerilmesi değeriyile,  $\%045C$  lu çelikten imâl edilmiştir. Burulma halinde maximum güç aktarımaka ve akma gerilmesinin  $400\text{MPa}$  olduğu söylmektedir. Mil çapı  $50\text{mm}$  dir. Standart olmayan ( $50\text{mm}$  mil için)  $6\text{mm} \times 6\text{mm}$  lik kama kullanılmaktadır. Kama mukavemeti, mil mukavemeticinin  $\%60$  i kadar ise, uygulanacak kama boyu ne kadar olmalıdır? Kama,  $\%0,3C$  lu soğuk haddelenmiş çelikten mamuldür. Kopma gerilmesi  $550\text{MPa}$  ve akma gerilmesi de  $380\text{MPa}$  dir.

Cev.  $39\text{mm}$ .

11. Kayan bir dişli,  $678\text{N.m}$  lik torku,  $38\text{mm}$  çapındaki mile aktarmaktadır. Kullanılan kama tipi feder kama olup, boyutları,  $12,5\text{mm} \times 9,5\text{mm}$  dir. (Genişlik  $\times$  kalınlık). Kamanın, mille aynı malzemeden yapıldığını ve eşdeğer mukavemete sahip olduğunu kabul ederek, dişlideki göbek boyu ne kadar olacaktır? Bu durumda kama boyunun göbek boyuna eşit kabul etmeyiniz.

Cev. Göbek boyu =  $44,8\text{mm}$ , basma halinde.

12. Kare kesitli bir kama,  $12\text{mm} \times 12\text{mm}$   $\phi 50\text{mm}$  çapındaki bir milden belli değerdeki gücü dişliye aktardığı söylmektedir. Dişliye  $1,7\text{kN}$  luk tork tatbik ediliyor. Yükleme sürekli ise kama boyu ne kadar olacaktır? Kama  $\%0,35C$  lu çelikten soğuk haddeleme ile elde edilmiştir. Kopma gerilmesinin  $655\text{MPa}$ , akma noktasının  $414\text{MPa}$  olduğu bilinmektedir. Cev. Kama boyu =  $0,048\text{m}$ . Uygun bir oran için, kama boyunun mil çapına eşit, yani  $50\text{mm}$  alınız.

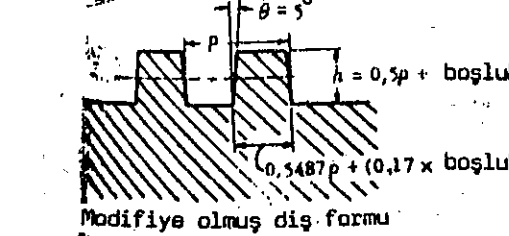
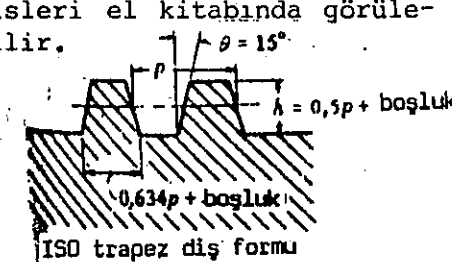
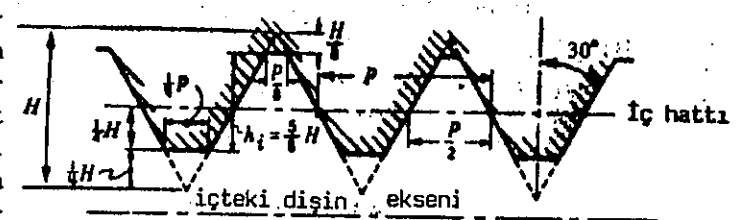
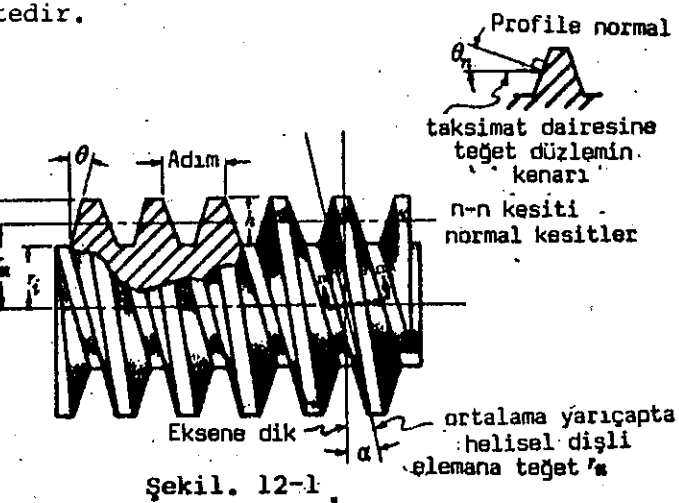
## Vida ve Dis Çekilmiş Bağlayıcılar

13. Eğer kama ve mil aynı malzemeden yapılmışsa, mil ve kamanın aynı mukavemete sahip olmaları için, kama boyunun ne kadar olacağını hesaplayınız. Kama dikdörtgen kesitlidir. En  $D/4$  ve yükseklik,  $3D/16$  dir. Mil sadece burulmanın etkisi altındadır. Cev. Kama boyu =  $1,57D$
14. 050mm çapındaki mile kamalanmış bir dişlinin sürekli yük altında 1360N.m luk tork aktaracağı söylenmektedir. Kesmede müsaade edilen gerilmesi  $62\text{ MPa}$  olan,  $12\text{ mm} \times 12\text{ mm}$  ölçüsündeki kare kesitli kama kullanılmaktadır. Kama boyu ne olabilir? Kopma gerilmesi  $550\text{ MPa}$  ve akma gerilmesi  $345\text{ MPa}$  olan, SAE 1035 çeliğin mil için yeterli olup olmayacağı araştırınız. Cev. Kama boyu =  $73\text{ mm}$ , Standarda göre mil  $99\text{ MPa}$  lik gerilmenin etkisi altındadır.
15. İki sistemde, güç kapasitesi oranını tayin ediniz.  $24\text{ mm}$  lik mil,  $6\text{ mm} \times 6\text{ mm} \times 48\text{ mm}$  lik kama ve  $24\text{ mm}$  çapında mil,  $6\text{ mm}$  çapında pim kama, ele alınmaktadır. Pim kama, mil eksenine diktir ve mil merkezinden geçmektedir. Gerilme konsantrasyonu katsayısı standartlarından bulunabilir. Üzerinde  $6\text{ mm}$  lik radyal delik bulunan  $24\text{ mm}$  çapındaki mil için, gerilme konsantrasyon katsayısı  $1,75$  dir. Sadece burulmanın olduğunu ve milin, kama ve pimle aynı malzemeden olduğunu kabul ediniz.
16.  $12,5\text{ mm} \times 32\text{ mm}$  ölçüsündeki Woodruf kama,  $\%0,35C$  lu soğuk haddelenmiş çelikten mamuldür. ( $s_u = 634\text{ MPa}$  ve  $s_y = 540\text{ MPa}$ ). Adı geçen kama,  $\varnothing 45\text{ mm}$  çapındaki bir mile kasnağı tespitte kullanılacaktır. Mälzemenin akma değerine göre seçilen emniyet katsayısını  $1,5$  olarak, kamanın kesme ve basma halinde tork kapasitesini hesaplayınız. Kesilmeye maruz alan,  $19\text{ mm}^2$  ve kama kasnak göbeğine  $3\text{ mm}$  kadar girmektedir. Standartları kullanarak, mil için tork kapasitesini hesaplayınız. Cev. Kesmede kama kapasitesi =  $928\text{ N m}$   
Burmada kama kapasitesi =  $778\text{ N m}$   
Mil kapasitesi =  $1,53\text{ kN m}$

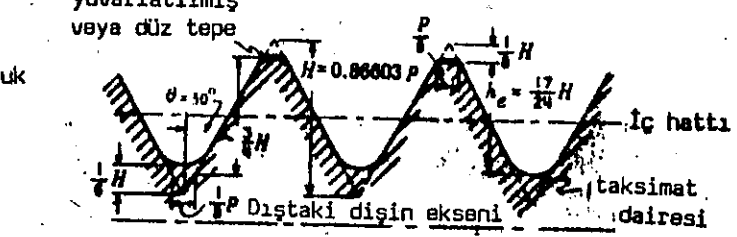
**GÜÇ TAŞIYAN VIDALAR**, vidalı krikolar, mengeneler, preslerde büyük mekaniki avantajlarından dolayı kullanılırlar. Bazende geriye doğru kullanılanlarida mevcuttur.

**DIS ÇEKİLİMİŞ BAĞLAYICILAR**, vida prensiplerini kullanılarak, civataları saplamaları, başlı civatalar, tezgah civataları, kilit vidaları ve çeşitli özel cihazlardakileri içermektedir.

**VİDA DİŞLERİNDE KULLANILAN TERİMLER**, Şekil. 12-1'de gösterilmektedir. Dis formu genellikle, eksenel kesitte gösterilir. Güç aktaran vidalarda, genellikle kare ve ISO, trapez formları kullanılır. (Şekil. 12-2, aşağıda). Dis çekili bağlayıcılar için, ISO metrik dis formu hakiki şekil ve taksimatlara haizdir. (Şekil. 12-3.) Bu basit şekil, maximum metal ihtiiva etmektedir. Değişik tipdeki geçmelerin kullanılması, daha fazla metalin alınmasını, gerektirir. Standart ölçüler için detaylı tablolar, dis çekimleri ve geçmelerle ait genel bilgi için, herhangi bir standart makine dizayn kitabı veya Makine Mühendisleri el kitabından görülebilir.



Şekil. 12-3



Şekil. 12-2

Adım, herhangi bir diş üzerindeki bir noktanın, bitişindeki diğer dişlideki aynı nokta arasındaki mesafe olarak tanımlanabilir.

Hatve, birlikte çalışacağı bir somun içinde, vidanın bir turda olacağı yoldur. Tek dişli viddada, hatve adıma eşittir. Çift dişli viddada, hatve adının iki katına eşittir, vb.

Helis açısı, hatve ve ortalama yarıçapla ilgili bir değerdir.

$$\tan \alpha = \frac{\text{hatve}}{2\pi r_m}$$

Normal kesitteki bazı hesaplarda,  $\theta_n$ , diş profilinin tayin eden eğim, den istifade edeceğiz. Bu açı, eksenel kesitteki  $\theta$  ve helis açısıyla bulunabilir.

$$\tan \theta_n = \tan \theta \cos \alpha$$

**Not:** Takip edilecek ifadede,  $\cos \theta_n$  ortaya çıktıgı zaman,  $\cos \theta$  ile değiştirilmesi büyük bir problem yaratmaz.  $\alpha$ , nın küçük değerleri için, kullanılacak bu yaklaşık ifade, çok büyük hata yaratmaz.

**DÖNDÜRME MOMENTİ VE EKSENEL YÜK**, aşağıdaki ifadede görüleceği üzere, birbirleriyle yükün indirilmesinde ve ayrıca kaldırılmasında da aynı derecede ilgilidirler.

$$T = W \left[ r_m \left( \frac{\tan \alpha + f/\cos \theta_n}{1 - f \tan \alpha / \cos \theta_n} \right) + f_c r_c \right]$$

burada,

$T$  = Vida veya somuna tatbik edilen tork, hangisi çevrilirse,  
 $W$  = Vida eksene parellel yük,

$r_m$  = Ortalama diş yarıçapı

$r_c$  = Sürtünme yüzeyinin efektif yarıçapı, bilezik yarıçapı.

$f$  = Civata ve somun dişleri arasındaki sürtünme katsayısı.

$f_c$  = Bilezikteki, sürtünme katsayısı,

$\alpha$  = Ortalama yarıçapta, dişin helis açısı,

$\theta_n$  = Diş profiline çizilen tegetle radyal hat arasındaki açı, (yük tarafı), ortalama yarıçaptaki diş helisine normal olan düzlemede ölçülmektedir.

Vidayı yük yönünde (yükü indirmede) ilerletmek için gerekli tork,

$$T = W \left[ r_m \left( \frac{-\tan \alpha + f/\cos \theta_n}{1 + f \tan \alpha / \cos \theta_n} \right) + f_c r_c \right]$$

Bu tork, pozitif veya negatif olabilir. Pozitif ise, yapılacak işin vidayı ilerletmek için, negatif ise, denge hali için, tork, dönüşü geçiktirecektir. Örneğin, eksenel yük yanlış başına, dönüşe neden olacaktır.

**VIDA MEKANİZMALARINDA VERİM**, çıkış gücüyle, giriş gücünün oranı şeklinde bilinir.

$$\text{Verim} = \frac{100(W)(\text{hatve})}{2\pi T} \% = \frac{100 \tan \alpha}{\frac{\tan \alpha + f/\cos \theta_n}{1 - f \tan \alpha / \cos \theta_n} + \frac{f_c r_c}{r_m}} \%$$

**DIŞDEKİ GERİLMELER**, dişlinin kısa bir ankastre kırış olarak kabul edilmesiyle hesaplanabilir. (Şekil. 12-4'e bakınız.) Kırış yükü olarak,  $W$ , eksenel vida yükü alınır ve bunun ortalama yarıçapta konsantre olduğu düşünülür. Örneğin, diş derinliği,  $h$  in yarısı. Kırış eni diş boyu kadarır. (Ortalama yarıçapta.)

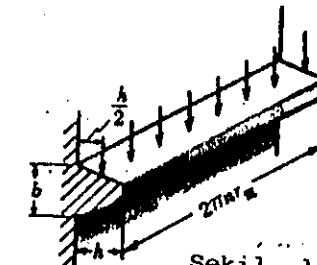
Bu kabullerle, dişin kökündeki eğilme gerilmesi, yaklaşık olarak,

$$s_b = \frac{3 Wh}{2\pi r_m b^2}$$

ve ortalama enine kesme gerilmesi ise,

$$s_s = \frac{W}{2\pi r_m b}$$

$W$  yüke tabi diş sayısı ve  $b$  ise kökteki diş kesitin enidir.



Şekil. 12-4

Dişin birleşme noktasındaki ve kök silindirindeki gerilmenin durumu çok karmaşıktır. Yukarıda verilen ifadeler, dizaynda kullanılacak bir kılavuz olup, yaklaşık değerler vereceklerdir. Bu ifadelerdeki,  $r_m$  yerine birçok tasarım yapıcılar  $r_i$  yi vida ve  $r_o$  ida somun için kullanmaktadır.

**YATAK BASINCI**, vida yüzeyleri ile somun dişleri arasında ortaya çıkar ve dizaynda ele alınması gereken kritik bir faktördür. Bilhassa güç aktaran vidalarda çok göze çarpar. Yaklaşık olarak,

$$P = \frac{W}{2\pi r_m h}$$

ile hesaplanır. Bu hesap düşük kenar için olacaktır. (1) İç ve dış diş ait, kök ve diş üstü arasındaki boşluk, yükün  $h$  derinliği boyunca taşınmasını, (2) yük, diş boyunca uniform olarak dağıldığını gösterir.

**KÖK DAİRESİNDEKİ GERİLMELER**, viddada, çiplak dairenin aktaracağı yükleri ve torkları ele alarak hesaplanabilir. (Dişin yarattığı mukavemet değerini ihmali ederek), burulma kesme gerilmesi,

$$s_h = \frac{2T}{\pi r_i^3}$$

Yukarıdaki formülün değişik hali bazı problemlerde diş çekili bağlayıcı larda dişlerin mukavemeti artırıcı etkileri için kullanılabilir. Basitleştirilmiş yarıçapı olduğundan daha büyük kabul edilerek yapılacak değişiklikten ibaretdir. (13. Bölümü bkz.) Sonra,

$$s_h = \frac{W}{\text{kök alanı}} = \frac{W}{\pi r_i^2}$$

$r_i$  viddada kök yarıçapıdır.  $T$  ise ele alınan kesitdeki yaklaşık tork değeridir. Bu tatbik edilen toplam tork değeri olabildiği gibi, bilezik sürtünme torku, veya sadece vida torku (toplum-bilezik torku) olabilir. Hangisinin uyacagini görmek için her durum dikkatlice incelemelidir.

Direkt gerilme, çekme veya basing şekeinde olabilirki,

$$s_h = \frac{W}{\text{gerilme alanı}}$$

Gerilme alanları, kök alanlarında olduğu gibi, birçok el kitabı ve kitaplarda tablo haline getirilmiştir.

## Cözümlü Problemler

1. Şekil. 12-5'deki vida, alt ucuna tattbik edilen bir tork ile hareket ettirilmektedir. Somun yüklenmiştir ve kılavuzlar vasıtıyla dönmesi engellenmektedir. Rulmanlı yatakdaki sürtünme ihmali edilecektir. Vidada dış çap 48mm ve üçlü ISO trapez dişlidir. Adım 8mm dir. Dişlide sürtünme katsayısı 0,15 ise, 40N m lum  $T$  torkunun yaratacağı yükü hesaplayınız.

**Çözüm:**

$$T = W \left[ r_m \left( \frac{\tan \alpha + f/\cos \theta_n}{1 - f \tan \alpha / \cos \theta_n} \right) + f_c r_c \right]$$

$$\text{Dış derinliği } P/2 = 4 \text{ mm}$$

$$r_m = (48 - 4)/2 = 22 \text{ mm}$$

$$\tan \alpha = \frac{\text{hatve}}{2\pi r_m} = \frac{24}{2\pi(22)} = 0,174$$

$$\alpha = 9,85^\circ$$

$$\theta = 15^\circ$$

$$\tan \theta_n = (\tan \theta) \cos \alpha$$

$$= (\tan 15^\circ) (\cos 9,85^\circ) = 0,264$$

$$\theta_n = 14,79^\circ$$

$\theta_n$  ve  $\theta$  arasındaki farkın çok küçük olmasından sadece  $\theta$  yi kullanabiliyoruz. Böylece,

$$400 = W \left[ 0,022 \left( \frac{0,174 + 0,15/0,967}{1 - (0,15)(0,175)/0,967} \right) + 0 \right] \text{ veya } W = 5370 \text{ N}$$

2. Problem 1'deki vida çözülebilecek mi dir?

**Çözüm:**

Aşağıdaki ifadededen elde edilecek tork negatif ise vidanın çözüleceği bilinmelidir.

$$T = W \left[ r_m \left( \frac{-\tan \alpha + f/\cos \theta_n}{1 + f \tan \alpha / \cos \theta_n} \right) + f_c r_c \right]$$

Zira,  $f_c = 0$  dir. Eğer  $(-\tan \alpha + f/\cos \theta_n)$  negatif ise  $T$  de negatif olacaktır.

1. Problemden,  $\tan \alpha = 0,174$  ve  $f/\cos \theta_n = 0,15/0,967 = 0,155$ . bulunur. Neticede, vida çözülecektir. Örneğin  $W$  yükü tattbik edildiğinde, vidanın dönüşünü engellemek için, tutucu torkun tattbik edilmesi gereklidir.

3. 1. Problem için, vida ve somun dış yüzeyleri arasında ortalama yatak basıncını hesaplayınız.

**Çözüm:**

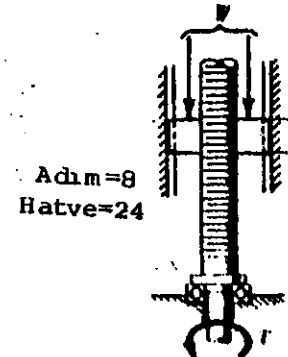
$$P = \frac{W}{2\pi r_m h} = \frac{5370}{2\pi(6,25)(0,022)(0,004)} = 1,55 \text{ MN/m}^2$$

burada,  $n = \frac{\text{Somun boyu}}{\text{adım}} = \frac{50}{8} = 6,25$  adet dış sayısı, yükü paylaşmak tadır.

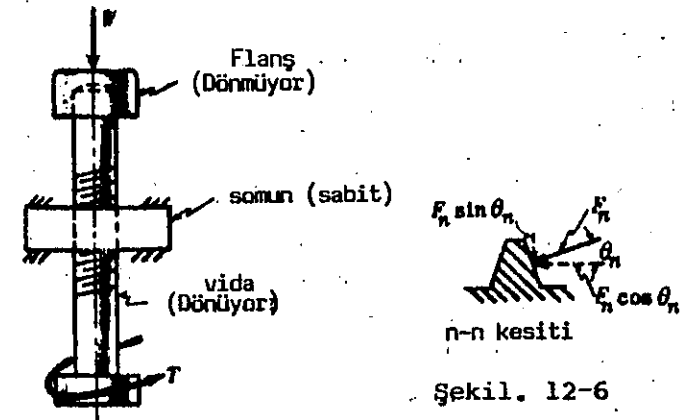
4.  $W$  yüküne karşı vidayı ilerletmek için gerekli  $T$  torku için gerekli ifadeyi çıkarınız.

**Çözüm:**

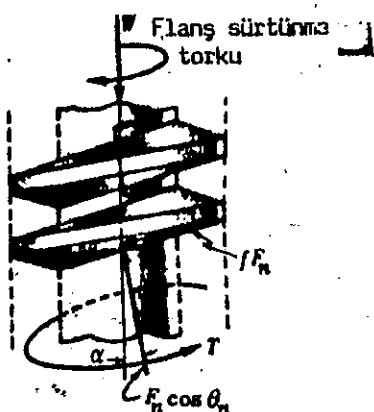
Aşağıdaki Şekil. 12-6'ya bakınız. Somun dişleriyle, vida dişlerine tattbik edilen toplam normal kuvvet  $F_n$  dir. Çalışma sırasında bu kuvvet dış boyunca yayılmaktadır. Bu analiz için, kuvvetin ortalama vida yarıçapı,  $r_m$  de toplandığı söylenebilir.



Şekil. 12-5



Şekil. 12-6



Flans sürtünme torku

Normal kuvvet vektörü,  $F_n$ , normal kesitde hakiki boyda görülür.  $F_n \cos \theta_n$  bileşeni bölüm dairesine tegettir ve veda ekseniylede  $\alpha$  (helis açısı) açısını yapmaktadır.  $F_n \sin \theta_n$  bileşeni ise, radyaldır.  $fF_n$  sürtünme kuvveti, dış helisi boyunca etkimektedir.

Vida üzerinde etkiyen bir başka kuvvetde  $W$  dir. Ayrıca,  $Wf_c r_c$  ve tattbik edilen  $T$  torkuda sayılabilir. Vida eksene paralel kuvvetlerin toplanmasıyla,  $W - F_n \cos \theta_n \cos \alpha + fF_n \sin \alpha = 0$

Vida ekseni etrafındaki momentleri toplayacak olursak,

$$T - F_n r_m \cos \theta_n \sin \alpha - fF_n r_m \cos \alpha - Wf_c r_c = 0$$

Bu iki ifade arasında  $F_n$  i yok ederek,

$$T = W \left[ r_m \left( \frac{\tan \alpha + f/\cos \theta_n}{1 - f \tan \alpha / \cos \theta_n} \right) + f_c r_c \right] \text{ bulunur.}$$

5. Aşağıdaki veriler Şekil. 12-7'de görülen bir el mengenesi için verilmiştir.

ISO metrik dişler

Adım = 1,75mm (tek dişli)

Dış çap = 12mm

Kök çapı = 9,853mm

Kök alanı = 76,25mm<sup>2</sup>

Dış sürtünme katsayısı = 0,12 (=f)

Flans sürtünmesi katsayısı = 0,25 (=f<sub>c</sub>)

Ortalama flans yarıçapı = 6mm

Yük  $W = 4000 \text{ N}$

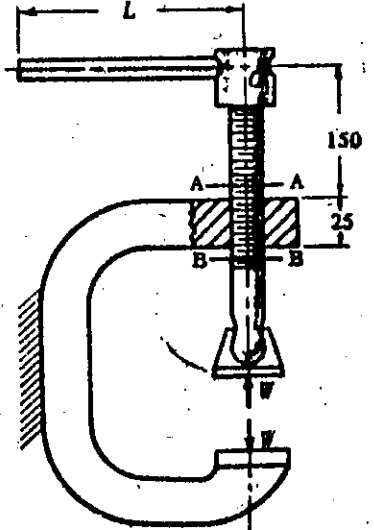
Mengeneyi kullanan kişi kola 80N luk bir kuvveti rahatlıkla tattbik edebilmektedir.

- Gerekli,  $L$  boyu ne kadar olacaktır?
- Vida gövdesinde doğacak maximum kesme gerilmesi değeri nedir ve hangi noktada görülür?
- Dişler üzerindeki  $P$  yatak basıncı değerini hesaplayınız.

**Çözüm:**

$$(a) \text{ Gerekecek Tork, } T = W \left[ r_m \left( \frac{\tan \alpha + f/\cos \theta_n}{1 - f \tan \alpha / \cos \theta_n} \right) + f_c r_c \right]$$

$$r_m = \frac{1}{2}(12 + 9,853) = 5,46 \text{ mm}, \tan \alpha = \frac{\text{hatve}}{2\pi r_m} = \frac{1,75}{2\pi(5,46)} = 0,0509$$



Şekil. 12-7

$\theta_n = \theta = 30^\circ$  alınacaktır. Zira, helis açısı oldukça küçüktür.

Sonra,

$$T = 4000 \left[ 0,00546 \left( \frac{0,0509 + 0,12/0,866}{1 - (0,12)(0,0509)/0,866} \right) + (0,25)(0,006) \right]$$

vida torku + flans torku =  $4,16 + 6 = 10,16$   
Bu torku 80N luk kuvvetle yaratabilmek için, gerekecek L boyu  $L = \frac{10,16}{80} = 0,127\text{m}$

(b) Somunun hemen üstündeki A-A kesiti, tork ve eğilmeye tabi olmaktadır. B-B kesiti ise somunun hemen altında olup, tork ve direkt basma yükünün etkisi altındadır. Maximum kesme gerilmesi için her iki kesitide kontrol etmeye yarar vardır.

A-A kesitinde,

$$\text{Burulma kesme gerilmesi, } s_s = \frac{Tr}{J} = \frac{(10,16)(0,00493)}{0,924 \times 10^{-9}} = 54,3 \text{ MN/m}^2$$

$$T = 10,16 \text{ N m (yukarıdan)}, r = r_i = \frac{9,85}{2} \text{ mm}, J = \frac{1}{2}\pi r_i^4 = 0,924 \times 10^{-9} \text{ m}^4$$

$$\text{Eğilme gerilmesi, } s_t = \frac{M_b c}{I} = \frac{(12)(0,00493)}{0,462 \times 10^{-9}} = 128 \text{ MN/m}^2$$

$$M_b = (80)(0,15) = 12 \text{ N m}, c = r_i = 4,93 \text{ mm}, I = \frac{1}{4}\pi r_i^4 = 0,462 \times 10^{-9} \text{ m}^4$$

$$\text{Maximum kesme gerilmesi, } \tau(\max) = \sqrt{(s_s)^2 + s_t^2} = 83,9 \text{ MN/m}^2$$

B-B kesitinde,

Bu kesit flans sürtünme torkunun,  $Wf_c r_c$ , etkisi altındadır.  
Böylece, burulma kesme gerilmesi,

$$s_s = \frac{(Wf_c r_c)r_i}{J} = \frac{(4000)(0,25)(0,006)(0,00493)}{0,924 \times 10^{-9}} = 32,0 \text{ MN/m}^2$$

$$\text{Direkt basma gerilmesi, } s_c = \frac{W}{A} = \frac{4000}{\pi(0,00985)^2/4} = 52,5 \text{ MN/m}^2$$

$$\text{Böylece, maximum kesme gerilmesi, } \tau(\max) = \sqrt{(52,5/2)^2 + 32^2} = 41,4 \text{ MN/m}^2$$

Netice olarak, bize göre; maximum kesme gerilmesi A-A kesitinde oluşur ve değeride  $83,9 \text{ MN/m}^2$  dir.

$$(c) P = \frac{W}{2\pi r_m h} = \frac{4000}{2\pi(14,3)(0,00546)(0,00107)} = 7,62 \text{ MN/m}^2$$

$$n = \frac{\text{somun boyu}}{\text{adım}} = \frac{0,025}{0,00175} = 14,3 \text{ dış ve } h = r_o - r_i = \frac{12 - 9,853}{2} = 1,07 \text{ mm}$$

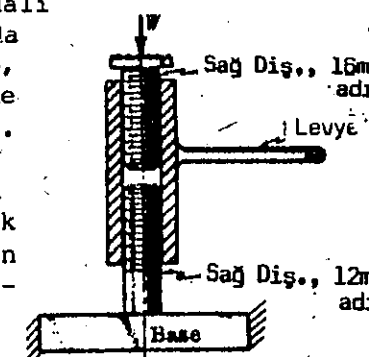
6. Şekil. 12-6'daki şemaya uyacak şekilde bir vidalı kriko yapılacaktır. Vida dönmemektedir. Vida dış çapı 50mm dir. Kare dış söz konusu olup, tek dış (derinlik =  $\frac{1}{2}$  adım) ve dış sürtünme katsayısı 0,15 olarak tahmin edilmektedir.

(a) Krikonun verimi ne kadar olacaktır?

(b) Vida gövdelerindeki kesme gerilmesi değeri  $28 \text{ MN/m}^2$  ile sınırlandırılırsa, kaldırılacak yük ne kadar olabilir? Somuna tatbik edilen torkun altdaki vida eğilme etkisi yapmadığını kabul ediniz.

**Çözüm:**

(a) Diferansiyel vida hareketi görülmektedir. Somunun bir kere çevrilmesiyle, yük iki



Şekil. 12-8

vidanın hatveleri farkı kadar yükselmektedir. Böylece bir turda yapılan çıkış gücü,

$$\text{Çıkış gücü tur} = W (\text{üst vida hatvesi} - \text{alt vida hatvesi}) \\ W(0,016 - 0,012) = 0,004W$$

Yükün tatbik edildiği vidada dönme olmadığı için, flans sürtünmesi söz konusu değildir.

Somunu, üst vidaya relativ olarak çevirmek için, gerekli tork, T:

$$T' = W \left[ r_m' \left( \frac{\tan \alpha' + f/\cos \theta_n'}{1 - f \tan \alpha'/\cos \theta_n'} \right) \right] = W \left[ 0,021 \left( \frac{0,121 + 0,15/1}{1 - (0,15)(0,121)/1} \right) \right] = 0,00580W$$

$$r_m' = r_o - \frac{\text{dış derinliği}}{2} = 0,025 - 0,016/4 = 0,021 \text{ m}, \tan \alpha' = \frac{\text{adım}}{2\pi r_m'} = \frac{0,016}{2\pi(0,021)} = 0,121$$

Somunu, üst vidaya relativ olarak çevirmek için, gerekli tork, T', olup, bu da;

$$T'' = W \left[ r_m'' \left( \frac{-\tan \alpha'' + f/\cos \theta_n''}{1 + f \tan \alpha''/\cos \theta_n''} \right) \right] = W \left[ 0,022 \left( \frac{-0,0868 + 0,15}{1 + (0,15)(0,0868)} \right) \right] = 0,00137W$$

$$r_m'' = r_o'' - \frac{\text{dış derinliği}}{2} = 0,025 - 0,012/4 = 0,022 \text{ m}, \tan \alpha'' = \frac{\text{adım}}{2\pi r_m''} = \frac{0,012}{2\pi(0,022)} = 0,0868 \\ \theta_n'' = \theta_n' = 0^\circ \text{ ve alınır.}$$

Böylece, somuna tatbik edilen toplam tork =  $T = T' + T'' = (0,00580 + 0,00137)W = 0,00717W$

$$\text{Verim} = \frac{\text{Çıkış gücü/tur}}{\text{Giriş gücü/tur}} = \frac{0,004W}{(0,00717W)2\pi} = 0,0888 = 8,88\%$$

(b) Üstdeki vida daha kritiktir, zira onu daha büyük tork tatbik edilmektedir ve daha küçük kök alanına sahiptir. Hesaba katılması gereken, direkt basma gerilmesi,  $s_c$  ve burulma kesme gerilmesi,  $s_s$ , vardır.

$$s_c = \frac{W}{Kök alanı} = \frac{W}{\pi r_i^2} = \frac{W}{\pi(0,017)^2} = 1101W$$

$$r_i = r_o - \text{dış derinliği} = 0,025 - 0,008 = 0,017 \text{ m}$$

$$s_s = \frac{Tr}{J} = \frac{(0,00580W)(0,017)}{0,131 \times 10^{-6}} = 752W$$

$$r = r_i = 0,017 \text{ m}, J = \frac{1}{2}\pi r_i^4 = \frac{\pi}{2}(0,017)^4 = 0,131 \times 10^{-6} \text{ m}^4 \text{ ve } T = T' \text{ (a'nın bir parçası} = 0,00580W$$

$$\text{Maximum kesme gerilmesi, } \tau(\max) = \sqrt{(s_c/2)^2 + s_s^2}$$

$$28 \times 10^6 = \sqrt{(1101/2)^2 W^2 + 752^2 W^2}$$

$W = 30,000^W$  bulunur.

7. El kumandalı bir supap taşlama tezgahı gövde boyunca aşağıya doğru itilen bir somunla çalıştırılmaktadır. Gövdede eksenel yönde, helisel yivler kare kesillidir. Çözülme hareketi gövdenin dönmesine neden olmakta ve böylece subabı yuvasında çevrilmesi bir tornavida hareketiyle veya emme kepiyle rahatlıkla sağlanabilmektedir. Şemada görülenin dışında aşağıdaki verileri kabul ederek, Şekil. 12-9,

f, Somun ve gövde arasındaki sürtünme katsayısı = 0,10

Subab ve oturma yüzeyi arasındaki,  $f_0$  sürtünme katsayısı = 0,35

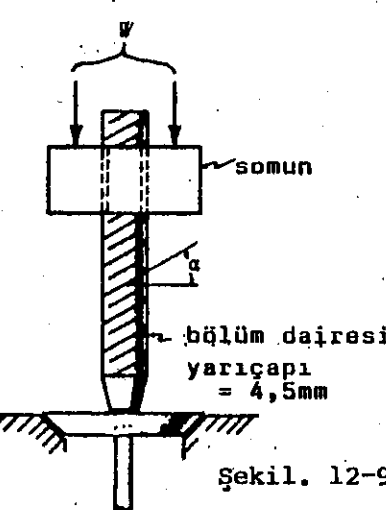
Subab ile oturma yüzeyi arasındaki ortalama sürtünme yarıçapı = 25mm

Kabul edilen şartlar altında, minimum helis açısı ne kadar olacaktır?  
**Çözüm:**

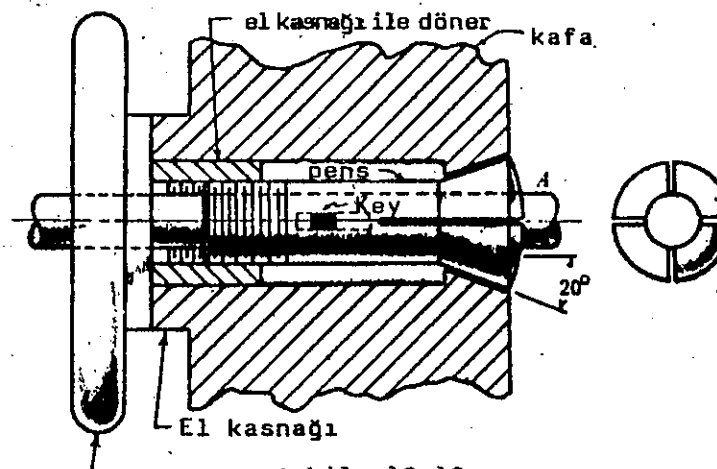
Helis açısı çözülmeyi garanti edecek şekilde en az değerde olmalıdır. Bu da ifadede  $T=0$  yapılarak bulunacak bir değerdir.

$$T = W \left[ r_m \left( \frac{-\tan \alpha + f/cos \theta_n}{1 - f \tan \alpha / cos \theta_n} \right) + f_c r_c \right]$$

$$\text{Sonra } \tan \alpha = \frac{r_m f + r_c f_c \cos \theta_n}{r_m \cos \theta_n - r_c f_c f} = \frac{(0,0045)(0,1) + (0,025)(0,35)(1)}{(0,0045)(1) - (0,025)(0,035)(0,1)} = 2,54 \text{ ve } \alpha(\min) = 68,5^\circ$$



Şekil. 12-9



Şekil. 12-10

8. Şekil. 12-10'da görülen pens aynası, bir el kasnağı ile hareket ettirilmekte, bu hareketiyle kafa içindeki konik oturma yüzeyine pens çekilebilmektedir. Bu, pens parçasının iş parçasını sıkıca tutmasına neden olmaktadır. Aşağıda verilenleri kabul ederek,

Pens ve konik yüzey sürtünme katsayısı = 0,20

Flanşdaki sürtünme katsayısı = 0,10

Diş sürtünmesi katsayısı = 0,10

Flanşın efektif yarıçapı,  $r_c = 20\text{mm}$

Diş,  $60^\circ$ - V, Diş çap 24mm, kök çapı 21,55mm ve pitch (adım) 2mm.

Eğer pens parçası iş parçasına 400N luk bir kuvvet uygulamak istiyorsa, el kasnağında ne kadarlık tork gerekli olacaktır?

**Çözüm:**

Pens parçalarının esnemesini ihmal edersek, pense ait bir parçaya ait serbest cisim şeması Şekil. 12-11'de olduğu gibi gösterilebilir.

$W$ , pens üzerindeki toplam yükür.  $P$ , ise, konik oturma yüzeyinin, pens parçası üzerinde uygulanan normal kuvvetdir. Pens ekseni paralel ve dik kuvvetler için denge denklemleri aşağıdaki ifadelerde olduğu gibi yazılabilir:

$$W/4 = P \sin 20^\circ + 0,20 P \cos 20^\circ$$

$$P \cos 20^\circ - 0,20 P \sin 20^\circ = 400$$

Benzer çözümle,  $W = 973\text{N}$  bulunur. Bu vida mekanizmasının yarattığı ek-senel kuvvettir.

El kasnağında gerekli olarak tork, (vida mekanizmasının somunu)

$$T = W \left[ r_m \left( \frac{\tan \alpha - f \cos \theta_n}{1 - f \tan \alpha / \cos \theta_n} \right) + f_c r_c \right]$$

$$\text{burada, } r_m = \frac{24 + 21,55}{4} = 11,39\text{mm} \quad \text{ve} \quad \tan \alpha = \frac{\text{hatve}}{2\pi r_m} = 0,0279$$

$\theta_n = \theta = 30^\circ$  alarak, ve  $f_c$  ve  $r_c$  değerlerini kullanarak,  $T = 4,51\text{N m}$

9. Civata gövdesindeki kesme gerilmesinin  $140\text{MN/m}^2$  yi aşmayacağı kabul edilerek, 20mm çapındaki bir civatayı sıkmak için gerekli anahtar torkunu hesaplayınız.

Civata dış çapı = 20,00mm

Kök çapı = 16,72mm

Diş kesiti,  $60^\circ$  eğimlidir. ( $\theta = 30^\circ$ ). Adım = 2,5mm

Somundaki efektif sürtünme yarıçapı,  $r_c = 12\text{mm}$

Diş ve flanş sürtünme katsayısı tahminen 1,0 dir.

**Çözüm:**

Civata gövdesindeki maximum kesme gerilmesi,  $s_{\max} = \sqrt{(s_t)^2 + s_g^2}$

$$\text{olup, bu ifade, } s_t = \text{direkt çekme gerilmesi} = \frac{4W}{\pi d_i^2} = \frac{4W}{\pi (0,01672)^2} = 4556W$$

$$s_g = \frac{T' r_l}{J} = \frac{T' r_l}{\frac{1}{2} \pi r_l^4} = 1,094 \times 10^6 T', \text{ ve}$$

$T'$  = vida torku = anahtar torku = flanş sürtünme torku

$$\text{Mamafih, } T = W \left[ r_m \left( \frac{\tan \alpha + f/cos \theta_n}{1 - f \tan \alpha / cos \theta_n} \right) + r_c f_c \right]$$

$$r_m = \frac{20 + 16,72}{4} = 9,18\text{mm}, \tan \alpha = \frac{\text{hatve}}{2\pi r_m} = \frac{2,5}{2\pi (9,18)} = 0,0433$$

$$f = f_c = 0,10, r_c = 12\text{mm}$$

$$\theta_n = \theta = 30^\circ, \text{ alınarak,}$$

$$T = W \left[ 0,00918 \left( \frac{0,0433 + 0,1/0,866}{1 - (0,1)(0,0433)/0,866} \right) + (0,1)(0,012) \right] \\ = 0,00146W + 0,0012W = 0,00266W$$

$$\text{sonra, } s_t = 1,094 \times 10^6 T' = (1,094 \times 10^6)(0,00146W) = 1596W$$

Şimdide,  $W$  için çözüm yapılacak olursa,  $W = 50,3\text{kN}$

Böylece, anahtar torku,  $T = 0,00266W = (0,00266)(50,300) = 134\text{N m}$

## Tamamlayıcı Problemler

10. Aşağıdaki veriler bir atölye mengenesine aittir. (Şekil. 12-12).

Vidanın dış çapı = 12mm

Kök çapı = 10,16mm

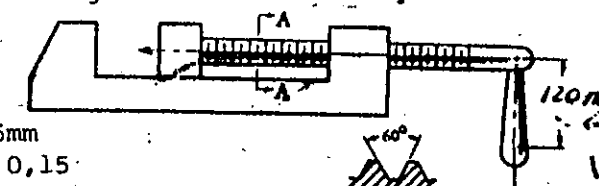
Adım (tek diş) = 1,5mm

Flanş sürtünme yarıçapı = 5mm

Flanş sürtünme katsayısı = 0,15

Vida sürtünme katsayısı = 0,15

Çalışanın rahatlıkla 120N luk bir kuvvet tatbik ettiğini kabul edelim.



Şekil. 12-12

- (a) Mengenenin geneleri arasında ortaya çıkan sıkma kuvvetini,  
(b) Mengenenin verimini,

- (c) Vida gövdesinin, A-A kesitindeki torku hesaplayınız.

Cev. (a) 7357N, (b) 812,2, (c) 5,52N m

11. Yük yönünde bir vida ve somunu hareket ettirmek için gerekli torku hesaplayınız. (Şekil. 12-6'daki şekilde benzer bir şematik resimden faydalananız.)

12. Aşağıdaki Şekil. 12-13'de dört ayrı durum gösterilmiştir. Durumla yükün bulunduğu ve torkun tatbik noktasına göre belirlenmiştir. Her bir durum için, eksenel yük,  $W$ , 10kN, dıştan tatbik edilen tork 90N m ve sürtünme torku ise, 30N m dir.

- (1) Her durum için, eksenel yükü ve torku tayin ediniz. Bu değerleri somunun hemen üstündeki kesit için, vida gövdesindeki gerilmelein hesabında kullanınız.

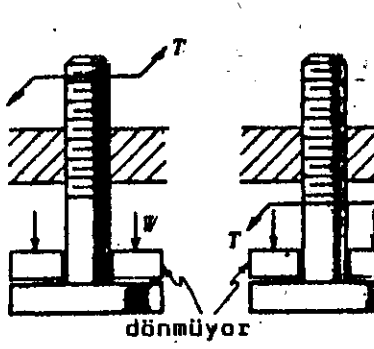
- (2) Somunun alt kısmındaki kesit için aynı hesaplamaları yapınız.

Cev. (1) (a) 10kN, 60N m, Cev. (2) (a) 0kN, 0N m

(b) 10kN, 30N m

(c) 0kN, 90N m

(d) 0kN, 0N m



Şekil. 12-13

13. 40kN luk bir kuvvet elde edebilmek için 24mm lik civata sıkıştırılmıştır. Aşağıda liste halinde verilen özelliklerini kullanarak,

- (a) Somuna tatbik edilecek gerekli sıkıştırma torkunu hesaplayınız.

- (b) Civata gövdesindeki maximum kesme gerilmesini hesaplayınız.

Civata dış çapı, 24mm, kök çapı, 20,32mm, adım, 3mm,  $f_c = f = 0,15$ ,  $r_c = 16\text{mm}$

Cev. (a) 193N m, (b) 84,9MN/m<sup>2</sup>

14. 13. Problemdeki özellikleri kullanarak, civata başının, sıkıştırma anında, tutulmaması için gereken sürtünme katsayısı ne kadar olur? Somun içinde aynı efektif sürtünme yarıçapını kabul ediniz.  
Cev. 0,151

15. Büyük bir sürgülü vana, basınçlı su hattında kullanılmaktadır. Sürgü 6000N gelmektedir. Su basınçından dolayı ortaya çıkan sürtünme kuvveti, açılmaya karşı koymakta ve değeri 2000N olmaktadır. Vana gövdesi dönmemekte ve yukarıya doğru kaldırılması ucuna takılı bir el kasnağı ile sağlanmaktadır. Vana gövdesindeki vadanın çapı 38mm dir. Kasnak iç çapı 40mm ve dış çapı 75mm olan bir takviye flansına basmaktadır. Vana gövdesindeki dişler kare diş olup (tek diş) adımı 8,5mm dir. Flanş için sürtünme katsayısını 0,25 ve dişler için ise 0,10 olarak kabul edilir.

(a) Vana sürgüsünü kaldırmak için ise 0,10 olarak kabul ediniz.

(b) Vida ve flanş mekanizmasının verimini hesaplayınız.

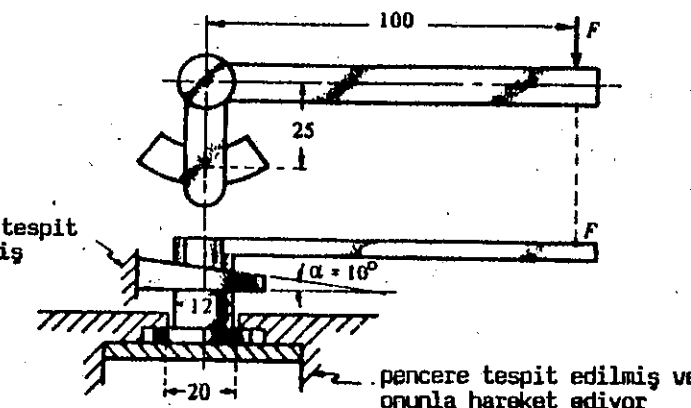
(c) Vida gövdesindeki maximum kesme gerilmesini hesaplayınız.

Cev. (a) 82,0N m, (b) 813,2, (c) 7,6MN/m<sup>2</sup>

16. Bir fıldönü tel halati gerginleştirmede kullanılmaktadır. Dişler kesitte karedir. Vidanın dış çapı 38mm ve adım 8,5mm dir. Somunda veda arasındaki sürtünme katsayısı 0,15 dir. Tel halatın 8000N kadar gerilmesi için fıldönüye tatbik edilmesi gereken tork ne kadardır?  
Cev. 63N m

17. Çelik vida, bronz somunu çevirmektedir. Somunun döndürülmesiyle bir ekstrüksiyon presinde 300kN luk eksenel yük oluşmaktadır. Vidanın dış çapı 100mm ve kare kesitli diş mevcutdur. (Derinlik = 1/2 adım), hatve 16mm dir. Somun boyu öyle seçilmişdir ki vida ile somun dişleri arasındaki yatak basıncı 16MN/m<sup>2</sup> yi geçmeyecektir. Ayrıca, somun dişlerindeki kesme gerilmeside 28MN/m<sup>2</sup> değerini aşamayacaktır. Uygun somun boyunu hesaplayınız. Cev. 130mm

18. Şekil. 12-14'de bir pencere mandal tipi görülmektedir. Pencere çerçevesi ve flanşındaki sürtünme katsayıları 0,3 ve 0,2 olarak kabul edilecektir. Pencereyi kapatmak için gerekli 280N u yaratmak için mandal kolunda tatbik edilmesi gereken  $F$  kuvveti ne kadar olmalıdır?  
Cev. 40N



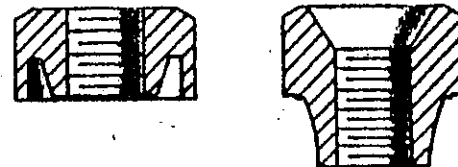
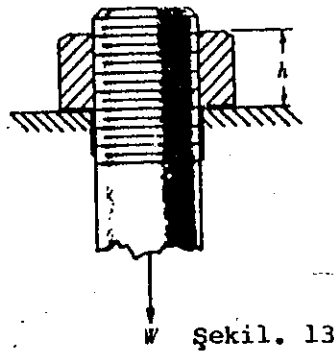
Şekil. 12-14



SOMUN İÇİN GEREKLİ BOY, dişin her dönüşünün, bileşke kuvvetinin,  $W$  eşdeğer bir parçası olarak kabul edilmesiyle hesaplanabilir. Şekil. 13-3'de gösterildiği üzere;

Gerilme altındaki civatanın mukavemeti, kesmeye maruz dişlerin mukavemetine eşit olacaktır. Gerilmeye maruz civata için,  $W = \frac{1}{4}\pi d_r^2 s_r$ ; kesmeye maruz dişler için, sünek malzemelerde,  $s_r = \frac{1}{2}s_t$ , ve sonra,

$$\frac{1}{4}\pi d_r^2 = \frac{1}{2}\pi d_r h \text{ veya } h = \frac{1}{2}d_r$$



Şekil. 13-4

Her dişin, kendi payına düşen yükü alır kabulu doğru değildir. Somun basıncı ve civata çekme altında olduğundan, yük, somunun altındaki dişlerine doğru kayacaktır. Ağır yüklerle tabii civatalarda, Şekil. 13-4'de görüldüğü gibi, daha iyi yük dağılımı sağlamak için bazen özel civatalar kullanılabilir.

CIVATANIN YORULMA MUKAVEMETİ, tatbik edilen maximum ve minimum yüklerle bağlıdır.  $W_2$ , dış yük değişken ise,  $W_1$  lik civata yükü, makul bir emniyet katsayı ile ayrılmayı önleyecek şekilde olmalıdır.  $W_1$ , dış yükü,  $W$  bileşke civata yüküne eşit olduğu zaman, ayrılma ortaya çıkacaktır. Sonra,

$$W_2 = W_1 + W_2 \left( \frac{m}{m+b} \right)$$

veya  $W_1 > W_1 \left( 1 - \frac{m}{m+b} \right)$  olmalıdır. Böylece, ayrılma önlenebilir. Ayrılma

olmadığı zaman yük,  $W_1$  ve  $W_1 + W_2 \left( \frac{m}{m+b} \right)$  değerleri arasında değişimlidir.

KÖKDE BİRİKEN GERİLME, standart bir diş için oldukça yüksektir. Fotoelastik testlere göre, statik gerilme konsantrasyon katsayısı 5,62 kadar büyük bir değerde olabilir. Statik yüklerle maruz sünek malzemeler için bu durum çok ciddi değildir. Mamafih, gerilme konsantrasyon katsayısının, standart kaba dişin mukavemet limitini düşürdüğü görülmüştür. Böyle bir halde kat sıayı 2 ile 4 arasında değer almaktadır. Böylece, değişken gerilmenin, dişli bir civatada, uygun bir gerilme katsayısı ile çarpılması gereklidir.

## Çözümlü Problemler

- Bileşke civata yükü,  $W$ , için  $W_1$  ve  $W_2$  tatbik edilen dış yük cinsinden bir ifade çıkarınız.

**Çözüm:**

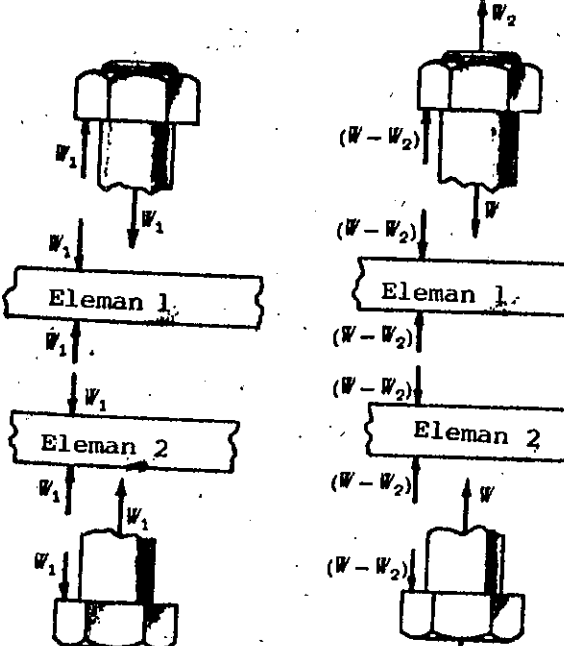
İki elemanın birbirleriyle civatalandığını düşünelim. Şekil. 13-5'de elemanların ve civatanın,  $W_1$  yüküne sıkıştırma yüküne maruz bırakılmış hali görülmektedir. Şekil. 13-5'da ise, elemanları ve civatayı, dış  $W_2$  yükünün tatbik edilmesinden sonraki durum gösterilmiştir. Civata boyundaki değişmenin, civata ile bağlanmış elemanların boydaki değişimlerine eşit olduğunu kabullenerek,

$$(\Delta L)_b = (\Delta L)_1 + (\Delta L)_2$$

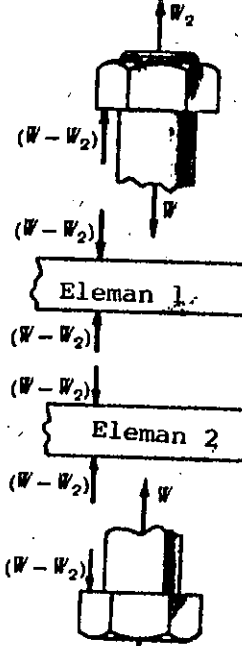
$$(W - W_1)b = [W_1 - (W - W_2)]m_1 + [W_1 - (W - W_2)]m_2$$

$$W = W_1 + W_2 \left( \frac{m_1 + m_2}{b + m_1 + m_2} \right) = W_1 + W_2 \left( \frac{m}{m+b} \right)$$

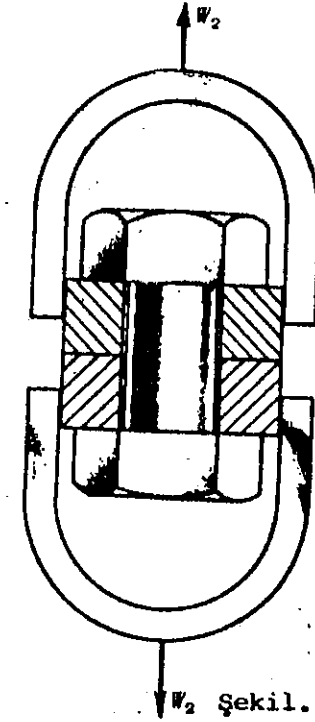
bulunabilir. Semboller bir önce kullanılanlar gibidir. (Not: Dış yükün civataya tatbik ettiği kabul edilecektir.)



Şekil. 13-5



Şekil. 13-6



Şekil. 13-7

- Şekil. 13-7'de gösterildiği üzere, iki elemanın birbirine bağlanması civataya yapılmaktadır. Elemanlar ve civata aynı malzemeden mamuldürler ve aynı kesit alanına haizdirler. İlk sıkıştırma yükü,  $W_1$ , 20kN ise, bunları ayırmak için gerekli  $W_2$ , dış yükün değeri ne kadar olacaktır?

**Çözüm:**

Bağlanacak ve civata malzemesi ve kesit alanlarında aynı olduğundan bunlar birim N yükü altında aynı sehime sahip olacaklardır. Böylece,

$$m = b \text{ ve } W = W_1 + W_2 \left( \frac{m}{m+b} \right) = W_1 + \frac{1}{2}W_2$$

olur.  $W_1 = 20$  ve  $W_2 = 40$  kN (ayrılmadan önce)

3. Civatayla bağlanmış elemanlar için birim yük başına gelen sehimin, civata için aynı kalması sağlanarak, çeşitli elemanlar birbirleriyle civata ile bağlanılmışlardır. Örn.  $m = b$  veya  $m/(m+b) = 1/2$ . Aşağıdakileri grafikle çizerek hesaplayınız. Bunun için Şekil. 13-2'yi kullanınız.

- (a) Civatadaki ilk sıkıştırma yükü 40kN ise, civatalanmış elemanların ayrılabilmeleri için ne kadarlık bir dış güç gerekecektir.  
 (b) 50kN luk dış yük için bileşke civata yükün ne kadar olur?  
 (c) 100kN luk dış yük için bileşke civata yükü ne kadar olur?

**Cözüm:** Şekil. 13-2'ye bakınız.

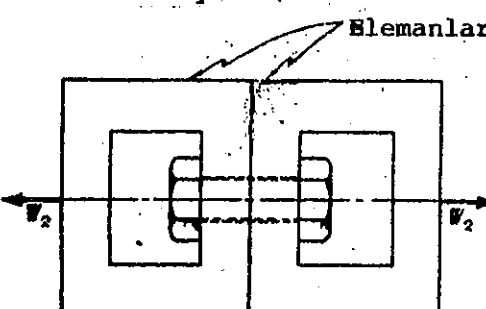
- (a)  $W_1 = 80\text{kN}$  luk dış yük halinde, ayrılma  $D$  noktasında görülür.  
 (b)  $W_1 = 50\text{kN}$  da, civata bileşke yükü,  $W = 65\text{kN}$  olur.  
 (c)  $W_1 = 100\text{kN}$  da, civata bileşke yükü,  $W = 100\text{kN}$  olur. (Ayrılma ortaya çıkmıştır.)

4. Şekil. 13-8'de görülen civatalı bir bağlantı, somunun sıkıştırılmasıyla ön yüklemeye tabi tutulmaktadır. Civatadaki ön yük  $5,3\text{kN}$  dir. Elemanların  $N$  yükü altında gösterdikleri sehim, civatada  $N$  yükü için görülen sehim arasındaki oran,  $1/3$  ise,  $W_1 = 9,6\text{kN}$  luk dış yük tabibiyle, civatadaki yükün ne olabileceğini hesaplayınız.

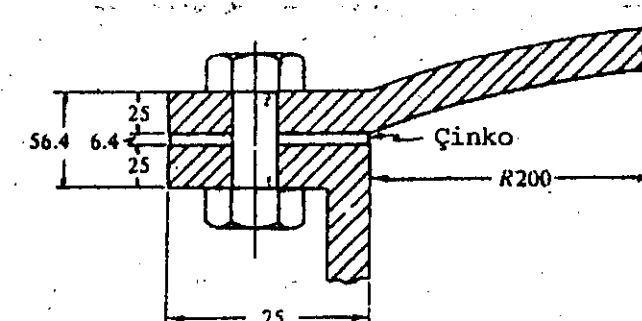
**Cözüm:**

$$m/b = 1/3, \text{ olduğundan, } W = W_1 + W_2 \left( \frac{m}{m+b} \right) = W_1 + \frac{1}{4}W_2 = 5,3 + \frac{1}{4}(9,6) = 7,7\text{kN}.$$

$W_2 > W$ , olduğundan, elemanlar ayrılmış durumdadır ve civatadaki son yük  $9,6\text{kN}$  dur.



Şekil. 13-8



Şekil. 13-9

5. Dökme demir basınç kabinin kapağı, Şekil. 13-9'da görüldüğü üzere M12 çelik civatalarla yerinde tutulmaktadır. Başlangıçdaki sıkıştırma yükü  $22\text{kN}$  dur. Kap  $21^\circ\text{C}$  de olduğu zaman basınçın atmosferik basınç olduğu söylenmektedir. Her civatadaki yükü hesaplayınız. Hesaplarınızı (a) Eğer basınç,  $1,4\text{MPa}$  a yükseltilince, (b) eğer kap  $121^\circ\text{C}$  ye kadar ısılırsa, içeriideki basınç atmosferik başlangıçta, (c) eğer kap  $121^\circ\text{C}$  ye kadar ısılırsa, içeriideki basınç  $1,4\text{MPa}$  başlangıçta, Çelik için  $E = 207\text{GPa}$ , dökme demir için  $= 83\text{GPa}$ , çinko için  $= 83\text{MPa}$  Çelik için lineer genleşme katsayıısı  $= 11,9 \times 10^{-6}/\text{K}$ , dökme demir için  $= 10 \times 10^{-6}/\text{K}$ , çinko için  $32 \times 10^{-6}/\text{K}$  dir.

- Cözüm:**  
 (a) Flansın ve çinko containının kesit alanı, beher civata için,

$$A = \frac{1}{10}(\pi D_m t) = \frac{1}{10} \pi \left( \frac{0,4 + 0,55}{2} \right) (0,075) = 0,0112\text{m}^2$$

M12 civatanın kesit alanı  $= 0,113 \times 10^{-3}\text{m}^2$

Böylece, çinko ve dökme demir flans için net alan  $= 0,0112 - 0,113 \times 10^{-3} = 0,0111\text{m}^2/\text{ci}$

$$s = \frac{\Delta L}{L} E = \frac{P}{A}, \text{ den } \frac{\Delta L}{P} = \frac{L}{AE} \text{ m sehim/yük, N elde edilir.}$$

$$(L/AE)_{çinko} = \frac{6,4 \times 10^{-3}}{0,0111 \times 83 \times 10^9} = 6,947 \times 10^{-12} \text{ m/yük N}$$

$$(L/AE)_{ci} = \frac{5 \times 10^{-2}}{0,0111 \times 83 \times 10^9} = 5,427 \times 10^{-11} \text{ m/yük N}$$

$$(L/AE)_{civata} = \frac{5,64 \times 10^{-2}}{0,113 \times 10^{-3} \times 207 \times 10^9} = 2,411 \times 10^{-9} \text{ m/yük N}$$

$$m = 6,947 \times 10^{-12} + 5,427 \times 10^{-11} \text{ m/yük N}, b = 2,411 \times 10^{-9} \text{ m/yük N}, \frac{m}{m+b} = 2,48 \times 10^{-2}$$

$$W_2 = \frac{\pi(0,4^2)}{4} \left( \frac{1,4 \times 10^6}{10} \right) = 1,76 \times 10^4 \text{ N civata ve } W = 22,000 + 2,48 \times 10^{-2} (1,76 \times 10^4) = 22,4\text{kN}$$

$$(b) (\Delta L)_{çinko}, sıcaklık değişmesinden dolayı = \frac{6,4 \times 10^{-3} (100)(32 \times 10^{-6})}{2,048 \times 10^{-5} \text{ m}}$$

$$(\Delta L)_{ci}, sıcaklık değişmesinden dolayı, = 2(0,025)(100)(10 \times 10^{-6}) = 5 \times 10^{-5} \text{ m}$$

$$(\Delta L)_{civata}, sıcaklık değişmesinden dolayı, = \frac{56,4 \times 10^{-3} (100)(11,9 \times 10^{-6})}{6,712 \times 10^{-5} \text{ m}}$$

$$(\Delta L)_{çinko} + (\Delta L)_{ci} = 2,048 \times 10^{-5} + 5 \times 10^{-5} = 7,048 \times 10^{-5} \text{ m}$$

$(\Delta L)_{civata} = (\Delta L)_{elemanlar}, (\Delta L)_{civata}, yük ve sıcaklık artışından dolayı artacaktır.  $W_1$  yük civatadaki yeni yük olarak alınır ve  $W_1 = 22\text{kN}$  olduğunu hatırlayarak,$

$$(\Delta L)_{civata} = \frac{(W'_1 - 22,000)(5,64 \times 10^{-2})}{0,113 \times 10^{-3} (207 \times 10^9)} + 6,712 \times 10^{-5} \\ = 2,411 \times 10^{-9} (W'_1 - 22,000) + 6,712 \times 10^{-5} \text{ m}$$

$(\Delta L)_{elemanlar}, yükdeki artışdan dolayı azalacak ve sıcaklık artışından dolayı artmaya temayıllidür. Böylece,$

$$(\Delta L)_{elemanlar} = \frac{(W'_1 - 22,000)(5,64 \times 10^{-2})}{0,0111 \times 83 \times 10^9} + 7,048 \times 10^{-5} \\ = 6,122 \times 10^{-11} (W'_1 - 22,000) + 7,048 \times 10^{-5} \text{ m}$$

$(\Delta L)_{civata} = (\Delta L)_{elemanlar} yaparak,  $W'_1 = 23,4\text{kN}$  bulunur. Bu yeni civata yüküdür.$

(c) Dış yük tabbik edildikten sonra, civata bileşke yükü,

$$W = 2,34 \times 10^4 + 2,48 \times 10^{-2} (1,76 \times 10^4) = 23,8\text{kN}$$

6. 250mm boyundaki M12 lik çelik civata, bir darbeli yüze maruzdur. Absorbe edilecek kinetik enerji 4J dir.

- (a) Civata başıyla somun arasında dış çekili kısım yok ise, civata gövdesindeki gerilmeyi hesaplayınız. (b) Dişlerin köklerine ait alandan dolayı, gövde alanı azaltılırsa gövdedeki gerilmeyi hesaplayınız.

**Cözüm:**

- (a) Çarpma ile ortaya çıkacak enerji, 12mm lik gövdenin uzamasıyla karşılanmaktadır.  $0,113 \times 10^{-3} \text{ m}^2$ .

$$U = \frac{F}{2} \delta = \frac{F}{2} \left( \frac{FL}{AE} \right) = \frac{F^2 L}{2AE}$$

veya  $F = \sqrt{\frac{2AEU}{L}} = \sqrt{\frac{2(0,113 \times 10^{-3})(200 \times 10^9)4}{0,25}} = 26,9 \text{ kN} (\text{darbe yükü})$

Kök alanı  $A_k = 76,2 \text{ mm}^2$ . Kök alanına bağlı olarak bulunan gerilme,  $s = 2,68 \times 10^4 / (76,2 \times 10^{-6}) = 353 \text{ MPa}$ . Bu değer gerilme konsantrasyonunu ihmali etmektedir.

(b) Civata gövdesinin çapı, kök çapına kadar indirilirse,

$$F = \sqrt{\frac{2(76,2 \times 10^{-6})(200 \times 10^9)4}{0,25}} = 22,1 \text{ kN} \quad \text{ve} \quad s = \frac{2,21 \times 10^4}{76,2 \times 10^{-6}} = 290 \text{ MPa}$$

Bulunan bu değerlerle, civata gövdesinin, çapını kök çapına kadar indirilmesiyle gerilme azaltılabilmektedir. Çarpma gerilmesi, civata boyunun artırılmasıyla da azaltılabilir.

7. Civata ile birbirlerine tespit edilmiş elemanlar arasında 380mm boyunda M24 civata kullanılmaktadır. İlk bağlamadaki yük 45kN dur. Dişler ve bilezik arasındaki sürtünme katsayısını 0,15 alınız ve bilezik yarıçapı 15mm dir. (a) Somuna tatbik edilen sıkma torkunu hesaplayınız. Bunun için, teorik dış tork ifadesini kullanınız. (b) Civatadaki maximum kesme gerilmesini hesaplayınız.

Cözüm:

(a) Özel dış için,  $d_o = 24 \text{ mm}$   $d_m = 22,155 \text{ mm}$   $\tan \alpha = \frac{\text{hatve}}{\pi d_m} = \frac{3 \times 10^{-3}}{\pi(0,02216)} = 0,0431$   
 $d_i = 20,3 \text{ mm}$   $r_m = 11,08 \text{ mm}$

$$T = 45,000 \left[ 11,08 \times 10^{-3} \left( \frac{0,0431 + 0,15/0,866}{1 - 0,0431 \times 0,15/0,866} \right) + 0,15 \times 15 \times 10^{-3} \right] \times 109 + 101 = 210 \text{ Nm}$$

Tatbik edilen torkun bir kısmı, dışler tarafından absorbe edilmişdir. Bu da 109N m kadardır. Bilezik tarafından absorbe edilen toplam tork değeri 101N m dir.

(b)  $t_x = \frac{45,000(4)}{\pi(20,3 \times 10^{-3})^2} = 139 \text{ MPa}$ ,  $t_{xy} = \frac{109 \times 16}{\pi(20,3 \times 10^{-3})^3} = 66,3 \text{ MPa}$ ,

ve  $t(\max) = \sqrt{(139/2)^2 + 66,3^2} = 96,1 \text{ MPa}$

8. Yatay bir civatanın gövdesinde hasıl olan maximum gerilme için uygun ifadeyi çıkarınız. Civata kafası,  $V$  hızıyla hareket eden bir  $W$  konsantrik ağırlığın çarpmasına maruz kalacaktır.  $W$  den ortaya çıkabilecek eğilmeyi ve gerilme konsantrasyonunu ihmali ediniz. Yandaki şekilde bakınız. (Şekil 13-10). Çözüm:

Hareketli parçanın sahip olduğu kinetik enerji, çarpmaya anında civata tarafından yutulmalıdır.  $N$ ,  $m$  ve  $s_n$  birimlerini kullanarak,  $\frac{1}{2}MV^2 = \frac{1}{2}Pd$ ,  $(W/g)V^2 = (sA)(sL/E)$ , ve  $s = V\sqrt{WE/gAL}$  çekme

9. Civatalı bir bağlantıya tatbik edilen dış yük sıfır ile 7,2kN arasında değer almaktadır. Civata ile elemanlar arasındaki, beher  $N$  e düşen sehim oranı, 3 dir. Civata malzemesi için,  $s$ , mukavemet sınırı, ters eksenel yüklemde 208MPa ve akma noktası 346MPa dadır. Dış için kök alanı  $84,3 \text{ mm}^2$  dir. Gerilme konsantrasyon katsayıısı  $k_f = 2,5$  ve emniyet katsayıısı,  $N = 2$  dir. Buna göre,  
(a) Ayrılma önlemek için, başlangıçta tatbik edilen yüklemeyi hesap-

layınız.

- (b) Ortalama  $s_m$ , yi ve değişken gerilme değerini,  $s_v$ , (a) da hesaplanan başlangıç yüküne bağlı olarak hesaplayınız.  
(c) Soderberg çalışma diyagramını kullanılan malzeme için çiziniz ve (a) da hesaplanan başlangıç yüküne göre civatanın emniyetli yüklenip yüklenmediğini araştırınız.

Cözüm:

(a) Ayrılma önlemek için,  $W_1 > W_2 \left( 1 - \frac{m}{m+b} \right)$  ise,  $\frac{m}{m+b} = \frac{1}{4}$  sonra,  
 $W_1(\min) = 7200(1 - \frac{1}{4}) = 5400 \text{ N}$

(b)  $W(\max) = 5400 + 7200/4 = 7200 \text{ N}$

$W(\min) = 5400 + 0 = 5400 \text{ N}$

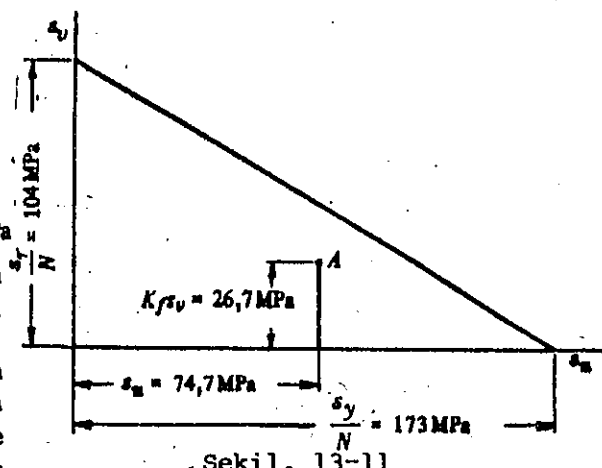
$w_m = 6300 \text{ N}$  (ortalama yük)

$w_v = 900 \text{ N}$  (değişken yük)

$s_m = 6300 / (84,3 \times 10^{-6}) = 74,7 \text{ MPa}$

$K_{fsv} = 2,5(900) / (84,3 \times 10^{-6}) = 26,7 \text{ MPa}$

- (c) Ortalama ve değişken yüklerin toplamı Şekil. 13-11'deki A noktasında gösterilmiştir. A noktası, çalışma hattının altına düşüğünden, civata emniyetli yüklenir. Gerilme konsantrasyon katsayısının sadece değişken gerilmeye uygulandığını unutmayın. Statik olarak ele alınabilecek ortalama gerilmede konsantrasyon katsayıısı kullanılmıştır.



Şekil. 13-11

## Tamamlayıcı Problemler

10. Basınç kabının kapağı, yerinde on adet M20 civatayla tutulmaktadır. Basınç 1,4MPa dir. Kapağın efektif alanı,  $0,2 \text{ m}^2$ , basınçla maruz kalmaktadır. Civataların, bağlı parçalara göre sertlik oranı 1/4 dir. Her civata ön yüklemelidir. (Basınç tatbikinden önce.) Başlangıçdaki sıkıştırma 27kN ya kadar yapılmıştır. (a) Bağlantı iç basınçın doğrudan yükten dolayı ayrılmak mıdır? (b) Bağlantı ayrılmıysa, eksenel yükten dolayı her civatada ortaya çıkan çekme gerilmesini hesaplayınız.

Cev. (a) Elemanlar ayrılmayacaktır. (b)  $s = 220 \text{ MPa}$ .

11. Bir yağ silindirinin iki ucu dört civatayla tespit edilmiştir. Civata alanları  $0,00013 \text{ m}^2$  ve her biri başlangıçta 13,4kN a kadar sıkılmıştır. Silindirin kesit alanı  $0,0013 \text{ m}^2$  dir. Civataların ve silindirin efektif boyu aynı kabul edilmekte, ve 460mm gelmektedir. Uçdaki plakaları çok riyid kabul ederek, piston ve kafaya 27kN luk yük tatbik edilebilecek basınçın bulunması halinde, her civataya düşen yükü hesaplayınız. Piston tam açılmış halde, strokun sonunda bulunmaktadır. Civata ve silindir malzemesi, çelik olup kopma mukavemeti 550MPa ve akma noktası 345MPa dir.

12. M20 lik tamamen çelik bir civata ( $A_e = 2,25 \times 10^{-4} \text{ m}^2$ ) iki çelik plakayı çelik bir silindirin uçlarını tespitde kullanılacaktır. Silindir içine, 10MPa lik yağ basınçlı tatbik edilmektedir. 50kN luk bir baş-

langıç çekmesinin, silindirden sızdırmayı önleyeceğini gösteriniz.  
Ve sonradan civatağı toplam yükü hesaplayınız.

Cev. 52,7kN

13. Dökme demir silindir kafası iç çapı 0,5m olan bir silindire sekiz adet civatayla bağlanmaktadır. Civatalanacak parçalara göre, civataının fazlasıyla esnek olduğunu düşünelim. 1,4MPa lik iç basınç için, civatalar üzerindeki kuvvet ne kadardır? Civatalar, 2,1MPa da açılacak olan bağlantıyı tam önleme sınırlıdır.

Cev. 51,54kN civata başına.

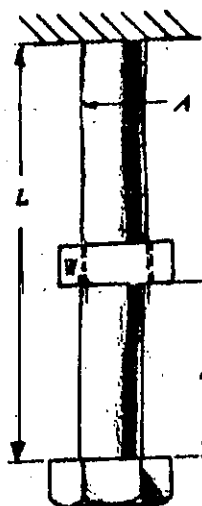
14. Baştan başa dış çekili bir civata, iki plakaya birbirine tespitde kullanılmaktadır. Plakalar arasında conta bulunmaktadır. Civatağı beher yük başına olan sehimin, civatalanmış parçalarda beher yük başına olan sehim orası 1/4 dür. Civatanın başlangıç sıkılma yüküne, ilave edilecek yükün yüzdesi ne kadardır? Plakaların yük altında ayrılmayacakları kabul edilecektir.

Cev. Tatbik edilen yükün %80 i civataya gider.

15. Düşey bir civatada hasıl olan çekme gerilmesi için gerekli ifadeyi çıkarınız. Ağırlığındaki konsantrik bir parça,  $h$  mesafesinden aşağıya doğru düşmektedir. (Şekil. 13-12)

Cev.

$$s = \frac{W}{A} \left( 1 + \sqrt{\frac{2AEh}{WL}} + 1 \right) \text{ (çekme)}$$



Şekil. 13-12

16. Civatalı bir bağlantıya tatbik edilen dış yük sıfırla 6,24kN arasında değerler almaktadır. Civata, başlangıçta 5,8kN luk yükle sıkılmıştır. Civatağı, kök alanı  $105 \times 10^{-6} \text{ m}^2$  dir. Civata için beher yük başına sehimin, elemandan beher yük başına sehim orası 3 dür.

- (a) Maximum ve minimum civata yüklerini hesaplayınız.  
(b) Gerilme konsantrasyon katsayısını 2,8 olarak, ortalama gerilme ve değişken gerilmeyi hesaplayınız.  
(c) Soderberg çalışma-gerilme diyagramını çiziniz ve civatanın 1,8 lik emniyet katsayılarıyla emniyetli yüklenip yüklenmediğini kontrol ediniz. Malzemede akma noktası 276MPa ve dayanıklılık limiti, ters eksepel yüklemeye 138MPa dır.

Cev. (a)  $W_{\max} = 7,36 \text{ kN}$ ,  $W_{\min} = 5,8 \text{ kN}$

(b)  $s_m = 62,7 \text{ MPa}$ ,  $s_v = 20,8 \text{ MPa}$

(c) Civata emniyetli yük altında

17. İki elemanın birbirleriyle tespitinde kullanılan civatalar için, başlangıç yük değerini bulunuz. M12 x 1,75 lik civatada maksimum kesme gerilmesi ne kadar olacaktır? Somunun 70N m lik torkla sıkıldığı bilinmektedir. Diş ve bilezik için sürtünme katsayıısı 0,15 dir. Flans yarıçapı 8,5mm alınabilir. Gerilme konsantrasyonunu ihmal ediniz.

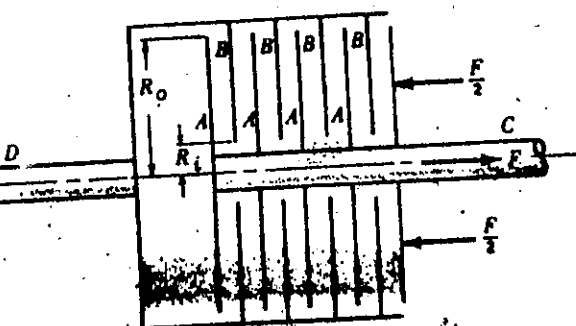
Cev. Başlangıç civata yükü = 27,9kN. Maximum kesme gerilmesi = 261MPa (9,83mm lik kök çapı esas alınmıştır.)

## Kavramalar

**KAVRAMA**, millerin birbirlerine irtibatlanmalarını ve birbirlerinden ayrılmalarını sağlayan bir sürtünme cihazıdır. Kavramaların ve frenlerin dizaynları çeşitli açılardan mukayese edilebilir. Bu çok diskli bir kavramanın fren olarak kullanılmasıyla açıklanabilir. Fren dizaynındaki bir problem, kavrama dizaynına göre daha belirgin olarak garip parki, bu da ısinin üretilmesi ve bunun dağıtılmıştır. Sürtünmeli kavramlarda, ısı, elemanların relatif hareketlerinden dolayı ortaya çıkar. Fakat, kayma miktarı, frende olduğu kadar büyük değildir. Sürtünmeyle aktarılan gücün her zaman kaymayı gerçekleştigi unutulmamak gereklidir. Bu nedenle pozitif güç aktarımı elde etmek istenince, pozitif bir cihaza başvurmak gereklidir. Geneli tipli kavrama.

### PLAKALI VEYA DISKLİ KAVRAMALAR

**ÇOK DISKLİ KAVRAMA**, Şekil. 14-1'de gösterilmiştir. Gösterilmiş plakalar, A, genelde çeliktirler. Bunlar C mili üzerine dizilmişler ve eksenel yönde hareket serbestliğine sahiptirler. (Sondaki disk hariç.) B olarak gösterilmiş diskler genelde bronzdan mamul olup, D miline tespit edilmişlerdir.



Şekil. 14-1.

$n = n_{\text{çelik}} + n_{\text{bronz}} - 1$   
Gösterilen sistem için,  $n = 5 + 4 - 1 = 8$ , temas halindeki yüzey çifti sayısı;

Tork kapasitesi,

$$T = M_f R_f n$$

$T$  = tork kapasitesi, N m

$M_f$  = eksenel kuvvet, N

$f$  = sürtünme katsayıısı

$R_f$  = sürtünme yarıçapı =  $\frac{2}{3} \left( \frac{R_o^3 - R_i^3}{R_o^2 - R_i^2} \right)$ , eğer temas basıncı uniform kabul edilirse,

$$= \frac{R_o + R_i}{2} \text{ Eğer aşınma uniform kabul edilirse,}$$

$R_o$  = Temas yüzeylerinin dış yarıçapı, m

$R_i$  = Temas yüzeylerinin iç yarıçapı, m

$n$  = Temas yüzeyleri çiftleri sayısı

$$\text{Eksenel kuvvet, } F, \quad p\pi(R_o^2 - R_i^2)$$

$p$ , ortalama basınçtır.

Aktarılan güç,

$$\text{Güç} = TN(2\pi/60)W$$

$T$  = mil torku, N m ve  $N$  = dönüş hızı, d/dk.

Uniform aşınma için, basınç değişimi,

$$p = \frac{C}{r} = \frac{F}{2\pi(R_o - R_i)r}$$

ile bulunur.  $C$ , sabite ve  $r$  ise, Şekil. 14-3'de gösterilen küçük elemanın yarıçapı. (sayfa. 168)

### KONİK KAVRAMALAR

**KONİK KAVRAMA**, işlerliğini konik parçanın sıkıştırma hareketiyle gerçekleştirir.

(a) Konik parçalar birbirine temas halinde, konik kavramanın tork kapasitesi, uniform basınçla bağlı kalınarak,

$$T = \frac{Ff}{\sin \alpha} \left( \frac{2}{3} \right) \left( \frac{R_o^3 - R_i^3}{R_o^2 - R_i^2} \right)$$

Tork kapasitesi ayrıca,

$$T = Ff \left( \frac{R_o^3 - R_i^3}{3R_m b \sin^2 \alpha} \right)$$

$T$  = Tork, N m

$F$  = Eksenel kuvvet, N

$f$  = Sürtünme katsayısı

$R_o$  = Temasın dış yarıçapı, m

$R_i$  = Temasın iç çapı, m

$R_m$  = Ortalama yarıçap =  $\frac{1}{2}(R_o + R_i)$ , m

$b$  = Temas yüzü eni, m

$\alpha$  = Koniklik açısı

$$\text{veya } T = Ff \left( \frac{2}{3} \right) \left( \frac{R_o^3 - R_i^3}{R_o^2 - R_i^2} \right) \quad F_n = p(2\pi R_m)(b).$$

(b) Konik kavramanın tork kapasitesi, aşınma dikkate alınarak,

$$T = \frac{FfR_m}{\sin \alpha} \quad \text{veya } T = F_n R_m.$$

Basınç değişimi, uniform aşınma gözönüne alınarak,

$$p = \frac{F}{2\pi(R_o - R_i)r} \quad \text{Şekil. 14-8'e bakınız.}$$

Maximum basınç en küçük yarıçapta oluşur;  $P_{max} = \frac{F}{2\pi(R_o - R_i)R_i}$

Minimum basınç en büyük çapta oluşur;  $P_{min} = \frac{F}{2\pi(R_o - R_i)R_o}$

$$\text{Ortalama basınç} = \frac{F}{\pi(R_o^2 - R_i^2)}$$

**KONİK KAVRAMALARIN DEVREYE ALINMASI**, konik kavramanın iki ayrı elemanı aynı hızlarda dönerlerken, bunların birbirleriyle irtibatlarını sağlamak için tatbik edilecek kuvvet, aslında çalışma sırasında istenenden daha fazla olabilir. Bu, bu türdeki kavramlar için bir problem teşkil eder. Sürtünme kuvvetinin devreye alma durumuna bağlı olduğundan, problemin analizi daha da güçleşebilir. Devreye almada, relativ döner hareketin, relativ eksenel harekete oranı şeklinde tanımlanabilir. Konservatif bir işlem için, kavramın devreye alınması sırasında relativ döner hareketin oluşmadığı kabul edilir. Böylece, kavrama elemanlarının birbirleriyle teması yani kavramın devreye alınması için, gerekli  $F_e$  kuvveti,

$$F_e = F_n(\sin \alpha + f \cos \alpha)$$

olur. Bu kuvvet istenen maximum değer olup,  $F_n$  nin elde edilmesi için gereklidir. Bu kuvvetde sonradan, arzulanan sürtünme torkunu elde edebilmek için, sürtünme kuvveti şecline dönüsecektir.

**KAVRAMADA, KOVAN İLE KARŞILIĞINI BİRLİKTE DEVREYE ATMAK İÇİN GEREKLİ EKSENEL KUVVET**, sürtünme esas alınarak, kavrama elemanlarının birbirleriyle temas etmeleri için gerekli eksenel kuvvet,

$$F = F_n \sin \alpha \quad \text{ve} \quad F = F_n(\sin \alpha - f \cos \alpha)$$

değerleri arasında değişecektir. Titreşimden dolayı, Titreşim pek stabil olamaz ve iki ayrı parçayı birlikte tutmak için gerekli kuvvet,  $F$  in büyük değerleridir:  $F = F_n \sin \alpha$ .

**KAVRAMA ELEMANLARINI BİRBİRLERİNDEN AYIRMAK İÇİN GEREKLİ EKSENEL KUVVET**, aslında koniklik açıları müsterek seçilirse, parçaları birbirinden ayırmak için kuvvet gerekmez. Zira, eğer,  $f \cos \alpha > \sin \alpha$  ise parçaları birbirinden ayırmak için gerekecek  $F_d$  kuvveti,  $F_d = F_n(f \cos \alpha - \sin \alpha)$  dir.

**KONİK KAVRAMADA GÜC KAPASİTESİ**, aşağıdaki şekilde bulunabilir. İfade uniform basınçla göre ayrı ayrı çıkarılabilir.

$$\text{Uniform aşınma : } P = TN(2\pi/60) = \frac{(F_n f D_m / 2) N}{9,549} = \frac{F_f R_m}{\sin \alpha} \left( \frac{N}{9,549} \right) \text{ Watt}$$

$$\text{Uniform basınç : } P = TN(2\pi/60) = F_n f \left( \frac{2}{3} \right) \left( \frac{R_o^3 - R_i^3}{R_o^2 - R_i^2} \right) \frac{N}{9,549} = \frac{F_f}{\sin \alpha} \left( \frac{2}{3} \right) \left( \frac{R_o^3 - R_i^3}{R_o^2 - R_i^2} \right) \frac{N}{9,549}$$

$F$  = Eksenel kuvvet, N

$f$  = Sürtünme katsayısı,

$R_o$  = Dış yarıçap, m

$R_i$  = İç yarıçap, m

$N$  = Dönüş hızı, d/dk

$\alpha$  = Koniklik açısı

$F_n = p(2\pi R_m)(b)$ ,  $p$ , ortalama basınç  $R_m$  ortalama koni yarıçapı, ve  $b$  de alın yüzü enidir.



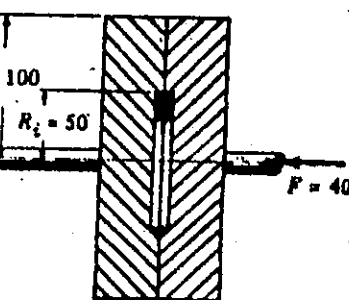
5. Eksenel kuvvetin 4000N olduğu bir plakalı kavramada, maximum, minimum ve ortalama basınç hesaplayınız. Temasda iç yarıçap  $R_i = 50\text{mm}$ , dış yarıçap, dış yarıçap,  $R_o = 100\text{mm}$ . Uniform aşınma kabul edilecektir.  $F = 4000\text{N}$  Şekil. 14-5'e bakınız.

**Cözüm:**

Basınç değişimi,

$$p = \frac{C}{r} = \frac{F}{2\pi(R_o - R_i)r} \text{ ile bulunur.}$$

Şekil. 14-5



Maximum basınç,  $r = R_i$  olduğu zaman ortaya çıkar.

$$p(\max) = \frac{4000}{2\pi(0.1 - 0.05)(0.05)} = 255\text{kN/m}^2$$

Minimum basınç  $r = R_o$  olduğu zaman ortaya çıkar,

$$p(\min) = \frac{4000}{2\pi(0.1 - 0.05)(0.1)} = 127\text{kN/m}^2$$

$$\text{Ortalama basınç } p = \frac{\text{kuvvet}}{\text{temas yüzeyi}} = \frac{F}{\pi(R_o^2 - R_i^2)} = \frac{4000}{\pi(0.1^2 - 0.05^2)} = 170\text{kN/m}^2$$

6. Çok diskli bir kavrama, çelik-bronzdan mamul olup, 750d/dk da 4kW aktaracaktır. Temas noktasında iç yarıçap, 40mm ve dış çap ise, 70mm dir. Kavrama yağ içinde çalışmaktadır ve ümit edilen sürtünme katsayısı 0,10 dur. (Yağ, daha rahat devreye alma ve ısının dağıtılmamasında, kapasite azaltılsa bile, için kullanılmaktadır.) Ortalama müsaade edilen basınç  $350\text{kN/m}^2$ , maximumdur. (İyi ısı dağılımı için yeterli yüzey elde etmekde düşük dizayn basınçları kullanılır.)

ozum

(1) Çelik ve Bronzdan olmak üzere toplam kaç tane disk kullanılacaktır?

(2) Ortalama basınç ne kadardır?

(3) Gerekli basınç ne kadardır?

(4) Hakiki maximum basınç ne kadardır?

**Cözüm:**

(a) İlk defa, aşınmayı uniform kabul ederek, temas eden bir çift yüzey için tork kapasitesini hesaplayınız.

$$(b) Tatbik edilen toplam tork,  $T = \frac{4000(60)}{750(2\pi)} = 50.9\text{ N m}$$$

$$(c) Yüzey çiftleri sayısı = \frac{\text{toplam tork}}{\text{tork/çift}} = \frac{50.9}{20.0} = 2.54$$

Kullanılacak sayının çift olması gerekiğinden, 4 çift yüzeyde, 3 çelik 2 bronz disk kullanınız.

- (d) 4 çift yüzey kullanarak, düşünülmüş basınç değerini kullanabiliriz

$$\text{Bir çift yüzey başına hakiki tork} = \frac{\text{toplam tork}}{\text{yüzey çiftleri}} = \frac{50.9}{4} = 12.7\text{ N m}$$

- (e) Gerekli hakiki kuvveti hesaplamak için;

$$T' = Ff \left( \frac{R_o + R_i}{2} \right), 12.7 = F(0.1) \left( \frac{0.07 + 0.04}{2} \right), F = 2310\text{N}$$

$$\text{Ortalama basınç, } \frac{F}{A} = \frac{2310}{\pi(0.07^2 - 0.04^2)} = 223\text{kN/m}^2$$

- (f)  $r = R_i$  de maximum basınç ortaya çıkar;

$$p(\max) = \frac{F}{2\pi(R_o - R_i)r} = \frac{2310}{2\pi(0.07 - 0.04)(0.04)} = 306\text{kN/m}^2$$

**Cevaplar:** (1) Dört çift yüzey, 3 adet çelik ve 2 adet bronz disk, toplam 5 disk. (2) Ortalama basınç =  $223\text{kN/m}^2$ . (3) Eksenel kuvvet = 2310N. (4) Hakiki, maximum basınç  $306\text{kN/m}^2$ .

8. Çok diskli bir kavrama 5 çelik ve 4 adet bronz diskten oluşmuştur. Kavramadan  $16\text{N m}$  lik tork aktarması istenmektedir. Eğer iç çap, 50mm ile sınırlandırılıyorsa, (1) disklerde gerekli dış çapı, (2) gerekli eksenel kuvveti, hesaplayınız. Sürtünme katsayısı 0,1 olarak alınabilir. Ortalama basınçın  $350\text{kN/m}^2$  yi geçmemesi arzu edilmektedir. Aşınmanın uniform olduğu kabul edilmektedir.

**Cözüm:**

$$\text{yüzey çiftleri başına tork} = \frac{16}{8} = 2\text{Nm. , Sonra,}$$

$$2 = Ff \left( \frac{D_o + D_i}{4} \right) = \left[ \frac{\pi}{4} (D_o^2 - D_i^2) p \right] f \left( \frac{D_o + D_i}{4} \right) = \left[ \frac{\pi}{4} (D_o^2 - 0.05^2) (350,000)(0.1) \left( \frac{D_o + 0.05}{4} \right) \right]$$

buradan, deneme ve sınama ile  $D_o = 0.07 = 70\text{mm}$

$$D_o = 70\text{mm} \text{ için, } F = \frac{T}{f(D_o + D_i)/4} = 666\text{N} (\text{ve ortalama basınç} = \frac{(666)(4)}{\pi(0.07^2 - 0.05^2)} = 353\text{kN/m}^2)$$

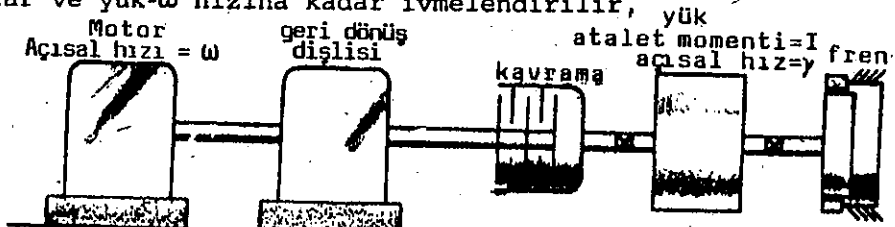
9. Bir kavramın incelendiğinde, hangi şartlar altında uniform basınç, uniform aşınmadan daha uygun olabilecektir?

**Cözüm:**

Aşınma ortaya çıktığında, sehimi karşılayabilecek esnek plaka kullanılmasında, uniform basınç kabulu daha uygun olacaktır?

10.  $\omega$  sabit hızında dönen bir motor geri dönüş tertibatlı bir dişli düzineyle belli bir yükü qevirmektedir. Bunun için uygun kavrama ve düzen Şekil. 14-6'da gösterilmiştir. Yükü durdurabilmek için fren tertibatı kullanılmıştır. Çalışma için iki metodun mukayesesini yapılacaktır.

(1) Birinci metoda, kavrama devrededir ve yük, motor dönüş hızı  $\omega$  ya kadar getirilmiştir.  $\omega$  hızına kadar yükselmesi belli bir tane saniyede olmaktadır. Kavrama devreden çıkarılınca fren yükü durdurur. Geri dönüş dişlisine yol verilip, dönme ters yönde başlar ve  $\omega - \omega$  hızına kadar ivmelenir, yük



Şekil. 14-6

(2) İkinci metodda, kavrama devrededir. Yük belli bir  $t$  saniyede  $\omega$  hızına erişmektedir. Sonra kavrama devreden çıkarılıp, yük durdurulup, geri dönüş dişlisile hareket ters çevrilir ve motor, yük  $-\omega$  hızına erişinceye kadar dönmeye devam eder.

İki metodda sürtünme nedeniyle ortaya çıkan ısı miktarını mukayese ediniz.

**Çözüm:**

A. Önce 1. metodu ele alalım;

$T$  = kavrama tarafından yaratılan sürtünme torku, (aynı zamanda motor torkudur) ve  $d\theta =$  motordaki elemanter bir dönüş açısı olsun. Yükün,  $\omega$  hızına erişinceye kadar motorca yapılan iş,

$$W_m = \int_0^t T d\theta = \int_0^t T \omega dt$$

zira,  $d\theta/dt = \omega$  dir. (Sabit motor hızı). Fakat yük üzerindeki, kavrama tarafından yaratılan tork, yüke  $\alpha$  gibi bir açısal hız kazandırır. Neticede,  $T = I\alpha$  elde edilirki,  $I$  yükün polar atalet momentidir.

$$W_m = \int_0^t I\alpha dt = I\omega \int_0^t \alpha dt$$

$d\gamma/dt = \alpha$  olduğundan,  $\gamma$  yükün açısal hızı olmak şartıyla, hız 0 dan motor hızı değerine,  $\omega$  kadar değerler alabilir. Motorun yaptığı iş ise,

$$W_m = I\omega \int_0^\omega d\gamma = I\omega[\omega - 0] = I\omega^2$$

İsya dönüşüm sürtünme işi,  $W_f$ , motora verilen enerji olup, dönüşün kinetik enerjisinden daha küçüktür.

$$W_f = W_m - \frac{1}{2}I\omega^2 = I\omega^2 - \frac{1}{2}I\omega^2 = \frac{1}{2}I\omega^2$$

Kavrama devrede olmadığı halde, yüze bir fren tatbik edilirse, sürtünmede kaybolan enerji, döner elemantların kinetik enerjilerine eşittir veya  $\frac{1}{2}I\omega^2$  dir. Geri dönüş dişlis devreden çıkarılıp, yük motorla aynı hızza eriştilirse,  $-\omega$  sürtünmede yapılan iş, yukarıdaki gibi elde edilebilir ve bu da  $\frac{1}{2}I\omega^2$  dir.

Kaybolan enerji üç grupta toplanabilir: (a) Hızın sıfırdan  $\omega$  hızına kadar çıkışında, kavramdaki sürtünmede kaybolan enerji,  $\omega \cdot \frac{1}{2}I\omega^2$ . (b) Frenlemede kaybolan enerji,  $\frac{1}{2}I\omega^2$ . (c) Hızın sıfırdan  $-\omega$  hızına kadar çıkışında, kavramada kaybolan enerji  $-\omega \cdot \frac{1}{2}I\omega^2$  dir. Böylece, bu metodda kaybolan toplam enerji  $(1)(3/2)I\omega^2$  dir.

Toplam çevrim için geçen zaman,  $t$  saniye sıfırdan  $\omega$  hızına kadar geçen süre ile,  $\omega$  dan sıfıra kadar geçen süre,  $t$  saniye ve sıfırdan da  $-\omega$  a kadar sürenin toplamıdır. (Bununla frenleme zamanının ivmelenme zamanına eşit olduğu kabul edilmektedir.) Toplam zaman (1) metodu için  $3t$  saniyedir.

B. 2. metodu ele alalım:

Yük hızının  $\omega$ , motor hızına çıkarılınca kadar yapılan sürtünme işi, daha önce olduğu gibi  $\frac{1}{2}I\omega^2$  dir.

Kavrama devreden çıkarılıncaya, geri dönüş dişlis devreden çıkar ve kavrama tekrar devreye alınabilir. Motor sabit bir  $\omega$  hızıyla dönmekte ve böylece motor tarafından yapılan iş,

$$\text{İş} = \int_{t_1}^t T \omega dt = \int_{t_1}^t -I\omega dt = -I\omega \int_{+\omega}^{-\omega} dy = 2I\omega^2$$

Motor torkunun, geri dönüş dişlisinin girişine tatbik edildiğini unutmayın. Böylece, motor torkunun yönü, yüze tatbik edilen torkla

ters yöndedir.  $T = -I\alpha$

Yükün  $\omega$  hızıyla döndüğü zamanki kinetik enerjisi  $-\omega$  hızıyla döndüğü zamanki kinetik enerjisine eşit olduğundan, motor tarafından yapılan iş, kavramanın kayması anında ortaya çıkan ısı olarak görülür. Böylece, sürtünme işi tarafından kullanılan toplam enerji, 2. metodunda,  $(\frac{1}{2}I\omega^2 + 2I\omega^2) = (5/2)I\omega^2$  olmaktadır.

2. metodda, toplam zaman, çevrimde, yükü 0 dan  $\omega$  hızına kadar geçen süre,  $t$  ile  $\omega$  dan  $-\omega$  ya kadar geçen  $2t$  lik sürenin toplamıyla bulunur. Bu da  $3t$  saniyedir.

Böylece iki metod içinde hesaplanan toplam süre aynı olmaktadır. Fakat 1 metoduna 2. ye nazaran daha verimi daha yüksektir. 1. deki kayıplar  $(3/2)I\omega^2$ , sürtünme içinde ve 2. deki kayıplar ise, yine sürtünmede  $(5/2)I\omega^2$  dir.

Bunların aksine, 2. no'lu metod 1. e nazaran daha çabuk neticeye ulaşır. Zira frenin, kavramanın ve geri dönüş dişlisinin kullanılması için daha az zamana ihtiyaç vardır.

11. Konik parça ile karşılığı arasında basıncı uniform kabul ederek, bir konik kavrama için tork kapasitesi ifadesini çıkarınız. (Şekil. 14-7'ye bkz.)

**Çözüm:**

(a)  $r$  ve  $(r+dr)$  yarıçaplarıyla çevrili bir elemanter alanı ele alalım. Konideki bu elemantın alanı,

$$dA = 2\pi r \left( \frac{dr}{\sin \alpha} \right)$$

(b) Elemanter, torkların integrasyonu,

$$dT = \int_{R_i}^{R_o} \left( 2\pi r \frac{dr}{\sin \alpha} \right) p f r$$

veya

$$T = \frac{2\pi p f}{\sin \alpha} \left( \frac{R_o^3 - R_i^3}{3} \right)$$

(c) Düzlemede yayılı halde, alana tatbik edilen basınçtan ötürü, ortaya çıkan  $F_n$  kuvvetini tanımlayınız.  $F_n = p(2\pi R_m b)$

(d)  $F_n$  ile  $F$  eksenel kuvveti arasında bir bağıntı kurabilmek için,  $d\phi$  lik bir merkez açısına sahip elemantı ele alalım. Bu elemantın alanı,

$$\int dA = 2\pi R_m b (d\phi/2\pi) = R_m b d\phi$$

elemantaki normal kuvvet  $dN = pR_m b d\phi$  dir. Elemanter kuvvetden dolayı yatay bileşeni ise,  $dF$  olup, bu da,

$$\int dF = \int_0^{2\pi} R_m b d\phi \sin \alpha \text{ veya } F = 2\pi p R_m b \sin \alpha = F_n \sin \alpha$$

(e), (c) ifadesinden elde edilen  $p$  basınç değerini (b) yerine koyalım, bu takdirde,

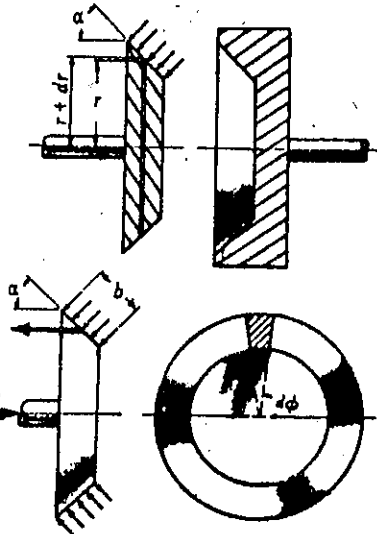
$$T = \frac{F_n f}{R_m b \sin \alpha} \left( \frac{R_o^3 - R_i^3}{3} \right) = F_n f \left[ \frac{2}{3} \left( \frac{R_o^3 - R_i^3}{R_o^2 - R_i^2} \right) \right] = \frac{F f}{\sin \alpha} \left[ \frac{2}{3} \left( \frac{R_o^3 - R_i^3}{R_o^2 - R_i^2} \right) \right]$$

elde edilir. Zira,  $R_m = \frac{1}{2}(R_o + R_i)$ ,  $(b \sin \alpha) = R_o - R_i$ , ve  $F_n = F/\sin \alpha$ .

12. Uniform aşınma gözönüne alınarak, konik kavrama için tork kapasitesini hesaplayınız. (Şekil. 14-8'e bkz.)

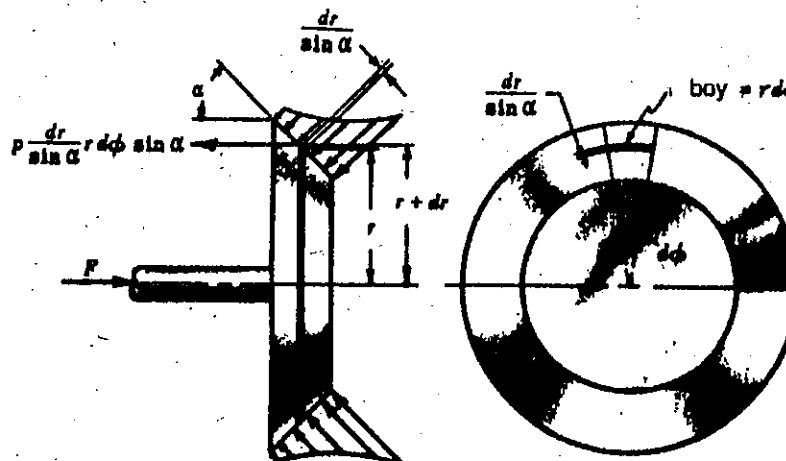
**Çözüm:**

(a) Aşınmanın uniform olabilmesi için, birim alandaki işin sabit



Şekil. 14-7

olması gereklidir. Elemanter bir alan ele alalım:



Şekil. 14-8

bahis konusu alan,  $r$  ve  $(r+dr)$  yarıçaplarıyla çevrilmiştir.

$$\frac{N \text{ devirde yapılan iş}}{\text{alan}} = \frac{pf[2\pi r(dr/\sin \alpha)](2\pi rN)}{2\pi r(dr/\sin \alpha)} = \text{sabit}$$

veya  $p = C/r$ ,  $C$  sabit sayısı,

Bu netice, sabit herhangi bir noktadaki aşınma gözönüne alınarakda bulunabilir ve basınç ile hızın çarpımı eşittir. Böylece,  $\text{aşınma} = KpV = Kp(\omega r) = \text{sabit}$  veya  $p = C/r$  dir.  $\omega$  sabittir.

$$(b) \text{Tork}, T = \int_{R_i}^{R_o} pf \left( 2\pi r \frac{dr}{\sin \alpha} \right) r = 2\pi C f \left( \frac{R_o^2 - R_i^2}{2 \sin \alpha} \right), \\ C = pr.$$

$$(c) F_n = \int_{R_i}^{R_o} p \left( 2\pi r \frac{dr}{\sin \alpha} \right) = \frac{2\pi C}{\sin \alpha} (R_o - R_i)$$

d)  $C$  yi yok etmek için, (c) den bulunan  $C$  değerini (b) de yerine koymalıız.

$$T = F_n f R_m$$

e)  $F_n$  ile  $T$  arasındaki bağıntı, elemanter alanda bir elemanter normal kuvveti ele alınarak kurulabilir. Alan  $dr/(\sin \alpha)$  ve  $r(d\phi)$  ölçüsünü taşımaktadır.  $dF_n = p(dr/\sin \alpha)r d\phi$

f) Elemanter alandaki kuvvetlerin yatay bileşenlerinin toplamı  $F$ :

$$F = \int_{R_i}^{R_o} \int_0^{2\pi} p \frac{dr}{\sin \alpha} r d\phi \sin \alpha = \int_{R_i}^{R_o} \int_0^{2\pi} \frac{C}{r} (dr) r d\phi \\ = 2\pi C (R_o - R_i)$$

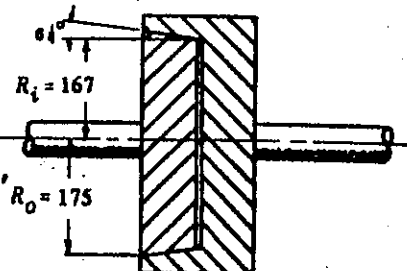
(c) den,  $2\pi C (R_o - R_i) = F_n \sin \alpha$ ; Böylece,  $F = F_n \sin \alpha$ , uniform basınçda olduğu gibi,  $F_n = F/(\sin \alpha)$  değerini (d) ifadesinde yerine koymak,

$$T = F_n f R_m = \frac{F}{\sin \alpha} f R_m$$

13. Yüzey malzemesi konik kavramadan, 1250d/dk da 200N m luk torku aktarması istenmektedir. Kavramanın büyük çapı 350mm, koniklik açısı  $64^\circ$  alınız. Eni,  $b$ , 65mm ve sürtünme kat sayısı 0,20 dir. Şekil. 14-9'a bkz.
- (a) Torku aktaracak gerekli eksenel kuvveti,
  - (b) Kavramanın devreye alınması, kavrama sabit iken gerçekleşmektektir. Kavramayı devreye almak için gerekli  $F_e$ , eksenel kuvvetini,

- (c) Maximum tork aktarılması halinde, temas yüzeylerindeki ortalama normal,  $p$  basınçını,
- (d) Aşınmayı uniform kabul ederek, maximum normal basınç hesaplayınız.

Şekil. 14-9



$$(a) R_m = R_o - \frac{1}{2} b \sin \alpha = 175 - \frac{1}{2}(65)(0,1089) = 171 \text{ mm}$$

$$(b) T = \frac{F}{\sin \alpha} f R_m, 200 = \frac{F}{0,1089} (0,20)(0,171), F = 637 \text{ N}$$

$$(c) F_e = F_n (\sin \alpha + f \cos \alpha) = \frac{T}{f R_m} (\sin \alpha + f \cos \alpha) = \frac{200}{(0,20)(0,171)} (0,1089 + 0,199) = 1800 \text{ N},$$

$$(d) p = \frac{F}{\pi(R_o^2 - R_i^2)} = \frac{637}{\pi(0,175^2 - 0,167^2)} = 74,1 \text{ kN/m}^2$$

$$(e) p(\max) = \frac{F}{2\pi(R_o - R_i)R_i} = \frac{637}{2\pi(0,175 - 0,167)(0,167)} = 75,9 \text{ kN/m}^2$$

14. 13. Problemdeki şartları ve aynı kavramayı gözönüne alarak, uniform basınçda,

(a) Tork aktarmak için gerekli eksenel kuvvet,  $F$ , i

(b) Kavramayı devreye sokmak için gerekli,  $F_e$ , eksenel kuvveti, kavrama devreye, dönmeye başlamadan önce girmektedir.

(c) Maximum tork aktarılması halinde, temas yüzeylerindeki ortalama normal basınç,  $p$ , i hesaplayınız.

Cözüm:

$$(a) T = F f \left( \frac{R_o^3 - R_i^3}{3R_m b \sin^2 \alpha} \right), 200 = F(0,20) \left[ \frac{0,175^3 - 0,167^3}{3(0,171)(0,065)(0,1089^2)} \right], F = 563 \text{ N}$$

$$(b) F_e = F_n (\sin \alpha + f \cos \alpha) = 5173(0,1089 + 0,199) = 1592 \text{ N}, F_n = \frac{F}{\sin \alpha} = 5173 \text{ N} \text{ olmak şartıyla,}$$

$$(c) F_n = p(2\pi R_m b), 5173 = p(2\pi)(0,171)(0,065) p = 74,0 \text{ kN/m}^2$$

15. İki ayrı kavramanın güç kapasitelerini mukayese ediniz. Bir tanesi çok diskli kavrama, diğer ise, konik kavramadır. Her iki kavramada aynı hızda dönmektedirler. Aynı ortalama çapa sahiptirler ve her iki kavramaya da eşit eksenel kuvvet tatbik edilmektedir. Her iki kavramada sürtünme katsayısı aynı değerdedir. Çok disklide, 4 çelik ve 3 bronz disk bulunmaktadır. Konik kavramadaki koniklik açısı  $20^\circ$  (kavrama açısı  $= 10^\circ$ ). Her ikisi için uniform aşınma kabul edilecektir.

Cözüm:

$$\frac{T(\text{diskli kavrama})}{T(\text{konik kavrama})} = \frac{6F/R_m}{(F/\sin \alpha)/R_m} = 6 \sin \alpha = 6 \sin 10^\circ = 1,044$$

Böylece, verilen ölçüler için, diskli kavramanın güç kapasitesi =  $1,044 \times$  konik kavrama güç kapasitesi olur.

16. Konik kavrama, serbest döşenmiş halde, 100N/m aktaracaktır. Mevcut eksenel kuvvet 850N dur. Gerekli yüzey eni ne kadardır? Koniklik açısı  $24^\circ$  ve maximum ortalama basınç  $100\text{kN/m}^2$  ile sınırlanmıştır. Sürtünme katsayısı 0,2 dir. Uniform aşınma kabul edilecektir.

**Çözüm:**

Kavramayı devreye sokmak için gerekli kuvvet,

$$F_e = F_n(\sin \alpha + f \cos \alpha), 850 = F_n(0,208 + 0,196), F_n = 2106\text{N}$$

$$T = F_n/R_m, 100 = 2106(0,2)R_m, R_m = 237\text{mm}$$

$$F_n = p(2\pi R_m b), 2106 = 100.000(2\pi)(0,237)b, b = 14\text{mm}$$

## Tamamlayıcı Problemler

17. Çok diskli bir kavramada, sürtünme elemanın radyal yönündeki eni, maximum yarıçapın ( $1/5$ ) i kadardır. Sürtünme katsayısı 0,25 dir. (a) 3000d/dk da 60kW aktarmak için gerekli disk sayısı kaç tanedir? Kavramada maximum çap 250mm yi geçmez. Eksenel yük ise 600N ile sınırlanmıştır. (b) Her temas yüzeyine ait ortalama birim basınç hesaplayınız. Cev. 13 disk,  $32\text{kN/m}^2$ .

18. Çok diskli bir kavramada 9 plaka bulunmaktadır. Bunlara ait iç çap 25mm ve dış çap 50mm olarak verilmiştir. Sürtünme katsayısı 0,2 ve maximum ortalama müsaade edilen basınç  $275\text{kN/m}^2$  ise, çalışma kuvveti ne olacaktır ve 500d/dk da kavrama ne kadar güç aktaracaktır?

- Cev.  $1620\text{N}, 5,09\text{kW}$ .
19. Diskli bir kavramada 2 çelik disk, dış çapı 250mm ve iç çapı 200mm olan asbest kaplı bir başka diskle temas halindedir. Sürtünme katsayısi 0,35 ile 1000d/dk da aktarılacak güç ne kadardır? Diskler birbirleme 8000N luk kuvvetle bastırılmaktadır. Cev. 66kW.

20. Çok diskli bir kavramada altı çift temas yüzeyi, çelik ve asbest kaplı çelikten oluşmaktadır. Sürtünme katsayısı, 0,2 eksenel kuvvet 400N ise, 600d/dk da aktarılan güç ne kadardır? Cev. 3,24kW.

21. Deri döşenmiş bir konik kavramada 1200d/dk da güç aktarılmaktadır. Toplam koniklik açısı  $20^\circ$  dir. (Kavrama açısı  $10^\circ$ ). Temas yüzeylerinin alın yüzü eni 90mm dir. Sürtünme katsayısı 0,25 ise 16kW lik güç aktarmak için gerekli ortalama çap ne kadardır? Maximum ortalama basınç  $70\text{kN/m}^2$  dir. Cev. Ortalama çap: 226mm.

22. Deri döşenmiş bir kavramadan 1000d/dk da 15kW aktarması istenmektedir. Koni kavrama açısı  $10^\circ (\alpha = 10^\circ)$  ve ortalama çap 200mm dir. Sürtünme katsayısı 0,3 dir. (a)  $70\text{kN/m}^2$  lik basınçta tıhamül edecek şekilde gerekli  $b$ , enini hesaplayınız. (b) Gerekli torku elde edebilmek için, her iki parça sabit halde iken ne kadarlık eksenel kuvvete ihtiyaç vardır. Uniform aşınmanın mevcut olduğunu kabul ediniz.

Cev. (a) 109mm; (b) 2240N.

23. Konik kavramada konik yüzeyler dökme demirden mamul olup, sürtünme katsayısı 0,2 ve 500d/dk da 30kW lik güç aktaracağı söylenmektedir. Maximum çap 300mm ile sınırlanmıştır. Koni kavrama açısı,  $\alpha = 15^\circ$  dir. Ortalama basınç  $350\text{kN/m}^2$  ile sınırlanmıştır.

(a)  $b$  enini hesaplayınız. (b) Kavramayı devrede tutabilmek için gerekli kuvvet ne kadardır? Uniform aşınma kabul edilecektir.

Cev. (a) 65,7mm (deneme ve sınama çözümü), (b) 5240N.

24. Konik bir kavrama açısı  $10^\circ$  ortalamaya çap 300mm ve en 100mm dir. Sürtünme katsayısını 0,2 alarak, uniform aşınma halinde, ortalama basınçının  $70\text{kN/m}^2$  değerinde, dönüş hızı 500d/dk olarak verilmektedir. (a) Kavramayı devreye sokmak için gerekli kuvveti ve (b) aktarılacak güçü hesaplayınız. Cev. 2450N, 10,4kW.

25. Konik bir kavrama 1200d/dk da 200N lik tork aktaracaktır. Büyük çap, 350mm ve koniklik açısı  $20^\circ$  dir. En 75mm ve sürtünme katsayısı 0,2 dir. (a) Kavramayı devreye almak için gerekli eksenel kuvvet, (b) kavrama tam kapasite çalışırken, gerekecek normal birim basınç ne kadar olacaktır? Uniform basınç hali düşünülecektir.

Cev. 2200N, 10,4kW.

26. Konik bir kavrama 1200d/dk da dönerken 200N lik güç aktaracaktır. Kavramanın büyük çapı 350mm, koniklik açısı  $12,5^\circ$  dir. Temas yüzeyindeki en 65mm olarak ölçülmüştür. Sürtünme katsayısının 0,2 alarak, (a) Kavramayı devreye sokacak eksenel kuvveti, ( $F_e$ ) (b) tam kapasite çalışma halinde temas yüzeyindeki normal birim basınç hesaplayınız.

Cev. 1794N,  $83,0\text{kN/m}^2$ .

27. 225d/dk da güç aktaran bir mile konik bir kavramanın monte edildiği söylenmektedir. Konide küçük çap, 230mm, koni yüzü 50mm ve koni yüzü yatayla  $15^\circ$  lik açı yapmaktadır. Sürtünme katsayısını 0,25 alarak, 4,5kW lik güç aktarmak için gerekli eksenel kuvvet ne kadar olacaktır? Uniform aşınma düşünülecek, temas yüzeyindeki maximum basınç hesaplayınız. Cev. 3146N,  $165\text{kN/m}^2$ .

28. Konik bir kavramada koniklik açısı  $20^\circ$  dir. Ortalamaya çapının 300mm ve enin 100mm olduğu biliniyor. Sürtünme katsayısı 0,2 ve müsaade edilen ortalama basınç  $70\text{kN/m}^2$ , ise kavramayı devreye almak için gerekli kuvvet ile, 500d/dk da aktarılacak beygir gücünü hesaplayınız.

Cev. 78mm, 10,4kW.

29. Bir motorun 1250d/dk da 30kW lik güç üretmektedir. Motordaki kasnağa bir konik kavrama monte edilmiştir. Konide alın açısı  $12,5^\circ$  ve ortalama çap 350mm dir. Sürtünme katsayısı 0,2 ve kavrama alın yüzeyindeki normal basınç  $80\text{kN/m}^2$  yi geçmeyecektir. Kavramayı devreye almak için gerekli kuvvet ile alın enini hesaplayınız. Aşınma uniform kabul edilecektir. Cev. 78mm, 2696N.

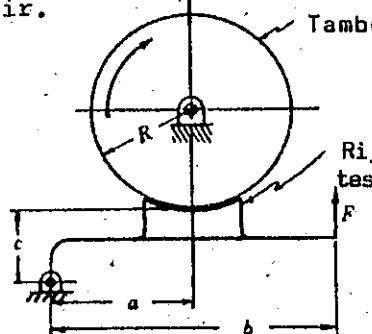
30. Deri kaplı konik bir kavramadaki temas yüzeyine ait ortalama çap 380mm ve aktarılan güç 15kW dir. Bu güç 800d/dk da dönerken aktarılır. Koniklik açısı  $20^\circ$  ve sürtünme katsayısı 0,30 ise, yüzeyleri temas altında tutabilmek için gerekli eksenel kuvvet ne kadar olacaktır? Cev. 545N.

# 15

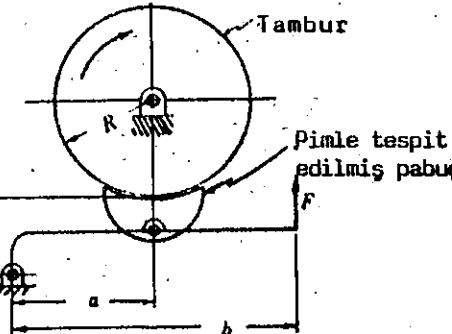
## Fren Dizaynı

**FRENLER**, hareketli parçaların yavaşlatılması ve durdurulması esnasında ortaya çıkan kinetik veya potansiyel enerjiyi absorbe eden makine elemanlarıdır. Absorbe edilen enerji ısiya dönüşmektedir. Frenleme kapasitesi, fren yüzleri arasındaki birim basınç, sürtünme katsayısına, frenin ısiya dönüştürme kabiliyetine bağlıdır. Frenlerin çalışması, kavramalara benzer olup, kavramalar döner bir parçayı döner ikinci parçaya irtibatlarken, frenler hareketli parçayı şasiye irtibatlanmaktadır.

**DIŞ PABUÇ VEYA TAKOZ FRENLER**, fren tamburu denilen döner silindire bastırılan pabuç veya takozlardan oluşur. Pabuç, Şekil. 15-1'de görüldüğü gibi, tespit edilmiştir. Ayrıca, Şekil. 15-2'de görüldüğü gibi de tespit edilir.



Şekil. 15-1



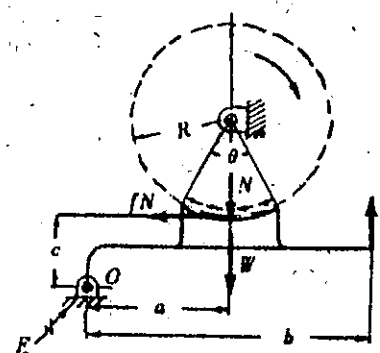
Şekil. 15-2

**TEK TAKOZLU FREN**, Şekil. 15-3'de görüldüğü üzere, dizayn, kuvvet, levye ve pabucu serbest bir cisim gibi kabul edip, tork analizine bağlıdır.  $N$ , normal kuvveti ve  $fN$  sürtünme kuvveti şekilde görüldüğü gibi,  $\theta$  açısı içinde  $60^\circ$  den büyük olmamak üzere, tatbik noktasına sahiptirler. Sabit  $O$  noktasına göre alınan momentlerin toplamını alarak,

$$(N + W)a - fN_c - Fb = 0 \text{ veya } F = \frac{(N + W)a - fN_c}{b}$$

bulunur.

Tamburun saat ibresi yönünde dönmesi gözönüne alınarak,  $fN$  sürtünme kuvveti,  $F$  kuvetine fren tatbikinde yardımcı olmaktadır. Ve fren kısmen kendi kendine hareketlidir. Belirlenmiş bir sürtünme katsayısı için, fren tamamiyle kendi kendine hareket edecek halinde,  $F = 0$  veya yukarıdaki ifadede negatif olabilir. Ayrıca  $W$  ağırlığını ihmal edebiliriz. Sonradan,



Şekil. 15-3

Örn.  $\frac{a}{c} < f$  olduğu zaman, fren kendi kendine kilitleyebilir.

Kendi kendine kilitleme yapmayan halde frenleme torku,  $T$

$$T = fNRN \text{ m}$$

$f$  = sürtünme katsayısı,  $N$  = toplam normal kuvvet,  $N$ ,  $R$  = fren tamburunun yarıçapı,  $m$

Temas açısı  $60^\circ$  kadar veya daha büyük, değerlerde sürtünme ve normal kuvvetlerin pabuçun temas noktasındaki orta noktada etkili saymak bizi takdir edilecek değerde bir hataya sevk edebilir. Daha hassas bir analizle,  $fN$  sürtünme kuvvetinin, tambur merkezinden,  $h$  kadar kenarda olduğu Şekil. 15-4, gösterilmiştir. Uzun dış pabuçlar kullanılması halinde, arkadan pimli, yataklanmış pabuçlar tercih edilir. Böylece, frenleme torku şimdiden,

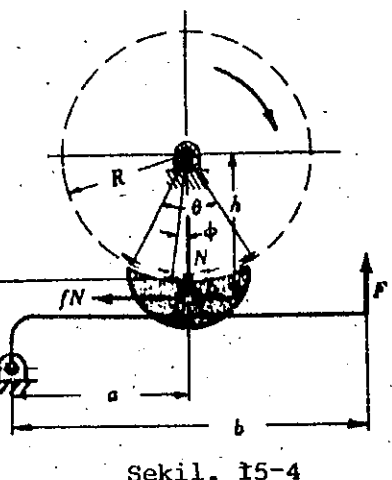
$$T = fNh = fN \left( \frac{4R \sin \frac{1}{2}\theta}{\theta + \sin \theta} \right) \text{ (Problem 5'e bkz.) olur.}$$

$$h = \frac{4R \sin \frac{1}{2}\theta}{\theta + \sin \theta} \text{ Burada, bileşke normal kuvvet}$$

yönündeki aşınmanın uniform olduğu kabul edilmiştir. Böylece,  $p_n$  normal basınçın, aşının kosinüsü ile değiştiği söyleyebilir,  $\phi$  veya,

$$p_n = C \cos \phi$$

$$C, \text{ sabite olup, } = \frac{2N}{wR(\theta + \sin \theta)}, \quad w, \text{ fren pabuçunun enidir, m.}$$



Şekil. 15-4

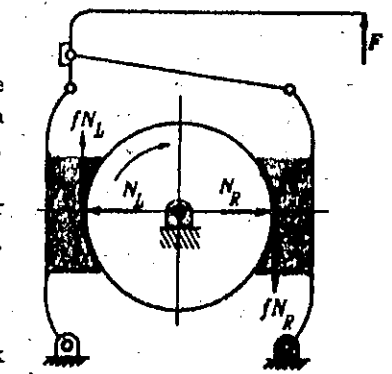
Neticede,  $h$  in değeri, bu türdeki bir pabuç için muylunun yerini tespit edilmesine yardımcı olur. İki ayrı şartın yerine getirilmesi gereklidir. (1) Pabuç iki kuvvetin etkisi altındadır ve normal kuvvetin bileşkesi ve sürtünme kuvveti, muyludan geçmelidir. (2) Basınç dağılımı kabul edildiği şekildedir. Hesaplanacağı üzere, pabuçun muylusu  $h$  dan farklı ise, normal kuvvetin bileşkesinin momenti ile, sürtünme kuvveti alan sıfırdır. Fakat şimdiden muyluya göre tahmin edilen basınç dağılımı artık geçerli değildir. Netice olarak, basınç değişecektir ve daha büyük aşınma görülecektir, bu aşınma ucta veya kenarlarda olacaklardır. Mamatih, muylu,  $h$  dan küçük mesafede yerleştirilmişse, teorik olarak,  $p_n = C \cos \phi$ , ye bağlı olmak şartıyla, yukarıdaki ifade takdir edilecek hata nispetiyle kullanılabilir.

$$\text{Ortalama basınç, } p_{av} = \frac{2C \sin \frac{1}{2}\theta}{\theta}$$

**ÇİFT PABUÇLU FRENLER**, daha büyük kapasite elde etmek için, mil ve yatak yüklerini ve  $\text{m}^2$  başına düşen ısi miktarını azaltmada kullanılır. Şekil. 15-5'e bakınız. Sol tarafındaki,  $N_L$ , normal kuvvet, genelde, sağ tarafındaki,  $N_R$ , normal kuvvette eşittir. Çift takozlarda, küçük temas açıları görülür.  $60^\circ$  den az açılarda tork yaklaşık olarak,

$$T = f(N_L + N_R)R$$

ile bulunur. Eğer pabuç temas açısı yaklaşık  $60^\circ$  den büyükse, muylulu pabuçlar için daha hassas frenleme torku ifadesi çıkarılabilir,



Şekil. 15-5

$$T = f(N_L + N_r) \left( \frac{4R \sin \frac{1}{2}\theta}{\theta + \sin \theta} \right)$$

Uzun riyid pabuçlar kullanılsaksa, iç pabuçlar için bu sayfada gösterilen analiz şékili uygulanabilir.

**İÇTEN PABUÇLU FRENLER**, Şekil. 15-6'da gösterildiği gibi dizayn edilebilirler ve aşağıdaki ifadelerle hesapları yapılabilir.

Frenleme torku,

$$T = f w r^2 \left( \frac{\cos \theta_1 - \cos \theta_2}{\sin \theta_m} \right) (p_m + p'_m) \text{ olur.}$$

$f$  = Sürtünme katsayısi,

$w$  = Pabuçun eni, m

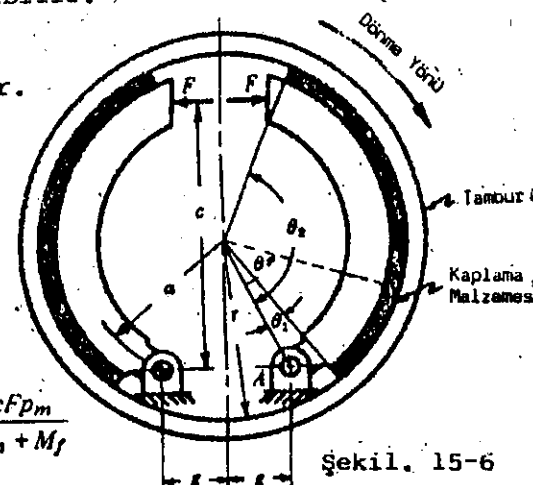
$r$  = Tamburun iç yarıçapı, m

$\theta_1$  = Muylu ile pabuç ayağı arasındaki merkez açısı, derece,

$\theta_2$  = Muylu ile pabuçun ucu arasındaki merkez açısı, derece,

$p_m$  = Maximum basınç (sağ pabuç), N/m

$p'_m$  = Maximum basınç (sol pabuç), N/m<sup>2</sup>,  $= \frac{c F p_m}{M_n + M_f}$



Şekil. 15-6

Yukarıdakiler, kabul edilmiş basınç dağılımına göre dir.  $p = p_m \frac{\sin \theta}{\sin \theta_m}$

$\theta_m$  = pabuç muylusuyla, maximum basınçın ortaya çıktıığı noktası arasındaki açı, N/m<sup>2</sup>

$\theta_m = 90^\circ$ , eğer  $\theta_2 > 90^\circ$  ise,  $\theta_m = \theta_2$  eğer  $\theta_2 < 90^\circ$  ise,

Pabuç muylusuna göre alınan, sürtünme kuvvetlerinin momenti,  $M_f$ .

$$M_f = \frac{f p_m w r}{\sin \theta_m} \int_{\theta_1}^{\theta_2} \sin \theta (r - a \cos \theta) d\theta$$

ile tayin edilebilir.  $a$  = Tambur merkezinden, pabuç muylusuna olan mesafe- dir.

Pabuç muylusuna göre, normal kuvvetlerin momenti,  $M_n$

$$M_n = \frac{p_m w r a}{\sin \theta_m} \int_{\theta_1}^{\theta_2} \sin^2 \theta d\theta$$

$F$  kuvveti, pimli bağlantıya göre alınan momentlerin toplamlarının sıfırda eşitlenmesiyle bulunabilir. Tamburun saat ibresi yönündeki dönmesi için, sağ taraftaki pabuçun kendi kendine hareket özellikleri vardır ve

$$F = \frac{M_n - M_f}{c} \text{ sol tarafındaki pabuç için, } F = \frac{M_n + M_f}{c}$$

$c$  = moment kolu, m,  $F$  kuvvetinin,  $M'_n = \frac{M_n p_m}{p_m}$ ,  $M'_f = \frac{M_f p'_m}{p_m}$ .

Yukarıdaki ifadeler aşağıdaki kabullere göre çıkarılmıştır.

(1) Herhangi bir temas noktasındaki normal basınç, pabuçda olmak üzere, muyludan olan dik mesafeyle doğru orantılıdır.

(2) Pabuç riyidtir.

(3) Sürtünme katsayısi basınç ve hız ile değişmemektedir.

**BANDLI FRENLER**, tambur etrafına sarılı esnek bandtan oluşur. Bandın tambur etrafında sıkıca çekilmesiyle çalıştırılırlar. Fren kapasitesi sarılma açısına, sürtünme katsayısına ve banddaki gerilmelere bağlıdır. Basit bir bandlı fren Şekil. 15-7'de gösterilmiştir. Bu türdeki bir fren için,

tamburun dönüş yönü öyle seçiliir ki, şasiye tespit edilen tarafta band gergin olmaktadır.  $F_1$ .

Sıfır hızdaki kayışlarda olduğu gibi, gergin ve gevşek taraflar için ilgili bağıntı  $F_1/F_2 = e^{\alpha}$  şeklindedir.

$F_1$  = Bandın gergin tarafındaki çeki gerilmesi, N

$F_2$  = Bandın gevşek tarafındaki çeki gerilmesi, N

$e^{\alpha}$  = Tabii logaritm tabanı,

$f$  = Sürtünme katsayısi,

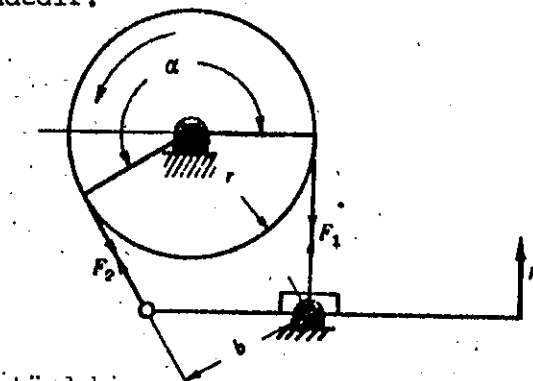
$\alpha$  = Sarılma açısı, radyan,

Frenleme kapasitesindeki tork,

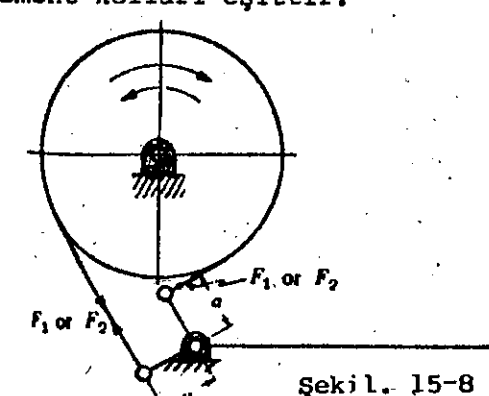
$$T = (F_1 - F_2) r Nm$$

$r$  = fren tamburunun yarıçapı, m. Bu türdeki türdeki band frenin kendi kendine çalışma özelliklerini yoktur.

Basit, iki şékili bandlı fren Şekil. 15-8'de gösterilmiştir. Bu türdeki bir dizayn, tamburun her iki yöndeki dönüşü için fonksiyonlarını iyi yapabilir. Zira, gergin ve gevşek koldaki çeki gerilmelerine ait moment kolları eşittir.



Şekil. 15-7



Şekil. 15-8

Diferansiyel bandlı fren Şekil. 15-9'da gösterilmiştir. Diferansiyel band öyle dizayn edilir ki, tamburun dönüş yönü, bandın gergin tarafına bandın fren yapmasına yardımcı olur. Şekil. 15-9'a bakarak, muyluya göre alınan momentlerin toplamını alacak olursak,

$$F_c + F_1 a - F_2 b = 0 \text{ veya } F = \frac{F_2 b - F_1 a}{c}$$

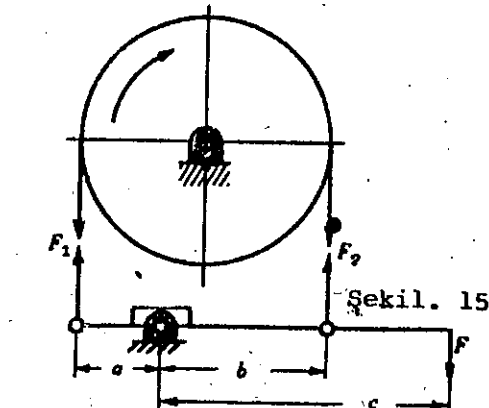
$F_1 = F_2 e^{\alpha}$  1 yerine koyarak,

$$F = \frac{F_2(b - e^{\alpha} a)}{c}$$

elde edilir. Buradan da görüldür ki, kendi kendine kilitleyen fren için, Örn.  $F = 0$  veya negatif olduğu zaman.

$$b < ae^{\alpha} \text{ veya } b/a < e^{\alpha}.$$

Diferansiyel bandlı fren sadece bir yönde kilitlenebilir. Kendi kendine kilitlenebilir fren bir yöndeki harekete izin verir ve aksi yöndeki harekete izin vermez. Eğer fren kilitleme tertibatlı ise, aksi yöndé bir kuvvet gereklidir, bu da frenin boşaltılmasında kullanılacaktır. Aynı zamanda, fren kilitlendikten sonra, ilave tork tatbik edilir.  $F_1$  ve  $F_2$  band gerilmeleri artar. Fakat bundan böyle  $F_1$  ve  $F_2$  nin birbirine oranı artık  $e^{\alpha}$  ya eşit olmaz. Zira bağıntı sadece fren kayarken geçerlidir.



Şekil. 15-9

Maximum birim basınç,  $p_m$ , bandın gergin tarafında ortaya çıkar ve,

$$p_m = \frac{F_1}{w r}$$

şeklinde ifade edilir. Band ve tambur arasındaki ortalama basınç (ısı üretimi hesaplamalarında kullanılan),

$$p_{av} = \frac{F_1}{w r f_a} \left( \frac{e^{f_a} - 1}{e^{f_a}} \right)$$

**ORTAYA ÇIKAN ISI**, frenin tatbikiyle ortaya çıkmakta, bunun ısının transferiyle dağıtılması gereklidir. Aksi takdirde, fren aşırı ısınacak, veya da kaplamalar yanacaktır. Ortaya çıkan ısı,  $H_g$ , sürtünme işine eşittir.

$$H_g = p_{av} A_c V \text{ watt}$$

$p_{av}$  = ortalama temas basıncı,  $\text{N/m}^2$  ,  $f_a$  = sürtünme katsayısı,  
 $A_c$  = temas alanı,  $\text{m}^2$   $V$  = tamburun çevresel hızı,  $\text{m/sn}$

Ortaya çıkarılan ısı aynı zamanda, absorbe edilen kinetik veya potansiyel enerji miktarıyla da bulunabilir.

$$H_g = (E_p + E_k) W$$

$E_p$  = Absorbe edilen toplam potansiyel enerji,  $\text{W}$   
 $E_k$  = Absorbe edilen toplam kinetik enerji,  $\text{W}$

$H_d$ , yayılan ısı ise,

$$H_d = C \Delta t A_r \text{ W}$$

$C$  = Isı iletim katsayısı  $\text{W}/(\text{m}^2\text{K})$ , ( $\text{watt}/\text{m}^2\text{K}$  sıcaklık farkı).

$\Delta t$  = Radyasyon yayan yüzeyle, çevredeki hava arasındaki hava sıcaklığı farkı,

$A_r$  = Radyasyona maruz yüzeyin alanı,  $\text{m}^2$

$C$ ,  $40^\circ$  lik fark için 29,5 ve  $200^\circ$  fark için 44 olabilir.

Yayılan ısı için kullanılacak ifade yaklaşık olabilir ve frenin ısı yayma kapasitesini gösterebilir. Frenin tam olarak performansını tecrübelerle bulunabilir. Fren kapasitesi için diğer uygun endikatör  $\text{kW}/\text{wd}$  olup, bu da  $360\text{W}/\text{m}^2$  ile sınırlanmıştır.  $w$  = band veya pabuçun eni, ve  $d$  = tambur çapı,  $\text{m}$ .

Tecrübeler göstermiştir ki, ortalama basınç,  $p_{av}$  ile (izdüşüm alanının  $p_a$  sı) sürtme hızı,  $V(\text{m/sn})$  çarpımı şu şekilde sınırlanmıştır:  $p_{av} V < 9,8 \times 10^5$ , alçaltmadada olduğu gibi, yükün sürekli kullanımı için, ve ısının zayıf olarak dağılmasında:  $p_{av} V < 1,93 \times 10^6$  uzun süreli duruşların görüldüğü, aralıklı çalışma ve yine ısının zayıf olarak dağılmasında;

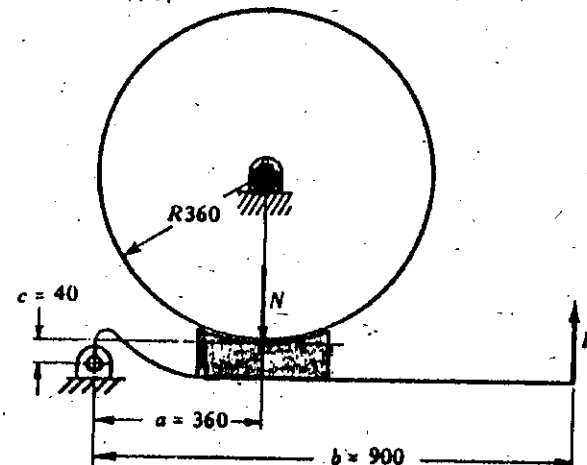
$p_{av} V < 2,9 \times 10^6$ , sürekli yük hali ve yağ banyosu hali için uygundur.

Bazı müsaade edilebilecek ortalama çalışma sıcaklıklarını, sürtünme katsayısı ve maximum temas basınğı, verilen malzemeler için aşağıda gösterilmiştir.

Malzeme	Max. Sıcaklık	$f$	$p_{max}$ , MPa
Metal - Metal	315	0,25	1,40
Ağaç - Metal	65	0,25	0,48
Deri - Metal	65	0,35	0,17
Yağda, asbest-Metal	260	0,40	0,34
Yağda, sinterlenmiş metal-dökme demir	260	0,15	2,80

## Çözümlü Problemler

1. 360mm yarıçaplı bir fren tamburu, Şekil. 15-10'da görüldüğü gibi tek bir pabuçla temas halindedir ve  $500\text{d}/\text{dk}$  da  $225\text{N}$  m lik torku tutmaktadır. Sürtünme katsayısını 0,3 alarak,
- (a) Pabuçdaki toplam normal kuvveti,  $N$ ,
  - (b) Saat ibresi yönünde fren yapabilmek için gerekli,  $F$ , kuvvetini,
  - (c) Saat ibresi tersi yönünde fren yapabilmek için gerekli,  $F$  kuvvetini
  - (d) Diğer ölçülerin gösterildiği gibi kalacağının kabul edilerek, freni kendi kendine kilitleyebilmek için  $c$  boyutunu,
  - (e) Yayılan ısı miktarını hesaplayınız.



Şekil. 15-10

Çözüm:

- (a) Tork  $= fNr = 0,3N(0,36) = 225$ ,  $N = 2083\text{N}$   
Sürtünme alanı  $= fN = 0,3(2083) = 625\text{N}$
- (b) Saat ibresi yönünde, mile göre alınan momentlerin toplamını sıfıra eşitleyerek,  $40(0,3)(2083) + 900F - 360(2083) = 0$ ,  $F = 805\text{N}$
- (c) Saat ibresi tersi yönünde, mile göre alınan momentlerin toplamını sıfıra eşitleyerek,  $360(2083) + 40(625) - 900F = 0$ ,  $F = 861\text{N}$
- (d) Kendi kendine kilitleme için, sadece saat ibresi yönünde olaşacağı düşünülerek,

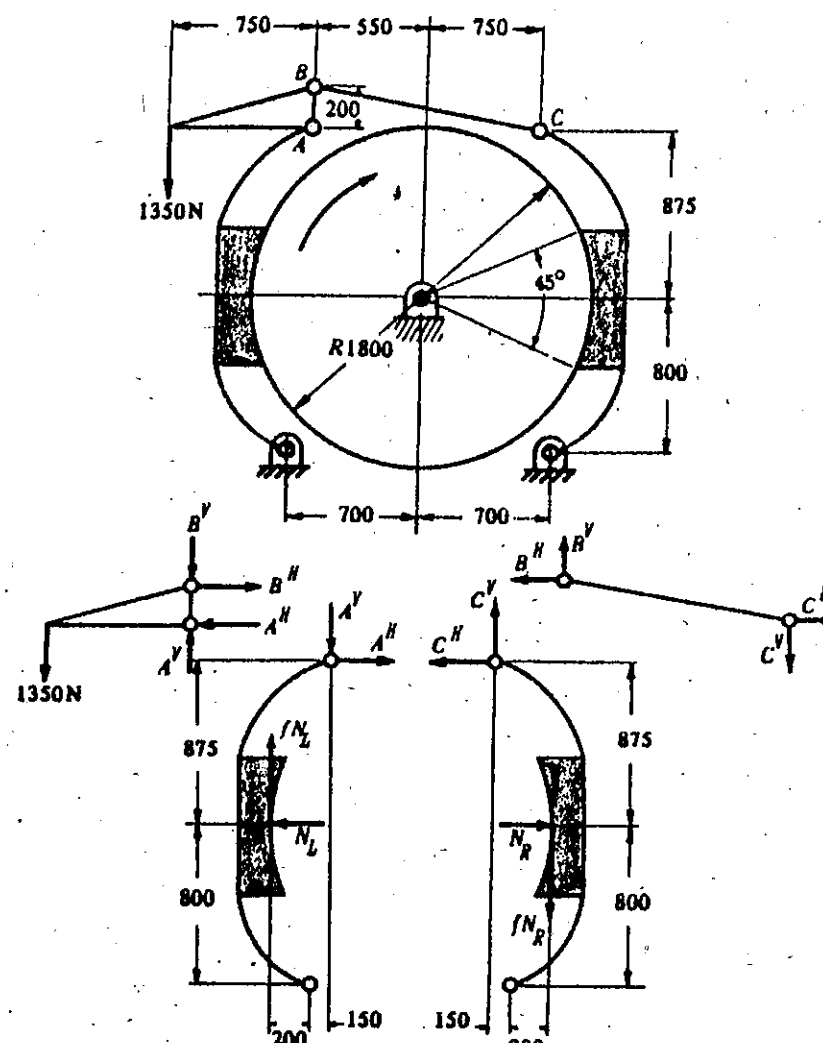
$$a < fc \text{ veya } c > a/f = 0,36/0,3 = 1,2\text{m}$$

$$(e) H_g = fNV = (0,3)(2083) \left( \frac{2\pi}{60} \right) (500)(0,36) = 11,8\text{kW}$$

2. Şekil. 15-11'de görülen çift pabuçlu bir frene  $1,35\text{kN}$  tıbbık edilmektedir. Saat ibresi yönünde frenin tutabileceği tork miktarını hesaplayınız. Sürtünme katsayıısı 0,3 dır.

Çözüm:

Önce, çalışma kolunu serbest bir cisim gibi kabul edelim. Kuvvetlerin toplamını, gereklidirde momentler alarak,  $A$  ve  $B$  noktalarındaki kuvvetlerin yatay ve düşey bileşenlerini bulalım.



Şekil. 15-11

$$A^H = B^H, A^V - B^V - 1350 = 0, 200B^H = 750 \times 1350 \text{ veya } B^H = 5063 \text{ N}$$

Sonra, BC yi serbest cisim gibi kabul edelim ve B ve C noktalarındaki yatay ve düşey bileşenleri hesaplayalım.

$$B^H = C^H, B^V = C^V, 1100B^V = 200B^H \text{ veya } B^V = 920,5 \text{ N, ve } A^V = 2271 \text{ N}$$

Son olarak, sağ ve sol tarafındaki pabuç levylelerini serbest cisim gibi kabul edelim ve sağ ve sol tarafındaki pabuçlardaki normal kuvvetlerin şiddetlerini hesaplayalım. Soldaki levyenin pimine göre momentlerin toplamını alarak,

$$N_L(800) - 0,3N_L(200) - 5063(1675) - 2271(150) = 0, \text{ veya } N_L = 11920 \text{ N}$$

Sağ levyenin pimine göre momentlerin toplamını alarak,

$$N_R(800) + 0,3N_R(200) - 5063(1675) + 920,5(150) = 0, \text{ veya } N_R = 9700 \text{ N}$$

Böylece, frenleme torku,

$$T = (0,3)(1190 + 9700)(1,8/2) = 5840 \text{ N m}$$

3. Basit bir bandlı frende, gergin tarafındaki band sabitlenmiştir. Sarılma açısı  $280^\circ$ , ve tambur çapı 450mm dir. 900d/dk da 170N m lik tork tutulabilmektedir. Sürtünme katsayısı 0,2 dir. Kayışdaki gerilmeleri hesaplayınız.

**Cözüm:**  $F_1/F_2 = e^{f_a} = e^{(0,2)(280\pi/180)} = e^{0,98} = 2,665$  ve  $0,225(F_1 - F_2) = 170$  neticede  $F_1 = 1210 \text{ N, ve } F_2 = 455 \text{ N bulunur.}$

4. Şekil. 15-12'de görüldüğü üzere, bandlı bir levye ucuna 220N tatlbi edilmektedir. Sürtünme katsayısı 0,4 dır.

- (a) Tambura saat ibresi yönünde 450N tatlbi edilirse, banddaki minimum ve maximum gerilmeyi hesaplayınız.  
(b) Tamburun saat ibresi tersi yönünde hareket etmesi halinde frenin tutabileceği max. tork ne kadar olur?

**Cözüm:**

- (a) Saat ibresi yönündeki dönüş için, frenin kendi kendine kilitleme yapmayıcağını kontrol ediniz.  $b/a < e^{f_a}$ , ise fren kendi kendine kilitlenebilir.  $e^{f_a} = e^{0,4\pi} = 3,5$  olmaktadır. Neticede, fren kendi kendine kilitleme yapabilir ve  $F_1/F_2 = e^{f_a}$  uygulanmaz.

Sabit noktaya göre alınan momentlerin toplamını sıfıra eşitleyip, tork bağıntısını kullanarak,

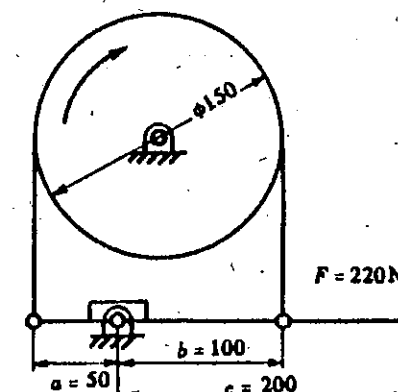
$$50F_1 + 220(200) - 100F_2 = 0 \text{ ve } 0,075(F_1 - F_2) = 450$$

buradan da,  $F_1 = 12,800 \text{ N ve } F_2 = 6800 \text{ N bulunur.}$

- (b) Saat ibresinin tersi yönündeki dönüş için, fren kendi kendine kilitleme yapamaz ve  $F'_1/F'_2 = e^{f_a}$  tatlbi edilemez. Böylece,

$$0,1F'_1 - 0,2(220) - 0,05F'_2 = 0 \text{ ve } F'_1/F'_2 = e^{f_a} = 3,5, \text{ buradanda, } F'_1 = 513 \text{ N, } F'_2 = 146 \text{ N bulunabilir.}$$

Tutulacak tork miktarı ise,  $T = 0,075(513 - 146) = 27,7 \text{ N m.}$



Şekil. 15-12

5. Simetrik fren pabuçunun fren tamburuna itilmiş hali Şekil. 15-13(a)'da gösterilmiştir. Bileşke normal kuvveti, bileşke sürtünme kuvvetini, bu kuvvetlerin tatlbi noktalarını ve tamburun merkezine göre alınan momenti hesaplayınız. Uniform aşınma kabul edilecektir.

**Cözüm:**

- (a) Uniform aşınma için, kaplama malzemesi yüzeyindeki aşınma malzeme öyle seçilmistiştirki, fren pabuçunun eğrilik yarıçapı sürekli sabit kalmaktadır. Şekil. 15-13(b). Radyal aşınma  $W$ , basınç,  $p_n$  ve hız,  $V$  nin çarpımlarıyla doğru orantılıdır.

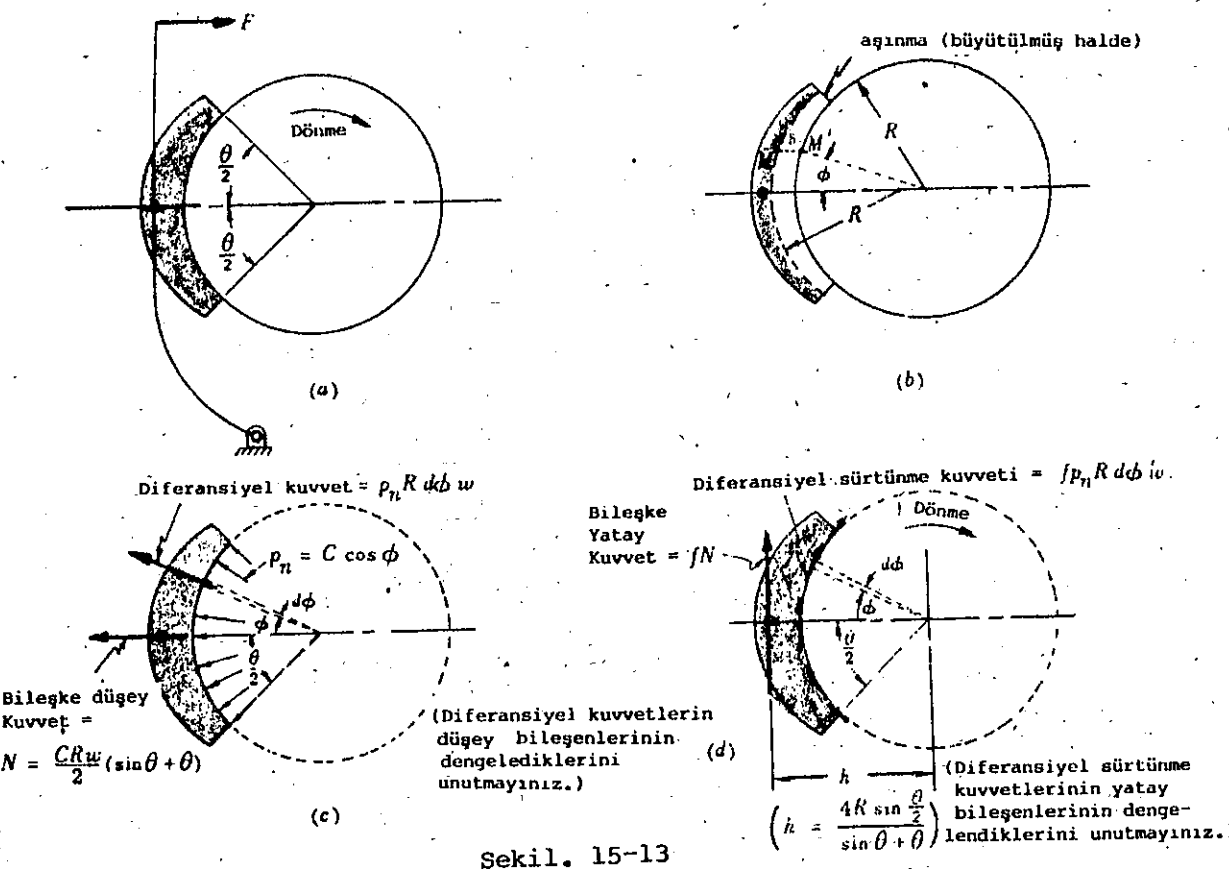
$$W = Kp_n V$$

$K$ , malzemeye ait bir katsayıdır.

Radyal yönde aşınmadan sonra, M noktası M' ye kayarak, pabuçla tambur arasındaki teması devam ettirir. M noktasına ait,  $\delta$ , yatay yerdeğistirme,

$$\delta = Kp_n V / \cos \phi$$

Fakat,  $\delta$ , her nokta için, aynı veya sabit olacağından,  $p_n = C \cos \phi$  ve  $C = \delta / KV$  dir. C aynı zamanda maximum basınç olup,  $\phi = 0$  da ortaya çıkmaktadır.



- (b) Fren pabuçları simetrik olduğundan ve normal basınçında simetrik olmasından, bileşke yatay kuvvet, diferansiyel normal kuvvetlerin yatay bileşenlerinin toplamı ile diferansiyel sürtünme kuvvetlerinin düşey bileşenlerinin toplamında bileşke düşey kuvvetdir. Şekil. 15-13(c) ve 15-13(d)'ye bakınız.

$$\text{Bileşke yatay kuvvet} = N = 2 \int_0^{\pi/2} (C \cos \phi) R d\phi w \cos \phi = \frac{CRw}{2} (\sin \theta + \theta)$$

$$(c) \text{Bileşke düşey kuvvet} = 2 \int_0^{\pi/2} f(C \cos \phi) R d\phi \cos \phi = fN$$

- (d)  $N$ , bileşke kuvvetin tatabik noktası, yüklemenin simetrisinden görülebilir;  $N$ , pim merkezinden geçmektedir. Pim, pabuçta ait olup, simetride yatay eksen üzerindedir. (Şekil. 15-13(c)'ye bkz)

- (e)  $fN$ , düşey kuvvetin tatabik noktası, bileşke kuvvetin momentini, diferansiyel sürtünme kuvvetlerin momentine eşitleyerek bulunabilir. Moment seçilen herhangi bir referans noktasına göre alınabilir. Tamburun merkezi en uygun referans noktası olarak seçilebilir.

$$fNh = 2 \int_0^{\pi/2} f(C \cos \phi) R d\phi wR = 2fCR^2 w \sin \frac{1}{2}\theta$$

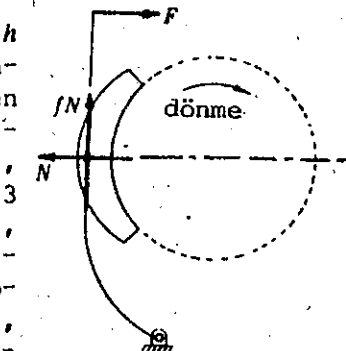
$h$ , tambur merkezinden  $fN$  nin tatabik noktasına olan mesafedir.

Şimdi,  $C = \frac{2N}{Rw(\sin \theta + \theta)}$  yi yukarıdaki ifadeye yerine koyarak,  $h = \frac{4R \sin \frac{1}{2}\theta}{\sin \theta + \theta}$  bulunur.

- (f)  $fN$  bileşke sürtünme kuvvetinin, tambur merkezine göre momenti, frenleme torkunu verir,  $T$ ,

$$T = fNh = fN \left( \frac{4R \sin \frac{1}{2}\theta}{\sin \theta + \theta} \right)$$

- (g) Eğer pabuçun pimi, tambur merkezinden  $h$  mesafede ise, normal kuvvet,  $N$  ile sürtünme kuvveti  $fN$  nin pabuç pimi merkezinden geçmesiyle, serbest cisim hali düşünülebilir, bu da basınç dağılım ifadesini,  $p_n = C \cos \phi$  yi sağlayabilir. Şekil. 15-13(e)'ye bkz. Sonradan kuvvet analizi, pabuçlardaki yayılı yük dikkate alınması zın yapılabilir. Eğer pim yukarıda hesaplanan  $h$ , dan başka bir yerde ise bileşke kuvvetin yine pim merkezinden geçmesi gereklidir.  $p_n = C \cos \phi$  bağıntısı sağlanmayabilir.  $N$  ve  $fN$  nin pim merkezinden geçtiğini kabul etmek yeterlidir. Not: Basınç dağılımına etkimeksiz  $N$  ve  $fN$  boyunca herhangi bir noktada yerleştirilebilir.



Şekil. 15-13(e)

6. Simetrik pabuç pimle tespit edilmiş halde, 500mm lik tamburun  $90^\circ$  karşısına bulunmaktadır. Uniform aşınma kabul edilerek, bileşke sürtünme kuvvetinden dolayı ortaya çıkan, döndürme momentinden kaçınmak için, pimin tambur merkezinden ne kadar öteye tespit edileceğini hesaplayınız. Pimin, normal kuvvet boyunca yerleştirildiğini kabul ediniz.

**Çözüm:** Pime olan mesafe,  $h$  tambur merkezinden olmak üzere,

$$h = \frac{4R \sin \frac{1}{2}\theta}{\theta + \sin \theta} = \frac{(4)(0.25)(0.707)}{\frac{1}{4}\pi + 1} = 275 \text{ mm}$$

7. Şekil. 15-6'da görülen içten pabuçlu bir fren sisteminde, çap 300mm dir. Tatbik edilen kuvvetler,  $F$ , eşit olup, kullanılan pabuçlarda en 40mm dir. Sürtünmek katsayısı 0,3 ve müsaade edilen max. basınçın 1MPa. ve  $\theta_1 = 0$ ,  $\theta_2 = 130^\circ$ ,  $\theta_m = 90^\circ$ ,  $a = 125 \text{ mm}$  ve  $c = 225 \text{ mm}$ , olduğuna göre, tatbik edilen  $F$  kuvvetlerini ve fren tork değerini hesaplayınız.

**Çözüm:** Milin sağ tarafı için sürtünme kuvvetlerinin momenti,

$$M_f = \frac{\int p_m wr}{\sin \theta_m} \int_0^{\theta_2} (\sin \theta)(r - a \cos \theta) d\theta = \frac{fp_m wr}{\sin \theta_m} [r - r \cos \theta_2 - \frac{1}{2}a \sin^2 \theta_2] \\ = (0.3)(10^6)(0.04)(0.15)/[0.15 - 0.15 \cos 130^\circ - (0.125/2) \sin^2 130^\circ] = 378 \text{ N-m}$$

Milin sağ tarafı için, normal kuvvetlerin momenti,

$$M_n = \frac{p_m wra}{\sin \theta_m} \int_0^{\theta_2} \sin^2 \theta d\theta = \frac{p_m wra}{\sin \theta_m} [\frac{1}{2}\theta_2 - \frac{1}{4} \sin 2\theta_2] = 1036 \text{ N-m}$$

$$F = (M_n - M_f)/c = (1036 - 378)/0.225 = 2924 \text{ N}$$

Sağ tarafa pabuç tork kapasitesi,  $T = fp_m wr^2 \left( \frac{\cos \theta_1 - \cos \theta_2}{\sin \theta_m} \right) = 444 \text{ N-m}$

Sol tarafa pabuç için,  $T = 206 \text{ N-m}$   $p'_m = 0.4653 \text{ MPa}$   $p'_m = \frac{Fcp_m}{M_n + M_f}$

Toplam tork ise =  $444 + 206 = 650 \text{ N-m}$

8. 450mm çapındaki tambur,  $90^\circ$  aralığında iki pabuç sahiptir. Pabuç 100mm enindedir ve 70kW in ortaya çıkması beklenilmektedir. Frende aşırı ısınma görülür mü? Tambur yüzeyiyle, çevre arasındaki sıcaklık farkının 165.K olduğu bilinmektedir.

**Cözüm:**

Ortaya çıkarılan ısının, dağıtılan ısiya eşitliği düşünülerek ve  $A_r$  alanı için çözüm yapılacak olursa,

$$70 \times 10^3 = C A t A_r, 70 \times 10^3 = 39(165) A_r, A_r = 10,88 \text{ m}^2 \text{ (gerekli)}$$

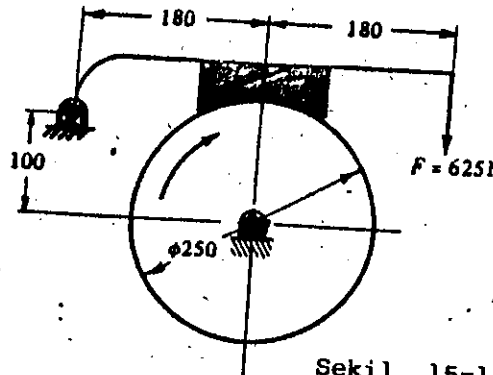
$$C = 39 \text{ W/(m}^2\text{ K}) \Delta t = 165 \text{ K}$$

Kuşak hesaba katılmaksızın, hakiki alan,  $A_r$ , havaya açılan tambur alanı olmak üzere,

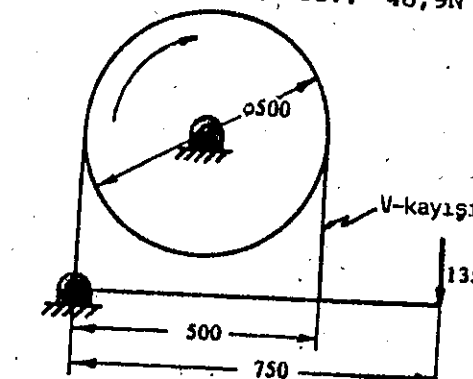
$$A_r = \frac{1}{4}\pi(0,45)(0,1) = 0,071 \text{ m}^2 \text{ Tambur aşırı ısınacaktır.}$$

## Tamamlayıcı Problemler

9. Şekil. 15-14'de görülen tek takozlu bir frende karşı konacak tork miktarını hesaplayınız. Sürtünme katsayısı 0,3 dür. Cev. 48,9 N m.



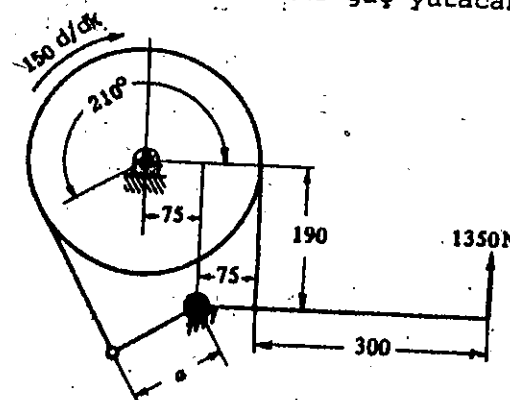
Şekil. 15-14



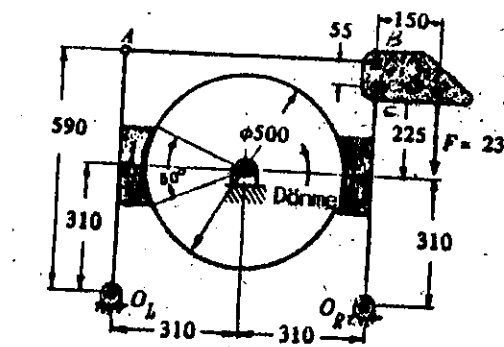
Şekil. 15-15

10. Bandlı bir fren V-kayısı kullanmaktadır. V-yarıklı makarada bölüm daire çapı 500mm dir. Yarık açısı  $45^\circ$  ve sürtünme katsayısı 0,25 dir. Yukarıdaki görülen, Şekil. 15-15'deki ölçülerini kullanarak, 300d/dk dk da maximum güç miktarını hesaplayınız. Cev. 10,8 kW.

11. Şekil. 15-16'da görüldüğü üzere bandlı bir fren dizaynını yapılacaktır. Kullanılan sürtünme katsayısı için, bandlardaki gerilme oranı, 1,75 dır. Kayışlar, çalışma levyesine normal olarak tespit edilmiştir.  
(a) Bandların çalışma levyesine normal olarak bağlanması için a mesafesi - ne olacaktır?  
(b) Fren ne kadar güç yutacaktır? Cev. (a) 120mm, (b) 6,63kW.



Şekil. 15-16



Şekil. 15-17

12. Çift takozlu bir fren Şekil. 15-17'de görüldüğü gibi çalıştırılmaktadır. Tambur 80d/dk da dönmektedir. Tatbik edilen kuvvet 2350N ve sürtünme katsayısı 0,3 dür. Serbest cisim analizi yapılarak, frenleme torkunu ve birim ortaya çıkarılan ısiyi hesaplayınız. Cev.  $T = 1760 \text{ N m}, H_f = 14,74 \text{ kW}$ .

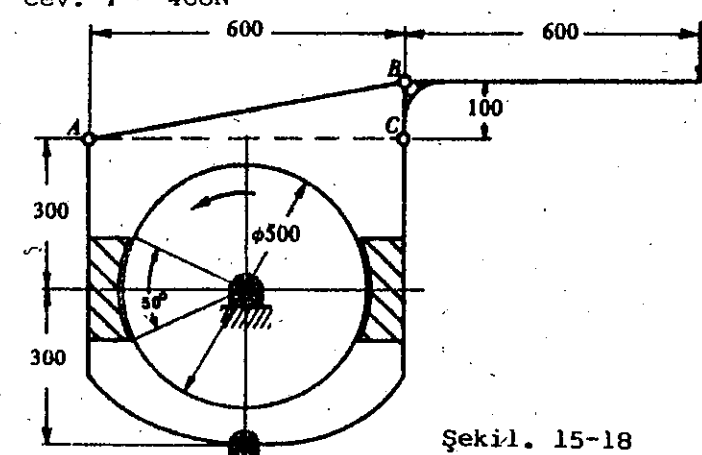
13. Şekil. 15-6'ya bakarak, simetrik olarak içe yerleştirilmiş bir fren grubu için frenleme tork ifadesini çıkarınız.

$$\text{Cev. } T = f w r^2 \left( \frac{\cos \theta_1 - \cos \theta_2}{\sin \theta_m} \right) (p_m + p'_m), p'_m = \frac{c f p_m}{M_n + M_f}$$

14. Şekil. 15-6'da görülen içten fren tertibatına benzer olmak üzere,  $\theta_1 = 15^\circ, \theta_2 = 150^\circ, f = 0,35, p_m = 850 \text{ kPa}, w = 50 \text{ min}, r = 150 \text{ mm}, c = 250 \text{ mm}$  ve  $a = 125 \text{ mm}$ , değerleri veriliyor. Frenleme torkunu hesaplayınız. Cev.  $T = 826 \text{ N m}$

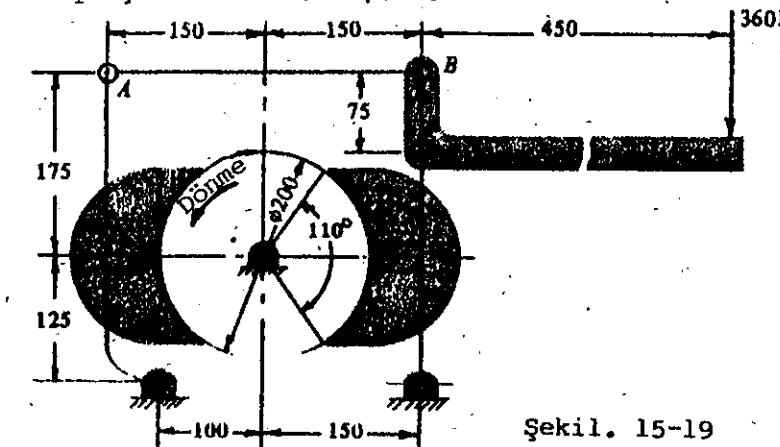
15. Ağaç pabuçlu çift takozlu bir frende, tambur dökme demirden mamuldür. ( $f = 0,3$ ). (Şekil. 15-18)

- (a) Her parça için serbest cisim diyagramını çizip ve kuvvetleri yerleştiriniz.  
(b) 300d/dk da dönen tamburla 26kW lik güç yutabilmek için gerekli çalışma kuvveti ne kadar olacaktır? Dönüş saat ibresi yönündedir. Cev.  $F = 468 \text{ N}$



Şekil. 15-18

16. Şekil. 15-19'da görülen dökme demir tamburda, çift takozlu bir fren ve ağaç pabuçlar ele alınmaktadır. Bu iki malzeme için sürtünme katsayısı 0,3 dür. Tambur 1500d/dk da dönmektedir. İsiya dönüsen ısi miktarını hesaplayınız. Cev. 46,3 kW.



Şekil. 15-19

**EĞİLME GERİLMESİ**, s., çok yapraklı yaylarda, extra boy yapraksız veya yapraklı olmak üzere, tam yükden sonra eşdeğer gerilmeye sahip olmalarını sağlamak üzere, ön gerilmeye tabi tutulmuş halde,

$$s = \frac{6FL}{nbr^2}$$

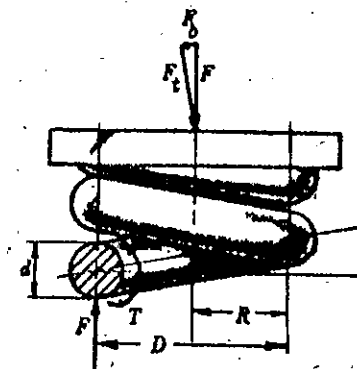
$s$  = Eğilme gerilmesi,  $N/m^2$  ve  $n$  = Toplam yaprak sayısı,

**EĞİLME GERİLMESİ**, takviye edilmiş ve extra tam boydaki yapraklardan oluşan çok yapraklı yaylarda, hep aynı değerdedir. Zira extra tam boydaki yapraklar ön gerilmeli olup, yapraklara Şekil. 16-4'de görüldüğü gibi yeni bir form verilmektedir. Bahis konusu aralik,  $h$ ,

$$h = \frac{2FL^3}{nbr^3E}$$

$h$  = Takviye yapraklarıyla, tam boydaki yapraklar arasında araliktır, m

**HELİSEL YAYLAR**, dairesel kesitli tellerden yapıılır veya Şekil. 16-5'de olduğu gibi çubuktan yapılanlarında mevcuttur. Bu yaylar burulma kesme gerilmesi ve enine kesme gerilsine maruz kalırlar. Helis eğriliğinden dolayı ilave bir gerilme ortaya çıkabilir. Enine kesme ve eğriliği hesaba katmak için, genellikle, burulma kesme gerilmesini bir düzeltme faktörüyle çarpmak gereklidir,  $K$  Bu katsayıya Wahl katsayısi denilir.



Şekil. 16-5.

**KESME GERİLMESİ**,  $F$  eksenel yükünden dolayı helisel bir yayda ortaya çıkmaktır, değeri,

$$s_s = K \frac{8FD}{\pi d^3} = K \frac{8FC}{\pi d^2}$$

$s_s$  = Toplam kesme gerilmesi  $N/m^2$

$D$  = Sarginin ortalaması çapı, m

$$K = \frac{4C-1}{4C-4} + \frac{0.615}{C} \quad \text{Wahl katsayısi}$$

$F$  = Eksenel yük, N  
 $d$  = Tel çapı, m

$$C = \frac{D}{d} \quad \text{Yay indexi.}$$

**SEHİM**, Eksenel yükten dolayı, helisel bir yayda,

$$y = \frac{8FD^3 n}{d^4 G} = \frac{8FC^3 n}{dG}$$

$n$  = Sargı sayısı,  $y$  = Eksenel sehim, m  $G$  = Rigidlik modülü,  $N/m^2$

**YAY ORANI**, veya yay sabitesi, beher metre sehim başına düşen newton olarak tanımlanır.

$$k = \frac{F}{y}$$

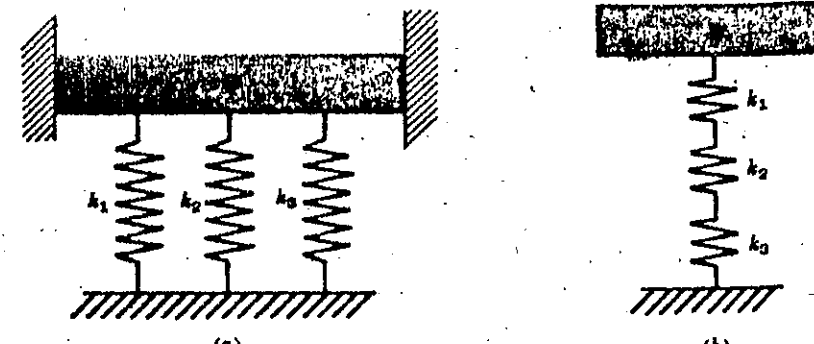
$$k = \frac{Gd}{8C^3 n} \quad \text{eksenel yük altında, helis yay için}$$

**YAY SABİTESİ**, parel bağlı yaylarda, ayrı ayrı değerdedir. (Şekil. 16-6(a)),

$$k = k_1 + k_2 + k_3$$

**YAY SABİTESİ**, seri bağlı yaylarda, aşağıda görüldüğü gibi bulunabilir.

$$k = \frac{1}{1/k_1 + 1/k_2 + 1/k_3}$$



Şekil. 16-4.

**DEPOLANAN ENERJİ**, (Eng), Hook kanununa uyarak, lineer kuvvet sehim bağlantılarıyla,

$$(Eng)_s = \frac{1}{2} Fy \quad \text{veya} \quad (Eng)_s = \frac{1}{2} T\theta \quad \text{şeklinde bulunur.}$$

$F$ , eksenel yükne tabi, helisel yaylar için, depolanan enerji,

$$(Eng)_s = \frac{s_s^2}{4G} J/m^3$$

Burulma yükne tabi, helis yaylarda, depolanan enerji,

$$(Eng)_s = \frac{s_s^2}{8E} J/m^3 \quad (\text{Dairesel kesitli tel})$$

$$(Eng)_s = \frac{s_s^2}{6E} J/m^3 \quad (\text{Dikdörtgen kesitli tel})$$

Ücunda eğilme kuvvetine maruz bulunan sabit mukavemetli konsol kiriş için, depolanan enerji,

$$(Eng)_s = \frac{s_s^2}{6E} J/m^3$$

Burulma kuvvetinin etkisi altında spiral yay için, depolanan enerji,

$$(Eng)_s = \frac{s_s^2}{6E} J/m^3$$

$s_s$  = Kesme gerilmesi,  $N/m^2$

$s$  = Eğilme momenti,  $N/m$

$T$  = Tork, N m

$E$  = Elastisite modülü,  $N/m^2$

$G$  = Rigidlik modülü,  $N/m^2$

$y$  = Lineer sapma, m

$\theta$  = Açışal sapma, rad.

**YAY UÇLARI**, helisel yaylarda düz veya düz ve taşlanmış, kare kesitli veya kare kesitli ve taşlanmış olabilir. (Şekil. 16-7) Bu, sargı sayısının azaltılmasına neden olabilir ve yayı serbest boyunu ve düz boyunu etkileyebilir.

Değişken gerilme,  $s_v = K \frac{8F_v D}{\pi d^3}$ , Wahl katsayısının tam değerini kullanarak hesaplanabilir.  $K = K_c K_s$ , ve  $K_c$ , eğriliğten dolayı ortaya çıkan gerilme konsantrasyonu tesirine, malzemenin hassasiyetine dayanarak gerekli bilginin var olması halinde, azaltılabilir. Bazı malzemeler, diğerlerine naza- ran daha az hassas olabilirler.

$$s_v = K \frac{8F_v D}{\pi d^3} \quad F_v = \frac{F(\max) - F(\min)}{2}$$

Ortalama gerilme,  $s_m = K_s \frac{8F_m D}{\pi d^3}$ , Wahl katsayısının statik kısmının kullanılma- sıyla hesaplanabilir.  $K_s$ , bu deneylerle de gösterilmektedir.

$$s_m = K_s \frac{8F_m D}{\pi d^3} \quad F_m = \frac{F(\max) + F(\min)}{2}$$

Yorulma-gerilme diyagramına dayanarak, AB doğrusunun kopma doğrusu olduğu söylenebilir. Böylece CD doğrusunu, aşağıdaki AB doğrusuna paralel olarak çizebiliriz. Böylece kopma gerilmesine bağlı olarak, N, makul bir emniyet sayısına müsaade edilmiş olur. CD içinde bir ifade yazılması mümkün değildir. G orijin olmak üzere, P nin koordinatları  $(s_m - \frac{1}{2}s_{rel}), s_v$ : CD

nin eğimi = AB nin eğimi =  $-\frac{\frac{1}{2}s_{rel}}{s_{ys} - \frac{1}{2}s_{rel}}$ ; ve CG yi keserek,

$$CG = AG \left( \frac{GD}{GB} \right) = \frac{1}{2}s_{rel} \left( \frac{s_{ys}/N - \frac{1}{2}s_{rel}}{s_{ys} - \frac{1}{2}s_{rel}} \right) \text{ sonra, } s_v = -\left( \frac{\frac{1}{2}s_{rel}}{s_{ys} - \frac{1}{2}s_{rel}} \right) (s_m - \frac{1}{2}s_{rel}) + \frac{1}{2}s_{rel} \left( \frac{s_{ys}/N - \frac{1}{2}s_{rel}}{s_{ys} - \frac{1}{2}s_{rel}} \right)$$

buradan da,  $N = \frac{s_{ys}}{s_m - s_v + 2s_v s_{ys}/s_{rel}}$  elde edilir.

Bulduğumuz bu ifade dizayn denklemi olarak kullanılabilir. Zira, CD üzerindeki bütün noktalar, emniyetli olan değişken ve ortalama gerilme- yi kombinasyonunu temsil etmektedir. Emniyet faktörü, 1,8 olarak alınabili- lir. Ayrıca bunun altında da ve üstünde de değerler seçilebilir. Seçim işi çalışma şartlarına bağlıdır.  $s_{rel}$  için değerler pek tamamlanmış değil-

dir. Fakat,  $\frac{530}{d^{0.2}} \text{ MN/m}^2$ , nin çeşitli değerlerine dayanılarak başka noktalar

elde edilebilir. ( $d$ ,  $m$ ). Yukarıda görülen bu ifade, 16mm çapındaki yağda temperlenmiş karbon çeliği için iyi bir yaklaşım gibi görülmektedir.

Wahl tarafından tavsiye edilen ikinci metoda, Wahl katsayısı,  $K$  nin tam değeri kullanılarak, gerilme kademlisinin elde edilmesi birinci şart, ikincisi ise,  $K_s$  kullanılarak bulunan tepe gerilmesi olup, bu da uygun bir katsayı ile bölünmüş, malzemenin kopma gerilmesi değerini ge- mez.

$$\text{Birinci şart: } s_s(\max) - s_s(\min) = K \frac{8D[F(\max) - F(\min)]}{\pi d^3} = \frac{s_{rel}}{N}$$

$s_{rel}$  = malzemenin sınır mukavemet değeri

$N$  = uygun emniyet katsayısı

$$\text{İkinci şart: } s_s(\max) = K_s \frac{8DF(\max)}{\pi d^3} = \frac{s_{ys}}{N}$$

MÜSAADE EDİLEN GERİLMELER, helisel krom-vanadyumlu çelik yaylar için, sıcak sarılmış ve şekillendirildikten sonra asıl işlem görmüş halde iken aşağıdaki tablo yapılabılır.

Çok ciddi kullanım yerlerinde, süratli kullanım söz konusu ise, minimum gerilmenin maximum gerilmeye oranı yarım veya daha az olabilir. Kesikli çalışmalar haricinde, normal çalışmalar hali ciddi kullanım halinin aynı gibidir. Hafif işlerde, yaylar statik yüklerde veya sık sık görül- meyen değişken yüklerde tabi olarak göze çarpar.

Tel çapı, mm	Çok ciddi kullanım için, MN/m <sup>2</sup>	Normal çalışma için, MN/m <sup>2</sup>	hafif işler için MN/m <sup>2</sup>
< 2	410	517	641
2 - 5	380	476	586
5 - 8	330	414	510
8 - 14	290	359	448
14 - 25	250	310	386
25 - 40	220	276	345

RONDELÂ YAYLAR, Şekil. 16-9(a)'da görüldüğü üzere konik rondelâlardan yapıllırlar. Rondelâlar seri, paralel veya seri-paralel şekilde istilenebilirler. (Şekil. 16-9(b)). Yük-sehim formülleri bir rondelâ için Almen ve Laszio tarafından verilmiştir. (ASME raporları, Mayıs, 1936, Cilt 58, No: 4). Bu da,

$$P = \frac{Ey}{(1 - \mu^2)M(d_o/2)^2} [(h - y/2)(h - y)t + t^3]$$

$$t = \frac{Ey}{(1 - \mu^2)M(d_o/2)^2} [C_1(h - y/2) + C_2t]$$

$P$  = Eksenel yük, N

$y$  = Sehim, m

$t$  = Rondelâ kalınlığı, m

$h$  = Serbest yükseklik - kalınlık, m

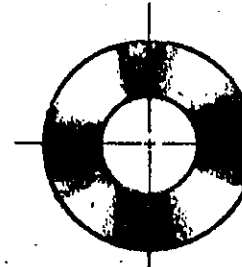
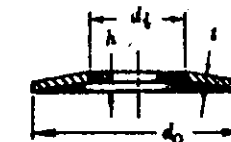
$E$  = Elastisite Modülü, N/m<sup>2</sup>

$s$  = İç çevredeki gerilme, N/m<sup>2</sup>

$d_o$  = Rondelânın dış çapı, m

$d_i$  = Rondelânın iç çapı, m

$\mu$  = Poisson oranı (çelik için, 0,3)



Şekil. 16-9(a)

$$M = \frac{6}{\pi \log(d_o/d_i)} \left[ \frac{d_o/d_i - 1}{d_o/d_i} \right]^2$$

$$C_1 = \frac{6}{\pi \log(d_o/d_i)} \left[ \frac{d_o/d_i - 1}{\log(d_o/d_i) - 1} \right]$$

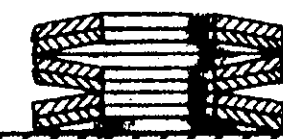
$$C_2 = \frac{6}{\pi \log(d_o/d_i)} \left[ \frac{d_o/d_i - 1}{2} \right]$$



Seri



Paralel



Paralel-Seri

Şekil. 16-9(b)

## Çözümlü Problemler

1. Çok-yapraklı bir yay için gerilme, kuvvet ve sehim bağıntılarını çıkarınız.

**Cözüm:**

Sabit boyda konsol bir kiriş ele alalım. Konsol kalınlığı uniform olup,  $t$  dir. (Şekil. 16-2(a)). Konsolun,  $b$  eninde  $n$  adet şeride ayrıldığını ve Şekil. 16-2(b)'de görüldüğü gibi istiflendiğini kabul edelim.

Üçgen kirişdeki bütün kesitlerde eğilme gerilmesi hep aynıdır. Bu durumun, şeritlerin istiflenmesinden sonra ortaya çıktığını, bunun tamamıyla doğru olmadığını bilmemize rağmen kabul edeceğiz.

$$s = \frac{Mc}{I} = \frac{FL(\frac{t}{2})12}{nbt^3} = \frac{6FL}{nbt^3}$$

Sabit mukavemetdeki kirişdeki sehim ve uniform kalınlık,

$$y = \frac{FL^3}{2EI_{(\max)}} = \frac{6FL^3}{Ebn^3}$$

Bu ifadeler aynı zamanda, yarı eliptik yapraklı yaylarda tatbik edilebilir. Orta noktadan yataklanmış iki konsol kiriş şeklinde ele alınmışlardır. (Şekil. 16-3)

Bir veya daha fazla extra tam boydaki yapraklara ilave olarak,  $n_e$ , sabit en ve kalınlıkta olmak üzere, istifin en üstündeki, yaklaşık olarak, sabit endeki bir  $e$  kiriş, paralel olarak yüklenmiş, sabit mukavemeti bir başka  $g$  kirişine eşdeğerdir (Şekil. 16-10).  $e$  ve  $g$  kirişlerinin sehimleri,

$$y_e = \frac{F_e L^3}{3EI_{(\max)e}} \quad \text{ve} \quad y_g = \frac{F_g L^3}{2EI_{(\max)g}}$$

$F_e$  ve  $F_g$ ,  $e$  ve  $g$  kirişlerince absorbe edilmiş toplam  $F$  kuvvetinin belli bölgelerini temsil etmektedir. Sehimler eşit olduğundan,  $y_e = y_g$  yazabiliyoruz veya

$$\frac{F_e L^3}{3EI_{(\max)e}} = \frac{F_g L^3}{2EI_{(\max)g}}$$

$n_g$  ve  $n_e$  takviye yaprakları ile, extra tam boydaki yaprak sayılarını aynı kabul edelim. Sonradan,  $I_{(\max)e} = n_e b t^3 / 12$  ve  $I_{(\max)g} = n_g b t^3 / 12$ . Bu değerleri bir önceki ifadeye yerine koyacak olursak,

$$\frac{F_e}{3n_e} = \frac{F_g}{2n_g} \quad \text{veya} \quad F_e = \frac{3n_e F_g}{2n_g} \quad . \quad \text{Şimdi, } F = F_e + F_g, \quad F_e = \frac{3n_e}{3n_e + 2n_g} F$$

$$s_e = \frac{6F_e L}{n_e b t^2} = \frac{18FL}{b t^2 (3n_e + 2n_g)}, \quad s_g = \frac{6F_g L}{n_g b t^2} = \frac{12FL}{b t^2 (3n_e + 2n_g)}$$

Karma yay grubu için sehim,  $y = \frac{12FL}{b t^2 (3n_e + 2n_g)}$

2. Konsantrik eksenel yük için, helisel sargılı yayda, gerilme, kuvvet ve sehim bağıntılarını çıkarınız.

**Cözüm:** Şekil. 16-5, bakarak,  $F$  eksenel kuvvetinin,  $F_b$  bileşeni,  $s$ , eğilme gerilmesini doğurur.

$$s = \frac{16FD \sin \alpha}{nd^3} \quad (\text{eğrilik etkilerini ihmal ederek})$$

Bu gerilme küçük helis açıları için ihmal edilebilir.  $F$  eksenel kuvveti,  $s_s$  burulma gerilmesini doğurur.  $T = \frac{1}{2} FD \cos \alpha \approx \frac{1}{2} FD$  olduğundan  $FD$  küçük helis açıları için

$$s_s = \frac{TR}{J} = \frac{8FD}{\pi d^3}$$

$F$  = eksenel yük,  $N$ ;  $D$  = ortalama çap,  $m$ ;  $d$  = Tel çapı,  $m$ ;  $y$  = eksenel sapma,  $m$ ;  $s_s$  = kesme gerilmesi,  $N/m^2$ .

Burulma kesme gerilmesine ilaveten, enine kesme gerilmesi ve sarginin eğriliğinden dolayı bir de ilave gerilme mevcutdur. Bu iki tesiri dahil edebilmek için, gerilme faktörü denilen,  $K$  nin kullanılması yeterli olur.

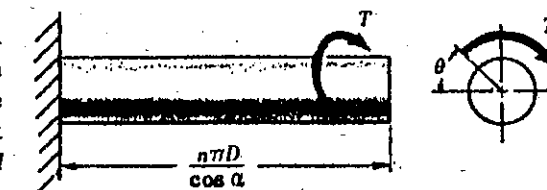
$$s_s = K \frac{8FD}{\pi d^3}$$

$$K = \frac{4C - 1}{4C - 4} + \frac{0,615}{C} \quad \text{ve yay indexi } C = D/d.$$

Helisel yaydaki sehim için, yeterli ifade, yay eğmek için gerekli işin, bükülmüş telin absorbe ettiği burulma enerjisine eşitleyerek bulunabilir.  $n$  adet sargıya sahip helisel yay,  $d$  çapında ve  $\frac{n\pi D}{\cos \alpha}$ , boyunda, düzgün bir çubuk haline dönüştürülmüş. (Şekil. 16-11). Helis açısı küçük olduğundan  $\cos \alpha$  bir alınabilir. Burada Yapılan iş = tutulan enerji

$$\frac{1}{2} Fy = \frac{1}{2} T\theta = \frac{1}{2} (\frac{1}{2} FD)\theta \quad \text{veya} \quad y = \frac{1}{2} D\theta$$

$$\text{Zira, } \theta = \frac{Tn\pi D}{JG} = \frac{16FD^2 n}{d^4 G}, \quad G = \text{Elastisite burulma modülü, N/m}^2$$



Şekil. 16-11

Çelik tel için  $G$  değeri yaklaşık olarak,  $83 \text{GN/m}^2$  dir.

3. 1 metre boyundaki konsol bir kiriş, takviyeli 8 yapraktan oluşmaktadır. Ayrıca 1 adette extra tam boyda yaprak bulunmaktadır. Yapraklar 45mm enindedir. Yay ucundaki 2000N luk bir yük, yayda 75mm lik sapmaya neden olmaktadır. Yaprakların kalınlığını ve diğer yapraklar gibi aynı gerilmeyi verecek şekilde, ön gerilmeye tabi extra tam boydaki yaprak için maximum eğilme gerilmesini hesaplayınız. Sonra, extra tam boydaki yaprakda ön gerilme olmadığını kabul ederek gerilmeyi tekrar hesaplayınız.

**Cözüm:**

$$y = \frac{12FL^3}{b t^2 (2n_g + 3n_e) E}, \quad 0,075 = \frac{(12)(2000)(1)^3}{(0,045)t^2 (16 + 3)(200 \times 10^9)}, \quad t^3 = 1,87 \times 10^{-6}, \quad t = 12,3 \text{ mm}$$

$$\text{Ön gerilmeli extra tam boydaki yaprakda, } s = \frac{6FL}{nbt^2} = \frac{(6)(2000)(1)}{(9)(0,045)(0,0123)^2} = 195 \text{ MN/m}^2$$

$$\text{Ön gerilmesiz, } s_e = \frac{18FL}{b t^2 (2n_g + 3n_e)} = \frac{(18)(2000)(1)}{(0,045)(0,0123)^2 (16 + 3)} = 277 \text{ MN/m}^2$$

4. 1,6mm lik çelik telden mamul bir helisel yay için, müsaade edilen sapma ve gerekli sargı sayılarını tayin ediniz. Yay indexi 6 ve müsaade edilen gerilme  $345 \text{ MN/m}^2$ , kesmedir. Yay sabitesi  $1800 \text{ N/m}$  dir.

Çözüm:

$$\text{Yay sabitesi, } C = \frac{D}{d}, 6 = \frac{D}{1,6}, D = 9,6 \text{ mm, Wahl katsayısi, } K = \frac{4C - 1}{4C - 4} + \frac{0,615}{C} = 1,25.$$

$$\frac{F}{y} = \frac{dG}{8C^3 n}, 1800 = \frac{(0,0016)(80 \times 10^9)}{8(6^3)n}, n = 41,2 \text{ devir}$$

$$\text{Kuvvet ve sapmayı bulmak için, } s_s = K \frac{8FD}{\pi d^3}, 345 \times 10^6 = \frac{1,25(8)F(0,0096)}{\pi(0,0016)^3}, F = 46,2 \text{ N}$$

Sapma 46,2/1800 ile sınırlandırılmıştır. Örn. 25,7 mm

5. Ortalama çapı 125mm ve yay sabitesi 72kN/m olan bir yay sargası dizayn yapınız. Toplam eksenel yük, 8000N ve müsaade edilen gerilme 275MN/m<sup>2</sup>

Çözüm:

Dizayn için  $n$ , sargı sayısı ve  $d$ , tel çapının hesap edilmesi gereklidir.

$$s_s \text{ i kullanarak, } s_s = K \frac{8FD}{\pi d^3}, d = \frac{D}{C}, KC^3 = \frac{s_s \pi D^2}{8F} = \frac{(275 \times 10^6)\pi(0,125)^2}{8(8000)} = 211 \text{ (müsaade edilen)}$$

$$\text{Denemeyle, } \left( \frac{4C - 1}{4C - 4} + \frac{0,615}{C} \right) C^3 = 211, C = 5,5$$

 $d = 125/5,5 = 22,7 \text{ mm, } 25 \text{ mm lik tel kullanınız.}$ 

$$\frac{F}{y} = \frac{d^4 G}{8D^3 n}, 7200 = \frac{(0,025)^4(80 \times 10^9)}{8(0,125)^3 n}, n = 27,8 \text{ sarım}$$

6. 18kN/m lik yay sabitesine sahip sargaslı yay 30mm ye bastırılmaktadır. Sargaslar kapalıdır. Müsaade edilen gerilme 345MN/m<sup>2</sup>, yay indexi,  $C = 8$ , uçlar kare kesitli ve taşlanmıştır ve  $G = 83GN/m^2$ . Gerekli tel çapını,  $d$ , yi sargı çapını,  $D$  ve yayın kapanmış haldeki boyunu hesaplayınız.

Çözüm:

$$K = \frac{4C - 1}{4C - 4} + \frac{0,615}{C} = 1,184. \text{ Sonra, } s_s = K \frac{8FC}{\pi d^2}, 345 \times 10^6 = \frac{(1,184)(8)(0,030 \times 18.000)8}{\pi d^2},$$

 $d = 6,14 \text{ mm, } 6,3 \text{ mm lik tel kullanınız.}$ 

$$D = dC = 6,3 \times 8 = 50 \text{ mm.}$$

$$\frac{F}{y} = \frac{d^4 G}{8D^3 n} = \frac{dG}{8C^3 n}, 18.000 = \frac{0,0063(83 \times 10^9)}{8 \times 8^3 n}, n = 7,09 \text{ sarım}$$

$$\text{Kapanmış halde boy} = (n+2)d = (7,09+2)(6,3) = 57,3 \text{ mm.}$$

7. Elevatör mil grubunun altında, 8 penzer yay paralel olarak, herhangi bir arıza anında ortaya çıkacak darbeyi absorbe etmek için bağlanmışlardır. Elevatör 28kN gelmekte ve durgun halden 1,2 metreye kadar serbest düşme yapacağı kabul edilerek, her yaydaki maximum gerilmeyi tayin ediniz. Yollar 30mm lik çubuklardan mamuldürler. Her yay için yay indexi 6 ve sargı sayısı 15 dir. Sistemdeki kontrupaların herhangi bir etkisini ihmali ederek,  $G$ 'yi  $83GN/m^2$  alınız.

Çözüm:

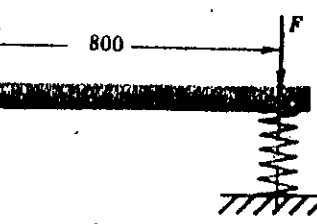
$$\text{Beher yay tarafından yutulan enerji, } = \frac{28.000}{8}(1,2+y) = \frac{1}{2} \text{ buradanda } y = \frac{8400}{F - 7000}$$

bulunur.  $F$ , maximum yay kuvvetidir. Sonra,

$$y = \frac{8FC^3 n}{dG} = \frac{8F(6^3)15}{0,030(83 \times 10^9)} = \frac{8400}{F - 7000} \text{ dan } F = 32,1 \text{ kN elde edilir.}$$

$$\text{Şimdi, } K = \frac{4C - 1}{4C - 4} + \frac{0,615}{C} = 1,25, \text{ i kullanarak, } s_s = K \frac{8FC}{\pi d^2} = \frac{(1,25)(32,100)(6)8}{\pi(0,030)^2} = 682 \text{ MN/m}^2 \text{ bulunur.}$$

8. Yatay, sabit mukavemetli çelik konsol kirişin uçu doğrudan, düşey sargaslı bir yayın tam üstünde ve onunla temas halindedir. (Şekil. 16-12) Sabit ucunda kiriş eni 600mm ve boyu 800mm ve kalınlığı 12mm dir. Tel sargasında, 12,5mm lik telden mamul 10 adet sargı bulunmaktaadır ve dış çap 100mm olarak verilmektedir.  $G = 83GN/m^2$  ve  $E = 200GN/m^2$  dir.



Şekil. 16-12

- (a) 40mm lik sehime neden olacak, tedrici olarak konsol kirişin uç tarafına tatbik edilen  $Q$  kuvveti ne kadar olmalıdır?  
 (b) Sabit uçdan 400mm ötede, kirişte ortaya çıkan eğilme gerilmesi ne kadardır?  
 (c) Yay sargası tarafından yutulan enerji ne kadardır?

Çözüm:

Bütün yaylar aynı sehime sahiptirler. Sargaslı yay için,

$$y = \frac{8FD^3 n}{d^4 G}, 0,04 = \frac{8F(0,0875)^3 10}{(0,0125)^4 (83 \times 10^9)}, F = 1512 \text{ N}$$

$$\text{Konsol yayı için, } y = \frac{F'L^3}{2EI_{(\max)}}, 0,04 = \frac{F'(0,8)^3}{2(200 \times 10^9)[0,6 \times 0,012^3/12]}, F' = 2700 \text{ N}$$

$$(a) Q = 1512 + 2700 = 4212 \text{ N, (b) } s = \frac{Mc}{I} = \frac{(2700 \times 0,4)(0,006)}{[(0,6/2)(0,012^3)/12]} = 150 \text{ MN/m}^2$$

$$(c) Sargı yayda yutulan enerji, = \frac{1}{2} Fy = \frac{1}{2} \times 1512 \times 0,04 = 30,2 \text{ N.m}$$

9. Bir helisel yay bir başka yayın içine yerleştirilmiştir. Ölçüler tabloda verilmiştir. Her iki yayın serbest boyları aynı olup, toplam 2500N luk maximum yük taşımaktadırlar.

	Dişdaki yay	İçdeki yay
Sarımlı sayısı	6	10
Tel çapı	12,5mm	9,00mm
Ortalama sargı çapı	100mm	70mm

- (a) Beher yay tarafından taşınan maximum yük, (b) her yay için toplam sehim, (c) iki yaydaki maximum gerilme,  $G = 83GN/m^2$  alınız, yi hesaplayınız.

Çözüm:

Her yay aynı sehime sahip olduğundan,

$$y = \frac{8F_i D_i^3 n_i}{G d_i^4} = \frac{8F_o D_o^3 n_o}{G d_o^4}, \frac{8F_i(0,07)^3 10}{G(0,009)^4} = \frac{8F_o(0,1)^3 6}{G(0,0125)^4}, F_i = 0,470 F_o$$

- (a) Benzer türdeki çözümlerle,  $F_i = 0,470 F_o$  ve  $F_i + F_o = 2500$  den  $F_i = 799 \text{ N}$   $F_o = 1701 \text{ N}$

$$(b) y = \frac{8(799)(0,07)^3 10}{83 \times 10^9 (0,009)^4} = 40,3 \text{ mm}$$

$$(c) İçdeki yayda, C = \frac{70}{9} = 7,778, K = \frac{C-1}{C-4} + \frac{0,615}{C} = 1,190$$

$$\text{ve } s_s = K \frac{8F_i D_i}{\pi d_i^3} = \frac{8(1,190)(799)(0,07)}{\pi(0,009)^3} = 232 \text{ MN/m}^2$$

$$\text{Dişdaki yayda, } C = \frac{100}{12,5} = 8,00, K = 1,184 \text{ ve } s_s = K \frac{8F_o D_o}{\pi d_o^3} = \frac{8(1,184)(1701)(0,1)}{\pi(0,0125)^3} = 263 \text{ MN/m}^2$$

10. Yağda temperlenmiş karbon çeliğinden mamul bir yay üzerindeki yük 600 ilâ 1600N arasında değişmektedir. Sarginin ortalama çapı 60mm ve arzu edilen emniyet katsayısı 1,3 olup, bu katsayı değişken gerilmelere bağlıdır. Gerekli tel çapını hesaplayınız.  $s_{ys} = 700 \text{ MN/m}^2$

CÖZÜM:

Birinci method.

$$F_m = \frac{1}{2}(600 + 1600) = 1100 \text{ N}, F_v = \frac{1}{2}(1600 - 600) = 500 \text{ N}$$

$$s_m = K_s \frac{8F_m D}{\pi d^3} = K_s \frac{8(1100)(0,06)}{\pi d^3} = \frac{168K_s}{d^3}, s_v = K \frac{8F_v D}{\pi d^3} = K \frac{8(500)(0,06)}{\pi d^3} = \frac{764K}{d^3}$$

Probl̄em bundan sonra deneme ve sınıma yoluyla çözülebilir. Önce 10mm tel için deneme yapalım.

$$C = \frac{60}{10} = 6, K_s = 1 + \frac{0,5}{C} = 1,083, K = \frac{4C - 1}{4C - 4} + \frac{0,615}{C} = 1,253$$

$$s_m = \frac{(1,083)(168)}{(0,01)^3} = 182 \text{ MN/m}^2, s_v = \frac{(1,253)(76,4)}{(0,01)^3} = 96 \text{ MN/m}^2$$

$$s_{(rel)} = \frac{530}{d^{0,2}} = 334 \text{ MN/m}^2, N = \frac{s_{ys}}{s_m - s_v + 2s_v s_{ys}/s_{(rel)}} = 1,43 \text{ (yeterli)}$$

10mm lik yağda temperlenmiş karbon çeliğini kullanınız.

İkinci method. 10mm teli deneyelim.

$$s_s(\max) - s_s(\min) = K \frac{8D[F(\max) - F(\min)]}{\pi d^3} = \frac{s_{(rel)}}{N}$$

$$= \frac{(1,253)(8)(0,06)(1000)}{\pi(0,01)^3} = 191 \text{ MN/m}^2 = \frac{334}{N}$$

buradanda  $N = 1,75$  (dayanma mukavemetine bağlı olarak)

$$s_s(\max) = K_s \frac{8DF(\max)}{\pi d^3} = \frac{s_{ys}}{N}$$

$$= \frac{(1,083)(8)(0,06)(1600)}{\pi(0,01)^3} = 265 \text{ MN/m}^2 = \frac{700}{N}$$

Buradanda,  $N = 2,64$  (kopma mukavemetine bağlı olarak)  
10mm lik tel için emniyet faktörü yeterlidir.

## Tamamlayıcı Problemler

11. Yaprak halinde, yarı eliptik yay 12kN luk yük altında 1m lik efektif boyaya sahip olup, 75mm den fazla sehim yapmamaktadır. Yayda 10 adet yaprak bulunmaktadır. Bunlardan ikisi tam boyda olup öyle ön gerilme verilmiştir, yük tatbikinden sonra bile diğer yapraklarla eşdeğer, gerilmeye sahip olmaktadır. Bütün yaylarda en ve kalınlık aynıdır. Yapraklardaki maximum gerilme  $350 \text{ MN/m}^2$  geçmeyecektir. Yapraklarda en ve kalınlığı hesap ediniz. Cev.  $b = 183 \text{ mm}$  ve  $t = 5,3 \text{ mm}$

12. Helisel basma yayı çelik telden imal edilmiştir. Müsaade edilen kesme gerilmesi  $700 \text{ MN/m}^2$ , elastisite modülü ise,  $80 \text{ GN/m}^2$  dir. Yaya ait ortalama çap 150mm ve 4000N luk yük tatbik edilmektedir. Tel maximum gerilme tatbik edilmesi halinde, tel ölçüsü ne olacaktır. Cev.  $d = 13,5 \text{ mm}$ , 14mm kullanınız.

13. Aşağıdaki özellikleri taşıyan bir tel sargısı için, tel çapını hesaplayınız. Yayın ortalama çapı = 150mm, yay sabitesi =  $8 \text{ kN/m}$ , çalışma yükü =  $7,5 \text{ kN}$ , dizayn gerilmesi =  $280 \text{ MN/m}^2$ , Cev.  $d = 23,5 \text{ mm}$ , 24mm yi kullanınız.

14. Aşağıda verilen şartlarda dizayn edilen, yapraklı konsol yay için,

gerekli yay kalınlığı ne olacaktır?

Yaydaki yük = 2000N, dizaynda çeki gerilmesi =  $350 \text{ MN/m}^2$ , toplam yaprak sayısı = 8, extra, tam boydaki yaprak sayısı = 2, Yaprak eni = 50mm Cev.  $t = 6,55 \text{ mm}$

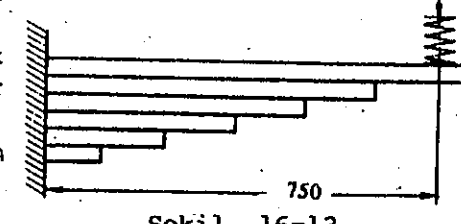
15. Helisel bir yay bir yayın içine yerleştirilmiştir. Dışdaki yayın serbest boyu içdekine nazaran 40mm daha uzundur. Her yaya ait ölçüler aşağıda verildiği gibidir.

	Dış yay	İç yay
Ortalama çap	100mm	64mm
Tel çapı	12,5mm	12,5mm
İşlemeyen sargı	2	2
Çalışan sargı	20	15

Dışdaki yayı 60mm kadar sehime tabi tutabilmek için, yeterli yük tatbikinden sonra iki yay için ortak yay sabitesini hesaplayınız.  $G = 83 \text{ GM/m}^2$  alınacaktır. Cev.  $77,1 \text{ kN/m}^2$ .

16. 100mm dış çapındaki çelik sarımlı telde 10 adet çalışan sargı vardır. Tel çapı 12,5mm ve 750mm boyundaki çelik konsol yayla temas halindedir. Konsol yayda 6 adet takviye yaprağı mevcut olup, bunlar 100mm eninde ve 6,5mm kalınlığındadır (Şekil. 16-3).

- (a) Konsol yaya 25mm lik sehim yaptırın, sarımlı yayın üstünde ne kadar kuvvet,  $F$  tatbik edilmelidir?  
(b) Sarımlı yayda ortaya çıkan maximum kesme gerilmesi ne kadardır?  
Cev.  $F = 326 \text{ N}$ ,  $s_y = 451 \text{ MN/m}^2$ .



Şekil. 16-13

17.  $W = 10 \text{ kN}$  luk bir ağırlık, yay (yaylarla) ile Şekil. 16-4'de görüldüğü üzere taşınmaktadır. Ağırlıktan belli bir değerde tabii frekanslı titreşim arzu edilmektedir. İstenilen frekans için yay sabitesinin  $250 \text{ kN/m}$  olduğu bilinmektedir.

Hurdalıkta aşağıdaki özellikleri taşıyan bir grup yayın bulunduğu söylmektedir.

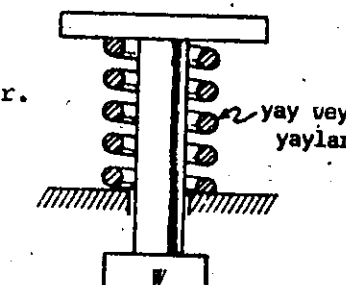
Ortalama çapı = 75mm

Yay indexi = 6

Çalışan sargı sayısı = 8

Kesmede elastisite modülü =  $80 \text{ GN/m}^2$

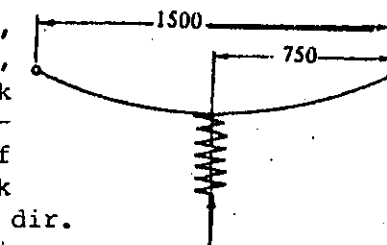
Çekide elastisite modülü =  $200 \text{ GN/m}^2$



Şekil. 16-14

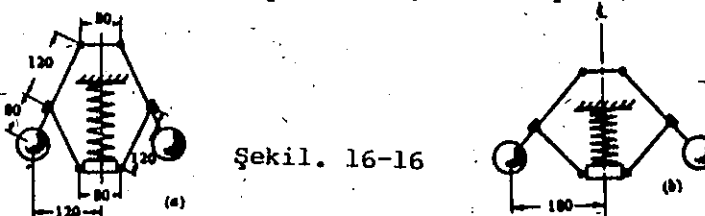
- (a) Kaç tane yay kullanılacaktır ve yaylar arzulanan yay sabitesine yaklaşabilemek için nasıl yerleştirilecektir?  
(b) Gerektiği kadar büküm sağlayabilmek için her yayın değiştirilebileceğini kabul ederek ve her yayın ucunu tekrar elden geçirerek şartıyla, her yaydan alınması gereken çalışan sargı miktarını bulunuz. Yeni durumda yay sabitesi  $250 \text{ kN/m}$  olmalıdır?  
(c) Her yay için maximum kesme gerilmesi (a) ve (b) şıkları için ne olacaktır? Cev. (a) 3 veya 4 yayı paralel olarak kullanınız.  
(b) Eğer 3 yay kullanılırsa, her yaydan bir çalışan büküm kesiniz.  
(c)  $s_y = 295 \text{ MN/m}^2$ , her iki durum için geçerlidir.
18. Şekil. 16-15'e bkz. Yarı eliptik bir yapraklı yayda efektif boy 1,5m dir. Yay yuvası, kelepçelerin orta noktasında tespit edilmiş

halde, helisel bir yay taşımaktadır. Söz konusu yay üzerine 1000N lük enerjiye, eşdeğer bir darbe yapılmaktadır. Yapraklı yay, 10 ayrı yaprakdan oluşmaktadır. Ayrıca, iki tanede extra tam boyda iki yaprak bulunmaktadır. Her biri 6,5mm ve 50mm genişliğindedir. Helezon yay, 6 efektif bükümden oluşmaktadır ve tel çapı 50mm olarak verilmektedir. Ortalama helezon çapı 100mm dir. Her yayda ortaya çıkacak, maximum gerilmeyi hesaplayınız. Cev.  $s_y = 898 \text{ MN/m}^2$ , helezon yayda,  $s = 516 \text{ MN/m}$ , yaprak yayda



Şekil. 16-15

19. Yay yüklü bir regülatör tapuzu Şekil. 16-16(a)'da görülen ölçülerde belirtilmektedir. Topların 120mm yarıçapta uygun bir hızda dönebilmeleri için 170N lük bir yay kuvvetine ihtiyaç vardır. Şekil. 16-16(b)'de görüldüğü üzere, limit konumun 180mm lik yarıçapta ortaya çıktığı gözlenmektedir. Uygun bir hız regülasyonu için, yay kuvvetinin, bu konumda 310N olması gerekmektedir.
- (a) Yay sabitesini hesaplayınız.
  - (b)  $310 \text{ MN/m}^2$  lik maximum kesme gerilmesi ve yay sabitesi 8 için, tel çapını ve ortalama helezon çaplarını hesaplayınız.
  - (c)  $G = 81 \text{ GN/m}^2$  lik kesme modülünü kullanarak, çalışan büüküm sayısını hesaplayınız.
  - (d) Her uça, bir tane efektif olmayan büüküm olması halinde, gerekli serbest boyu hesaplayınız. Yay Şekil. 16-16(b)'de görüldüğü gibi kapalı durumda bulunmaktadır.
  - (e) ?
- Cev. (a)  $6,94 \text{ kN/m}$ , (b)  $d = 6,3 \text{ mm}$ ,  $D = 50 \text{ mm}$ , (c)  $n = 18$  çalışan büüküm, (d) serbest boy = 200mm, (e) Boy = 175mm



Şekil. 16-16

20. Karbonlu çelikten mamul bir helezon yayda ortalama çap  $37,5 \text{ mm}$  olup,  $12,5 \text{ mm}$  lik çubuktan bükülmüşlerdir. Yay sabitesi 3 dür.  $7000 \text{ N}$  lük ve  $5000 \text{ N}$  lük minimum değişken yükün etkisi altındadır. Eğer malzemenin burulmadan dolayı kopma gerilmesi  $700 \text{ MN/m}^2$  ise ve dayanma limitinin  $300 \text{ MN/m}^2$  olduğu biliniyor. Kopma ve dayanma açısından, yayın çalışma anında sahip olması gereken emniyet katsayısını hesaplayınız. Cev. Dayanma için,  $N = 1,94$  ve kopma için  $N = 1,75$ .
21. Basiya maruz bir yay, maximum değeri, minimum değerinin 3 katı olan bir yükde çalışacaktır. Aşağıda özellikleri verilen yay stokda bulunmaktadır. Bu yük şartları altında kapasitesinin yeterli olup olmadığını gösteriniz. Yay özellikleri, Malzeme, yaðda temperlenmiş, karbonlu çelikten,  $s_y = 700 \text{ MN/m}^2$ , ortalama sargı çapı =  $50 \text{ mm}$ , tel boyutu =  $10 \text{ mm}$ , çalışan sargı sayısı = 11, çalışmayan sargı sayısı = 2 (her ucta birtane), yayın serbest boyu =  $175 \text{ mm}$ . Değişken gerilmelere göre alınan 1,3 lük dizayn katsayısı için, izin verilecek en yüksek yük değeri nedir? (wahl katsayısının tam değerini değişken gerilmeye tatbik ediniz), ortalama gerilmeye tatbik edilen enine kesme için düzeltme yapan Wahl katsayısının belli bir kısmını kullanınız. Cev.  $F(\max) = 1820 \text{ N}$

## Diþli Kuvvetleri

**DIÞLI KUVVETLERİNİN BÝLEÅENLERİ**, daha ziyade bileþke kuvvetten hesaplanırken, bileþke, bileþen vektörlerinin toplamıyla bulunabilmektedir. Bileþenler, yatak reaksiyon kuvvetlerinin, mil boyutlarının, vb. hesaplanmasında kullanılmaktadır.

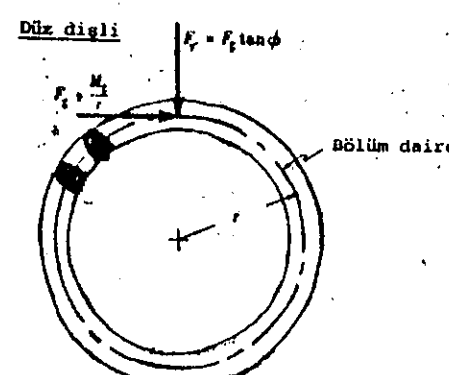
**SÜRTÜNMÝ KATSAYILARI**, düz, helisel ve konik diþlilerde oldukça küçütür, dolayısıyla bu türdeki diþliler %100 lük verimde çalışıyor kabul edilebilir bulunduğu öyle durumlar vardır ki, düz diþlilerin verimler çok düşük olmalarına rağmen, hesaba katılmalıdır. Bilhassa planet diþli sistemindeki döner güç hali için bu durum her zaman geçerlidir.

Sonsuz vida ve sonsuz vida diþlisi, mamañih, düz, konik ve helisel diþliler kadar verimli değildir. Böylece, sonsuz vida ve sonsuz vida diþlilerinde kuvvet bileþenlerinin tayininde sürtünme çogu zaman hesaba katılır.

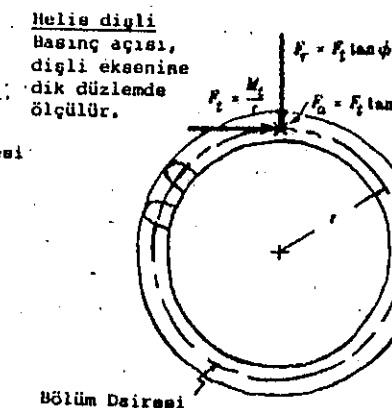
### DÜZ DIÞLÝ, kuvvet bileþenleri (Şekil. 17-1'e bkz.)

- Tegetsel kuvvet  $F_t = M_t/r$ ,  $M_t$  = diþli torku ve  $r$  = diþlide bölüm dairesi yarıçapı.
- Ayarıcı veya radyal kuvvet,  $F_r = F_t \tan \phi$ ,  $\phi$  basınç açısıdır. (kavrama açısı)

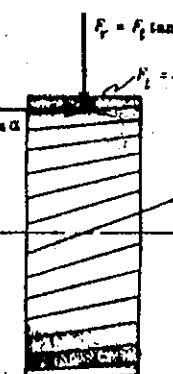
Radyal kuvvetin her zaman diþli merkezine doğru olduğunu unutmayın.



Şekil. 17-1



Şekil. 17-2



**HELÝS DIÞLÝ**, kuvvet bileþenleri, iki ayrı şekilde tarif edilir. Tarif, basınç açısının tanımına bağlıdır. İki tane standart mevcuttur. Bunlar, (1) basınç açısı, diþli eksene dik düzlemede ölçülmektedir, (2) basınç açısı,  $\phi_n$ , diþe normal olan düzlemede ölçülmektedir. (Şekil. 17-2 ve Şekil. 17-3'e bkz.)

(1) Eğer basınc açısı, dişli eksenine dik bir düzlemede ölçülürse, bileşenler, (Şekil. 17-2'ye bkz.)

- Teğetsel kuvvet,  $F_t = M_t/r$
- Radyal kuvvet,  $F_r = F_t \tan \phi$
- Basma kuvveti,  $F_a = F_t \tan \alpha$

$r$  = dişli (bölüm dairesi yarıçapı)

$\phi$  = dişli eksenine dik olan düzlemede ölçülen basınc açısı

$\alpha$  = dişli ekseninden ölçülen helis açısı

(2) Eğer basınc açısı, dişe dik düzlemede ölçülürse, bileşenler, (Şekil. 17-3'e bkz.)

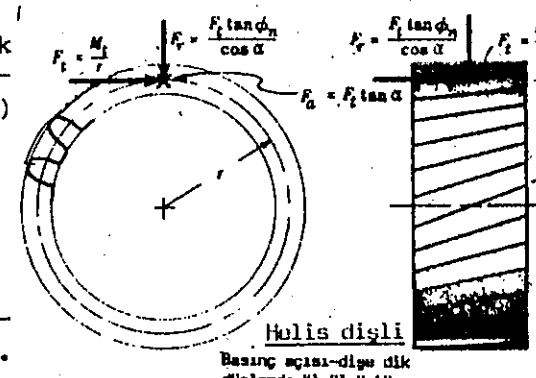
- Teğetsel kuvvet,  $F_t = M_t/r$

$$\text{b. Radyal kuvvet, } F_r = \frac{F_t \tan \phi_n}{\cos \alpha}$$

- Basma kuvveti,  $F_a = F_t \tan \alpha$

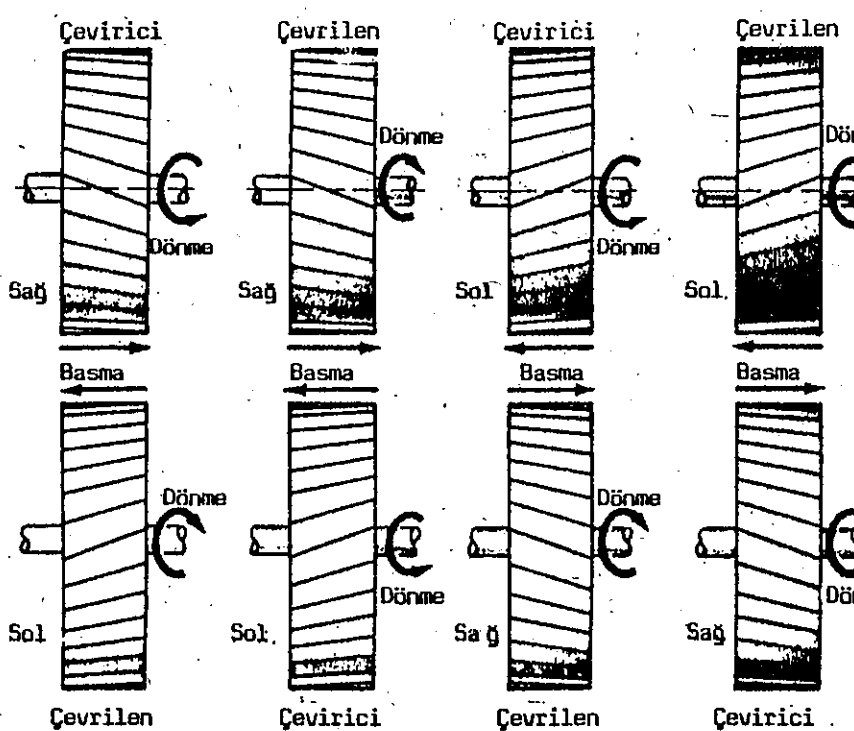
$\phi_n$  = Dişe dik düzlemede ölçülen basınc açısı.

$\alpha$  = Dişli ekseninden ölçülen helis açısı.



Şekil. 17-3

Basma kuvvetinin yönü, dönmeye yönünü diş yönüne bağlıdır. Sağ ve sol helis dişlilerde dört ayrı kombinasyon, dönüş yönleri dikkate alınarak, Şekil. 17-4'de gösterilmiştir. Ayrıca basma yönü belirtilmiştir. Dönüş yönünün değiştirilmesiyle de basma yönü de değişecektir.



Şekil. 17-4

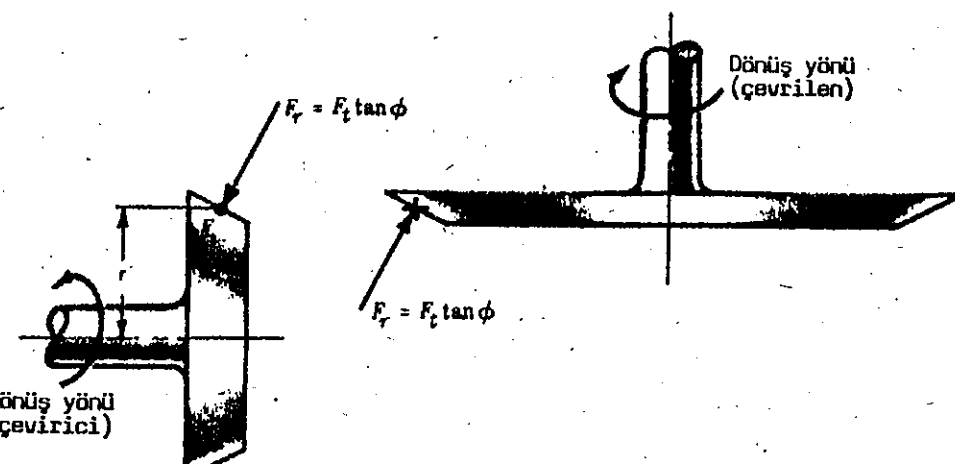
DÜZ DIŞLİ KONİK DIŞLILER, de kuvvet bileşenleri, aşağıda (Şekil. 17-5(a)) da gösterilmiştir.

- Teğetsel kuvvet,  $F_t = M_t/r$ .

Bu kuvvetin ortalama bölüm dairesi yarıçapında etkili olduğu kabul edilmektedir.

- Radyal kuvvet,  $F_r = F_t \tan \phi$

$\phi$  basınc açısıdır. Radyal kuvvet iki bileşenine ayrılabilir. Pinyon eksen boyunca olan kuvvet bileşenine pinyon basma kuvveti  $F_p$ , ve dişli eksen boyunca olan kuvvet bileşenine dişli basma kuvveti,  $F_x$  denilebilir.



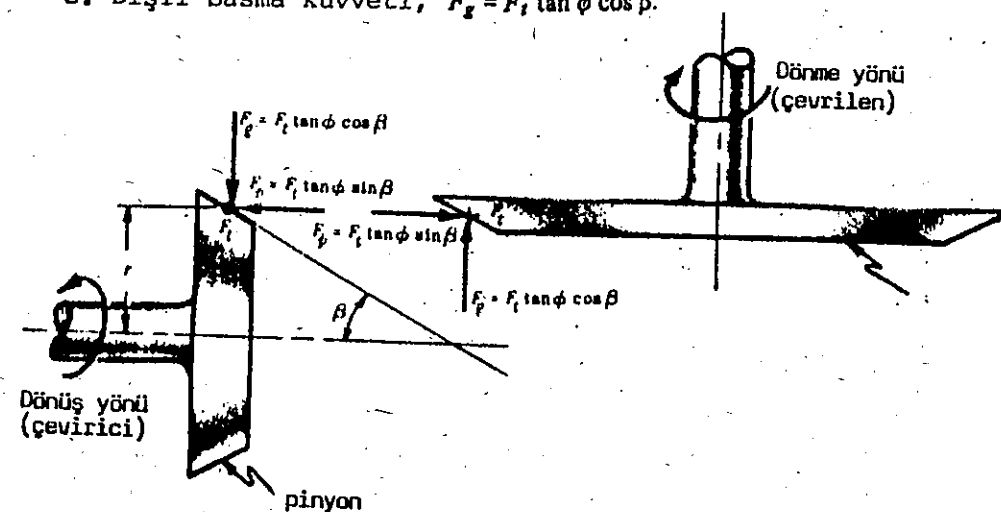
Şekil. 17-5(a)

Karşılıklı olarak birbirlerine dik olan üç bileşen aşağıda gösterildiği gibidir. (Şekil. 17-5(b)).

- Teğetsel kuvvet,  $F_t = M_t/r$ , ortalama pinyon bölüm dairesi yarıçapı,  $r$ , da etkili  $M_t$ , pinyondaki torkdur.

- Pinyon basma kuvveti,  $F_p = F_t \tan \phi \sin \beta$   
 $\beta$  pinyonun koniklik açısıdır.

- Dişli basma kuvveti,  $F_x = F_t \tan \phi \cos \beta$ .



Şekil. 17-5(b)

**SONSUZ VIDALI KONİK DİŞLİ ÇARK,** ait kuvvet bileşenleri düz dişli konik dişli çarka nazaran daha karmaşıktır. Ortalama bölüm dairesi yarıçapı,  $r$  da teğetsel kuvvet,  $F_t = M_t/r$ ,  $M_t$  torkdur.

Pinyon basma kuvveti,  $F_p$  ve dişli çark basma kuvveti,  $F_g$ , değişik şekillerde tanımlanabilir. Bu tanım basınç açısının ölçüm şekline bağlıdır. Pinyon ve dişli çark basma kuvvetleri,  $\phi_n$  basınç açısıyla birlikte, açının diş düzleme dik düzlemede ölçülmüş olmasıyla, helezon yönleri için değişik olmaktadır. (Şekil. 17-6(a-d) (Sağ ve sol dişler) ve dönüş yönleri içinde farklı olmaktadır. Semboller,

$F_p$  = Pinyon basma kuvveti,

$F_g$  = Dişli çark basma kuvveti

$F_t$  = Ortalama yarıçap,  $r$  da torka neden olan teğetsel kuvvet,

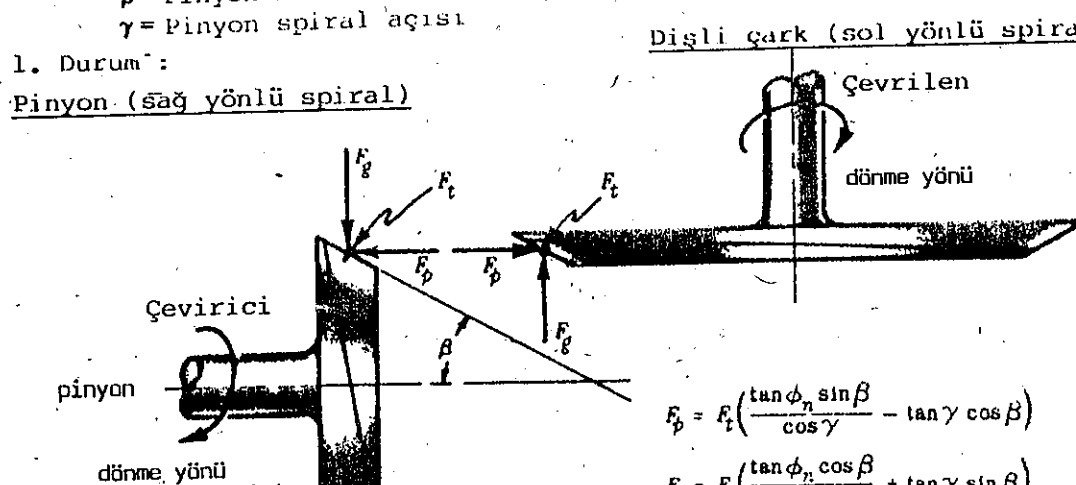
$\phi_n$  = Diş normal düzlemede ölçülen basınç açısı

$\beta$  = Pinyon bölüm dairesel koniklik açısı

$\gamma$  = Pinyon spiral açısı

#### 1. Durum:

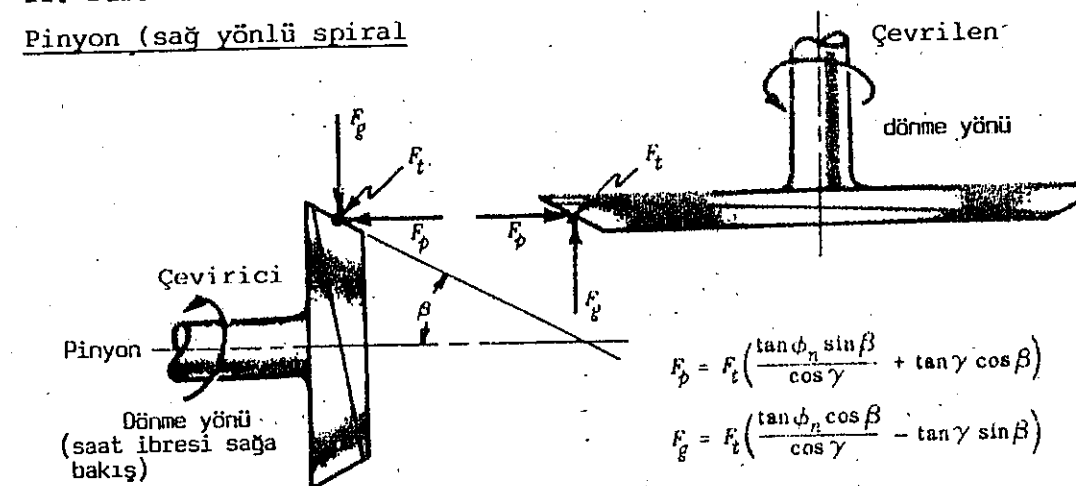
##### Pinyon (sağ yönlü螺旋)



Şekil. 17-6(a)

#### II. Durum

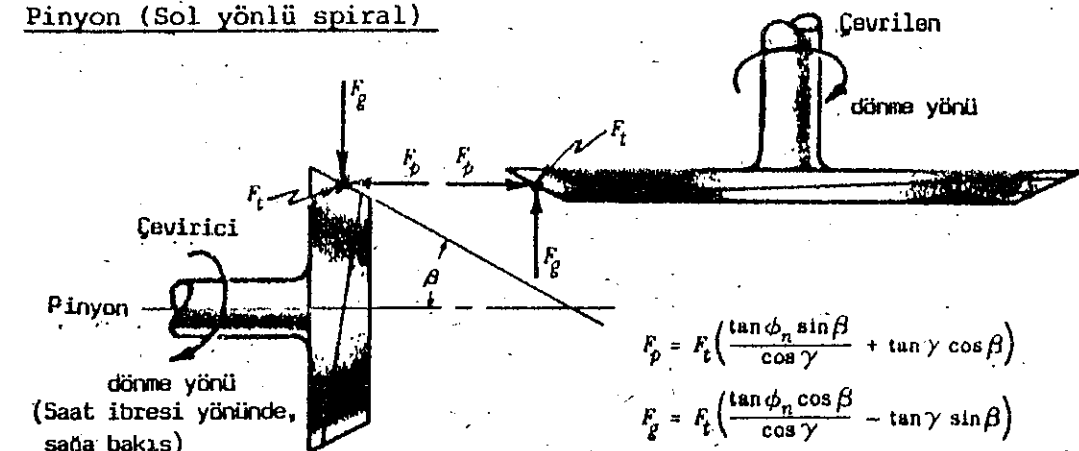
##### Pinyon (sağ yönlü螺旋)



Şekil. 17-6(b)

#### III. Durum:

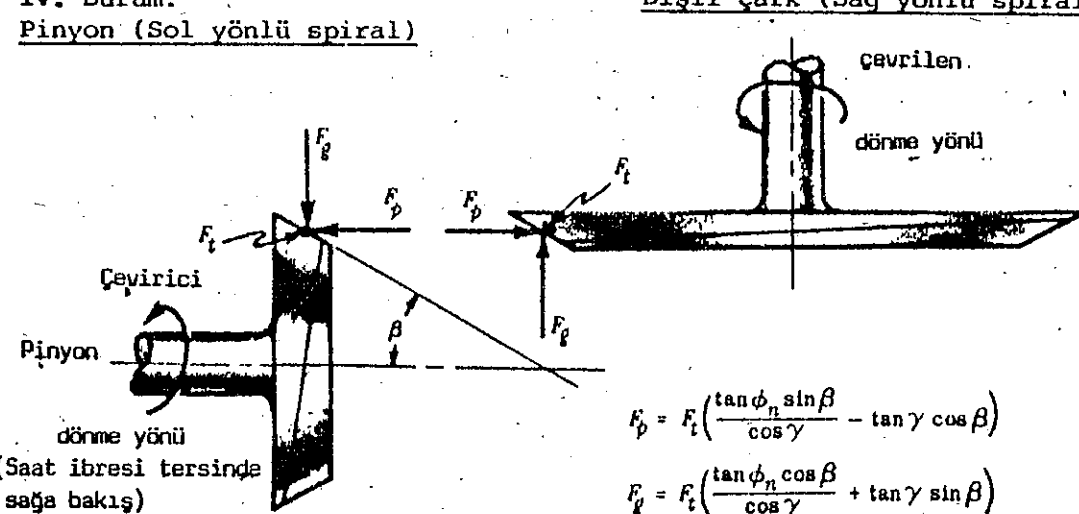
##### Pinyon (Sol yönlü螺旋)



Şekil. 17-6(c)

#### IV. Durum:

##### Pinyon (Sol yönlü螺旋)



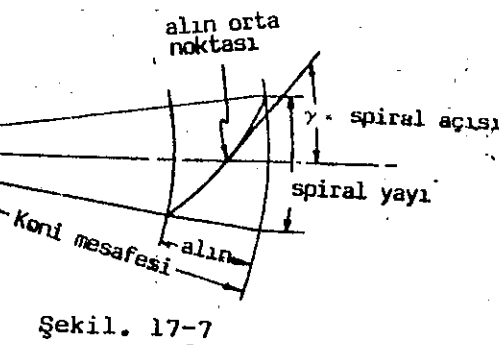
Şekil. 17-6(d)

Spiral açısı, Şekil. 17.7'de görüldüğü şekilde ölçülür.

Kuvvetler pozitif olarak bulunurlarsa, Şekilde görüldükleri şekilde yönlendirilirler. Eğer negatif iseler, gösterilenin tersi yönünde gösterilirler.

Eğer basınç açısı, piç konisi elemanına normal düzlemede ölçülseseyse, Şekilde verilen ifade,

$\tan \phi = \frac{\tan \phi_n}{\cos \gamma}$  nin yerleştirilmesiyle değiştirilir.



Şekil. 17-7

**SONSUZ VİDA ÇARKLARI**, Sonsuz vida ve sonsuz vida çarkı arasında etkili bileşke kuvvetin bileşenleri, üç tane olup birbirlerine diktirler.

$$(1) F_t \text{ (sonsuz vida)} = M_t r_w \quad F_t \text{ (sonsuz vida)} = \text{Sonsuz vidadaki teğetsel kuvvet}$$

$$M_t = \text{Sonsuz vidadaki tork}$$

$$r_w = \text{Sonsuz - vidanın bölüm dairesi yarıçapı}$$

$$(2) F_t \text{ (dişli çark)} = F_t \text{ (sonsuz vida)} \left( \frac{1 - f \tan \alpha / \cos \phi_n}{\tan \alpha + f \cos \phi_n} \right)$$

$$F_t \text{ (dişli çark)} = \text{Sonsuz vidadaki teğetsel kuvvet}$$

$$f = \text{Sürtünme katsayısı}$$

$\alpha$  = Sonsuz vida spiral açısı (sonsuz vida çarkındaki helis açısının aynısıdır.) Söz konusu açı,  $\tan \alpha = \pi D_w$ , spiral aralığı, diş sayısı ile sonsuz vidanın eksenel modülü ve  $D_w$  çarpımıdır. Sonsuz vida çarkının dairesel hatvesine eşittir.

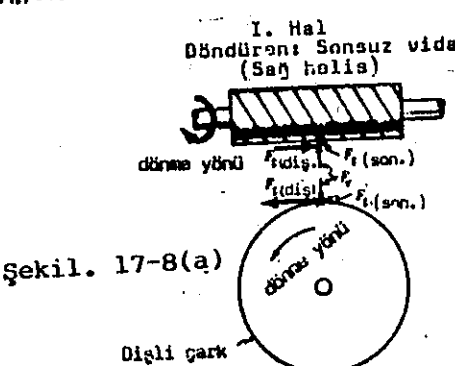
$\phi_n$  = Dişe normal olan düzlemede ölçülen normal basınç açısıdır. (Çift dişlerde genellikle  $14^\circ$  ve üçlü ve dörtlülerde  $20^\circ$  dir).

$$(3) F_r = F_t \text{ (dişli çark)} \left( \frac{\sin \phi_n}{\cos \phi_n \cos \alpha - f \sin \alpha} \right) = F_t \text{ (sonsuz vida)} \left( \frac{\sin \phi_n}{\cos \phi_n \sin \alpha + f \cos \alpha} \right)$$

$F_r$ , radyal kuvvetdir.

Aşağıdaki Şekil. 17-8, dönmede değişik yönler için kuvvetleri ve sonsuz vida dişlerinin yönünü göstermektedir.

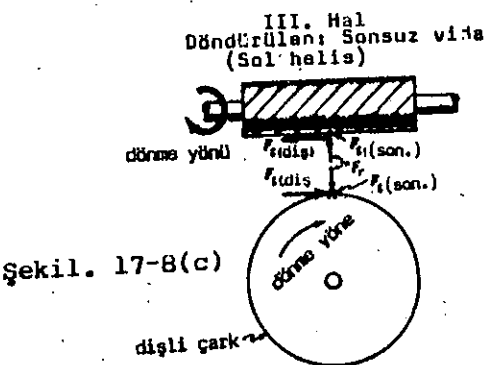
Sonsuz vida eksenini ihtiva eden düzlemede ölçülen basınç açısı  $\phi$  nin sonsuz vida dişlerine normal düzlemede ölçülen  $\phi_n$ , basınç açısıyla bağıntı  $\tan \phi_n / \cos \alpha$  ile gösterilebilir.



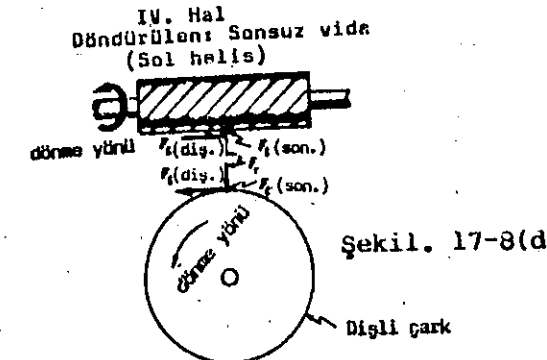
Şekil. 17-8(a)



Şekil. 17-8(b)



Şekil. 17-8(c)



Şekil. 17-8(d)

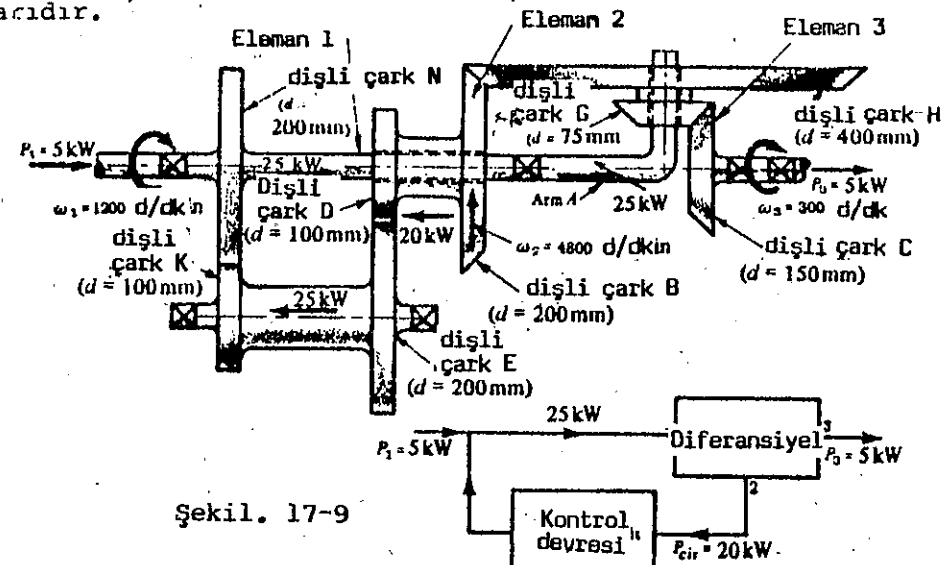
**PLANET DIŞLI SİSTEMLERİNDEKİ KUVVETLER**, mekanığın basit ifadeleri kullanarak bulunabilir. Bunlar çözümü problemlerde gösterilmiştir.

Planet dişli sisteminde ele alınan problemlerden birinin güç aktarımı ile ilgilidir. Söz konusu güç, giriş gücüne göre daha az veya daha büyük olabilmektedir. Bu türdeki bir dizayn, yaklaşık ifadelerin kullanılmasıyla basitleştirilebilir. Aşağıdaki, Şekil. 17-9'da çeşitli kollara ayrılmış bir planet dişli sistemi gösterilmiştir.

Devreden güç oranı,

$$\gamma = \frac{r(1-R)}{1-r}$$

ile verilir,  $r = \omega_2 / \omega_1$ ,  $R = \omega_1 / \omega_3$  ve  $\omega_1, \omega_2$  ve  $\omega_3$ , 1, 2 ve 3 elemanların açısal hızlarıdır.



Şekil. 17-9

Şekil. 17-10'da olduğu gibi, planet dişli düzeninde, üç basit elemanı ayıriz.

3 no'lu eleman, kontrol devresiyle hiçbir ilişkisi olmaksızın, (Örnek problemdeki C dişlisini) diferansiyelden doğrudan sistem dışına irtibatlanmış olup, döner bir eleman olarak tanımlanmaktadır. Bazi durumlarda, 3 no'lu eleman çıkış kolu olacaktır. Diğer bazı durumlarda ise, diferansiyelden çıkan iki dişilden birisi olabilir.

1 no'lu eleman, diferansiyelden dışa açılan, 2 no'lu irtibatlı bir eleman olarak tanımlanır. 2 no'lu elemana irtibatlı bir eleman olarak tanımlanır. 2 no'lu elemana dal kontrol devresiyle irtibatlanmaktadır.

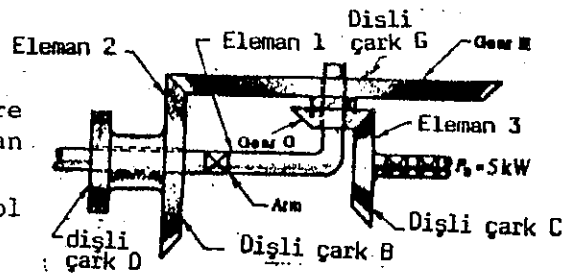
2 no'lu eleman ise, diferansiyelle dal kontrol devresi arasında güç aktaran bir eleman olarak bilinir. Fakat sistem dışına veya sisteme doğrudan güç aktarması söz konusu değildir. Böylece, C dişli çarkı 3 no'lu eleman, B dişli çarkı 2 no'lu eleman, ve seçilen örnek için çıkış kolu 1 no'lu elemandır.

Devredeki güç,  $P_{cir}$

$$P_{cir} = \gamma P_3$$

dür.  $\gamma$  yukarıda izah edildiği üzere ve  $P_3$  de 3 no'lu elemandan aktarılan güçtür.

Devredeki güç ise, dal kontrol devresindeki güçtür. (Eleman 2).



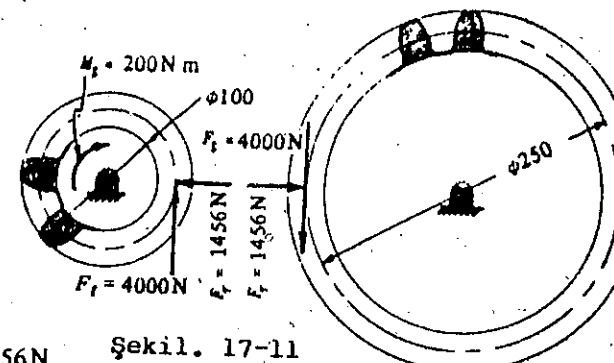
Şekil. 17-10

## Çözümlü Problemler

1. 100mm çapındaki bir düz dişli pinyona 200kN luk tork uygulanmaktadır. Düz dişli pinyon, 250mm çapındaki bir başka dişliyle birlikte çalışmaktadır. Basınç açısı  $20^\circ$  dir.  $F_t$ , teğetsel kuvveti, ve  $F_r$ , radyal kuvveti hesaplayınız. Şekilde gösteriniz.

**Çözüm:**  $F_t = M_t/r = 200/0,05 = 4000\text{ N}$

$$F_r = F_t \tan \phi = 4000 \tan 20^\circ = 1456\text{ N}$$



Şekil. 17-11

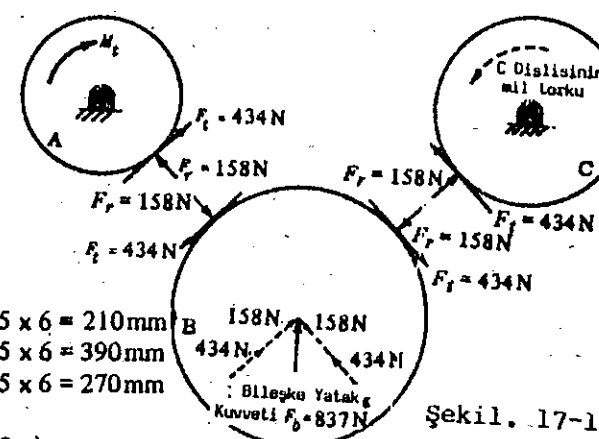
- Kuvvetler Şekil. 17.11'de gösterilmiştir. Pinyondaki teğetsel kuvvetin neden olduğu tork, tıpkı edilen torku dengeleyecektir ve pinyon radyal kuvveti pinyon merkezine doğru yönelmiştir.

2. Şekil. 17-2'ye bakarak, düz dişli A'nın 600d/dk da 3kW lik gücü, mili vasıtayla aldığı ve saat ibresi yönünde dönlüğü bildirilmektedir.

B dişlisini avara dişli olup, C dişlisini ise döndürülün dişlidir. Dişler  $20^\circ$  de tam derinliktedirler. (Bölüm daireleri şemada gösterilmemiştir). (1) Her milin tek başına aktaracağı torku, (2) her dişin dizayn edileceği diş tork değerini, (3) dişli çark diş yüklerinden dolayı avara diş miline aktarılan kuvveti hesaplayınız.

**Çözüm:**

$$(a) \text{Dişli çark boyutları: } D_A = 35 \times 6 = 210\text{ mm} \\ D_B = 65 \times 6 = 390\text{ mm} \\ D_C = 45 \times 6 = 270\text{ mm}$$



Şekil. 17-12

$$(b) A dişli çarkı milindeki tork: =  $(300 \times 60)/(600 \times 2\pi)$  = 47,8 N m$$

B dişli çarkı milindeki tork = 0

C dişli çarkı milindeki tork, =  $47,8 \times 45/35 = 61,4\text{ N m}$ . C dişli çarkı 600(35/45)d/dk da dönmektedir.

$$(c) A dişlisinin üzerindeki teğetsel kuvvet, =  $F_t = \frac{M_t}{r} = \frac{47,8}{0,105} = 434\text{ N}$$$

A dişli çarkı üzerindeki radyal kuvvet, =  $F_r = F_t \tan \phi = 434 \tan 20^\circ = 158\text{ N}$

- (d) A ve B dişli çarkları ve B ve C dişli çarkları arasında aynı teğetsel kuvvet ile aynı radyal kuvvet ortaya çıkmaktadır. Yön gösterildiği üzere.

- (e) Her dişlinin dizayn edileceğine gözönüne alınacak diş yükü 434N dur  
(f) B dişli çarkının miline tıpkı edilen kuvvet, A ve C dişli çarklarının B dişli çarkına tıpkı edildikleri kuvvetlerin vektörel toplamı şaklindedir:  $F_B = \sqrt{2(434 + 158)^2} = 837\text{ N}$

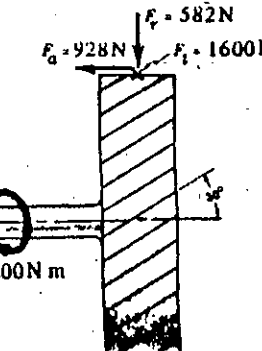
3. 250mm çapındaki bir helis dişli çarka, mili vasıtayla 200N m lik tork uygulanmaktadır. Dişli çarkta 45 tane diş bulunmaktadır. Dişli merkezine dik düzlemede ölçülen basınç açısı  $20^\circ$  dir. Helis açısı  $30^\circ$  dir. (a)  $F_t$ , teğetsel kuvvet bileşenini, (b) radyal kuvvet bileşenini (c) eksenel itme kuvvet bileşenini,  $F_a$ , hesaplayınız. Helis dişli çark sol helis dişlisidir ve sağ helis bir başka  $M_t = 200\text{ N m}$  dişliyle eşleşmektedir. (Şekil. 17-13)

**Çözüm:** (a)  $F_t = M_t/r = 200/0,125 = 1600\text{ N}$

$$(b) F_r = F_t \tan \phi = 1600 \tan 20^\circ = 582\text{ N}$$

$$(c) F_a = F_t \tan \alpha = 1600 \tan 30^\circ = 928\text{ N}$$

Doğrultular Şekil. 17-13'de gösterildiği gibidir.



Şekil. 17-13

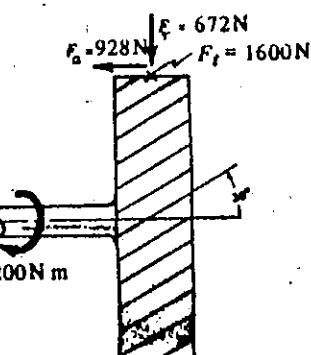
4. Basınç açısını, dişe dik düzlemede ölçülerek  $20^\circ$  bulunduğunu kabul edip, yukarıdaki problemi bir defa daha çözünüz. (Şekil. 17-14'e bkz.)

**Çözüm:**

$$(a) F_t = M_t/r = 200/0,125 = 1600\text{ N}$$

$$(b) F_r = \frac{F_t \tan \phi_n}{\cos \alpha} = \frac{1600 \tan 20^\circ}{\cos 30^\circ} = 672\text{ N}$$

$$(c) F_a = F_t \tan \alpha = 1600 \tan 30^\circ = 928\text{ N}$$



Şekil. 17-14

5. Şekil. 17-15'de bir çift düz dişli konik dişli çark görülmekte ve bunlardaki hız oranı  $4/3$  dir. Pinyonda bölüm dairesi çapı 150mm, Alın genişliği 50mm dir. Pinyon dişli çark 240d/dk da dönmektedir. Dişler 5mm modüldedirler. Ayrıca dişlerde kavrama açısı  $141^\circ$  dir. Eğer 6kW lik güç aktarılacaksa, (1) ortalama çapdaki  $F_t$ , teğetsel kuvveti, (2) Pinyondaki eksenel itme kuvvetini, ( $F_p$ ), (3) dişli çarkdaki eksenel itme kuvvetini,  $F_a$  yi hesaplayınız

**Çözüm:**

$$(a) Dişli çark çapı =  $150(4/3) = 200\text{ mm}$$$

$$(b) Bölüm dairesine ait konide, L, eğrisel boy =  $\sqrt{R_p^2 + R_g^2} = \sqrt{75^2 + 100^2} = 125\text{ mm}$$$

$$(c) Pinyonun ortalama yarıçapı, r_m = R_p - \frac{1}{2}b \sin \beta = 75 - \frac{1}{2}(50)(75/125) = 60\text{ mm}$$

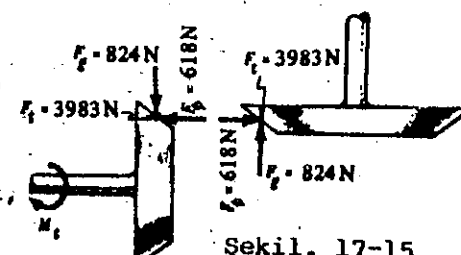
$$(d) Pinyondaki tork, M_t = (6000 \times 60)/(240 \times 2\pi) = 239\text{ N m}$$

$$(e) ortalama yarıçapta, teğetsel kuvvet, kuvvet, F_t, = M_t/r_m = 239/0,06 = 3983\text{ N}$$

$$(f) Pinyondaki eksenel itme kuvveti, F_p = F_t \tan \phi \sin \beta = 3983 \tan(141^\circ) \left(\frac{75}{125}\right) = 618\text{ N}$$

$$(g) Dişli çarktaki eksenel itme kuvveti, F_a = F_t \tan \phi \cos \beta = 3983 \tan(141^\circ) \left(\frac{100}{125}\right) = 824\text{ N}$$

Kuvvetler serbest cisim diyagramlarında gösterilmiştir.



Şekil. 17-15

6. Bir çift helis dişli konik dişli çark takımında hız oranı  $4/3$  dır. Pinyonun bölüm dairesi çapı 150mm dir. Alın genişliği 50mm ve pinyon 240d/dk da. dönmektedir. Dişler 5 modüilde olup, basınç açısı  $\phi_n = 14^\circ$  dir. Basınç açısı, dişe normal düzlemede ölçülmüştür. Pinyondan, dişli çarşa 6kW aktarılmaktadır. Pinyon sağ helis dişli olup, dönme yönü saat ibresi yönündedir. (Bölüm dairesi konisine doğrudan bakarak) helis açısı  $\gamma = 30^\circ$  Bu helis konik dişli çarklardaki kuvvetlerin 1. haline uymaktadır. (1) Ortalama çapta teğetsel kuvveti hesaplayınız,  $F_t$ . (2)  $F_p$ , pinyon eksenel itme kuvvetini (3) dişli çark itme kuvvetini,  $F_e$ , hesaplayınız.

### **Cözüm:**

- (a) 5. Problemdede bulunan değerler bu probleme uygulanabilir: Dışlı çark çapı = 200mm, Bölüm dairesi konisindeki eğrisel boy = 125mm, pinyondaki ortalama yarıçap = 60mm, Pinyondaki tork = 239N m, ortalama yarıçaptaki teğetsel kuvvet = 3983N,  $\sin \beta = 75/125 = 3/5$ ;  $\cos \beta = 100/125 = 4/5$ .

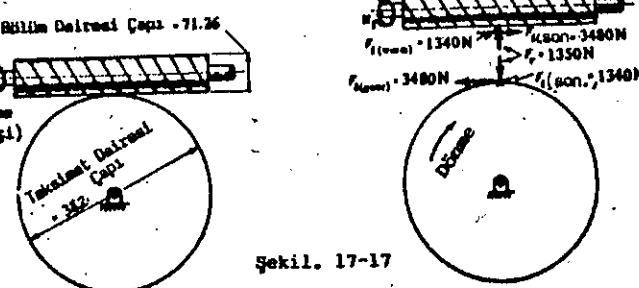
$$3983 \left[ \frac{(\tan 141^\circ)(3/5)}{\cos 30^\circ} - (\tan 30^\circ)(4/5) \right] = -1126 \text{ N}$$

$$(c) \text{ Dışlı çarktaki eksenel itme kuvveti, } F_g = F_t \left( \frac{\tan \phi_n \cos \beta}{\cos \gamma} + \tan \gamma \sin \beta \right) = \\ 3983 \left[ \frac{(\tan 141^\circ)(4/5)}{\cos 30^\circ} + (\tan 30^\circ)(3/5) \right] = +2331 \text{ N}$$

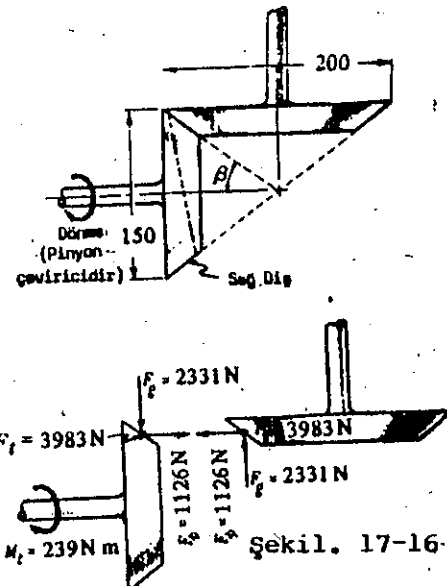
Kuvvet bileşenleri, doğru yönlerinde Şekil. 17-6'daki serbest cisim  
divaigramında gösterilmiştir.

7. Bir sonsuz vida 1200d/dk da dönerken, 6kW lik güç aktarmaktadır. Güç aktararak, bir sonsuz vida çarkına 60d/dk kazandırması beklenmektedir. Sonsuz vida çarkında bölüm dairesi çapı = 71,26mm dir. Sonsuz vida çarkında modülün 20 olduğu biliniyor. (Sonsuz vidanın eksenel modülüne eşdeğerdir). Sonsuz vida çarkında 60 adet diş bulunmaktadır ve bunlar  $20^\circ$  lik köke sahiptirler. Sürtünme katsayısı,  $f_s$ , 010 dur. Sonsuz vida Şekil. 17-17'de görüldüğü gibi dönmekte ve sağ helislidir. (Şekilin sonsuz vida çarkında I. Hal ile benzer olduğunu ve çıkış gücünün giriş gücüne sürtünmeden dolayı esit olmadığını unutmayın.)

- (1)  $F_r$  (sonsuz vida), teğetsel kuvvetini, sonsuz vida çarkunda, (2) Dişli çarktaki  $F_r$  (disli çark), teğetsel kuvveti, (3)  $F_r$ , radyal kuvveti hesaplayınız.



Sekil. 17-17



il. 17-16

Cözüm:

$$(a) \text{ Sonsuz vidadaki torku, } M_t = \frac{6000 \times 60}{1200 \times 2\pi} = 47,8 \text{ N m}$$

$$(b) F_t(\text{sonsuz vida}) = M_t/r = \frac{47,8 \times 2}{0,07126} = 1340 \text{ N}$$

$$(c) F_t \text{ (dişli çark)} = F_t \text{ (sonsuz vida)} \frac{1 - f \tan \alpha / \cos \phi_n}{\tan \alpha + f / \cos \phi_n} = 1340 \left( \frac{1 - 0.1(0.268) / \cos 20^\circ}{0.268 + 0.1 / \cos 20^\circ} \right) = 3480 \text{ N}$$

$$\tan \alpha = \text{Diş aralığı} / (\pi D_w) = \frac{3 \times 20}{71.26\pi} = 0.268, \alpha = 15^\circ$$

$$(d) F_r = f_i \left( \text{dişli çark} \right) \left( \frac{\sin \phi_n}{\cos \phi_n \cos \alpha - f \sin \alpha} \right) = 3480 \left( \frac{\sin 20^\circ}{\cos 20^\circ \cos 15^\circ - 0,1 \sin 15^\circ} \right) = 1350 \text{N}$$

- (e) Dişli üzerindeki teğetsel kuvveti hesaplamak için bir başka yol, çıkış gücünü hesaplamak için verim ifadesini kullanmaktadır. Sonsuz vida çarkında, verim  $e$  ifadesi,

$$e = (\tan \alpha) \left( \frac{\cos \phi_n - f \tan \alpha}{\cos \phi_n \tan \alpha + f} \right) = 0.268 \left( \frac{\cos 20^\circ - 0.1 \tan 15^\circ}{\cos 20^\circ \tan 15^\circ + 0.1} \right) = 69.5\%$$

$$\text{Disli çark torku ise} = (\text{Çıkış gücü})/N = (6000 \times 0,695)(60)/(60 \times 2\pi) = 664 \text{ N m}$$

$$F_t (\text{disli çark}) = M_i / r = 664 / 0,191 = 3480 \text{ N}, (\text{c}) \text{ de olduğu gibi.}$$

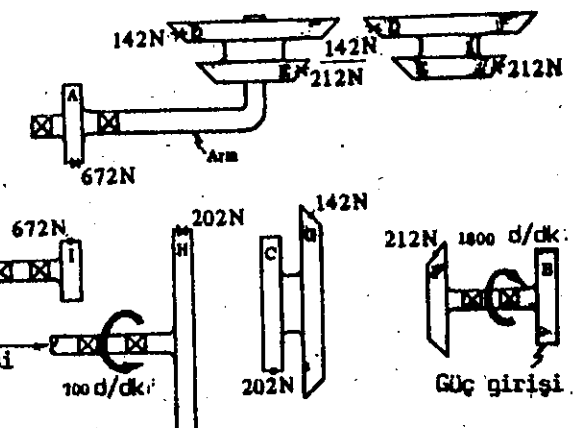
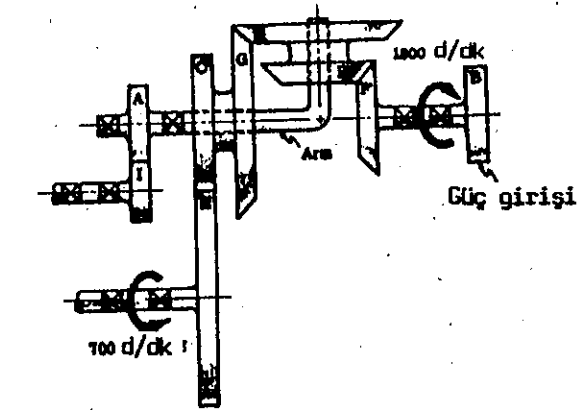
8. Şekil. 17-18'de bir diferansiyel planet dişli sistemi gösterilmiştir. B dişli çarkı sabit devirde dönmektedir. H dişli çarkının hızı değişken olup, I. dişlisindeki hız değişimlerini karşılayabilmektedir. Mamafig, bu problem için, bütün dişilerin sabit hızda döndüklerini kabul ediniz. Sürtünmeyi ihmal ediniz.

Güç, B dişli çarkına tatbik edilmektedir. Ayrıca, H ve I dişli çarklarına tatbik edilir veya onlardan alınabilir. 1800d/dk da. B dişlisine 3kW lik güç veriliyorsa, H dişlisinden alınan veya ona verilen güç ne kadardır? Hesaplayınız.. Sağdan bakıldığından, B dişlisinin dönüş yönü saat ibresi yönündedir. H, 700d/dk da saat ibresi tersi yönünde dönmektedir. I. dişlisinin açısal hızını ve I. dişlisine verilen veya ondan alınan gücü hesaplayınız.

Bütün dişlilere ait basınç açısı  $20^\circ$  dir. Dişlilere ait çaplar aşağıda, mm olarak verilmiştir.

A dişlisi: 100, B dişlisi: 125, C dişlisi: 175, D dişlisi: 225  
 (ortalama çap), E dişlisi: 150(ortalama çap), F dişlisi: 150(ortalama  
 çap), G dişlisi: 250(ortalama çap), H dişlisi: 300, I dişlisi: 75.

**Çözüm:** (a) Bitişik dişlinin merkez eksene göre ortaya çıkan torka



Sekil. 17-18

neden olan teğetsel kuvvetler, serbest cisim diyagramında gösterilen kuvvetlerdir.

$$B \text{ dişlisindeki tork} = F \text{ dişlisindeki tork: } M_t = \frac{3000 \times 60}{1800 \times 2\pi} = 15,9 \text{ Nm}$$

E dişlisinin F dişlisine tatbik ettiği kuvvet  $M_t/r = 15,9/0,075 = 212 \text{ N}$   
(b) D ve E dişli çarklarının eksenlerine göre alınan moment, sabit hızda sıfır olmalıdır.

$$F_{GD}R_D = F_{FE}R_E, F_{GD}(0,1125) = 212(0,075), F_{GD} = 142 \text{ N}$$

$F_{GD} = G$  dişlisinin D dişlisine tatbik ettiği teğetsel kuvvet,  
 $R_D = D$  dişli yarıçapı

$F_{FE} = f$  dişlisinin E dişlisine tatbik ettiği teğetsel kuvvet,  
 $R_E = E$  dişlisinin yarıçapı,

$$(c) C ve G dişlilerini ele alalım: F_{DG}R_G = F_{HC}R_C, 142(0,125) = F_{HC}(0,0875), F_{HC} = 202 \text{ N}$$

Dönme yönü, dişlisine tatbik edilen torka ters yöndedir.  
Böyledice, H dişlisinin miline tatbik edilecek güç gösterildiği gibidir.

H dişlisine tatbik edilen güç  $= M_t N = 202(0,150) \times 700 \times 2\pi/60 = 2,22 \text{ kW}$   
B dişlisine güç verildiğinden ve ayrıca H aya aktarıldığından,

(d) Güç, I. dişlisinden alınması gereklidir.  $(3 + 2,22) = 5,22 \text{ kW}$ .  
gürün I. dişlisinden alınması gereklidir. Dönüp yönünün, I. dişlisindeki torkla aynı olması gereklidir. Tork saat ibresi tersi yönündedir. Sağıdan sola bakılarak. Böyledice dönme yönünde, sağdan sola bakılarak saat ibresi yönünde olduğu söylenebilir.

$$I \text{ dişlisinin hızı, } N_I = \frac{\text{Güç}}{M_I} = \frac{5,22 \times 1000 \times 60}{125,2 \times 2\pi} = 1980 \text{ d/dk}$$

$$F_{AI}R_A = F_{GD}R_G + F_{FE}R_E, F_{AI} = 672 \text{ N. ve } M_I = 672(0,0375) = 25,2 \text{ Nm}$$

9. Şekil. 17-9 ve 17-10'a bkz. Sağdan sola bakılınca, N dişlisinin saat ibresi yönünde 1200d/dk da döndüğü görülmektedir. Ünite ile beş kilitin aktarıldığı bilinmektedir. K, E ve D dişlileri dizayn için gerekli güç ne kadardır? Sürünmeyle güç kaybının olmadığını kabul ediniz.

**Çözüm:**  
Çözüme, konvensiyonel kuvvet analiziyle ulaşılabilir. Fakat bu problem, planet dişli sisteminde tartışılan sirkülasyon güç faktörüyle çözülecektir.

(a) Önce hız analizinin yapılması gereklidir. K dişli 1200(200/100) = 2400d/dk da dönmektedir. Saat ibresi tersi yönünde ve E dişliside saat ibresi yönünde 2400d/dk da, D dişli ise, 2400(200/100) = 4800d/dk da saat ibresi yönünde ve B dişliside 4800d/dk da saat ibresi yönünde dönmektedir.

(b) Diferansiyel ünitesinde, açısal hızlar çabuk bulunabilir. Bunlar, Açısal hız hesaplamaları (d/dk)

	A Kolu, Eleman I	B kolu, Eleman II	C Kolu, Eleman III
Koldaki açısal hız	+1200	+1200	+1200
Kula relatif hız	0	+3600	-3600(200/400)(75/150)
Açısal hız	+1200	+4800	+300

Böyledice, C dişli 300d/dk dönmektedir.  
(c) Açıklandığı üzere, C dişli 3 no'lu elemanıdır. ( $\omega_3 = +300 \text{ d/dk}$ ); B dişli 2 no'lu elemanıdır. ( $\omega_2 = +4800 \text{ d/dk}$ ), Kol ise 1 no'lu conra.

$$r = \frac{\omega_2}{\omega_1} = \frac{+4800}{+1200} = +4, R = \frac{\omega_1}{\omega_2} = \frac{+1200}{+300} = +4, \text{ ve, } \gamma = \frac{r(1-R)}{1-r} = \frac{+4(1-4)}{1-4} = +4$$

+ işaretin gücünü, diferansiyel ünitesinden, 2 ve 3 elemanları vasıtıyla geçtiğini göstermektedir.

(d) 2 eleman boyunca geçen güç, sirkülasyon gücü,  $P_{ch} = \gamma P_3 = +4(5) = 20 \text{ kW}$

(e) Böylece, K, D ve E dişlileri, 20kW için dizayn edilmişlerdir. Gürün giriş ve çıkış gücünden büyük olmasına daimi hareket alınamayacağı hatırlanarak çıkarılmamalıdır.

## Tamamlayıcı Problemler

10. Düz dişli pinyon 100mm çapında olup, 300mm çapındaki dişliyi çevirmektedir. Pinyon miline 60N m luk tork tatbik edilmektedir ve basınç açısı  $20^\circ$  dir. Teğetsel kuvveti radyal kuvveti ve dişlideki torku hesaplayınız. Cev.  $F_r = 1200 \text{ N}, F_a = 4370 \text{ N}, M_t$  (dişli) =  $180 \text{ Nm}$ .

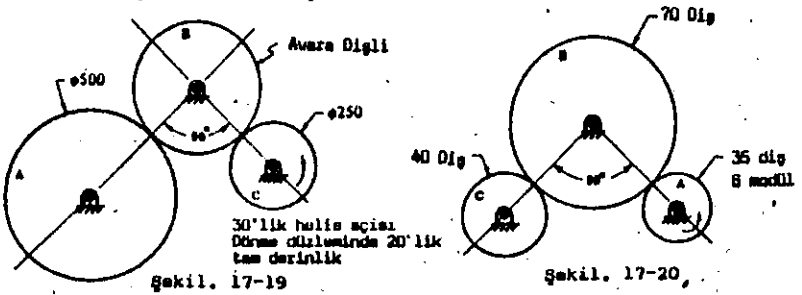
11. Helis dişli sistemi, Şekil. 17-19'da gösterilmektedir. 10kW lik güç C dişlisinden 900d/dk da dönen A dişlisine aktarılmaktadır. Genel tahvil oranı 2 dir. B dişlisinin milindeki toplam radyal yükü ve B dişlisinin milindeki toplam eksenel yükü hesaplayınız. A, B ve C arasındaki teğetsel ve radyal kuvvet ne kadardır?

Cev. B dişlisinin milindeki toplam radyal kuvvet =  $764 \text{ N}$ , Bileşke eksenel kuvvet = 0

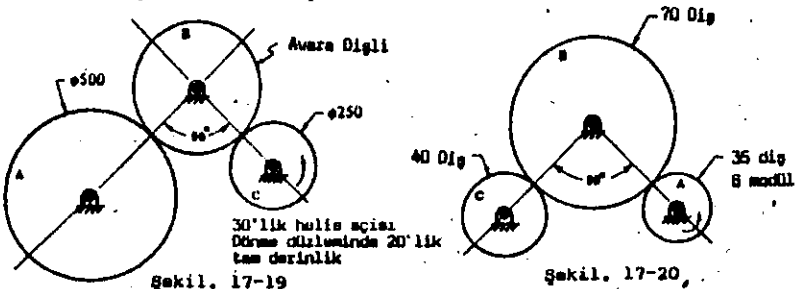
A ve B arasındaki teğetsel kuvvet, B ve C arasındaki kuvvet =  $849 \text{ N}$   
A ve B arasındaki radyal kuvvet, B ve C arasındaki kuvvet =  $309 \text{ N}$

12. Helis dişliye sahip bir pinyonda kavrama açısı  $20^\circ$  ve helis açısı  $23^\circ$  dir. Bölüm dairesi çapı 100mm ve alın genişliği 40mm ve 10.000d/dk da 20kW aktarılmaktadır. Basınç açısı dönme düzlemi içinde ölçülüyorsa teğetsel kuvveti, radyal kuvvet bileşenini ve eksenel veya itme kuvvetini hesaplayınız. Cev.  $382 \text{ N}, 139 \text{ N}, 162 \text{ N}$ .

13. Aşağıdaki Şekil. 17-20'ye bkz. A dişli, saat ibresi yönünde dönmekte iken, 500d/dk da 5kW aktarmaktadır. B dişli avara dişli olup, C dişli ise, döndürülen dişlidir. Dişler  $20^\circ$  lik tam derin formundadırlar. (a) Her dişlinin milindeki tork ne kadardır? (b) Dişlinin dizayn edilmesinde gözönüne alınacak teğetsel kuvvet ne olur? (c) Dişli çarkın dişlerindeki yüklerden dolayı, avara dişli miline tattbik edilecek kuvveti hesaplayınız. Cev. (a)  $M_{tA} = 95,5 \text{ Nm}, M_{tB} = 0, M_{tC} = 109 \text{ Nm}$ , (b)  $909 \text{ N}$  (her dişli için aynı) (c)  $818 \text{ N}$



Şekil. 17-19



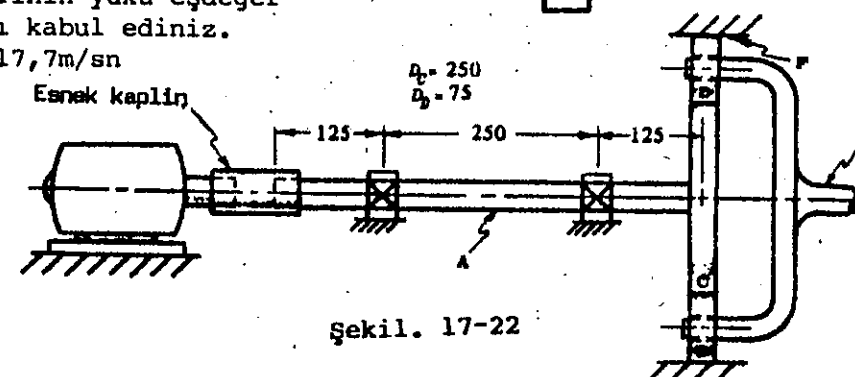
Şekil. 17-20

14. Düz dişli konik dişli çarkta modülün 8 olduğu ve alın genişliğinin 100mm ve bölüm dairesinin 300mm ve koni bölüm dairesinin  $374 \text{ mm}$  olduğu söylemektedir. Dişlerdeki tork 700N m ise, diş kuvvetinin eksenel bileşeni veya eksenel itme bileşeni ne olabilir? Ortalama çap nedir? Ortalama çaptaki teğetsel kuvvet ne kadardır?  
Cev. 1300N, 120mm, 5860N

15. 30 dişe sahip bir konik dişli, 60 dişe sahip başka bir konik dişliyle eşleşmiştir. Mil ile arasındaki açı  $90^\circ$  dir. Pinyondaki torkun 50N m ve pinyondaki ortalama çap 50mm dir. Basınç açısı  $20^\circ$  dir. Pinyondaki

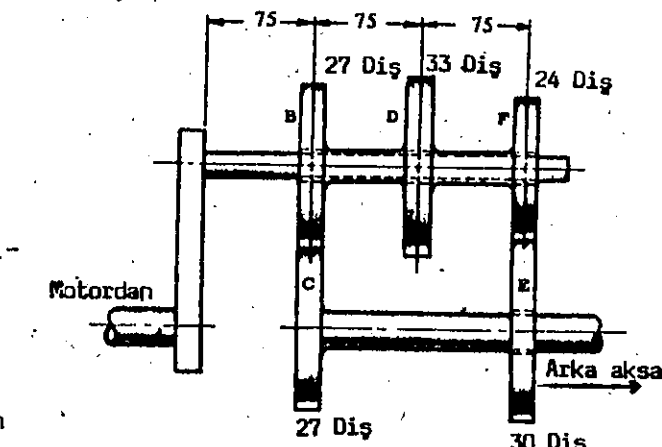
- eksenel itme kuvvetini hesaplayınız. Cev. 163N.
16. Düz dişli konik dişli çark çifti  $90^\circ$  deki milleri irtibatlamaktadır. Hız oranı 3:1 dir. Her dişliye ait konik bölüm dairesi açısı nedir? Cev.  $18.4^\circ$ , pinyon,  $71.6^\circ$  dişli çark.
17. Spiral konik pinyon, sol helisli olmak şartıyla saat ibresi yönünde dönmektedir.  $1200d/dk$  da, eş çalıştığı dişliye  $3kW$  aktarmaktadır. (Spiral konik dişli kuvvetleri, III. Hal) Pinyonun ortalama çapı 75mm dir. Dişliye dik düzlemede ölçülen basınç açısı,  $\phi_n$ ,  $20^\circ$  helis açısı 20 ve hız oranı 2:1 dir. (a) Pinyonun piç açısını, (b) ortalama yarı çaptakı,  $F_t$ , teğetsel kuvveti, (c) pinyon eksenel itme kuvvetini,  $F_p$ , (d)  $F_t$ , dişli eksenel itme kuvvetini hesaplayınız. Cev. (a)  $\beta = 26.55^\circ$  (b)  $F_t = 637N$ , (c)  $F_p = 318N$  (III. Hal için verilen şekilde gösterildiği üzere), (d)  $F_t = 117N$  (III. Hal için verilen şekilde gösterildiği üzere).
18.  $1150d/dk$  da dönen sonsuz vida, bir sonsuz vida çarkını çevirmektedir. Hız oranı 15:1 dir. Sonsuz vida çift ağızlıdır ve bölüm dairesi çapı 75mm dir. Sonsuz vida çarkının dairesel piç 28mm (sonsuz vidanın eksenel modülünde 28mm dir. Zira sonsuz vida çift ağız gösterildiği III. halde belirtilmiştir). Saat ibresi yönünde dönmektedir. Normal basınç açısı  $14^\circ$  ve sürtünme katsayısı 0,2 dir. Sonsuz vidaya  $7kW$  verilirse, (a) Sonsuz vidadaki teğetsel kuvveti, (b) dişli çarktaki teğetsel kuvveti, (c) Radyal kuvveti, (d) verimi, (Yönler III. Halde gösterilmiştir.) Hesaplayınız. Cev. (a)  $1550N$ , (b)  $3317N$ , (c)  $927N$ , (d)  $50.8$
19. Şekil. 17-21'e bakarak, G dişlisine tatbik edilen  $160N\ m$  luk giriş torkundan dolayı, iki çıkış milindeki torku hesaplayınız. Dişiller sabit hızda dönmektedirler. Dişli çapları,  
 B 200mm E 150mm  
 C 150mm F 75mm  
 D 300mm G 150mm  
 Cev. B dişlisindeki tork =  $213N\ m$   
 A dişlisindeki tork =  $320N\ m$

20. Şekil. 17-22'de görülen bir induksiyon motoru  $1800d/dk$  da dönerken  $15kW$  lik güç sağlamakta-  
 nı. Bir planet dişli sistemi  
 vasıtayıla E mili çevrilimkete-  
 dir. F, iç dişli sistemi sabit  
 kalmaktadır. D de iki planet  
 dişli sistemi bulunmaktadır. C çıkış  
 dişlisindeki teğetsel kuvveti C  
 ve D dişilleri arasındaki hız  
 kademesini hesaplayınız. D plă-  
 net dişillerinin yükü eşdeğer  
 paylaştığını kabul ediniz.  
 Cev.  $265N$ ,  $17.7m/sn$



Şekil. 17-22

21. Şekil. 17-23'deki dişli düzeni  $35kW$  lik güç aktarmaktadır. E dişli sabit tutulmaktadır. Giriş mili, A  $1000d/dk$  da dönmektedir. Her dişli 4 module sahiptir. B, D ve F dişillerini taşıyan kol çapı 50mm dir. Dişiller 75mm aralıklıkla yerleştirilmiştir. Yükleri dişli merkezlerinde kabul edip, gerilme konsantrasyonunu ihmali ederek, E dişlisine tatbik edilen torku ve ayrıca koldaki maximum kesme gerilmesini hesaplayınız. Söz konusu kol eksenleri B, D ve F dişillerinin eksenidir Cev.  $1670N\ m$ ,  $217MN/m^2$  (Maximum eğilme momenti =  $5310N\ m$ )

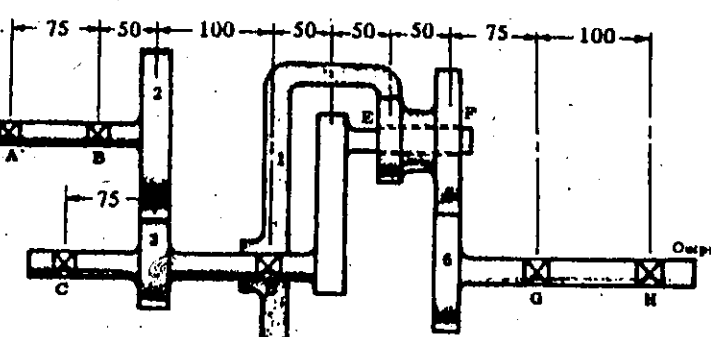


Şekil. 17-23

22. Şekil. 17-24'de görülen dişli düzeninin giriş mili  $10d/dk$  da 2 dişliyi çevirmektedir. Giriş torku  $100N\cdot m$  dur. 4 ve 5 dişilleri yekpare imal edilmişlerdir. Bütün dişillerde kavrama açısı  $20^\circ$  dir. G ve H dişillerindeki reaksiyonu hesaplayınız. Güç, esnek bir kaplin vasıtayıyla çıkış milinden alınmaktadır.

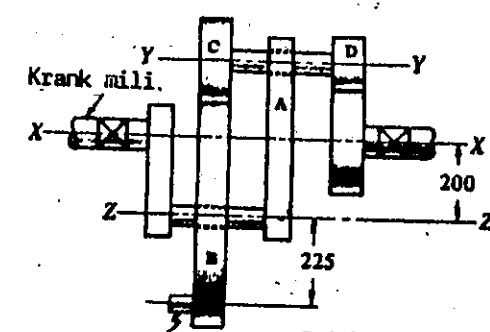
$$R_G = 310N, R_H = 133N$$

Dişli çark	Diş sayısı
1	120
2	60
3	30
4	30
5	50
6	40



Şekil. 17-24

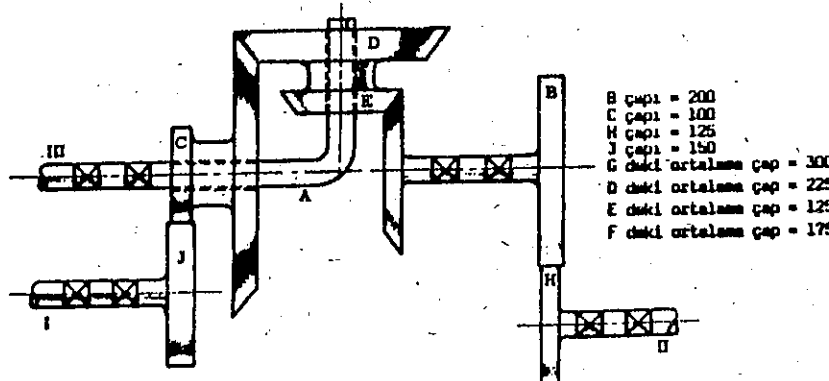
- Bütün dişlerde modül = 25  
 bütün yataklar harflerle  
 belirtilmiştir.
23. Şekil. 17-25'e bkz. Radyal bir motor Şekil. 17-1'de görülen bir dişli düzenini kullanmaktadır. Bu tür bir çalışmada ana gaye pistonların ileri geri hareketlerinin sabit halde XX ekseninde görülen krant.miline eksenin etrafında bir hareket kazandırmalıdır. B dişlisinde  $144$  ve E dişlisinde  $72$  dişli bulunmaktadır. Dişillerde modül 4 dür. (a) B ve E dişillerine ait açısal hızlar sıfır ise C ve D dişillerindeki diş sayısı ne kadardır? (b) Krantın  $400d/dk$  lik dönmesiyle motorun  $1600kW$  aktardığını kabul ederek, düzeninin her elemeni için ayrı serbest cisim diyagramını çizerek, her eşleşme için teğetsel kuvveti ve G deki teğetsel bağlama çubuk kuvvetini hesaplayınız. (c) (b) şıklındaki metoddan başka bir metodla G deki krant pim kuvvetini hesaplayınız. Cev. (a) C deki diş sayısı = 56 ve D de = 28 adet. (b) E ve D dişilleri arasındaki kuvvet =  $325kN$ , C ve B arasındaki



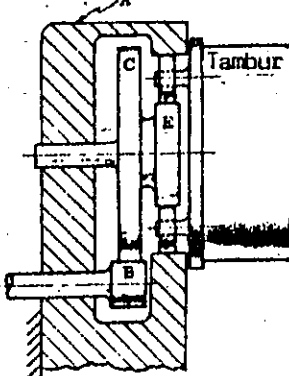
Şekil. 17-25

kuvvet = 149kN G deki kuvvet ise = 191kN.

24. Aşağıdaki Şekil. 17-26'da görüldüğü üzere, I miline güç tattbik edilmekte ve II ve III millerine tattbik edildiği gibi onlardan güç alınabilemektedir. Eğer I miline 60N m lik tork tattbik edilmektedeyse, II ve III millerine tattbik edilecek tork değerleri ne olur?  
Cev. II milindeki tork = 26,3N m ve III milindeki tork = 82N.



Şekil. 17-26

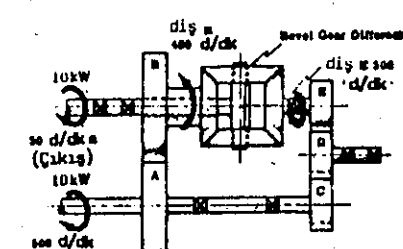


Şekil. 17-27

25. (Yukarıdaki Şekil. 17-27'ye bkz.) Beton mixerine ait bir tambura 4kW tattbik edilmektedir. Tambur 200d/dk da dönmektedir. F dişlilerinin tespit edildiği iki pim tambura bağlanmıştır. C ve E dişlileri yekpare imal edilmişlerdir. B dişlisinde 18 diş ve C dişlisinde 75 diş ve E dişlisinde 35 diş bulunmaktadır. A iç dişlisinde ise 65 diş bulunmaktadır. Dişlilere ait modül 5 dir. B ve C dişlileri ve E, F dişlileri arasındaki teğetsel kuvveti hesaplayınız. Sürtünmeyi ihmali edip, planet sistemindeki dişlerin kendi paylarına düşen kuvveti alındıklarını kabul ediniz. Cev. B ve C arasındaki kuvvet: 357N, E ve F arasındaki kuvvet = 382N.

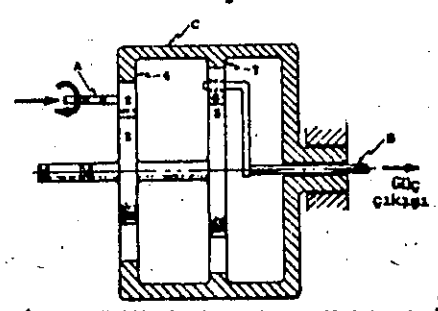
26. Şekil. 17-28'e bakarak, C ve B dişlisile aktarılan gücü hesaplayınız. Sürtünmeyle güç kaybı olmadığını kabul ediniz.

Cev. C ile aktarılan güç = 50kW,  
B ile aktarılan güç = 40kW  
(Güç C den D ye, B den A ya doğru olmaktadır.)



Şekil. 17-28

27. Şekil. 17-29'da, A milinden B miline güç diferansiyelle aktarılmaktadır. Sürtünmeden dolayı güç kaybı olmadığını kabul ederek, (a) 2 ve 3 dişlileri arasındaki teğetsel kuvveti, (b) 2 ve 4 dişlileri arasındaki teğetsel kuvveti (c) 3 ve 5 dişlileri arasındaki A helis dişlisindeki torku, (d) 4 ve 7 dişlisi arasındaki C de torku, (e) 3 ve 5 dişlileri arasındaki mildeki güçü, (f) 4 ve 7 dişlileri arasındaki C de torku hesaplayınız.



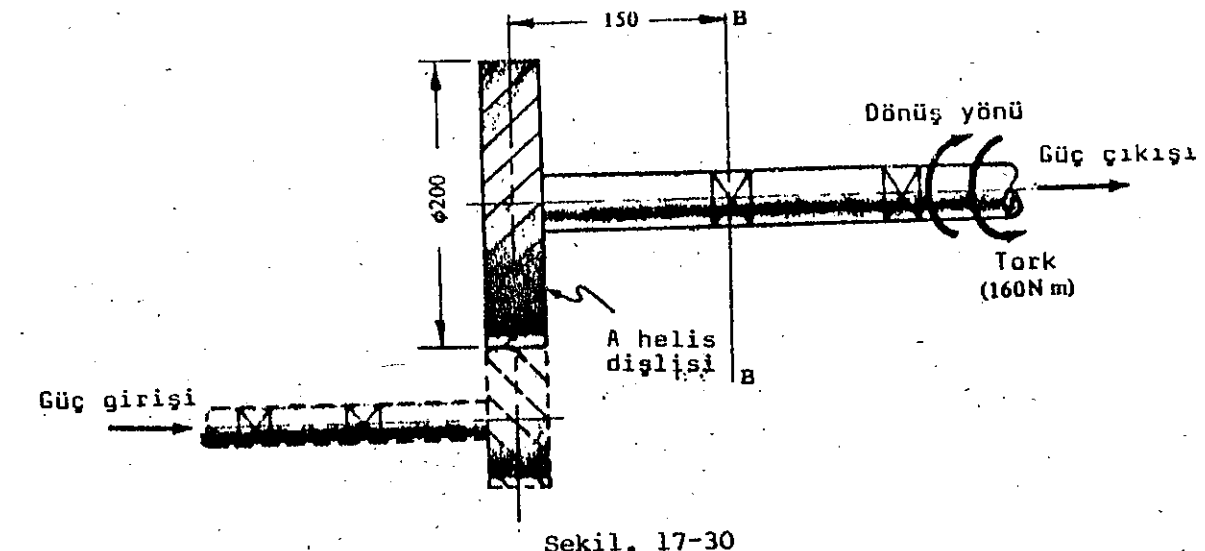
Şekil. 17-29

- Cev. (a) 39,8kN  
(b) 36,6kN  
(c) 5,97kN m  
(d) 9,15kN m  
(e) 125kW  
(f) 115kW (Güç sirkülasyonunun mevcudiyetini unutmayın.)

28. 27. Problemi tekrar çözelim. Şimdi halde dişli çarkına ait çaplar; 2 dişlisinin çapı : 100mm 5 dişli çapı: 300mm  
3 dişlisinin çapı: 375mm 6 dişli çapı: 100mm  
4 dişli çapı : 575mm 7 dişli çapı: 500mm  
Cev. (a) 36,6kN, (b) 39,8kN, (c) 68,6kN m, (d) 114kN m, (e) 115kW, (f) 125kW.

29. Bu problem için kullanılacak veriler ve Şekil. 27. Problemde olduğu gibidir. Mukavemet düşünürek, dişli dizaynında, dişlideki teğetsel kuvvetin ve uygun hızın bölüm dairesi üzerindeki bir noktada olduğu bilinmelidir. Dişli eksenin etrafında döndüğü zaman (2 veya 3 dişli içinde olduğu gibi) hız  $V=r\omega$  ile hesaplanabilir.  $r$ , bölüm dairesi yarı çapı ve  $\omega$  ise açısal hızdır. Dişli planet sisteminin bir parçası olduğu zaman, (5,6 ve 7 dişlileri) Lewis mukavemet ve Buckingham dinamik yük ifadesinde kullanılacak hız, kola relativ olmak şartıyla, dişlinin bölüm dairesine ait bir noktadaki hızdır. Bu hız,  $V=r\omega_g$  ile bulunabilir.  $r$ , bölüm dairesi yarıçapı,  $\omega_g$ , da dişlinin açısal hızıdır. 3,4,5,6 ve 7 dişlerinin dizaynlarında kullanılacak kuvvet ve hız değerlerini kullanınız. Cev. 3. dişli 39,8kN, 3,14m/sn, dişli 4:36,6kN, 3,14m/sn 5,6 ve 7. dişlilerde: 31,8kN ve 3,80m/sn.

30. (Aşağıdaki Şekil. 17-30'a bkz.) Helis dişlinin bölüm dairesi çapı 200mm dir. Dişe normal olan düzlemede ölçülen basınç açısı  $20^\circ$  ve helis açısında  $30^\circ$  dir. A dişlisindeki diş sol helisdir. Çıkış milindeki tork 60N m olduğuna göre, (a) teğetsel, eksenel ve radyal kuvveti, A dişlisindeki, hesaplayınız. (b) B-B kesitindeki eğilme momentini hesaplayınız. Cev. (a) 1600N, 924N, 672N, 276,2N m.



Şekil. 17-30

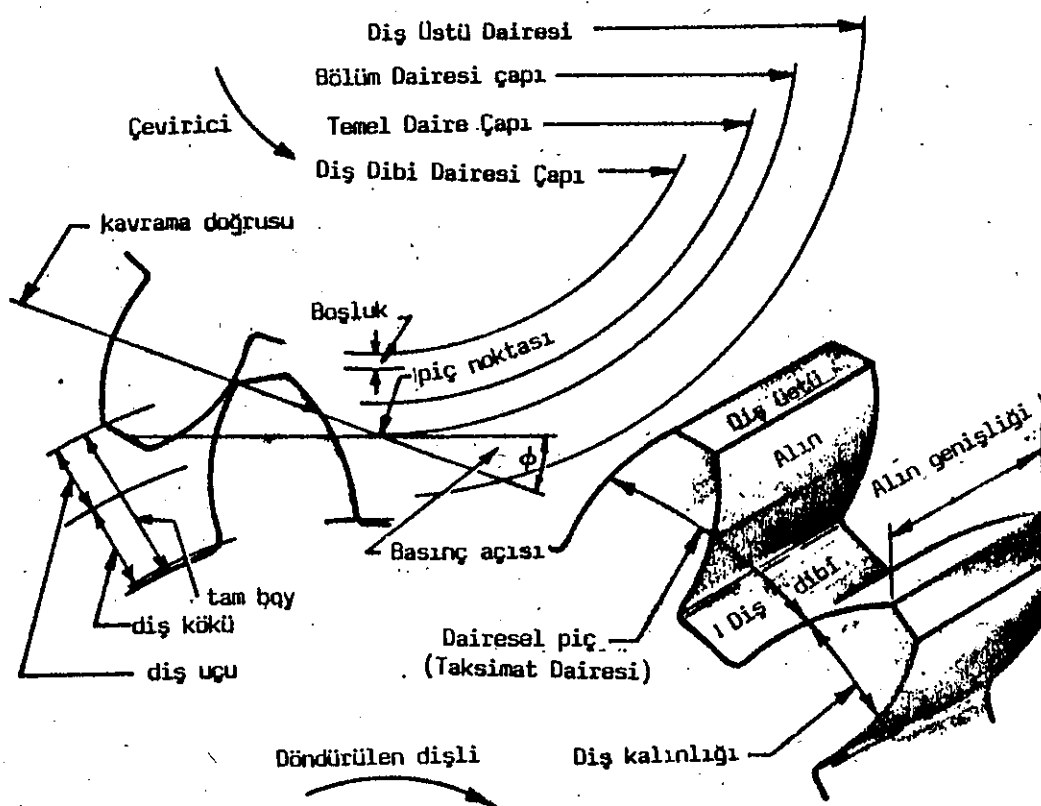
# 18

## Düz Dişliler

**DÜZ DİŞLİLER**, sabit açısal hızlarda, paralel miller arasında güç aktarımında kullanılmaktadır. Hızlar oranı, birbirine temas etmekte olan, iki hayali silindirin, hiç kayma olmaksızın dönmeleriyle elde ettikleri hız değerlerinin aynıdır.

### DİŞLİ ÇARKTA DİŞ TABİRLERİ

Dişli dişlerine ait ana parçalar, Şekil. 18-1'de olduğu gibi tanımlanır.



Şekil. 18-1

### TANIMLAR

Dairesel diş aralığı  $P_c$ , bir diş üzerindeki noktaya, bitişik dişlideki benzer nokta arasındaki mesafe olarak tanımlanır.

$$P_c = \pi D/N$$

$D$  = Bölüm dairesi çapı,  $N$  = Dişlideki diş sayısı.

Modül  $m$ , bölüm dairesi çapının, mm diş sayısına bölümüyle elde edilir.

$$m = D/N \quad P_c/m = \pi$$

Kavrama doğrusu, eşleşen bir çift diş profilindeki temas noktasındaki normal doğrudur.

Kavrama açısı (Basınç açısı), bölüm dairesine çizilen ortak teğetle, kavrama doğrusu arasındaki açıdır.

Açısal hız oranı, (veya transmisyon oranı), pinyonun açısal hızının, eşleştiği dişlinin açısal hızına oranıdır. İki dişli üzerindeki diş sayılarıyla ters orantılıdır ve düz dişlilerde bölüm dairesi çapına da ders orantılıdır.

$$\text{Açısal hız oranı} = N_g/N_p = D_g/D_p$$

**DİŞLİ TAKIMINDAKİ ANA KANUN.** Kavrama noktasındaki diş profiline olan ortak normal, her zaman piç noktasından geçmelidir. Böylece dişliler arasındaki açısal hız oranı daima sabit tutulabilir. İvolüt eğri dişli kanununu sağlar ve çoğu zaman dişli çark diş profilleri için kullanılır. Ayrıca çok sık olarak, involüt ve sikloid eğrilerde dişli çark diş profillerinde kullanılabilir. Bu karmaşık formda, yaklaşık olarak, profili üçte biri involüt iken, geri kalanı sikloiddir.

**INTERFERANS (Karişma).** Bazı şartlar altında, involüt profiller eşleşen dişleri örter veya onları kesebilir. Bunu önlemek için, maximum diş üstü yarıçapının aşağıdaki bağıntıdan küçük veya ona eşit olması gereklidir.

$$\sqrt{(taban dairesi yarıçapı)^2 + (\text{eksenler arası mesafe})^2(\sin \phi)^2}$$

### STANDART DİŞLİ ÇARK DİŞ DEĞERLERİ

	14° Karmaşık	14° Tam Derinlikte Involüt	20° Tam Derinlikte Involüt	20° Kök Dibi Involüt
Diş Üstü	$m$	$m$	$m$	0,8m
Minimum Diş Dibi	1,157m	1,157m	1,157m	m
Tam derinlik	2,157m	2,157m	2,157m	1,8m
Boşluk	0,157m	0,157m	0,157m	0,2m

**STANDART MODÜLLER**, ISO/R54'den alınmıştır.

Tercih edilenler: 1, 1,25, 1,5, 2, 2,5, 3, 4, 5, 6, 8, 10, 12, 16, 20, 25, 32, 40, 50

İkinci Tercihler: 1,125, 1,375, 1,75, 2,25, 2,75, 3,5, 4,5, 5,5, 7, 9, 11, 14, 18, 22, 28, 36, 45

**DİZAYNDA DÜŞÜNÜLEN HEDEFLER**, Yeterli derecede mukavim dişli dizaynı için, uygun hatve ve alın eninin hesabı gerekecektir.

### DİŞLİ ÇARK DİŞLERİNİN MUKAVEMET HESAPLARI - Lewis İfadesi.

Bir çift dişli çark dişlerinin kavramalarının başlangıcında döndüren dişin yan yüzeyi, döndürülen dişin ucuyla temas eder. Sürtünmeyi ihmali ederek, toplam yük,  $W_n$  nin diş profiline dik olduğu ve yükün bir dişle taşındığı kabul edilir.  $W_n$  nin bileşeni,  $W$ , dişin merkez hattına diktir ve diş dibinde eğilmeye neden olur.  $W$ , radyal bileşeni ihmali edilir. Şekil. 18-22'de gösterilen parabol uniform mukavemete sahip kirişi tanımlamaktadır. Dişin en zayıf kesiti A-A kesididir. Burada parabol diş diş profiline teğet olmaktadır. Yükün, diş alın yüzeyinde uniform olarak dağıtı kabul edilmiştir.

Ortaya çıkan eğilme momenti,

$$s = \frac{Mc}{I} = \frac{6M}{bt^3} = \frac{6Wh}{bt^3}$$

$$c = t/2, I = bt^3/12, \text{ ve } M = Wh.$$

$$W = sb(t^2/6h) = sb(t^2/6hP_c)P_c$$

$t^2/6hP_c$  oranı boyutsuz bir karakter olup, form katsayısı adını almaktadır.  $y$ , Buna ait değerler Sayfa 227'deki Tablo 1'de gösterilmiştir. Bu form katsayısı,  $y$ , dişli şeclinin bir fonksiyonudur ve sadece diş düzenevi ve çarktaki diş sayısına bağlıdır.

Kolaylık sağlamak için,  $W$  aktarılan  $F$  kuvvetine yaklaşırılkı bu da ortaya çıkan torkun bölüm dairesi yarıçapına bölümü olarak tarif edilebilir. Böylece,  $W$  için  $F$  değeri ve  $y$  de  $t^2/6hP_c$ , yerine konularak bilinen Lewis ifadesi elde edilir.  $F = sbP_c y$

Normal dizayn şartları için,  $b$  alın eni, hatvenin 4 katından fazla olamaz.  $b = kP_c$ ,  $y$  alarak,  $k < 4$ , olmak şartıyla,

$$F = sP_c^2 ky = s\pi^2 kym^2$$

bulunur. Mukavemet düşünülerek, yapılan dişli dizaynında, bölüm dairesi çapı bilinebilir veya bilinmeyebilir. Bölüm dairesi çapı biliniyorsa, Lewis ifadesinin aşağıdaki Şekili kullanılabilir:

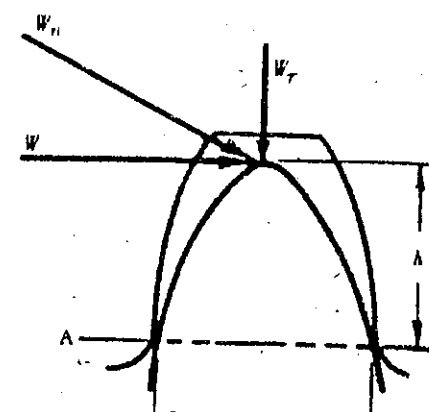
$$\frac{1}{m^2 y} = sk\pi^2/F$$

$s$  müsaade edilen gerilme,  $k \geq 4$ , üst limit,  $F$  aktarılan kuvvet,  $2M_t/D$ . Böylece dizaynı kontrol altında tutan, müsaade edilebilir gerilme ifadesi elde edilmiş.  $\frac{1}{m^2 y}$  ifadesi dizaynı etkilemektedir.

Eğer bölüm dairesi çapı bilinmiyorsa, aşağıdaki Lewis ifadesi kullanılabılır:

$$s = \frac{2M_t}{m^3 k\pi^2 y N}$$

$s$  = gerilme,  $M_t$  = müsaade edilen gerilme,  $N$  = zayıf dişlideki tork,  $k = 4$ , üst limit,  $N$  = zayıf dişlideki diş sayısı. Bu ifade, modül cinsinden ortaya çıkan gerilme değerini vermektedir. Minimum diş sayısı,  $N$ , genel olarak 15 ile sınırlanmıştır.



Şekil. 18-2

Yukarıdaki her iki durumda, en küçük modül, en ekonomik dizayni sağlayacaktır. Genel olarak, çaplar bilindiği sürece, daha büyük sayıda diş sayısı için dizayn arzulaanır. Çaplar bilinmediği zaman, mümkün olduğu kadar küçük bölüm dairesi çapı arzu edilir.

**MÜSAADE EDİLEN DİS GERİLMELERİ**, Dişli dizaynında dişler için gerekli gerilme değeri seçilecek malzeme ve kavrama doğrusundaki hızla bağlıdır. Düz dişler için, SI birimleriyle Burt ifadesi,

$$\text{müsaade edilen } s = s_0 \left( \frac{3}{3 + V} \right) \text{ 10m/sn az } V \text{ için}$$

$$= s_0 \left( \frac{6}{6 + V} \right) \text{ 10m/sn ~ 20m/sn arasındaki } V \text{ için}$$

$$= s_0 \left( \frac{5.6}{5.6 + \sqrt{V}} \right) \text{ 20m/sn den büyük } V \text{ için}$$

$s_0$ , dişli malzemelerde, ortalama gerilme konsantrasyon değerleri için dayanma mukavemeti,  $P_a$  ve  $V$  kavrama doğrusuna ait hızdır, m/sn.

$s_0$  DEĞERLERİ. Çeşitli dişli malzemeleri için  $s_0$  değerleri Amerikan Dişli İmalatçıları Derneği'nin yayınlarında listeler halinde verilmiştir. Ayrıca çeşitli el kitaplarında ve dizayn kitaplarında da bu türde listelere rastlanabilir. Dökme demir ve bronz için,  $s_0$  değerleri  $55MN/m^2$  verilebilir Karbonlu çelikler 70 ilâ 350MN/m<sup>2</sup> arasında değerler almaktadırlar. Bunların alacakları değerler ihtiyacı etkileri karbon miktarına göre değişmektedir. Ayrıca ıslı işlemlerindeki sıcaklığında etkisi olabilir. Genel olarak  $s_0$  kopma mukavemeti değerinin üçte biri kadár alınabilir.

**ZAYIF DİŞLİDE KÖK DİZAYNI**. Lewis ifadesiyle gösterildiği üzere, dişliye aktarılacak kuvvet,  $s_0 y$  nin bir fonksiyonudur. Eş çalışan iki dişli için, en zayıf olanı en düşük  $s_0 y$  değerine sahip olacaktır.

**DİNAMİK DİS YÜKLERİ**- Buckingham teorisi. Diş profillerindeki kusurlar, boşluk, montaj sırasında salgı ve yük altındaki sapma, hız değişimlerine neden olabilir. Söz konusu hız değişimleride diz üzerinde, aktarılan yükten daha büyük olmak üzere, dinamik yüklerin ortaya çıkmasına neden olmaktadır.  $F_d$ , dinamik yükü genellikle ortalama kütle şartları için kullanılır ve daha karmaşık olan dinamik analize yaklaşık değer kazandırır. Buckingham tarafından öne açıklanarak, SI birimleriyle, Buckingham ifadesi

$$F_d = \frac{21 V(bC+F)}{21 V + \sqrt{bC+F}} + F$$

$F_d$  = Dinamik yük, N

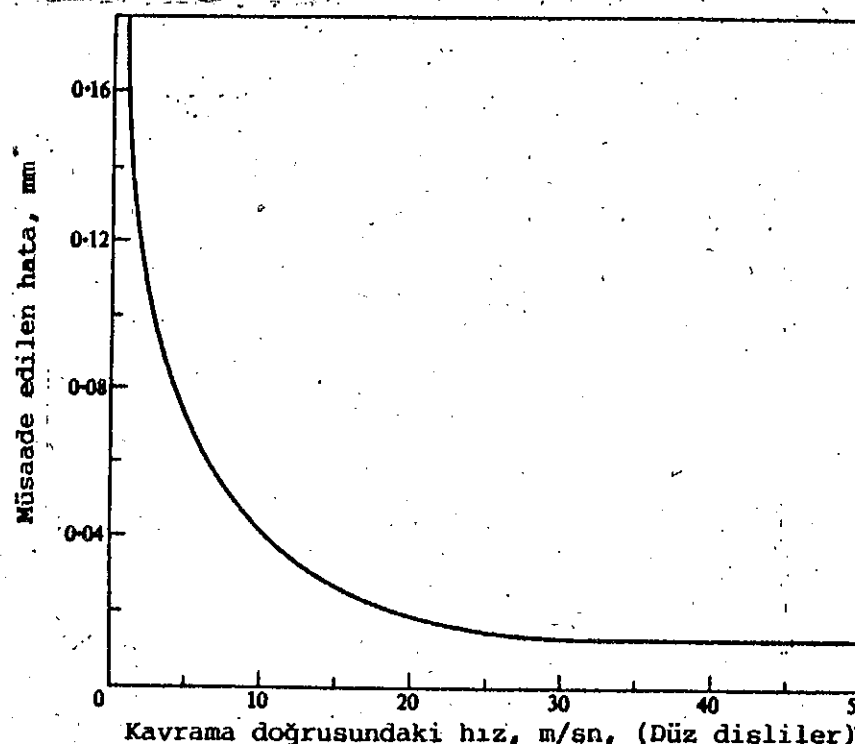
$V$  = Kavrama doğrusu hızı, m/sn

$b$  = Alın eni, m

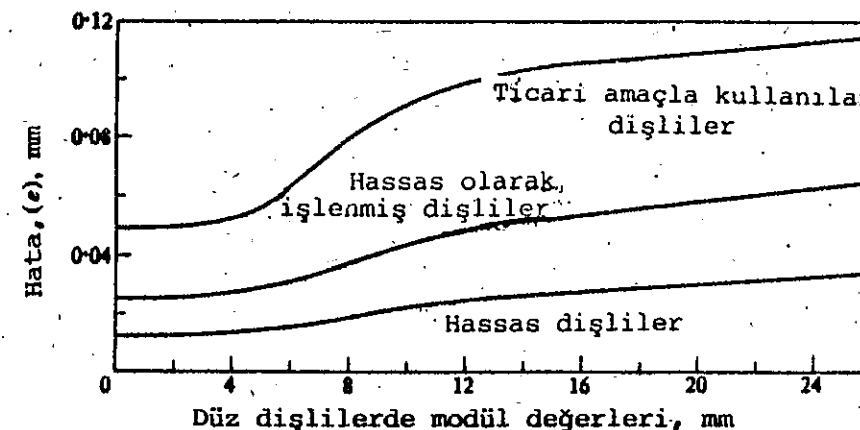
$F$  =  $\frac{\text{dişli torku}}{\text{Dişlinin bölüm dairesi yarıçapı}} = 2M_t/D$

$C$  = Sabit, N/m. Diş formuna, malzemeye ve hassasiyet derecesine, dişlinin işlendiği, bağlıdır.  $C$  nin bazı değerleri Sayfa 228'deki Tablo II'de verilmiştir. Diş profillerindeki hata bağıntısını gösteren eğriler, kavrama doğrusundaki hız, ve modül Şekil. 18-4'de gösterilmektedir.

$F_d$ ,  $F_o$  dan daha küçük olmalıdır.  $|F_q| = s_{ob} b P_c$ , dir. Bu ifadede,  $s_o$  ortalama gerilme konsantrasyonu değerlerine bağlı kalmaktadır.



Şekil. 18-3



Şekil. 18-4

**DİŞ AŞINMA YÜKÜ**-Buckingham ifadesi. Dişli çiftinde, dayanıklılığı sağlamak için, diş profilleri, aşınma yükü,  $F_w$ , tarafından tayin edilen aşırı temas gerilme değerlerine sahip olmamalıdır.

$$F_w = D_p b K Q$$

$D_p$  = Küçük dişlide, bölüm dairesi çapı, (pinyon), m

$b$  = Dişlide alın eni, m

$K$  = Yorulmada gerilme katsayıısı, N/m<sup>2</sup>

$$Q = 2N_g / (N_p + N_g)$$

$N_g$  = Dişlikteki diş sayısı

$N_p$  = Pinyondaki diş sayısı

$$\text{ve } K = \frac{s_{es}^2 (\sin \phi)}{(E_p + E_g)}$$

$s_{es}$  = Dişli çiftinde yüzey dayanım limiti, N/m<sup>2</sup>

$E_p$  = Pinyon malzemesi için elastisite modülü, N/m<sup>2</sup>

$E_g$  = Dişli malzemesi için elastisite modülü, N/m<sup>2</sup>

$\phi$  = Basınç açısı

Yüzey dayanım limiti, aşağıdaki ifadeyle tayin edilebilir.

$$s_{es} = (2.75 \times \text{BHN}) - 70 \text{ MN/m}^2$$

BHN pinyon ve dişli için ortalama Brinell sayısınca belirlenir. BHN çelikler için 350 ye kadar çıkabilir.

$F_w$ , aşınma yükü, müsaade edilebilen yük olup,  $F_d$ , dinamik yükünden büyük olmalıdır.

Çeşitli malzemeler diş profilleri için değişik değerler, sayfa 228'deki Tablo III'de verilmiştir. Bu değerler Buckingham tarafından tavsiye edilmiştir.

Yukarıdaki işlemler ön veya deneme dizaynlarında kullanılabilir. Fakat birçok makine dizaynında, son dizayn, laboratuvar çalışmaları sonunda gerçekleştirilir veya bazı şartlar altında hakiki değerler kullanılarak yapılan tecrübelerden faydalananlarak dizayna geçilebilir.

TABLO I - Form Katsayıları için,  $y$  = Lewis Mukavemet ifadesinin kullanımı için.

Diş Sayısı	14° Tam Derinlik İnvolut veya Karışık	20° Tam Derinlik İnvolut	20° Kök İnvolut
12	0,067	0,078	0,099
13	0,071	0,083	0,103
14	0,075	0,088	0,108
15	0,078	0,092	0,111
16	0,081	0,094	0,115
17	0,084	0,096	0,117
18	0,086	0,098	0,120
19	0,088	0,100	0,123
20	0,090	0,102	0,125
21	0,092	0,104	0,127
23	0,094	0,106	0,130
25	0,097	0,108	0,133
27	0,099	0,111	0,136
30	0,101	0,114	0,139
34	0,104	0,118	0,142
38	0,106	0,122	0,145
43	0,108	0,126	0,147
50	0,110	0,130	0,151
60	0,113	0,134	0,154
75	0,115	0,138	0,158
100	0,117	0,142	0,161
150	0,119	0,146	0,165
300	0,122	0,150	0,170
Tarak Diş	0,124	0,154	0,175

TABLO II - Deformasyon katsayısı C için değerler, kN/m  
Dinamik yük kontrolü için

Malzeme		İnşalüt diş formu	Dişteki Hata, mm				
Pinyon	Dişli		0.01	0.02	0.04	0.06	0.08
D. demir	Çelik	14°	55	110	220	330	440
Çelik	D. demir	14°	76	152	304	456	608
Çelik	Çelik	14°	110	220	440	660	880
D. demir	D. Demir	20° tam derin.	57	114	228	342	456
Çelik	D. demir	20° tam derin.	79	158	316	474	632
Çelik	Çelik	20° tam derin.	114	228	456	684	912
D. demir	D. demir	20° kök	59	118	236	354	472
Çelik	D. demir	20° kök	81	162	324	486	648
Çelik	Çelik	20° kök	119	238	476	714	952

TABLO III  
Aşınma yük ifadesinde kullanılan,  $s_{es}$  değerleri, dişli ve pinyon kombinasyonunun malzemesine bağlıdır.  $s_{es}$  ve K için değişik malzemeler için bazı değerler Tablo halinde verilmiştir.

Çelik pinyon ve çelik dişli için ortalama Brinell Sertlik Sayısı		Yüzey dayanma limiti $s_{es}$ (MN/m²)	Gerilme Yorulması Katsayıısı K(kN/m²)	
			14°	20°
150		342	206	282
200		480	405	555
250		618	673	919
300		755	1004	1372
400		1030	1869	2553
Brinell Sertlik Sayısı, BHN		Çelik Pinyon	Dişli	Yüzey dayanma limiti $s_{es}$ (MN/m²)
Çelik Pinyon	Dişli			
150	C.I.	342	303	414
200	C.I.	480	600	820
250	C.I.	618	1000	1310
150	Fosforlu Bronz	342	317	427
200	Fosforlu Bronz	445	503	689
C.I. Pinyon	C.I. Dişli	549	1050	1420
C.I. Pinyon	C.I. Dişli	618	1330	1960

## Çözümlü Problemler

1. Bir çift eş çalışan düz dişlide modül 10 olarak verilmiştir. Küçük dişliye ait bölüm dairesi çapı 160mm dir. Eğer transmisyon oranı 3:2 ise, (a) her dişlideki diş sayısı, (b) Diş üstü dairesi çapını, (c) tam derinliği, (d) boşluğu, (e) diş çaplarını, (f) kök dairesi çaplarını (g) diş dibî dairesi çapını (h) temel daire çaplarını ve (i) karmaşma olup olmadığını araştırip hesaplayınız.

Çözüm:

- (a)  $D_p = 160\text{mm}$ ,  $D_g = 160(3/2) = 240\text{mm}$ ,  $N_p = 160(2,5) = 16$  diş ve  $N_g = 240(2,5) = 24$  diş  
(b) Diş üstü daire =  $m = 10\text{mm}$   
(c) Tam derinlik =  $2,157(\text{m}) = 2,157 \times 10 = 21,57\text{mm}$   
(d) Boşluk =  $0,157(\text{m}) = 0,157 \times 10 = 1,57\text{mm}$   
(e) Diş çap = Bölüm dairesi çapı + 2 x diş üstü dairesi  
Pinyonun dış çapı =  $160 + 2 \times 10 = 180\text{mm}$ , dişlide =  $240 + 2 \times 10 = 260\text{mm}$   
(f) Kök çapı = Diş çapı - 2 x tam derinlik  
Pinyonun kök çapı =  $180 - 2 \times 21,57 = 136,86\text{mm}$  dişlide =  $260 - 2 \times 21,57 = 216,86\text{mm}$   
(g) Diş dibî dairesi  $1,157(\text{m}) = 1,157 \times 10 = 11,57\text{mm}$   
(h) Taban dairesi yarıçapı = Bölüm dairesi yarıçapı  $\times \cos 14\frac{1}{2}^\circ$   
Pinyon için:  $R_b = (160/2) \cos 14,5^\circ = 77,45\text{mm}$ , ve taban dairesi çapı =  $154,90\text{mm}$   
Dişli için:  $R_b = (240/2) \cos 14,5^\circ = 116,18\text{mm}$  ve taban dairesi çapı =  $232,36\text{mm}$   
(i) Diş üstü yarıçapı  $\sqrt{(taban dairesi yarıçapı)^2 + (\text{Merkez mesafesi})^2 (\sin \phi)}$  ise  
karışıklık önlecektir.  $= \sqrt{116,18^2 + [4(160 + 240)]^2 (\sin 14,5^\circ)^2} = 126,51\text{mm}$   
Dişlinin diş üstü yarıçapı =  $\frac{260}{2} = 130\text{mm}$  olduğundan, karmaşma söz konusudur. Dizayn için bir değişiklik gereklili olacaktır. Modülü 8 e indirerek, pinyon bölüm dairesi çapını 192mm ye çıkararak, karışıklık önlenebilir.

2. Bronz düz pinyon dişli ( $s_o = 83\text{MN/m}^2$ ) 600d/dk da dönerken, çelik döküm bir düz dişliyi çevirmektedir. Transmisyon oranı, 4:1 dir. ( $s_o = 103\text{MN/m}^2$ ) Pinyonda, 8 modülde, 16 adet  $20^\circ$  yan açılı, tam derinlikte diş bulunmaktadır. Her iki dişli için alın eni 90mm dir. Mukavemet gözönüne alınması halinde aktarılacak güç ne kadardır?

Çözüm:  
Önce hangisinin zayıf olduğunu tayin etmek gerekmektedir. Dişli çark mı, yoksa pinyon mu?

	Diş sayısı	$s_o$	form katsayıısı, y	$s_{oy}$
Pinyon	16	$83 \times 10^6$	0,094	$7.8 \times 10^6$
Dişli çark	64	$103 \times 10^6$	0,135	$13.9 \times 10^6$

Dişin yük taşıma kapasitesi  $s_{oy}$  çarpımının bir fonksiyonu olduğundan, pinyon daha zayıftır.

Bölüm dairesine ait hız  $V$  hızı, doğru hız katsayısının şeçimi için hesaplanmalıdır.  $V = \left(\frac{600 \times 2\pi}{60}\right) \left(\frac{1}{2} \times \frac{16 \times 8}{1000}\right) = 4,02\text{m/s}$ .  $V$  hızı  $10\text{m/sn}$  den daha küçük olduğu için, müsaade edilen gerilme,  $s_o = 83 \times 10^6 \left(\frac{3}{3+4,02}\right) = 35,5\text{MN/m}^2$  dir. Lewis ifadesi kullanılarak aktarılacak kuvvet,  $F = s_{oy} P_c = (35,5 \times 10^6)(0,09)(0,094)(8\pi/1000) = 7,54\text{kN}$

Böylece aktarılacak güç =  $FV = 7542 \times 4,02 = 30,3\text{kW}$  olur.

3. Çelik dökümünden mamul bir pinyon dişli ( $s_o = 140\text{MN/m}^2$ ) dökme demirden mamul ( $s_o = 55\text{MN/m}^2$ ) bir düz dişliyi çevirecektir. Transmisyon oranının 2:1 olduğu bilinmektedir. Pinyon çapının  $105\text{mm}$  ve  $900\text{d/dk}$  da  $20\text{kW}$  aktaracağı beklenmektedir. Dişlerde yan yüzey açısı  $20^\circ$  ve dişler tam derinliktedir. En büyük diş sayısı için dizayn yapınız. Mukavemet düşünülerek, gerekli modülü ve alın enini hesaplayınız.

Çözüm:

Önce geçici diş sayıları kabul ederek, zayıf olan dişliyi bulalım. Örneğin 30 ve 70 gibi bu değerler 2:1 den 1 oranını sağlamaktadır. Sonra, pinyon için,  $s_{oy} = 140 \times 10^6 \times 0,114 = 15,96 \times 10^6$  ve dişli çark için  $s_{oy} = 55 \times 10^6 \times 0,137 = 7,54 \times 10^6$  dişli herhalde daha zayıf olacaktır. Zira

$D_p = 105\text{mm}$ ,  $D_g = 245\text{mm}$ . Çaplar bilindiğine göre, Lewis ifadesinin aşağıdaki şeklini kullanabiliriz.

$$\frac{1}{m^2 y} = sk\pi^2/F$$

Pinyon tarafından aktarılmış tork  $= \frac{20,000 \times 60}{900 \times 2\pi} = 212\text{Nm}$ . Aktarılan kuvvet  $= 212/0.0525 = 4040\text{N}$

Bölüm dairesindeki çizgisel hız  $V = 0.0525(900 \times 2\pi/60) = 4.95\text{m/s}$ . Müsaade edilen gerilme  $s = 55 \times 10^6 \left( \frac{3}{3+4.95} \right) = 20.8\text{MN/m}^2$

$$1/m^2 y = 20.8 \times 10^6 (4)\pi^2/4040 = 203 \times 10^3 \text{ müsaade edilen}$$

$y \approx 0.1$ ,  $m = 7.02$  kabul ederek, sonra,  $m = 7$  yi deneyiniz. Böylece,  $N_g = \frac{245}{7} = 35$  diş,  $y = 0.119$  (tablodan) ve  $1/m^2 y = 171.5 \times 10^3$

Dişli yeterince dayanıklıdır.

İstenen hız oranından dolayı 6, 8 ve 9 modüller kullanılamaz. (5 modülde dişliyi zayıf düşürecek). Dolayısıyla,  $k$  yi düşürmek gerekecektir.  $k = 4(171.5)/(202.8) = 3.383$  sonra;  $b = 3.383 \times 7\pi = 74.4\text{mm}$ .

$b = 75\text{mm}$ ,  $y$  kullanınız.  $m = 7$ ,  $N_p = 15$ ,  $N_g = 35$

Zayıf dişliyi tayin için son kontrol, seçilen diş sayılarına göre: Pinyon  $= s_{oy} = 140 \times 10^6 \times 0.092 = 12.88 \times 10^6$  dişli  $s_{oy} = 55 \times 10^6 \times 0.119 = 6.545 \times 10^6$  daha zayıf..

4. Bir bronz düz dişli ( $s_o = 83\text{MN/m}^2$ ) çelik bir pinyon dişliyi çevirecektir. ( $s_o = 103\text{MN/m}^2$ ). Açısal hız oranı  $3\frac{1}{2}:1$  dir. Basınç açısı  $14\frac{1}{2}^\circ$  dir.  $1800\text{d}/\text{dk}$  da dönerken  $5\text{kW}$  aktaracak pinyonla beraber çalışacak dişli için en küçük çap ve gerekli alın enini hesaplayınız. Dizaynı mukavemeti gözönüne alarak yapınız. Her dişlide 15 den az diş bulunması istenmektedir.

Çözüm:

Minimum  $N_p = 16$  diş, açısal hız oranı  $= 3\frac{1}{2}$  için. Sonra,  $N_g = 16(3\frac{1}{2}) = 56$  diş Dişli için,  $s_{oy} = 83 \times 10^6 (0.112) = 9.30 \times 10^6$  pinyon için,  $s_{oy} = 103 \times 10^6 (0.081) = 8.34 \times 10^6$  pinyon daha zayıftır.

Tork  $M_t = \frac{5000 \times 60}{1800 \times 2\pi} = 26.5\text{Nm}$  Çaplar bilinmediğinden, ortaya çıkan gerilme,  $s = 2M_t/m^2 k\pi^2 y N_g = 2 \times 26.5/m^2 \times 4\pi (0.081) 16 = 1.037/\text{m}^3$

Müsaade edilen gerilme,  $s \approx \frac{1}{2}s_o \approx \frac{1}{2}(103 \times 10^6) = 51.5\text{MN/m}^2$ . Bu kabul yaklaşık olarak modülün hesabını sağlar. Sonra,  $m^3 = 1.037/51.5 \times 10^6 \cdot m = 2.72\text{mm}$

$m = 2.5$ ,  $y$  deneyiniz. Sonra  $D_p = 16 \times 2.5 = 40\text{mm}$ ,  $V = 0.02 \left( \frac{1800 \times 2\pi}{60} \right) = 3.77\text{m/s}$ , müsaade edilen  $s = 103 \times 10^6 \left( \frac{3}{3+3.77} \right) = 57.4\text{MN/m}^2$  ve ortaya çıkan gerilme  $s = 1.037/(0.0025)^3 = 66.4\text{MN/m}^2$

Pinyon daha zayıftır. Zira  $57.4 < 66.4$ .

Daha mukavim dişi deneyelim.  $m = 3$ , sonra  $D_p = 16 \times 3 = 48\text{mm}$ ,  $V = 0.024 \left( \frac{1800 \times 2\pi}{60} \right) = 4.52\text{m/s}$ , müsaade edilen gerilme  $s = 103 \times 10^6 \left( \frac{3}{3+4.52} \right) = 41.1\text{MN/m}^2$  ve ortaya çıkan gerilme  $s = 1.038/(0.003)^3 = 38.4\text{MN/m}^2$  Şimdi ise pinyon daha mukavimdir.

Neticede  $k$  yi düşününüz.  $k$  yi  $4(38.4/41.1) = 3.74$  alınız ve alın eni  $b = mk\pi = 3 \times 3.74\pi = 35.2\text{mm}$ .

$m = 3$  ve  $b = 35\text{mm}$  yi kullanınız.  $D_p = 48\text{mm}$ ,  $D_g = 48 \times 3.5 = 168\text{mm}$

Çelik döküm pinyon ( $s_o = 103\text{MN/m}^2$ )  $900\text{d}/\text{dk}$  da dönerken, dökme demirden mamul ( $s_o = 55\text{MN/m}^2$ ) dişliyi  $144\text{d}/\text{dk}$  da döndürmektedir. Dişlerde yan açılar  $20^\circ$  ve involüt profil mevcuttur. Aktarılacak max. güç  $25\text{kW}$  dir. Uygun modülü, diş sayısını, alın enini, dinamik yükü, ve aşınmayı hesaplayınız. Pinyon BHN 250 ye sertleştirilmıştır.

Çözüm: Dişlilerin çapları bilinmemektedir. Dislerin savısı pinyonun-

inden 15 daha fazladır. Gerekli transmisyon oranını sağlayabilmek için pinyondaki diş sayısının minimum 16 olması gerektiğini unutmayın. Böylece dişli çarktaki diş sayısıda  $16(900/144) = 100$  olacaktır.

Pinyon için,  $s_{oy} = 103 \times 10^6 (0.115) = 11.85\text{MN/m}^2$  dişli çark ise,  $s_{oy} = 55 \times 10^6 (0.161) = 8.86\text{MN/m}^2$ . Dişli çark daha zayıftır. Zira  $8.86 < 11.85$  dir. Çaplar bilinmediği zaman, moment değerleri kullanılarak Lewis ifadesi devreye sokulabilir ve dişli çarkın dizaynı gerçekleştirilebilir.

$M_t = \frac{25,000 \times 60}{144 \times 2\pi} = 1658\text{Nm}$  Başlangıçta yapılan deneme dizaynı için, her zaman  $k = 4$  alınız. Böylece ortaya çıkacak gerilme,

$s = 2M_t/m^3 k\pi^2 y N_g = 2 \times 1658/m^3 4\pi^2 (0.161) (100) = 5.217/\text{m}^3$  olur. Müsaade edilerek gerilmeyi,  $s \approx s_o = \frac{1}{2}(55) = 27.5\text{MN/m}^2$  Sonra,  $m^3 = \frac{5.217}{27.5 \times 10^6}$  ve  $m = 5.75$  bulunur. Ekonomi açısından, modülün küçük olması düşünülebilir. Onun için 6 yi belkide 5 i deneyeceğiz.

$m = 6$  için,  $D_g = 100 \times 6 = 600\text{mm}$ ,  $V = 0.3 \left( \frac{144 \times 2\pi}{60} \right) = 4.524\text{m/s}$ , müsaade edilen gerilme,  $s = 55 \times 10^6 \left( \frac{3}{3+4.524} \right) = 21.93\text{MN/m}^2$

ve ortaya çıkacak gerilme,  $s = 5.217/(0.006)^3 = 24.15\text{MN/m}^2$  Dişli çok zayıf görülmektedir. Zira  $24.15 > 21.93$  Bundan dolayı, bir büyük modülü deneyeceğiz. Bu da 7 dir. Daha önce yapıldığı üzere,  $m = 7$  için  $D_g = 700\text{mm}$ ,  $V = 5.278\text{m/s}$ , ve müsaade edilecek gerilme,  $s = 19.93\text{MN/m}^2$  ve ortaya çıkan gerilme ise,  $s = 15.21\text{MN/m}^2$  olarak bulunur. Böylece  $m = 7$  modüllük dişli çark istendiğinden daha mukavim olacaktır.  $k$  yi düşürerek,  $4(15.21)/(19.93) = 3.053$  ve alın eni  $b = kP_c = 7(3.053)\pi = 67.13\text{mm}$  elde edilir. Mukavemet düşünülürse,  $m = 7$  kullanılmalıdır. Bu modül kullanılacak olursa,  $b = 68\text{mm}$  olarak alınmalıdır.

Bir başka kontrol ise, dinamik yük ve aşınma düşününlere yapılan kontroldür.  $F_o$  ve  $F_w$  aşınma yükleri için kabul edilen değerlerdir.

$$F_o = s_{oy} b P_c = 55 \times 10^6 (0.068) (0.161) (0.007\pi) = 13.24\text{kN}$$

$$F_w = D_p b K Q = (0.112) (0.068) (1310 \times 10^3) (1.724) = 17.20\text{kN}$$

$D_g = 700(144/900) = 112\text{mm}$ ,  $K = 1310\text{kN/m}^2$  A Tablo III den  $Q = 2N_g/(N_g + N_p) = 2(100)/(100 + 16) = 1.724$  bulunur.  $F_o$  ve  $F_w$  her biri  $F_d$  den büyük olmalıdır.

$F_d = 21V(bC+F)/21V + \sqrt{bC+F+F}$   
 $V = 5.28\text{m/s}$ ,  $b = 68\text{mm}$ , ve,  $F = M_t/(4D) = 1658/0.350 = 4737\text{N}$ . Şekil. 18-3'den,  $V = 5.28\text{m/s}$ , hatalanın 0,08 olduğu görülür. Ses açısından bu hataya katlanabiliriz. Şekil. 18-4'e bakarak,  $m = 7$  için, ticari amaçla kullanılacak bir dişli için 0,07mm hatayı ele alabiliriz. Sonra, Tablo III den  $C = 590\text{kN/m}$  bulunur. Yukarıdaki ifadeye, bulunan değerleri yerlestirecek olursak,  $F_d = 20.15\text{kN}$  ve neticede  $F_w = 17.20 < 20.15$  ve  $F_o = 13.24 < 20.15$  elde edilir. Dayanıklılık veya aşınma mukavemet ele alınarak yapılacak dizayn için yeterli olmayacağı.

Ondan dolayı, dişlinin imal şeklini iyi seçmeliyiz. Şekil. 18-4'de olduğu gibi 0,035mm lik bir hata olduğu söylenebilir. Bu da,  $C$  için 283kN/m değerini verecektir.  $C = 283$  için,  $F_d$  yi yeniden hesaplayarak,  $F_d = 14.74\text{kN}$  bulunur. Şimdi,  $F_w = 17.20 > 14.74$  ve  $F_o = 13.24 \approx 14.74$  (10 içinde) ve dizayn herhalde hassas bir diş açımını gerektirmeyecektir.

6. 80mm çapındaki çelik bir pinyon dişli ( $s_o = 140\text{MN/m}^2$ ) 240mm çapındaki gri demirden mamul bir dişliyi ( $s_o = 85\text{MN/m}^2$ ) çevirmektedir. Pinyon 1200 d/dk da dönmekte ve 5kW lik güç aktarmaktadır. Dişlerde yan yüzey açısı  $20^\circ$  dir. (En ucuz işleme ve sessiz bir çalışma için) en büyük diş sayısını hesaplayınız. Gerekli alın eni kaç mm olabilir. Dizayn

icin Lewis ifadesinden faydalananiz. Çözüm için başka bir metod aşağıda anlatılacaktır.

#### Çözüm:

Hangisinin daha zayıf olduğunu baştan bilmeyerek, çözümü takiben, zayıf olup olmadığını kontrol edeceğiz. Kabul edilen dayanma yükü, Lewis ifadesine göre, hakiki dinamik yükün Burt hız katsayısına göre, kıyaslaması yapılacaktır.

$$F_o = s_0 b \pi y m = 85 \times 10^6 (4\pi m) y m = 3,355 \times 10^9 y m^2$$

ile Hakiki yük (yaklaşık):  $F_d = \frac{F}{\text{velocity factor}} = \frac{995}{3/(3+5,03)} = 2663 \text{ N}$

Eğer  $y = 0,1$  civarında bir değer ise,  $m = \sqrt{2663/(0,1)(3,355 \times 10^9)} = 2,817 \text{ mm}$

$m = 2,5$  u deneyiniz.  $N_g = 96, y = 0,161$ , ve  $F_o = 3,355 \times 10^6 (0,161)(0,0025)^2 = 3376 \text{ N}$  (çok mukavim). Daha zayıf dişliyi deneyiniz.  $m = 2, N_g = 120, y = 0,162$ , ve  $F_o = 2174 \text{ N}$  (çok zayıf). İkinci tercihini kullanarak,  $m = 2,25$  in mümkün olmadığı görülebilir. Zira diş oranı sağlanamamaktadır. Böylece,  $F_o = 3376 \text{ N}$  için  $m = 2,5$  değerini kullanabiliriz.

Şimdi, pinyon için,  $s_{oy} = 140 \times 10^6 (0,148) = 20,72 \times 10^6$  dişli çark için  $s_{oy} = 85 \times 10^6 (0,162) = 13,77 \times 10^6$  (zayıf, başlangıçta kabul edildiği üzere)

$$k \cdot y = 4(2663)/(3376) = 3,155 \text{ e kadar düşürelim.}$$

$$b = 3,155m(2,5) = 24,78 \text{ mm}, 25 \text{ mm. alınabilir.}$$

7. Dizayn ifadelerinin değişik uygulamaları, bir önceki problemi çözmeye yarayacaktır. (Prob. 4) Bronz düz dişli ( $s_o = 103 \text{ MN/m}^2$ ) nin çelik bir pinyonu çevirmesi istenmektedir. ( $s_o = 83 \text{ MN/m}^2$ ). Açısal hız oranı  $3,5:1$  dir. Basınç açısı  $144^\circ$  dir. Kullanılacak en küçük çaplı dişliyi tayin ediniz. Ayrıca  $188d/\text{dk}$  da  $5 \text{ kW}$  aktaracak pinyonda alın eni ne olabilir? Dizaynı mukavemet açısından düşününüz. Her iki dişli için 15 in altında diş sayısı düşünülmeyecektir.

#### Çözüm:

Pinyondaki minimum diş sayısı 16 olacaktır. Bunun için hız oranı  $3,5$  dur. Böylece büyük dişlideki diş sayısı  $16(3,5) = 56$  dir.

Zayıf dişliyi inceleyelim: dişli için

$$\text{Pinyon için: } s_{oy} = 83 \times 10^6 (0,112) = 9,30 \times 10^6 \text{ (daha zayıf)} \quad s_{oy} = 103 \times 10^6 (0,81) =$$

$$\text{Pinyondaki tork} = \frac{50,000 \times 60}{1800 \times 2\pi} = 26,53 \text{ Nm}$$

Lewis ifadesi tork cinsinden ifade edilecek olursa,  $FR = sbnyRm = M_t$

$$\text{Mukavemet düşünülerek, kabul edilen tork, } M_o = s_0 b n y R m = \frac{s_0 b \pi y N_p m^2}{2} = 103 \times 10^6$$

$$(4\pi m)(0,081)(16) \frac{m^2}{2} = 2,635 \times 10^9 m^3$$

$$\text{Hakiki dinamik torku, } M_d = \frac{FR}{\text{hız oranı}} = \frac{M_t}{\text{hız oranı}} = \frac{26,53}{\text{hız oranı}}$$

$$\text{Hakiki oranı } 1/2 \text{ olarak alınırsa, sonra } 2,635 \times 10^9 m^3 = \frac{26,53}{1/2}, m = 2,72 \text{ mm}$$

$$m = 2,5; D_p = 16 \times 2,5 = 40 \text{ mm}, V = 0,02 \left( \frac{1800 \times 2\pi}{60} \right) = 3,77 \text{ m/s; Sonra,}$$

$$M_o = 2,635 \times 10^9 (0,0025)^3 = 41,17 \text{ Nm, ve } M_d = \frac{26,53}{3/(3+3,77)} = 59,87 \text{ N}$$

bu da  $m = 2,5$  un zayıf olduğunu gösterir.

$$m = 3 \text{ ü deneyiniz. } D_p = 16 \times 3 = 48 \text{ mm, } V = 0,024 \left( \frac{1800 \times 2\pi}{60} \right) = 4,52 \text{ m/s, Sonra,}$$

$$M_o = 2,635 \times 10^9 (0,003)^3 = 71,15 \text{ Nm ve } M_d = \frac{26,53}{3/(3+4,52)} = 66,50 \text{ N m}$$

bu da  $m = 3$  ün mukavim olduğunu gösterir.

$k \cdot y = 4 \left( \frac{66,50}{71,15} \right) = 3,74$ , e düşürürüz.  $b = k \cdot m = 3,74 \times \pi \times 3 = 35,23 \text{ mm}, 35 \text{ mm. yi kullanınız.}$

## Tamamlayıcı Problemler

8. Düz dişli çelik pinyon ( $s_o = 200 \text{ MN/m}^2$ ) yine düz dişli çelik başka bir dişliyi ( $s_o = 140 \text{ MN/m}^2$ ) çevirecektir. Pinyon çapı 100mm ve merkezler arası 200mm dir. Pinyon 900d/dk da 5kW aktaracaktır. Dişlerde kavrama açısı  $20^\circ$  dir. Max diş sayısı için modül ve alın enini hesaplayınız. Dizaynı mukavemeti gözönüne alarak yapınız. Lewis ifadesini kullanınız Cev.  $m = 2, b = 21,2 \text{ mm}$  (22mm yi kullanınız.)
9. İki düz dişlinin bir taş kırıcıyı çevirmeleri, minimum boyutlarda olmalari ve aşağıdaki şartları yerine getirmeleri istenmektedir. Aktarılacak güç  $18 \text{ kW}$ , pinyon dönüş hızı  $1200 \text{ d/dk}$ , açısal hızlar oranı  $3,5:1$  dir. Diş profiline ait kavrama açısı  $20^\circ$  ve pinyon için  $s_o$  değeri  $100 \text{ MN/m}^2$  dişli için ise  $70 \text{ MN/m}^2$  dir. Lewis ifadesini kullanarak, modül ve alın enini hesaplayınız. Cev.  $m = 5, b = 57 \text{ mm}$
10. Bir çift düz dişli, motordan aldığı gücü pompaya aktarması istenmektedir. Merkezler arası mesafenin mümkün olduğu kadar küçük olması isteniyor. Pinyon dönme çelikten mamul olup, ( $s_o = 160 \text{ MN/m}^2$ ) Transmisyon oranı  $4,5:1$  dir.  $20^\circ$  lik yan yüzlü dişler kullanılacaktır. Lewis ifadesini kullanarak modül ve alın enini hesaplayınız. Cev.  $m = 3, b = 30,9 \text{ mm}$  (31mm yi kullanınız.)
11. Bir çift düz dişli, kren kaldırma düzende kullanılmak üzere, aşağıdaki şartlarda imal edilecektir: Pinyonda,  $s_o = 80 \text{ MN/m}^2$  dişlide  $s_o = 55 \text{ MN/m}^2$   $N_p = 20$  diş,  $N_g = 80$  diş, yan yüzey açısı  $20^\circ$  ve pinyon  $200d/\text{dk}$  da  $5 \text{ kW}$  aktaracaktır. (a) Minimum merkezler arası mesafe için bu şartları sağlayacak standart modül ve alın eni ne olmalıdır? Lewis ifadesini kullanınız. (b) Bu çift için dinamik yük  $3,8 \text{ kN}$  olarak hesaplanırsa, dizaynı mukavemet açısından emniyetli olup olmadığını araştırınız. (c) Yorulma sabiti  $K = 1350 \text{ kN/m}^2$  ise dizaynı aşınma ve yorulma için kontrol ediniz. Cev. (a)  $m = 5, b = 53,6 \text{ mm}$  (54mm yi kullanınız), (b)  $F_o = 6485 \text{ N}$  (Yeterlidir), (c)  $F_w = 11,660 \text{ N}$  (Yeterlidir.)
12. 24 dişe sahip çelik döküm düz dişli bir pinyon  $1150d/\text{dk}$  da dönerken  $3 \text{ kW}$  lik gücü 56 dişe sahip bir başka düz dişliye aktarmaktadır. Dişlerin aşağıdaki özelliklere sahiptirler. Modül 3,  $s_o = 100 \text{ MN/m}^2$ , alın eni 35mm, yan yüz açısı,  $144^\circ$ ,  $C$  katsayısı  $\text{kN/m}$ ,  $K$  katsayısı  $280 \text{ kN/m}^2$  dir. (a) Zayıf dişlide ortaya çıkacak gerilmeyi, (b) dinamik yükü, (c) aşınma yükünü, (d) kabul edilen statik yükü hesaplayınız. Cev.  $22,0 \text{ MN/m}^2, 6445 \text{ N}, 988 \text{ N}, 3150 \text{ N}$  Dinamik etkiler ve aşınma açısından yetersiz.
13. Bir paketleme makinesinin dişli düzende bir çift  $20^\circ$  lik yan yüz açılı dişliinden transkisyon oranı  $2,5:1$  olmak üzere  $3,5 \text{ kW}$  aktarması istenmektedir. Pinyon  $1200d/\text{dk}$  da dönmektedir. Ön çalışmada ( $s_o = 100 \text{ MN/m}^2$ ) dövme çelik pinyon ile ( $s_o = 60 \text{ MN/m}^2$ ) ikinci yarı çelik dişli seçilmişti. Dişler hassas olarak işlenmişlerdir. Tablolardan dinamik yük için  $C = 160 \text{ kN/m}$ , aşınma katsayısı,  $K$  ise  $1100 \text{ kN/m}^2$  olarak alınmıştır. (a) Çapları, alın enini, minimum diş sayılarını Lewis ifadesini kullanarak bulunuz. (b) Dişlerin yeterli olup olmadıklarını araştırarak, dinamik ve aşınma yüklerini hesaplayınız. (c) Dişlerin aşınma ve mukavemet açısından yeterli degillerse, hangi değişiklik yapılmalıdır. Cev.  $F_d, F_o$  ve  $F_w$  den büyük olduğu için dişlerin mukavemet açısından yeterli degildirler. Aşağıda belirtilen bir veya birkaç değişikliğin yapılması gereklidir. Diş hatvesi ve modülün değiştirilmesi, alın eninin arttırılması veya sertleştirme düşünülebilir.

# 19

## HELİSEL DİŞLİLER

**HELİS DİŞLİLER**, düz dişlilerden, dişlerinin, dönüş eksenine paralel olmayıp, bölüm dairesine ait silindirde helis formunda üslenmelerinden dolayı farklıdır. Helis dişliler, paralel veya paralel olmayan miller arasında kullanılabilirler. Bu bölümde sadece paralel millerde çalışan helisel dişliler tartışılacaktır. Bu durumda sol helis her zaman sağ helise eşleşecektir. Sol helisli bir helis dişli aşağıdaki Şekil. 19-1'de gösterilmiştir.

$\psi$  = Helis açısı derecesi

$F$  = Aktarılan kuvvet, (Momenti doğuran kuvvet) $N$

$F_e$  = Uçtaki itme =  $F \tan \psi N$

$P_c$  = Çevresel taksimat dairesi çapı, mm

$b$  = Alın eni, mm

$m$  = Dönme düzlemindeki modül

$m_n$  = Dişe normal olan düzlemdenki normal modül

$P_{nc}$  = Normal taksimat dairesi çapı, mm

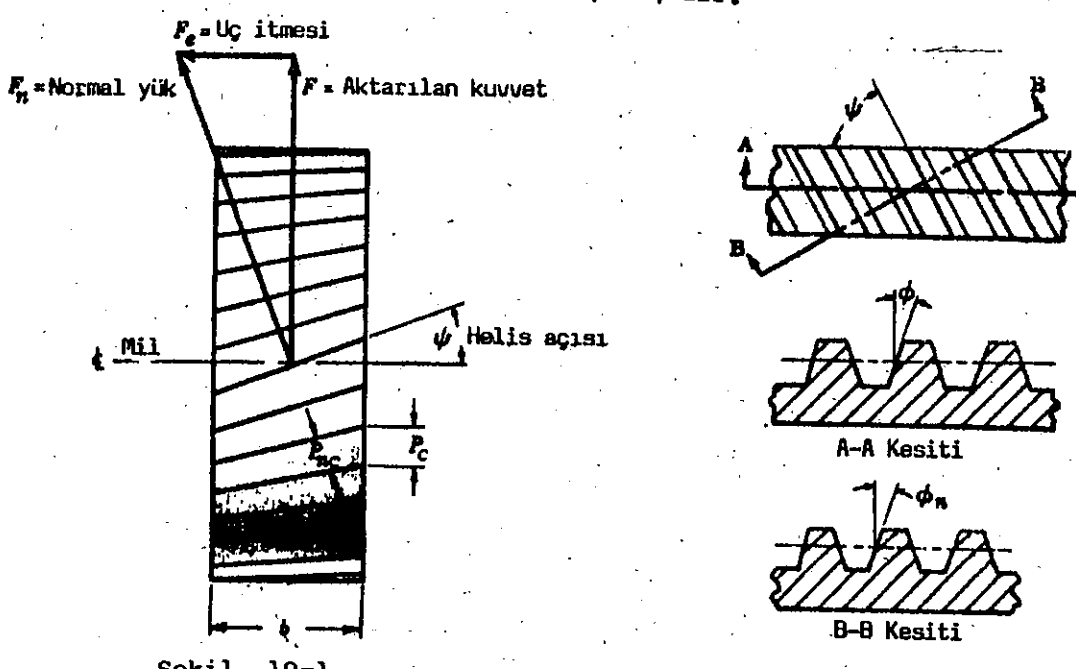
Not:  $P_{nc} = P_c \cos \psi$ ,  $m_n = m \cos \psi$ ,  $P_{nc}/m_n = \pi = P_c/m$

Diş yüzeyinde temasın sağlanabilmesi için en az bir noktanın bölüm dairesi üzerinde bulunması gereklidir. Böylece dişde minimum alın eni,

$$b_{\min} = \frac{P_c}{\tan \psi}$$

**KAVRAMA AÇISI** (Basınç açısı), Normal düzlemdenki  $\phi_n$  ile enine kesit düzlemindeki basınç açısı  $\phi$  farklı olup, aşağıdaki Şekil. 19-2'de gösterilmiştir. Aralarındaki bağıntı,

$$\tan \phi_n = \tan \phi \cos \psi \text{ dir.}$$



Şekil. 19-1

**EŞDEĞER** diş sayısı,  $N_f$ , helisel dişlide, silindir yüzeyi üzerinde yaratılan diş sayısı olarak tanımlanır. Yarıçap, normal düzlemede kesit alınmak şartıyla, ortaya çıkan elipsin küçük ekseni uçunda alınan noktaya ait eğrilik yarıçapına eşittir.

$$N_f = \frac{N}{\cos^3 \psi}$$

$N$  = Hakiki diş sayısı ve  $\psi$  = helis açısı

**MUKAVEMETLİ DİZAYN**, helis dişlilerde, benzer dizayn metodları uygulamak şartıyla düz dişlilere benzerdir. Yukarı düz dişlide olduğu gibi dağıtıldığı ve helise normal yönde olmak üzere dişe bakıldığı sürece, Lewis ifadesiyle,  $F_n$ , normal yük,

$$F_n = s \left( \frac{b}{\cos \psi} \right) \pi m_n$$

$F = F_n \cos \psi$ , teğetsel kuvveti ve  $m_n = m \cos \psi$  ifadelerini yukarıda yerine koyarak,

$$F = m_n s b y \pi = \frac{m_n^2 s k \pi^2 y}{\cos \psi} \quad (\text{Standart modül normal düzlemede iken kullanınız}).$$

$$F = m s b y \pi \cos \psi = m^2 k s \pi^2 y \cos \psi \quad (\text{Standart modül kapsal düzlemede iken kullanınız}).$$

$$k = b/P_c \quad (\text{Max. 6 ile sınırlandırılmıştır.})$$

$$m = \text{Dönme eksenindeki modül}$$

$y$  = Eşdeğer diş sayısına göre, seçilen bir form katsayısı, eğer normal düzlemede kavrama açısı standart ise,  $y$  yi düz dişli tablolarından alınır. Eğer kapsal düzlemden standart ise, düz dişli tablolarından alınır. Daha sonraları  $y$  için daha hassas neticeler grafiksel çözümlerle elde edilebilir.

Kabul edilen gerilme,  $s$ , malzemenin mukavemet gerilmesine eşit alınır. Gerilme konsantrasyonu için düzeltildikten sonra, hız katsayısi ile çarpılmalıdır.

$$s = s_0 \left( \frac{5,6}{5,6 + \sqrt{V}} \right) \quad \text{kabul edilen gerilme}$$

$s_0$  = Malzemenin kopma mukavemetinin üçte biri. Bu, ortalama gerilme konsantrasyonunun düzeltildmesine müsaade etmektedir.

$V$  = Bölüm dairesi hızı, m/sn

Malzeme için yorulma gerilmesi konsantrasyon etkileri ve mukavemet limitine ait değerler verilmişse,  $s_0$  için daha hassas değerler tayin edilebilir. Mamafih, diğer yaklaşımarda gözönüne alınarak, genelde, yukarıda ele alınan ifadelere bağlı olmak üzere dizayn yeterli olacak, daha sonra açıklanacağı üzere dinamik ve aşınma yüküne görede kontrol edilecektir.

Mukavemet açısından ele alınacak dizaynda bölüm dairesi bilinebilir veya bilinmeyebilir. Eğer bölüm dairesi biliniyorsa, Lewis ifadesinin aşağıdaki Şekli kullanılabilir.

$$\frac{1}{m^2 y} = \frac{s_0 k \pi^2 \cos \psi}{F} \left( \frac{5,6}{5,6 + \sqrt{V}} \right)$$

$$k = b/P_c$$

$$F = \text{Teğetsel kuvvet} = \text{Tork/Bölüm dairesi yarıçapı}$$

$$V = \text{Bölüm dairesindeki çizgisel hız}, \text{m/sn}$$

Böylece, yukarıdaki ifade, mukavemet kontrolundaki  $\frac{1}{m^2 y}$  oranını için kabul edilebilecek numerik değeri verir.

Eğer bölüm dairesi çapı bilinmiyorsa, ifadenin aşağıdaki şekli kullanabilir.

$$s = \frac{2T}{k\pi^2 N \cos \psi m^3}$$

$s$  = Ortaya çıkan hakiki gerilme, Nm  
 $T$  = Zayıf dişlideki karşı koyan tork değeri  
 $N$  = Zayıf dişlideki hakiki diş sayısı

Bu ifade, modül cinsinden ortaya çıkan hakiki gerilme için numerik bir değer vermektedir.

KIRIŞ MUKAVEMET YÜKÜNÜN SINIRLANDIRILMASI,  $F_o$ , hız katsayısı olmaksızın Lewis ifadesine göre,  $F_o = s_0 b y \pi \cos \psi m$

Semboller yukarıda verildiği üzereidir.

$F_o$ , değeri,  $F_d$  dinamik yüküne eşit veya ondan büyük olmalıdır.

AŞINMA YÜKÜNÜN SINIRLANDIRILMASI,  $F_w$ , helisel dişlilerde aşınma için Buckingham teoremiyle tayin edilebilir.

$$F_w = \frac{D_p b Q K}{\cos^2 \psi}$$

$D_p$  = Pinyon bölüm dairesi çapı

$$Q = \frac{2D_g}{D_p + D_g} = \frac{2N_g}{N_p + N_g} \quad (N_g \text{ ve } N_p \text{ hakiki diş sayılarıdır})$$

$$K = s_{es}^2 (\sin \phi_n) (1/E_p + 1/E_g) / 1.4$$

$s_{es}$  = Yüzey mukavemet sınırı değeri (Bölüm 18'deki Tablo III'ye bkz.).

$F_w$  için limit değer,  $F_d$  dinamik yüküne eşit veya ondan büyük olmalıdır.

DİNAMİK YÜK,  $F_d$ , helisel dişlilerde dinamik etkenler gözönüne alınarak aktarılan yük ile ilave e. yükün toplamıyla bulunur.

$$F_d = F + \frac{21V(Cb \cos^2 \psi + F) \cos \psi}{21V + \sqrt{Cb \cos^2 \psi + F}}$$

Semboller yukarıda olduğu gibidir. C değerleri efektif hatanın bir fonksiyonu olarak, 18. Bölümden alınabilir.

$F_w > F_d$  ve  $F_o > F_d$  olmalıdır.

$F_o$  ve  $F_w$  nin müsaade edilen değerleri hiçbir zaman aşılmamalıdır.

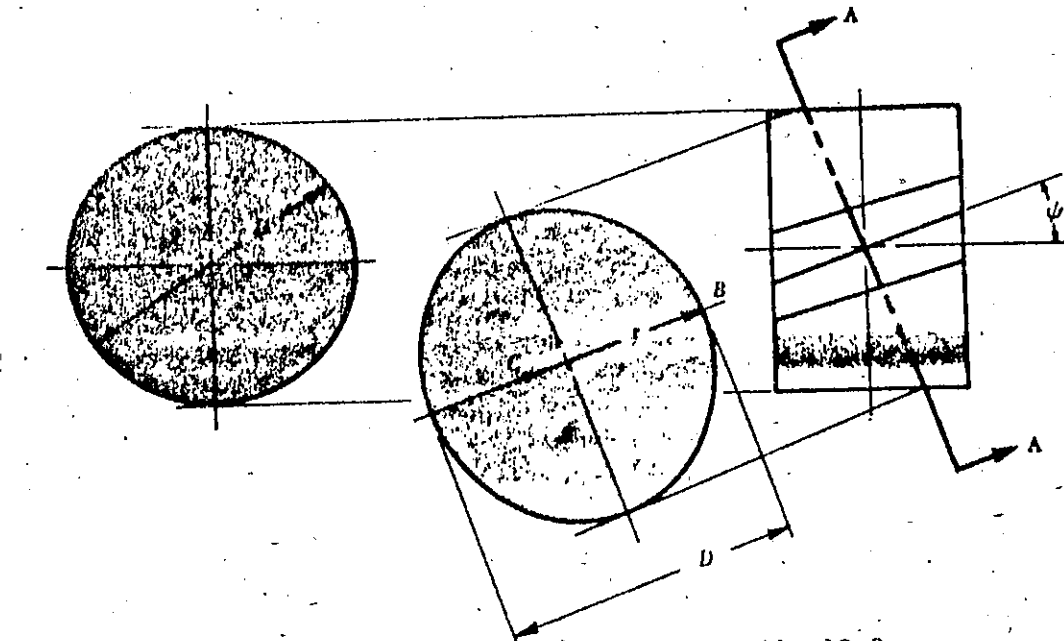
## Çözümlü Problemler

1. Bir helis dislide  $N_f$ , zahiri diş sayısı için,  $\psi$  helis açısı ve  $N$ , hakiki diş sayısı cinsinden uygun ifadeyi çıkarınız.

Çözüm:

Aşağıdaki Şekil. 19-3'de,  $D$  çaplı bölüm dairesinde, helis dişinin bir dişi görülmektedir. Normal düzlemdeki A-A kesitini ele alınız. Bu kesit çapı  $D$  olan bir elips olacaktır. B noktasındaki eğrilik yarıçapı,

$$r = \frac{D}{2 \cos^2 \psi} \quad (\text{analitik geometriden})$$



Şekil. 19-3

B deki dişin şekili,  $r$  yarıçapındaki silindirde görülene benzemektedir ve bu yüzey üzerindeki diş sayısı,  $N_f$  olarak tanımlanır.

$$N_f = \frac{2\pi r}{P_{nc}} = 2\pi m_n = \frac{2\pi m}{\cos \psi} = \frac{2Dm}{2 \cos^3 \psi} = \frac{N}{\cos^3 \psi}$$

2. Bir çift helis dişinden 15kW aktarması istenmektedir. Dişlilerde helis açısı  $45^\circ$  ve kavrama açısı  $20^\circ$  dir. Pinyondaki bölüm dairesi çapı 80mm ve 1000d/dk lik dönüş söz konusudur. Dişlideki bölüm dairesi çapı 320mm dir. Eğer dişliler çelik dökümünden mamullerse,  $s_o = 100 \text{ MN/m}^2$  uygun modülü ve alınanını hesaplayınız. Pinyon ıslıl işlem görmüş olup, sertliği 300 brinel ve dişlideki sertlik 200 brineldir.

Çözüm:

(a) Mukavemet kontrolü için,  $s_o = 100 \text{ MN/m}^2$  çaplar bilindiğine göre,

$$\frac{1}{m^2 y} = \frac{s_o k n^2 \cos \psi}{F} \left( \frac{5,6}{5,6 + \sqrt{V}} \right) = 5,424 \times 10^6 \quad (\text{müsaade edilen}) \text{ bulunur.}$$

$V = 41.9 \text{ m/s}$ , tahmin edilen  $k = 6$ ,  $\cos \psi = 0,707$  ve  $F = 15.000 / 41.9 = 358 \text{ N}$  her ikisi de aynı malzemeden olduğu için pinyon daha zayıftır.

Eğer  $y \approx 0,15, m = 1,1\text{mm}'\text{se } m = 1,25 \text{ alınır. Şimdi, } N_p = 80/1,25 = 64, N_f = N/\cos^3 \psi$   
 $\Rightarrow 64/0,707^3 \cdot 181, y = 0,166$  ( $20^\circ$  lik kavrama açısı kullanılmıştır) ve  $\frac{1}{m} = 1/(0,00125)^3$   
 $(0,166) = 3,855 \times 10^6$  bulunurki bu da yeterlidir. Zira,  $5,424 \times 10^6$  kabul edilen değerdi.  
 $k$  değeri,  $k = 6(3,855/5,424) = 4,264$  e düşürülebilir. Böylece,  $b = km = 16,75\text{mm}$ ,  
elde edilir. 18mm yi kullanınız.

(b) Dinamik kontrol için,  $F_w$  aşınma yükünü tayin ediniz. Ayrıca  $F_o$ .  
da bulup, dinamik yük,  $F_d$  ile mukayese ediniz.

$$F_w = \frac{D_p b Q K}{\cos^2 \psi} = 3133\text{N (kabul edilen)}$$

$\tan \phi_n = \tan 20^\circ \cos 45^\circ, \phi_n = 14,43^\circ; b = 18\text{mm}; D_p = 80\text{mm}; Q = 2D_s/(D_p + D_s) =$   
 $2(320)/(80 + 320) = 1,6; s_{es} = 618\text{MN/m}^2$  zira iki dişli için ortalama brinel  
sayısı 250 dir. ve

$$K = s_{es}^2 (\sin \phi_n)(1/E_p + 1/E_g)/1,4 = (618 \times 10^6)^2 (\sin 14,43^\circ)(2/200 \times 10^9)/1,4 = 680\text{kN/m}^2$$

$$F_o = s_0 b \gamma \pi \cos \psi m = 830\text{N (kabul edilen)}$$

$$F_d = F + \frac{21V(Cb \cos^2 \psi + F) \cos \psi}{21V + \sqrt{Cb \cos^2 \psi + F}} = 1327\text{N}$$

$s_0 = 100\text{MN/m}^2, b = 18\text{mm}, y = 0,166, m = 1,25, F = 358\text{N}, V = 41,9\text{m/s ve } C = 119\text{kN/m}$

Hasas bir işleme için, profildeki hata 0,01mm dir.

Ön çalışma için  $m = 1,25$  yeterli değildir. Zira,  $F_d$ ,  $F_o$  dan  
büyük. Mamañ, dizaynı aşınma açısından yeterli sayılabilir.  
Çünkü, aşınma yükü, dinamik yükten daha büyük. Aynı malzeme  
muhafaza edilirse, modülü artırmak gereklidir. Ard arda gelen denemelerle,  
alın eninde artırmak gerekebilir. Ard arda gelen denemelerle,  
modülün 2mm ve alın eninin 20mm olacağı ve bunların yeterli bir  
dizayn için yeterli olacağı görüldü. Böylece,  $N_p = 40, N_f = 113, y = 162$ ,  
 $F_w = 3482\text{N}, F_o = 1439\text{N}$  ve  $F_d = 1406\text{N}$  bulunur.

3.  $23^\circ$  lik helis açısına sahip bir çift helis dişli pinyonun 10.000d/dk.  
sında 2,5kW aktaracaktır. Hız oranı, 4:1 dir. Her iki dişli sertleştirilmiş çelikten mamul olup, kabul edilen  $s_0 = 100\text{MN/m}^2$  Her iki dişli için  
geçerlidir. Dişlilerde kavrama açısı  $20^\circ$  dir. Pinyonda 24 diş bulunmaktadır. Dişliler için minimum çaplarla, gereklili brinel sertliğini  
hesaplayınız.

Çözüm:

(a) Önce mukavemet kontrolü yapınız. Eş çalışan iki dişliden pinyon  
daha zayıftır.

Çaplar bilinmediğinden, Lewis ifadesinin aşağıdaki şeklini  
kullanınız ve  $s = \frac{2M_t}{k\pi^2 N \cos \psi m^3} = \frac{0,0263}{m^3}$

elde ediniz. Pinyondaki tork  $M_t = \frac{2500 \times 60}{10,000 \times 2\pi} = 2,39\text{N.m}$ , ve kabul edilen

$k = 6, N = 24, N_f = N/\cos^3 \psi = 31, y = 0,139$  ( $20^\circ$  kavrama açısı kullanılmıştır) ve  
 $\psi = 23^\circ$

Hız katsayısını 0,5 alarak,  $0,0263/m^3 = 50 \times 10^6, m = 0,807\text{mm}$ . Standart  
modül 1mm yi alınız. Sonra  $D_p = 24\text{mm}$  ve  $V = (0,012)(10,000 \times 2\pi/60) = 12,57\text{m/s}$ .

$$s_{kabul} = 100 \times 10^6 \left( \frac{5,6}{5,6 + \sqrt{12,57}} \right) = 61,2\text{MN/m}^2, s_{görgülen} = \frac{0,0263}{(0,001)^3} = 26,3\text{MN/m}^2$$

Mukavemet açısından dizayn yeterlidir.

$k$  değeri  $k = 6(26,3/61,2) = 2,58$  e düşürülür. Şimdi,  $b = 2,58\pi \times 1 = 8,10\text{mm}$   
 $b = 10\text{mm}$  yi kullanınız.

(b) Aşınma yükü için yapılacak kontrolde, ortalama brinel sertliği  
başlangıçta, 200 alınacaktır.

$$F_w = \frac{D_p b Q K}{\cos^2 \psi} = \frac{(0,024)(0,01)(1,6)(0,522 \times 10^6)}{\cos^2(23^\circ)} = 237\text{N (kabul edilen)}$$

$F_o = s_0 b \gamma \pi \cos \psi m = (100 \times 10^6)(0,01)(0,139)\pi \cos 23^\circ(0,001) = 402\text{N kabul edilen}$   
 $\tan \phi_n = \tan 20^\circ \cos 23^\circ, \phi_n = 18,5^\circ, Q = (2 \times 96)/(96 + 24) = 1,6, s_{es} = 480\text{MN/m}^2$   
(Bölüm 18, Tablo III'den) ve böylece  $K = 0,522 \times 10^6\text{N/m}^2$ .

(c) Dinamik yük için kontrol yapınız.  $C = 119,000\text{N/m}$  .. (Bölüm. 18 ve  
Tablo III kullanılarak ve hassas işleme düşünülerek).

$$F_d = F + \frac{21V(Cb \cos^2 \psi + F) \cos \psi}{21V + \sqrt{Cb \cos^2 \psi + F}} = 1181\text{N}$$

$$F = 2M_t/D_p = 2 \times 2,387/0,024 = 199\text{N.}$$

Aşınma yönünden dizayn yeterli değildir. Çünkü dinamik yük  
aşınma yükünden büyüktür. Dişli boyutlarını büyütmemeyi düşünerek,  
(her iki dişli için ve alın eni) ve daha sert malzeme kullanılabi-  
lir.

Ardarda yapılan denemelerle, yeterli çözüm şöyle olabilir:

$$m = 3\text{mm } D_p = 72\text{mm ve } V = 37,7\text{m/s}$$

$$b = 30\text{mm } k = 30/3\pi = 3,18$$

$$BHN = 250, s_{es} = 618\text{MN/m}^2 \text{ ve böylece, } K = 0,866\text{MN/m}^2$$

$$F_w = 3533\text{N}, F_o = 3618\text{N} \text{ ve } F_d = 2968\text{N.}$$

4. Hassas olarak işlenmiş helis dişli çarklar çifti paralel millere  
tespit edilmiştir. Eksenler arası 380mm dir. Hız oranı 4:1 dir. Pinyon  
10.000d/dk da dönmektedir. Her iki dişlide aynı malzemeden yapılmıştır  
 $s_0 = 100\text{MN/m}^2$ . Dişlerde kavrama açısı  $20^\circ$  ve helis açısında  $45^\circ$  dir. Alın  
eni 20mm ve modül 1 dir. Emniyetli bir şekilde aktarılacak gücü hesap-  
layınız. Hesaplarınızda sadece aşınma ve mukavemeti gözönüne alınız.  
Her iki dişli için brinel sertliği 400 dür.

Çözüm:

$$(a) Aşınma yükünü tayin ediniz.  $F_w = \frac{D_p b Q K}{\cos^2 \psi} = \frac{(0,076)(0,020)(1,6)(1,89 \times 10^6)}{\cos^2 45^\circ} = 9182\text{N}$$$

$$D_p = 76\text{mm}, Q = 1,6, \tan \phi_n = \tan 20^\circ \cos 45^\circ, \phi_n = 14,43^\circ, \text{ ve } s_{es} = 1030\text{MN/m}^2$$

(Tablo. III, Bölüm. 18) Buradan,

$$K = s_{es}^2 (\sin \phi_n)(1/E_p + 1/E_g)/1,4 = (1030 \times 10^6)^2 \sin 14,43^\circ (2/200 \times 10^9)/1,4 = 1,89\text{MN/m}^2$$

(b) Dayanma yükünü hesaplayınız.

$$F_o = s_0 b \gamma \pi \cos \psi m = (100 \times 10^6)(0,02)(0,166)\pi \cos 43^\circ(0,001) = 737\text{N}$$

$N_f = 215$  dan  $y = 0,166$  bulunur.

(c) Dinamik yükün 737N u geçmemesi arzu edilir.

$$F_d = F + \frac{21(39,8)(119,000 \times 0,02 \cos^2 45^\circ + F) \cos 45^\circ}{21(39,8) + \sqrt{119,000 \times 0,02 \cos^2 45^\circ + F}}$$

$$C = 119\text{kN/m}^2$$
 (Bölüm. 18 ve Tablo. II) ve  $V = 39,8\text{m/s}$ .

Bu ifadede  $F = 0$  koyarak,  $F_d = 808\text{N}$  elde edilirki, bu da  $F_d$  dan  
büyük.

Buckingham ifadesi, sıfır güçte dahi bu dizaynın yeterli olmadığı-



MALZEME KATSAYISI  $C_m$  İÇİN KISMİ LİSTE

Dişli Çark		Pinyon		
Malzeme	Brinell	Malzeme	Brinell	$C_m$
I	160-200	II	210-245	0,30
II	245-280	II	285-325	0,40
II	285-325	II	335-360	0,50
II	210-245	III	500	0,40
II	285-325	IV	550	0,60
III	500	IV	550	0,90
IV	500	IV	550	1,00

I = Tavlanmış çelik

III = Yağ veya suda sertleştirilmiş çelik

II = Isıl işlem görmüş çelik IV = Semente edilmiş çelik

Tecrübelerle görülmüşürki, Dökme demir dişler, yeterince mukavim olsalar bile, aşınma yönünden zayıf olacaklardır. Eğer çelik dişli aşınma şartlarını karşılayabiliyorsa yeterince mukavim olabilir.

## Çözümlü Problemler

1. Dökme demirden mamul bir dişlide, bölüm dairesi çapı,  $D_p$ , 600mm dir. Piç açısı ise,  $\alpha=30^\circ$  dir. Modül 2,5 dur.  $F_o$  ı tayin ediniz. Dişlilere ait kavrama açısı  $20^\circ$  dir.

Çözüm:  $F_o = ms_o b y \pi \left( \frac{L-b}{L} \right) = (0,0025)(55 \times 10^6)(0,2)(0,149)\pi \left( \frac{0,6-0,2}{0,6} \right) = 8,58 \text{kN}$

$s_o = 55 \text{ MN/m}^2$  dökme demir için  $L = D/(2 \sin 30^\circ) = 600 \text{ mm}$ ,  $b = L/3 = 200 \text{ mm}$

$$y = 0,149 \left( N_f = \frac{N}{\cos \alpha} = \frac{600/2,5}{\cos 30^\circ} = 277 \right) \text{ diş den}$$

2. İki çelik konik dişli, 250 lik brinell sertliğine sahip olarak,  $90^\circ$  lik millerde irtibatı sağlamaktadır. Kavrama açısı  $144^\circ$ , ve modül 4 tür. Pinyondaki diş sayısı 30 ve dişli çarktaki ise 48 dir. Alın eni 40mm ise,  $F_w$  aşınma yükünü hesaplayınız.

Çözüm:  $F_w = \frac{0,75 D_p b K Q}{\cos \alpha} = \frac{(0,75)(0,120)(0,04)(673,000)(1,44)}{0,848} = 4114 \text{ N}$

$$D_p = m \times N_p = 4 \times 30 = 120 \text{ mm}, D_g = m \times N_g = 4 \times 48 = 192 \text{ mm}$$

250 BHN için,  $K = 673 \text{ kN/m}^2$  (Bölüm 18, Tablo. III).

$$Q = \frac{2N_f(\text{dişli})}{N_f(\text{Pinyon}) + N_f(\text{dişli})} = \frac{2(90,6)}{35,4 + 90,6} = 1,44$$

$$N_f(\text{dişli}) = \frac{N_g}{\cos \alpha (\text{dişli})} = \frac{48}{0,53} = 90,6 \quad N_f(\text{pinyon}) = \frac{N_p}{\cos \alpha \text{ pinyon}} = \frac{30}{0,848} = 35,4$$

$$\cos \alpha (\text{dişli}) = \frac{R_p}{L} = \frac{60}{113,2} = 0,53, \cos \alpha (\text{pinyon}) = \frac{R_g}{L} = \frac{96}{113,2} = 0,84, L = \sqrt{R_p^2 + R_g^2} = 113,2 \text{ mm}$$

3. Dökme demirden mamul iki dişli  $4,5 \text{ m/sn}$  lik bölüm dairesi çizgisel hızında  $2 \text{ kW}$  aktarmaktadır. Dişlilerde alın eni  $20 \text{ mm}$  dir.  $F_d$  dinamik yükünü hesaplayınız. Dişliler hassas olarak işlenmiş olup, kavrama açısı  $144^\circ$  dir.

Çözüm:

$$F_d = F + \frac{21V(Cb + F)}{21V + \sqrt{Cb + F}} = 444 + \frac{21 \times 4,5(55,000 \times 0,02 + 444)}{21 \times 4,5 + \sqrt{55,000 \times 0,02 + 444}} = 1535 \text{ N}$$

$$F = \text{Güç } / V = 2000/4,5 = 444 \text{ N}$$

$C = 55 \text{ kN/m}$  (Hassas işlenmiş dişlilerde, düz dişlilerde olduğu gibi, Bölüm 18, Tablo III)

4. Dökme demirden mamul iki dişli, 80mm ve 100mm lik çaplara haizdirler. Pinyonun 1100d/dk sında  $2,5 \text{ kW}$  lik güç aktarılmaktadır. Diş profilleri  $144^\circ$  kavrama açısına sahip olup,  $s_o = 55 \text{ MN/m}^2$  alınabilir.
- $b$  enini ve Lewis ifadesiyle mukavemet düşünülperek,  $m$  modülünü hesaplayınız.
  - Dinamik yük ve aşınma açısından dizaynı kontrol ediniz.  $C = 110 \text{ kN/m}$ .

Çözüm:

Pinyon ve dişli aynı malzemeden mamul olduklarıdan pinyon daha zayıftır.

- (a) Mukavemet düşünülperek yapılan dizayn,

$$\frac{1}{my} = \frac{s_b \pi}{F} \left( \frac{L-b}{L} \right) = \frac{(31,1 \times 10^6)(0,022)\pi}{597} \left( \frac{64-22}{64} \right) = 2363$$

$$s = s_o \left( \frac{6}{6+V} \right) = 55 \times 10^6 \left( \frac{6}{6+4,61} \right) = 31,1 \text{ MN/m}^2, V = \frac{0,08}{2} \left( \frac{1100 \times 2\pi}{60} \right) = 4,61 \text{ m/s}$$

$$b = L/3 = 64/3 = 21,3 \quad 22 \text{ mm kabul edelim. } L = \sqrt{R_p^2 + R_g^2} = \sqrt{80^2 + 100^2} = 128,1 \text{ mm}$$

$$F = \text{Güç } / V = 2750/4,61 = 597 \text{ N}$$

Sonra, eğer  $y \approx 0,1$  ve  $\frac{1}{my} = 2363$ , olduğu zaman,  $m = 4,23 \text{ mm}$  olur.

$m = 4$  alıp,  $N_p = 80/4 = 20, N_f(\text{pinyon}) = 20/\cos \alpha_p = 20/0,781 = 25,6$  (esdeğer dişler  $y = 0,098$ )

$$\text{Şimdi, } \frac{1}{my} = 1/(0,004 \times 0,098) = 2551 \text{ (çok zayıftır, zira } 2551 > 2363)$$

Şimdide,  $m = 5$  i deneyelim.  $N_p = 80/5 = 16, N_f(\text{pinyon}) = 16/\cos \alpha_p = 20,5, N_g = 100/5 = 20, N_f(\text{dişli}) = 20/\cos \alpha_g = 20/0,625 = 32, y = 0,091$ . 20,5 diş için

$$\text{Böylece, } \frac{1}{my} = \frac{1}{(0,005)(0,091)} = 2198 \text{ (yeterlidir. zira } 2198 < 2363)$$

- (b)  $m = 5$  i kullanarak, aşınma ve dinamik etkiler için kontrol yapalım.

$$F_w = \frac{0,75 D_p b K Q}{\cos \alpha \text{ pinyon}} = \frac{(0,75)(0,08)(0,022)(1330,000)(1,22)}{0,781} = 2742 \text{ N müsaade edilen}$$

$K = 1330 \text{ kN/m}^2$  dökme demir üzerindeki dökme demir. (Bölüm 18, Tablo. III)

$$Q = \frac{2N_f(\text{dişli})}{N_f(\text{pinyon}) + N_f(\text{dişli})} = \frac{2 \times 32}{32 + 20,5} = 1,22$$

$$F_o = s_b b y \pi \left( \frac{L-b}{L} \right) m = (55 \times 10^6)(0,022)(0,091)\pi(0,005) \left( \frac{64-22}{64} \right) = 1135 \text{ N}$$

$F_o$  ye  $F_w$  nin  $F_d$  d ye eşit veya ondan büyük olması gereklidir.

$$F_d = F + \frac{21V(Cb + F)}{21V + \sqrt{Cb + F}} = 597 + \frac{21 \times 4,61(110,000 \times 0,022 + 597)}{21 \times 4,61 + \sqrt{110,000 \times 0,022 + 597}} = 2522 \text{ N}$$

Aşınma açısından, dizayn yeterlidir. Fakat dinamik yük dayanma yükünden daha büyuktur.

Dayanma yükünü en azından 2522N a yükseltmek için, pinyon için daha iyi malzemenin kullanılması gereklidir.

5. Bir çift konik dişli 9kW aktarması istenmektedir. Gerekli modülü ve dişli çaplarını aşağıdaki özellikler kullanarak hesaplayınız.

Pinyon	Dişli
Diş sayısı	21
Malzeme	Çelik
$s_o$	$85 \text{ MN/m}^2$
Brinel sertliği	200
Hız	1200d/dk
Diş profili	Aynı

Çözüm:

- (a) Lewis ifadesi kullanılarak, mukavemet açısından dizayn yapılacak olursa;

Önce, eş çalışan dişlilerden hangisinin zayıf olduğunu tayin edelim. Dişlilerin mukavemeti,  $s_o$  ve  $y$  nin çarpımının bir fonksiyonudur.

$$N_f = \frac{60\sqrt{21^2 + 60^2}}{21} = 182, y = 0.120. (\text{Dişli çark})$$

$$\text{Pinyon için, } N_f = \frac{21\sqrt{21^2 + 60^2}}{60} = 22.2, y = 0.093.$$

$$s_{oy} (\text{Dişli çark}) = 55 \times 10^6 (0.12) = 6.6 \times 10^6, s_{oy} (\text{pinyon}) = 85 \times 10^6 (0.093) = 7.9 \times 10^6$$

Dizayn, zayıf olan dişli için gerçekleştiriniz. Çaplar bilinmediğinden Lewis ifadesinin aşağıdaki şeklini kullanacağınız.

$$s_{\text{hakiki}} = \frac{2M_t}{m^2 b \pi y N} \left( \frac{L}{L - b} \right) < s_{\text{müsaade edilen}}$$

$$M_t = \frac{9000 \times 60}{420 \times 2\pi} = 205 \text{ Nm dişli çark, ve } L = \frac{m}{2} \sqrt{N_p^2 + N_d^2} = \frac{m}{2} \sqrt{21^2 + 60^2} = 31.8(m)$$

$$b = \frac{L}{3} = 10.6(m) \text{ alalım ve } \frac{L}{L - b} = \frac{3}{2}. \text{ Sonrada, } s = \frac{2 \times 205}{(10.6)(\pi)(0.12)(60)} \left( \frac{3}{2} \right) \frac{1}{m^3} = \frac{2.56}{m^3}$$

Hız faktörünü, yaklaşık olarak 0,5 alalım.

$$s_{\text{müsaade edilen}} \approx \frac{1}{2} (55 \times 10^6) = 27.5 \text{ MN/m}^2, m = 4.53 \text{ mm}$$

$$m = 5 \text{ i alalım. Sonra, } D_p = 300 \text{ mm, } V = \left( \frac{0.3}{2} \right) \left( \frac{420 \times 2\pi}{60} \right) = 6.60 \text{ m/s}$$

$$\text{müsaade edilen} = 55 \times 10^6 \left( \frac{6}{6+6.6} \right) = 26.2 \text{ MN/m}^2, s_{\text{hakiki}} = \frac{2.56}{(0.005)^3} = 20.5 \text{ MN/m}^2$$

$m = 5$  böylece yeterli olabilir.  $b = 10.6 \times 5 = 53 \text{ mm}$ .

(b) Sınma ve dinamik etkileri düşünerek kontrol yapılacak olursa,

$$F_w = 0.75 D_p b K Q / \cos \alpha = \frac{(0.75)(0.105)(600,000)(1.78)(0.053)}{0.944} = 4722 \text{ N}$$

$$Q = (2)(182)/(22.2 + 182) = 1.78, D_p = 21 \times 5 = 105 \text{ mm}, \cos \alpha_p = \frac{N_d}{\sqrt{N_p^2 + N_d^2}} = 0.944, \text{ ve}$$

$K = 600 \text{ kN/m}^2$  dökme demir dişli çark için ve 200BHN deki pinyonla,

$$(\text{Tablo III, Bölüm. 8}) \quad F_o = m_s b y \pi \left( \frac{L - b}{L} \right) = (0.005)(55 \times 10^6)(0.053)(0.12)\pi(2/3) = 3663 \text{ N}$$

$$F_d = F + \frac{21V(C_b + F)}{21V + \sqrt{C_b + F}} = 1364 + \frac{21 \times 6.6(76,000 \times 0.053 + 1364)}{21 \times 6.6 + \sqrt{76,000 \times 0.053 + 1364}} = 4889 \text{ N}$$

$$F = \frac{9000}{6.6} = 1364 \text{ N}$$

ve  $C = 76 \text{ kN/m}$  (Tablo II, Bölüm 18)

$F_w > F_d$ , olduğundan, dizayn aşınma için yeterlidir. Fakat,  $F_o$  in  $F_d$  ye eşit oluncaya kadar artırılmalıdır. Bu da daha iyi malzeme veya modülü artırmakla sağlanabilir.

6. 5. Problemi,  $m=5$  alarak AGMA'nın tavsiye ettiği işlemelere göre kontrol ediniz.

Çözüm:

(a) Mukavemet için yapılacak dizayndan güç değeri, 5. Problemde elde edilen değerleri için, AGMA ifadeleriyle elde edilebilir.

$$\text{Güç} = \frac{msnD_p b y \pi (L - 0.5b)}{191,000L} \left( \frac{5.6}{5.6 + \sqrt{V}} \right)$$

$$= \frac{(0.005)(55 \times 10^6)(1200)(0.105)(0.053)(0.12)\pi}{191,000} \left( \frac{159 - 26.5}{159} \right) \left( \frac{5.6}{5.6 + 2.57} \right) = 20.7 \text{ kW}$$

(b) Dayanıklılık için, AGMA güç değeri,

$$\text{Güç} = 0.8(C_m C_B b) = (0.8)(0.3)(875)(0.053) = 11.12 \text{ kW}$$

$$C_m = 0.3, C_B = \frac{D_p^{1.5} n}{0.032} \left( \frac{5.6}{5.6 + \sqrt{V}} \right) = \frac{(0.105)^{1.5}(1200)}{0.032} \left( \frac{5.6}{5.6 + 2.57} \right) = 875$$

Yukarıdaki ifade, 5 değerindeki modül, ve 0,053mm lik alın eni, AGMA ya göre, 9kW için istenenden daha emindir.

7. 144° lik kavrama açısına sahip iki çelik konik dişli, pinyonun 1250 d/dk da dönmesiyle 20kW aktarmak için kullanılacaktır. Pinyon için,  $s_o = 175 \text{ MN/m}^2$  ve  $N = 23$  dişli çark için  $s_o = 140 \text{ MN/m}^2$  ve  $N = 32$ . Modül 6 ve alın eni 40mm dir. AGMA dayanıklılık tavsiyelerini karşılayabilmek için, gerekli brinel sertliği ne kadar olacaktır.

Çözüm:

Gerekli malzeme,  $C_m$  in bir fonksiyonudur.

$$C_m = \frac{\text{Güç}}{0.8C_B b} = \frac{20}{(0.8)(1304)(0.04)} = 0.4793 \text{ (İhtiyaç duyulan)}$$

$$C_B = \left( \frac{D_p^{1.5} n}{0.032} \right) \left( \frac{5.6}{5.6 + \sqrt{V}} \right) = \frac{(0.138)^{1.5}(1250)}{0.032} \left( \frac{5.6}{5.6 + 3} \right) = 1304,$$

$$D_p = 23 \times 6 = 138 \text{ mm ve } V = \frac{0.138}{2} \left( \frac{1250 \times 2\pi}{60} \right) = 9.03 \text{ m/s}$$

Bu malzemeyle, dişli için brinell sertliğinin 285 ve pinyon için, 335 olduğu görülmektedir. Bu değerler, Sayfa 244'deki tabloda görülecek,  $C_m = 0.5$  lik malzeme katsayısına tekabül etmektedir.

8. 144° lik kavrama açısına sahip iki çelik konik dişli, transmisyon oranı, 3 olmak şartıyla 15kW lik güç aktaracaktır. Pinyonun dönüş hızı 1800d/dk da dönmektedir. Malzeme katsayısını 0,4 olarak elde etmek için, dişlilerin sertleştirileceğini bildirilmektedir. AGMA dayanıklılık ifadesiyle, mümkün olabilecek minimum pinyon çapını tayin ediniz.

Çözüm :

$$\text{Güç} = 0.8(C_m C_B b) = (0.8)(0.4) \left( \frac{D_p^{1.5}(1800)}{0.032} (V.F.) (0.527 D_p) \right) = 15$$

$$b = \frac{L}{3} = \frac{D_p}{6} \sqrt{1 + D_s^2/D_p^2} = \frac{D_p}{6} \sqrt{1 + 3^2} = 0.527 D_p,$$

V.H.K (hız katsayısı)ni 0,5 olarak kabul edip,  $D_p \approx 100\text{mm}$  için çözümü gerçekleştirebiliriz. Sonra,  $V = \frac{0,1}{2} \left( \frac{1800 \times 2\pi}{60} \right) = 9,43\text{m/s}$ , ve  $V.F. = \left( \frac{5,6}{5,6+3,07} \right) = 0,646$  olur. Daha önce 0,5 kabul edilmiştir. Böylece emniyetli tarafta sayılabilir.

## Tamamlayıcı Problemler

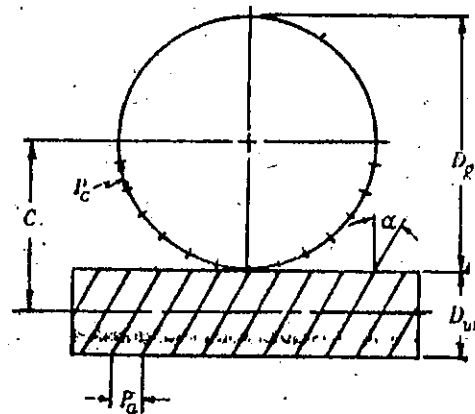
9. Dökme demirden mamul ( $s_o = 100\text{MN/m}^2$ ) konik dişli çarkı pinyonu 225mm çapında olup, piç açısı  $30^\circ$  dir. Modül 4 dür. Dişli çark 600d/dk da aktarımaktadır. Mukavemet düşünülverek, AGMA tavsiyelerini kullanarak, aktarılacak güç miktarını hesaplayınız. Ayrıca  $F_o$  yükündede tayin ediniz. Kavrama açısı  $14^\circ$  dir. Cev. AGMA ya göre 48,1kW,  $F_o = 6911\text{N}$
10. İki çelik konik dişli aralarındaki  $90^\circ$  lik açı bulunan iki mil arasında irtibatı sağlamaktadır. Pinyona ait brinell sertliği 300 ve dişli çarka ait değer ise 200 dür. Modül 3 ve kavrama açısı  $14^\circ$  dir. Pinyonda diş sayısı 40 ve çarktaki diş sayısı ise 64 dür. Alın eni 40mm ise, aşınma yükünü,  $F_w$  hesaplayınız. Cev.  $F_w = 2476\text{N}$
11. Aralarında  $90^\circ$  lik açı bulunan iki konik dişli dökme demirden mamul olup, 1350N luk teğetsel kuvveti aktarmaktadır. Kavrama açısı  $20^\circ$ , dişliler hassas olarak işlenmişlerde işlenmedeki hatalanın  $0,02\text{mm}$  olduğu bildirilmektedir. Bölüm dairesine ait çizgisel hız  $3\text{m/s}$  ve alın eni 50mm dir.  $F_d$ , dinamik yükünü hesaplayınız. Cev.  $F_d = 4372\text{N}$
12. Bir hız düşürücü, sertleştirilmiş alaşımı çelikten mamul iki konik dişliden oluşmaktadır. Transmisyon oranı 5 den 1 e dir. Pinyon 40kW aktarırken 900d/dk da aktarımaktadır. Pinyon çapı 115mm ve kavrama açısı  $20^\circ$  dir. Lewis ifadesini kullanarak, alın enini ve modülü hesaplayınız.  $s_o = 200\text{MN/m}^2$ , her iki dişli için. Aşınmayı önlemek için brinell sertliği, dişliler için ne olabilir? Cev.  $m = 2,5\text{mm}$ ,  $b = 100\text{mm}$ , ortalama BHN = 253,  $F_w = F_d = 15,9\text{kN}$
13. Aralarında dik açı bulunan iki mil, kavrama açısı  $20^\circ$  olan iki konik dişliyi irtibatlayacaktır. Hız oranı 4,5 dan 1 e dir. Pinyon malzeme içinde,  $s_o = 100\text{MN/m}^2$  ve dişli çarkta ise  $85\text{MN/m}^2$  dir. Pinyon 900d/dk da 4kW aktarımaktadır. Minimum çapları, modülü, ve alın enini hesaplayınız. Sadece mukavemet düşünülecektir. Malzeme katsayıısını 0,4 olarak aşınma için minimum çapın ne olacağını, AGMA dayanıklılık ifadesini kullanarak bulunuz. Cev. Mukavemet için,  $m = 3$ ,  $D_p = 48\text{mm}$ ,  $D_g = 216\text{mm}$ ,  $b = 36,9\text{mm}$  (35mm kullanınız), Aşınma için,  $D_p = 65\text{mm}$
14. Aralarında  $90^\circ$  lik açı bulunan bir çift düz dişli çark 1200d/dk da, 1,5kW aktarımaktadır. Pinyon çapı 75mm ve hız oranı 3,5 dan 1 e dir. Kavrama açısı  $14^\circ$  dir. Pinyon ve dişli çark, dökme demirden mamul dür. ( $55\text{MN/m}^2$ ). Modülü ve alın enini, sadece mukavemeti düşünerek hesaplayınız. Lewis ifadesini kullanınız. Cev.  $m = 1$ ,  $b = 45,5\text{mm}$  (45mm yi kullanınız).
15. Bir çift, düz dişlere sahip konik dişli takımında kavrama açısı  $20^\circ$  dir. Dişliler SAE 1030 malzemeden imal edilmiştir. Pinyonun 100d/dk da aktarımı 6kW lik güç birbirine dik konik dişliler arasında aktarımaktadır. Hız oranı 5:3 dür. Pinyon çapı 150mm ise, kullanılması gereken max. diş sayısı ne kadar olmalıdır? AGMA'nın tavsiyelerine uyarak, mukavemet için hesaplama yapınız. AGMA aşınma kriterine göre, ne kadar güç aktarılabilir? Dişliler 225 brinell sertliğine kadar ıslı işlem görmüşlerdir.  $C_m = 0,3$  ü alınız. Cev.  $N_p = 75$ ,  $N_g = 125$ , 1,7kW

# 21

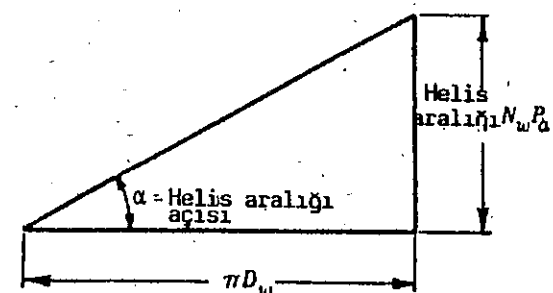
## Sonsuz Vidalar

**SONSUZ VIDALI DIŞLI ÇARKLAR**, kesişmeyen veya çok nadir olarak kesişen millerde yüksek hız oranlarıyla güç aktarımında kullanılırlar. Sonsuz vida düzende, sonsuz vida açılmış bir dişliyle, eş çalışacak başka bir dişli bulunmaktadır. Eş çalıştığı dişliye çoğu zaman sonsuz vida çarkı denilir. (Şekil. 21-1) Sonsuz vidanın eksenel piç (eksenel taksimatı), çarkın dairesel piçine (taksimatına) eşittir. Helis aralığı, beher dönüşde, eksen boyunca sonsuz vida helis ilerlemesi mesafesi olarak tanımlanabilir.

Sonsuz vida dişini bir dönüş için ele alıp açacak olursak, tabanı bölüm dairesi çevresine eşit, yüksekliği sonsuz vida helis aralığına eşit bir dik üçgen ortaya çıkar. (Şekil. 21-2) helis aralığı.



Şekil. 21-1



Şekil. 21-2

Aşağıdakiler bağıntılar yazılabilir.

$$\tan \alpha = \frac{\text{helis aralığı}}{\pi D_w} = \frac{P_c N_w}{\pi D_w} = \frac{m_a N_w}{D_w} \quad \text{ve} \quad \frac{n_p}{n_g} = \frac{N_g}{N_w} = \frac{D_g}{D_w \tan \alpha}$$

$n$ , dönüş hızı,  $N_w$  sonsuz vidadaki çıkış sayısı ve  $n_g$ , eksenel modüldür.  $g$ , indisi, sonsuz vida çarkına ve  $w$  da sonsuz vida için kullanılmıştır.

**MUKAVEMETLİ DİZAYN**, sonsuz vida çarkı için, Lewis ifadesi kullanılarak sağlanabilir.

$$F_N = \text{Müsaade edilen teğetsel yük}, s \text{MN/m}^2 = \text{Müsaade edilen gerilme} = s_o \left( \frac{6}{6 + V_g} \right)$$

$s_o(\text{MN/m}^2)$  = Kopma mukavemetinin üçte biri kadar, gerilme konsantrasyonunun ortalama değerine bağlı olarak,

$V_g(\text{m/s})$  = Dişlinin bölüm dairesine ait çizgisel hızı,

$P_{nc}$  = Normal dairesel taksimat (dairesel piç),

$m_n$  = Normal modül

DİNAMİK YÜK,  $F_d$ , sonsuz vida çarkında,

$$F_d = \left( \frac{6+1}{6} \right) F$$

ile hesaplanabilir.

$F$  = Aktarılan hakiki teğetsel yük,

DAYANMA YÜKÜ,  $F_o$ , dişli çark için, Lewis ifadesine bağlı olarak,

$$F_o = s_0 b \gamma m_n$$

AŞINMA YÜKÜ,  $F_w$ , sonsuz vida çarkı için,

$$F_w = D_g b B$$

$D_g$  = Dişli çarktaki bölüm dairesi çapı, m

$b$  = Dişli çark eni, m

$B$  = Sonsuz vida ve çark kombinasyonuna bağlı olarak seçilecek bir katsayı, aşağıdaki listede olduğu üzere,

Sonsuz vida	Sonsuz vida çarkı	$B(kN/m^2)$
Sertleştirilmiş çelik	Dökme demir	345
Çelik, 250 BHN	Fosforlu bronz	415
Sertleştirilmiş çelik	Fosforlu bronz	550
Sertleştirilmiş çelik	Birden soğutulmuş fosforlu bronz	830
Sertleştirilmiş çelik	Antimuanlı bronz	830
Dökme demir	Fosforlu bronz	1035

Yukarıdaki değerler,  $10^\circ$  helis aralığı açısı değerine kadar uygundur.  $10^\circ$  ile  $25^\circ$  arasında,  $B$  için %25 artış  $25^\circ$  den büyük açılar için, %50 lik artışlar kullanılmalıdır.

Düz dişlilerde, helis dişlilerde ve konik dişlilerde olduğu gibi, müsaade edilen  $F_o$  ve  $F_w$  değerleri  $F_d$  dinamik yükünü geçmemelidir.

AGMA GÜC İFADELERİ, aşınma ve yayılan ısı kapasitesine bağlı kalmaktadır. Aşınma ele alınarak

$$P = \frac{n}{R} K Q v \quad (\text{Aşınma kontrolü})$$

$P$  = Giriş gücü, kW

$n$  = Sonsuz vidanın dönüş hızı, d/dk

$R$  = Transmisyon oranı,  $= n_w/n_g$

$K$  = Eksenler arası mesafeye bağlı olmak üzere, basınç katsayısı, aşağıda listede verilmiştir.

$$Q = R/(R+2.5)$$

$v$  = Eksenler arası mesafeye, transmisyon oranına, sonsuz vida hızına bağlı olmak üzere bir katsayı, aşağıdaki şekilde hesaplanabilir.

$$v = \frac{2.3}{2.3 + V_w + 3V_w/R}$$

$V_w$  = Bölüm dairesi çizgisel hızı, m/sn

Eksenler Arası $C(\text{mm})$	$\left( \frac{K}{\text{kw}} \right)$ d/dk
25	0,0092
50	0,0184
75	0,0294
100	0,0461
125	0,125
150	0,213
175	0,330
200	0,485
225	0,727

Eksenler Arası $C(\text{mm})$	$\left( \frac{K}{\text{kw}} \right)$ d/dk
250	0,881
375	2,94
500	5,87
750	21,3
1000	48,5
1250	88,1
1500	147
1750	235
2000	235

AGMA tavsiyelerine göre, aşağıdaki dizayn ifadeleri verilebilir.

$$D_w \approx \frac{C^{0.875}}{3.48} \approx 3P_c, \quad b \approx 0.73 \times \text{Sonsuz vida bölüm dairesi çapı } L \approx P_c \left( 4.5 + \frac{N_f}{50} \right)$$

$D_w$  = Bölüm dairesi çapı, m

$C$  = Sonsuz vida eksenile, çarkı arasındaki mesafe, m

$b$  = Dişli çarkın eni, m

$P_c$  = Dişli çarkın bölüm dairesi çapı, m

$L$  = Sonsuz vidada eksenel boy, m

Yukarıdaki ifadeler, yaklaşık olmak üzere uygun bir dişli düzene tayininde kullanılabilir.

AGMA tavsiyelerine uyarak, 200d/dk ya kadar hızlara sahip sonsuz vida çarkları için, ısı dağılımı açısından, sonsuz vida çarkı düzeninin sınırlandırılmış giriş gücü,

$$P = \frac{3650 C^{1.7}}{R+5} \quad (\text{ısı kontrolü})$$

$P$  = Müsaade edilen giriş gücü, kW

$C$  = Eksenler arası mesafe, m

$R$  = Transmisyon oranı,

Kare kesitli dişler düşünülerek, sonsuz vida çarkına ait düzende, verim.

$$\text{Verim} = \frac{1 - f \tan \alpha}{1 + f \tan \alpha}$$

$f$  = Sürtünme katsayısı

$\alpha$  = Helis aralığı açısı

Eğer verim %50 den daha düşükse düzenin otoblokajlı olduğunu gösterir. Bu da çarka tork tatbik edilerek, döndürülemez anlamına gelmektedir. Bu karakteristik, bazı kullanım alanlarında faydalı emniyetli bir özellik olabilir.

## Çözümlü Problemler

İ. Üç ağızlı sonsuz vidada bölüm dairesi çapı 100mm ve eksenel pitch (eksenel taksimat) 20mm dir. Helis açısını hesaplayınız.

**Cözüm:**

$$\tan \alpha = \frac{\text{helis aralığı}}{\pi D_w} = \frac{(0,02)(3)}{\pi(0,1)} = 0,191, \quad \alpha = 10,81^\circ$$

2. Sonsuz vidalı bir hız düşürücü ünitesinde eksenler arası mesafenin 400mm olduğu söylenmektedir. AGMA tavsiyelerine uyarak, sonsuz vidaya ait çapı ne olabilir? Ayrıca sonsuz vidaya ait bölüm dairesi çapını da hesaplayınız.

**Çözüm:**

$$D_w \approx \frac{C^{0,875}}{3,48} = \frac{0,4^{0,875}}{3,48} = 0,129\text{m} = 3P_c. \text{ Sonra, } P_c = P_d = 0,043\text{m}; 45\text{mm yi kullanınız.}$$

3. Sonsuz vidalı bir hız düşürücüde eksenler arası mesafenin 250mm olduğu bilinmektedir. Transmisyon oranı 14 dir. Mukavemet ve aşınma değerleri aşılmamak şartıyla dişlide aşırı aşınma düşünülmeksiz, giriş gücünü hesaplayınız.

**Çözüm:** Isı dağılımı açısından, müsaade edilen giriş gücü değeri =

$$\frac{3650C^{1,7}}{R+5} = \frac{3650(0,25)^{1,7}}{14+5} = 18,2\text{kW}$$

4. Sertleştirilmiş çelikten mamul sonsuz vida ile 20 kavrama açısına sahip fosforlu bronzdan mamul bir sonsuz vida çarkından oluşan bir hız düşürücü ünitede transmisyon oranı 40:1 dir. Eksenler arası mesafe 300mm dir. Sonsuz vidanın dönüş hızı 1500d/dk ve çapı 125mm dir. Aşınma düşününlerek, AGMA ya göre emniyetli giriş gücü ne olabilir?

**Çözüm:**  $P = \frac{n}{R} K Q m = 10,8\text{kW}$

$n = 1500 \text{ d/dk}, R = 40, K = 1,71 \text{ (interpolasyon ile)}$

$Q = R/(R+2,5) = 0,94$

$y = \frac{2,3}{2,3 + V_w + 3V_w/R} = 0,179, \text{ ve } V_w = \text{sonsuz vida bölüm dairesi çizgisel hızı}$ 
 $= \left(\frac{0,125}{2}\right) \left(\frac{1500 \times 2\pi}{60}\right) = 9,82\text{m/s}$

5. Sertleştirilmiş çelikten mamul sonsuz vida ile 20° kavrama açısına sahip fosforlu bronzdan mamul bir sonsuz vida çarkından oluşan bir hız düşürücü ünite için, giriş gücü kapasitesiyle, dizaynı tamamlayınız. C mesafesi, 200mm, R transmisyon oranı 10 ve sonsuz vida hızı 1750 d/dk dir.

**Çözüm:**

(a)  $D_w, D_g, m_a, N_w, N_g, \alpha, b$ , ve  $L$  i tayin ediniz.

$D_w \approx C^{0,875}/3,48 = 0,0703\text{m}. \text{ Eksenel modül } m_a = 3\pi/D_w = 7,45\text{mm} m_a = 8\text{mm yi kullanınız. } D_g = 2C - D_w = 2 \times 200 - 70,3 = 330\text{mm} D_w \text{ birinci tayinine göre,}$

Şimdi,  $N_g/N_w = 10 = D_g/m_a N_w$ . Sonra,  $N_w$  nin çeşitli değerleri için,  $D_g$  nin hakiki değeri tayin edilebilir.

$N_w$	1	2	3	4	5
$D_g$ mm	80	160	240	320	400

Böylece, çarkın çapı 320mm olarak alınabilir. (330'a yakın) ve sonsuz vida çapı neticede  $2C - D_g = 80\text{mm}$  olacaktır. Bu değerler istenen değerlere yakın değerlerdir.

$\text{Sonsuz vida 4. ağızlı diş olacağı için, } \tan \alpha = \frac{m_a N_w}{D_w} = \frac{8 \times 4}{80} = 0,4, \alpha = 21,8^\circ$

Alın eni;  $b = 0,73D_w = (0,73)(80) = 58,4\text{mm}$  60nm yi kullanınız.

(b) Dişli çarkın kapasitesini aşağıdaki şekilde tayin edebiliriz.

$F = sb\gamma\pi m_a = 8765\text{N} \text{ (aktarılan emniyetli yük)}$

$s_0 = 55\text{MN/m}^2 \text{ fosforlu bronz için } V_g = \frac{0,32}{2} \left(\frac{175 \times 2\pi}{60}\right) = 2,93\text{m/s} s = s_0 \left(\frac{6}{6 + V_g}\right)$

$= 37\text{MN/m}^2, \phi = 20^\circ \text{ ve } N_g = 10N_w = 40 \text{ y = 0,146 elde edilir. (Böl. 18, Tablo I'den)}$

$\text{ve } m_a = \frac{m_a}{\cos \alpha \cos 21,8} = 8,62$

Aktarılan yük,  $F$  için,  $F = 8765\text{N}$ , dinamik yük yaklaşık olarak

$\left(\frac{6 + V_g}{6}\right) F \approx 13,05\text{kN} \text{ bulunur. Mamafih müsaade edilen aşınma yükü,}$

$F_w = D_g b B = 13,2\text{kN}$  dir.  $B = (12,5)(550)\text{kn/m}^2$  dir. Bu değerler sertleştirilmiş çelik ve fosforlu bronz içindir. Ayrıca helis aralığı açısı  $10^\circ$  ve  $25^\circ$  dir. Dinamik yük, müsaade edilen aşınma yükünü aşmadığından, yukarıda hesaplanan emniyetli yük geçerli olur. Böylece, müsaade edilen güç, dişlideki dişin mukavemeti ve aşınma açısından,  $FV_g = (8765)(2,93) = 25,7\text{kW}$

(c) Aşınma için AGMA formüllerine göre, ünitenin giriş gücü,

$P = \frac{n}{R} K Q m = 13,2\text{kW}$

$n = 1750\text{d/dk}, R = 10, K = 0,485 \text{ (tablodan, } C = 200\text{mm için) } Q = R/(R+2,5) = 0,8$ 
 $V_w = \frac{2,3}{2,3 + V_w + 3V_w/R} \text{ buradaki, } V_w = \frac{0,08}{2} \left(\frac{1750 \times 2\pi}{60}\right) = 7,33\text{m/s.}$

(d) Isı dağılımı açısından giriş gücü istenecek olursa,

$P = \frac{3650C^{1,7}}{R+5} = \frac{3650(0,25)^{1,7}}{15} = 15,8\text{kW}$

Yukarıdaki analizle, giriş gücünün 13,2kW la sınırlandığı görülmektedir. Tabii bu sınırlamada AGMA tavsiyelerine göre belirlenmektedir.

6. Bir hız düşürücü ünitede transmisyon oranı 27 olmak şartıyla giriş gücü  $3/4\text{kW}$  dir. Sertleştirilmiş çelikten mamul sonsuz vidada dönüş hızı 1750d/dk dir. Sonsuz vida çarkı fosforlu bronzdan mamuldür. Kavrama açısı  $14\frac{1}{2}^\circ$  dir. Mukavemet ve aşınma açısından çıkış boyutlarını tayin ediniz. AGMA nin aşınma ve ısı dağılım kriterlerini düşünerken, dizaynı kontrol ediniz.

**Çözüm:**

(a) Başlangıçta eksenler arasını denemek için seçeceğiz. Daha önceki tecrübelerimize göre, eksenler arası mesafeyi 100mm olarak alalım.

$D_w = C^{0,875}/3,48 = 38,3\text{mm}$

$P_c = m_a \pi = D_w/3, m_a = 0,00407,4\text{mm diyelim.}$

$D_g = 2C - D_w = 162\text{mm. Bunlar arzulanan oranlardır.}$

$R = N_g/N_w = 27 = D_g/m_a N_w, D_g = 108N_w$

$N_w = 1.$  için,  $D_g = 108\text{mm}$ , gerekli çapтан oldukça farklı bir değerdir ve ters orantılı olmak üzere büyük  $D_w$  değerleri verir.

$N_w = 2.$  için,  $D_g = 216\text{mm}$  bulunur ki bu da,  $(D_g + D_w)$  den dolayı çok büyük olmasına rağmen  $2C$  den küçük olmalıdır.

$m_a = 3\text{mm yi alalım. Şimdi, } N_w = 2.$  için,  $N_g = 54, D_g = 162\text{mm} D_w = 38\text{mm}, P_c = D/4$ , yeterli değerler olarak kabul edilirler.

Alın eni  $b = 0,73D_w = 27,7$  30mm. alalım.

(b) Aşınma ve mukavemet açısından dizaynı kontrol edecek olursak,

$F = sb\gamma\pi m_a = 1582\text{N}$

Müsaade edilen yük,  $F = m_a = 3\text{mm}$  (üstte)  $y = 0,111$  (Form katsayısı tablodan 54,  $14\frac{1}{2}^\circ$  için)  $b = 30\text{mm}$  (üstte) ve  $s = s_0 \left(\frac{6}{6 + V_g}\right)$  dir ve  $s_0 = 55\text{MN/m}^2$

(fosforlu bronz için) ve  $V_g = \frac{D_g}{2} h_g = 0,55\text{m/s}$ . İstenilen aktarılacak yük,

$F = \text{Aktarılan güç}/V_g = 750/0,55 = 1364\text{N}$

Tahmin edilen dinamik yük  $F = \frac{6 + V_g}{6} = 1364(6,55/6) = 1489\text{N}$

Müsaade edilen aşınma yükü,  $F_w = D_g b B = (0,162)(0,03)(550,000) = 2673 \text{ N}$

Müsaade edilen aşınma yükünün, dinamik yükten büyük olmasından dolayı ve müsaade edilen aktarılan yükün, istenilen aktarılan yükten büyük olmasından dolayı, dizayn aşınma ve mukavemet açısından yeterlidir. Aslında, müsaade edilen güç,

$$FV_g = 1582 \times 0,55 = 0,87 \text{ kW}$$

(c) Aşınma için AGMA oranlarını kontrol edecek olursak,

$$\text{Giriş gücü} = \frac{n}{R} K Q m = \left( \frac{1750}{27} \right) (0,0661)(0,915)(0,373) = 1,46 \text{ kW}$$

$n = 1750 \text{ d/dk}$ ,  $R = 27$ ,  $K = 0,0661$  (Tablodan, 100mm lik eksen mesafesi için)  $Q = R/(R+2,5) = 0,915$ .

$$\nu = \frac{2,3}{2,3 + V_w + 3V_w/R} = 0,373 \quad V_w = \frac{D_w}{2} N_w = \frac{0,038}{2} \left( \frac{1750 \times 2\pi}{60} \right) = 3,48 \text{ m/s}$$

(d) Isı dağılımı için gerekli kontrolü yapınız. Müsaade edilen giriş

$$\text{gücü} = \frac{3650 C^{1,7}}{R+5} = \frac{3650(0,1)^{1,7}}{32} = 2,28 \text{ kW}$$

(e) Özet olarak, Emniyetli güç

0,87

Bağlı olacağı konu,

1,46

Dişli, dış mukavemeti ve aşınma

2,28

AGMA aşınma oranları

Isı dağılım kapasitesi

Tahminlerimize göre, Ünite 0,87kW. lik dizayn için iyi olacaktır. Daha küçük eksen mesafesi için tekrar dizayn edilebilir.

## Tamamlayıcı Problemler

7. Ç ft dişli sonsuz vidada, helis aralık açısı  $20^\circ$  dir. 30mm lik bölüm dairesi çapı için sonsuz vidanın çapı ne olabilir? Cev.  $D_w = 52,5 \text{ mm}$
8. Sonsuz vidalı bir hız düşürücüde, eksenler arası 250mm dir. Sonsuz vida çapı ve sonsuz vidanın modülü ne olabilir? AGMA tavsiyelerine uygunuz. Cev.  $D_w = 85,4 \text{ mm}$ ,  $m_a = 9 \text{ mm}$ .
9. Sonsuz vidalı bir hız düşürücüde, eksenler arası 220mm ve transmisyon oranı 20 dir. Aşırı ısınmadan korunmak için yaklaşık giriş gücü ne kadar olabilir? Cev.  $11,1 \text{ kW}$ .
10. Sertleştirilmiş sonsuz vida ve fosforlu bronzdan mamul vida çarkından oluşan bir hız düşürücü ünitede transmisyon oranı 20:1 dir. Sonsuz vidaya ait hız  $1200 \text{ d/dk}$  ve çapı  $68 \text{ mm}$  dir. AGMA aşınma ifadesine göre müsaade edilebilen yaklaşık giriş gücü değeri ne kadardır? Cev.  $7,54 \text{ kW}$ .
11. Sertleştirilmiş çelikten mamul bir sonsuz vida gücü, fosforlu bronzdan mamul bir sonsuz vida çarkına 20:1 olan bir transmisyon oraniyla aktarmaktadır. Eksenler arası 400mm dir. Eksenel modülü ve helis aralık açısını, AGMA tavsiyelerine mümkün mertebe yakın değerde bulunuz. Cev.  $m_a = 14 \text{ mm}$ ,  $\alpha = 15,6^\circ$
12. Sertleştirilmiş çelikten mamul bir sonsuz vida  $1250 \text{ d/dk}$  da dönmektedir. Adı geçen vida transmisyon oranı 15:1 olmak üzere, giriş gücünü fosforlu bronzdan mamul bir vida çarkına aktarmaktadır. Eksenler arası 220mm dir. Geri kalan dizayn değerleriyle, mukavemet, dayanıklılık ve ısı dağılımı açısından giriş gücü değerlerini hesaplayınız. Dişlerde kavrama açısı  $144^\circ$  dir. Cev.  $D_g = 360 \text{ mm}$   $D_w = 90 \text{ mm}$   $N_w = 3$   $N_g = 45$   $m_a = 8 \text{ mm}$   $b = 65 \text{ mm}$   $12,9 \text{ kW}$  (mukavemet)  $12,8 \text{ kW}$  (dayanıklılık)  $14,5 \text{ kW}$  (ısı dağılımı)

22

## Yuvarlama Elemanı Yataklar

**TANIM.** Rulmanlı yatakların kuşlanımı, uygun seçim, montaj, yağlama ve belirgin şartlar altında, yatakların fonksiyonlarını yerine getirebilmeleri için muhafaza gerektirmektedir.

Rulmanlı yatakların seçimi, imalatçı kataloglarından yapılır. Maalesef değişik imalatçının katalogları, yatak seçimi için aynı metodları kullanmamaktadır. Bu da test verilerinin ve çalışma şartlarındaki farklılıklardan doğmaktadır. Mamafih yatakların kullanımını, bu bölümde özetlendiği üzere, genel bir teoriye dayanmakta ve yapılan deneyler bazı firmalarca değişik şekilde yorumlanmaktadır.

Yatakların montajı, tavsiye edilen çeşitli metodlardan birine göre yapılmakta ve kullanılacak düzene çoğu zaman ekonomik faktörler etkili olmaktadır.

Rulmanlı yataklar aynı zamanda "anti friction" sürtünmesiz yataklar diye de adlandırılırlar. Kalın film tabakası şartları altında, rulmanlı yataklar, iyi dizayn edilmiş kaymalı yataklarla kıyas edilecek değerde olabilmektedirler. Hangi türde yatak kullanılmasının gerekliliği ne karar, yani rulmanlı veya kaymalı yatak seçiminde, aşağıdaki maddelerin biri veya birçoğuna göre verilir.

- (1) Küre veya yuvarlanma elemanlarının, yuvarlanma hareketlerinden dolayı, yüksek hareket torkuna sahip olma rulmanlı yatakları avantajlı kılar.
- (2) Rulmanlı yataklar, bilhassa yüksek devir sayılarında, kaymalı yataklar gibi sessiz çalışmazlar.
- (3) Yer kısıtlaması olduğu zaman, eksenel boyutta sınırlı ise, rulmanlı yatak tercih edilir. Radyal yöndeki boy sınırlı ise, kaymalı yatak tercih edilebilir.
- (4) Elektiriki izolasyon arzu edildiğinde, tam yağlamadaki yağ filmi izolasyonun sağlanmasına yardımcı olacaktır.
- (5) Arıza ortaya çıkacağına yakın rulmanlı yatak ikaz verir. (Sesli çalışır) Kaymalı yatakta arıza belirirse, bu ani ve daha tehlikeli olabilir.
- (6) Rulmanlı yataklar radyal ve eksenel yük kombinasyonunu rahatlıkla taşıyabilmesine rağmen elemanlı yataklarda durum değişiktir.
- (7) Daha fazla hassasiyet için, rulmanlı yataklar ön yüklemeye tabi tutulabilir. İstendiğinde, makine tezgahlarındaki sehimleri azaltmak için rulmanlı yataklara başvurulabilir.
- (8) Rulmanlı yataklardaki boşluklar kaymalı yataklara göre daha küçük olmalıdır. Zira, dişlerde olduğu gibi, diğer makine parçalarında çok hassas montaj söz konusu olabilir.
- (9) Daha sonra bakım gerektirmemesi için rulmanlı yataklara greb basılabilir. Yağ kullanılan rulmanlı yataklarda problem, kaymalı yataklara göre daha basittir. Rulmanlı yataklarda yağlama sisteminin arıza yapması vahim olmakla beraber, durum kaymalı yataklarda oldukça tehlike arz edebilir.
- (10) Rulmanlı yataklar kısa süreler içinde aşırı yükleri taşıyabilirler.

**SÜRTÜNME KATSAYISI**, Rulmanlı yataklarda, hız, yük, yağ miktarı, montaj, çalışma sıcaklığıyla değişebilir. Uygun yağlama altında, yaklaşık hesapla-

malarda ve normal çalışma şartlarında sabit katsayı kullanılabilir. Aşağıdaki listede verilen değerler (1978) SKF genel kataloından alınmıştır.

- $f = 0,0010$  Kendi kendine salgısını alabilen yataklar için (Radyal yük)
- $f = 0,0011$  Flanşlı bilezikli, silindirik elemanlı yataklar için (Radyal yük)
- $f = 0,0013$  Küresel elemanlı yataklar için (Radyal yük)
- $f = 0,0015$  Tek sıralı bilyalı yataklar için (Radyal yük)
- $f = 0,0018$  Küresel elemanlı yataklar için (Radyal yük)
- $f = 0,0018$  Konik elemanlı yataklar için

Yüksek viskositli yağların kullanılmasından dolayı sürtünme katsayısı optimum yağından daha büyütür veya yeni yataklardaki değerler listedekilerden daha büyütür. Keçe sürtünmeleri ihmal edilebilir. Deneylerle bulunan sürtünme katsayısı değerleri 0,0005 ile 0,003 arasında değişken olmak üzere, ortalama olarak, 0,001 değeri alınabilir.

Uygun olmayan montajlarda, mil ekseni ile yatak yuvası arasındaki kaçıklıklar, yatak imalatçısının tavsiyeleri dışında olacağını, aşırı sürtünme ortaya çıkabilecektir.

$$\text{Sürtünme torku, } M_s = Ff(D/2)$$

$M_s$  = sürtünme torku, Nm,  $F$  = Belirtileceği üzere radyal veya eksenel yük, N,  $f$  = sürtünme katsayısı,  $D$  = yatak deliği ait çap, m, (Pratikde sürtünme kuvveti yatak delik çapı veya mil çapına göre kullanılır).

**YATAKLARDAKI STATİK KAPASİTE**, çeşitli fiziksel boyutların yanısıra, statik yükleme şartlarına bağlıdır. Statik yük'e dönüştürülemeyen yatak statik kapasitesi dönüştürülene nazaran daha yüksek olacaktır. Çok küçük yükler yuvarlanma elemanında ve yuvalarda sürekli deformasyonlara neden olacak ve böylece sürtünme ve hasar olması bile sessiz çalışma sağlanamayacaktır.

Aynı çelikte kullanılabilen, hafif, orta ve ağır serisine ait yataklar Şekil. 22-1'de gösterilmiştir.

Yataklardaki statik kapasite üzerine Stribeck tarafından yapılan ilk çalışma, yataklardaki temel prensip olarak yıllarca kullanılmıştır. Sonraki tecrübeler ve test verileri bu çalışmaya ilaveler yapmıştır. Daha sonra Palmgren ve AFBMA (Sürtünmesiz yatak imalatçıları Birliği) tarafından çeşitli düzeltmeler, dinamik şartlara uyacak şekilde yapılmıştır. Stribeck'in yaptığı çalışmalar elan yatak hesaplamalarında esası oluşturmaktadır.

Yuvarlanma elemanlı yataklarda Stribeck'in ifadesi  $C_o$  statik kapasite için,

$$C_o = \frac{KZD^2}{5} \text{ dir. } K \text{ - eleman çapına bağlı olan bir katsayı, } Z \text{ - eleman}$$

sayısı  $D$  eleman çapı, iğneli yataklarda statik kapasite ifadesi ise,

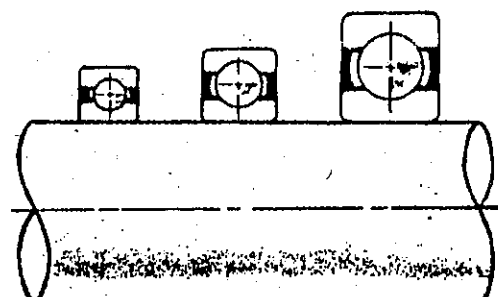
$$C_o = \frac{KZDL}{5} \quad K \text{ - sabite, } Z \text{ - eleman sayısı, } D \text{ - eleman çapı, } L \text{ - eleman boyu}$$

Radyal yataklardaki statik yük hesabında kullanılacak tanım ve veriler AFBMA standartlarından alınmıştır. SI eşdeğer birimlerine dönüşümler yazar tarafından yapılmıştır.

## I. RADYAL RULMANLI YATAKLAR İÇİN STATİK YÜK HESAPLAMA METODLARI

### A. Tanımlar

- (1) Statik yük; dönmeyen yatak üzerine etkiyen yük olarak tanımlanır.



(2) Bilya ve kanallarda makul şiddetdeki statik yük altında sürekli deformasyon çıkar ve artan yükle birlikte artar. Böylece, müsaade edilecek statik yük, sürekli müsaade edilen şiddetine bağlıdır.

Tecrübeler göstermiştir, bilya çapındaki 0,0001 lik bir toplam deformasyon, aşırı yükleme halinde ortaya çıkabilir. ve yatak çalışmasını engellemek birçok yatak, kullanım alanlarında tolerans sınırlarında tutulabilir.

Bazı uygulamalarda, daha büyük toplam sürekli deformasyona izin verilebilir. Böyle bir durumda, yatak dönüş hızı düşük, pürüzsüz ve sürtünme gereksinmeleri tam yeterli olmamaktadır. Benzer şekilde, aşırı pürüzlülük istendiğinde veya sürtünme gereksinmeleri kritik olduğu sürece daha az toplam sürekli deformasyon tolerans sınırlarında tutulabilir.

Mukayeseli miktarları belirtebilmek için, basit statik yük miktarı böylece, radyal statik yük olarak tanımlanır. Bu da bilyanın ve kanalın toplam sürekli deformasyonuna bağlıdır.

Tek sıralı bilyalı yataklarda, basit statik yük miktarı yükün radyal bileşenine bağlıdır. Bu da, birbirleriyle ilişkide olmak üzere, yatak bileziklerinde sadece radyal yerdeğiştirmeye neden olabilir.

(3) Statik eşdeğer yük, statik ve radyal yük olarak tanımlanır ve bilya ve kanalda aynı toplam sürekli deformasyona neden olarak bilinirler. Yükleme şartlarında ortaya çıkar.

### B. Basit statik yük miktarının ve Statik eşdeğer yükün hesaplanması

(1) Basit statik yük miktarı: Basit statik yük miktarının değeri,  $C_o$ .

$$C_o = f_o Z D^2 \cos \alpha$$

$f_o$  = Herhangi bir yatakdaki bilya sırası sayısı

$\alpha$  = Temasındaki nominal açı = Yatak eksenine dik düzleme bilya yükünün hareket çizgisi arasındaki nominal açı

$Z$  = Her sıraya ait bilya sayısı

$D$  = Bilya çapı

Değişik tipdeki yataklar için,  $f_o$ , katsayısının değerleri, ortak bir şekilde dizayn ve imal edilmek şartıyla, sertleştirilmiş çelikten mamul, Tablo I-1'de gösterilmiştir.

Tablo I-1  
 $f_o$  katsayısı

Yatak tipi	$f_o$	
	Birimler kg, mm	Birimler N, m
Kendi kendine salgısını alan yataklar	0,34	$3,34 \times 10^6$
Radyal ve çevresel yivli bilya yataklar	1,25	$12,26 \times 10^6$

kg.mm kolonu, elan birçok yatak kataloglarında yatak özellikleri bu birimlerinde verilmektedir. Bunlar, maalesef SI birimlerinde değildirler.

(2) Statik eşdeğer yük: Statik eşdeğer yükü,  $P_o$  in değeri, bileşik radyal ve itme yükleri altında radyal yataklar için,

$$P_o = X_o F_r + Y_o F_a$$

$$P_o = F_r$$

$X_o$  = Bir radyal katsayı,  $F_r$  = Radyal yük,  
 $Y_o$  = İtme faktörü,  $F_u$  = İtme kuvveti

$X_o$  ve  $Y_o$  değerleri Tablo. I-2'de verilmiştir.

Tablo. I-2  
 $X_o$  ve  $Y_o$  katsayıları

Yatak tipi	Tek Sıralı yataklar <sup>(1)</sup>		Çift sıralı yataklar <sup>(2)</sup>	
	$X_o$	$Y_o$	$X_o$	$Y_o$
Radyal temaslı yivli bilyali y. <sup>(1)</sup>	0,6	0,5	0,6	0,5
Çevresel temaslı yivli bilyali yatak <sup>(2)</sup> $\alpha = 20^\circ$	0,5	0,42	1	0,84
$\alpha = 25^\circ$	0,5	0,38	1	0,76
$\alpha = 30^\circ$	0,5	0,33	1	0,66
$\alpha = 35^\circ$	0,5	0,29	1	0,58
$\alpha = 40^\circ$	0,5	0,26	1	0,52
Kendi kendine salgısını alan y.	0,5	$0,22 \cot \alpha$	1	$0,44 \cot \alpha$

Notlar: (1)  $P_o$  her zaman  $> F_r$

- (2) Yüz yüze veya sırt sırtta monte edilmiş iki benzer tek sıralı çevresel temaslı bilyali yataklar için, çift sıralılar tatbik edilebileceği üzere,  $X_o$  ve  $Y_o$  değerlerini kullanınız. Seri halde, iki veya daha fazla benzer tek sıralı çevresel temaslı bilyali yataklar için, tek sıralı çevresel temaslı bilyali yataklara tatbik edilebileceği üzere,  $X_o$  ve  $Y_o$  değerlerini kullanınız.
- (3) Çift sıralı yatakların simetrik oldukları kabul edilir.
- (4)  $F_u/C_o$  in müsaade edilen maximum değeri, yatak dizaynına bağlıdır. (Yiv derinliği ve iç boşluk).

**YATAĞIN DİNAMİK KAPASİTESİ**, malzemenin yorulma ömrüne bağlıdır. Sürekli deformasyon ve sürtünme karıncalanmasına bağlı olan statik yük ile karşı koyulur. Genelde, düşük hızda dönen yatakda, sürtme karıncalanması eşit şekilde yayılmış olmak üzere, statik değerden daha büyuktur. Netice olarak, dönme ile daha büyük çapta sürekli deformasyona müsaade edilebilir.

Yatak ömrü, belli bir hızda, dönüş saatleri olarak tanımlanıldığı gibi dönüş sayısı olarak tanımlanabilir. Tek bir yatağın ömrü değerlenirilemediği için, ömrü, yatak grubunun deformansı cinsinden tanımlanabilir. Yataklar, imalatçıya bağlı olarak iki esasa göre sınıflandırılır:

- (1) Yatak gruplarının ortalama ömrü,
- (2) Yatakların  $90^\circ$  inin ulaşacağı veya geçeceği ömrü. AFBMA tarafından verilen değerler, yatakların  $90^\circ$  inin sahip olacakları ve geçecekleri ömre dayanılarak verilmiştir.

Tek bir yatağın ömrü çok nadir olarak, ortalama ömrün 4 katına çıkabilir. Yatak grubunun  $50^\circ$  sinin ulaşacağı veya geçeceği ömrü, yatakların  $90^\circ$  inin ulaşacağı veya geçeceği ömrün 5 katı kadar olabilir. Tek bir yatağın maximum ömrü, minimum ömrün 30 ilâ 50 katı kadardır. Böylece güvenirliliğin ve bağımlılığın gerekli olduğu zamanlarda, tek bir yatak için, emniyet için daha büyük katsayılar kullanılmalıdır. Zira önceden, yatağın ortalama değerden ne kadar uzaktan olacağı bilinmez

Yatağın spesifik dinamik kapasitesi, C radyal yatakdaki sabit radyal yükünde olduğu gibi (veya dip yatağındaki sabit eksenel itme) 1.000.000 dönüşlük minimum ömrür olarak tanımlanabilir. ( $33,3d/dk$  da 500 saatlik çalışmaya eşdeğerdir). Tanımdaki minimum ömrür yatak gruplarının  $90^\circ$  inin ulaşacakları veya geçecekleri ömürdür. Spesifik dinamik kapasite, dönen iç bileziğe ve sabit bileziğe bağlıdır. (Böylece ortalama ömrün 5 defa daha fazla veya 5.000.000 dönüş bağlı kalacağını unutmayın. Bu da,  $33,3d/dk$  daki dönme ile 2500 saatlik çalışmaya eşdeğerdir.

Aşağıda verilen radyal rulmanlı yataklara ait dinamik hesaplamaları AFBMA tarafından düzenlenmiştir. Tanımlar, yük hesaplamaları, ömrür, eşdeğer yük ve radyal rulmanlı yataklar için gerekli sabitler AFBMA'nın izniyle yayımlanmıştır. Diğer türdeki yataklar için AFBMA tarafından hazırlanmış bilgiler burada ayrıca verilmeyecektir..

## II-RADYAL RULMANLI YATAKLARDA DİNAMİK YÜK DEĞERLERİNİN HESAPLANMASI

### A-Tanımlar

1-Herhangi bir yuvarlanma elemanında veya bilezik malzemesinde yorulma emarelerinden önce, yatağın çalıştığı dönüş sayısı (veya belirtilen sabit hızındaki süre saat olarak) bir rulmanlı yatak için ömrür olarak tanımlanabilir.

2-Herhangi bir grup içinde ömrür değeri yuvarlanma elemanlı bir yatak-dakinden farklı olmayıp, ilk yorulma emarelerinin ortaya çıktığı veya grubun yüzde doksanın tamamlayacağı dönüş sayısı (veya verilen sabit hızındaki süre saat olarak) tanımlanır. Yakın bir tarihte belirlendiği üzere, tahminen yüzde ellisinde olmak üzere, yuvarlanma elemanlı bir grubun tamamlayacağı veya geçeceği ömrür, ömrür değerinin 5 katı kadar olacaktır.

3-Tek sıralı çevresel temaslı yuvarlanma elemanlı yataklarda basit yük değeri, yükün radyal bileşiniyle bağımlı haldedir. Buda yatak bileziklerinin birbirlerine bağlı olarak radyal yerdeğiştirmelerini doğurmaktadır.

4-Belirli özgül hızlarda, yük değeri 500 saatlik ömrür değerine bağlı kalmalıdır.

5-Sabit hareketsiz bir radyal yük, iç bileziği döner ve dış bileziği sabit bir yatağa tatbik edildiği zaman ortaya çıkan ömrür değeri, yatağın hakiki yük ve dönme şartları altında kalması halindeki ömrür eşdegerdedir, böyle bir ortam için, yük eşdeğer yük olarak tanımlanır.

### B-Basit Yük Değeri, Ömrür Değeri Ve Eşdeğer Yük

1-Yeni buluşlaş ve gelişmelerin neticesi olarak zaman zaman bu tavsiyelerin gözden geçirilmesi yerinde olur.

2-Basit yük değeri: Basit yük değeri C, radyal ve çevresel temaslı yuvarlanma elemanlı yataklar için, yuvarlanma elemanları çapları 25,4 mm den büyük olmamak şartıyla,

$$C = f_c(i \cos \alpha)^{0.7} Z^{2/3} D^{1.8}$$

24.4 mm den büyük çaptakiler için, N ve m birimleri kullanılırsa,

$$C = f_c(i \cos \alpha)^{0.7} Z^{2/3} 0.23D^{1.4}$$

25.4 mm den büyük çaptakiler için, kg ve mm birimleri kullanılırsa,

$$C = f_c(i \cos \alpha)^{0.7} Z^{2/3} 3.647D^{1.4}$$

ifadeleri kullanılır.

i=Bir yatakdaki yuvarlanma elemanı sıra sayısı

$\alpha$ =Nominal temas açısı=yatak yükünün etkisi hattıyla yatak düzlemine dik düzlem arasındaki normal açıdır.

z=Bir sıradık yuvarlanma elemanı sayısı

D=Yuvarlanma elemanı çapı

$f_c$ =Kullanılan birimlere, yatak elemanları geometrisine, yatağın çeşitli parçalarının imal ediliş ve malzeme hassasiyetine bağlı bir katsayı

$f_c$  değerleri, Ek I (sahife 262), tablo II-1 deki  $f_c/f$  değerlerinin  $f$  ile çarpımıyla elde edilir.

Tablo II-1

 $f_c/f$  katsayıları

$D \cos \alpha^{(1)}$ $d_m$	$\frac{f_c}{f}$		
	Tek sıralı radyal temaslı tak ve çift sıra, çevresel temaslı, yivili bilyali yatak	Cift sıra radyal temaslı yivili bilyali yatak	Kendi kendine salgılanabilen bilyali yatak
0,05	0,476	0,451	0,176
0,06	0,500	0,474	0,190
0,07	0,521	0,494	0,203
0,08	0,539	0,511	0,215
0,09	0,554	0,524	0,227
0,10	0,566	0,537	0,238
0,12	0,586	0,555	0,261
0,14	0,600	0,568	0,282
0,16	0,608	0,576	0,303
0,18	0,611	0,579	0,323
0,20	0,611	0,579	0,342
0,22	0,608	0,576	0,359
0,24	0,601	0,570	0,375
0,26	0,593	0,562	0,390
0,28	0,585	0,552	0,402
0,30	0,571	0,541	0,411
0,32	0,558	0,530	0,418
0,34	0,543	0,515	0,420
0,36	0,527	0,500	0,421
0,38	0,510	0,484	0,418
0,40	0,492	0,467	0,412

Notlar: (1)  $d_m$  - Bilya grubunun bölüm dairesi çapını gösterir. Tabloda dışındaki  $\frac{D \cos \alpha}{d_m}$  değerleri için,  $f_c/f$  değerleri lineer interplasyonla elde edilir.

(2) a. Basit bir yükleme miktarını hesaplarken, iki benzer tek sıralı radyal temaslı bilyali yataklarda, dublex montajlı olmak şartıyla, çift, çift sıralı radyal radyal temaslı bilyali yatak ele alınır.

b. Basit yükleme miktarı hesaplanırken, iki benzer tek sıralı çevresel temaslı bilyali yataklar dublex montajlı olmak şartıyla, yüz yüze veya sırt sırtta çiftleri, bir çift sıralı çevresel temaslı yatak olarak ele alınır.

c. Basit yük miktarı hesaplanırken, iki veya daha fazla benzer tek sıra çevresel temaslı bilyali yataklar seri halde monte edilmiş halde, uygun şekilde imal edilmiş olarak eşit yük dağılımında, kombinazasyon değeri, tek sıralı bilyali yatağın 0,7 kuvveti kadar yatak sayısı olarak bilinir. Bu dip notun tatbik edilmediği, bazı teknik nedenlerden dolayı, birim değiştirilebilen tek sıralı yataklarda olduğu gibi ele alınabildiği unutulmamalıdır.

3. Çalışma ömrü: Bilyali yataklar için  $L$  çalışma ömrü değeri yaklaşık olarak,  $L = (C/P)^3$  milyon dönüs.

$P$  = eşdeğer yük

4. Eşdeğer yük: Konvensiyonel tipde radyal ve çevresel temaslı bilyali yataklar için eşdeğer yük,  $P$  nin değeri sabit ve sabit eksenel yükler için,

$$P = XVF_r + YF_y$$

$X$  = Bir radyal durum katsayısı,  $Y$  = bir itme katsayısı  $F_y$  = itme yükü

$V$  = Bir dönme katsayısı  $F_r$  = radyal yük

$X$ ,  $V$  ve  $Y$  değerleri Tablo. II-2'de verilmiştir. Yeterli deneysel ispat olmadığından  $V$  - katsayı, ön tedbir olarak kullanılır.

Tablo. II-2  
 $X$ ,  $V$  ve  $Y$  katsayıları

Yatak tipi	Yüke göre iç bilizik sabit hareketli				Tek sıralı yataklar (2)		Çift sıralı yataklar (3)				e	
	Rotat- ing	Station- ary	$\frac{F_y}{VF_r} > e$		$\frac{F_y}{VF_r} < e$		$\frac{F_y}{VF_r} > e$					
			$X$	$Y$	$X$	$Y$	$X$	$Y$	$X$	$Y$		
Radyal temaslı yivili bilyali yataklar (4)	$\frac{F_y}{C_o}$	$\frac{F_y}{IZD^T}$										
	0,014	172					2,30		2,30		0,19	
	0,028	345					1,99		1,99		0,22	
	0,056	689					1,71		1,71		0,26	
	0,084	1030	1	1,2	0,56	1,55	1	0	0,56	1,55	0,28	
	0,11	1380					1,45		1,45		0,30	
	0,17	2070					1,31		1,31		0,34	
	0,28	3450					1,15		1,15		0,38	
	0,42	5170					1,04		1,04		0,42	
	0,56	6890					1,00		1,00		0,44	
Çevresel temaslı yivili bilyalı açılı temaslı yataklar (4)	$\frac{IF_y}{C_o}$	$\frac{F_y}{ZD^3}$										
	0,014	172										
	0,028	345										
	0,056	689										
	0,085	1030	1	1,2								
	0,11	1380										
	0,17	2070										
	0,28	3450										
	0,42	5170										
	0,56	6890										
5°												
10°												
15°												
20°												
25°												
30°												
35°												
40°												

**Notlar:** (1) Tek sıralı yatak için  $\frac{F_a}{VF} \leq e$  olduğu zaman  $X = 1$  ve  $Y = 0$  değerini kullanınız.

İki benzer tek sıralı çevresel temaslı bilyalı yataklar, yüz yüze veya sırt sırt monte edilmiş halde, bir çift tek sıralı çevresel temaslı bilya olarak düşünülebilir.

İki veya daha fazla benzer tek sıralı bilyalı yataklar seri halde monte edilmiş halde, bir tek sıralı bilyalı yatağa takbib edilebilen  $X$ ,  $Y$  ve  $e$  değerleri kullanılabilir.  $F$ ,  $20^\circ$  den küçükse,  $F$ , ve  $F_a$  toplam yükler olmayıp, birer tek sıralı bilya yükleridir.

(2) Maximum müsaade edilen itme yükü, yatak geometrisine bağlıdır.

(3) Çift sıralı yataklar simetrik olarak kabul edilirler.

(4) Yük veya temas açısı için  $X$ ,  $Y$  ve  $e$  değerleri, Tablo. III.2' de olmadıkları takdirde lineer interpolasyonla bulunabilir.

(5) Bu standart, bilezik kızak eninin 457 olduğu yataklar için geçerlidir.

**EŞDEĞER YÜK,** değişen yükler altındaki şartlarda ortalama yük<sup>3</sup> veya ortalama efektif  $F_m$  yükü ile bulunabilirlik değişken yüklerle aynı عمر değeri ni verebilmektedir. Aşağıda çeşitli formdaki,  $F_m$ , ortalama yük<sup>3</sup> için alternatif ifadeler verilmiştir.

Belli süre içinde, yükler sabit değerlerde ise,

$$F_m = \sqrt[3]{\frac{\sum F_i^3 N_i}{L_n}} = \sqrt[3]{\frac{F_1^3 N_1 + F_2^3 N_2 + F_3^3 N_3 + \dots}{L_n}}$$

$F_m$  = Ortalama kübik yük,  $N$

$F_i$  = Etkiyen kuvvet,  $N$ ,  $N_i$  dönme sayısı

$L_n = F_m$ , ortalama yük kübik için toplam dönüş sayısı,

$F_1, F_2, F_3 = N_1, N_2, N_3$  dönüş hızlarında etkiyen yükler

Eğer yükler değişken iseler,

$$F_m = \sqrt[3]{\frac{\int_0^{L_n} F^3 dN}{L_n}}$$

$F$  = Herhangi bir dönüş sayıısındaki yük,

$N$  = Değişken dönüş sayısı

$L_n$  = Ortalama yük<sup>3</sup> için,  $F_m$  dönüş sayısı cinsinden عمر,

Eğer dönüş hızı sabit ise, zaman içinde etkiyen yük,

$$F_m = \sqrt[3]{\frac{\sum F_i^3 t}{T}} = \sqrt[3]{\frac{\int_0^T F^3 dt}{T}}$$

$F$  = Herhangi bir  $t$  anındaki kuvvet,

$T$  = Yük değişiminin bir çevrimi için geçen zaman.

Eğer, yük sabit ve hız değişiyorsa, ortalama hız kullanılmalıdır. Zira, belli gerilme tekerüründen sonra, yorulma ortaya çıkacaktır.

Dinamik etki, ilave bir miktar olup, hesaba katılmalıdır. SKF tavsiye ettiği katsayılar 1 ile 3,5 arasında değişen sürekli yüklerle bağlı eşdeğer yükün çarpılmasıında kullanılır.

**YATAK SEÇİMİ.** Yatak seçiminde ikaz kelimesi her zaman kullanılan bir deyimdir. Her yatak imalatçısı test neticelerini değişik şekilde verirler ve değişik miktarlar kullanırlar. Onun için tasarım yapan kişinin ilgili katalogları çok iyi tanımı şarttır. Tek tek değişimler olabilir. (Yeni görüşler 3800 saatlik çalışma ve 1000d/dk lik değerler esas alınarak gerçekleştirılmıştır. 3800 saat ve 1000d/dk için, kataloglardan yapılacak dönüşümler, başka bir عمر ve başka bir hız (d/dk) aşağıdaki ifadeyle

verilmektedir.

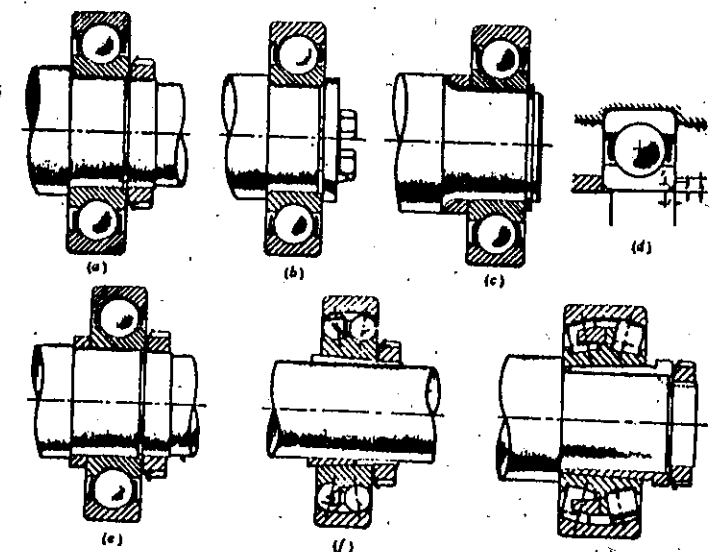
Arzulanan عمر, saat olarak = (3800 saat)

$$\left( \frac{1000d/dk}{N} \right) \left( \frac{\text{katalog değer}, N, 1000d/dk}{F} \right)^4$$

$N$ , d/dk ve  $F$ , hakiki yük olup, birimi N dir.

**RULMANLI YATAKLARIN MONTAJLARI,** çeşitli değişiklerle ortaya çıkarlar. Onun için tasarım yapan kişinin önünde birçok montaj şeviden birini seçme olanağı bulunmaktadır. Bunu yaparken mal yet, montaj kolaylığı, güvenirlilik, sıkme kolaylığı, işlemenin gözönüne tutulması gerekdir. Özel tipdeki yatakların kullanımı ve montaj tipleri için belirlenmiş bir kural yoktur.

Gösterildiği üzere, iç bilezik mile beraber dönmekte ve iç bileziğin sabitleştirilmesi için çeşitli düzenlemeler yapılabılır. Çoklu zaman, bilya mile presle geçirilir. Mil ölçüleri, değişik uygulamalar için yatak kataloglarında verilmiştir.



Sekil: 22-2

(Sekil. 22-2), yukarıda, SKF firmasının izniyle düzenlenmiştir ve aşağıdaki detaylar gösterilmektedir.

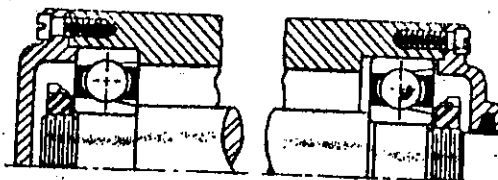
- (a) Kilitleme somunu ve rondela gösterilmiştir.
- (b) Vida ile tespit edilmiş plaka gösterilmiştir, (a)
- (c) Sıkmalı bilezik ve askı ilave parça ile birlikte gösterilmiştir.
- (d) Bindirme detayları ve faturayla yatağın teması gösterilmiştir. İşleme boyutları için rulman kataloğu başvurunuz.
- (e) Yatak için yeterli yer kullanılacak ara bileziği gösterilmiştir.
- (f) Uzun millerin kullanılması halinde, adaptör burcunun kullanımı gösterilmiştir. (İşlenmeden, soğuk haddelenmiş halde) pres geçme ile yaratılan sürtünme, burcun mil üzerinde eksenel kaymasını önleyecektir.
- (g) Değiştirilebilen burç gösterilmiştir. Zira kontrol veya makine parçasının ayarı için çıkarılıp takılma durumu ortaya çıkabilir.

Standart yatak montajında, yataklar mile kilitleme somunları ve rondelârla tespit edilir. (Şekil. 22-3'e bkz.) Bir yatak gövde içinde sabit tutulurken, diğeri gövde içinde eksenel yönde hareket edebilmektedir. Bu hareket boyuttaki değişimler ve genleşmeyi karşılamak içindir. Soldaki yatak itmeyi her iki yöndede karşılayabilir. Şekil. 22-3'den 22-8'e kadar bütün şıklar New Departure'nin izniyle basılmıştır.

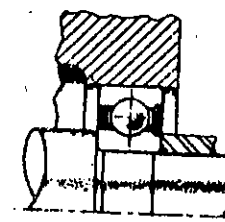
Alternatif bir düzende, eksenel itmenin kısıtlanması gereken durum, Şekil. 22-4'de gösterilmiştir. Kilitleme somunu ve rondelâya ihtiyaç yoktur. Yatakların gezintisi 0,38mm ile 0,51mm arasında değişmektedir. Sağ tarafa olan itme sağdaki yatakla, sola doğru olan itme sol taraftaki yatakla alınır. Eksenel gezintinin kısıtlanması söz konusu olduğu zaman, ara saç kullanılabılır. Termal genleşme ortaya çıkarsa, böyle bir düzen için gerekli itinanın gösterilmesi şarttır.

Şekil. 22-5'de sıkmalı bilezik kullanan bir düzen gösterilmiştir.

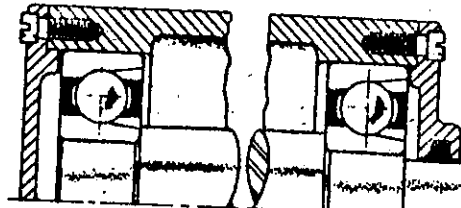
Her iki tarafında keçe ve muhafaza bulunan yatak Şekil. 22-6'da gösterilmiştir. Yatağa pişlik girmesi böylece önlenebilir. Zira yatağın öbür ucunda yağ bulunmaktadır. Yağ buraya çarpmaya veya başka usullerle gelmektedir.



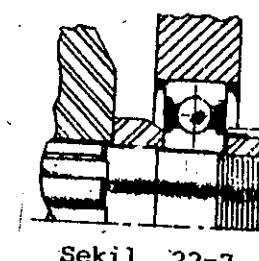
Şekil. 22-3



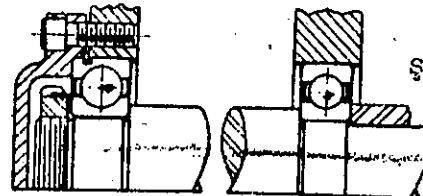
Şekil. 22-6



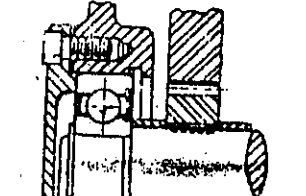
Şekil. 22-4



Şekil. 22-7



Şekil. 22-5



Şekil. 22-8

Her iki tarafında keçe ve muhafaza bulunan yatak Şekil. 22-7'de gösterilmiş olup, yatağa pişlik girişi ve yatakdan gres kaçışı böylece önlenebilir. Yatağa gres imalatçı tarafından doldurulmaktadır.

Şekil. 22-8'de gösterilen yatakda sadece muhafaza mevcut olup, bu da yatağa makineden gelebilecek pişlik ve metal parçalarının yatağa geçmesini önleyecektir. Muhafaza sadece sıçratma yoluyla gelen yağ içindeki çok ince partikülleri tutamaz.

Çalışma sırasında ortaya çıkan ısından yayılma ile kurtulamayorsak, kullanım yerlerinde suni soğutma mutlaka yapılmalıdır. Yüksek yatak sıcaklığı (genellikle 90°C'in üstünde, çoğu endüstriyel kullanım alanlarında 40-85°C) çoğu zaman özel yatak dizaynını gerektirecektir. Aksi takdirde yatak ömrünün azalması söz konusu olarak ortaya çıkar. Ortaya çıkan ısı ve yayılan ısı kapasitesinin tayini kritik dizaynlar için yapılmalıdır.

## Çözümlü Problemler

1. 22kN luk radyal yük altındaki 55mm delik çapındaki bir tek radyal rulmanlı yatakta sürtünme gücü ne kadardır? Mil 600d/dk'da dönmektedir.

**Cözüm:**

$$\text{Sürtünme torku, } M_t = F_f(D/2) = (22 \times 10^3)(0,0015)(55 \times 10^{-3})/2 = 0,9075 \text{ Nm}$$

$$\text{Sürtünme gücü kaybı: } M_t N(2\pi/60) = 0,9075(600)(2\pi/60) = 57 \text{ W}$$

2. 2kN luk yük altında, radyal derin yivli bir yatakta beklenen sürtünme torku yaklaşık olarak ne kadardır? Yatak, SKF 6002 olup, delik ölçüsü, 15.000 - 14.992mm dir.

**Cözüm:**

$$\text{Sürtünme torku, } M_t = F_f(D/2) = (2 \times 10^3)(0,0015)(15 \times 10^{-3})/2 = 0,0225 \text{ Nm}$$

3. Tek sıralı radyal derin yivli rulmanlı yatak için Stribeck ifadesini çıkarınız. Bunun için, bilyaların eşit şekilde dağıtıldığını kabul ediniz. Ayrıca, bilya üzerindeki maximum yük hesaplayınız. (Neticeyi bilya çapı ve bilya sayısı cinsinden bulunuz.)

**Cözüm:**

- (a) Yatağın alt yarısındaki bilyalardan geçen, kanal üzerinde etkili kuvvetlerin düşey bileşenlerince dengelenen,  $C_0$  radyal yükü,

$$C_0 = F_1 + 2F_2 \cos \theta + 2F_3 \cos 2\theta + \dots$$

- (b) Yukarıdaki çözümün gerçekleşmesi için ikinci kabul sapma bağıntılarından elde edilebilir.  $F_1$  deki radyal sapma  $\delta_1$  ve  $F_2$  deki radyal sapma  $\delta_2$ , vb.

$$\delta_2 = \delta_1 \cos \theta, \quad \delta_3 = \delta_1 \cos 2\theta,$$

Kanalların çevre boyunca dairesel kaldığı kabul edilmektedir.

- (c) Aynı zamanda, sapma bağıntıları ve aşağıda verildiği üzere, yükler Hertz gerilme ifadelerinden çıkarılır.

$$\frac{F_1}{F_2} = \frac{\delta_1^{3/2}}{\delta_2^{3/2}}, \quad \frac{F_1}{F_3} = \frac{\delta_1^{3/2}}{\delta_3^{3/2}},$$

- (d) (b) ve (c) nin (a) da yerine konulmasıyla,

$$C_0 = F_1 [1 + 2(\cos \theta)^{5/2} + 2(\cos 2\theta)^{5/2} + \dots]$$

- (e)  $\theta$  açısı  $Z$ , bilya sayısına bağlıdır,  $\theta = 360^\circ/Z$

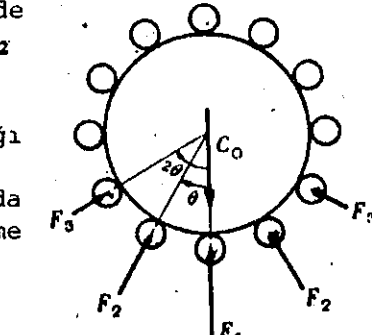
- (f) (d)deki ifadeyi,  $C_0 = F_1 M$ , olarak tekrar yazalım.

$$M = [1 + 2(\cos \theta)^{5/2} + 2(\cos 2\theta)^{5/2} + \dots]$$

- (g) Stribeck'e göre, bilya sayısına bakılmaksızın,  $Z/M$  ifadesi pratikde sabit bir değerdir ve ortalama değer ise 4,37 dir. Pratikdeki uygulamalar için Stribeck 5 sayısını kullanmıştır. Sonradan, tecrübelerle elde edilen neticeler, bunu doğrulamıştır. Böylece, bilyadaki max. yük, radyal yük altında bir radyal yatak için, aşağıdaki şekilde ifade edilebilir.

$$F_1 = \frac{C_0 Z}{Z M} = \frac{C_0 (S)}{Z}$$

Şekil. 22-9



- (h) Stribeck tecrübelerle,  $F_1$  yükünün aynı çaplı iki bilya arasında yaratılacak sürekli deformasyonda,  $F_1 = K D^2$

- dir.  $K$  sabit bir sayı, böylece,  $K D^2 = 5C_0/Z$ , veya yatağın statik radyal kapasitesi,

$$C_0 = K Z D^2 / 5$$

- olmaktadır. Böylece,  $C_0$  statik kapasite,  $C_0 = K Z D^2 / 5$ . bilya üzerindeki maximum yük,  $F_1 = 5C_0/Z$  olmaktadır.

4. Stribeck ifadesindeki  $K$  sabitesini  $60.8 \times 10^6$  alarak 12mm çapındaki 9 bilyalı 208 serisindeki tek sıralı derin yivli bilyalı yatağın statik kapasitesini hesaplayınız ve bunları aşağıdaki maddelerle kıyaslayınız.
- 12mm çapındaki 9 bilyalı 6208 serisindeki SKF derin yivli tek sıralı bilyalı yatak kapasitesi,
  - 12mm çapındaki 9 bilyalı 6208 derin yivli yatak için RHP statik değeri,
  - AFBMA değerlerini kullanarak, 12mm çapındaki 9 bilyalı bir tek sıralı radyal temaslı yivli bilyalı yatak için statik kapasitesini hesaplayınız.

**Cözüm:**

$$C_o = KZD^2/S = 60.8 \times 10^6 (9)(12 \times 10^{-3})/5 = 15,760 \text{ N}$$

- SKF kataloından, 6208 serisi için statik kapasite, 16.600N.
- RHP kataloından, sessiz çalışan bir 6208 serisi için değer, 15.613 N dur. Seçilmiş belli bir yatak için, aynı boyuttaki ve aynı sayıda bilyalar için, fark küçük olup, bu da imalatçılar tarafından değişik sabitler kullanılmamasından ileri gelmektedir.
- AFBMA değeri,

$$C_o = f_o ZD^2 \cos \alpha = 12,26 \times 10^6 (1)(9)(12 \times 10^{-3})^2 (\cos 0^\circ) = 15,890 \text{ N}$$

$f_o$  Tablo. I-1'den alınabilir.

Statik yükten sonra, yatak yüksek hızda çalıştırılmayacaksız, yatak yükü belkide hesaplanandan 4 kat daha fazla bir değere çıkarılabilir olması çok ilgi çekicidir. ( $4 \times 15.980 = 63,6 \text{ kN}$ ) ve çatlamaya yol açabilecek yük ise, yukarıda hesaplanandan yaklaşık 8 kat daha fazladır. ( $8 \times 15.980 = 127 \text{ kN}$ )

5. AFBMA verilerini kullanarak, radyal derin yivli bilyalı yatak için, eşdeğer statik yük  $F_r$ , radyal yükü tatlık edilmesi halinde ne olabilir? Hesaplayınız ve itme kuvveti  $F_i$  dır. ( $F_r = 13,2 \text{ kN}$  ve  $F_i = 4,4 \text{ kN}$ ,  $X_o = 0,6$  ve  $Y_o = 0,5$  Tablo I-2).

$$P_o = X_o F_r + Y_o F_i = (0,6)(13,2) + (0,5)(4,4) = 10,1 \text{ kN}$$

Zira,  $P_o$ ,  $F_r$  ye eşit veya ondan büyük olmalıdır. Eşdeğer radyal yük = 9,78 kN.

6. AFBMA verilerini kullanarak, 9 kN luk radyal yük, ve 16 kN luk itme kuvetine maruz kalan çevresel temaslı bilyalı yatak için eşdeğer radyal statik yükü hesaplayınız. ( $X_o = 0,5$  ve  $Y_o = 0,33$ , temas açısı =  $30^\circ$  Tablo. I-2).

**Cözüm:**

$$P_o = X_o F_r + Y_o F_i = (0,5)(9) + (0,33)(16) = 9,78 \text{ kN}$$

Zira  $P_o$ ,  $F_r$  ye eşit veya ondan büyük olmalıdır. Eşdeğer radyal yük = 9,78 kN.

7. 6. Problemi  $F_i = 5,34 \text{ kN}$  alarak tekrar çözünüz.

$$P_o = X_o F_r + Y_o F_i = (0,5)(9) + (0,33)(5,34) = 6,26 \text{ kN}$$

bulunan bu değer,  $F_r$  dan küçuktur. Böylece radyal yük 9 kN olur.

8. Her ne kadar bütün yatak katalogları basit statik yük değerlerini tablo halinde veriyorlarsada 17,5 mm çapında 8 bilyalı 6309 serisine tek sıralı derin yivli yatak için AFBMA statik değerini hesaplayınız.

**Cözüm:** C., basit statik yük değeri =

$$C_o = f_o ZD^2 \cos \alpha = (12,26 \times 10^6)(1)(8)(0,0175)^2 \cos 0^\circ = 30 \text{ kN}$$

(AFBMA standart listelerini kullanarak, SKF kataloğu,  $C_o = 30 \text{ kN}$ , 6309 serisi için).

9. SKF kendi kendine salgısını alabilen 1310 no'lu bilyalı yatakda spesifik dinamik kapasite  $C = 33,5 \text{ kN}$  ( $33,5 \text{ kN}$  luk değer, %90 grubun 33,3 d/dk da 500 saatlik ömrü olan içindir.) Yatağa aslında tatlık edilen eşdeğer radyal yük,  $P = 44,5 \text{ kN}$  dur.

- Ömrü milyon devir olarak hesaplayınız. (%90 lik grubun diğer yatakları aynı sayıda çalışabileceklerdir.) Dönüş hızı 1800 d/dk dir.
- %90 lik yataklar için ömrü saat olarak hesaplayınız.
- Beklenilen ortalama ömrü saat olarak hesaplayınız.

**Cözüm:**

- Ömr, milyon devir olarak,  $= (C/P)^3 = (33,500/44,500)^3 = 0,427$  milyon devir Yukarıdaki hesaplamlarda devir sayısının hesaba katılmadığını unutmayın.

$$(b) Saat olarak ömr,  $= \frac{0,427 \times 10^6 \text{ d}}{1800 \text{ d/dk}} \times \frac{1 \text{ saat}}{60 \text{ dk}} = 3,95 \text{ saat}$$$

Böylece, %90 lik yatak grubu için beklenilen ömr 3,95 saattir.

- Beklenen ortalama ömr, 5 kat kadar olup veya 19,75 saattir.

10. 9. Problemde olduğu gibi, eşdeğer yükü 4450 kN alarak problemi tekrar çözünüz.

**Cözüm:**

- Ömr, milyon devir olarak,  $= (C/P)^3 = (33,500/4450)^3 = 427$  milyon devir

$$(b) Ömr, saat olarak  $= \frac{427 \times 10^6 \text{ d}}{1800 \text{ d/dk}} \times \frac{1 \text{ saat}}{60 \text{ d}} = 3950 \text{ saat}$$$

- Beklenen ortalama ömr, 5 kat olup, veya 19,50 saattir.

11. Bir yatakda spesifik dinamik yük kapasitesi 40 kN dur. 400 d/dk da yatağın taşıyacağı eşdeğer radyal yük ne kadardır? 400 d/dk da yatağın taşıyabileceği eşdeğer radyal yük ne kadardır? %90 lik grup için, arzulanap ömr,  $H$  5000 saattir.

**Cözüm:**

- Arzulanap ömr, devir sayısı olarak  $= (5000 \times 60) \text{ dk} \times 400 \text{ d/dk} = 120 \times 10^6 \text{ d/dk}$   
Ömr milyon devir sayısı olarak  $= (C/P)^3$  veya  $120 = (40,000/P)^3$  buradanda  $P = 8,11 \text{ kN}$  bulunur.

12. 650 d/dk da  $H = 10,000$  saatlik ömr için gerekecek spesifik dinamik kapasite  $C$  ne lobilir. Radyal yük  $P = 3 \text{ kN}$  dur.

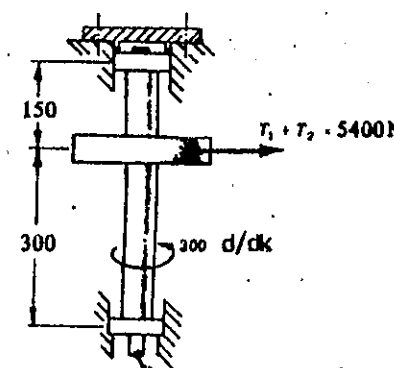
**Cözüm:**

- Arzulanap ömr, devir sayısı olarak  $= (10,000 \times 60) \text{ dk} \times 650 \text{ d/dk} = 390 \times 10^6 \text{ d/dk}$   
Ömr, milyon devir sayısı olarak  $= (C/P)^3$  veya  $390 = (C/3000)^3$  buradanda  $C = 21,9 \text{ kN}$  bulunur.

13. Şekil. 22-10'da gösterilen düşey bir milin alt yatağı için kullanılacak derin yivli bir bilyalı yatak seçiniz. Mile hareket V-kayış sistemiyle aktarılmaktadır. Makaradaki bileşke kuvvetin,  $(T_1 + T_2)$  olduğu bilinmektedir. Bu bileşke kuvvet 5,4 kN'dur. Seçimi yük ve 4000 saatlik ömre göre yapınız. Mukavemet gözüne alınarak, minimum mil çapının 25 mm olduğu söyleniyor. Mil 300 d/dk da dönmektedir. Bu problem için SKF yatak kataloğu kullanılacaktır.

**Cözüm:**

- Yük sürekli olsa bile, SKF kayış titreşiminin dinamik etkisi ve kayıştaki gerginliği devam ettirebilmek için gerekli ilave kuvvet için bir katsayının ele alınmasını tavsiye etmektedir. Tavsiye edilen katsayı



göç çıkışı  
Makara ve milin tahmin edilen ağırlığı = 1500 N

Şekil. 22-10

- (b) Alttaşı yatakdaki sürekli radyal yük, 1,8kN ve darbe katsayısı 2 ile,  $F_r = 3,6kN$  u kullanacağız.
- (c) Düşey yönde itme kuvveti, alttaşı yatak tarafından alınmaktadır. Bu da  $F_a = 1500N$  dur. Ağırlık sabit olduğundan, bu yüze hiçbir dinamik katsayı tatbik edilemeyecektir.
- (d) Eşdeğer radyal yük,  $P = XVF_r + YF_a$   
tek sıralı derin yivli yatak için,  
 $X$  = Aşağıda verilen radyal katsayı,  
 $V$  = Rotasyon faktörü = 1,0 yüze bağlı olarak, iç bilezik dönmekte,  
= 1,2 yüze bağlı olarak, dış bilezik dönmekte  
 $Y$  = Aşağıda verildiği üzere itme kuvveti,  
 $e$  = Aşağıdaki tabloda verilen referans değeri,  
 $F_a/VF_r$ ,  $e$  den küçük veya ona eşitse  $X=1$  ve  $Y=0$  değerini kullanınız.  
 $F_a/VF_r$ ,  $e$  den büyükse,  $X = 0,56$  ve aşağıdaki tablodan alacağınız  $Y$  değerini kullanınız.

$F_a/C_o$	0,025	0,04	0,07	0,13	0,25	0,5
$e$	0,22	0,24	0,27	0,31	0,37	0,44
$Y$	2,0	1,8	1,6	1,4	1,2	1,0

$C_o$  = Basit statik yük değeri, (kolaylık sağlamak için rulman katalo-  
ğunda tablo halinde verilmiştir).  $F_a/C_o$ ,  $e$  ve  $Y$  değerleri SKF katalo-  
ğunda verildiği gibidir.

(e) Bu noktada yatak henüz bilinmediği için, gerekli sabitleyi tayin  
için deneme ve sınıma metodu kullanılacaktır. Mukavemet açısından  
mil çapının 25mm olduğu bilindiğine göre, uygun çapı olan bir  
tek sıralı yatak bulalım ve kapasitesini kontrol edelim. Aşağıdaki  
değerler bulunmuştur.

Yatak	6005	6006	6205	6206	6305	6306	6405	6406
Delik	25	30	25	30	25	30	25	30

(f) Once 6205 no'lu yatağı kontrol edelim. Yatak için verilen değerler  
 $C_o = 6,95kN$ ,  $C = 10,8kN$ . Sonra,  $F_a/C_o = 1500/6950 = 0,215$ , (interpo-  
lasyonla), bu da  $e = 0,36$  ve  $Y = 1,25$  in bulunmasını sağlar.  
 $\frac{F_a}{VF_r} = \frac{1500}{(1)(3600)} = 0,416 > e$ ,  $X = 0,56$  ve  $Y = 1,25$  i kullanınız. Böylece,

$$P = XVF_r + YF_a = 0,56(1)(3600) + 1,25(1500) = 3891N$$

Beklenen ömür,  $L = (C/P)^3 = (10,800/3891)^3 = 21,4$  milyon devir  
Arzulanan ömür, devir sayısı olarak  $= (4000 \times 60 \text{ dk}) / (300/d/\text{dk}) = 72 \times 10^6$   
Neticede, 6205 no'lu yatak bu uygulama için yeterli kapasitede  
değildir.

(g) 6305 no'lu yatağı deneyelim. Mil çapı istege uygundur. Sonra,  
 $C_o = 11,4kN$ ,  $C = 17,3kN$ ;  $F_a/C_o = 0,132$ ; ve  $e = 0,31$ ,  $Y = 1,4$ .

$$\frac{F_a}{VF_r} = \frac{1500}{(1)(3600)} = 0,417 > e$$

$X = 0,56$  ve  $Y = 1,4$ . Böylece

$$P = XVF_r + YF_a = 0,56(1)(3600) + 1,4(1500) = 4116N$$

Beklenen ömür,  $L = (C/P)^3 = (17,300/4116)^3 = 74,3$  milyon devir ve arzula-  
nan ömür, 72 milyon devirdir.

6305 no'lu yatak, gerektiğinden fazla kapasiteye sahiptir.  
Çap 25mm ile sınırlandırıldığı için, 6305 no'lu yatak istege  
şok yakındır. 6305 için mildeki fatura çapı 31,5mm dir.

14. 13. Problemdeki düzendeği üst bağlantı için rulmanlı yatak seçimi  
yapınız. Radyal yük,  $F_r = 3,6kN$ , arzulanan ömür = 4000 saat, 300d/dk da,  
veya  $72 \times 10^6$  devir. Herhangi bir itme söz konusu değildir. Yani,  $F_a = 0$ .

Çözüm:

- (a) Gerekli mil çapı, minimum yatak çapından veya mil için mukavemet gereksiniminden bulunabilir. İstenen mukavemet değerleri açısından, eğilme üstteki yatakda sıfırdır. Fakat enine kesme gerilmelerine neden olan enine yük mevcuttur. Mukavemette uygun olacak şekilde uygun mil çapı seçelim.
- (b) Dinamik katsayısını 2 alarak,  $F_r$  radyal yükü  $3,6(2) = 7,2kN$  dur.
- (c)  $C$ , gerekli spesifik dinamik kapasite  $L = (C/P)^3$  den bulunabilir.  
 $P = XVF_r + YF_a$  (1)(1)(7200) +  $Y(0) = 7200$ . Sonra  $72 = (C/7200)^3$  ve  $C = 29,95kN$ .
- (d) Yatak kataloglarının incelenmesinde, aşağıdaki yataklar için, dinamik kapasite değerleri, delik ve dış çap değerleri görülmektedir.

Yatak	CN	Delik mm	Dış çap mm
6015	30.500	75	115
6211	33.500	55	100
6308	31.500	40	90
6406	33.500	30	90

(Yataklar için  $C$  değerleri, istenen  $C = 29,95kN$  değerinden büyük-  
tür. Fakat, istenen değerde yakındır).

(e) Mildeki kesme gerilmesi 83MPa olarak seçilecek olursa, gerilmeye bağlı olarak mil çapı,

$$s_g = \frac{4V}{3A}, \quad 83 \times 10^6 = \frac{4(7200)}{3(\frac{1}{4}\pi d^2)}, \quad d = 12mm$$

(d) ve (e) yi kıyaslayarak, yatak çapının mil çapına uygunluğunu  
görebiliriz. Eğer en küçük çapı seçeceksek, 6406 no'lu yatak kullanılabılır. Eğer en küçük dış çap kullanılabaksa 6308 veya 6406 no'lu yatak kullanılabilir. (Eğer tercih edilen mil fatura çapı düşünülürse, bunun 6308 için 48mm ve 6404 için 38mm olduğu görülür)

Böylece 6406 no'lu yatağın en küçük mil çapıyla veya 6308 no'lu  
yatağın büyük mil çapıyla kullanılması mümkünür. Son seçim, yatak  
ve işleme maliyetlerine bağlıdır. Aynı zamanda rıgidlik, kritik  
hızda hesaba katılmalıdır.

15. Bir önceki problemde seçilecek yataklardan biriside SKF 6406 olabilirdi  
Bu yatakta bilya sayısı 7 ve bilya çapı 16,669mm idi. Yatağın özgül  
dinamik kapasitesi,  $C = 33,5kN$  dur. SKF kataloğunda gösterilmiştir.  
(a) Basit statik yük değeri için AFBMA değerini, (b)  $f_c = 12,26 \times 10^6$   
(Tablo. I-1) ve  $f_c = 14,37 \times 10^6$  (aşağıda bulunmuştur) değerlerini kullanarak  $C$  yi hesaplayınız.

Çözüm:

$$(a) C_o = f_o Z D^2 \cos \alpha = 12,26 \times 10^6 (1)(7)(0,016669)^2 \cos 0^\circ = 23,85kN \quad (\text{SKF değeri } 24kN)$$

$$(b) C = f_c (i \cos \alpha)^{0.7} Z^{2/3} D^{1.8} = 14,37 \times 10^6 (1 \cos 0^\circ)^{0.7} (7)^{2/3} (0,016669)^{1.8} = 33,14kN \quad (\text{SKF değeri } 33,5kN)$$

$f_c$  nin değeri aşağıdaki şekilde bulunabilir. Tablo.II-1 ve Ek.1'i  
kullanarak

$\frac{D}{d_m} \cos \alpha \approx \frac{(16,669)}{60} \cos 0^\circ \approx 0,278$ . Bölüm dairesi çapının iç ve dış kanal  
çapları ortalaması olarak kabul edildiği fırz edilerek, ilgili bağıntı  
spesifik değerlerin bulunmaması halinde kullanılabilir. 6406 no'lu  
yatağın dış çap 90mm ve delik 30mm dir.  $d_m$  ortalama bölüm dairesi  
çapı yaklaşık olarak  $\frac{1}{2}(60+30)$  veya 60mm dir.

Tablo. II-1'den,  $\frac{D}{d_m} \cos \alpha \approx 0,278$ , için  $\frac{f_c}{f} = 0,583$  bulunur. Ek. 1'den  
 $f = 24,64 \times 10^6$  bulunur.  $f_c = 0,583(24,64 \times 10^6) = 14,37 \times 10^6$ .

Yatağın hakiki seçimi için, basit statik değerleri imalatçının



Efektif kayış şekilleri toplamı,  $T_1 + T_2$ , dir. Kayış kenarları yatak olmak üzere,  $2650 + 1060 = 3710$ . Makara veya dışlı ağırlığına dinamik etki max. gözönüne alınmamıştır.

Efektif kuvvetlerin reaksiyonları şekilde noktalı çizgiyle gösterilmiştir.

Soldaki yatakdaki bileşke radyal yük,  $R_L = \sqrt{226^2 + 1234^2} = 1255\text{N}$

Sağdaki yatakdaki bileşke radyal yük,  $R_R = \sqrt{466^2 + 6186^2} = 6204\text{N}$

İstenilen  $L_n$  dönüş sayısı  $= (25,000)(60)(900) = 1350 \times 10^6$  dönüş

Spesifik dinamik kapasite,  $C$  her yatak gereklilik olmak üzere,

Sol yatak:  $L = (C/P)^3 P = R_L$  sonra,  $1350 = (C/1255)^3$  veya  $C = 13,870\text{N}$

Sağ yatak:  $L = (C/P)^3 P = R_R$  sonra,  $1350 = (C/6204)^3$  veya  $C = 68,570\text{N}$

SKF'in araştırmaları katalogda, aşağıdaki tek sıralı derin yivli yatakların minimum boyutları basit dinamik kapasiteleri  $C = 13,870\text{N}$  en yakın olmak üzere, şekilde açıklanmaktadır.

Bearing	Basic Dynamic Capacity C(N)	Min. Shaft Shoulder Dia. (mm)	Inner Race Max. Dia. (mm)	Bore (mm)	Outside Diameter (mm)
6403	17,600	23,5	32,4	17	62
6305	17,300	31,5	36,6	25	62
6206	15,000	35,0	40,3	30	62
6207	19,600	41,5	46,9	35	72

Sapmalara bağlı olmak üzere, mil çapı,  $D = 32,9\text{mm}$  dir. Minimum fatura çapı seçimde başlangıç olarak alınabilir. Örneğin, 6207 ve 6206 no'lu yataklar için fatura çapı çok büyük olduğu gibi, 6403 no'lu yatak içinde bu çap oldukça küçüktür. Katalogdaki daha ileri araştırmalara göre, 32,9mm ye yakın gelen fatura çapları istenilenen daha fazla yük kapasitesine sahiptirler.

Bearing	Min. Shaft Shoulder Dia. (mm)	Inner Race Max. Dia. (mm)	Outside Diameter (mm)
6305	31,5	36,6	62
6403	33	45,4	80

Ekonomikliği ve boyut isteklerini gözönüne tutarak, 6305 no'lu yatağın daha uygun olacağı görülmektedir.

Sağ yatak içinde benzer analiz yapılmaktır. Mil çapı  $2D = 65,8\text{mm}$ , riyidlik analizinden bulunmuştur. Minimum spesifik dinamik kapasite isteği  $68,750\text{N}$  olup, bu da aşağıda görüleceği üzere yük kapasitesine bağlı olarak, çeşitli serilerde yatak seçimine imkân hazırlarlar.

Bearing	Basic Dynamic Capacity C(N)	Min. Shaft Shoulder Dia. (mm)	Inner Race Max. Dia. (mm)	Bore (mm)	Outside Diameter (mm)
6411	76,500	66	81,5	55	140
6412	83,000	71	88,1	60	150
6313	71,000	76	88,3	65	140

Bearing	Minimum Shaft Shoulder Diameter (mm)	Outside Diameter (mm)
6411	66	140
NJ311	64	120

Katalogun incelenmesiyle, yanında tabloda görüldüğü gibi yatak boyutları, fatura çapına en yakın olmak üzere,  $2D = 65,8\text{mm}$  verilmektedir. (ve spesifik dinamik kapasite  $68,570\text{N}$  daha büyük.) Ekonomi ve boyut gereksinimi açısından, 6411 no'lu yatak uygundur.

Çeşitli yollarla hesaplanan çaplara göre:

Mukavemet: Soderberg ifadesi (dizayn katsayı  $1,5$ ) ASMA mil standartı.

Kritik hız: (enine kesme sapması: he-saba katılmaksızın)

Her iki yatak için  $1^\circ$  lik eğim dişlide maximum sehim  $0,025\text{mm}$ .

## Tamamlayıcı Problemler

20.  $30\text{kN}$  luk radyal yük altında, tek sıralı derin yivli bir bilyalı yatakdaki sürtünme torkunu yaklaşık olarak hesaplayınız. Delik çapı  $50\text{mm}$  dir.

Cev. Sürtünme katsayı,  $0,015$  alınmak suretiyle, sürtünme torku  $1,125\text{N}$  dir.

21. AFBMA yi kullanarak,  $F_r = 9\text{kN}$  luk radyal yükün etkisinde kalan radyal temaslı yivli yatak için eşdeğer radyal statik yükü,  $P_o$  hesaplayınız. Eksenel yük,  $F_a = 9\text{kN}$  dur.

Cev.  $P_o = 9,9\text{kN}$  ( $X_o = 0,6$  ve  $Y_o = 0,5$ )

22. Problem 21'de olduğu gibi,  $F_r = 9\text{kN}$  ve  $F_a = 2,25\text{kN}$  alarak, eşdeğer statik yükü hesaplayınız. Cev.  $P_o = 9\text{kN}$

23. Tek sıralı, derin yivli bilyalı yatakda, bilya sayısı 10 ve bilya çapı  $15,875\text{mm}$  olmak şartıyla AFBMA basit statik yük değerini hesaplayınız. Cev.  $C_o = 30,9\text{kN}$

24. Tek sıralı derin yivli bir bilyalı yatakda spesifik dinamik kapasite  $46,3\text{kN}$  dur. ( $1.000.000$  dönüş,  $33,3\text{d}/\text{dk}$  da  $500$  saatlik çalışma), (a) Eğer dönmeye hızı  $1800\text{d}/\text{dk}$  ise, ve hakiki radyal yükün yatağa tatbik edilmesi şartıyla,  $9\text{kN}$  olmaktadır. Dönüş sayısı olarak ömrü tayin ediniz. (b) Yukarıdaki durum için kaç saatlik çalışma beklenmektedir? (c) Ümit edilen ortalama ömrü ne kadardır?

Cev. (a)  $136 \times 10^6$  dönüş, (b)  $1260$  saat, (c)  $6300$  saat.

25. Yatak spesifik dinamik radyal kapasitesi,  $C = 24,500\text{N}$  dur.  $1200\text{d}/\text{dk}$  da yatağın taşıyacağı radyal yük ne olabilir? İstenen ömrü  $2000$  saatdir. (%90 lik yatak grubu için) Cev.  $4670\text{N}$ .

26.  $9\text{kN}$  luk yük  $5$  dönüş için etkili olmakta ve sonra  $10$  dönüşde  $4,5\text{kN}$  a düşmektedir. Yük değişimi sonradan kendi kendine tekrarlanmaktadır. F. yükü ne olabilir. Cev.  $6,72\text{kN}$ .

27.  $2000$  saatlik çalışmada  $1200\text{d}/\text{dk}$  da dönen 6200 serisi bir yatakda radyal yük  $1,8\text{kN}$  ise, adı geçen seride uygun yatağı tayin ediniz. Yükleme sürekli dir. Basit dinamik kapasite,  $C$ , 6200 serisi için aşağıda olduğu gibidir.

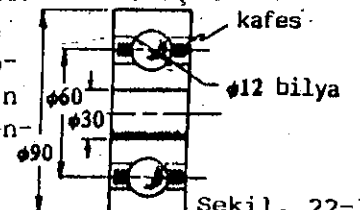
Yatak	6200	6201	6202	6203	6204
C, N	3900	5300	6000	7350	9800

Cev.  $C = 9430\text{N}$ , 6204 no'lu yatak uygundur.

28. 6203 no'lu tek sıralı, derin yivli yatakda basit statik yük değeri,  $C_o = 4500\text{N}$  ve basit dinamik kapasite,  $C = 7350\text{N}$  dur. Beklenen ömrü ne kadardır? Radyal yük,  $F_r = 1350\text{N}$ , ve eksenel itme yükü  $F_a = 1260\text{N}$ . Dış bilezik sabittir. Cev.  $F_a/C_o = 1260/4500 = 0,28$ ,  $e = 0,38$ ,  $Y = 1,15$ , ve eşdeğer yük,  $P = 2205\text{N}$ . Beklenen ömrü  $37,0 \times 10^6$  dönüş kadardır.

29. 28. Problemde olduğu gibi, sadece  $F_a = 250\text{N}$  alarak tekrar çözüm yapınız. Cev.  $F_a/C_o = 250/4500 = 0,56$ ,  $e = 0,26$ ,  $F_a/VF_r = 250/(1)(1350) = 0,185$ ,  $X = 1$  ve  $Y = 0$ , ve eşdeğer yük,  $1350\text{N}$ . Beklenen ömrü ise  $161 \times 10^6$  dönüş olur.

30. Bir bilyalı yatakdaki boyutlar, Şekil. 22-12'de olduğu gibidir. Eğer dış bilezik  $1000\text{d}/\text{dk}$  da dönüyorsa ve iç bilezik sabit tutuluyorsa, kafesin dönüş hızı ne olacaktır? Bilyalarla kanal arasında hiç kayma olmayacağı kabul edilecektir. Cev.  $600\text{d}/\text{dk}$ .



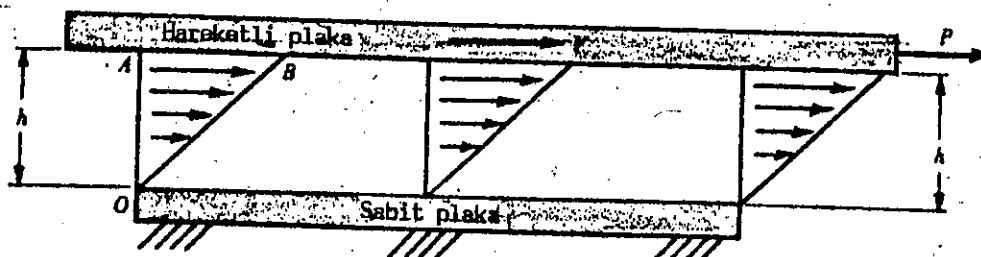
Şekil. 22-12

# 23

## Yağlama ve Yatak Dizaynı

**YAĞLAMA**, hakiki yüzey temasını azaltmak veya ondan korunmak için bazı makine elemanlarının sürtünmenin yüzeyleri arasına doldurulan yağlayıcıların fonksiyonlarıyla ilgiliidir. Ana gaye aşınmanın azaltılması ve sürtünme katsayısının düşürülmesi olmaktadır. Yağlar ve gresler çok kullanılan yağlayıcılar olarak bilinirler. Ayrıca yeterli viskosite değerine sahip başka maddelerle yağlayıcı olarak kullanılabilir. Yağlayıcı genelde sıvı haldedir. Mamafig, bazı katılar, grafit, sabuntaşı ve diğer yağlı aşındırıcı olmayan katılarda kullanılabilir. Hatta bazı şartlar altında gazlarında kullanıldıkları ve iyi neticeler verdikleri bilinmektedir.

**VİSKOSİTE**, yağlayıcının çok önemli bir özelliğidir. Viskositeyi en iyi bir şekilde anlamak için,  $\mu$  kuvvetinin etkisi altında hareket edin bir düz plaka ele alınır. Bu hareketli plaka sabit bir plakaya paralel bulunmaktadır. İki plaka arasında,  $h$  kalınlığında bir film tabakası bulunmaktadır. (Şekil. 23-1).



Şekil. 23-1

Yağlayıcı partikülleri sabit ve hareketli plakaları sıkı bir şekilde yapışırlar. Harekette lineer bir kayma veya film kalınlığının tamamındaki partiküllerde kesme ortaya çıkabilemektedir.

Eğer, sıvı ile temas halindeki plaka alanı,  $A$  ise, birim kesme gerilmesi,

$$s_g = P/A$$

Newton, bu kesme gerilmesi değerini tayin etmiş ve bunun doğrudan hız gradyeni ile değiştigini belirtmiştir,  $dV/dy$ . Sivının iki plaka arasını tamamıyla doldurduğu kabul edilmektedir. Böylece her noktadaki hızın aynı olduğu ve plakanın hızına dik olan herhangi bir akışın ihmali edilebileceği kabul edilebilir. Böylece,

$$s_g = \frac{P}{A} \alpha \frac{dV}{dy} \text{ veya } s_g = \mu \frac{dV}{dy}$$

$\mu$ , bir katsayı olup, viskosite olarak tanımlanır (veya bazen mutlak viskosite) film kalınlığı küçükse, böyle bir durum yataklar için geçerlidir. Hız gradyeni yaklaşık olarak sabittir. (Şekil. 23-1) Böylece,  $dV/dy = V/y$  ve  $d\mu = s_g h/V$ .

Viskosite birimleri,  $(N/m^2)(m)/(m/s) = Ns/m^2$ . Mamafig, pratikde viskositeyi kütle birimleri cinsinden  $Ns/m^2$  yani kg/ms ifade etmek daha uygun görülmektedir.

Viskosite çalışmalarında kullanılan iki ayrı metod daha vardır. Bunlar sırasıyla Saybolt Universal Viskosite ve Kinematik Viskosite olup, aşağıdaki ifadelerle tanımlanırlar.

$$\mu = \left( 0,00022t - \frac{0,18}{t} \right) \text{ kg/ms}$$

$$\text{Kinematik Viskosite} = \frac{\mu}{\rho} \text{ m}^2/\text{s}$$

$\mu$  = Mutlak viskosite, kg/ms

$t$  = Saybolt Universal viskositesi, seconds

$\rho$  = Yağlayıcı yoğunluğu,  $\text{kg}/\text{m}^3$

Yağlar için ortalama değer,  $\rho = 900 \text{ kg}/\text{m}^3$  olup, dizayn için çoğu zaman yeterlidir. Petrol yağları için, herhangi bir santigrad sıcaklığında, daha hassas  $t$  değer hesaplamaya bulunabilir.

$$\rho_{15} = \rho_{15} - 0,000657t$$

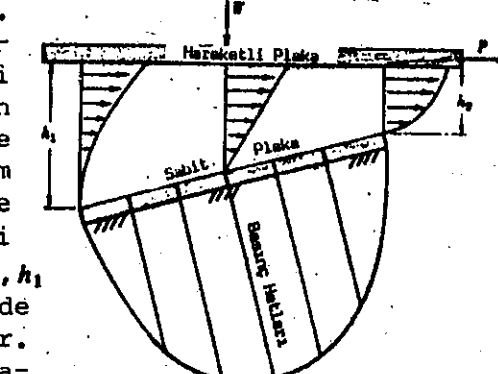
$\rho_{15}$  15 °C deki yoğunluktur.

Aynı zamanda, karterde kullanılan yağı SAE numarasıyla belirtilir. Bu da aşağıdaki listede görüldüğü gibi, Saybolt Universal ile ilgildir.

SAE Viskosite Sayısı	Saybolt, Viskosite kademesi, sec. 54 °C	SAE Viskosite Sayısı	Saybolt viskosite kademesi, sec. 100 °C
10	90-120	40	80
20	120-185	50	80-105
30	185-255	60	105-125
40	255	70	125-150

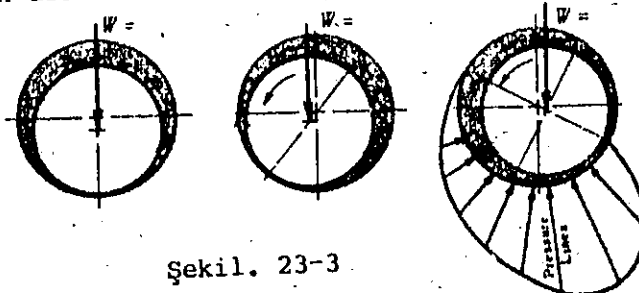
Yağ filmi ince olduğu zaman, Şekil. 23-2'de olduğu gibi, sabit plaka, hareketli plakaya paralel ise sıvının çeşitli tabakalarına ait hızlar, sabit plakadan olan mesafeleriyle orantılıdır ve hız gradyanı üçgeni  $OAB$  alanı, biriminden geçen birim zamanındaki hacimle doğru orantılıdır. Bu durumda, hareketli plaka yük taşımayacaktır. Film kalınlığı,  $h$  ve  $h$  olarak değişirse, yani yağ  $h$  de girmekte,  $h$  de düzeni terk etmektedir. Hız gradyeni her iki durum için aynı olacaklardır. Girişte, hız eğrisi konkav ve çıkışta konveksdir. (Şekil. 23-2.) Şekiller, böylece, hız eğrilerince oluşturulan, hız eğrileri daralan filde, üçgen şeklinde değildir. Fakat kaçak olmadığı sürece eşit alanlara sahiptirler. Hareketli plaka şimdi, bir W yükünü, hız basınç bağıntısından dolayı taşıyabilecektir. Neticede, yağ filmi sıfırdan maximum ve maximumdan sıfıra doğru basınç değeri yaratılmış olacaktır.

**KAYMALI YATAKLAR**, yağlayıcı filmi üzerinde, yükleri taşımak için, daralan filme ait basit teorinin uygalandığı yerler olarak tanımlanabilirler. Şekil. 22-3'de, 3 ayrı durum için, kaymalı yatakdaki önden kesitler göst-

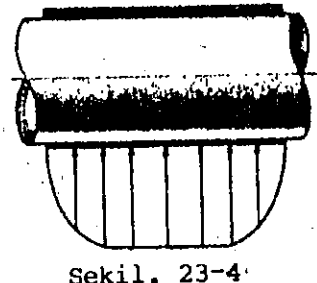


Şekil. 23-2

rilmıştır. Hareketsiz, başlangıç ve çalışma halleri, hareketsiz ve bağlanı-  
gıcı ve çalışma halleri, hareketsiz ve başlangıç durumlarında mil ile  
yatak arasında temas söz konusudur. Mamafih, daha sonra açıklanacağı üzere



Şekil. 23-3.



Şekil. 23-4.

ideal veya kalın film yağlaması ile karşılaşılması istenen bir şart ise, mil yatağından bir yağlayıcı filmiyle ayrılacaktır. Bu da çalışma safhasında gösterilmiştir. Yükde basınç filmiyle taşınacaktır. İnce film veya uygun olmayan yağlama terimleri, yatak dizaynı ve yağlayıcı seçiminin bütün istekleri karşılamaması halinde tatbik edilmektedir. Mil ve yatak arasındaki temasdan tamamıyla kurtulanamaz. Yatak uçlarından olabilecek yağ kaçağından dolayı, Şekil. 23-4'de gösterildiği üzere, eksenel yönde basınç dağılımı vardır. Kaymali yatağın yük taşıma kapasitesi, tam yağlamada, birçok değişkenin fonksiyonudur. Fakat, aslında, spesifik çalışma şartları için, tam yağlamadan sağlanması, uygun yağlayıcının seçiminde bir etken faktördür ve aynı zamanda dengeli ısı dağılımı sağlamak için ve bu ısının yatağa herhangi bir hasar vermemesi içinde, uygun yağlayıcı oldukça önem taşımaktadır.

**ORTAYA ÇIKAN ISI,**  $H_g$ , kaymali bir yatakda,  $f$  sürtünme katsayısının bir fonksiyonudur:

$$H_g = fW \frac{\pi DN}{60} \text{ watt.}$$

$H_g$  = Ortaya çıkan ısı, watt

$N$  = Mil dönüş hızı, d/dk

$f$  = Sürtünme katsayıısı

$W$  = Toplam radyal yatak yükü, newton.

$D$  = Mil çapı, m

Bu noktadaki ana problem, mil sürtünme katsayısının çok yakın bir yaklaşımıyla tayin edilebilmesidir.  $f$  için hassas bir değer elde etmek belki çok zordur. Zira bu tamamıyla çalışma şartlarına bağlıdır. Bu bölümdeki tartışmalar ( $360^\circ$ ) lik kaymali yataklar için sınırlandırılmıştır.

Çeşitli araştırmacılar, boyutsal analizi uygulayarak, mil sürtünme katsayısının en azından üç boyutsuz parametrenin fonksiyonu olduğunu göstermişlerdir.

$\mu N/p$ ,  $D/C$ , ve  $L/D$ .

$\mu$  = Çalışma sıcaklığında, yağlayıcının mutlak viskositesi, kg/ms

$N$  = Mil dönüş hızı, d/dk,  $N'$  = mil hızı, d / saniye

$p$  = İzdüşüm alanı üzerinde yatak basıncı  $W/LD \text{ N/m}^2$

$W$  = Yatakda radyal yük, newton,

$D$  = Mil çapı, m

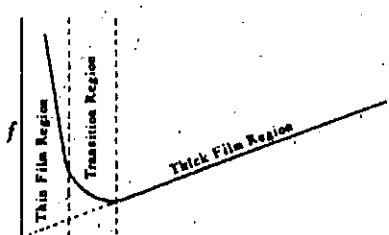
$C$  = Yatak ve mil arasındaki boşluk, m

$L$  = Yatak boyu, m

Aslında  $\left(\frac{\mu N}{p}\right)$  boyutsuz değildir. Zira  $N$  d/dk olarak verilmektedir. Ve sonraki tablolarda,  $N'$  d/dk olarak, fakat bunların her ikisi de pratik de ortak değerlere sahiptirler.

Sürtünme katsayısı ile  $\mu N/p$ , parametresi arasındaki bağıntıya yatak modülü denilmektedir. Şekil. 23-5 eğrisi, tipik bir eğridir. Fakat, kalın film bölgesindeki eğim ve düz doğruya ait açılık,  $C/D$  boşluk oranı ve  $L/D$  oranına bağlıdır. Tecrübelerle, McKee tarafından yapılan bir küçük kaymali yatakdaki, sürtünme katsayısına ait yaklaşık ifade,

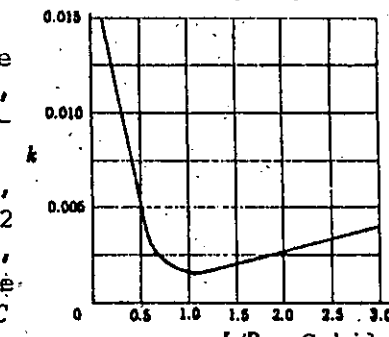
$$f = 0.326 \left( \frac{\mu N}{p} \right) \frac{D}{C} + k$$



Şekil. 23-5

Bu ifade, kalın film bölgesindeki eğriye ait düzgün doğru parçasının yardımıyla, sürtünme katsayısının tayininde kullanılabilir.

Tecrübeler göstermiştir ki,  $k$ ,  $L/D$  oranı, 0,75 ile 2,8 arasında değişim şartıyla 0,002 olarak alınabilir. Şekil. 23-6'ya göre,  $k$  nin nasıl değiştiği izlenebilir. Genelde bu değere  $L/D$  oraniyla ulaşılmalıdır.  $D/C$  için pratikde kullanılan ortalama değer 1000 dir ve  $L/D$  nin pratikde kullanılan değerleri 1 ile 2 arasında değişmektedir. Bu değerler, yer müsait olduğu sürece, uzun yatak kullanıldığı zaman daha iyi neticeler vermektedir.  $\mu N/p$  için pratikdeki çalışma değerleri tayin edili halde, çeşitli kullanım yerleri için aşağıdaki tabloda verilmiştir. Geçiş bölgesiyle, kalın film bögesine geçişini önlemek için  $\mu N/p$  nin çalışma değeri yeterince büyük olmalıdır.



Şekil. 23-6

#### TİPİK KAYMALI YATAK UYGULAMALARI

Kullanıldığı Yer	Yatak	max. Basınç $p$ (MN/m <sup>2</sup> )	Yağlayıcı	
			$\mu$ (kg/ms)	$\mu N/p \times 10^6$
Otomobil ve uçak motorları	Ana Yatak	5-12	0,007	2,2
	Krank Pimi	10-23	0,008	1,5
	Biyel Pimi	14-35	0,008	
Gaz ve Yağlı Motorlar	Ana Yatak	3,5-8	0,02	3
	Krank Pimi	7-12	0,04	1,5
	Biyel Pimi	8-14	0,065	
Deniz Motorları	Ana Yatak	3,5	0,03	3
	Krank Pimi	4	0,04	2,2
	Biyel Pimi	10	0,05	
Stasyoner (sabit) Buhar Makineleri	Ana Yatak	1,5-3	0,015-0,06	3
	Krank Pimi	4-10	0,03-0,08	0,9
	Biyel Pimi	12	0,025-0,06	
Pistonlu pompalar ve Kompresörleri	Ana Yatak	2	0,03	4,4
	Krank Pimi	4	0,05	2,2
	Biyel Pimi	7	0,08	
Buhar türbinleri	Ana Yatak	0,5-2	0,002-0,016	15
Rotary motorlar ve pompa lar	Mil	0,5-1,5	0,025	30

**DİĞER METODLAR**, mil sürtünmesinin tayininde kullanılmak üzere devreye sokulabilir. Bu metodlar sırasıyla, Petroff eşitliği ve hidrodinamik teoriye dayanmaktadır.

**PETROFF İFADESİ**, 1883'de geliştirilmiş ve yatakla mil arasındaki konsantrik bağılı kalarak, mil sürtünmesi için çıkarılmıştır. (Radyal yük yok)

$$f = \frac{\pi^2}{30} \left( \frac{\mu N}{P} \right) \frac{D}{C} = 2\pi^2 \left( \frac{\mu N'}{P} \right) \frac{D}{C}$$

Bu ifade, yüksüz bir yatak için çıkarıldığından, sadece hafif yüklü yataklar için kullanılırlar.

**SOMMERFELD SAYISI**,  $S$ , bir başka boyutsuz bir parametredir veya yağlama analizlerinde kullanılır. Hidrodinamik teoriye dayanarak, Sommerfeld sayısının sadece duruma bağlı olduğu gösterilebilir. Sonra bu değer,  $f(D/C)$  degeriyle aynı düzlemede apsis ve ordinatta gösterilerek, mile ait sürtünme katsayısı tayin edilebilir. Sommerfeld sayısı,

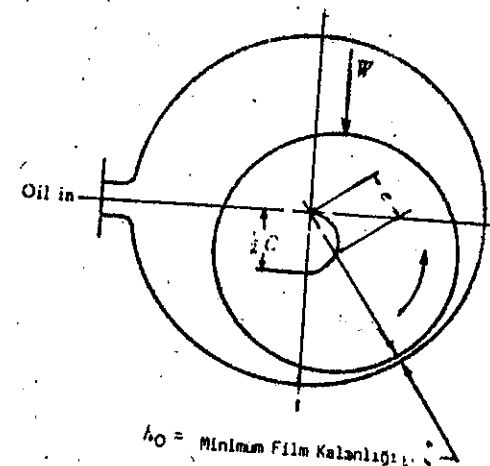
$$S = \frac{\mu N'}{P} \left( \frac{D}{C} \right)^2$$

Petroff eşitliğinin, hataya düşüğü ana katsayılarından birisi yatağın yük altında eksantrisitesini hesaba katmasıdır. Sommerfeld sayısı ile,  $f(D/C)$  birlikte aynı düzlemede gösterilecek olursa, hidrodinamik teoriye bağlı olarak, bu eksantrisiteyi hesaba katacaktır. Milin eksenini, yük altında yatakla konsantrik olmamakta, fakat  $C/2$  çapının yarı dairesel yayı üzerinde yaklaşık hareket eder. Bu da  $h_0$ , minimum film kalınlığının tanımının yapılmasını sağlar. Şekil. 23-7. Oldukça büyütülerek gösterilmiştir.) Yatak eksenile mil eksen arasındaki farka eksantrisite denilmekte ve harfi ile gösterilmiştir. Bu eksantrisitenin radyal boşluğa oranına eksantrisite oranı denilir.

$$\text{Eksantrisite}, \epsilon = \frac{2e}{C} = 1 - \frac{2h_0}{C}$$

Unutulmamalıdır ki, Petroff eşitliği ve ilk çizilen  $f(D/C)$  ile Sommerfeld sayısı grafiği ideal yataklar düşünülerek gerçekleştirilmiştir. (Kaçak yok.) Uçtaki kaçak için çeşitli dizayn metodları geliştirilmiştir. Ayrıca, eksantrisite düzeltme katsayısının bu ifadelerle bağıntılarının içeren birçok çalışma yapılmıştır. Geçmişte, bu metodların çoğu hassas olmadıkları gibi tamamıyla yeterli bile değildir.

**DİZAYN EĞRİLERİ**, Westinghouse Araştırma Laboratuvarlarından A.A. Raimondi ve John Boyd tarafından hazırlanan çalışma karakteristikleriyle sommerfeld sayısının bulunduğu eğri grubu, uçtaki kaçaklar ve çeşitli  $L/D$  oranları için düzenlenir. (ASME Transactions Volume 1, No. 1, Nisan 1958). Son eğrileri rasional esaslara göre geliştirilmiş ve neticeler komputer kullanımıyla elde edilmiştir. Bu eğriler yazarların 1951 yılında ortaya attıkları eğrilerin yerini almaktadır. Onların daha önceki eğriler uçtaki kaçaklar için düzeltme katsayılarını gerektirmektedir. Son elde edilen



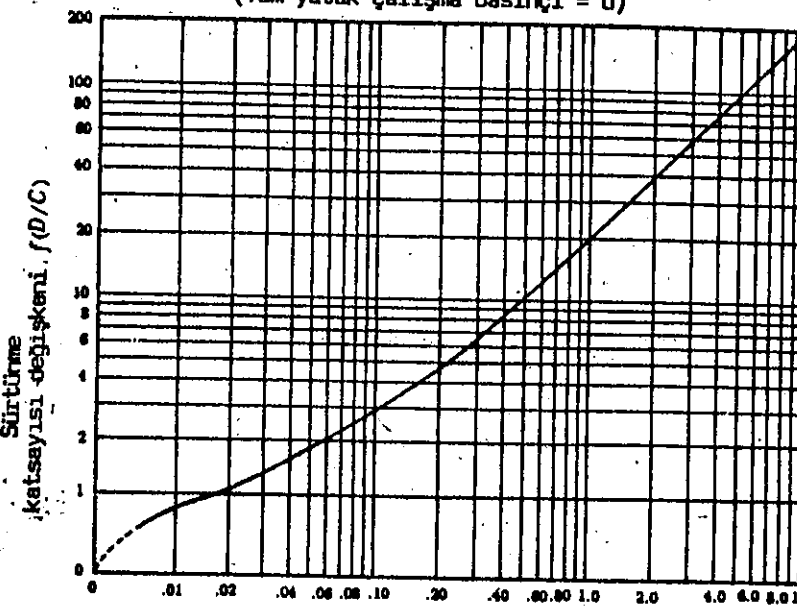
Şekil. 23-7

eğriler, uç kaçakları için gerekli katsayıları elimine etmektedir ve böylece yatakların çalışma karakteristiklerini tayinin oldukça basitleştirmektedir. Bu listelerin bir kısmı, tam kaymali yatak ( $360^\circ$ ) için rastgele seçilmiştir. Bu eğriler aynı zamanda film kopmasına ortaya çıkabilir ihtimali gözöründe tutularak çıkarılmıştır.

Kısmi yataklar için okuyucunun orijinal makaleye müracaat etmesi gerekir. Ayrıca, optimum performans için gerekecek yatak dizaynı yanısıra  $L/D$  oranında başka kaynakların hakkında da bilgiler mevcuttur.

**SÜRTÜNME KATSAYISI**, Şekil. 23-8'den tayin edilebilir. Sürtünme katsayısı  $f(D/C)$  ile Sommerfeld sayısı eğri takımının apsis ve ordinatıdır.

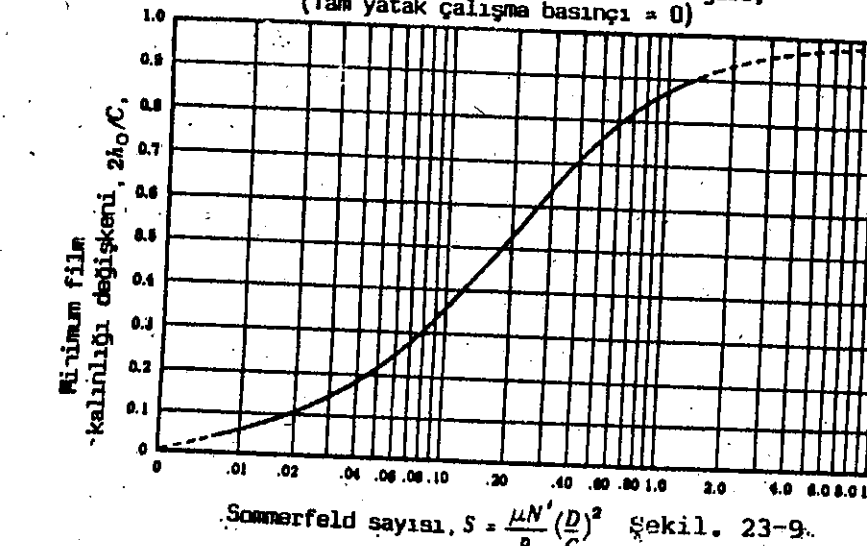
$L/D = 1$  için Raimondi ve Boyd verilerine göre,  
(Tam yatak çalışma basıncı = 0)



Sommerfeld sayısı,  $S = \frac{\mu N' (D)}{P C}$  Şekil. 23-8

**MINIMUM FILM KALINLIĞI**, aşağıdaki Şekil. 23-9'dan elde edilebilir. Minimum film kalınlığı değişkeni ile Sommerfeld sayısı, apsis ve ordinat olarak bir düzlemede gösterilmiştir.

$L/D$  için Raimondi ve Boyd verilerine göre,  
(Tam yatak çalışma basıncı = 0)

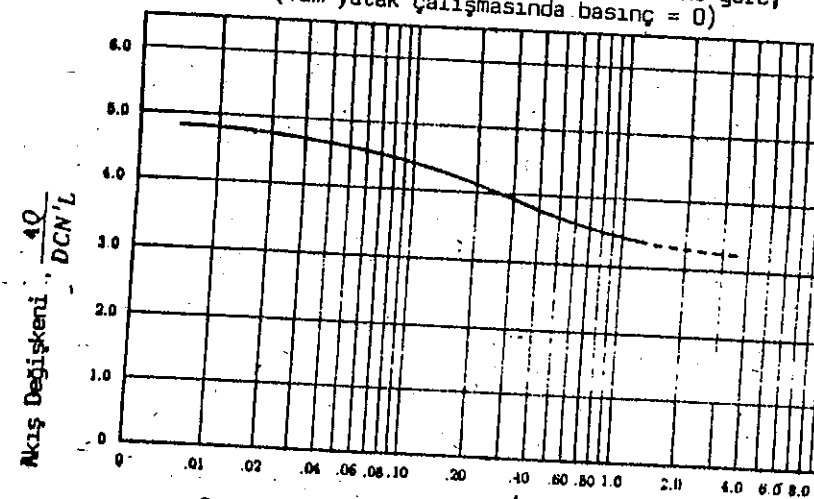


Sommerfeld sayısı,  $S = \frac{\mu N' (D)}{P C}$  Şekil. 23-9.

Müsaade edilen minimum film kalınlığı esas olarak boyutlara ve yataklı işe durumuna bağlıdır. Yüzey kaba olduğu sürece, kalın film kalınlığı gerekecektir. Beyaz metal kaplı yataklarda, film kalınlığı 0,02mm den az olmamalıdır. Büyük güçlü makinelerde, minimum film kalınlığı 0,025 ile 0,15mm arasında sınırlanmıştır. Bir kaideye görede minimum film kalınlığı 0,00025D olmalıdır.

**YAG AKIŞI,  $Q \text{ m}^3/\text{s}$** , Yatakdan akış, milin pompalama özelliğinden dolayı ortaya çıkar ve Şekil. 23-10'dan bulunabilir. Akış değişkeni  $\frac{4Q}{DCN'L}$  ile Sommerfeld sayısı, ordinat ve apsis olarak alınmışlardır.

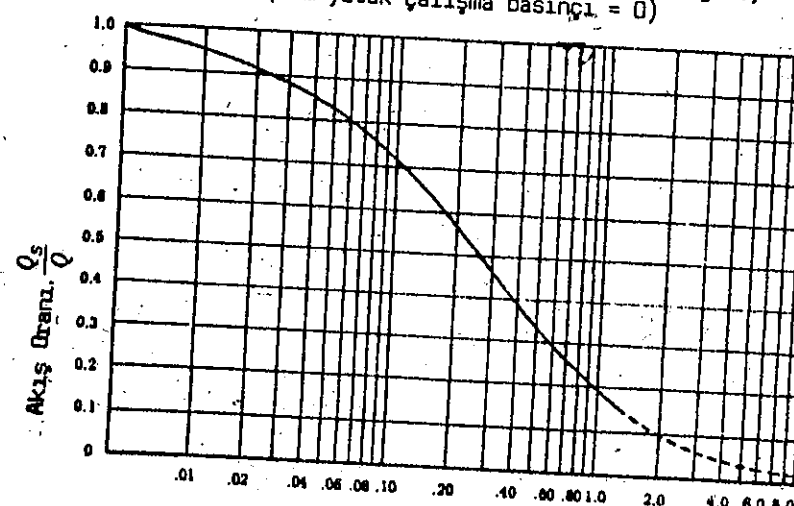
$L/D = 1$  için, Raimondi ve Boyd verilerine göre,  
(Tam yatak çalışma basıncı = 0)



$$\text{Sommerfeld Sayısı } S = \frac{\mu N' (D)}{P C} \quad \text{Şekil. 23-10}$$

**ÜÇ KAÇAKLARI,  $Q \text{ m}^3/\text{s}$** , Yatağın her iki ucundan olmak üzere, aşağıdaki Şekil. 23-11'den bulunabilir.  $Q_s/Q$  oranı ordinat ve Sommerfeld sayısı apsis olarak çizilen eğri takımında,  $Q_s$  atmosferik basınçda, kaçak kaybının önemek için yatağa basılması gereken yağ miktarını göstermektedir.

$L/D = 1$  için, Raimondi ve Boyd verilerine göre,  
(Tam yatak çalışma basıncı = 0)



$$\text{Sommerfeld Sayısı } S = \frac{\mu N' (D)}{P C} \quad \text{Şekil. 23-11}$$

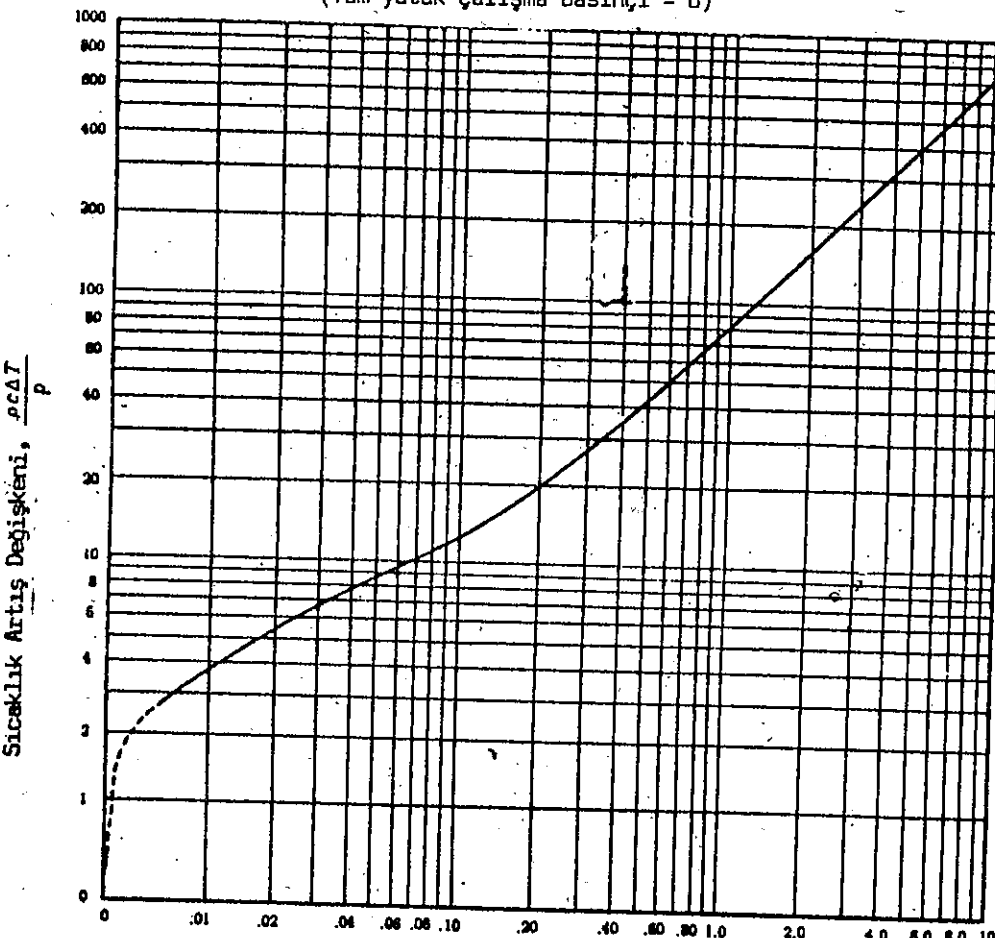
**SICAKLIK ARTIŞI**, yatakdan geçerken yağın sıcaklığı artacaktır. Bu artış miktarı, Şekil. 23-12'den kolaylıkla bulunabilir. Sıcaklık artışı değişkeni  $\rho c \Delta T / P$  ordinat ve Sommerfeld sayısı apsis olarak ele alındığında karşımıza aşağıdaki eğri sistemi çıkar. Ortaya çıkan ısinın tamamının yatakdan geçen yağın ısı sıcaklığını artırmakta kullanıldığı kabul edilmektedir.

$$\rho = \text{Yağlayıcının yoğunluğu, kg/m}^3$$

$$c = \text{Yağlayıcının özgül ısısı, Nm/kg}^\circ\text{C} \quad (1675 \text{ Nm/kg}^\circ\text{C bütün yağlar için})$$

$\Delta T =$  Yatakdan geçiste, yağlayıcıdaki sıcaklık artışı,  $^\circ\text{C}$ , sıcaklık artışı, kama filminde kenarlar arasında ortaya çıkmaktadır.

$L/D = 1$  için, Raimondi ve Boyd verilerine göre,  
(Tam yatak çalışma basıncı = 0)



$$\text{Sommerfeld Sayısı, } S = \frac{\mu N' (D)}{P C} \quad \text{Şekil. 23-12}$$

**RAIMOND-BOYD VERİLERİİNİN MUKAYESESİ**, McKee ve Petroff eşitliği ile yapıldığında,  $f'D/C$  ile Sommerfeld sayısı  $360^\circ$  lik kaymali yatakda  $L/D$  oranına göre, aşağıdaki Tablo ortaya çıkarılır.

$f(D/C)$  360° lik kaymali yatakda  $L/D = 1$

Sommerfeld Sayısı $S$	Raimond-Boyd verisi, Çalışma basıncı = 0	Petroff eşitliği	$D/C = 1000$ ve $f = 0.002 + 0.326 \left( \frac{\mu N}{P} \right) (1000)$ ve yi kullanarak McKee ifadesi
0,01	0,8	0,197	2,196
0,02	1,1	0,395	2,39
0,04	1,6	0,789	2,79
0,06	2,1	1,17	3,12
0,08	2,4	1,58	3,57
0,10	2,8	1,97	3,96
0,20	4,6	3,95	5,92
0,40	8,4	7,89	9,84
0,60	12,0	11,7	13,8
0,80	16,0	15,8	17,7
1,00	20,0	19,7	21,6
2,00	40,0	39,5	41,2
4,00	80,0	78,9	80,
6,00	120,0	117.	119.
8,00	160,0	158.	159.
10,00	200,0	197.	198.

$f(D/C)$  değerleri, hafif yüklü yataklar için birbirlerine yakın olmaktadır. Örneğin, yüksek Sommerfeld sayıları için,

YAYILAN ISI,  $H_d$ , 360° kaymali yatakdan, ısı transferiyle ortaya çıkar ve Lasche'nin yaptığı çalışmaya göre aşağıdaki şekilde hesaplanabilir.

$$H_d = \frac{(\Delta T + 18)^2}{K} (LD) \text{ watts}$$

$\Delta T = (T_B - T_A)$  = Yatak yüzeyi sıcaklığı,  $T_B$  ve ortamındaki hava sıcaklığı  $T_A$  arasındaki sıcaklık farkı °C

$K = 0,273$  iyi havalandırılmış, ağır hizmet yatağı için °Cm²/W

$K = 0,484$  hafif ve orta ağır işler için kullanılabilecek yataklar

için, havada °Cm²/W

$L$  = Mil uzunluğu, m

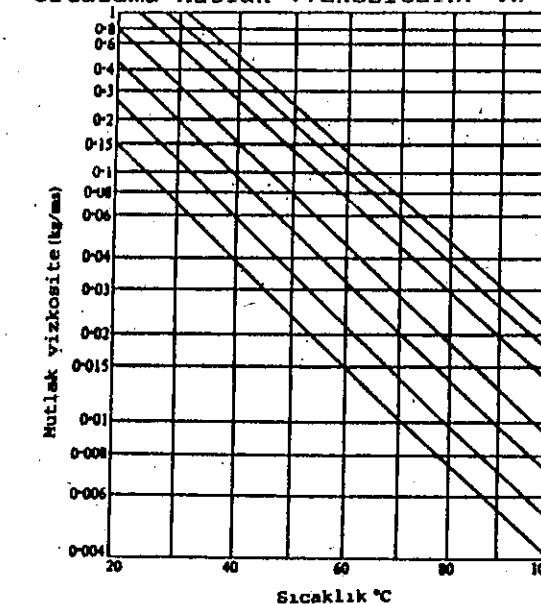
$D$  = Mil çapı, m

Yağın çalışma sıcaklığı  $T_o$  ve  $T_A$  hava sıcaklığı ve Yatak sıcaklığı  $T_B$  arasındaki bağıntı yaklaşık olarak,

$$\Delta T = (T_B - T_A) = \frac{1}{2}(T_o - T_A)$$

SAE sayıları için ortalama mutlak vızkositeler ordinat ve sıcaklıkta apsis olarak Şekil. 23-13'de çizilmiştir.

Tipik SAE Yağ Numaraları  
Ortalama Mutlak Vızkositeler ve Sıcaklık



Şekil. 23-13

- 75mm uzunluğundaki kaymali bir yatakda çap 75mm olup, 12kN luk yük taşımaktadır. Mil 1800d/dk da dönmektedir.  $D/C$  oranını 1000 kabul ederek ve yağ vızkositesini 0,01kg/ms alarak, çalışma sıcaklığında vızkosite, sürtünme katsayısını, (a) McKee ifadesini kullanarak, (b) Raimondi ve Boyd eğrisini, 23-8 kullanarak hesaplayınız. (Not:  $L/D = 1$ )

Çözüm:

$$(a) \text{ McKee ifadesini kullanarak, } f = 0.002 + 0.326 \left( \frac{\mu N}{P} \right) \frac{D}{C} = 0.002 + 0.326 \left( \frac{0.01 \times 1800}{2,13 \times 10^6} \right) = 0.00475$$

$$k = 0,002, L/D = 1 \text{ için Şekil. 23-6'dan ve } P = W/LD = \frac{12.000}{(0.075)^2} = 2,13 \text{ MN/m}^2$$

- Raimondi ve Boyd eğrisini kullanmak için (Şekil. 23-8) önce Sommerfeld sayısını hesaplamak gereklidir.

$$S = \frac{\mu N'}{P} \left( \frac{D}{C} \right)^2 = \frac{(0,01)(30)}{2,13 \times 10^6} (1000)^2 = 0,141 \quad N' = \frac{1800}{60} = 30 \text{ d/s}$$

Şekil. 23-8'den,  $S = 0,141$  bize  $f(D/C) = 3,7$  değeri verir. Sonra,  $f(1000) = 3,7$  veya  $f = 0,0037$  bulunmuş olur.

- Probleme müracaat ederek, McKee ifadesince tespit edilen sürtünme katsayısını kullanarak, ortaya çıkan ısı miktarını hesaplayınız.

Çözüm:

Yayılan ısı miktarını, ortaya çıkarılan ısıya eşit kılarken,

$$H_d = fW \frac{\pi DN}{60} = \frac{(0,00475)(12,000)\pi(0,075)(1800)}{60} = 403 \text{ watt}$$

1. ve 2. Problemler için, yatak yüzeyindeki sıcaklığı hesaplayınız. Lasche ifadesini kullanınız. 20°C sakin havada ortaya çıkan ısının tamamının yayıldığı kabul ediniz.

$$\text{Çözüm: } H_d = \frac{(\Delta T + 18)^2}{0,484} LD = H_s, \quad \frac{(\Delta T + 18)^2}{0,484} (0,075)(0,075) = 403, \Delta T = 168^\circ\text{C}$$

Sonra,  $T_B = \Delta T + T_A = 168 + 20 = 188^\circ\text{C}$ , çok yüksek bir sıcaklıktır. Her ne kadar, SAE 70 kullanılıyorsa, bunun yetersiz olacağının aşikardır.

## Çözümlü Problemler

4. Kaymali bir yatak 75mm uzunluğunda olup, 7.3kN luk yük taşımaktadır. Yatakta dönen mil çapı 50mm ve mil 750d/dk da dönmektedir. Çapsal boşluk 0,07mm dir. Sakin hava sıcaklığı 20 iken, yatak yüzeyini 75°C sıcaklıkta sınırlayabilmek için kullanılacak yağın viskozitesi ne olmalıdır?

**Cözüm:**

McKee ve Lasche ifadelerini kullanınız ve ortaya çıkan isının yayılan ısıya eşit kabul ediniz.

$$f = 0.002 + 0.326 \left( \frac{\mu N}{p} \right) \left( \frac{D}{C} \right) = 0.002 + 0.326 \frac{\mu (750)}{1.95 \times 10^6} \left( \frac{50}{0.07} \right) = 0.002 + 0.0897\mu$$

$$H_g = fW \frac{\pi DN}{60} = (0.002 + 0.0897\mu) \frac{(7300)\pi(0.05)(750)}{60} = 28.7 + 1290\mu$$

$$H_d = \frac{(\Delta T + 18)^2}{0.484} LD = \frac{(75 - 20 + 18)^2}{0.484} (0.075)(0.05) = 41.3 \text{ watt}$$

Sonra,  $H_g = H_d$ , eşitliğini kabul ederek,

5. Kaymali bir yatakta çap 150mm, boy ise 225mm olup 1200d/dk da 9000N taşınmaktadır. Radyal boşluk 0,075mm ve yatak, sürtünme ile 14kW açığa çıkarmaktadır. Çalışma sıcaklığında yağın viskozitesi ne olur? **Cözüm:** McKee ifadesine bağlı olarak,

$$1500 = fW \frac{\pi DN}{60} = \left[ 0.002 + 0.326 \left( \frac{\mu \times 1200}{0.267 \times 10^6} \right) \left( \frac{150}{0.15} \right) \right] \frac{(9000)\pi(0.15)(1200)}{60} \text{ or } \mu = 0.0107$$

6. Kaymali bir yatakta çap 100mm ve boy 150mm olup, 5000N luk radyal bir yük taşınmaktadır. Mil hızı 500d/dk dir. Ortam sıcaklığı 30°C ve yatak yüzeyinin 60°C'la sınırlanması istenmektedir. Yukarıdaki şartlar için uygun yağ seçimi yapınız. Yatak iyi havalandırılmış olup, suni soğutma kullanılmamaktadır. D/C yi 1000 alınız. **Cözüm:**

Ortaya çıkan ısı değeriyile yayılan ısı değerini eşit kılarak, ve McKee ve Lasche denklemlerini kullanarak,  $28.7 + 1290\mu = 41.3$ ,  $\mu = 0.00981 \text{ kg/ms}$

$$H_g = fW \frac{\pi DN}{60} = \left[ 0.002 + 0.326 \left( \frac{\mu \times 100}{5000/(0.15 \times 0.1)} \right) 1000 \right] \frac{5000\pi(0.15)(500)}{60} = 26.18 + 6401\mu$$

$$H_d = \frac{(\Delta T + 18)^2}{0.273} LD = \frac{(30 + 18)^2}{0.273} (0.15 \times 0.1) = 127 \text{ watt}$$

- Yukarıdaki ifadelerde,  $\Delta T = T_B - T_A = 60 - 30 = 30^\circ\text{C}$ .  $\therefore \Delta T = \frac{1}{2}(T_O - T_A)$   
Şimdi  $H_g = H_d$  yazalım. Neticede  $30^\circ\text{C}$ ,  $\mu = 0.0172 \text{ kg/ms}$  elde edilir.

Bunun şartlı 23-13 kullanılarak SAE 40 ve SAE 50 ye tekrabüttü. Ettiği yük 5000N, mil 500d/dk, radyal boşluk 0,075mm, yatak boyunun 125mm ve taşınacak yükün 20kN olacağı bilinmektedir. Mil 1000d/dk da dönmektedir. Ortam sıcaklığının  $35^\circ\text{C}$  ve yatak dış yüzey sıcaklığının  $75^\circ\text{C}$  yi geçmeyeceği söylemektedir. Kullanılan yağın viskozitesi  $15^\circ\text{C}$  de  $0.01 \text{ kg/ms}$  dir. Gerekli suni soğutma miktarını hesaplayınız. Soğutma, dıştan yağ soğutma şeklinde olacaktır.

- Cözüm:**  $\Delta T = T_B - T_A = \frac{1}{2}(T_O - T_A) = 75 - 30 = 40^\circ \therefore T_O = 115^\circ\text{C}$  and  $\mu = 0.01 \text{ kg/ms}$

$$p = W/LD = 20,000/(0.075 \times 0.125) = 2.13 \text{ MN/m}^2. \text{ Assume } D/C = 1000.$$

$$f = 0.002 + 0.326 \left( \frac{\mu N}{p} \right) \left( \frac{D}{C} \right) = 0.002 + 0.326 \frac{0.01 \times 1000}{2.13 \times 10^6} 1000 = 0.00353$$

$$H_g = fW \frac{\pi DN}{60} = \frac{(0.00353)(20,000)\pi(0.075)(1000)}{60} = 277 \text{ watts}$$

$$H_d = \frac{(\Delta T + 18)^2}{0.484} DL = \frac{(40 + 18)^2}{0.484} (0.075)(0.125) = 65.2 \text{ watts assuming still air}$$

Yağ soğutucusuyla tutulan ısı miktarı  $= 277 - 65 = 212 \text{ watts. tt.}$

600d/dk da dönen bir mil, 50mm çapında ve 75mm boyundaki yataklarla taşınmaktadır. Yataklar  $30^\circ\text{C}$  lik ortam sıcaklığında çalışmaktadır.  $130^\circ\text{C}$  lik çalışma sıcaklığında kullanılacak yağın viskozitesi  $0.013 \text{ kg/ms}$  dir ve çapsal boşluk  $0,05 \text{ mm}$  olup, suni soğutma yapılmamaktadır. Yatak başına düşen yük, güç kaybını hesaplayınız.

**Cözüm:**  $T_B - T_A = \frac{1}{2}(T_O - T_A)$ ,  $T_B - 30 = \frac{1}{2}(130 - 30)$ ,  $T_B = 80^\circ\text{C}$

$$H_g = fW \frac{\pi DN}{60} = \left[ 0.002 + 0.326 \left( \frac{0.013 \times 900}{W/(0.050 \times 0.075)} \right) \left( \frac{50}{0.05} \right) \right] \frac{W(0.05)(900)}{60} = 0.00471W + 33.7$$

$$H_d = \frac{(\Delta T + 18)^2}{0.484} LD = \frac{(80 - 30 + 18)^2}{0.484} (0.05)(0.075) = 35.83 \text{ watt.}$$

$H_d$  ile  $H_g$  birbirlerine eşitlenerek,  $W = 451 \text{ N}$  elde edilir. Yatak başına düşen kayıp ise  $35.8$  watt dır.

7. Bir yatak üzerine düşen radyal yük 14kN olmak üzere, bir dişli çarkın adı geçen yatakda çalışan mile monte edildiği bildirilmektedir ve diğer taşıyıcı yatakdaki radyal yük ise 18kN dir. Her yatak 150mm boyundadır. Yataklar 90,05/90,00 a işlenmişlerdir. Mil ise 89,92/89,87 ye işlenmiştir. Yağın çeşitli sıcaklıklardaki viskozite değerleri aşağıdaki tabloda verilmiştir.

Sıcaklık °C	100	110	120	130	140
SUV, sec	225	140	94	71	57
Kinematik viskozite $\text{m}^2/\text{s} \times 10^6$	49	31	19	13	9

Çalışma sıcaklığı  $20^\circ\text{C}$

Hangi yatak ısınacaktır? Mil ve yatağın hangi kombinasyonunu daha yüksek çalışma sıcaklığı yaratacaktır? Daha sıcak yatakdaki yüzey sıcaklığını bulunuz. Bunun için McKee ifadesinin sürtünme katsayısının tayini için kullanınız. Yağın özgül ağırlığını, çalışma sıcaklığında 0,9 olarak alınız. Mil 500d/dk da dönmektedir.

**Cözüm:**

Minimum boşlukta, fazla yüklü yatak daha fazla ısınacaktır.

$$\text{Minimum boşluk, } = 90.00 - 89.92 = 0.08 \text{ mm}, p = \frac{18,000}{(0.15)(0.09)} = 1.33 \text{ MN/m}^2$$

$$f = 0.002 + 0.326 \left( \frac{\mu N}{p} \right) \left( \frac{D}{C} \right) = 0.002 + 0.326 \left( \frac{\mu \times 500}{1.33 \times 10^6} \right) \left( \frac{90}{0.08} \right) = 0.002 + 0.1379\mu$$

İsi transferi dolayısıyla, ortaya çıkan bütün ısını yatağı terk ettiği kabul edilmektedir ve yatak sakin havada çalışmaktadır.

$$fW \frac{\pi DN}{60} = \frac{(\Delta T + 18)^2}{0.484} DL$$

$$(0.002 + 0.1379\mu) \frac{18,000\pi \times 500 \times 0.09}{60} = \frac{(T_B - 20 + 18)^2}{0.484} (0.15)(0.09)$$

$$84.83 + 5849\mu = 0.02789(T_B - 2)^2$$

Son ifade, deneme ve sınama metoduyla dengelenebilir.

Önce, Yağ sıcaklığını,  $T_O = 130^\circ\text{C}$  alalım. Böylece kinematik viskozitesi  $= 13 \times 10^{-6} \text{ m}^2/\text{s}$ ,  $\mu = 13 \times 10^{-6} \times 0.9 \times 1000 = 0.0117 \text{ kg/ms}$  ve yatak yüzey sıcaklığı  $T_B = \frac{1}{2}(T_O - T_A) + T_A = 75^\circ\text{C}$  Sonra,  $84.83 + 5849(0.0117) = 15.3$

$$0.02789(75 - 2)^2 = 148.6$$

Oldukça yaklaşık değerler görülmektedir. Bu da seçilen yatak için sıcaklığın  $75^\circ\text{C}$  civarında olacağını göstermektedir.

10. 75mm çapındaki tam kaymali yatağın 3500N luk radyal yük taşıdığı bilinmektedir. Yatak boyu 75mm ve mil dönüş hızı 400d/dk dir. Müsaade edilecek minimum film kalınlığını 0,02 kabul ederek ve yatak için normal kayma geçmenin söz konusu olduğu söylemektedir. Raimond ve Boyd eğrilerini kullanarak, (a) uygun yağ için vizkosite değerini,  $\mu$  (b) sürtünme katsayısını, (c)  $H_g$ , ortaya çıkan ısı miktarını, (d) yataktan basılan yağ miktarını, (e) uç kaçak miktarını,  $Q_s$  (yatağa basılacak yağ miktarı, (f) yataktan geçen yağ için sıcaklık artışını hesaplayınız.

**Cözüm:**

(a) H8, f7 için, (Bölüm 3'e bkz.) maximum boşluğu 0,106mm alarak,

Sommerfeld sayısı,  $S$  na ait değer, Şekil. 23-9'dan tayin edilebilir. Bunun için  $2h_o/C = 2(0,02)/0,106 = 0,377$  değerini kullanıp,  $S = 0,105$  bulunabilir.

$$\text{Sonra, } S = 0,105 = \frac{\mu N'}{p} \left(\frac{D}{C}\right)^2 = \frac{\mu (400/60)}{0,622 \times 10^6} \left(\frac{75}{0,106}\right)^2 \quad \mu = 0,0205 \text{ kg/ms}$$

(b) Şekil. 23-8'den  $S = 0,105$  değeri,  $f(D/C)$  değerini 3 olarak verir. Neticede,  $f = 3(0,106)/75 = 0,00424$

$$(c) H_g = fW\pi DN/60 = \frac{(0,00424)(3500)\pi(0,075)400}{60} = 23,3 \text{ watt}$$

$$(d) \text{Şekil. 23-10'dan } S = 0,105 \text{ değeri } \frac{40}{DCN'L} = 4,4 \text{ verir. Sonra,}$$

$$\frac{40}{(0,075)(0,106)(400/60)(0,075)} = 4,4 \quad Q = 4,37 \times 10^{-6} \text{ m}^3/\text{s}$$

(e) Şekil. 23-11'den  $S = 0,105$  değeri,  $Q_s/Q = 0,7$  elde edilir. Sonra,  $Q_s = (0,7)(4,37 \times 10^{-6}) = 3,06 \times 10^{-6} \text{ m}^3/\text{s}$

(f) Şekil. 23-12'den  $S = 0,105$  değeri,  $\frac{p}{\rho c \Delta T} = 13,5$  elde edilir.  $\rho = 830 \text{ kg/m}^3$  alarak ve  $c = 1675 \text{ J/kg C}$  için (Sayfa 283'e bkz.)  $\Delta T = 6,04^\circ\text{C}$  elde edilir.

## Tamamlayıcı Problemler

11. 100mm çapındaki bir mil, 43kN luk radyal yükle tabi, 150mm uzunluğunda bir yatak tarafından taşınırken, 2000d/dk da dönmektedir. Ortam sıcaklığı  $38^\circ\text{C}$  ve yağın çalışma sıcaklığı  $80^\circ\text{C}$  ile sınırlandırılmıştır.  $\mu N/p = 30 \times 10^{-6}$  kabul edip, McKee ve Lasche denklemelerini kullanarak sürtünme katsayısını, yatak basınçını, ortaya çıkan ve yayılan ısı miktarını ve kullanılacak yağın tayin ediniz. Suni soğutma gereklilik midir? Cev.  $0,01178, 2,87 \text{ MN/m}^2, 5,3 \text{ kW}, 47,1 \text{ watt SAE 60-70}$ , Evet.

12. 50mm lik orta ağırlıktaki tam bir kaymali yatak 100mm boyunda olup, mil 800d/dk da dönerken 2,5kN luk yük taşınmaktadır. Ortamda hava ile yatak yüzeyi arasındaki sıcaklık farkını  $40^\circ\text{C}$  kabul ediniz. 0,00432, 0,00615, 0,00715, 0,00816 veya 0,00256 değerlerinden hangisi, suni soğutma gereksinimi elimine edecektir. McKee ve Lasche denklemelerini kullanınız. Cev.  $f = 0,00615$ .

13. 60mm lik kaymali yatak, 100mm boyunda olup, 2200N luk yükü 600d/dk da taşımaktadır. Ortam sıcaklığı  $24^\circ\text{C}$  ise, yatak yüzeyindeki sıcaklığın  $60^\circ\text{C}$  ile sınırlandırılması için yağ vizkositesi ne olmalıdır? McKee ve Lasche denklemelerini kullanınız. Cev.  $\mu = 0,01261 \text{ kg/ms}$

14. 5500N luk bir rotor iki yatağın orta noktasında, 800d/dk da dönen, 50mm çapındaki bir mille taşınmaktadır.  $110^\circ\text{C}$  de kullanılacak yağın vizkositesi  $0,0072 \text{ kg/ms}$  dir. Suni soğutma gereksinimi olmadan, ortam

sıcaklığı  $32^\circ\text{C}$  olmak şartıyla, yatak boyu ne olmalıdır? McKee ve Lasche denklemelerini kullanınız. Cev.  $\mu = 0,018 \text{ kg/ms}$ .

17. 150mm uzunluğunda ve 90mm çapında bir kaymali yatak, izdüşüm alanında  $2 \text{ MN/m}$  lik radyal yük taşımaktadır. Mil hızı 500d/dk dir ve H9 ve e9 geçme kullanılacaktır. Ortam sıcaklığı  $20^\circ\text{C}$  ve çalışma sıcaklığında yağın vizkositesi  $0,099 \text{ kg/ms}$  dir. Ortaya çıkan ısının,

$$H_d = \frac{(T_B - T_A + 18)^2}{0,484} \times LD \quad \text{göre yayıldığı kabul ederek, yatak}$$

yüzey sıcaklığını tayin ediniz. McKee ve Lasche denklemini kullanınız. Cev.  $T_B = 80^\circ\text{C}$

18. 125mm boyunda ve 75mm çapındaki bir kaymali yatakda minimum çapsal boşluk  $0,08 \text{ mm}$  ve taşıdığı yük  $18 \text{ kN}$  dur. Mil 500d/dk da dönmektedir. Kullanılan yağın sıcaklığı göre karakteristik değerleri aşağıda verilmiştir.

Sıcaklık $^\circ\text{C}$	110	120	130	140
Vizkosite, $\text{kg/ms}$	0,0247	0,0171	0,0118	0,0082

McKee denklemini kullanarak, ortam sıcaklığını  $25^\circ\text{C}$  alarak, ortaya çıkan ısının ısı transferiyle yayıldığı kabul ederek, yaklaşık yağ sıcaklığını hesaplayınız. Cev.  $T_o = 130^\circ\text{C}$  yaklaşık.

19. 100mm boyunda, 100mm çapında su yağlamalı bir yatak  $1300 \text{ N}$  taşımaktadır. Mil 1000d/dk da dönmektedir. Çapsal boşluk  $0,01 \text{ mm}$  ve suyun vizkositesi  $0,0003 \text{ kg/ms}$  dir.  $c = 4200 \text{ J/kg}^\circ\text{C}$  ve  $\rho = 1000 \text{ kg/m}^3$  kabul ediniz. Raimondi ve Boyd eğrilerini kullanarak, sürtünme katsayısını, minimum film kalınlığı, yatağa gelen sıvı miktarını, uç kaçaklarını, yağdaki sıcaklık artısını ve sürtünmeden dolayı olabilecek güç kaybını hesaplayınız. Cev.

$$f = 0,0016, h = 8,5 \mu\text{m}, Q = 19,2 \times 10^{-6} \text{ m}^3/\text{s}, Q_s = 16,7 \times 10^{-6} \text{ m}^3/\text{s}, \Delta T = 0,23^\circ\text{C}, 10,9 \text{ watt}$$

20. 200mm boyunda ve 200mm çapındaki bir kaymali yatak  $45 \text{ kN}$  luk radyal bir yükü taşımaktadır. Mil 1200d/dk da dönmektedir ve  $D/C$  oranı 1000 dir. çalışma sıcaklığında ( $80^\circ\text{C}$ ) yağın vizkositesi  $0,018 \text{ kg/ms}$  dir. Ortam sıcaklığı  $20^\circ\text{C}$  dir. Raimondi ve Boyd eğrilerini kullanarak, minimum film kalınlığı, yatakda ortaya çıkan ısı miktarını, yatak izdüşüm alanından  $H_d = \frac{(\Delta T + 18)^2}{0,273}$  (izdüşüm alanı) ye bağlı olarak kaybolan ısını miktarını, her iki uçtan kaçan yağ miktarını ve kaçaktan dolayı yataktan alınan ısı miktarını hesaplayınız.

$$\text{Cev. } h_o = 0,065 \text{ mm}, H_g = 3,85 \text{ kW}, H_d = 338 \text{ watt}, Q_s = 70,2 \times 10^{-6} \text{ m}^3/\text{s}, 2,22 \text{ kW}$$

# 24

## Kayış Kasnak Düzenleri

**DÜZ KAYIŞLAR VE V-KAYIŞLAR**, iki mil arasında aynı oranda hız aktarımı söz konusu olmadığı zaman güç aktarımı için kullanılırlar. Kayışlarda, kayma ve sarılmadan dolayı olabilecek güç kayıpları genelde %3 ilâ 5 arasında değişmektedir. Aşağıdaki, tartışmalarımızda, bütün millerin paralel oldukları kabul edilecektir. Mamafih, özel hallerde düz veya V-kayışlar paralel olmayan millerde kullanılırlar. Böyle bir durumda, kayışın kasnakta kalabilmesi için, kayışın her makaraya, makara dönüş eksenine dik düzlem içinde yaklaşması şarttır.

**KAYIŞ DİZAYNINDA**, gerekli gücün aktarımı için uygun kayış seçimi veya belirlenmiş bir düz veya bir V-kayışla aktarılacak gücün hesaplanması gereklidir. Birinci halde, kayışın eni bilinmemektedir. İkinci halde ise kayış eni bilinmektedir. Her iki durum için kayış kalınlığı kabul edilmektedir.

Kayış sisteminde aktarılan güç, kayış çeki kuvvetleri ve kayış hızının fonksiyonudur.

$$\text{Güç} = (T_1 - T_2)v \cdot W$$

$T_1$  = Gergin taraftaki, kayış çeki kuvveti, N

$T_2$  = Gevşek tarafındaki kayış çeki kuvveti, N

$v$  = Kayış hızı, m/sn

Kayış kalınlığının verilmesi ve eninin bilinmemesi halinde, düz kayışlar için,  $s_1$ , gerilmesinin tayini için aşağıdaki formül kullanılır.

$$\frac{s_1 - m'v^2}{s_2 - m'v^2} = e^{\alpha}$$

$s_1$  = Maximum müsaade edilen gerilme,  $N/m^2$

$s_2$  = Gevşek tarafındaki gerilme,  $N/m$

$m'$  =  $1 m^2$  lik kesit alanına sahip, 1 metrelik kayışın kütlesi,

$v$  = Kayış hızı, m/sn

$f$  = Kayış ve kasnak arasındaki sürtünme katsayısı

$\alpha$  = Kayışın kasnak üzerindeki sarılma açısı, rad.

Kayış eninin bilinmemesi halinde, gerekli kesit alanının bulunması için,

$$\frac{T_1 - T_2}{s_1 - s_2} = \text{Gerekli kesit alanı}$$

Böylece, gerekli kayış eni,  $b$  = alan/kalınlık olur.  $(T_1 - T_2)$  değeri, güç gereksinimi ifadesinden bulunabilir.  $P = (T_1 - T_2)v \cdot W$ .

Kayışın gergin tarafındaki maximum çeki, kayış malzemesinin müsaade edilen gerilmesine bağlıdır. Kauçuk emdirilmiş kösele ve pamuklu yelken bezi katları çoğu zaman kullanılır. Kösele kayışlar halinde müsaade edilen gerilme 2 ilâ 3,45 MPa değerlerini almaktadır. Kösele kayışlar tek katlı olmak üzere çeşitli kalınlardan olabilir. Ayrıca çiftli veya üç katlı kayışlarda mevcuttur. Kösele'nin özgül ağırlığı yaklaşık olarak  $970 \text{ kg/m}^3$  dır. Kauçuk kayışlarda çeşitli katlar halinde imâl edilebilirler ve bunların özgül ağırlığıda yaklaşık olarak,  $1250 \text{ kg/m}^3$  dır.

Düz ve V-kayışlar için, en ve kalınlık bilinmemesi halinde,  $T_2$  değerini hesaplamak için aşağıdaki ifade kullanılır.

$$\frac{T_1 - mv^2}{T_2 - mv^2} = e^{\alpha/\sin \frac{\alpha}{2}} \quad m = b \cdot p \quad \text{dir.}$$

$m$  = 1 metre kayışın kütlesi  $v$  = kayış hızı, m/sn;  $b$  = kayış eni, m;  $t$  = kayış kalınlığı, m;  $p$  = kayış özgül ağırlığı,  $\text{kg/m}^3$ ;  $\alpha$  = kayış ve kasnak arasındaki sürtünme katsayısı;  $\theta$  = sarılma açısı,  $\theta = V$  kayışı için yiv açısı (0 düz kayış için  $180^\circ$  dir.)

$mv^2$  miktarı, santrifüj kuvvetten dolayıdır. Bu değer kayışın kasnaktan ayrılmamasına neden olabilir ve aktarılan güç azaltır.

**YÜK TAŞIMA KAPASİTESİ**, bir çift kasnak için  $e^{\alpha/\sin \frac{\alpha}{2}}$  elde edilir. Bundan dolayı ki, V-kayışı bir yivli kasnak ve bir düz kasnakta kullanılabilirki bu da, gereksiz işleme masrafını önleyecektir.

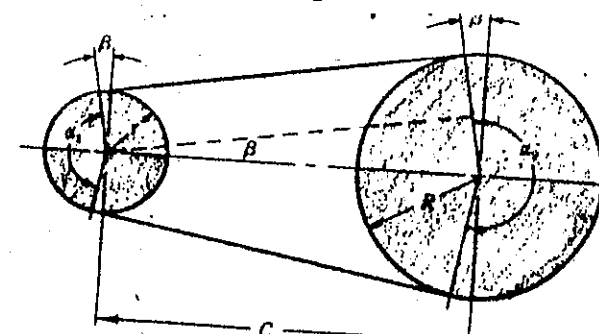
Kayışın aşırı bir şekilde bükülmesi kısa ömür neden olur. Makul bir ömür için, kasnak çapının kayış kalınlığına oranı minimum 30 olmalıdır.

**KAYIŞLARIN SEÇİMİ**, uygun ifadelerin veya tabloların ve çeşitli imalatçılardan alınmış kataloglarla yapılır. Uygun katsayılarla daha emniyetli dizaynlar yapılrsa da bu kitapta sadece, tatbikiyle kayış seçimi yapılacaktır.

**SARILMA AÇISI**, kayış düzelinde, sarılma açısı aşağıdaki şekilde tayin edilebilir.

$$\sin \beta = \frac{R - r}{C}$$

$$\alpha_1 = 180^\circ - 2\beta = 180^\circ - 2 \sin^{-1} \frac{R - r}{C}, \quad \alpha_2 = 180^\circ + 2\beta = 180^\circ + 2 \sin^{-1} \frac{R - r}{C}$$

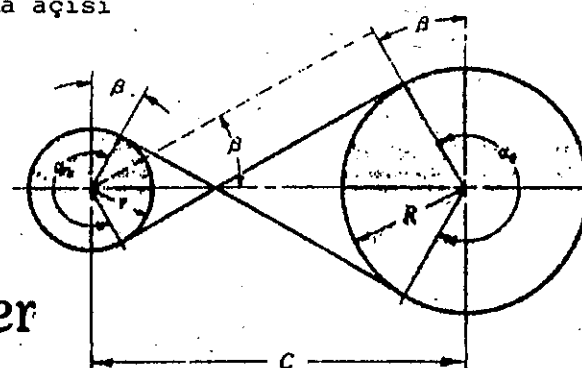


Şekil. 24-1

Çapraz kayış düzende sarılma açısı

$$\sin \beta = \frac{R+r}{C}$$

$$\alpha_1 = \alpha_2 = 180^\circ + 2\beta \\ = 180^\circ + 2 \sin^{-1} \frac{R+r}{C}$$



Şekil. 24-2

1.  $\frac{T_1 - mv^2}{T_2 - mv^2} = e^{\alpha}$  ifadesini bir düz kayış için çıkarınız.

**Cözüm:**

(a) Kayışda küçük elemanter bir parça alalım. Alınan bir eleman üzerindeki kuvvetler  
(1) T ve  $(T+dT)$  çekici kuvvetleri, (2) santrifüj kuvveti,  $(mv^2)d\phi$ , (3)  $dN$  normal kuvveti, (4) sürtünme kuvvetidir.  $f dN$

Kayışa eğilme momenti ve kesme kuvveti olmadığını unutmayın. Kayış esneyebilen bir elemandır ve diğer kuvvetlere kıyasla, herhangi bir değerde eğilme ve kesme kuvvetleri taşıyamaz.

- (b) Kayış elemanı için herhangi x ve y yönlerini seçerek ve elemanı dengede kabul ederek.

$$\Sigma F_x = 0 \text{ veya } (T+dT)\cos \frac{1}{2}d\phi - f dN - T \cos \frac{1}{2}d\phi = 0$$

$$\Sigma F_y = 0 \text{ veya } (T+dT)\sin \frac{1}{2}d\phi + T \sin \frac{1}{2}d\phi - (mv^2)d\phi - dN = 0$$

- (c)  $\cos \frac{1}{2}d\phi = 1$  and  $\sin \frac{1}{2}d\phi = \frac{1}{2}d\phi$  olduğunda,

$$1) (T+dT)(1) - f dN - T = 0 \text{ veya } dN = dT/f$$

$$2) (T+dT)(\frac{1}{2}d\phi) + T(\frac{1}{2}d\phi) - dN - (mv^2)d\phi = 0$$

(1) deki  $dN = dT/f$  değerini (2)de yerine koyarak ve ikinci mertebeden diferansiyelleri ihmali ederek,  $T d\phi - dT/f - (mv^2)d\phi = 0$

bulunur.

(d) Sonra  $\frac{dT}{T - mv^2} = f d\phi$ ,  $\int_{T_2}^{T_1} \frac{dT}{T - mv^2} = \int_0^a f d\phi$  ve neticede,  $\frac{T_1 - mv^2}{T_2 - mv^2} = e^{\alpha}$ . elde edilir. (Uygun birimler için sayfa 291'e bakınız.).

2. 1. Problemdeki ifadeyi V kayış için tadil ediniz.

**Cözüm:**

- (a) Şekil. 24-4 ile Şekil. 24-3'ü kıyaslayınız. Düz kayışda kuvvetler

gösterildiği üzeredir; T, T+dT,  $mv^2 d\phi$ .

Normal ve sürtünme kuvvetleri arasında fark oluşur. V-kayışın kenarlarındaki normal kuvvetlerin her iki taraf için eşit olduğu kabul edilir.  $\frac{1}{2}dN$  düzlemindeki bileşke normal kuvvet,  $dN \sin \frac{1}{2}\theta$  dır.  $\theta$  V-kayış açısıdır. Sürtünme kuvvetlerinin toplamı  $\theta$  dan bağımsız değildir. Fakat  $2f(\frac{1}{2}dN) = f dN$ .

- (b)  $\Sigma F_x = 0$  veya

$$(T+dT)\cos \frac{1}{2}d\phi - f dN - T \cos \frac{1}{2}d\phi = 0$$

- $\Sigma F_y = 0$  veya

$$(T+dT)\sin \frac{1}{2}d\phi + T \sin \frac{1}{2}d\phi - dN \sin \frac{1}{2}\theta - mv^2 d\phi = 0$$

- (c) Limitler içinde  $\cos \frac{1}{2}d\phi = 1$  ve  $\sin \frac{1}{2}d\phi = \frac{1}{2}d\phi$  olduğundan,

$$1) (T+dT) - f dN - T = 0 \text{ veya } dN = dT/f$$

$$2) (T+dT)(\frac{1}{2}d\phi) + T(\frac{1}{2}d\phi) - dN \sin \frac{1}{2}\theta - mv^2 d\phi = 0$$

(1)deki  $dN = dT/f$  değerini (2)de yerine koyarak ve ikinci mertebeden diferansiyelleri ihmali ederek,  
 $T d\phi - (dT/f) \sin \frac{1}{2}\theta - mv^2 d\phi = 0$

(d) Sonra,  $\frac{dT}{T - mv^2} = \frac{f}{\sin \frac{1}{2}\theta} d\phi$ ,  $\int_{T_2}^{T_1} \frac{dT}{T - mv^2} = \int_0^a \frac{f}{\sin \frac{1}{2}\theta} d\phi$ , and finally  $\frac{T_1 - mv^2}{T_2 - mv^2} = e^{\alpha/\sin \frac{1}{2}\theta}$

Düz kayış için  $0,180^\circ$  olarak alınırsa, bu ifade 1. problemdeki şekele dönüşür.

3. Bir mil kasnakta aldığı maximum gücü esnek bir kapline aktarmaktadır. Mil 900d/dk dönmekte ve kasnak çapı 400mm olarak ölçülülmektedir. Kayış dizisi paraleldir ve kösele kayış 50mm eninde ve 6mm kalınlığındadır. Kayıştaki maximum gerilme 2MPa dır. Sürtünme katsayısı ise 0,3 dır. Eğer Mil A-A kesitinde mukavemet için kontrol edilecekse, kullanılacak eğilme momenti ve tork değerleri ne olacaktır? Köseleye ait özgül ağırlık,  $\rho = 970 \text{ kg/m}^3$

**Cözüm:**  $\frac{T_1 - mv^2}{T_2 - mv^2} = e^{\alpha}$ ,  $\frac{600 - 103,4(18,85)^2}{T_2 - 103,4(18,85)^2} = e^{0,3\pi}$ ,  $T_2 = 296,9 \text{ N}$

$$m = 0,05 \times 0,006 \times 970 = 103,4 \text{ kg/m}$$

$$v = \pi DN = \pi(0,2 \text{ m})(900/60 \text{ rps}) = 18,85 \text{ m/s}, T_1 = (50 \times 6 \times 10^{-6})(2 \times 10^6) = 600 \text{ N}$$

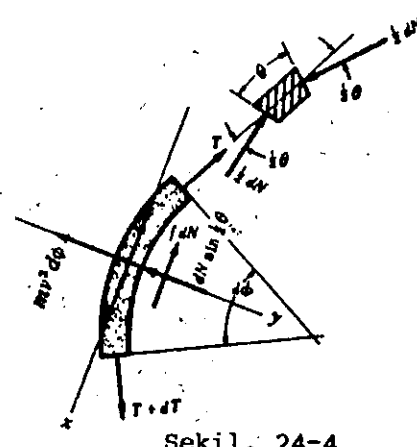
- (b) A-A kesitindeki eğilme momenti,

$$(T_1 + T_2)(0,25) = (600 + 296,9)(0,25) = 224 \text{ N m}$$

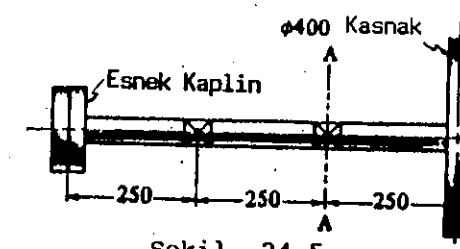
- (c) A-A kesitindeki Tork,

$$(T_1 - T_2)(R) = (600 - 296,9)(0,2) = 60,6 \text{ N m}$$

4. Bir vantilatör 880d/dk da dönen bir motordan hareketi, kayış kasnak düzeneyle almaktadır. 250mm eninde ve 8mm kalınlığındaki iki katlı



Şekil. 24-4



Şekil. 24-5

kösele kayış kullanılmaktadır. Motor kasnağı ile çevrilen kasnak çapları sırasıyla 350mm ve 1370mm dir. Her iki kasnak dökme demirden mamul olup eksenler arası 1370mm dir. Dökme demirle, kösele arasındaki sürtünme katsayısı 0,35 dir. Kayış için müsaade edilecek gerilme 2,4MPa dir. Bu değer emniyet açısından yeterlidir. Çift katlı kayış tek katlıya göre çift kat kapasiteye sahip olmadığı bilinmektedir. (Çift katlı kayış aynı kalınlıktaki tek katlı kayış kapasitesinin % 85'ine sahip olacaktır.)

**Çözüm:**

Küçük ve büyük kasnaklarda sarılma açıları,

$$\alpha_1 = 180^\circ - 2 \sin^{-1}(R - r)/C = 180^\circ - 2 \sin^{-1}[(685 - 175)/1370] = 136.3^\circ$$

$$\alpha_2 = 180^\circ + 2 \sin^{-1}(R - r)/C = 223.7^\circ$$

Dizaynda gözönüne alınacak kasnak küçük .. değerindedir. Burada öncelik yine küçük kasnaktadır. Örneğin, kayma noktasında, küçük kasnak büyük güç aktarmaktadır. Büyük kasnak maximum kapasite üretmektedir. Sonra,

$$\frac{T_1 - mv^2}{T_2 - mv^2} = e^{f\alpha_1}, \quad \frac{4800 - 1.94(16.13)^2}{T_2 - 1.94(16.13)^2} = e^{0.35(136.3\pi/180)} = 2.299, \quad T_2 = 2373N$$

$$m = 8 \times 250 \times 10^{-6} \times 970 = 1.94 \text{ kg/m}$$

$$v = \pi LDN = \pi(0.175\text{m})(880/60\text{rps}) = 16.13 \text{ m/s}, \quad T_1 = (250 \times 8 \times 10^{-6})(2.4 \times 10^6) = 4800 \text{ N}$$

$$\text{Güç kapasitesi} = (T_1 - T_2)v = (4.8 - 2.373)(16.13) = 39.1 \text{ kW}$$

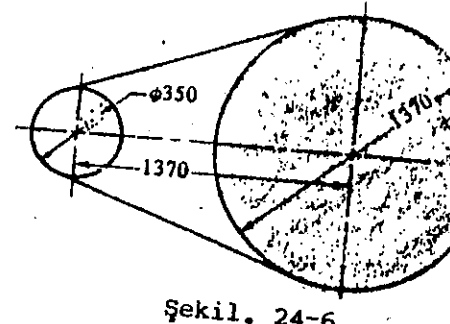
5. Bir kompresör, 900d/dk da dönen, 10mm kalınlığında ve 250mm enindeki bir kayışla motordan hareket almaktadır. Motor tarafından kasnak 300mm çapında, ve kompresör tarafından kasnak ise 1500mm çapındadır. Mil eksenleri 1,5m. aralıktadır. Küçük kasnaktaki sarılma açısını 220° yapmak için avara kasnak kullanılmaktadır. Aynı avara kasnakla büyük kasnaktaki sarılma açısı 270° olacaktır. Küçük kasnakla kayış arasındaki sürtünme katsayısı 0,3 ve büyük kasnakla kayış arasındaki katsayı ise 0,25 dir. Müsaade edilecek kayış gerilmesi 2MPa ve kayış özgül ağırlığı 970kg/m³ dir. (a) Bu düzendeği güç kapasitesi nedir? (b) Küçük kasnağın yerine V-kasnağı (Yiv açısı,  $\theta = 34^\circ$  ve sürtünme katsayı 0,25) ve aynı kompresör kasnağını kullanarak ve avara kasnağı devreden çıkararak, daha efektif büyük kapasiteli bir düzen elde edilebilir mi? V-kayışı ile, büyük kasnak bölüm dairesi çaplarının düz kayış düzeni içinde aynı kalacağını düşünelim. 300mm ve 150mm Her kayışdaki toplam maximum kuvvetin düz kayışdaki değerde olduğunu kabul ediniz. (Örn.  $T_1$  sabittir.) Aynı zamanda bütün kayışlardaki santrifüj etki düz kayışlardaki olduğu gibidir.

**Çözüm:**

(a) Küçük kasnak için,  $e^{f\alpha} = e^{0.3(220\pi/180)} = 3.16$ ; büyük kasnak için  $e^{f\alpha} = e^{0.25(270\pi/180)} = 3.2$ . Böylece,

$$\frac{T_1 - mv^2}{T_2 - mv^2} = e^{f\alpha}, \quad \frac{5000 - 484.8}{T_2 - 484.8} = 3.16, \quad T_2 = 1914N$$

$$T_1 = 2 \times 10^6 \times 10 \times 250 \times 10^{-6} = 5 \text{ kN}, \quad m = 970 \times 250 \times 10 \times 10^{-6} = 2.425 \text{ kg/m}, \\ v = \pi(0.3)(900/60) \quad \text{Güç kapasitesi} = (T_1 - T_2)v = (500 - 1914)(14.14) = 43.6 \text{ kW}.$$



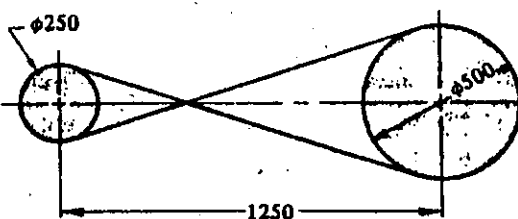
Şekil. 24-6

(b) Avara kasnaksız bir sisteme, küçük kasnaktaki sarım açısı,  $180^\circ - 2 \sin^{-1}[0.75 - 0.15]/1.5 = 132.8^\circ$ , büyük kasnaktan  $= 227.2^\circ$  Şimdi, küçük kasnak için ( $V$ -kayışı yiv içinde)  $e^{f\alpha/\sin \frac{\theta}{2}} = e^{0.25(132.8\pi/180)/\sin 17^\circ} = 7.26$ , büyük kasnak için ( $V$ -kayışı düz kasnaktan)  $e^{f\alpha} = e^{0.25(227.2\pi/180)} = 2.69$ .

Böylece, küçük kasnağın kapasitesi artırılmış olmasına rağmen Şimdi büyük kasnak kriter olarak alınacaktır.

u kullanarak, veya  $t = 2163 \text{ N}$  yeni (azaltılmış) güç kapasitesi = 2,69.  $\frac{5000 - 484.8}{T_2 - 484.8} = 2.69, \quad T_2 = 2163 \text{ N} \quad (5000 - 2163)14.14 = 40.1 \text{ kW}$ .

6. 1000d/dk da dönen bir küçük kasnağın 7,5kW lik gücü çapraz bir kayış sistemiyle aktarılacaktır. Küçük  $\phi 250$



Şekil. 24-7

kasnak çapı 250mm, hız oranı 2 ve eksenler arası mesafe 1,25m.dir. Sürtünme katsayısının 0,3 olması beklenirken, 6mm lik düz kayış kullanılması düşünülmektedir. Kayıştaki maximum müsaade edilen gerilme 1,7MPa ise, kösele kayış için kayış genişliğini hesaplayınız. Kösenin özgül ağırlığı 970kg/m³ dir.

**Çözüm:**

Her iki kasnaktan aynı sarım açısı bulunmakta ve aynı güç kapasitesine sahip kabul edilmektedirler.

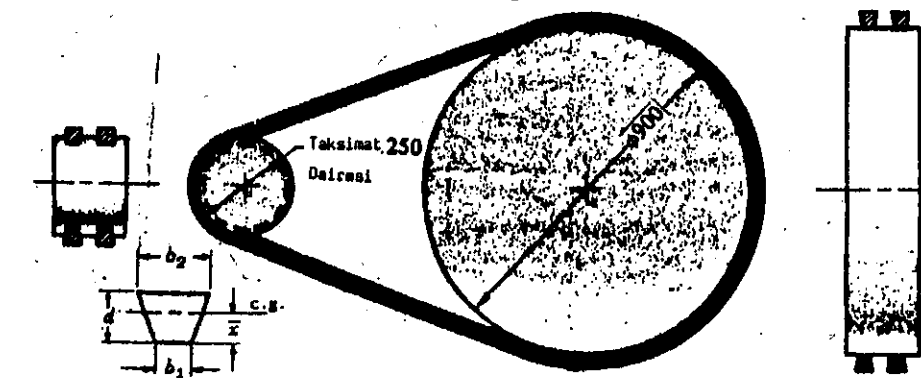
$$\alpha = 180^\circ + 2 \sin^{-1}(R + r)/C = 180^\circ + 2 \sin^{-1}(10 + 5)/50 = 214.8^\circ$$

$$\frac{s_1 - m'v^2}{s_2 - m'v^2} = e^{f\alpha}, \quad \frac{1.7 \times 10^6 - 1.665 \times 10^3}{s_2 - 1.665 \times 10^3} = e^{0.3(214.8\pi/180)}, \quad s_2 = 663.9 \text{ kPa}.$$

$$(T_1 - T_2) = \frac{\text{Güç}_J}{v} = \frac{7.5 \times 10^3}{13.1} = 572.5 \text{ N}, \quad u \text{ kullanarak}, \quad A = \frac{T_1 - T_2}{s_1 - s_2} = \frac{572.5}{1.7 \times 10^6 - 663.9 \times 10^3} =$$

$$552.6 \times 10^{-6} \text{ m}^2 \text{ ve kayış eni} = (552.6 \times 10^{-6})/(6 \times 10^{-3}) = 92.1 \times 10^{-3} \text{ m}. \quad \text{Kayış genliğini} 95 \text{ olarak alınız.}$$

7. Bir V-kayış 18,5 kW lik gücü 250mm lik bölüm dairesine sahip kasnaktan alıp, 900mm lik düz kasnağa aktaracaktır. Giriş ve çıkış millelerinde eksenler arası mesafe 1 m dir. Yiv açısı  $\theta = 40^\circ$  ve kayış ile küçük kasnak arasındaki sürtünme katsayısı 0,2 ve düz kayışla kasnak arasındaki sürtünme katsayısı ise, yine 0,2 dir. Kayış eni üstte,  $b_2 = 38 \text{ mm}$  ve altta,  $b_1 = 19 \text{ mm}$  dir. Kayış derinliği  $d = 25 \text{ mm}$  dir. Her kayış  $11 \text{ kN/m}^3$  gelmektedir ve her kayış için müsaade edilebilen çekme kuvveti 900N dur. Kullanılacak kayış sayısını tayin ediniz. (Not: Önce bir kayış için gereken işlemleri yapınız.)



Şekil. 24-8

**Cözüm:**

Kasnak çapına göre, düz kayış kalınlığı ihmali edilebildiğine göre, V-kayış kalınlığı ihmali edilebilir. Bölüm dairesinin, kayış kesitinin ağırlık merkezinden ölçüldüğünü fark ederek, düz kasnakdaki bir V-kayışa ait bölüm dairesi çapını hesaplayınız.

$$\text{Tabandan, ağırlık merkezine olan mesafe, } \bar{x} = \frac{d(b_1 + b_2)}{3(b_1 + b_2)} = \frac{25(19 + 76)}{3(19 + 38)} = 13,9 \text{ mm.}$$

Büyük kasnağın bölüm dairesi çapı =  $900 + 2(13,9) = 927,8$  veya bölüm dairesi yarıçapı =  $463,9$  mm.

Küçük kasnak için,  $\alpha = 180^\circ - 2 \sin^{-1}[(463,9 - 125)/1000] = 140,4^\circ$  Büyüük kasnak için,  $\alpha = 219,6^\circ$

Kapasiteleri mukayese ederek, iki kasnak için,  $e^{\alpha/\sin\alpha}$  Küçük kasnakta:  $e^{0.2(140,4\pi/180)/\sin 20^\circ} = 4,18$ . Büyüük kasnakta:  $e^{0.2(219,6\pi/180)/\sin 90^\circ} = 2,15$ .

Dizayn büyük kasnağa göre yapılacak: (V-kayıştaki açı  $40^\circ$  den biraz büyütür. Fakat kayış  $40^\circ$  lik yive oturacaktır).

Bir kayışın kesit alanı =  $\frac{1}{2}(b_1 + b_2)(d) = \frac{1}{2}(0,019 + 0,038)(0,025) = 713 \times 10^{-6} \text{ m}^2$  ve kayışın gevşek tarafındaki çekici kuvveti,

$$\frac{T_1 - mv^2}{T_2 - mv^2} = e^{\alpha/\sin\alpha}, \quad \frac{900 - 799(555)10^{-3}}{T_2 - 799(555)10^{-3}} = 2,15, \quad T_2 = 655,8 \text{ N olarak bulunur.}$$

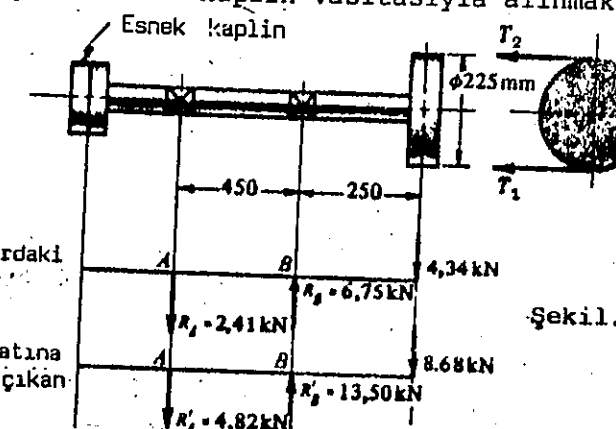
$$m = (11.000 \times 713 \times 10^{-6}) \frac{1}{9,81} = 799 \times 10^{-3} \text{ kg/m, } v = \pi(0,250)(1800/60) = 23,56 \text{ m/s}$$

$$\text{Her bir kayışdaki güç } = (T_1 - T_2)v = (900 - 655,8)(23,56) = 5753 \text{ W}$$

$$\text{Gerekli kayış sayısı } = (18.500)/(5753) = 3,22. 4 \text{ kayış kullanınız.}$$

8. 225mm çapındaki bir kasnak mile kamalanmıştır ve kasnak en yakın yatak kasnağa 250mm mesafededir. (Şekil. 24-9.) Makaraya hareket, 1800d/dk da做的 bir motordan düz kayışla aktarılmaktadır. Hız oranı 1:1 dir. Kayış  $9,5 \times 150$  mm boyutundadır. Özgül ağırlığı ise  $970 \text{ kg/m}^3$  dir. Kayışla kasnak arasındaki sürtünme katsayısı 0,3 dir. Maximum kayış gerilmesi 2MPa olduğu zaman kayış maximum kapasitesinde çalışmaktadır.

Güç kapasitesinin iki katına çıkarılmasına karar verilmiştir. Çeşitli imkanlardan, kayış enini artırmak yoluna gidilecektir. Kayış eni artırıldığı zaman diğer şartların aynı kalması istenmektedir. (a) Güç kapasitesini iki katına çıkarmak için kayış eni değeri ne olabilir? (b) Kasnak ilk yataktan 250mm mesafede olmak üzere, yatak kuvvetleri ne kadar artırılmalıdır? Yataklar arasındaki mesafe 450mm dir. Milden güç esnek bir kaplin vasıtasyyla alınmaktadır.



Şekil. 24-9

kayış eni iki katına çıkarılırsa ortaya çıkan kuvvetler

**Cözüm:**

- (a) Kayış eni iki katına çıkarılırsa, güç kapasiteside iki katına çıkar. (b) Eğer kayış maximum güç aktarıyorsa Gergin taraftaki  $T_1$  çekici kuvveti  $= 2 \times 10^6 (150 \times 9,5) \times 10^{-6} = 2,85 \text{ kN}$   $T_1$  yi bulmak için

$$\frac{T_1 - mv^2}{T_2 - mv^2} = e^{\alpha}, \quad \frac{2850 - 1,382(450)}{T_2 - 1,382(450)} = e^{0.3\pi}, \quad T_2 = 1,49 \text{ kN}$$

$$m = 970(150 \times 9,5 \times 10^{-6}) = 1,382 \text{ kg/m, } v = \pi(0,225)(1800/60) = 21,21 \text{ m/s.}$$

Yatakdaki reaksiyon kuvvetlerine neden olan kasnakta bileşke kuvveti,  $= T_1 + T_2 = 4,34 \text{ kN.}$

B deki reaksiyon kuvveti, A ya göre moment alınarak bulunabilir. A daki reaksiyon kuvveti ise kuvvetlerin toplama prensibinden bulunacaktır.  $4,34(0,7) - R_B(0,45) = 0, R_B = 6,75 \text{ kN}$  ve  $R_A + 4,34 - 6,75 = 0, R_A = 2,41 \text{ kN}$

Eğer güç iki katına çıkarılırsa yatak reaksiyonlarında iki katına çıkar. Örn.  $R'_A = 4,82 \text{ kN}$  ve  $R'_B = 2,41 \text{ kN}$ . Böylece yatak kuvvetlerindeki artışlar 2,41 kN, A daki 6,75 kN sağıdaki B yatağı için olacaktır.

9. Sabit göbekli düzenden, göbekten mille tespit edilmiş daha avantajlıdır. Avantajlardan birisi kayışın, motorun kendi ağırlığı ile gerginleştirilebilmesidir. Diğer bir avantaj ise, belli oranlar dahilinde, yatak yüklerinin kısmi yüklerde azaltılabilmesidir. Eğer motordan kasnağa aktarılan güç tam yük kapasitesinin  $\frac{1}{25}$  i kadar ise, C ve D deki yatak yükleri ne olabilir? Tam yatak yükü cinsinden yüzde olarak ifade ediniz. Kullanılan armatürün ağırlığını ihmali ediniz.

A Kasnağı B Kasnağı

Çap (mm) 150 150

Sürtünme katsayısı 0,4 0,5

Sarılma açısı  $180^\circ$   $180^\circ$

Kayış hızı 15m/sn, eni 100mm ve kalınlığı 3,2mm ve yoğunluk  $1,1 \text{ Mg/m}^3$  dür. Motor kütlesi 68kg.

**Cözüm:**

(a) Yapılacak ilk iş tam yük kapasitesini incelemektir.

Motor ve kasnağı gösterildiği gibi birbirlerinden izole ediniz. E pimi merkezine göre moment alarak,

$$-68 \times 9,81 \times 150 + T_1 \times 75 + T_2 \times 225 - 150 \times 158,4 = 0 \\ \text{veya (1) } T_1 + 3T_2 = 1650$$

Maximum kapasite, kayışın tam kayma noktasında olduğunu veya maximum sürtünmeden motor kasnağının faydalananlığı anlamına gelmektedir. (Motor kasnağındaki  $e^{\alpha}$ , çevrilen kasnakta  $e^{\alpha}$  den daha küçüktür.)

$$\frac{T_1 - mv^2}{T_2 - mv^2} = e^{\alpha}, \quad \frac{T_1 - 79,2}{T_2 - 79,2} = e^{0.4\pi} \text{ veya}$$

$$= 2(1,1 \times 10^3)(100 \times 3,2 \times 10^{-6}) 15^\circ \sin 90^\circ \\ = 158,4 \text{ N}$$

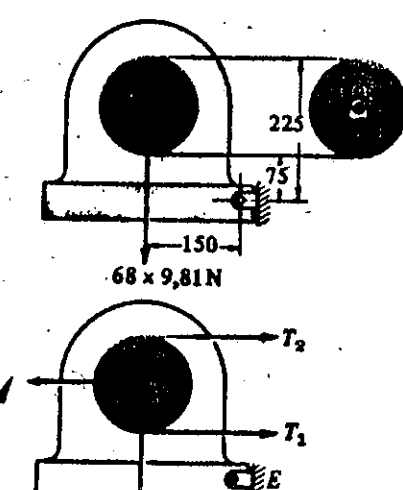
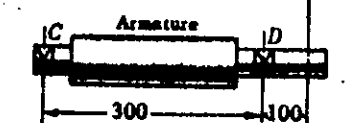
(2)  $T_1 - 3,51T_2 = -199 \text{ m} = (1,1 \times 10^3)(100 \times 3,2 \times 10^{-6}) = 0,352 \text{ kg/m}^3$  ve  $v = 15 \text{ m/s}$  Benzer şekildeki çözümlerle (1) ve (2) den,  $T_1 = 798 \text{ N}$ ,  $T_2 = 284 \text{ N}$ ; ve  $T_1 + T_2 = 1082 \text{ N}$  elde edilir.

(b) Çeyrek yükte, kayıştaki yükleri  $T'_1$  ve  $T'_2$  olarak alalım. E ye göre moment alarak,

$$(3) -68 \times 9,81 \times 150 + T'_1(75) + T'_2(225) - 150(158,4) = 0 \\ \text{ve çeyrek yükdeki değerlere bakarak, } (T'_1 - T'_2) = \frac{1}{4}(T_1 - T_2).$$

$$(4) T'_1 - T'_2 = \frac{1}{4}(798 - 284) = 128,5 \text{ N}$$

(3) ve (4) denklemlerini birlikte çözerek,  $T'_1 = 509 \text{ N}$  ve  $T'_2 = 380 \text{ N}$  elde edilir.



Kayışdaki bellişte atlalet yükü  
=  $2mv^2 \sin \frac{\alpha}{2}$  =  $2(1,1 \times 10^3)(100 \times 3,2 \times 10^{-6}) 15^\circ \sin 90^\circ$   
= 158,4 N

150 lb Şekil. 24-10

**Cözüm:**

Kasnak çapına göre, düz kayış kalınlığı ihmal edilebileğine göre, V-kayış kalınlığı ihmal edilebilir. Bölüm dairesinin, kayış kesitinin ağırlık merkezinden ölçüldüğünü fark ederek, düz kasnakdaki bir V-kayışa ait bölüm dairesi çapını hesaplayınız.

$$\text{Tabandan, ağırlık merkezine olan mesafe, } \bar{x} = \frac{d(b_1 + b_2)}{3(b_1 + b_2)} = \frac{25(19 + 76)}{3(19 + 38)} = 13,9 \text{ mm.}$$

Büyük kasnağın bölüm dairesi çapı =  $900 + 2(13,9) = 927,8$  veya bölüm dairesi yarıçapı = 463,9 mm.

Küçük kasnak için,  $\alpha = 180^\circ - 2 \sin^{-1}[(463,9 - 125)/1000] = 140,4^\circ$  Büyüük kasnak için,  $\alpha = 219,6^\circ$

Kapasiteleri mukayese ederek, iki kasnak için,  $e^{\alpha/\sin\alpha}$  Küçük kasnakta:  $e^{0.2(140,4^\circ/180)/\sin 20^\circ} = 4,18$ . Büyüük kasnakta:  $e^{0.2(219,6^\circ/180)/\sin 90^\circ} = 2,15$ .

Dizayn büyük kasnağa göre yapılacaktır: (V-kayıştaki açı  $40^\circ$  den biraz büyütür. Fakat kayış  $40^\circ$  lik yive oturacaktır).

Bir kayışın kesit alanı =  $\frac{1}{4}(b_1 + b_2)(d) = \frac{1}{4}(0,019 + 0,038)(0,025) = 713 \times 10^{-6} \text{ m}^2$  ve kayışın gevşek tarafındaki çeki kuvveti,

$$\frac{T_1 - mv^2}{T_2 - mv^2} = e^{\alpha/\sin\alpha}, \quad \frac{900 - 799(555)10^{-3}}{T_2 - 799(555)10^{-3}} = 2,15, \quad T_2 = 655,8 \text{ N olarak bulunur.}$$

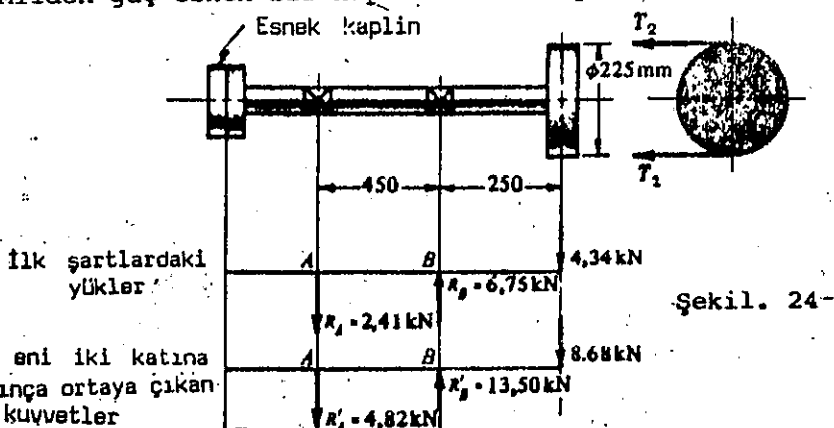
$$m = (11.000 \times 713 \times 10^{-6}) \frac{1}{9,81} = 799 \times 10^{-3} \text{ kg/m, } v = \pi(0,250)(1800/60) = 23,56 \text{ m/s}$$

$$\text{Her bir kayışdaki güç } = (T_1 - T_2)v = (900 - 655,8)(23,56) = 5753 \text{ W}$$

$$\text{Gerekli kayış sayısı } = (18.500)/(5753) = 3,22, 4 \text{ kayış kullanınız.}$$

8. 225mm çapındaki bir kasnak mile kamalanmıştır ve kasnak en yakın yatak kasnağı 250mm mesafededir. (Şekil. 24-9.) Makaraya hareket, 1800d/dk da dönen bir motordan düz kayışla aktarılmaktadır. Hız oranı 1:1 dir. Kayış  $9,5 \times 150 \text{ mm}$  boyutundadır. Özgül ağırlığı ise  $970 \text{ kg/m}^3$  dır. Kayışla kasnak arasındaki sürtünme katsayısı 0,3 dır. Maximum kayış gerilmesi 2MPa olduğu zaman kayış maximum kapasitesinde çalışmaktadır.

Güç kapasitesinin iki katına çıkarılmasına karar verilmiştir. Çeşitli imkanlardan, kayış enini artırmak yoluna gidilecektir. Kayış eni artırıldığı zaman diğer şartların aynı kalması istenmektedir. (a) Güç kapasitesini iki katına çıkarmak için kayış eni değeri ne olabilir? (b) Kasnak ilk yatakdan 250mm mesafede olmak üzere, yatak kuvvetleri ne kadar artırılmalıdır? Yataklar arasındaki mesafe 450mm dir. Milden güç esnek bir kaplin vasıtasyyla alınmaktadır.



Şekil. 24-9

kayış eni iki katına çıkarılma ortaya çıkan kuvvetler

$$R_A' = 4,82 \text{ kN}$$

**Cözüm:**

- (a) Kayış eni iki katına çıkarılırsa, güç kapasiteside iki katına çıkar. (b) Eğer kayış maximum güç aktarıyorsa Gergin taraftaki  $T_1$  çeki kuvveti =  $2 \times 10^6 (150 \times 9,5) \times 10^{-6} = 2,85 \text{ kN}$   $T_2$  yi bulmak için

$$\frac{T_1 - mv^2}{T_2 - mv^2} = e^{\alpha}, \quad \frac{2850 - 1,382(450)}{T_2 - 1,382(450)} = e^{0.3\pi}, \quad T_2 = 1,49 \text{ kN}$$

$$m = 970(150 \times 9,5 \times 10^{-6}) = 1,382 \text{ kg/m, } v = \pi(0,225)(1800/60) = 21,21 \text{ m/s.}$$

Yatakta reaksiyon kuvvetlerine neden olan kasnakta bileşke kuvveti,  $= T_1 + T_2 = 4,34 \text{ kN.}$

$B$  deki reaksiyon kuvveti,  $A$  ya göre moment alınarak bulunabilir.  $A$  daki reaksiyon kuvveti ise kuvvetlerin toplama prensibinden bulunacaktır.  $4,34(0,7) - R_B(0,45) = 0, R_B = 6,75 \text{ kN}$  ve  $R_A + 4,34 - 6,75 = 0, R_A = 2,41 \text{ kN}$

Eğer güç iki katına çıkarılırsa yatak reaksiyonlarında iki katına çıkar. Örn.  $R'_A = 4,82 \text{ kN}$  ve  $R'_B = 2,41 \text{ kN}$ . Böylece yatak kuvvetlerindeki artışlar  $2,41 \text{ kN}$ ,  $A$  daki  $6,75 \text{ kN}$  sağdaki  $B$  yatağı için olacaktır.

9. Sabit göbekli düzenden, göbekten mille tespit edilmiş düzel daha avantajlıdır. Avantajlardan birisi kayışın, motorun kendi ağırlığı ile gerginleştirilebilmesidir. Diğer bir avantaj ise, belli oranlar dahilinde, yatak yüklerinin kısmi yüklerde azaltılabilmesidir. Eğer motordan kasnağa aktarılan güç tam yük kapasitesinin  $\approx 25$  i kadar ise,  $C$  ve  $D$  deki yatak yükleri ne olabilir? Tam yatak yükü cinsinden yüzde olarak ifade ediniz. Kullanılan armatürün ağırlığını ihmal ediniz.

**A Kasnağı B Kasnağı**

Çap (mm) 150 150

Sürtünme katsayısı 0,4 0,5

Sarılma açısı  $180^\circ$   $180^\circ$

Kayış hızı 15m/sn, eni 100mm ve kalınlığı 3,2mm ve yoğunluk  $1,1 \text{ Mg/m}^3$  dür. Motor kütlesi 68kg.

**Cözüm:**

- (a) Yapılacak ilk iş tam yük kapasitesini incelemektir.

Motor ve kasnağı gösterildiği gibi birbirlerinden izole ediniz.  $E$  pimi merkezine göre moment alarak,

$$-68 \times 9,81 \times 150 + T_1 \times 75 + T_2 \times 225 - 150 \times 158,4 = 0$$

veya (1)  $T_1 + 3T_2 = 1650$

Maximum kapasite, kayışın tam kayma noktasında olduğunu veya maximum sürtünmeden motor kasnağının faydalananlığı anlamına gelmektedir. (Motor kasnağındaki  $e^{\alpha}$ , çevrilen kasnakta  $e^{\alpha}$  den daha küçüktür.)

$$\frac{T_1 - mv^2}{T_2 - mv^2} = e^{\alpha}, \quad \frac{T_1 - 79,2}{T_2 - 79,2} = e^{0.4\pi} \text{ veya}$$

$$= 2(1,1 \times 10^3)(100 \times 3,2 \times 10^{-6}) 15^2 \sin 90^\circ = 158,4 \text{ N}$$

(2)  $T_1 - 3,51T_2 = -199 \text{ m} = (1,1 \times 10^3)(100 \times 3,2 \times 10^{-6}) = 0,352 \text{ kg/m}^3 \text{ ve } v = 15 \text{ m/s}$  Benzer şekildeki çözümlerle (1) ve (2) den,  $T_1 = 798 \text{ N}$ ,  $T_2 = 284 \text{ N}$ ; ve  $T_1 + T_2 = 1082 \text{ N}$  elde edilir.

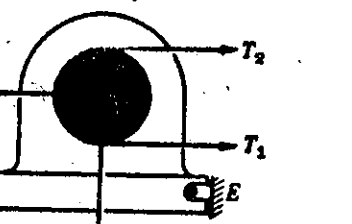
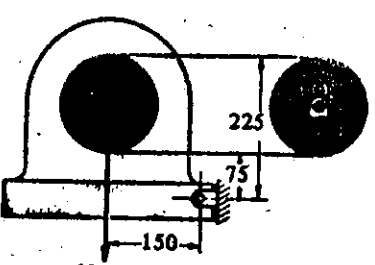
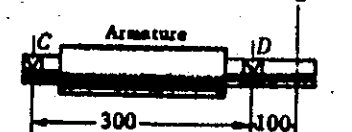
- (b) Çeyrek yükte, kayıştaki yükleri  $T'_1$  ve  $T'_2$  olarak alalım.  $E$  ye göre moment alarak,

$$-68 \times 9,81 \times 150 + T'_1(75) + T'_2(225) - 150(158,4) = 0$$

ve çeyrek yükdeki değerlere bakarak,  $(T'_1 - T'_2) = \frac{1}{4}(T_1 - T_2)$ .

$$(4) T'_1 - T'_2 = \frac{1}{4}(798 - 284) = 128,5 \text{ N}$$

$$(3) \text{ ve (4) denklemlerini birlikte çözerek, } T'_1 = 509 \text{ N ve } T'_2 = 380 \text{ N elde edilir.}$$



Kayışdaki bileşke stalet yükü  
 $= 2mv^2 \sin \frac{\alpha}{2}$   
 $= 2(1,1 \times 10^3)(100 \times 3,2 \times 10^{-6}) 15^2 \sin 90^\circ$   
 $= 158,4 \text{ N}$

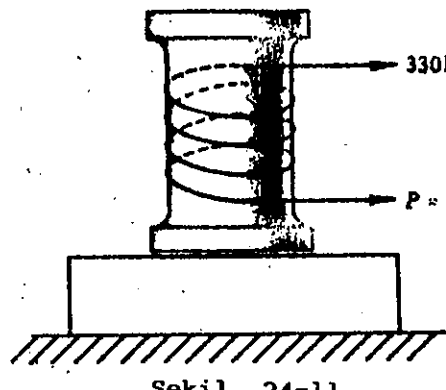
150 lb Şekil. 24-10

$\frac{T_1 - mv^2}{T_2 - mv^2} = e^{f_a}$  çeyrek yükte kullanılmaz. Zira maximum güç bu değerde aktarılmaktadır. Örn. Kayış kayma noktasında değildir. (c) Çeyrek kapasitede, yatak yükleri, tam kapasitenin yüzdesi olarak,

$$\frac{T'_1 + T'_2 - 2mv^2}{T_1 + T_2 - 2mv^2} = \frac{889 - 158,4}{1082 - 158,4} = 0,79 = 79\%$$

## Tamamlayıcı Problemler

10. Bir işçi belli bir yükü vinç yardımıyla yükseğe kaldırmaktadır. (Şekil. 24.11) Kullanılan döküm kasnağa uygun yivler açılmıştır. 25mm lik halattan tambur etrafına 4 tür yaparak, halatin bir ucuna 330N luk bir kuvvet uygulanmıştır. Tambur 25d/dk da dönmekte ve çapı 250mm dir. Halatin kütlesi 0,3kg/m dir. Sürtünme katsayısı 0,10 dur. (a) Bu kombinasyonla ne kadar yük kaldırılabilir? (b) Ne kadar güç gereklidir? Cev. (a) 4,06kN. Santrifüj etki ihmal edilebilir. (b)  $1,34kW(4060 - 330)(0,275/2) = 513N\text{m}$  torka bağlı olarak.



Şekil. 24-11

11. 1200d/dk da dönen 250mm çapındaki fiber kaplı bir kasnaktan 22kW lik güç kösele bir kayışla aktarılacaktır. Çelik kasnakla kayış arasındaki sürtünme katsayısı 0,3 ve çeviriçi ile kayış arasındaki sürtünme katsayısı ise 0,4 dur. Miller arasında mesafe 1,8m dir. Kayışdaki maximum müsaade edilen gerilmenin 1,7MPa olduğunu kabul ederek, 9mm veya 12,5mm kalınlığındaki kayışlardan hangisi uygun olur. Kayış malzemesi yoğunluğu  $970\text{kg/m}^3$  dir.

Cev. Uzun kayış ömrü için, 9mm lik kayış tercih edilecektir.  
 $(d = \frac{250}{t} = 28)$  12,5mm lik kayışta  $(d = \frac{250}{t} = 20)$  dir. 9mm lik kayış için kayış eni 169mm dir. (170mm kullanınız.)

12. V-kayışı, bölüm dairesi çapı 250mm ve 800mm olan iki kasnaktada çalışmaktadır. Yiv açısı  $36^\circ$  ve küçük kasnakdaki temas açısı  $140^\circ$  dir. Müsaade edilen maximum kayış yükü 900N ve V-kayışın kütlesi  $0,523\text{kg/m}$  dir. Küçük kasnak 1150 d/dk da dönmektedir ve 26kW aktaracaktır. Sürtünme katsayısının 0,2 olması halinde, kaç tane kayış kullanılması gereklidir. Cev. 2,78 kayış, 3 kayış kullanınız.

13. Bir elektrik motoru V-kayışlarla bir kompresörü çevirmektedir. Aşağıdaki veriler bilinmektedir.

Motor Kasnağı	Kompresör Kasnağı
Bölüm dairesi çapı	225mm
Temas açısı	2 radyan
Sürtünme katsayısı	0,3
Yiv açısı	$34^\circ$
Aktarılan güç	17,5kW
Hız	1800d/dk

Her iki kasnacta kütle  $0,3\text{kg/m}$  ve müsaade edilecek kuvvet 450N dir. (a) Motor ve kompresör kasnağı için  $f_a/(sin \frac{1}{2}\theta)$ , (b)  $mv^2$  yi bir kayış içinden, (c) gevşek tarafındaki çeki kuvvetini, (d) bir kayışdaki gücünü, (e) gerekli kayış sayısını hesaplayınız. Cev. (a) 2,06 motor kasnağı için, 1,284 kompresör kasnağı için, (b) 135N, (c) 380N, (d) 1,48kW, (e) 11,8, 12mm yi kullanınız.

14. Bir elektrik motoru bir havalandırma vantilatörünü çevirmektedir. Düz kösele kayış kullanılmaktadır. Aşağıdaki veriler bilinmektedir.

Motor Kasnağı	Vantilatör Kaşnağı
Çap	300mm
Temas açısı	2,5 radyan
Sürtünme katsayısı	0,3
Hız	900d/dk
Aktarılan güç	22kW

Kayıış 6mm kalınlığındadır. Maximum müsaade edilen gerilme 2MPa ve yoğunluk  $970\text{kg/m}^3$  dir. (a) Dizaynda ele alınacak kasnak hangisidir?

- (b) Hangi en değeri kullanılacaktır?  
Cev. (a)  $f_a$  küçük kasnak için = 0,75,  $f_a$  büyük kasnak için = 0,945 $^\circ$  dizaynda küçük kasnak ele alınacaktır. (b) 0,273m, 275mm yi kullanınız.

15. Bir elektrik motoru, düz kayışla bir kompresörü çevirmektedir. Aşağıdaki veriler bilinmektedir.

Motor Kasnağı	Kompresör kasnağı
Çap	250mm
Sarıılma açısı	4 radyan
Sürtünme katsayısı	0,25
Hız	1200d/dk

(Not: Avara kasnak kullanılmaktadır). Kayış kalınlığı 6mm ve eni 200mm dir. Yoğunluk  $970\text{kg/m}^3$  dir. Eğer müsaade edilen kayış gerilmesi 2,7kN ise, güç kapasitesini hesaplayınız. Cev. 24kW.

16. Motor kasnağı 300mm ve 1750d/dk da dönerken kayış sistemi 15kW lik güç aktarmaktadır. Kayış 10mm x 150mm boyutunda olup yoğunluk  $970\text{kg/m}^3$  dir. Çevrilen kasnak, 1,2m çapında olmak üzere  $200^\circ$  lik sarım açısına haizdir. Her iki kasnak için sürtünme sayısı 0,3 ise kayışdaki maximum gerilme değeri ne olabilir? Cev. 1,37MPa.

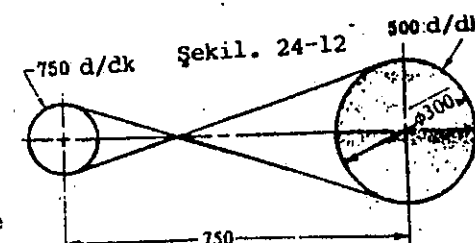
17. V-kayışı, 900d/dk da dönen küçük bir kasnaktada 11kW aktarmaktadır. Kasnak bölüm dairesi çapları 173mm ve 346mm dir. Eksenler arası mesafe 0,76m dir. Her iki kayışdaki maximum müsaade edilen çalışma kuvveti 560N ise, sürtünme katsayısı 0,15 ve yiv açısı  $34^\circ$  olduğu zaman, kullanılacak kayış sayısını hesaplayınız. Kayış kütlesi =  $0,194\text{kg/m}$ . Cev. 3,16,4 kayış kullanınız.

18. 1,35m çapındaki çelik kasnak 0,4m çapındaki kauçuk kaplı bir motor kasnağına irtibatlanacaktır. Bunun için iki katlı, 8mm kalınlığında kösele kayış kullanılacaktır. Eksenler arası 3m dir. Çelikle köselenin sürtünme katsayısı 0,2 ve kauçukla kösele arasındaki katsayı ise 0,4 dur. Köselede müsaade edilen gerilme 2,75MPa dir ve ortak vérime 80 dir. Köselenin yoğunluğu  $970\text{kg/m}^3$  dir. 45kW, 24,5m/sn lik hızda aktarılacağına göre,

19. (a) Maximum müsaade edilen çalışma gerilmesini,  
(b) Dizaynda gözönüne alınacak makara için  $e^{f_a}$  değerini,  
(c) Gerekli kayış enini hesaplayınız.  
Mevcut kayış enleri, 2,5mm artışlarla, 10 - 25mm, 10mm lik artışlarla, 2,5mm artışlarla, 10 - 25mm 10mm lik artışlarla, 100 - 200mm 5mm artışlarla, 25 - 100mm 25mm lik artışlarla, 200 - 350mm  
Cev. (a) 2,21MPa, (b) 2,0, (c) 282, 300mm kullanınız.

19. Aşağıdaki verileri kullanarak, düz kayış kullanılan bir düzen dizaynı yapınız. 500d/dk da dönen transmisyon mili, 750d/dk da 3,75kW lik güç gereksinimine ihtiyaç duyan freze tezgahını çevirmektedir. Transmisyon miline 300mm çapında bir dökme demir kasnak yerleştirilmiştir.

ilk tasarlamlara göre,  $970\text{kg/m.}$  yoğunluğundaki  $4,75\text{mm}$  lik kayış. düşülmektedir. Müsaade edilen gerilme  $2\text{MPa}$  dir. İki kasnak ters istikamette dönmektedir. Millerde eksenler arası mesafe  $750\text{mm}$  ve her iki kasnak için sürtünme katsayı  $0,30$  dur.



(a) Küçük kasnağın çapını, (b) gevşek tarafındaki gerilmeyi, (c) gerekli kayış alanını, (d) gerekli kayış genişliğini hesaplayınız.

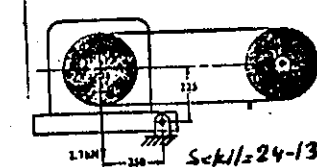
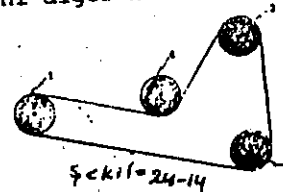
- Cev. (a)  $200\text{mm}$ , (b)  $676\text{MPa}$ , (c)  $361\text{mm}^4$ , (d)  $75,9 - 80\text{mm}$  yi kullanınız.  
 20. Düz kayışdan, V-kayışa geçişdeki güç kapasitesi artışını yüzde olarak hesaplayınız. Düz kasnak çapı, yivli kasnağın bölüm dairesi çapının aynıdır. Düz ve V-kayış için sürtünme katsayısı aynı olup,  $0,3$  dur. V-kayışının kasnağı yiv açısı,  $\theta = 60^\circ$  dir. Kayışlar aynı malzemeden mamul olup, kesit alanı aynıdır. Her iki durum için sarılma açısı  $150^\circ$  dir. Cev.  $\times 45$  (V-kayış güç kapasitesinin düz kayışinkine oranı)  
 21. (a) Aşağıdaki şartlarda,  $30\text{kW}$  lik gücü aktarmak için, gerekli V-kayışı sayısı nedir?

Küçük Kasnak	Büyük Kasnak
Hız	$280\text{d/dk}$
Bölüm dairesi çapı	$1120\text{d/dk}$
Yiv açısı	$225\text{mm}$
	$34^\circ$
	$900\text{mm}$

Her kayışa düşen maksimum çalışma yükü  $= 560\text{N}$ , sürtünme katsayısı  $= 0,15$  kasnaklarda eksen mesafesi  $875\text{mm}$  ve her kayış için kütle  $= 0,3\text{kg/m}$  dir  
 -(b) Maliyeti düşürmek için, büyük kasnağın yivsiz yapılması düşünülmektedir. Böylece V-kayışları düz kasnak üzerinde çalışacaktır. Kayış boyunun değişmeyeceğini kabul ederek, (ve aynı zamanda sarılma açısında değişmeyecektir.) Güç kapasitesini hesaplayınız.

- Cev.  $6,47$  yi kullanınız. (b)  $7$  kayış için  $20,9 \text{ kW}$ .  
 22. Şekildeki düzen ele alınıyor. İki kasnak aynı ölçülerde olup, çapları  $0,3\text{m}$  dir. Kayışlar yatay olarak çalışmaktadır. Çevirici motor  $1800\text{d/dk}$  da dönmektedir. Kayış kalınlığı  $6\text{mm}$  ve kayış eni  $225\text{mm}$  dir. Motor,  $2,7 \text{ kN}$  gelmektedir. Sürtünme katsayısı  $0,2$  dir. Kayış yoğunluğu  $970\text{kg/m}^3$  dir.  
 (a) Motor kasnağının saat ibresi tersi yönünde dönmesi halinde kayışdaki gerilmeleri.  
 (b) Motor kasnağının saat ibresi tersi yönünde dönmesi halinde güç kapasitesini.  
 (c) Motor kasnağının saat ibresi tersi yönünde dönmesi halinde, kayışdaki maximum gerilmeyi,  
 (d) Motor kasnağının saat ibresi yönündeki dönüşü için kayışdaki gerilmeleri,  
 (e) Motor kasnağının saat ibresi yönünde dönüşü için küçük kapasitesini,  
 (f) Motor kasnağının saat ibresi yönünde dönüşü için kayışdaki maximum gerilmeyi hesaplayınız.

Cev. (a)  $1833\text{N}$ , (b)  $1074\text{N}$ , (c)  $9,54\text{kW}$ , (d)  $1,36\text{MPa}$ , (e)  $14,4\text{kW}$ , (f)  $1,97\text{MPa}$   
 23. Çeşitli kasnaklar aynı kayışdan hareket almaktadır. (Şekil. 24-14.) 1. kasnağı kayışı çevirerekte, 2,3 ve 4 kasnakları kayışdan güç almaktadır. Bütün kasnakların kayışla aralarındaki sürtünme katsayılarını aynı kabul ediniz. Diğer kasnaklar yüklü halde kayma noktalarında, olmalarına rağmen, 1 no'lu kasnakta kayma söz konusu değildir. 1 no'lu kasnak için gerekli sarılma açısını tayin ediniz. Bahis konusu sarılma açısını diğer kasnakların sarım açıları cinsinden bulunuz. Cev.  $\alpha_1 = \alpha_2 + \alpha_3 + \alpha_4$



# 25

## Kaynak

**GİRİŞ.** Makine dizaynında önemli bir yer tutan çeşitli şekilleri mevcuttur. Dizayn yapan kişi için, belirli yerdeki kaynak boyutunun tayini ele alınması gereken problemlerin başında gelir. Zira kaynak yapılan bölgenin statik veya değişken yüze tabi olduğu zaman gerilme analizinin yapılması şarttır. İşlemler Amerikan Kaynak Derneğiyle tavsiye ettiği ve Lincoln Elektrik Şirketinin yaptığı değişikliklere göre gerçekleştirilir. (AWS)

Dizaynı gerçekleştiren kişiden, çeşitli yapılar, köprüler ve basınç kapıları için, değişik standartlarca belirtilmiş dizayn gerilme değerlerini ve işlemlerini kullanması istenir. Zira aynı zamanda, makine dizaynıyla uğraşan kişinin makine dizaynında daha büyük serbestliğe sahiptir. Bu bölümde, dizaynda serbestlik ve yeterli esnekliğe sahip kişinin görüşü incelenecektir.

### KAYNAK BAĞLANTI TİPLERİ

#### (1) Düz kaynaklar. Şekil. 25-1'e bakınız.

Lincoln Elektrik Şirketine göre, düz kaynak uygun yapıldığı sürece, plakaya eşdeğer veya ondan fazla mukavemeti sahip olabilir ve böylece gerilme hesabına ve boyut tayini için çeşitli teşebbüsler gereklidir. Aynı zamanda, kaynakın kaynağı yapıldıktan sonra elekrod mukavemeti ile kaynak yapılacak plakanın mukavemetinin eşdeğerde olması şarttır.

Çeşitli standartlar, mukavemetin belli bir katsayısı ile azaltılmasını önerirler. Mukavemetin azaltılacağı haller için, düz kaynakta müsaade edilen kuvvet ifadesi aşağıdaki şekilde verilir.

$$F_{\text{all}} = s_t t L e$$

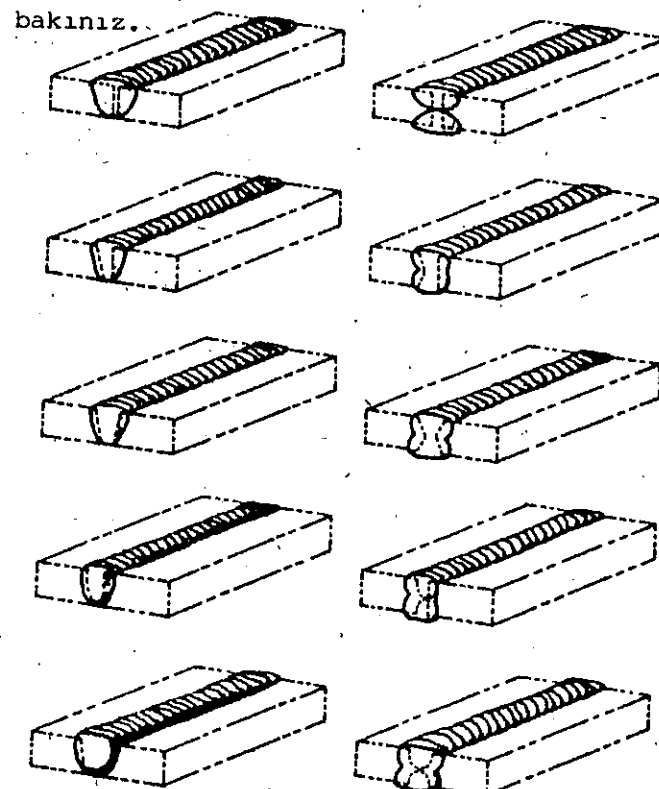
$F_{\text{all}}$  = Müsaade edilen kuvvet, N

$s_t$  = Kaynak için müsaade edilen gerilme,  $\text{N/m}^2$

$t$  = Plaka kalınlığı, m

$L$  = Kaynak boyu, m

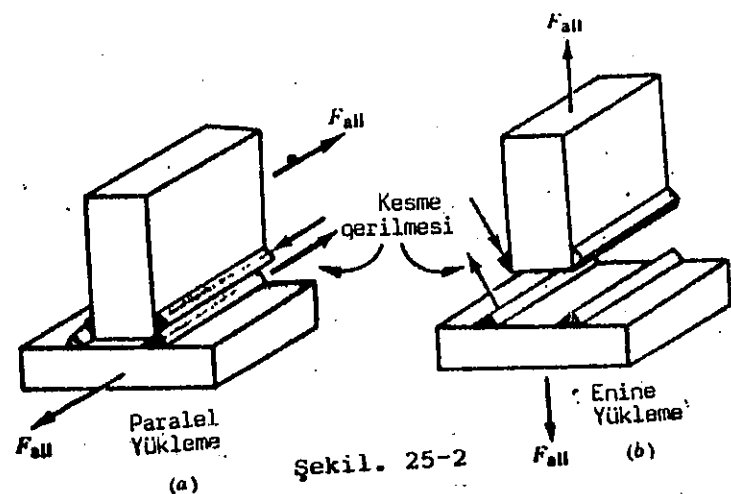
$e$  = Verim



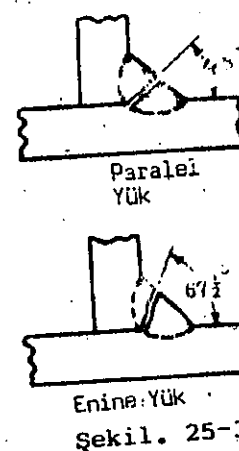
Şekil. 25-1 Düz Kaynaklar

#### (2) Bindirme (dolgu) kaynak.

Bindirme kaynaklar yükün yönüne göre sınıflandırılırlar. (a) Paralel yük, (b) enine yük, (Sayfa 302'deki Şekil. 25-2'ye bkz.)



Şekil. 25-2



Şekil. 25-3

Konvensiyonel  $45^\circ$  bindirme kaynağında, maximum kesme gerilmesi düzlemi  $45^\circ$  dedir. Bunun için paralel yükün etkisi altında olması gereklidir. Enine yükün altında ise  $67.5^\circ$  olmaktadır. (Şekil. 25-3) Bu enine yük altında daha büyük mukavemet değerlerini doğurur.

Kaynağı tanımlamak için Birleşik Devletlerde kaynak kulak boyu belirttilir. Bindirme kaynağının boyutu dikiş boyu ile belirttilir. Belirtmede, dik üçgenin en büyük eşit kenarları veya dik üçgenin en büyük kenarları esas alınır.

Eşit dikiş boyunda olmak üzere, bindirme kaynağında dikiş boyu,  $w$  ve dikiş boyları eşit olmayan bindirme kaynağına dikiş boyları  $a$  ve  $b$  ile gösterilir. (Şekil. 25-4)

Bindirme kaynağında t boyutunun tayini için, dikiş boyunun  $0.707$  ile çarpılması gereklidir. Örn.  $t = 0.707w$ . (Şekil. 25-5'e bkz.)

Hakiki  $t_a$  değeri otomatik kaynakla elde edilmek üzere, teorik  $t$  değerinden büyüktür. (Şekil. 25-6'ya bkz.)  $p$  nin nüfuzu için dikiş boyu  $(w+p)$  dir. Böylece dikiş  $0.707(w+p)$  olur. AWS nüfuziyet için extra bir boy önermemektedir. Ama istenirse, boyu ilave yapılabılırse de bu extra masraf demektir.

Tatbik edilen yükün herhangi bir yönü için, bindirme kaynağın daki gerilme kulak üzerinde ele alınacaktır.

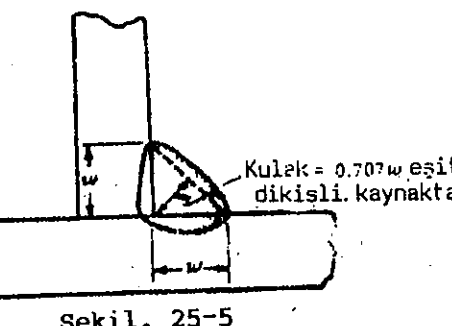
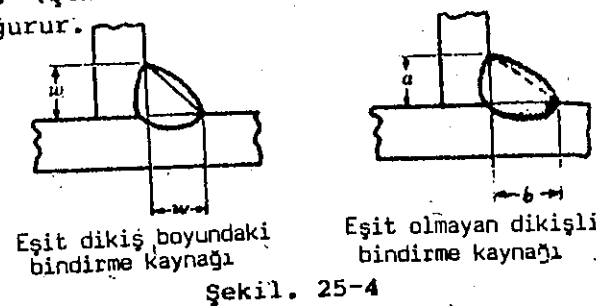
Statik yüklü bindirme kaynağında, müsaade edilen paralel yük,

$$F_{\text{parallel}} = s_{\text{allow}} A = S_{\text{allow}} W \cos 45^\circ L = 0.707 S_{\text{allow}} w L$$

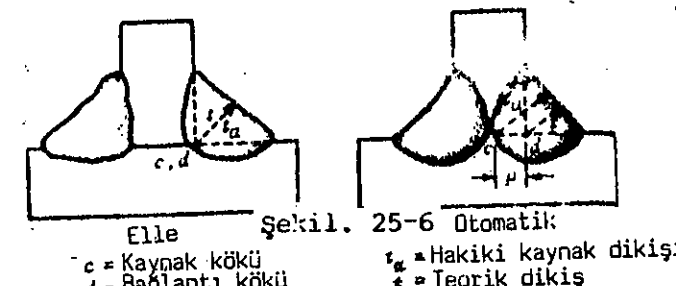
$S_{\text{allow}}$  müsaade edilen gerilme =  $13.600 \text{ psi}$  ( $94 \text{ MN/m}^2$ ) AWS standartlarına göre,

$$A = 45^\circ \text{ deki dikiş alanı} = 0.707 w L$$

$w$  = dikiş boyu



Şekil. 25-5



Şekil. 25-6 Otomatik

c = Kaynak kökü  
d = Bağlantı kökü

$t_a$  = Hakiki kaynak dikiş  
 $t$  = Teorik dikiş

Statik yüklü bir bindirme kaynağında, müsaade edilen enine yük,

$$F_{\text{vertical}} = s_{\text{allow}} A / \sin 67.5^\circ = s_{\text{allow}} \left( \frac{wL}{\cos 67.5^\circ + \sin 67.5^\circ} \right) / \sin 67.5^\circ = 0.828 S_{\text{allow}} w L$$

(Bunun ispatı için Problem 2'ye bkz.)

$S_{\text{allow}}$  müsaade edilen gerilme =  $13.000 \text{ psi}$  ( $94 \text{ MN/m}^2$ ), paralel yükle bindirme kaynağıyla aynı değerde,

$A$  = Dikiş alanı,  $67.5^\circ$  de =  $0.756 w L$

$w$  = Dikiş boyu

AWS'ye göre tatbik edilen yükün bir kısmını paralel ve bir kısmında enine ise müsaade edilecek paralel yük kullanılmalıdır. Eğilme veya burulma söz konusu olduğu zaman, kaynak sanki bir hat boyunca yapılmış gibi düşünülmeli dir. Gösterilebilir ki, kesit modülü olarak bilinenne ihmali edilecek bir hata ile eşdeğer sayılır.

$$\text{Egilme ele alınarak, } s = \frac{M}{Z}$$

$M$  = eğilme momenti,  $Z$  = Kesit modülü,  $s$  = Gerilme,

$Z_w$  kaynağın kesit modülü, bir doğru gibi düşünülürse, boyutlar (boy) şeklinde olur. Paralel yükleme için,  $(0.707)(Z_w)(w)$  kaynağın kesit modülünü verir.  $w$  kaynağın kuşak boyudur. Böylece,

$$s = \frac{M}{(0.707)(Z_w)(w)} \text{ veya } sw = \frac{M}{(0.707)(Z_w)}$$

$M/Z_w$  miktarı kuvvet/boy birimini verir ve  $f$  sembolüyle tanımlanır. Böylece,  $f = M/(0.707)(Z_w)$

Benzer şekilde, enine kaynak için,  $s = \frac{M}{(0.828)(Z_w)(w)} = \frac{f}{(0.828)w}$ .

Yukarıdaki işlemle, kaynak boyutu doğrudan bulunabilir.

İlgili kesit modülü, eğilmede,  $Z_w$ , ve burulmadaki polar atalet momenti,  $J_w$ , olmak üzere 13 tipik kaynaklı bağlantıda, kaynak bir hat boyunca görülmektedir. (Şekil. 25-7) Bu formüllerdeki kesit modülleri, üst kısımlarda olduğu gibi alt kısımlardaki maximum kuvvet değerleridir. Gösterilen asimetrik bağlantılar için, eğilme momenti alt taraftadır.

Kaynağa birden fazla paralel kuvvet tatbik ediliyorsa, bunlar birleştirip işleme konulur. Birleştirilen bütün kuvvetler, kaynaklı bağlantıda aynı noktada etkili olmaktadır.

Standart dizayn formüllerinde kullanılan kesit modülü ve polar atalet momenti değerleri listede gösterildiği gibidir. İkinci sıra kaynak için, kaynak bir doğru gibi kabul edilmez. Fakat kaynak için  $f$  in tayininde standart formüller kullanılır. Semboller sırasıyla,

- |   |   |
|---|---|
| $b$ = Bağlantının eni, $m$                          | $N_y$ = $y$ ekseniğin yüze olan mesafesi, $m$       |
| $d$ = Bağlantının derinliği, $m$                    | $V$ = Düşey yönündeki kesme yükü, $N$               |
| $A$ = Kesmeye maruz, kaynaktaki flanslı alan, $m^2$ | $M$ = Eğilme momenti, $N \cdot m$                   |
| $I$ = Bütün kesit için atalet momenti, $m^4$        | $T$ = Burulma momenti, $N \cdot m$                  |
| $C$ = Dış life olan mesafe, $m$                     | $L_w$ = Kaynak dikiş boyu, $m$                      |
| $t$ = Plakanın kalınlığı, $m$                       | $Z_w$ = Kaynağın kesit modülü, $m^2$                |
| $J$ = Kesitin polar atalet momenti, $m^4$           | $J_w$ = Kaynağın polar atalet momenti, $m^3$        |
| $P$ = Çekme ve basma gerilmesi yükü, $N$            | $s$ = Standart dizayn formülündeki gerilme, $N/m^2$ |
| $N_x$ = $x$ ekseniğin yüze olan mesafesi, $m$       | $n$ = Kaynak sayısı,                                |

Kaynak dikişinin bir doğru gibi kabul edilmesindeki özellikler		
Kaynaklı bağlantının gösterilişi $b = \text{en}, h = \text{depth}$	Eğilme (X-X yatay eksenine göre)	Burulma
	$Z_w = \frac{d^3}{6}$	$I_w = \frac{d^3}{12}$
	$Z_w = \frac{d^2}{3}$	$I_w = \frac{d(3b^2 + d^2)}{6}$
	$Z_w = bd$	$I_w = \frac{b^3 + 3bd^2}{6}$
	$Z_w = \frac{4bd + d^2}{6}$ üst $N_x = \frac{b^2}{2(b+d)}$ $N_y = \frac{d^2}{2(d+b)}$	$I_w = \frac{d^2(4bd + d)}{6(2b+d)}$ alt $I_w = \frac{(b+d)^3 - 6b^2d^2}{12(b+d)}$
	$Z_w = bd + \frac{d^2}{6}$	$I_w = \frac{(2b+d)^3}{12} - \frac{b^2(b+d)^2}{(2b+d)}$
	$Z_w = \frac{2bd + d^2}{3}$ üst $N_x = \frac{d^2}{3(b+d)}$	$I_w = \frac{(b+2d)^3}{12} - \frac{d^2(b+d)^2}{(b+2d)}$
	$Z_w = bd + \frac{d^2}{3}$	$I_w = \frac{(b+d)^3}{6}$
	$Z_w = \frac{2bd + d^2}{3}$ üst $N_x = \frac{d^2}{3(b+d)}$	$I_w = \frac{(b+2d)^3}{12} - \frac{d^2(b+d)^2}{(b+2d)}$
	$Z_w = \frac{4bd + d^2}{3}$ üst $N_x = \frac{d^2(4b+d)}{8(b+d)}$	$I_w = \frac{d^2(4b+d)}{8(b+d)} + \frac{b^3}{6}$
	$Z_w = bd + \frac{d^2}{3}$	$I_w = \frac{b^3 + 3bd^2 + d^3}{6}$
	$Z_w = 2bd + \frac{d^2}{3}$	$I_w = \frac{2b^3 + 6bd^2 + d^3}{6}$
	$Z_w = \frac{\pi d^2}{4}$	$I_w = \frac{\pi d^3}{4}$
	$Z_w = \frac{\pi d^2}{2} + \pi D^2$	

Şekil. 25-7(a)

Yükleme Şekli	Standart Dizayn formüller gerilme	Kaynak Dikişini bir doğru kabul etme hali
İlk Kaynak Dikişleri Yükün Tamamını aktarırlar		
	çekme veya basma	$s = \frac{P}{A}$
	Düşey kesme	$s = \frac{V}{A}$
	Eğilme	$s = \frac{M}{Z_w}$
	Burulma	$s = \frac{TC}{I}$
İkinci Kaynak Dikişleri Kesitler birlikte ele alınıyor, Düşük gerilme		
	yatay kesme	$s = \frac{VAy}{It}$
	yatay burulma kesmesi	$s = \frac{TC}{I}$

Şekil. 25-7(b)

Kesikli kaynak şekili kullanılacaksa,  $R$  hesaplanmış kuşak boyunun, sürekli kaynakda kesikli kaynakdaki hakiki kuşak boyuna oranının bulunması gereklidir.

$$R = \frac{\text{hesaplanmış kuşak boyu, sürekli kaynak}}{\text{kullanılacak hakiki boy, kesikli kaynak}}$$

Kesikli kaynakdaki dikiş boyu ve merkezler arasındaki mesafe  $R$  in fonksiyonu olarak verilir. 30 - 40 şeklindeki bir gösterimde, kaynak dikişinin 30mm ve arka arka gelen iki merkez arasındaki mesafenin 40mm olduğu bildirilmektedir. BS 5499 30(10) şeklindeki notasyonu kullanmaktadır. Bu da 30mm boyunda dikiş ve iki dikiş arasında 10mm olduğunu göstermektedir. ki bu da bir önceki notasyonla aynı neticeyi verir.

R Sürekli kaynak yüzdesi	Kesikli kaynak boyu ve merkezler arası mesafe		
75%		75-100	100-150
66		75-125	
60		100-175	
57		100-200	
50	50-100	75-150	100-225
44		75-125	
43		100-250	
40	50-125	75-200	
37	50-150	75-225	
33		75-250	
30		100-300	
25	50-200	75-300	
20	50-250		
16	50-300		

Aşağıda değişik yükler altında, bindirme kaynağının dizaynında kullanılacak (bindirme kaynağının  $(MN/m^2)$  yorulma mukavemeti değerleri) yorulma mukavemeti değerleri verilmiştir. AWS tarafından tavsiye edildiği üzere, değerler, köprü dizaynında olduğu gibi mukavemetin daha konservatif değerleri esas alınarak seçilmiştir. SI birimlerinde olmak üzere, tavsiye edilen değerler.

- (1) Bindirme kaynağında müsaade edilecek yorulma gerilmesi, 2.000.000 çevrim için  $\frac{50}{1-\frac{1}{2}K} MN/m^2$  ve  $84 MN/m^2$  hangisi daha azsa,
- (2) Bindirme kaynağında müsaade edilen yorulma gerilmesi, 600.000 çevrim için  $\frac{70}{1-\frac{1}{2}K} MN/m^2$  veya  $84 MN/m^2$  hangisi daha azsa.
- (3) Bindirme kaynağında müsaade edilen yorulma gerilmesi 100.000 çevrim için  $\frac{80}{1-\frac{1}{2}K} MN/m^2$  veya  $84 MN/m^2$  hangisi daha azsa.

(Kaynak şekilleri için AWS köprü standardına başvurunuz. (Bölüm. 208). Sürekli gerilmeler için dizayn şekilleri)

Yukarıda,  $K = \frac{\text{minimum yük}}{\text{maximum yük}} = \frac{\text{minimum gerilme}}{\text{maximum gerilme}}$   $K = +1$  sürekli gerilme hali için,  $K = 0$  eğer yük değişken ise, (bir yönde değişmektedir),  $K = -1$  yük tam değişken ise.

Gerilme hattı boyundaki kesitteki ani değişim yorulma mukavemetini azaltacaktır. Şekil veya geometriyi etkilediği için yorulma mukavemetinin çok önemli bir durum değildir.

Çevrim sayısıyla ilgili yorulma mukavemeti, amprik bir formülle tanımlanabilir:

$$s_{JA} = s_{JB} \left( \frac{N_B}{N_A} \right)^c$$

$s_{JA}$  =  $N_A$  çevrim için yorulma mukavemeti

$s_{JB}$  =  $N_B$  çevrim için yorulma mukavemeti

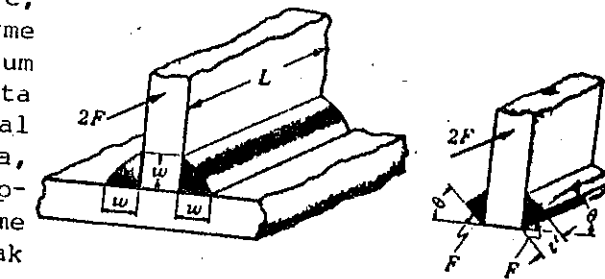
$c$  = Numuneye göre değişen bir katsayı. Düz kaynaklar için 0,13 eksenel yükleme, çekme veya basma halinde, plakalar için 0,18 değeri uygunmaktadır.

Kaynaklar kaba usullerle hesaplanmaz: Paralel ve enine yükleme halleri için tam mukavemetli bir kaynaktır, kuşak boyu, plaka kalınlığının  $3/4$  ü kadar olmalıdır. Rigidlik düşünülen kaynaklarda, kaynak kuşak boyu plaka kalınlığının  $3/8$  i kadar olmalıdır.

## Çözümlü Problemler

1. Şekil. 25-8'de gösterildiği üzere, eşit dikiş boyundaki bir bindirme kaynağında paralel yük için maximum kesme düzleme  $45^\circ$  de oluşmaktadır. Olduğunu gösteriniz. Eğilmeyi ihmal ediniz. Metre kaynak boyu başına,  $F_{all}$ , müsaade edilen kuvveti hesaplayınız. Müsaade edilen kesme gerilmesi değeri  $94 MN/m^2$ , ve kaynak dikişi 10mm dir.

Çözüm:



Şekil. 25-8

- (a) Düşey yönde iki taraftan simetrik olarak kesilmiş bir kaynak için, serbest cisim halini ele alalım.

- (b) Seçilmiş herhangi bir kesitteki kuşak boyunu  $t'$  olarak gösterelim. Ayrılmış kesit için kaynak alanı,  $A = t'L$ , dir.  $t' = w / (\sin \theta + \cos \theta)$ .

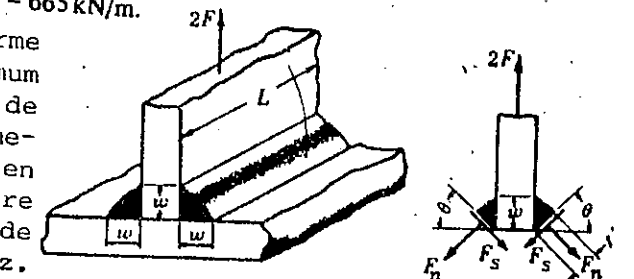
- (c) Kesme gerilmesi,  $s_s = \frac{F}{A} = \frac{F}{t'L} = \frac{F(\sin \theta + \cos \theta)}{wL}$

- (d)  $s_s$  in  $\theta$  ya göre (türevini) alalım. Çikan derivatifi maximum için yukarıdaki denklem,  $\cos \theta = \sin \theta$  veya  $\theta = 45^\circ$  olduğunu zaman geçerlidir.

- (e)  $\theta = 45^\circ$  değerini (c)de yerine koymalı.  $s_{s(max)} = \frac{\sqrt{2}F}{wL} = \frac{F}{IL}$

- (f) Metre kaynak dikişi başına, müsaade edilen kuvvet,  $F_{all}/L = s_{s(all)}w/\sqrt{2} = (94 \times 10^6)(0.01)/\sqrt{2} = 665 kN/m$ .

2. Eşit dikiş boyundaki bir bindirme kaynağında enine yük için, maximum kesme kuvvetine ait düzleme  $67\frac{1}{2}^\circ$  de ortaya çıktığını gösteriniz. Eğilmeyi ihmal ediniz. Müsaade edilen kaynak dikişi başına düşen müsaade edilecek kuvveti hesaplayınız. Kaynak kuşak boyu 10mm dir.



Şekil. 25-9

- (a) Şekil. 25-9'da serbest cisim görülmektedir. İki kaynağın yükü ve  $F_n$  normal kuvveti. Düşey yöndeki bileşenleri toplayarak  $+2F - 2F_s \sin \theta - 2F_n \cos \theta = 0$  elde edilir.

- (b)  $F_s$  ve  $F_n$  nin bileşkesinin düşey kabul edip, yatay bileşenlerinin eşit ve ters olduğu görülür.  $F_s \cos \theta = F_n \sin \theta$ ;  $F_n = (F_s \cos \theta) / (\sin \theta)$  yi (a) da yerine koymak,

$$+2F - 2F_s \sin \theta - \frac{2F_s \cos \theta}{\sin \theta} (\cos \theta) = 0 \text{ veya } F_s = F \sin \theta$$

- (c) Kesit için kuşak ölçüsü  $t'$  olarak alınır. Bu da  $= w / (\cos \theta + \sin \theta)$ .

- (d) Kesme gerilmesi,  $s_s = \frac{F}{A} = \frac{F}{t'L} = \frac{(F \sin \theta)(\cos \theta + \sin \theta)}{wL}$

- (e) Maximum  $s_s$  için maximum kesmeyi tanımlayan  $\theta$  açısını bulunuz. Bunun için  $ds_s/d\theta = 0$  denklemini kurarak işleme başlayınız.

$$\frac{ds_s}{d\theta} = \frac{F}{wL} [(\sin \theta)(-\sin \theta + \cos \theta) + (\cos \theta + \sin \theta)(\cos \theta)] = 0$$

$\cos^2 \theta - \sin^2 \theta = \cos 2\theta$  ve  $\sin \theta \cos \theta = \frac{1}{2} \sin 2\theta$ ,  $\sin 2\theta = -\cos 2\theta$ , bağıntısını kullanarak, ...  
 $\tan 2\theta = -1$ . Böylece  $2\theta = 135^\circ$  ve neticede  $\theta = 67\frac{1}{2}^\circ$  bulunur.

(f)  $\theta = 67\frac{1}{2}^\circ$  değerini (d)de yerine koymak, maximum gerilme bulunabilir.  
 $s_{(max)} = \frac{(F \sin 67\frac{1}{2}^\circ)(\cos 67\frac{1}{2}^\circ + \sin 67\frac{1}{2}^\circ)}{wL} = \frac{1.21F}{wL} = \frac{0.924F}{wL}$   $67\frac{1}{2}^\circ$  deki kuşak değeridir.

(g) Metre kaynak dikişi başına, müsaade edilen kuvvet,  
 $F/L = 0.828 s_{(all)} v = 0.828 \times 94 \times 10^6 \times 0.01 = 778 \text{ kN/m}$ .

3. Kaynak dikişinin yeterince uzun olması halinde, paralel yüklemeli kaynaklarda yük dağılımı nasıl olmaktadır?  
 Çözüm:

Eğer kaynak dikişi uzunsa, yükleme uniform olarak yayılmamaktadır metre kaynak dikişi başına maximum yük, kaynak dikiş boyuna bağlıdır. Kısa kaynak dikişlerinde, metre başına kaynak yükü yaklaşık 890 değerine kadar düşürülmelidir..

4. Kaynak dikişini bir doğru gibi kabul edip,  $d$ inci yüksekliğindeki bir kaynağın eğilmedeki  $Z_w$  kesit modülünü hesaplayınız. Şekil. 25-10'a başvurunuz.  
 Çözüm:

$$\text{Atalet momenti } I = \int_{-\frac{hd}{2}}^{+\frac{hd}{2}} y^2 dy = \frac{d^3}{12}, \text{ ve } Z_w = \frac{I}{d/2} = \frac{d^2}{6}$$

5. Kaynak dikişini bir doğru gibi kabul edip, merkeze göre  $J_w$  atalet momentini hesaplayınız.  
 Çözüm:

$$\text{Şekil. 25-10'a başvurarak, } J_w = \int_{-\frac{hd}{2}}^{+\frac{hd}{2}} y^2 dy = \frac{d^3}{12}.$$

6. Kaynak dikişini bir doğru gibi kabul edip,  $x-x$  eksenine göre  $Z_w$  kesit modülünü hesaplayınız.  
 Şekil. 25-10'a başvurunuz.  
 Çözüm:

4. Problemden  $x-x$  eksenine göre düşey doğruların atalet momenti,  $I_1 = 2(d^3/12) = d^3/6$ .

Yatay doğrulara göre atalet momenti;

$$I_2 = 2[b(d/2)^2] = bd^2/2.$$

$x-x$  eksenine göre, toplam atalet momenti

$$I = I_1 + I_2 = (d^3/6) + (bd^2/2).$$

Böylece kesit modülü,  $Z_w = \frac{I}{c} = \frac{(d^3/6) + (bd^2/2)}{d/2} = \frac{d^2}{3} + bd$

7. Kaynak dikişini bir doğru gibi kabul edip, ağırlık merkezine göre,  $J_w$  atalet momentini hesaplayınız. Şekil. 25-12'ye başvurunuz.  
 Çözüm:

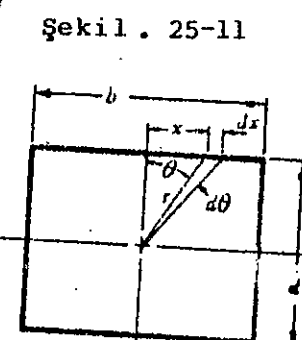
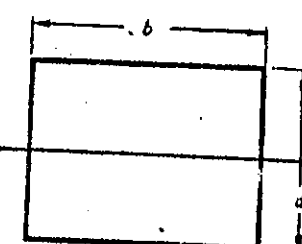
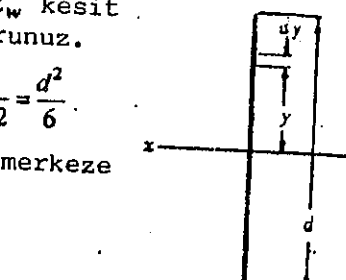
Her doğruya ayrı ayrı ele alınız. Her birinin etkisini tayin edip, ekleyiniz.

Üstteki doğru üzerinde bir  $dx$  elemanı alalım. Ağırlık merkezine olan değişken mesafenin karesiyle elemanın boyunun çarpımının integrasyonuyla,

$$J_{w1} = r^2 dx = 2 \int_0^{\frac{hb}{2}} [(d/2)^2 + x^2] dx$$

$$= 2 \left(\frac{d}{2}\right)^2 \left(\frac{b}{2}\right) + \frac{2}{3} \left(\frac{b}{2}\right)^3 = \frac{d^2 b}{4} + \frac{b^3}{12}$$

Alttaşı doğruda içinde, aynı şekilde,  $J_{w2} = \frac{d^2 b}{4} + \frac{b^3}{12}$  elde edilir.

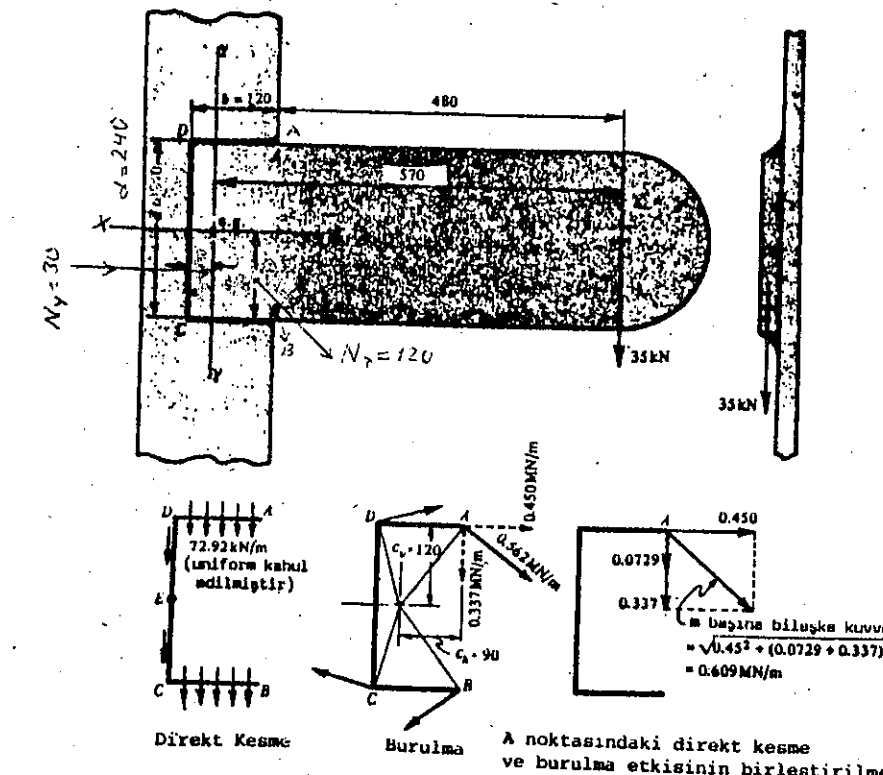


Şekil. 25-12

Analoji ile her düşey doğrunun atalet momenti,  $J_{w3} = J_{w4} = \frac{db^2}{4} + \frac{d^3}{12}$

Toplam atalet momenti,  $J_w = J_{w1} + J_{w2} + J_{w3} + J_{w4} = \frac{b^3 + 3b^2d + 3bd^2 + d^3}{6} = \frac{(b+d)^3}{6}$

8. Şekil. 25-13'de gösterilen bir konsol için gerekli bindirme kaynağı boyutunu tayin ediniz.



Şekil. 25-13

Çözüm:

- (a) Kaynak dikişini kalınlığı olmaksızın, bir doğru gibi kabul edip, kaynağın ağırlık merkezini tayin ediniz. (Şekil. 25-7(a)'ya bkz.)

$$\text{Simetriyie, } N_x = 120 \text{ mm, } N_y = \frac{b^2}{2b+d} = \frac{120^2}{120 \times 2 + 240} = 30 \text{ mm}$$

- (b) Orijinal 35 kN luk yükü, ağırlık merkezindeki 35 kN luk yükle değiştiriniz ve çift  $= 35 \times 10^3 (0,570) = 19,95 \text{ kNm}$  (Burulmaya neden olur).

- (c) Kaynak boyunca 35 kN luk düşey kuvvetini uniform olarak yayıldığı kabul edelim ve neticede  $f = \frac{V}{Lw} = (35 \times 10^3)/(0,12 + 0,24 + 0,12) = 72,92 \text{ kN/m}$  bulunur.

- (d) Simdide burulma çiftinin etkisini tayin edelim. Bir doğru gibi kabul edilen kaynak dikişinin polar atalet momenti,

$$J_w = \frac{(2b+d)^3}{12} - \frac{b^2(b+d)^2}{2b+d} = \frac{(0,24+0,24)^3}{12} - \frac{0,12^2(0,12+0,24)^2}{0,24+0,24} = 5,328 \times 10^{-3} \text{ m}^4$$

- (e) A ve B noktalarında burulmadan dolayı maximum  $f$  değeri,

$$f = \frac{TC}{J_w} = \frac{19,95 \times 10^3 \sqrt{0,12^2 + 0,09^2}}{5,328 \times 10^{-3}} = 0,562 \text{ MN/m}$$

C = ağırlık merkeziyle incelenenek nokta arasındaki mesafe,

$$\text{Düşey bileşen } f_v = \frac{0,09}{\sqrt{0,12^2 + 0,09^2}} \times 0,562 = 0,337 \text{ MN/m}$$

$$\text{Yatay bileşen } f_h = \frac{0.12}{\sqrt{0.12^2 + 0.09^2}} \times 0.562 = 0.450 \text{ MN/m}$$

$f = TC/J_w$  deki  $f_v$  ve  $f_h$  değerleri, doğrudan yatay ve düşey bileşenlerinin,  $C_h = 90\text{mm}$  ve  $C_v = 120\text{mm}$  kullanılarak bulunabilir.

(f) A noktasındaki yatay ve düşey bileşenleri birleştirerek,

$$f_{tot} = \sqrt{(0.45)^2 + (0.073 + 0.337)^2} = 0.609 \text{ MN/m} \text{ elde edilir.}$$

(g) Kaynak dikiş boyu,  $w = f_{tot}/0.707 = 0.609/0.707 \times 94 = 9.2\text{mm}$ , 10mm alınız.

Müsaade edilen gerilmeyi  $94\text{MN/m}^2$  kabul ediniz. Enine ve paralel yüklemektedeki kombinasyonda, paralel yükleme için müsaade edilen değer kullanılmaktadır.

(h) Başka bir incelemede, kiriş analizinde olduğu gibi enine kesme kuvvetinin yayılması esasına uygun olarak, alttaki ve üstteki kaynak dikişleri enine kesme kuvveti taşımazlar. dikdörtgen kesit için maximum enine kesme gerilmesi  $3V/2A$  dır, tarafsız eksende. Böylece, A noktasındaki direkt kesme sıfırdır ve E noktasında.

$$f_s = \frac{3}{2} \frac{V}{L_w} = \frac{3}{2} \cdot \frac{35,000}{0,24} = 0.219 \text{ MN/m}$$

Sadece burulmadan dolayı, A noktasındaki  $f$  değeri,  $0.562 \text{ MN/m}$  dir.

Yukarıdaki (e) de olduğu gibi.

Kaynak dikişinin boyutu, A noktasında kritikdir. (ve E noktasında)

$$w = \frac{0.562}{(0.707)(94)} = 8.5 \text{ mm}$$

9. Dairesel bir çubuk çelik bir plakaya kaynak edilmiştir. Çubuk çapı,  $d = 50\text{mm}$  dir. Gerekli kaynak ölçüsünü tayin ediniz.

**Çözüm:**

$$\text{Eğilme momenti} = 10(0.2) = 2\text{kN.m.}$$

$$\text{Kesme kuvveti} = 10\text{kN}$$

Kaynak dikişinin bir doğru kabul edilmesi halinde kesit modülü (Şekil. 25-7(a)ya.bkz)

$$Z_w = \frac{1}{4}\pi d^2 = \frac{1}{4}\pi(0.05)^2 = 1.964 \times 10^{-3} \text{ m}^2$$

En yüksek yükleme değeri alt ve üstte orta-va qıkaçaktır. Burada,

$$f_B = M/Z_w = 2000/0.001964 = 1.020 \text{ MN/m}$$

Düşey kesme, kesme kuvvetinin uniform olarak yayılı olduğunu kabul ederek.

$$f_s = V/L_w = 10,000/(0.05 \times \pi) = 0.0637 \text{ MN/m}$$

$$\text{Bileşke } f = \sqrt{1.02^2 + 0.0637^2} = 1.022 \text{ MN/m}$$

$$\text{Kaynak dikiş boyutu, } w = \frac{1.022}{(0.707)(94)} = 15.4 \text{ mm. } 15\text{mm kaynak yeterli olacaktır.}$$

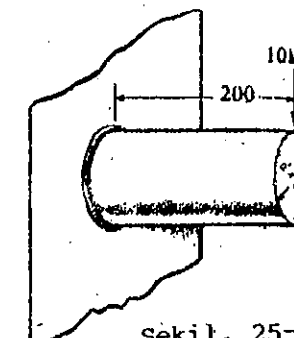
10. Kaynakla saatlı ray imali yapılacaktır.

$$f = \frac{VAY}{In} = \frac{(700,000)(0,0125)(0,525)}{(0,00789)(2)} = 0,291 \text{ MN/m}$$

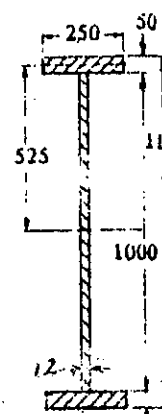
**Çözüm:**

Kuşak ve flansa ait bağlantı noktası için gerekli kaynak ikinci bir dikiş gereklidir. Kaynak ihmali edilse bile kirişteki sehim etkilenmez.

Kuşak ve flansdaki kaynak için,



Şekil. 25-14



Şekil. 25-15

$$V = \text{Kesme kuvveti} = 700,000 \text{ N}$$

$$A = \text{Kaynakdaki kesit alanı} = (0,25)(0,05) = 0,0125 \text{ m}^2$$

$$Y = \text{Kaynakdaki kesitin ağırlık merkezi olan mesafesi} (= 0,525 \text{ m})$$

$$I = I - \text{kirişin ağırlık merkezinden geçen eksene göre tüm kesitin atalet momenti} (= 0,00789 \text{ m}^4)$$

$$n = \text{Kaynak dikişi sayısı} (= 2)$$

Kaynak kuşak boyu,  $w = 0,291/(0,707)(94) = 4,4 \text{ mm}$  (Sürekli kaynakta kuşak boyu).

Bazı kaynaklarda az veya hiç gerilme bulmamasına rağmen, pratik nedenlerden dolayı, kalın plakalara konacak kaynak miktarı az olmamalıdır. Yandaki tablo referans olarak kullanılabilir. Böylece, sürekli kaynak için minimum kaynak ölçüsü  $4,4 \text{ mm}$  dir. Mamafih, yandaki tabloda, 50mm plaka için kaynak ölçüsü  $10\text{mm}$  dir. Bindirme kaynağında kaynak kuşak ölçüsü ince plaka kalınlığını geçemez.

Kalın plakanın kalınlığı	Minimum Kaynak Ölçüsü
10mm ye kadar	4mm
10 - 20mm	6mm
20 - 30mm	8mm
30 - 50mm	10mm
50 - 300mm	12mm
300mm den fazla	16mm

10mm kaynakdaki görülen daha büyük mukavemetten dolayı kesikli kaynak tipi kullanılabilir. Lincoln Elk. Şirketi boy tayininde veya dizayn hesaplarında, kuşak kalınlığının  $2/3$  değerinin aşılmasını veya  $2/3(10) = 6,67 \text{ mm}$  yi tavsiye etmektedir. Ince plakanın  $94\text{MN/m}$ .lik kesme gerilmesi değeri gözönünde tutulmuştur. (Daha önce verilmiştir). Böylece, 10mm lik kaynak dikişi kullanılaraksa da hesaplar  $6,67 \text{ mm}$  lik kaynak dikişine göre yapılacaktır.

$$R = \frac{\text{İhtiyaç duyulan sürekli kaynak boyutu}}{\text{Kullanılan kesikli kaynak boyutu}} = \frac{3}{6,67} = 45$$

Tablodan sürekli kaynağın yüzdesi kesikli kaynak boyu için  $\frac{3}{44}$  değerini kullanarak bulunabilir. Boşluklar  $100\text{mm}$  ve  $225\text{mm}$  dir.

Netice olarak yapılacak tavsiyede kaynak dikişi için  $10\text{mm}$  lik kuşak boyu ( $100\text{mm}$  kaynak boyu ve  $225\text{mm}$  merkezler arası mesafedir).

11. Dikdörtgen kesitli bir kiriş Şekil. 25-6'da gösterildiği üzere bir plakaya kaynak edilecektir. Sürekli olarak  $14\text{kN}$  luk yük tatlbi edilmektedir.  $10,000,000$  çevrim için gerekli kaynak ölçüsünü tayin ediniz. Tüm kaynak boyunca kesme gerilmesi değerinin uniform olarak yayıldığı kabul ediniz.

**Çözüm:**

Eğilme gerilmesinin maximum olduğu yatay kaynakları ele alalım. (Üstteki ve alttaki kaynak dikişinde aynı gerilme bulunur.)

Eğilme momenti bir yönde  $14,000(0,15) = 2,100 \text{ N.m}$  luk maximum değerden, diğer yönde yine  $2100 \text{ N.m}$  luk değerinde olur. Kesme gerilmesi değeride  $14\text{kN}$  yukarıya ve  $14\text{kN}$  aşağıya doğrudur.

$$\text{Kaynağın kesit modülü, } Z_w = bd + \frac{d^2}{3} = (0,05)(0,075)$$

$$+ \left(\frac{0,075}{3}\right)^2 = 0,00563 \text{ m}^2$$

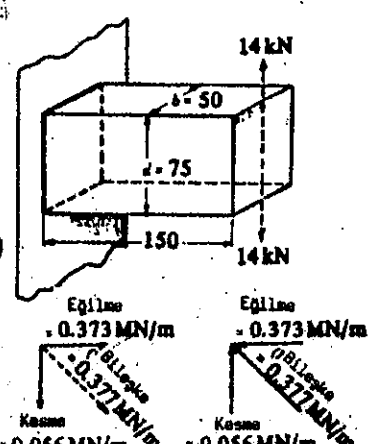
$$\text{Eğilmeden dolayı, } f_B = M/Z_w = \frac{2100}{0,00563} = 0,373 \text{ MN/m}$$

$$\text{Kesmeden dolayı, } f_s = \frac{V}{L_w} = \frac{14,000}{2(0,05) + 2(0,075)} = 0,056 \text{ MN/m}$$

$$= 0,056 \text{ MN/m} \quad 0,056 \text{ MN/m}$$

$$\text{Böylece, } f_{tot} = \sqrt{0,373^2 + 0,056^2} = 0,377 \text{ MN/m}$$

Şekil. 25-16  
Maximum  $f$  bir yönden diğerine  $0,377 \text{ MN/m}$  değerinden diğer tarafa  $0,377 \text{ MN/m}$  ile değişmektedir. Bu alttaki ve üstteki dikişler için



Şekil. 25-16

geçerlidir.

2.000.000 çevrim için yorulma mukavemeti  $\frac{50}{1-\frac{1}{2}K}$  MN/m<sup>2</sup> veya 80MN/m<sup>2</sup> den hangisi daha az ise o değer olarak kabul edilebilir.

$K = \text{Minimum gerilme} = -1$  zira yük tamamıyla değişkendir. Böylece,  
Maximum gerilme  $s_f = \frac{50}{1-\frac{1}{2}(-1)} = 33,3 \text{ MN/m}^2$

10.000.000 çevrim için yorulma gerilmesi,

$$s_f(10^7) = (33,3) \left( \frac{2 \times 10^6}{10 \times 10^6} \right)^{0,13} = 27,2 \text{ MN/m}^2$$

Böylece,  $w = 0,377/(0,707)(27,2) = 19,6 \text{ mm}$  20mm kabul edelim.

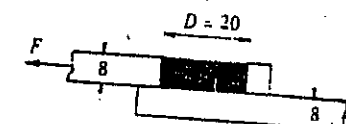
12. Sekil. 25-17'de görülen bir delik kaynağı için yük kapasitesini tayin ediniz.

Yük sürekli dir. Müsaade edilen gerilme için  $94 \text{ MN/m}^2$  değerini kullanınız.

**Cözüm:**

$$\text{Kesmeye maruz alan: } \frac{1}{4}\pi D^2 = \frac{1}{4}\pi(0,02)^2 = 314 \times 10^{-6} \text{ m}^2$$

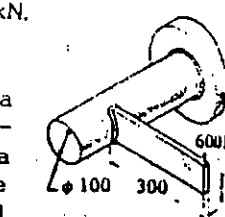
$$\text{Müsaade edilen kuvvet } F = (94 \times 10^6)(314 \times 10^{-6}) = 29,5 \text{ kN.}$$



Şekil. 25-17

### Tamamlayıcı Problemler

13.  $10 \times 25 \text{ mm}$  lik bir çubuk  $100 \text{ mm}$  çapındaki bir plakaya kaynak edilmiştir.  $45^\circ$  lik bindirme kaynağının boyutlarını tayin ediniz. Enine kesmenin kaynak boyunca uniform olarak yayılı olduğunu kabul ediniz. Müsaade edilen kesme gerilmesi değeri için  $94 \text{ MN/m}^2$  yi kabul ediniz.

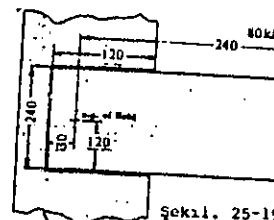


Şekil. 25-18

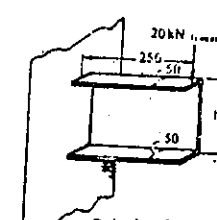
- Cev.  $180 \text{ N/m}$  lik eğilme momenti için, kaynağın kesit modülü,  $Z_w = bd + d^2/3 = (0,01)(0,025) + (0,025)^2/3 = 0,458 \times 10^{-6} \text{ m}^2$  ve bileşke  $f = \sqrt{0,393^2 + 0,0086^2} = 0,393 \text{ MN/m}^2$  kaynak boyutu  $= 0,393/(0,707 \times 94) = 5,91 \text{ mm}$ .

- Yük aslında kaynağa enine yönde geldiğinden daha küçük bir kaynak dikişi kullanılabilir. Mamafih  $6 \text{ mm}$  lik kaynak dikişi yeterli olabilir.

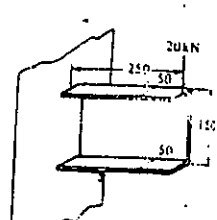
14. Şekil. 25-19'da görüldüğü gibi yüklenen bir düz plaka için kaynak dikişi boyutunu tayin ediniz. Cev.  $94 \text{ MN/m}^2$  lik müsaade edilen gerilme için  $w = 10 \text{ mm}$



Şekil. 25-19



Şekil. 25-20



Şekil. 25-21

15. Kanal şeklindeki bir parça, Şekil. 25-20'de görüldüğü gibi bir takviye eleməsına kaynak edilmiştir.  $20 \text{ kN}$  luk sürekli yük için, gerekli kaynak boyutunu tayin ediniz. Düşey yükün kaynakta uniform olarak dağıtıldığını kabul ediniz. Cev.  $Z_w = 11,25 \times 10^{-3} \text{ m}^2$ ,  $f_b = 0,444 \text{ MN/m}$ ,  $f_v = 0,08 \text{ MN/m}$ ,  $f_{tol} = 0,451 \text{ MN/m}$  and  $w = 6,79 \text{ mm}$   $94 \text{ MN/m}^2$  lik müsaade edilen gerilme için  $w = 7 \text{ mm}$  yi kıl.

16. Şekil. 25-21'deki düzen ele alınıyor. Sıfırda  $20 \text{ kN}$  arasında değişen yük tatlık edilmektedir. Düşey yükün kaynak üzerinde uniform olarak dağılıdığını kabul ediniz. (a) Maximum bileşke,  $f$  değerini, (b) minimum  $f$  değerini, ( $a$ ) 2.000.000 çevrim için kaynak dikişindeki müsaade edilen gerilmeyi ve dikiş boyutunu hesaplayınız. Cev. (a)  $0,451 \text{ MN/m}$  (15. Problemde olduğu gibi), (b) Sıfır, (c)  $K = 0$  için, müsaade edilen gerilme  $= 50 \text{ MN/m}^2$  ( $d$ )  $w = 12,6 \text{ mm}$ , ( $e$ )  $w = 13 \text{ mm}$ . yi kullanınız:

17. Gerekli kaynak dikişi  $5 \text{ mm}$  dir.  $10 \text{ mm}$  lik bindirme kaynağı kesikli olarak yapılacak. Ara boşluğu hesaplayınız. Cev.  $75 \text{ mm}$  aralıkta  $150 \text{ mm}$  merkezler arası mesafe  $10 \text{ mm}$  lik dikiş kullanınız.

18.  $40 \text{ mm}$  çapında ve  $25 \text{ mm}$  kalınlığındaki plakada delik kaynağı yapılmaktır.  $94 \text{ MN/m}^2$  lik kesme gerilmesi değeri için, gerekli dizayn yükü ne olacaktır. Cev.  $118 \text{ kN}$ .

26

## Volanlar

**VOLANLAR.** Volan ve bir regülatör, motorda hız değişimini kontrol için kullanılır. Volan, çevrim içinde hızı kontrol için, enerjiyi uygun bir şekilde yayarken, regülatör gerekli hızı devam ettirebilmek ve gerekli yük isteklerini karşılayabilmek için motora aktarılan yakıt miktarını kontrol etmektedir. Eğer regülatörü belli konumda düşünürsek, volanın hız değişimini sınırlama fonksiyonundan tamamıyla izole edildiği söylenebilir.

Yükde çıkış gereksinimi ve giriş gücü de sabitse, volan kullanılmaya gerek olmaz. Eğer giriş gücü sabit ve çıkış yükü istekleri değişken ise, yine bir volan kullanılarak çalışma düzenli hale getirilebilir.

Volan kullanan makinelere örnekler verilmek istenirse, başta zimba presleri ve içten patlamalı motorlar gelir. Zimbali preslerde giriş gücü sabit sayılabilir sadece, çıkışındaki değerleri değişkendir. Bir içten patlamalı motorda giriş gücü değişken iken çıkışındaki değerler değişken veya sabit olabilir.

**ÇEMBERLİ VOLAN.** Çemberli bir volanda çember kütlesi aşağıdaki ifadelerden biriyle tayin edilebilir.

$$m_r = \frac{KE}{V^2 \delta} = \frac{2KE}{V_1^2 - V_2^2} = \frac{2KE}{r^2(\omega_1^2 - \omega_2^2)}$$

$m_r$  = Sadece çemberin kütlesi, kg

$K$  = Göbek, mil, vb. için amprik bir sayı. Aksi belirtilmemişçe 0,90 olarak alınabilir.

$E$  = Volan tarafından verilen veya volan tarafından tutulan enerji. Ortalama enerji istekleri açısından, enerjideki maximum değişiklik olarak da kabul edilebilir. N m.

$V_1$  = Çemberin ortalama yarıçapı,  $r$  deki bir noktaya ait maximum hız, m/sn.

$V_2$  = Çemberin ortalama yarıçapı,  $r$  deki bir noktaya ait minimum hız, m/sn.  
 $V = \frac{1}{2}(V_1 + V_2)$  = Çemberin ortalama yarıçapı üzerindeki bir noktanın ortalama hızı, m/sn.

$\delta$  = Hız değişim katsayısı  $= (V_1 - V_2)/V = (\omega_1 - \omega_2)/\omega$

$\omega_1$  = Volanın maximum açısal hızı, rad/sn.

$\omega_2$  = Volanın minimum açısal hızı, rad/sn.

$\omega = \frac{1}{2}(\omega_1 + \omega_2)$  = Volanın ortalama açısal hızı, rad/sn.

### DİSK ŞEKLİNDE DOLU BİR VOLANDA,

$$m = \frac{2E}{V_{tol}^2 \delta} = \frac{4E}{V_{1,0}^2 - V_{2,0}^2} = \frac{4E}{r_o^2(\omega_1^2 - \omega_2^2)}$$

$m$  = Volan diskinin kütlesi, kg.

$E$  = Volan tarafından üretilen enerji, J

$V_m$  = Disk dışındaki bir noktaya ait ortalama hız.

$\delta$  = Hız değişim katsayısı  $= (V_{1o} - V_{1o})/V_m = (\omega_1 - \omega_2)/\omega$

$V_{1o}$  = Volan diskine ait yarıçap dışındaki bir noktaya ait maximum hız, m/sn.

$V_{2o}$  = Volan diskine ait yarıçap dışındaki bir noktaya ait minimum hız, m/sn.

$r_o$  = Plaka şeklindeki bir volanda dış yarıçap, m

$\omega_1$  = Volan diskinin maximum açısal hızı, rad/sn

$\omega_2$  = Volan diskinin minimum açısal hızı, rad/sn.

$\omega$  = Volanda ortalama açısal hız, rad/sn.

## Çözümlü Problemler

1. Çemberli bir volanda gerekecek çember ağırlığını tayin ediniz:  $m_r = \frac{KE}{V^2 \delta}$ .

Çözüm:

Volan tarafından verilen  $E$  kinetik enerjisi, Joule cinsinden,

$$E = \frac{1}{2} I_o (\omega_1^2 - \omega_2^2) = \frac{I_o}{2r^2} (r^2 \omega_1^2 - r^2 \omega_2^2)$$

$I_o$  = Volan ve volanın monte edildiği mile ait atalet momenti kg.m<sup>2</sup>.

$\omega_1, \omega_2$  = Volanda maximum ve minimum açısal hızlar, rad/sn.

$r$  = Keyfi olarak seçilmiş bir yarıçap, eğer  $r$  volan çemberinin yarıçapı olarak alınacak olursa,

$$E = \frac{I_o}{2r^2} (V_1^2 - V_2^2) = \frac{I_o}{2r^2} (V_1 + V_2)(V_1 - V_2) = \frac{I_o}{2r^2} (2V)(\delta V) = \frac{I_o}{r^2} V^2 \delta$$

$V_1, V_2$  = Çemberin ortalama çapı üzerinde seçilen bir noktaya ait maximum ve minimum hızlar m/sn.

$V$  = Ortalama yarıçap üzerindeki bir noktanın ortalama hızı  $= \frac{1}{2}(V_1 + V_2)$ , m/s

$\delta$  = Hız değişim katsayıısı  $= (V_1 - V_2)/V$ .

Volanın atalet momentinin iki kısımdan olduğunu düşünelim.

$$I_o = m_r k_r^2 + m_s k_s^2 \quad (1)$$

$m_r$  = Çemberin kütlesi, kg.

$k_r$  = Çemberin jirasyon yarıçapı, m

$m_s$  = Göbek, vb. gibi parçalar, mil dahil olmak üzere, mille birlikte dönen parçaların kütlesi, m

$k_s$  = Göbek, mil, vb. mille birlikte dönen kütelere ait jirasyon yarıçapı, m

Eğer çember kalınlığı, çember ortalama yarıçapıyla kıyaslanınca oldukça küçük olduğu görülür. Böyle bir halde  $k_r$  hemen hemen  $r$  değerine eşittir.  $k_s \approx r$ . (1) no'lu ifadeyi  $r^2$  ile bölecek olursak, ve  $k_r^2 = r^2$  yazarak,

$$\frac{I_o}{r^2} = m_r + \frac{m_s k_s^2}{r^2}$$

bu ifadede  $E = (I_o/r^2)V^2 \delta$  yerine koyarak,  $E = \left( m_r + \frac{m_s k_s^2}{r^2} \right) V^2 \delta$  veya  $m_r = \frac{E}{V^2 \delta} - \frac{m_s k_s^2}{r^2}$

elde edilir. Gerekli düzenlemelerle ve  $K = 1 - \frac{m_s k_s^2 V^2 \delta}{r^2 E}$  şeklinde yazılabilir.

$$m_r = \frac{E}{V^2 \delta} \left( 1 - \frac{m_s k_s^2}{r^2} \cdot \frac{V^2 \delta}{E} \right) = \frac{KE}{V^2 \delta}$$

bulunur.  $K$  nin değeri genellikle 0,90 civarındadır. Aksi belirtilmemişse, 0,90 alınmasında herhangi bir mahsur yoktur. Başka bir deyişle, göbek mil vb. nin etkisi gerekli atalet momentine %10 kadar katkıda bulunabbılırler.

Genel olarak, Volanın toplam kütlesi  $r$  avam projelerde, başlangıçta 1,15 m, alınabilir.

2. Dökme demir volan çemberinde ortalama yarıçap 600mm ve kalınlık 152mm ve genişlik 200mm dir. Hakiki atalet momenti değerini  $m_r^2$  ile mukayese ediniz.  $r$  ortalama yarıçaptır. dökme demirde yoğunluk  $7000\text{kg/m}^3$  dür.

Çözüm:

- (a) İki silindirin atalet moment farklarını ele alarak, çembere ait atalet momenti,

$$I = \frac{1}{2} \cdot m_o r_o^2 - \frac{1}{2} \cdot m_i r_i^2 = \frac{1}{2} (2000 \times 0,676^2) - \frac{1}{2} (1210 \times 0,524^2) = 291\text{kg m}^2$$

$m_o = r_o$  yarıçaplı silindirin ağırlığı  $= \pi r_o^2 b \rho = \pi (0,676^2) (0,2) (7000) = 2000\text{kg}$

$m_i = r_i$  yarıçaplı silindirin ağırlığı  $= \pi r_i^2 b \rho = \pi (0,524^2) (0,2) (7000) = 1210\text{kg}$

$r_o$  = Dış yarıçap = 0,676m,  $r_i$  = iç yarıçap = 0,524m

$b$  = Çember eni = 0,2m,  $\rho$  = yoğunluk =  $7000\text{kg/m}^3$

- (b) Çemberin ince bir bilezik gibi kabul edilmesi halinde, yaklaşık atalet momenti,  $I$  yakla.  $m r^2 = (2000 - 1210)(0,6)^2 = 284\text{kg m}^2$

$$\text{Yüzde hata} = \frac{291 - 284}{291} (100) = 2,5\%$$

3. Volan olarak kullanılan dairesel bir plakanın kütle ifadesini çıkarınız

$$m = \frac{4E}{r_o^2 (\omega_1^2 - \omega_2^2)}$$

Çözüm:

- Volan tarafından ortaya çıkarılan, kinetik enerji  $E$ , joule cinsinden,  $E = \frac{1}{2} I (\omega_1^2 - \omega_2^2)$

$I$  = Volana ait atalet momenti, kg m<sup>2</sup>

$\omega_1$  = Volanda maximum açısal hız, rad/sn.

$\omega_2$  = Volanda minimum açısal hız, rad/sn.

Dış yarıçapı  $r_o$  ve m kütlesindeki volana ait atalet momenti,

$$I = \frac{1}{2} (m r_o^2) \quad \text{Sonra, } E = \frac{1}{2} \left( \frac{1}{2} m r_o^2 \right) (\omega_1^2 - \omega_2^2) \quad \text{ve } m = \frac{4E}{r_o^2 (\omega_1^2 - \omega_2^2)}$$

4. Zimbali bir presde kullanılan volan 1/4 lük çevrimde, 2,7kJ kadar enerji vermektedir. Bu sırada delik delinmektedir. Volanın maximum hızı 200d/dk ve kesme stroku sırasında hız %10 kadar azalmaktadır. Çemberin ortalama yarıçapı 915mm dir. (a) %90 lik enerji gereksinimi karşıladığı kabul edilmek şartıyla, volan çemberinin yaklaşık olarak kütlesini, (b) volan kütlesinin, çember kütlesinin 1,15 katı kadar olması halinde volanın kütlesini yaklaşık olarak hesaplayınız. (c) Hız değişim katsayısını hesaplayınız. ( $K = 0,90$ ).

Çözüm:

$$(a) m_r = \frac{2KE}{r^2 (\omega_1^2 - \omega_2^2)} = \frac{2(0,90)(2,7 \times 10^3)}{(0,915)^2 [(2\pi \times 200/60)^2 - (2\pi \times 180/60)^2]} = 69,6\text{kg}$$

(b) Yaklaşık toplam kütle  $1,15(69,6) = 80\text{kg}$

$$(c) Hız değişim katsayısı,  $\delta = \frac{\omega_1 - \omega_2}{\omega_1} = \frac{200 - 180}{200} = 0,105$$$

5. İki silindirli bir motor, krankı 90° olmak üzere, 75kW 1 400d/dk da üretmektedir. Hız değişim katsayısı 0,3 dür. Volan ortalama çapı 1,2m dir. Beher dönüş sayısında enerjideki maximum değişiklik, ortalama enerjinin %20 si kadardır. Kollar ve göbek volanda %5 kadar katkıda bulunmaktadır. ( $K = 0,95$ ) Yoğunluğu  $7000\text{kg/m}^3$  olan dökme demirden mamul kare kesitli çemberin boyutlarını tayin ediniz.

Beher çevrimdeki enerji çıkış değeri,  $M_r \theta = \left[ \frac{75 \times 10^3}{400(2\pi/60)} \right] \left[ \frac{2\pi \text{ rad}}{1,2 \text{ m}} \right] = 11,25 \times 10^3 \text{ J}$

Ortalama Hız,

Çemberin kütlesi,

$D_m = \text{ortalama çap}, m; t = \text{çember kalınlığı}, m; b = \text{çember eni}, m;$   
 $\rho = \text{yoğunluk } kg/m^3, \text{ çözüm yapılarak, } t = b = 65,4mm \text{ ve } 66mm \text{ yi kullanınız.}$

## Tamamlayıcı Problemler

6. Bir benzinli motor 1800d/dk lik ortalama hızda 60kW lik güç üretmektedir. Beher dönüş başında, enerjideki maximum sapma %27 kadardır ve hız değişim katsayısı 0,02 dir.  $K = 0,95$  alarak, volan çember ortalama hızının 4,5m/sn de sınırlandırılmış halde, çember için ortalama çapı ve kütleyi tayin ediniz. Cev. 456mm, 13,9kg.
7. Bir benzinli motor 1800d/dk lik ortalama hızda 60kW lik güç üretmektedir. Beher dönüş başına maximum enerji sapması %27 dir. Hız değişim katsayısı 0,02 dir. Volan kütlesini hesaplayınız. Volan mil üzerine monte edilmiş halde plakadan mamul olmak üzere, çapı 456mm dir. Cev. Plaka kütlesi 29,2kg.
8. Bir kırıcıdağı çeviriçi mil 60d/dk da maximum hızda dönmektedir. Bu hız için giriş gücü olarak 75kW a ihtiyaç vardır. Beher çevrimdeki maximum enerji sapması çevrim ortalama enerjisine eşitse, ve kırma esnasındaki hız düşüşü %10 dan fazla değilse, ortalama çapı 2 metre olan volan çemberinin kütlesini hesaplayınız. Kırma operasyonu her bir çevrimde yapılmaktadır.  $K = 0,95$  kabul edilecektir. Cev. 1,9Mg.
9. Dökme demir bir volanın maximum 40d/dk da 100kJ luk enerji üretmesi istenmektedir. Böylece hızda %10 luk azalmaya zımbalamanın 1/4 lük çevrimde gerçekleştiği bilinmektedir. Çemberin ortalama yarıçapına ait maximum hızın 15m/sn geçmesi istenmemektedir. Dökme demire ait yoğunluk  $7000kg/m^3$  ise çembere ait kesit alanı ne olabilir? Cev.  $0,028m^2$
10. Tek silindirli çift tesirli motor 185kW lik gücü ortalama 100d/dk da üretmektedir. Beher çevrimdeki maximum enerji sapması %10 dur. Hızdaki sapmanın %2 ile sınırlandırılması istenmektedir. Çemberin ortalama çapı, 2,4m dir.  $K = 0,95$  alarak, dökme demire ait yoğunluk  $7000kg/m^3$  olduğu sürece, (a) hız değişimi katsayısı, (b) çemberin kütlesini, (c) çemberin kesit alanını hesaplayınız. Cev. 0,04, 1670kg, 0,0316m.

**VOLANLARDAKİ GERİMLER.** Döner bir volanın ince bir çemberindeki gerilmeler için, serbest dönen bilezikdeki gerilme basit ve süratli ve iyi bir yaklaşımla bulunabilir. Volanın takviye çubuklarının etkisi ihmali edilmektedir. Sadece atalet yükünden dolayı gerilme hesaba alınacaktır.

(a) Şekil. 26-1'de görüldüğü gibi yarınlı bir bileziği ele alalım.  $dM$  kütlesi,

$$dM = r(d\theta)tb\rho$$

$r$  = ortalama yarıçap, m

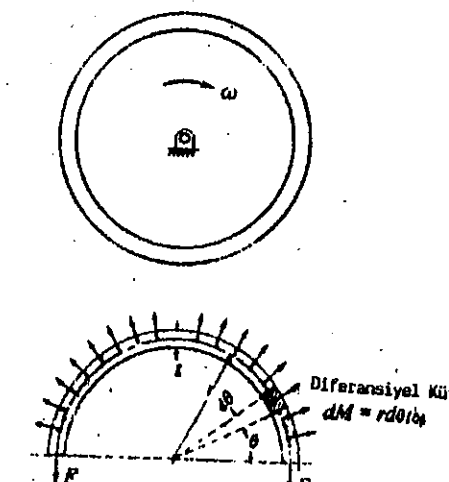
$d\theta$  = Elemanter kütlenin karşısına bulunan açı radyan.

$t$  = Çemberin kalınlığı, m;  $b$  = çemberin eni, m

$\rho$  = Yoğunluk,  $kg/m^3$

(b) Diferansiyel atalet yükü  $f = (\text{kütle})(\text{ivme}) = (r(d\theta)tb\rho)(r\omega^2)$ ,

$\omega$  = açısal hız, rad/sn



Şekil. 26-1

- (c) Diferansiyel atalet yükünün düşey bileşeni,  $df_V = [r(d\theta)tb\rho(r\omega^2)] \sin \theta$ , yatay bileşenler birbirlerini dengelenmektedirler.
- (d) Atalet yükünün düşey bileşeni, kesilmiş kesitlerdeki çeki kuvvetlerince dengelenir.

$$2F = \int_0^\pi r(d\theta)tb\rho(r\omega^2) \sin \theta = r^2 tb\rho \omega^2 [-\cos \theta]_0^\pi = r^2 tb\rho \omega^2 \quad (2)$$

- (e) Çeki gerilmesinin  $s_t$  (Pa) kesit boyunca uniform olarak yayıldığını kabul ederek,  $2F = 2(s_t b) = r^2 tb\rho \omega^2$  veya  $s_t = r^2 \rho \omega^2 = \rho v^2$  bulunur.  $v = r\omega$ , ortalama yarıçaptaki hızdır, m/sn.

### CÖZÜLMÜŞ PROBLEM

11. Bir volanın dökme demirden, mamul ince bir çemberdeki maximum müsaade edilecek hızı, dökme demirdeki çeki gerilmesi 27,5MPa olduğunu göre hesaplayınız. Dökme demir  $\rho = 7000kg/m^3$

**Cözüm:**

$$s_t = \rho v^2, \quad 27,5 \times 10^6 = 7000v^2, \quad v = 62,7 \text{ m/s}$$

Çemberdeki eğilmenin ihmali edildiğini unutmayın.

### YARDIMCI PROBLEMLER

12. Bir volanın çelik bir çember için müsaade edilecek maximum hızı, çeliğin yoğunluğu  $= 7,85 \times 10^3 kg/m^3$  ve müsaade edilen gerilmenin 138MPa olduğu zaman hesaplayınız. Cev. 133m/s

13. Bir volanın dökme demirden mamul çemberini ince bir bilezik gibi kabul edip, ince bileziği serbest bir cisim gibi ele alalım. Dönmeden dolayı ortaya çıkan maximum çekme gerilmesini hesaplayınız. Çember eni 150mm, kalınlığı 100mm ve ortalama çap 750mm dir. Volan 2000d/dk da dönmektedir. Cev. 43,2MPa.

**MAXIMUM ÇEKME GERİLMESİ**, ataletten dolayı normal gerilmenin ve eğilmenin ele alınacağı bir volanın ince döner çember için oldukça karmaşıkdır. Bunlara ait ifadeler, Timoshenko tarafından çıkarılmış ve takviye çubuklarındaki eksenel kuvvet, eğilme ve normal gerilme hesaba katılmıştır. Bunlarda, çember ince bir bilezik gibi kabul edilip çıkarılmıştır ve çember eğriliği ihmali edilerek  $\frac{P}{A} + \frac{Mc}{I}$ , dan, büyük değer verecek işaret kullanılarak bulunabilir.

$$s_t = \rho v^2 \left[ 1 - \frac{\cos \phi}{3C \sin \alpha} + \frac{2r}{Ct} \left( \frac{1}{\alpha} - \frac{\cos \phi}{\sin \alpha} \right) \right]$$

$s_t$  = Çeki gerilmesi,

$v$  = Ortalama yarıçapdaki hız, m/sn.

$b$  = Çember eni, m;  $t$  = çember kalınlığı, m

$\phi$  = Gerilme tayin edilecek kesitle, takviye çubuğu arasındaki açı,

$2\alpha$  = Takviye çubukları arasındaki açı,

$r$  = Çemberin ortalama yarıçapı, m

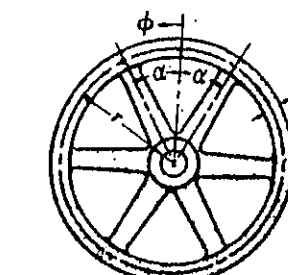
$C$  = Çemberin sabit kesit alanı, çubuk alanı,

ve çubuklar arasındaki açıya bağlı olarak bulunan bir katsayı,  $C$ , aşağıdaki şekilde bulunabilir.

$$C = \frac{12r^2}{I^2} \left[ \frac{1}{2 \sin^2 \alpha} \left( \frac{\sin 2\alpha}{4} + \frac{\alpha}{2} \right) - \frac{1}{2\alpha} \right] + \frac{1}{2 \sin^2 \alpha} \left( \frac{\sin 2\alpha}{4} + \frac{\alpha}{2} \right) + \frac{A}{A_1}$$

$A$  = Çemberin enine kesit alanı,  $A_1$

$A_1$  = Takviye çubuğu enine kesit alanı,



Şekil. 26-2

$\omega = \text{Açışal hız, rad/sn}$ ;  $n = \text{Takviye çubuğu sayısı; } L = \pi d/n, \text{m}$   
 $M \text{ in bu değerini, } s_2 \text{ ifadesinde yerine koyacak olursak,}$   
 $s_2 = \frac{6M}{bt^2} = \frac{6(3,08 \times 10^3) d^3 \omega^2}{tn^2} = \frac{18,48 \times 10^3 dV^2}{tn^2}$

eldeedilir.

$$(c) \text{ Sonra, } s = 0,75s_1 + 0,25s_2 = 0,75(7490V)^2 + 0,25 \frac{73,92 \times 10^3 dV^2}{tn^2} \\ = 10^3 V^2 \left( 5,6 + \frac{18,5d}{tn^2} \right), \text{ Lanza denklemi.}$$

18.  $600d/dk$  da dönen dökme demirden mammul bir volanın çemberindeki maximum çekme gerilmesini Lanza ifadesini kullanarak hesaplayınız. Çemberde ortalama çapı 1,5m, kalınlık 200mm ve en 300mm dir. 6 adet takviye çubuğu kullanılacaktır. Diğer veriler yukarıdaki 15. Problemde olduğu gibidir.

Çözüm:

$$V = r\omega = 1,5 \left( \frac{2\pi(600)}{60} \text{ rad/s} \right) = 94,25 \text{ rad/s (Dökme demir için yüksek)}$$

$$s = 10^3 V^2 \left( 5,6 + \frac{18,5d}{tn^2} \right) = 10^3 (94,25)^2 \left( 5,6 + \frac{18,5(3)}{0,2(6)^2} \right) = 118 \text{ MPa}$$

15. Problemde çıkarılan ifadenin kullanılmasıyla, yukarıdaki yaklaşık değerin 82,7 MPa ile kıyaslanmasıyla yaklaşık değer veren ifade daha büyük gerilme değeri vermektedir.

Aynı zamanda, kullanılan işlem için maximum gerilme takviye çubuğu sayısı artırılarak azaltılabilir.

UNIFORM GENİŞLİKDEKİ DÖNER DİSKDEKİ GERİMLER, volanlarda olduğu gibi dolu plakalarda ortaya çıkabilir ve aşağıdaki ifadelerle hesaplanabilir.

Delikli diskler:

Herhangi bir yarıçap,  $r$  için radyal gerilmesi:

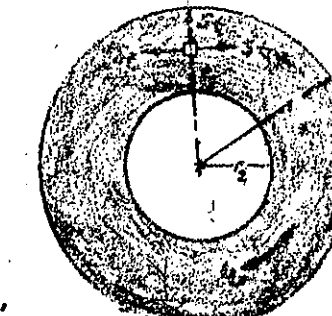
$$s_r = \rho v^2 \left( \frac{\mu+3}{8} \right) \left[ 1 + \left( \frac{r_i}{r_o} \right)^2 - \left( \frac{r}{r_o} \right)^2 - \left( \frac{r_i}{r} \right)^2 \right]$$

Herhangi bir yarıçap için teğetsel gerilme:

$$s_t = \rho v^2 \left( \frac{\mu+3}{8} \right) \left[ 1 + \left( \frac{r_i}{r_o} \right)^2 - \left( \frac{3\mu+1}{\mu+3} \right) \left( \frac{r}{r_o} \right)^2 + \left( \frac{r_i}{r} \right)^2 \right]$$

$r = \sqrt{r_i r_o}$  de ortaya çıkan, maximum radyal gerilme,

$$s_{r \max} = \rho v^2 \left( \frac{\mu+3}{8} \right) \left( 1 - \frac{r_i}{r_o} \right)^2$$



Şekil. 26-3

$r = r_i$  de ortaya çıkan maximum teğetsel gerilme,

$$s_{t \max} = \rho v^2 \left( \frac{\mu+3}{4} \right) \left[ 1 + \frac{1-\mu}{\mu+3} \left( \frac{r_i}{r_o} \right)^2 \right]$$

$s_{r \max}$  = Maximum radyal gerilme,  $N/m^2$

$s_{t \max}$  = Maximum teğetsel gerilme,  $N/m^2$

$\rho$  = Yoğunluk,  $kg/m^3$

$\mu$  = Poisson oranı (Çelik için, 0,3 ve dökme demir için 0,27)

$v = r_o \omega$ , çevresel hız,  $m/s$

$r_i$  = Plakanın iç çapı,  $m$

$r_o$  = Plakanın dış çapı,  $m$

$r$  = Değişken yarıçap,  $m$

### Dolu diskler:

Dolu dönen disklerdeki radyal ve teğetsel gerilmeler için genel ifadeler, üzerinde delik bulunan disklerinkilerden azda olsa farklıdır.

Herhangi bir yarıçap için, radyal gerilme:

$$s_r = \rho v^2 \left( \frac{\mu+3}{8} \right) \left[ 1 - \left( \frac{r}{r_o} \right)^2 \right]$$

Herhangi bir yarıçapta, teğetsel gerilme:

$$s_t = \rho v^2 \left( \frac{\mu+3}{8} \right) \left[ 1 - \frac{3\mu+1}{\mu+3} \left( \frac{r}{r_o} \right)^2 \right]$$

Maximum radyal gerilme ile maximum teğetsel gerilme birbirlerine eşittir ve her ikiside  $r=0$  da ortaya çıkmaktadır.

$$s_{r \max} = s_{t \max} = \rho v^2 \left( \frac{\mu+3}{8} \right)$$

### CÖZÜMLÜ PROBLEMLER

19.  $3000d/dk$  da dönen çelik bir plaka için (Poisson oranı,  $\mu = 0,3$ ) maximum radyal ve maximum teğetsel gerilmeyi hesaplayınız. Plakada bulunan delik yarıçapı  $r_i = 100\text{mm}$  ve plakanın dış çapı  $r_o = 300\text{mm}$  dir. Maximum gerilmeler nerede ortaya çıkmaktadır? Kullanılan çelik için,  $\rho = 7770\text{kg/m}^3$  dür.

Çözüm:

(a) Maximum radyal gerilme,  $v = r_o \omega = 0,3(2\pi \times 3000/60) = 94,25\text{m/s}$  için

$$s_{r \max} = \rho v^2 \left( \frac{\mu+3}{8} \right) \left( 1 - \frac{r_i}{r_o} \right)^2 = 7770(94,25)^2 \left( \frac{0,3+3}{8} \right) \left( 1 - \frac{0,1}{0,3} \right)^2 = 12,65 \text{ MPa}$$

Bu gerilme  $r = \sqrt{r_i r_o} = \sqrt{0,1 \times 0,3} = 173\text{mm}$  de ortaya çıkar

(b) Maximum teğetsel gerilme,

$$s_{t \max} = \rho v^2 \left( \frac{\mu+3}{4} \right) \left[ 1 + \frac{1-\mu}{\mu+3} \left( \frac{r_i}{r_o} \right)^2 \right]$$

$$= 7770(94,25)^2 \left( \frac{0,3+3}{4} \right) \left[ 1 + \frac{1-0,3}{0,3+3} \left( \frac{0,1}{0,3} \right)^2 \right] = 58,3 \text{ MPa}$$

Bu gerilme,  $r_i = 100\text{mm}$  de ortaya çıkmaktadır.

20. Dolu çelik bir rotor  $900\text{mm}$  boyunda ve  $300\text{mm}$  çapında olmak üzere  $3000d/dk$  da dönmektedir. Maximum radyal ve teğetsel gerilmeler ne kadardır ve nerede ortaya çıkarlar? Çeliğin yoğunluğu  $= 7,77\text{Mg/m}^3$  ve Poisson oranı  $\mu = 0,3$  dür.

Çözüm:  $v = r_o \omega = 0,15(2\pi \times 3000/60) = 47,12\text{m/s}$

Burada,

$$s_{r \max} = s_{t \max} = \rho v^2 \left( \frac{\mu+3}{8} \right) = 7770(47,12)^2 \left( \frac{0,3+3}{8} \right) = 7,12 \text{ MPa}$$

### YARDIMCI PROBLEMLER

21. Dövme çelik bir parçada dış çap  $600\text{mm}$  ve bu parça  $6000d/dk$  da dönmektedir. Dövme malzemenin içi arızalı olup, bundan kurtulmak için göbekte  $200\text{mm}$  delik açılması düşünülmektedir. Dolu ve içi boşaltılmış dövme parçalar için maximum gerilmeleri hesaplayınız. Çeliğin yoğunluğu  $= 7770\text{kg/m}^3$ . Poisson oranı 0,3 dür.

Cev. Dolu dövme parçada:  $s_{r \max} = 114 \text{ MPa}, s_{t \max} = 114 \text{ MPa}$

İçi boş dövme parçada:  $s_{r \max} = 50,6 \text{ MPa}, s_{t \max} = 233 \text{ MPa}$

İçi boşaltılmış dövme parçadaki teğetsel gerilme daha büyütür.

ibresi tersi yönünde  $90^\circ$  dönmesi hali için yapılacaktır.

Gösterilen konum için, yay kuvveti  $300N$  ve  $P$  kuvvetide  $450N$  dur. İtici yukarıya kalktığı sürece, yay kuvvetide lineer olarak,  $515N$  kadar artmaktadır. Bu ara tatbik edilen kuvvet  $180N$  a düşmektedir.

İticinin ağırlığı tayin edilecektir. İtici çelikten mammul olup, yoğunluğu  $7830\text{kg/m}^3$  dür. Yay ağırlığı yaklaşık olarak  $2,5N$  gibi bir değer olarak tayin edilmiştir.

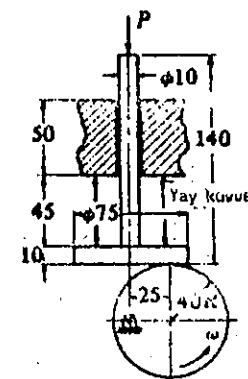
Kam saat ibresi yönünde  $1800d/dk$  da uniform bir hızda dönmektedir. Kayma sürtünmesi katsayısı  $0,25$  dir.

(a) Gösterilen konum için, valf sapındaki maximum gerilmeyi hesap ediniz.

(b) Kamın  $90^\circ$  saat ibresi tersi yönünde dönmesi halinde, valf sapındaki maximum gerilmeyi hesap ediniz. ( $0^\circ, 30^\circ, 60^\circ, 90^\circ$  için inceleyiniz) Atalet kuvvetlerinin analizinde, yayın eşdeğer kütlesinin, yay kütlesinin  $1/3$  ü kadar olduğunu kabul ediniz.

(c)  $90^\circ$  lik dönüş sırasında kam ve izleyici arasındaki maximum temas gerilmesini hesap ediniz.

(d) Yayı, verilen özelliklerini kullanarak dizayn ediniz. Yay için, Maximum dizayn gerilmesi  $500\text{MN/m}^2$  ile sınırlanmıştır. Kesme.



Şekil. 27-2

### 3. Tek Kademeli Hız Düşürücü

Ekmek hamuru karıştırmak için tek kademeli, dik açılı bir hız düşürücü dizaynı yapılması düşünülmektedir. Hız oranı  $3:1$  olmak üzere, milin yüksek hızında,  $1150d/dk$  da dört kilovat aktarılacaktır. Güç bir V-kayışla aktarılacaktır. Aktarma bir esnek kaplin vasıtasyyla yapılmaktadır. Kasnaklardaki hız oranı  $1:1$  dir.

Yatak seçimini yaparken 2 yıllık ömür düşünülecektir. Günlük çalışma 10 saat, haftada 6 gün çalışılmaktadır. Kasnaklarda taksimat dairesi çapı  $150\text{mm}$  ile sınırlanmıştır.

Makine tozlu bir ortamda çalışacağından, uygun sızdırmazlığın sağlanması çok önemli yer tutar.

Malzeme listesiyle birlikte ölçülendirilmiş iki görünüslü resim çizilmesi gereklidir.

### 4. Hız Düşürücü

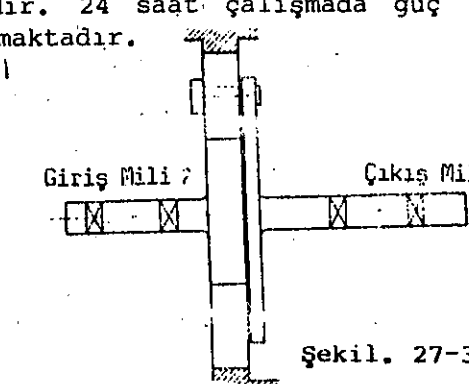
Şekil. 27-3'de, planet sistemli, düz dişlilerden oluşan bir hız düşürücü gösterilmiştir. Esnek kaplin vasıtasyyla  $3\text{kW}$  lik güç aktarılmalıdır. Girişteki mil  $1200d/dk$  da dönmektedir. 24 saat çalışmada güç herhangi bir darbe söz konusu olmadan aktarılmalıdır.

3 adet planet dişli düzeni vardır.

İşteki dişli sabittir. Dişliler  $\pm 0,3$  lük karbonlu çelikten mammuldürler.

(a) Güç aktarımında kullanılan millerin boyutlarını tayin ediniz. Güç minden bir kaplin vasıtasyyla alınmalıdır.

(b) Hız oranı  $8:1$  ise kullanılacak en küçük dişli çapı ne olacaktır?



Şekil. 27-3

Dişlilerde 15 dişten fazla bulunmaması istenmektedir. Dişlilerde kavrama açısı  $20^\circ$  dir. Dinamik ve aşınma yüklerini kontrol ediniz.

- (c) Dişlilerin alın yüz genişliklerini hesaplayınız.
- (d) Planet dişlinin döndüğü koldaki pimin boyutu ne olur? Pim  $\pm 0,3$  karbonlu çelikten mammuldür.
- (e) Yatay yüklerini tayin ediniz. Her mildeki yataklar  $150\text{mm}$  aralıktır bulunmaktadır.
- (f) Ünitedeki tork aktarımını tanımlayınız. Tabana tatbik edilen yük ne kadardır? Bu tork giriş milinin dönüş yönü bağılı mıdır?
- (g) Kaideye kullanılan civata boyutlarını tanımlayınız.
- (h) Giriş milinde kullanılan kama boyutu ne olacaktır? Kama  $\pm 0,2$  lik karbonlu çelikten imal edilecektir.

### 5. "Turbo-prop" Hız Düşürücü

$600\text{kW}$  lik, türbin-pervaneli uçak motoru  $13.500d/dk$  da dönmektedir. Pervane,  $900d/dk$  ya kadar dişli çark düzeneyle düşürülmüş hızda döndürülecektir. Pervaneyeye dörtüzelli kilovat aktarılacaktır. Geri kalan güç ise jet itmesinde kullanılacaktır. Uçak ve uçak avadanlıklarını detaylı olarak rüzgar akışları, jiraskopik kuvvetler, manevra ve inme hesaba katılarak dizayn edilecektir. Bu proje sürekli yükleme hali kabul edilecek basitleştirilebilir. Hız düşürücünün tabii tutulacağı testlerden birisi 1000 saatlik atölye denemesidir. Deneme sırasında motor 250 saatlik çalışmada  $\pm 200$  lük 750 saatlik çalışmada  $\pm 100$  lük yüklemeye tabi tutulacaktır.

Minimum ağırlık istenen özelliklerden birisidir.

$13.500d/dk$  dan  $900d/dk$  ya düşüş tek kademeli bir hız düşürücü için oldukça zordur. Bunun için hız düşürücüyle birlikte planet dişli düzene kullanılacaktır. (Şekil. 27-4).

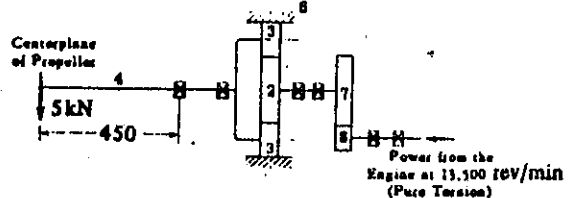
2 no'lu dişli çark çapı  $150\text{mm}$  dir. 7 no'lu dişli çark çapı 8 no'lu dişli çarkından 8 defa daha büyütür.

Yatak boyutlandırılması dahil olmak üzere, parçaların kesitli resimleri ölçüldürilmiş olarak verilmelidir.

Hız düşürücü için gövde ayrı proje olarak ele alınabilir. GÖVDE analizi için zaman harcamayınız. Dişli ve mil dizaynı yapıp, yatak ve dişlilere uygun gövde seçimi yapınız.

Kullanılacak planet dişli sayıları oranlara etkili olacaktır. Keyfi olarak, üç planet dişli kullanınız. Ayrıca,

1. Malzemeler: Yüksek mukavemetli çelik ve alaşımı kullanınız.
2. Dişlilerin montajları için, iki şartın sağlanması gereklidir:
  - (a)  $N_2 + N_6 = \text{Çift sırı}$ , (b)  $(N_2 + N_6) \cdot n = \text{Tam sayı}$
3.  $N_2 = 2$  no'lu dişlideki diş sayısı,  $N_6 = 6$  no'lu dişlideki diş sayısı,  $n =$  eşit olarak yerleştirilmiş planet dişli sayısı.
4. Dişli dinamik yüklerini tayinde, mutlak vizkosite olmaksızın, dişli dişlerindeki hız oranlarından istifade ediniz.
5. Yatak, mil ve dişli yüklerinde ortalama yük kübleri kullanınız.
6. Dişliler için minimum emniyetin  $0,2$  olarak alınması istenmektedir.
7. Planetdeki bütün dişlilere ait yüklerin tamamıyla değişken olduğunu unutmayın.



Şekil. 27-4

8. Uçak 500km/h lük hız için dizayn edilecektir. Pervane verimi 85 olaraq alınacaktır. Hız düşürücüdeki sürtünme kaybını ihmali ediniz.

### 6. Hava Silindiri

Bir hava silindiri  $550\text{kN/m}^2$  için dizayn edilecektir. Silindirin kullanılacağı tesiste mevcut maximum basınçın  $1000\text{kN/m}$  olduğu biliniyor. Böylece silindirin ölçüleri  $550\text{mN/m}^2$  ye bağlı olarak gerçekleştirilecektir. Fakat gerilme analizi  $1000\text{kN/m}^2$  ye göre yapılacaktır.

Pistonun çıkış strokundaki, tatlık edilen kuvvet  $4,5\text{kN}$  dur. Her ne kadar çok iyi dizayn edilmiş bu silindirde sürtünme direncinin %5 olacağı düşünülsede, silindirin yapacağı işe göre 1... katı kadar daha büyük bir kuvvet için dizayn edilmesinde yarar vardır. Böylece, silindir ölçüleri  $550\text{kN/m}^2$  ye göre gerçekleştirilecektir. Neticede gerekli toplam kuvvet  $(1)(5400)=8100\text{N}$ . olur.

Giriş strokunda gerekli kuvvet,  $670\text{N}$  dur.  $\frac{1}{2}$  katsayısi kullanılarak, silindirin geri dönüş veya ilerlemeye stroku için gerekli kuvvet  $1\text{kN}$  olacaktır.

Silindirde strok  $1,5\text{m}$  dir.

Silindir çift tesirli olacak ve uçlardan  $25\text{mm}$  de tamponlama yapılacaktır. Hava akış derecesini kontrol etmek için iğne valf kullanılacaktır. Pistonun süratli olarak devreye girebilmesi için gerekli önlemler alınacaktır.

Çeşitli parçalar için kullanılacak malzemeler:

Piston çubuğu  $\varnothing 0,25$  karbonlu çelik

Silindir Dikişsiz çelik boru

Silindir kafaları Kaliteli dökme demir

Piston Kaliteli dökme demir veya  $\varnothing 0,25$  karbonlu çelik.

Silindir, piston çubugu paralel olarak tespit edilmiş kulaklar vasıtasiyla monte edilir. 4 adet tespit civatası kullanılabilir. Tespit civatalarındaki gerilmeleri minimize edebilmek salgısızlığı devam ettirebilmek için takviye takozlarından faydalananır.

Piston çubuğu uçunda pimli bağlantı mevcuttur.

Aşağıda, dizayn sırasında ele alınması gereken bazı maddeler görülmektedir.

(1) Sıkıştırılmış havadaki nemden silindir deliğinin paslanmasıının önlenmesi.

(2) Uygun salmastra ve sızdırmazlık elemanlarıyla kaçakların azaltılması.

(3) Sızdırmazlık elemanlarının ayarlarının kolaylığı,

(4) Kaba dişler yerine ince dişlerin kullanılması,

Gerekli olan işlemler, 1. Bütün hesapların yapılması,

2. Bütün parçalara ait şematik resimler,

3. Bütün parçalar için, kesit görünüşleri, ölçülendirilmiş halde.

### 7. Yatak Çektirmesi

Belli toleranslarde monte edilmiş makine elemanları için çeşitli söküp çıkarma metodları vardır. Bu metodlardan bir tanesinde mandrelli pres, başka bir metodda mengene ve zimba kullanılır. Vine başka bir metoda, çektirme kullanılır. (Kasnak çektirmesi olarak bilinir).

Bu proje için özel bir kullanım hal için, çektirme dizaynı yapılması düşünülmektedir.

İç bilezik ve mil arasındaki belli bir toleransa tespit edilmiş rulmanlı yatakların çıkarılması.

Dış çapları 80 ile 130mm arasında değişen tek sıralı radyal tipli rulmanlı yataklarda kullanılan ayarlanabilir bir çekirme olması istenmektedir. Delik çapları 40 ile 55mm arasında değişmektedir.

Sıkı geçme halinde, mil ile en büyük yatakdaki iç delik çapı arasındaki toleransın  $0,04\text{mm}$  olacağı düşünülmektedir. Böyle bir geçme için, iç bilezike mil arasındaki maximum radyal basing değeri yaklaşık olarak  $20\text{MN/m}^2$  olacaktır.

Cekirme, iç bileziğe basarak çalışacaktır. Böylece rulmanlı yatağa zarar verecektir.

Maximum yatak eni  $35\text{mm}$  dir. Yatak ekseni hattı, mil ucundan  $200\text{mm}$  mesafededir.

Gerekli işlemler; 1. Montaj resmi

2. Hesaplamaların tümü,

3. Her parçaya ait şematik resim.

### 8. Zincir Dişlisi (Venedik Çarkı)

Kayıaklı bir konveyör Şekil. 27-5'deki düzende kesintili olarak çalıştırılmaktadır. Konveyör bir zincir dişli tarafından gevrilmektedir, zincir dişliyle kesintili hareket sağlayan düzen aynı milden hareket almaktadır. Bu türdeki bir kullanım için, veriler söyledir.

Çeviren krantdaki açısal hız= $12d/dk$  = (sabit)

Çevirici krant yarıçapı =  $150\text{mm}$

Miller arasındaki mesafe  $150\sqrt{2}\text{mm}$

Zincir dişli çark çapı  $200\text{mm}$

Konveyör kayışı ve yük=  $11\text{kN}$

Kayıdaki sürtünme kuvveti=  $750\text{N}$  (sabit).

Makara ve kasnak genişliği =  $20\text{mm}$

Makara çapı =  $20\text{mm}$

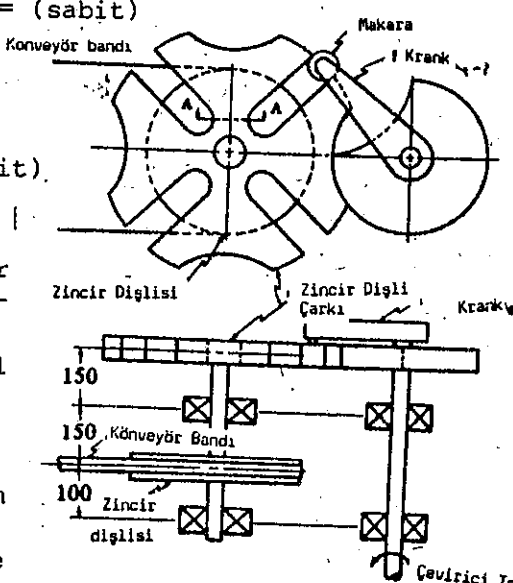


Fig. 27-5

1. Gerekli ivme kuvvetler ve gerilmeler açısından dizayn yeterli ise, aşağıdaki kilerin tayin edilmesi istenmektedir;
  - (a) Zincir dişlideki maximum açısal itme,
  - (b) Maximum makara kuvveti,
  - (c) Çevrilen mildeki maximum tork,
  - (d) Verilmiş makara için maximum temas gerilmeleri,
  - (e) A-A kesitindeki maximum gerilme
  - (f) Çevirici mil için mil çapı,
  - (g) Çevrilen mildeki mil çapı,
  - (h) 20mm lik makarada, makara için gerekli brinell sertliği ne kadardır?
  - (i) Temas gerilmesi  $700\text{MN/m}^2$  ile sınırlandırılır ve makara çapı 15mm ye düşürülürse, uygun makara çapı ne olabilir?
2. Döner parçaların ataletinin toplam eşdeğer kütlesel polar momenti (Zincir dişli eksenine göre)  $12,5\text{kg m}^2$  dir. Bunu hesaba katarak, 1. Kısmında istenenleri hesaplayınız.
3. Konveyör bandını  $50\text{mm}$  çapındaki 200 adet rulo taşımaktadır. Her birinin polar atalet momenti  $0,0025\text{kg m}^2$  ve iki zincir dişliye ait polar atalet momenti ise  $0,8\text{kg m}^2$  dir. Zincir dişlisinin polar atalet momenti  $0,4\text{kg m}^2$  dir. Böyle bir durum için, zincir dişli eksenine göre, eşdeğer kütlesel polar atalet momentini hesaplayınız. 1. Kısmı-

da sorulanlar için çözüm yapınız.

### 9. Otomatik Kontrol

Elektrikle kontrol edilen bir işleme operasyonunda operasyonlar arasındaki aralığını, bir buton sayesile çalışan kişice sağlandıgı bilinmektedir. Aşağıda bahsedilen maddelerin sırayla gerçekleştiği söylenmektedir.

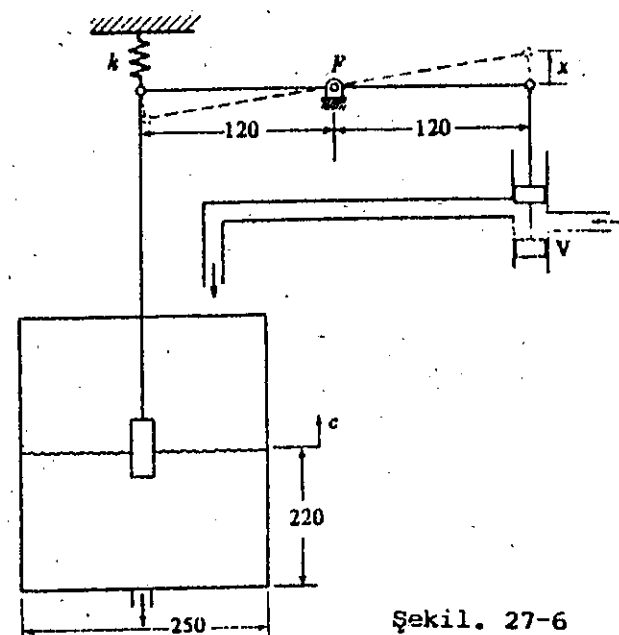
- (1) Butona basarak yağı pompası devreye sokulur. Aynı zamanda dört yolu solenoid valfde devreye girer. Bu da hidrolik silindiri kontrol etmektedir. Bu arada iş parçası yerine konulmamıştır. Yeşil ışık söñüp kırmızı ışık yanınca, operatöre makinenin yüklediği bildirilir.
- (2) Piston çubuğu dışa doğru ekstrem noktaya kadar çıkar ve iş parçasını yerine oturtur. Sonra piston çubuğu ilk konumuna otomatik olarak çekilir.
- (3) İş parçasını yerinde tutabilmek için dört yolu solenoid valfli hidrolik sıkma devreye sokulur.
- (4) Hidrolik sıkma devreye sokulunca, delik delinir. Matkap geri çekilir ve hidrolik sıkma gevsetilir.
- (5) ikinci silindir, dört yolu solenoid valfden hareket alarak, iş parçasını ikinci konumuna getirir. Hareket, silindiri besleyen makineye dik yönindedir.
- (6) Piston çubuğu hareketinin sonuna gelince, piston çubuğu otomatik olarak ilk konumuna döner. Bunun için yeşil ışık yanar, böylece operatöre çevrimin tekrar başladığı bildirilmiş olur. Kırmızı ışık sönmüştür.

Sistemdeki bütün kilitleme mekanizmalarını, emniyet tertibatlarını ve sıkışmaları gözönünde tutarak, kontrol devresini dizayn ediniz. 240V luk trifaze güç mevcuttur.

### 10. Su Seviyesinin Otomatik Kontrolu

250mm x 250mm ölçüsündeki bir düşey tankta su seviyesi sabit tutulacaktır. (Şekil. 27-6). Su tankının altındaki bir orifisten  $C A_0 \sqrt{2gh}$ , debisinde alınmaktadır. C orifis sabitesi,  $A_0$  da orifis kesit alanı ve  $h$  de su seviyesi yüksekliğidir. C ve  $A_0$  değerleri öyle seçilmişdir ki, debi  $10^{-4} \sqrt{h} m^3/s$ ,  $h$  (m) olmaktadır. Bir şamandıra, kesit alanı  $A$  olmak üzere, gösterildiği gibi bir ayar vanasına, V, bağlanmıştır.

Denge şartları düşünülerek, valfi kapamaya çalışan sıvı kuvveti, bir yay kuvvetiyle, dengelenmektedir. Denge, tanka giren sıvıyla, tanktan çıkan sıvı miktarı birbirine eşit olduğu zaman sağlanmaktadır ve kol yataş konumda bulunmaktadır.



Şekil. 27-6

x, valf diskindeki düşey yerdeğistirme olup, m olarak alınmaktadır. Böylece debideki değişim  $(0.065x)m^3/s$  dir. Su seviyesindeki değişim veya sapma c ile gösterilmektedir. Şamandırayla birlikte, levye montajına, şamandıra çubuguna ve valfe ait atalet momenti  $0,006kg\ m^2$  dir. Şamandıra alanı, A için en uygun olanı seçiniz. Yay sabiteside seçilecektir. Şamandıra çapı 10-30mm ve yay sabitesi 1,6-1,8MN/m arasında değişmektedir. Stabilite için damperlemenin gerekli olup olmadığını araştırınız.

### 11. Depo Dizaynı (Tank)

Bu projedeki gaye, ASME standartlarını kullanarak, öğrencilerin dizayn prosedürleri için yakından așine olabilmelerini sağlayabilmektedir.

**Problem:** Sıvı halindeki propanın 40.000 litrelilik bir depoda saklanması istenmektedir. Propanda buharlaşma basıncı  $20^\circ C$  de  $830kN/m^2$  dir. Bu değer  $40^\circ C$  de  $1,448MN/m^2$  dir. Tankın  $1,7MN/m^2$  lik çalışma basıncı için dizayn edilmesi istenecektir. Bu değer ASME standartlarına uygun olarak seçilmiştir.

### 12. Çubuk Kesici

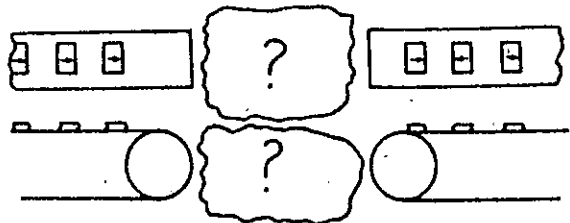
Portatif, güvenilir, hafif elle çalıştırılan cihazdanın düşük karbonlu olmak üzere, 10mm lik çubukların kesilmesi istenmektedir. Kesilen yüzeylerde minimum deformasyon olması istenmektedir. Ünitenin komple ve kolayca taşınabilecek olması istenmektedir. Ünitenin ayrıca hidrolik kumandalı olması arzu edilmektedir.

**İstenenler:** (1) Her parçanın şematik resimleriyle birlikte, bütün hesaplamalar,  
(2) Montaj resimleri.

### 13. Kitap Dizme Makinesi

Ciltleme operasyonundan gelen kitaplar kaplama makinesinden geçerek paketleme bölümüne geçer.

Nakliyeden önce, kitaplar uygun olarak paketlenmiş halde, her kitabın  $180^\circ$  kadar çevrilmesi gereklidir. Şekil. 27-7'de kitaplar dönmeden önce ve sonra görülmektedir.



Şekil. 27-7

Dakikada 60 kitabı geçmesi beklenmektedir. Kitapları çevirmek için bir dizayn gereklidir. İdarecilere öyle bir dizayn şekli gösterilebilirsin, bunun gerçekleştirilmesinin ekonomik olup olmayacağına sonra karar verilsin.

Böyle bir dizayn için, yeterli yerin mevcut olduğunu kabul ediniz. Kitaplar arasındaki boşluk = j defa kitap boyu.

### 14. Bir Kişilik İnsan Elevatörü

**Gaye:**

Bu projedeki gaye, bir ön çalışmanın yaratılması ve müşterice istenen bir kişilik insan elevatörune ait dizayn ve tavsiyelerin toplanmasıdır. Bu ön çalışmada sadece, montajın fonksiyonu ve mühendislik görüşleri ele alınacaktır.

**Problem:**

Bir binada birinci kattan ikinci kata konvensiyonel bir merdiven

bulunmaktadır. Fakat birinci kattan, aşağıya inmek için herhangi bir şey düşünülmemiştir. Bunun için, bodruma içten bir merdiven veya dıştan ayrı bir giriş verilebilmektedir. Birinci katla bodrum katı arasında bir kişilik bir insan elevatörü düşünülmektedir. Şekil. 27-8'de müsaade edilen yükseklik boşluklar gösterilmiştir. Birinci katta elevatöre sağdan, binileceğini ve bodrumda ise soldan inileceğini ünütmeyiniz.

Başlangictaki dizayn için gerekli istekler:

- (1) Bunun bir ön çalışma olmasından dolayı, düşünülen montaj şekli için çeşitli şekillerin gözden geçirilmesi gereklidir.
- (2) Uygun bir şekil için karar verdikten sonra, bir ön çalışma yapıp ölçülendirdiriniz. Bunun için, eğim, plan ve diğer görünümleri ele alınız.
- (3) Montaj maliyetleri ve ekipman için bir ön çalışma yapınız.
- (4) Mühendislik teklifi altında, müsteriye bir mektup gönderiniz.

#### 15. Ot Biçme Makinesi

Bir imalatçı, çayır biçme makinesi imal edip satmayı düşünmektedir. Daha önce gördüğü çeşitli kazalardan dolayı, mevcut biçme makinelerinden daha emin bir makine imaliyle yakından ilgilensektedir. Aslında, emniyet açısından satışların çok fazla olacağını bilmektedir. Piyasa araştırmalarına göre sadece üç tipde biçme makinesinin mevcut olduğu anlaşılmıştır.

(1) Konvensiyonel makaralı

(2) Döner tablalı

(3) Tırpan çubuklu (çiftlikte kullanılan ve yol boyunca bulunan otları biçmede kullanılan makineler).

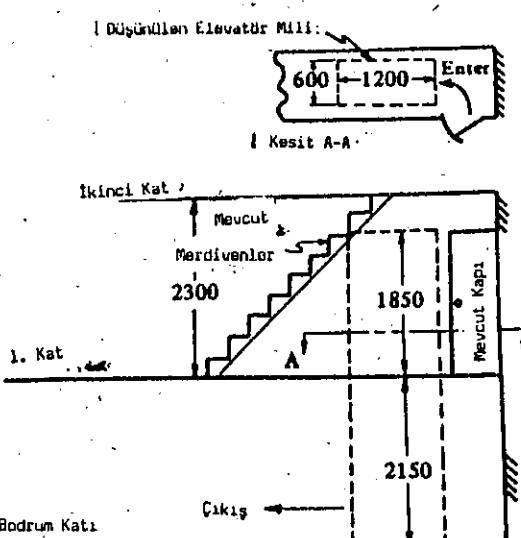
Korunma için yeterli muhafaza sistemleri olsa da bütün bu türlerin tehlikeli olduğu bilinmektedir.

Firmanın bir dizayn mühendisi olarak, size aşağıdaki görev verilmektedir: Otları belli bir seviyeye kadar kesecék bir makine dizaynınızı ve bu piyasada bulunanlardan daha emniyetli olsun.

#### 16. Varil Vinçleri

Bir imalatçı firmada aşağıdaki problem mevcuttur:

Küçük parçalardan oluşan bir mamullüretme söz konusu olup, her parçanın imali içinde çok sayıda operasyon gerekmektedir. Operasyonların çeşitlerinden dolayı bunların her biri aynı imalat hattında gerçekleştirmektedir. Netice olarak, parçalar bir atölyeden diğerine çelik fişolar içinde nakledilmektedir. Her ne kadar fişoların dörtte üçü dolu olmasına rağmen,



Şekil. 27-8

Şekil. 27-8'de müsaade edilen yükseklik boşlukları gösterilmiştir. Birinci katta elevatöre sağdan, binileceğini ve bodrumda ise soldan inileceğini ünütmeyiniz.

Başlangictaki dizayn için gerekli istekler:

(1) Bunun bir ön çalışma olmasından dolayı, düşünülen montaj şekli için çeşitli şekillerin gözden geçirilmesi gereklidir.

(2) Uygun bir şekil için karar verdikten sonra, bir ön çalışma yapıp ölçülendirdiriniz. Bunun için, eğim, plan ve diğer görünümleri ele alınız.

(3) Montaj maliyetleri ve ekipman için bir ön çalışma yapınız.

(4) Mühendislik teklifi altında, müsteriye bir mektup gönderiniz.

15. Ot Biçme Makinesi

Bir imalatçı, çayır biçme makinesi imal edip satmayı düşünmektedir.

Daha önce gördüğü çeşitli kazalardan dolayı, mevcut biçme makinelerinden

daha emin bir makine imaliyle yakından ilgilensektedir. Aslında, emniyet açısından satışların çok fazla olacağını bilmektedir. Piyasa araştırmalarına göre sadece üç tipde biçme makinesinin mevcut olduğu anlaşılmıştır.

(1) Konvensiyonel makaralı

(2) Döner tablalı

(3) Tırpan çubuklu (çiftlikte kullanılan ve yol boyunca bulunan otları biçmede kullanılan makineler).

Korunma için yeterli muhafaza sistemleri olsa da bütün bu türlerin tehlikeli olduğu bilinmektedir.

Firmanın bir dizayn mühendisi olarak, size aşağıdaki görev verilmektedir: Otları belli bir seviyeye kadar kesecék bir makine dizaynınızı ve bu piyasada bulunanlardan daha emniyetli olsun.

16. Varil Vinçleri

Bir imalatçı firmada aşağıdaki problem mevcuttur:

Küçük parçalardan oluşan bir mamullüretme söz konusu olup, her parçanın imali içinde çok sayıda operasyon gerekmektedir.

Operasyonların çeşitlerinden dolayı bunların her biri aynı imalat hattında gerçekleştirmektedir. Netice olarak, parçalar bir atölyeden diğerine çelik fişolar

17. Glob Vana Dizaynı

95°C'deki tuzlu suda kullanılacak 25mm lik bir glob vana için dizayn yapılması düşünülmektedir. Aşağıdaki özelliklerin karşılanması şarttır;

(a) Vananın  $2,8 \text{ MN/m}^2$  lik çalışma basınçına uygun şekilde dizayn edilmesi şarttır.

(b) Monel metali kullanılabaktır. Sadece kasnak dövülebilir demirden mamuldür. (Monel metal yerine uygun başka bir metal kullanılabilir.)

(c) Vana oturma diskini metal olmayan bir malzemeden yapılmalıdır.

(d) Kaçakları önlemek için uygun sızdırmazellik elementleri kullanılmalıdır.

(e) Akış için yeterli alan bulunmalıdır.

(f) Monel metalde minimum kalınlık 3mm kadar olmalıdır.

(g) Dönmeyen, metal oymayan vana oturma yüzeyi kullanılmalıdır.

(h) Dizayn özelliği olarak sabit, vana oturma yüzeyi gereklidir.

(i) Boru ekseniyle, vana sapi  $45^\circ$  açı yapmalıdır.

İstenenler: (1) Ölçülendirilmiş kesit resimleri, montaj resimleri,

malzeme listesiyle beraber. Bütün ölçülerin gösterilmesi gereklidir.

(2) Vana sapının, komple olmak üzere detaylı bütün resimleri, bütün ölçüler ve işlenecek yüzeyleri göstermek üzere hazırlanmalıdır.

18. Kart Besleyici

Çeşitli renklerdeki kartlar 2000 lik kümeler halinde toplanmaktadır.

Kart ölçüler 130 x 75 x 0,15mm gelmektedir. Kartlar makineye fotoelektrik imkanlarla beslenecektir. Makine ise kartları renklerine göre kümeler halinde ayıracaktır. Dakikadaki eşleme 1000 den daha az olmayacağı.

Böyle bir halde iki problem ortaya çıkmaktadır.

(1) Kartların makineye tek tek beslenme şekli,

(2) Kartların renklerine göre ayrı ayrı kümelerde toplanmaları için belirtilecek şekil.

Düşünülen dizaynı içeren şemalar veya problemler için gerekli çözümler.

19. Freni Arızalı Kamyon Projesi

Sık sık kamyonların düz veya eğimli yollarda frenleri bozulabilir.

Siz, bir dizayn yapan kişi olarak, kamyonun durdurulması için bir dizayn geliştireceksiniz. Dizayn tam yüklü bir çekicili kamyon için yapılacaktır.

Bu projede istenenler aşağıda olduğu gibidir.

(1) Kamyonun hangi yollarla durdurulabileceğini araştırınız ve

bunlar 2500N kadar gelmektedirler. Bu fişolar atölyeler arasında motorlu araçlarla taşınmaktadır. İkinci operasyonun yapılmacı makinenin yanındaki bunkere ikinci operasyon için doldurulur. Bunkerin üst noktası yerden 1,5m yüksekliktedir.

Öyle bir düzen dizayn yapınızki, her çalıştırıcı, gerektiğinde bu bunkerin doldurabilse. Gerekli kahulleri belirtiniz ve aşağıdakileri akılda tutmak şartıyla dizayn yapınız: Emniyet, ilk maliyet operasyonun kolaylığı, güç gereksinimi, yer istekleri, verimlilik. Çelik fişinin ölçülerini Şekil. 27-9'da gösterilmiştir.

#### 17. Glob Vana Dizaynı

95°C'deki tuzlu suda kullanılacak 25mm lik bir glob vana için dizayn yapılması düşünülmektedir. Aşağıdaki özelliklerin karşılanması şarttır;

(a) Vananın  $2,8 \text{ MN/m}^2$  lik çalışma basınçına uygun şekilde dizayn edilmesi şarttır.

(b) Monel metali kullanılabaktır. Sadece kasnak dövülebilir demirden mamuldür. (Monel metal yerine uygun başka bir metal kullanılabilir.)

(c) Vana oturma diskini metal olmayan bir malzemeden yapılmalıdır.

(d) Kaçakları önlemek için uygun sızdırmazellik elementleri kullanılmalıdır.

(e) Akış için yeterli alan bulunmalıdır.

(f) Monel metalde minimum kalınlık 3mm kadar olmalıdır.

(g) Dönmeyen, metal oymayan vana oturma yüzeyi kullanılmalıdır.

(h) Dizayn özelliği olarak sabit, vana oturma yüzeyi gereklidir.

(i) Boru ekseniyle, vana sapi  $45^\circ$  açı yapmalıdır.

İstenenler: (1) Ölçülendirilmiş kesit resimleri, montaj resimleri, malzeme listesiyle beraber. Bütün ölçülerin gösterilmesi gereklidir.

(2) Vana sapının, komple olmak üzere detaylı bütün resimleri, bütün ölçüler ve işlenecek yüzeyleri göstermek üzere hazırlanmalıdır.

#### 18. Kart Besleyici

Çeşitli renklerdeki kartlar 2000 lik kümeler halinde toplanmaktadır.

Kart ölçüler 130 x 75 x 0,15mm gelmektedir. Kartlar makineye fotoelektrik imkanlarla beslenecektir. Makine ise kartları renklerine göre kümeler halinde ayıracaktır. Dakikadaki eşleme 1000 den daha az olmayacağı.

Böyle bir halde iki problem ortaya çıkmaktadır.

(1) Kartların makineye tek tek beslenme şekli,

(2) Kartların renklerine göre ayrı ayrı kümelerde toplanmaları için belirtilecek şekil.

Düşünülen dizaynı içeren şemalar veya problemler için gerekli çözümler.

#### 19. Freni Arızalı Kamyon Projesi

Sık sık kamyonların düz veya eğimli yollarda frenleri bozulabilir.

Siz, bir dizayn yapan kişi olarak, kamyonun durdurulması için bir dizayn geliştireceksiniz. Dizayn tam yüklü bir çekicili kamyon için yapılacaktır.

Bu projede istenenler aşağıda olduğu gibidir.

(1) Kamyonun hangi yollarla durdurulabileceğini araştırınız ve

- bu fikirin olurluğunu araştırınız.
- (2) Yeterli bir dizayn için gerekli istekleri sıralayınız. Bunlar, kapasite, çalışma şekli emniyet tedbirleri, maliyet ve diğer özellikler olabilir.
  - (3) Mممكün olduğu kadar fazla metod üzerinde durunuz.
  - (4) En iyi olduğuna inandığınız metodu seçiniz ve dizayn resimlerini ölçeli olarak çiziniz. Dizayna daha fazla açıklık getirmek ve daha iyi tanım için, gerekli görünüş veya kesitleri artırınız. Boyutlar resimde gösterilmesede olabilir. Parçalar için yapıla- cak bütün hesapları ilgili resimler takip etmelidir.
  - (5) Her ünite için maliyeti ayrı ayrı çıkarınız. Eğer dizayn gercek- lesecekse, 10.000 birimin imal edileceği düşünülmektedir.
  - (6) İdareye düşünülen dizayn hakkında bir rapor veriniz. Kısaca avantajlarınızda anlatınız. Maliyetin ve projeyi yürütebilmek için tavsiyelerinizde bildirilmesi gereklidir.

#### 20. Otomatik Kontrollu Pres

Bir otomatik presin mekaniki tanımına ait bilgiler, Dizayn Haberleri Cilt, 16, No. 2, Sayfa 10 ve 11'de verilmiştir. Çalışma aşağıda tarif edildiği üzere edilmiştir.

- (1) İçinde uygun boşluk bulunan, kayan bir takoz, fenol reçinesi hacmini tayin için, tozu kalıp boşluğunua aktarır ve profil verilmiş diski dışarı atar. Bir prömatik silindir, kayan takoza hareket vermektedir.
- (2) Kalıp boşluğununda Şekil, alt çekicin geri çekilmesiyle sağlanır. Boşluğa tozun akitilmasından sonra, kayıcı takoz, bunker altın- daki ilk konumuna hemen geri çekilir.
- (3) Sonra üstteki pres kütüğü ilerler, tozu yaklaşık  $42\text{MN/m}^2$  de bastırarak şekillendirir. Üstteki kütük, üzerinden yük kaldırılmış olmasına rağmen birkaç saniye daha basılı halde kalır.
- (4) Sonra alttaki kütük, şekillendirilmiş parçayı üstteki tablaya kadar kaldırır ve kayıcı takoz bir başka çevrimine başlayıncaya kadar o durumda bekler.
- (5) Kayıcı takoz ileri çıkışınca, onun çıkıntılı ucu, şekillendirilmiş parçayı bir bandlı konveyöre ittirir. Böylece alttaki takoz geri çekilerek bir boşluk yaratacaktır.

Bütün hareketler, solenoid valflerle çalışan hidrolik ve pnömatik devrelerde bulunan limit siviçlerle kontrol edilir. Üstteki kütük için gerekli durma zamanı bir zaman ayarlayıcı ile sağlanabilir. Altta kütük ayarlanabilen stroga sahip olup, ayarlama içinde üzerindeki bir ayar civatasıyla yapılabilir.

Bütün tedbirler ve emniyet düzenleri düşünülmek şartıyla, gerekli operasyon için uygun bir kontrol devresi dizayn ediniz. Hava silindiri  $600\text{kN/m}^2$  lik hava kullanabilir. Hidrolik silindirler için ayrı olmak üzere elektrik motoru ve pompa gerekecektir.

Herhangi bir sıkışma hali için elle çalıstırma imkanı sağlanabilecektir.

415V, trifaze güç kaynağı mevcuttur.

#### 21. Otomatik karbüratör Kontrolu

Çok büyük ottoyolların inşaatının gelecekte daha da gelişmesi daha uzun araba seyahatlerini gerektirecektir.

Mevcut gaz pedalının kullanımını, uzun yolculuklarda araba kullananlar- ra' oldukça yoğunluk verebilmektedir. Otomobil imalatçısının özel parça- lar bölümü sizden, elle monte edilebilen ve otomatik olarak kullanılacak bir karbüratör dizaynı istemektedir. Böylece ayakla kullanılan gaz pedalının yarattığı aşırı yorgunluklardan kurtulabilse.

Aşağıdaki maddeleri içeren fizibilite çalışmalarınızı bir rapor halinde veriniz:

- (1) Kullanılması düşünülen pratik dizayn şekli için bir ön şeması hazırlayınız. Emniyet tedbirlerinin şemada gösterilmesi şarttır.
- (2) Ayda 10.000 ünite imal edileceğini gibi kaba bir maliyet hazırlayınız.
- (3) Özel bir marka otomobilde, ünitenizin montajı için, adım adım göstermek üzere bir el kitabı hazırlayınız.

Aşağıdaki projeler (23'den 36'ya kadar), Purdue Üniversitesinde, deneysel dizayn dersinde, E.I duPont de Nemours and Company Inc. den, P.G. Reynolds tarafından kullanılmıştır.

#### 22. Enjeksiyon Sistemi

Plastiklerin sürekli imallerinde katalitik malzemenin uniform debide 10cm /h, boru içine enjeksiyonu yapılmaktadır. Çalışma basıncı 70MPa dir. Bu da işin başında bir işçinin bulunmasını, gerektirmektedir. Sizden bu işçinin yaptığı işi otomatik olarak yapılabilmesi için bir sistemin dizaynı istenmektedir. Normal olarak sistem her 30 günde bir katalitik malzemenin değişimi için durabilmektedir.

Değişiklikler kazanç düşünülerek yapılacaktır. Çalışmada bir adam için yılda 5000 sterlin ödenmeyecektir, sürekli çalışma halinde ise 4 adam çalıştırılmakta ve haftada 40 saat çalışılmaktadır. Demode olmasından dolayı \$20 lik bir amortisman düşünülmektedir. Yatırımda \$6 lik para değer kaybı ve kardan \$52 lik vergi öflenmesi olacaktır.

*Not: İşçiden tasarruf sağlanabilecek 23'den 36'ya kadar olan problemler için yukarıdaki paragrafdaki bilgilerden faydalanailecektir.*

#### 23. Röntgen Filmleri Montaj Makinesi

Her otuz dakikada röntgen filmleri montajını gerçekleştiren bir makine dizaynını geliştirmeniz. Makine filmi bir rulodan kesecek ve kaplama malzemesiyle kaplama yapacak, yapılan kaplamayı kontrol edecek ve mamulleri 100 lük kutulara yerlestirecektir.

Elleriyle çalışan 10'luğundan birinin yaptığı iş, düşünülen bu makine ile yapılacaktır. Makinedeki yatırımanın nasıl geri dönebileceğini tayin ediniz.

*(Öğrencilerden röntgen filmleri tedarik edip, bu çalışmaya ne yapmak istediği izlenmelidir.)*

#### 24. Torba Paketleri Makinesi

Dinamit özelliklerini taşıyan ham şeker 5kg lik torbalara elle doldurulmaktadır. Malzemeden bir vardiyede 16.000kg ini torbalayabilmek için 5 adamlı birlikte malzeme taşıyan, araç ve kullanan başka bir adam daha gerekmektedir. İki operatörün malzeme kazıdıkları bilinmektedir. Aynı kişiler malzemeyi torbalara koymakta ve her 5 dakikada 5 torba tartmaktadır. Sonradan iki adam bu torbaların ağızlarını katlamakta ve üstlerini bandlarla kapatmaktadır. Son adanda bunları alıp

kutulara yerleştirip ve kutuları kapatır ve bunları bandlanmaktadır. Bütün bu işleri yapacak bir makine dizaynı istenmektedir, dizaynla sadece bir araç kullanan işçi ve birde başka işçi çalıştırılması düşünlmektedir. Güvenirlilik ve maliyet düşünülerek bir optimum ünite dizaynı yapınız.

Ayrıca probleme hangi şeklin daha ekonomik olacağını araştırınız: Tamamının mekanizasyonu veya kısmen mekanizasyon ve gerisi elle olmak üzere.

#### 25. Fişek Kovası Montaj Makinesi

Bir silah harp malzemesi yapımı 22 kalibre fişek kovası imal eden tesislerini modernleştirmeye karar vermiştir. Yilda yaklaşık 20.000.000 fişek kovası imal edilmektedir. Bunların %50 si uzun namlulu tüfekler ve geri kalanların %25 i uzun ve %25 i kısa namlulu tüfekler için imal edilmektedir.

Sizler, mühendisler olarak, kullanılan makineleri geliştirmek için yeni dizayn yapacak ve fişek parçalarını toplayıp montajını yapıp bunları 50 lik gruplar halinde kutulara yerlestirecek bir makine dizaynı gerçekleştireceksiniz. Makinenin yıllık ihtiyaçtan %50 kadar daha fazla üretim yapması istenmektedir. Vardiyede 3 kişiden fazla işçi çalıştırılmaması halinde 300.000 sterlin makine imalatı için harcanabilir. Kovan, kurşun, barut ve ateşleme fitili ayrıca temin edilecektir.

#### 26. Otomatik Olarak Lastik Monte Makinesi

Bir otomobil üretim fabrikasında saatte 40 otomobilin üretildiği bildirilmektedir. Bu da, 12 kişilik bir ekiple, elle lastik montajının yapılması demektir. Lastikleri yarı-otomatik olarak cantalara takacak bir makine dizaynı yapınız. Dizaynı yapılacak makinede 2 kişi çalışacaktır. Makineye yatırılacak para ekonomik olacak mıdır?

#### 27. Boru Fittings Test Makinesi

Servo kontroller ve ekipmanın hidrolik operasyonu çok sayıda hidrolik fittingslerin kullanılmasını önermektedir. Kullanım halinde bu fittings malzemenin kaçıracağı, hatta sıkılsa bile çeşitli problemler yaratabileceği bilinmektedir. Bizden arazide kullanılacak fittingslerin hangisinin uygun olabileceğini kontrol edebilmek için bir test makinesi yapmamız istenmektedir.

Böyle bir ünite için 20.000 sterlin harcanabileceğini bildirilmiştir

#### 28. Soğutma Ünitesi

Bir tesisde, yazın 30.000kg/h lik soğutma yükü gerekmektedir. Bunun içinde 170kN/m<sup>2</sup> basınçda amonyak yeterli olmaktadır. Bu tür buharın kullanılması epeydir kullanılmakta ise de, bu türdeki bir operasyon artık kullanılmamaktadır. Yaz aylarında, azalan ısıtma yükünden dolayı, 100kN/m<sup>2</sup> lik buhar fazlalığı bu türdeki bir proses için mevcut bulunmaktadır. Çalıştırma ekonomisi açısından en uygun sistemi tayin ediniz. Mukayese de dizaynın geliştirilmesini ve kontrol sisteminde hesaba katınız. Maliyeti çıkarınız.

#### 30. Sirkülasyon Pompası

Bir amonyak sentez ünitesi 40MN/m<sup>2</sup> basınçda amonyak üretme için dizayn edilmiştir. Bu da bir sirkülasyon ünitesini gerektirmekte olup, ünitede debi 6m<sup>3</sup>/dk olduğu sürece, gaz %75N<sub>2</sub> ve %25H<sub>2</sub> den oluşmaktadır. Basınç düşümünün 3MN/m<sup>2</sup> olduğu bilinmektedir. 50.000 sterlin harcayarak, böyle bir tesis dizaynı yapmamız istenmekte, ayrıca dizaynda minimum çalışma ve bakım maliyetlerini hesaba katmanız gerekmektedir.

#### 31. Tel Sarma Makinesi

Şu anda bir tesisdeki bir tel sarma makinesinde 3 kişi bir vardiyede tel sarma işiyle uğraşmaktadır. Tel plastik kaplı bakır tel olup, kalınlığı 1,5mm ve plastik kaplama ise 0,5mm dir. Makaralarda tel boyu 20mm ilâ 140m arasında değişmekte olup, 20 den sonraki katları 20 şer olarak artmaktadır. Makaraların %40 i 40m lik, %30 u 60m lik, %10 u, 20m lik ve geri kalanları ise %5 şeklindedir. Bizden dakikada 22 makara üretecek bir makine dizaynı istenmektedir. Makinede 1 kişinin çalıştırılması düşünülmektedir. Böyle bir makine artık sadece bir vardiya çalışacaktır. Bu türde bir iş yapacak bir makine dizaynını yapmamız ve maliyetede gözden kaçırılmamız arzu edilmektedir.

#### 32. Çalışanların Korunmaları

Dakikada 20-25 parça üreten bir preste bir işçi çalışmaktadır. Çalışan kişi ham malzemeyi prese koyup, mamul olanı presden almakla sorumludur. Kontroller ve korunma sistemleri, hatalı imalatı ve yardımcısının yaralanmasını önleyebilecektir. Yetersiz bir emniyet tedbiri halinde kapasitenin %75 e kadar düşebileceği bilinmektedir. Kullanılacak bir emniyet tertibatına ait özellikler sıralayabilir miyiz?

#### 33. Boya Kazıyıcı

Çiplak ağaç üzerinde uzun ömrü olacak bir boyaya malzemesinin pazarlanması düşünülmektedir. Bunun satabilmek için, eski boyayı sürekli bir şekilde kazıabilecek bir cihaz veya teknike ihtiyaç vardır. Bunun şu anda mevcut olandan 10 kere daha fazla süratli çalışması istenmektedir. Zira yeni makine 40 sterlin daha pahalı satılacaktır. Bu tür bir ihtiyaç çözüm aranmaktadır.

#### 34. Kutu Kaplama Cihazı

Kutuların kaplanması problemi ile karşı karşıyayız. Dakikada 6 kutu ve kaplama mumla kağıtla yapılacaktır. Şu anda mevcut kutular ende 300 ile, 450mm arasında, 25mm lik artışlarla, 400mm ilâ 600mm arasında boyda, 25mm artışlarladır. Şu anda kullanılan tekniklerle kutulanınca, kutunun tam su geçirmez olması bir kenarın diğerine 75mm kadar uzanması arzu edilmektedir. Bu operasyonu yapabilecek bir makine dizaynı yapınız ve yapılabılırlığını tartışınız.

#### 35. 100.000d/dk da Dönüş Motor

Minimum 1/2kW lik güçte 100.000d/dk da üretilen bir kuvvet makinesine ihtiyaç vardır. Bu isteği karşılamak için 10.000 sterlin, imalatında harcanabilecektir. Eğer mümkünse, genel bir kullanım için 1,5kW lik motordan faydalanabiliriz. Her biri 1000 sterlin olmak üzere 100 tanesi bir arada kullanılabilir. Ne temin edilebilirdi?

# İÇİNDEKİLER

BÖLÜM	SAYFA
1. GİRİŞ.....	1
2. KÜCÜK MAKİNE PARÇALARINDAKİ GERİLMELER.....	6
3. GEÇMELER VE TOLERANSLAR.....	18
4. EĞRİSEL KIRIŞLAR.....	26
5. MAKİNE PARÇALARINDAKİ EGİLME VE SEHİM.....	37
6. DEĞİŞKEN YÜKLERLE YÜKLENMİŞ MAKİNE PARÇALARININ DİZAYNI.....	72
7. MAKİNELERDEKİ TİTREŞİMLER.....	89
8. MILLERDE KRİTİK HIZLAR.....	101
9. MİLLERDE GÜÇ AKTARIMI.....	113
10. KAPLİN DİZAYNI.....	131
11. KAMALAR, PİMLER VE İÇTEM KAMALI MILLER.....	138
12. VİDA VE DİŞ ÇEKİLMİŞ BAĞLAYICILAR.....	145
13. CİVATALARDA YÜKLER.....	156
14. KAVRAMALAR.....	165
15. FREN DİZAYNI.....	178
16. YAYLAR.....	190
17. DİŞLİ KUVVETLERİ.....	205
18. DÜZ DİŞLİLER.....	222
19. HELİSEL DİŞLİLER.....	234
20. KONİK DİŞLİLER.....	241
21. SONSUZ VIDALAR.....	249
22. YUVARLANMA ELEMANLI YATAKLAR.....	255
23. YAĞLAMA VE YATAK DİZAYNI.....	276
24. KAYIŞ KASNAK DÜZENLERİ.....	290
25. KAYNAK.....	301
26. VOLANLAR .....	313
27. ÖRNEK PROJELER.....	322

$\tau_{xy}$	-Kesme Gerilmesi	$\tau_{xy}$
$M$	-Eğilme Momenti	$M_e$
$c$	-Nötr eksenle dış yüzey arasındaki mesafe	$c$
$r$	-Dairesel Kesit yarıçapı	$r$
$I$	-Kesite ait atalet momenti	$I$
$P$	-Eksenel yük	$F$
$A$	-Kesit Alanı	$A$
$\tau$	-Burulma momenti	$M_b$
$J$	-Kesite ait atalet momenti	$J$
$s_y$	-Enine kesme gerilmesi	$T$
$V$	-Enine kesme yükü	$F$
$T_{max}$	-Max kesme gerilmesi	$T_{max}$
$p_c$	-Kesme yüzeyindeki basınç	$p$
$\delta$	-Çapsal boşluk	$\delta$
$d_c$	-Temas yüzeyi çapı	$d_c$
$d_i$	-İçteki elemana ait iç çap	$d_i$
$d_o$	-Dıştaki elemana ait dış çap	$d_o$
$\mu_0$	-Poisson oranı,dış elaman için	$\mu_0$
$\mu_i$	-Poisson oranı,iç eleman için	$\mu_i$
$E_o$	-Dış elemana ait elastite modülü	$e_o$
$E_i$	-İç elemana ait elastite modülü	$E_i$
$F_a$	-Eksenel yük	$F_a$
$d$	-Nominal mil çapı	$d$
$f$	-Sürtünme katsayısı	$\mu$
$\alpha$	-Lineer genleşme katsayısı	$\alpha$
$\Delta t$	-Sıcaklık farkı	$\Delta t$
$s$	-Eğilme gerilmesi	$\delta_e$
$e$	-Ağırlıklı merkezinden geçen eksene nötr eksen arasındaki mesafe	$e$
$r_n$	-Nötr eksene ait eğrilik yarıçapı	$r$
$\theta$	-Burulma açısı	$\theta$
$G$	-Rigidlik modülü(kayma modülü)	$G$
$y$	-Sehim	$f$

$F_{cr}$	-Flambaja neden olan kritik yük	$F_{kr}$
$C$	-Sınır şartlarına bağlı bir katsayı	$C$
$k$	-Jirasyon yarıçapı	$i$
$U$	-Toplam zorlanma enerjisi	$W$
$K_t$	-Teorik gerilme konsantrasyon katsayısı	$K_t$
$q$	-Çentik hassasiyeti	$\beta$
$K_f$	-Hakiki gerilme konsantrasyon katsayısı (geometrik katsayı)	$k_f$
$s_y$	-Çekme ve basma halindeki akma	$\sigma_{AK}$
$s_m$	-Ortalama normal gerilme	$\sigma_0$
$s_{ms}$	-Ortalama kesme gerilmesi	$\sigma$
$S_r$	-Mukavemet sınırı	$\sigma_{TD}$
$S_n$	-Eşdeğer normal gerilme	$\sigma_V$
$S_{es}$	-Eşdeğer kesme gerilmesi	$\tau_V$
$k$	-Yay sabiti	$c$
$c$	-Damper sabiti	$b_I$
$Y$	-Genlik	$Y$
$\phi$	-Faz açısı	$\phi$
$F_t$	-Taksimat dairesindeki teğetsel	$F_t$
$\alpha$	-Helis açısı	$\beta$
$d$	-Kök çapı	$d_I$
$A_r$	-Kök alanı	$A_I$
$T_f$	-Dişteki tork	$M$
$w$	-Bileşke eksenel civata yükü	$F$
$E_p$	-Yutulan toplam potansiyel	$E_p$
$E_k$	-Yutulan toplam kinetik enerji	$E_k$
$c$	-İşlilik katsayısı	$c$
$l_f$	-Yayın berberi boyu	$l$
$\gamma$	-Pinyon helis açısı	$\beta$
$\phi_n$	-Basınç açısı	$\alpha_0$
$m_n$	-Normal modül	$m_n$
$F_w$	-Aşınma yükü	$F_w$
$F_d$	-Dinamik yük	$F_d$
$L_n$	-Ömür dönüş olarak	$L$
$H_g$	-Yayılan ısı	$Q$
$e$	-Verim	$\eta$
$w$	-Açısal hız	$w$